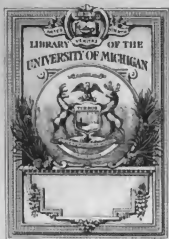


DIE TRIANGULATION VON JAVA AUSGEFÜHRT VOM PERSONAL DES GEOGRAPHISCHEN...

Jean Abraham Chrétien Oudemans







DIE TRIANGULATION VON JAVA

DRITTE ABTHEILUNG

DIE TRIANGULATION VON JAVA
AUSGEFÜHRT VOM
PERSONAL DES GEOGRAPHISCHEN DIENSTES
IN 124116
NIEDERLÄNDISCH OST-INDIEN

DRITTE ABTHEILUNG

ERGÄNZUNGEN ZU DEN BEIDEN ERSTEN ABTHEILUNGEN.
GENAUE BESTIMMUNG DES VERHÄLTNISSES ZWISCHEN DEM NORMALMETER UND
DEM METRE DES ARCHIVES. DAS BASISNETZ VON SIMPLAK.
DIE BASISMESSUNGEN BEI LOGANTONG UND BEI TANGSIL, SOWIE DIE BEIDEN DAZU
GEHÖRENDE BASISNETZE.

IM AUFTRAG DES MINISTERIUMS DER KOLONIEN UND UNTER MITWIRKUNG VON

J. C. A. VAN ASPEREN, Geogr. Ingenieur in Ost-Indien a. D.

M. L. J. VAN ASPEREN, Kapitän zur See a. D.

W. G. TEUNISSEN, Assistenten bei dem Geogr. Dienst in Ost-Indien a. D. und

A. A. NIJLAND, Caud. phil.

BEARBEITET VON

DR. J. A. C. OUDEMANS

Professor der Astronomie an der Reichs-Universität zu Utrecht, ehemaligem Hauptingenieur und Chef des
Geographischen Dienstes in Ost-Indien

DRUCK VON JOH. ENSCHEDÉ EN ZONEN ZU HAARLEM

HAAG
MARTINUS NIJHOFF
1891

Seite

7

3

1

19428

	Ableitung der Bedingungsgleichungen.	Seite
	Darstellung der Correctionen (1), (2), (3), durch die Factoren I, II, III.	52
	Vorbereitung zur Bestimmung des mittleren Fehlers des trigonometrischen Logarithmus des Verhältnisses $\sin 57^\circ : \sin 12^\circ$.	53
	Normalgleichungen und Endgleichungen.	55
	Bestimmung des mittleren Fehlers des trigonometrischen Log. des Verhältnisses $\sin 57^\circ : \sin 12^\circ$.	56
	Tafel der Additamenta.	57
§ 9.	Angewandte Richtungen und Log. Sin. der Dreiecksseiten. (Siehe den Schluss des ersten Nachtrages.)	57
§ 10.	Die Basismessung bei Logantong. Residentchaft Samrang.	59
	Wahl des Terrains.	61
	Sicherung der Endpunkte der Basis.	61
	Der Basis-Apparat und die benutzten Mittel zum Trichten und zum Beschießen desselben.	61
	Beobachter und Hilfspersonal.	62
	Die Ausführung der Basismessung.	63
	Vorläufige Beduction der Messungen.	64
	Definitive.	65
	Vergleichung der Messungen mit dem Normometer vor und nach der Basismessung.	67
	Resultate der Vergleichung der Messungen I und II mit dem Normometer, für alle Correctionen verbessert.	68
	Resultate der Vergleichung der Messungen III und IV mit dem Normometer, für alle Correctionen verbessert.	70, 71
	Resultate der Vergleichung der Messungen I und II unter einander, für alle Correctionen verbessert.	72
	Bestimmung der für die Basismessung bei Logantong anzunehmenden Längen des Messstangen, und Dimension der vor und nach der Basismessung gefundenen Unterschiede.	73
	Ableitung der wirklichen Länge der Basis.	74
	Die kleinen noch anzubringenden Correctionen.	75
	Endresultat für die Basis.	78
§ 11.	Die Verbindung der Basis bei Logantong mit dem primären Dreieckskette.	79
	Basisanordnungen zu 1 Logantong und Kaligou.	80
	- 2 Penangzahn.	81
	- 3 Bandong und 4 Watou.	82
	- 5 Base.	83
	- 6 Banjopahit.	84
	- 7 Sanggrah.	85
	- 8 Saleu.	86
	- 9 Gading.	87
	- 10 Segorogonoeng.	88
	Bedingungsgleichungen für den ersten Theil.	89
	Darstellung der Correctionen (1), (2), (3), durch die Factoren I, II, III.	91
	Vorbereitung zur Berechnung des mittleren Fehlers des trigonometrischen Logarithmus der Seite 56.	91
	Normalgleichungen und Endgleichungen.	94
	Werte der Correctionen und der Correctionen.	95, 97
	Correction für die Höhe des visirten Object.	98
	Tafel für die Höhe Correction.	98
	Bedingungsgleichungen für den zweiten Theil.	100
	Darstellung der Correctionen (19), (20), (21), durch die Correctionen I, II, III.	101
	Vorbereitung zur Berechnung des mittleren Fehlers der trigonometrischen Logarithmen der Verhältnisse zwischen den vier Seiten 69, 68, 910 und 840, und der Seite 56.	102
	Normalgleichungen und Endgleichungen.	105
	Bestimmung des mittleren Fehlers der trigonometrischen Logarithmen der vier genannten Seiten.	108, 109
§ 12.	Angewandte Richtungen und Log. Sin. der Dreiecksseiten.	110
§ 13.	Die Basismessung bei Tangat, Residentchaft Besocki.	111
		113

	Seite.
Sicherung der Endpunkte, Beschreibung der Beobachtungsleiter, Centrirung der Heliotrope und des Universal-Instruments	114
Hilfsleiter für das Richten der Messstangen	115
Transport des Basis-Apparats	115
Beobachter und Hilfspersonal	116
Maassregeln zur Sicherung der Stabilität des Apparats	116
Die Ausführung der Basismessung	117
Reduction der Basismessung	118
Bestimmung der mittleren Temperatur während der Basismessung	121
Herleitung einer einfachen Formel, den mittleren Fehler der Basislänge wegen der Unsicherheit der Ablesungen der Neigungsmesser abzukürzen. Anwendung auf die sämtlichen drei Basen	124
Vergleichung der Messstangen mit dem Normalmeter, vor und nach der Basismessung, und Bestimmung der Längen der Stangen während der Messung	125
Resultate der Vergleichung des letzten Viertels der Messstange II, II ₁ , mit dem Normalmeter, für alle Correctionen verbessert	125
Nach der Basismessung bei Tangsil. Resultate der Vergleichungen der Messstangen I und II mit dem Normalmeter, für alle Correctionen verbessert	128,9
Resultate der Vergleichung der Messstangen III und IV mit dem Normalmeter, für alle Correctionen verbessert	130
Resultate der Vergleichung der Messstangen I und II untereinander, für alle Correctionen verbessert	131
Ableitung der für die Basismessung bei Tangsil anzunehmenden Längen der Messstangen, und der gefundenen Unterschiede, vor und nach der Basismessung	131
Unterschied, in Mikrons, zwischen den Längen der Messstangen, nach und vor den drei Basismessungen auf Java	132
Ableitung der wirklichen Länge der Basis	133
Die kleinen noch anzubringenden Correctionen	134
§ 14. Die Verbindung der Basis von Tangsil mit dem primären Dreiecksnetze	136
Horizontalmessungen zu 1 Djoerangsapi und 2 Tangsil	138
" " 3 Pejalarogan " 4 Poetri	139
" " 3 Tanahwoelan " 6 Bésér	140
" " 7 Sooket	141
Ableitung der Bedingungsgleichungen	141
Darstellung der Correctionen (30), (1), (2), (3) durch die Correlaten I, II, III,	146
Vorbereitung zur Berechnung des mittleren Fehlers des Briggschen Logarithmus der Seite 67, Bésér-Socket	147
Normal- und Endgleichungen und Werthe der Correlaten	148,9
Werthe der Correctionen	150
Bestimmung des mittleren Fehlers der Seite 67, Bésér-Socket	150
§ 15. Ausgeglichenen Richtungen und Log. Sin. der Dreiecksseiten	151

NACHTRÄGE.

I. Verbesserung der Angleichung des ersten Basisnetzes von Simprak für die Höhe der Stationen über das Meeresniveau	153
II. Angleichung des zweiten Basisnetzes von Simprak, indem die Richtung Salak I—Sangaboewann I verworfen wird	157
III. Vergleichung der Resultate der beiden Angleichungen des Basisnetzes von Tangsil	160
IV. Die Fehler der Theilstücke auf den Glasplatten der Zinkstangen, sowohl der Messstangen als des Normalmeters	160

VORWORT.

Einige Bemerkungen zu dem von Herrn Prof. Helmert im XVI Bande der Vierteljahrsschrift der Astronomischen Gesellschaft gegebenen Referat über die beiden ersten Abtheilungen dieses Werkes.

Herr Prof. Helmert hat den beiden bereits erschienenen Abtheilungen dieses Werkes die Ehre einer Besprechung in der V. J. S. der Astron. Gesellschaft, Bl. XVI, S. 120—134 erwiesen, auf welches ich mir das Folgende zu bemerken erlaube.

S. 120, Z. 12 v. u. ist es wohl ein Druckfehler, dass die Länge der kurzen Messstangen zu 2^m angegeben ist; dieselbe beträgt nur 1^m, und dies stimmt auch mit demjenigen, welches auf der nächsten Seite, Z. 15 v. u. über die Entfernung der Mikroskope gesagt wird.

S. 124 werden über die Art und Weise, wie der Ausdehnung des Mikroskopträgers während der Zwischenzeit einer vorübergehenden und einer folgenden 5-Metermessung Rechnung getragen worden ist, einige Bemerkungen gemacht. Ich schreibe dieselben der Schwierigkeit zu, aus der Beschreibung eines Apparats, und sei diese noch so sorgfältig abgefasst, auf alle Details seines Gebrauches zu schliessen. Ich habe Seite 25 und 26 der 2^{ten} Abtheilung nochmals genau nachgelesen, kann aber weder einen Fehler in meinem Verfahren finden, noch zu dem Urtheil gelangen, dass die gegebene Vorstellung nicht deutlich genug sei. Speciell muss ich hier hervorheben, dass die von Ref. S. 124 gemeinte Correction

$+ \frac{1}{3}$ der Länge des Mikroskopenträgers IV, gemessen mittelst der Stange IV, und eine zweite (denn eine Ablesung findet man ja bereits im Schema verzeichnet) »Ablesung des Striches II, des Stahlstabes mittelst Mikroskop IV,« nicht gefordert wird.

Die Stange II ist nämlich eine der beiden langen Messstangen, und da die Endtheilungen dieser Stangen gleichzeitig abgelesen wurden. (Zink und Stahl), so braucht keineswegs auf eine Ausdehnung dieser Stange während eines freien Zeitintervalles Rücksicht genommen zu werden.

Auf S. 126 gibt Ref. die in der 2^{ten} Abth. S. 21 vermeldeten Differenzen der ersten und zweiten Messung der einzelnen Abtheilungen der Basis, und dabei die Summe der Differenzen vom Beginne an. Die erste Differenz ist negativ, und zufälligerweise bleiben alle auf diese Art erhaltenen Summen auch negativ. Fängt man aber, statt von der ersten, von der zweiten Abtheilung an zu zählen, so erhält man durch fortgesetzte Addition der Unterschiede fünf Abweichungen der Vorzeichens, so dass grosse Strecken anzugeben sind, welche von den beiden Messungen genau gleich lang gegeben wurden, nämlich 765, 810, 2474, 2661 und 3558 Meter.

Was nun die Ursache der Differenzen der beiden Messungen betrifft, so hat Herr Prof. Helmert vollkommen Recht, wenn er (S. 127, Z. 14) schliesst, dass sie viel zu gross sind, um sie für ein

Product der Ablesungsfehler zu halten. Dasselbe ist aber auch der Fall bei den Differenzen, welche die verschiedenen Vergleichen der Messstangen mit dem Normalmeter, und dieses mit dem Glasmeter geliefert haben, S. 128 und 129.

Bei der Basismessung kann allerdings ein Rutschen der Böcke der kurzen Messstangen, oder lieber, was dasselbe ist, der Mikroskopträger wohl etwas erklären, da dieselben bei jedem Dekameter während einiger Minuten frei stehen, und man bei der Messung voraussetzt, dass der Stand des Mikroskopträgers in diesem Zeitintervalle unverrückt geblieben sei.

Es ist aber auch möglich dass bei der Basismessung, — [bei den Vergleichen der Messstangen mit dem Normalmeter und des Normalmeters mit dem Glasmeter halte ich es für sicher] —, die von General Comstock bewiesene Eigenschaft des Zinks störend eingetreten ist, nämlich dass dasselbe sich nach der Erwärmung nicht mehr zu seiner ursprünglichen, für eine bestimmte Temperatur geltenden, Länge zusammenzieht, und ebenso sich nach der Erkaltung, nicht mehr zu seiner ursprünglichen Länge ausdehnt. (Annual Report upon the Surveys of Northern and Northwestern Lakes, in charge of C. B. Comstock, etc., being Appendix TT of the Annual Report of the Chief of Engineers for 1881.)

Dass ich zu Batavia, Angesichts der vielen erhaltenen Anomalien, nicht selbst dazu gekommen bin, die einfachen Versuche zu machen, durch welche General Comstock sich ein bleibendes Verdienst in dieser Materie erworben hat, ist wohl daran zuzuschreiben, dass es mir an der Gelegenheit mangelte, ein Zimmer mit constanter Temperatur einzurichten.

So lange man nicht Sorge tragen kann, was wohl immer mit grossen Schwierigkeiten verknüpft sein wird, dass die ganze Basismessung entweder bei constanter Temperatur oder, zur Ausgleichung aller periodischen Ungleichheiten, Tag und Nacht hindurch, stattfindet, wird es, um die äusserste Genauigkeit zu erreichen, erforderlich sein, das Verhalten der für die Stangen benutzten Metalle bei abwechselndem Steigen und Fallen der Temperatur, genau zu studiren. Es folgt aus den Versuchen von General Comstock, dass das Zink die oben genannte Eigenschaft in hohem Masse besitzt. Wie aber die Verkürzung (resp. Verlängerung) des Zinks vom Temperaturunterschiede, dem die Stange ausgesetzt war, und von der Geschwindigkeit der nachherigen Erwärmung (resp. Abkühlung) abhängt, ist, soweit mir bekannt, auch jetzt noch nicht ermittelt.

Die Stahlstangen verhielten sich regelmässiger als die Zinkstangen, doch scheinen auch sie nicht ganz frei von jener Trägheit hinsichtlich ihrer Ausdehnung und Zusammenziehung zu sein.

Eine der ersten Fragen, welche meines Erachtens der Untersuchung werth sind, ist, ob Kupfer und Messing sich regelmässiger verhalten als Zink, dann wäre für die Basis-Messapparate letzteres Metall besser durch eines jeder beiden zu ersetzen.

Herr Helmholtz ist geneigt die sonderbaren Unterschiede, zwischen den Metallthermometern zweier neben einander liegender Stangen, nach Temperaturdifferenzen zuzuschreiben. Es ist nicht zu läugnen, dass er hierzu sehr oft Recht haben kann, denn eine Differenz von 6 Mikrons, wie z. B. am 27 September 1872 zwischen den Resultaten für die Differenz III — N zu 20° 15' und 4° 8' gefunden wurde, und wo die Steigung der Temperatur betrug:

im Zimmer	im Kasten	bei Stange III	beim Normal
2°, 14'	2°, 72'	54,50	54,51.
		d. h. bei beiden etwa 2°.	

würde eine Temperaturdifferenz von 0°, 6 erfordern, während die beiden Z.—S., d. h. Metallthermometer, dieselbe Wärmezunahme angeben. In diesen und ähnlichen Fällen sind wir, wie ich

* Im Zimmer war das Temperatur-Maximum bereits um 2° eingetreten, im Kasten erst um 3°; die Z.—S. zeigen an, dass es bei der Stange III etwa um 5°, beim Normal um 6° stattfand. Die Temperatur im Kasten um 2° 12', (26,15) ist offenbar ein Druckfehler für 29,15.

glaube, wohl gezwungen, unregelmässige und mitunter so zu sagen sprungweise Ausdehnungen und Zusammenziehungen der Metalle anzunehmen.

Die grosse Differenz von 70 Mikrons, von der in der 1^{en} Abtheilung, S. 4 die Rede ist, und welche auch Prof. Helmert erwähnt, hat ihre Erklärung darin gefunden, dass Prof. Stankart ein Versehen von 7° in seiner Publication vom Jahre 1868 gemacht hat. P (1^{te} Abth. S. 5) bedeutet nämlich nicht das Platinmeter bei 7° C., sondern bei 14° C. Da nun die Ausdehnung des Platinmeters zu 9,57 angegeben wird, so beträgt somit die anzubringende Correction 67 Mikrons, und diese bringt die drei von Stankart herrührenden Resultate in ziemlich gute, wenigstens in viel nähere Uebereinstimmung. Es wird dann nämlich, (siehe 1^{te} Abth. S. 4):

$$\begin{array}{ll} \text{direct.} & N_0 = P_0 + 174,4. \\ \text{indirect, durch das Glasmeter n° 4.} & N_0 = P_0 + 178,6. \\ \text{" " " eiserne Meter von Van Swinden *} & N_0 = P_0 + 180,6. \end{array}$$

Ich kann diesen Zahlen aber kein grosses Gewicht beilegen; die Längen des Glasmeters, N° 4 und des von Stankart genannten Meters von Van Swinden waren durch Vergleichung mit dem Platinmeter P gefunden, dessen Ausdehnungscoefficient einstweilen sehr unsicher ist. Die indirect erhaltenen Resultate müssen also den direct gefundenen nachstehen, und dieses hängt, anderer Unsicherheitsquellen garricht zu gedenken, von der 7° C. entsprechenden Ausdehnung des Platinmeters ab.

Was endlich die Unregelmässigkeiten der Vergleichen anbelangt, so muss ich gegen den von Prof. Helmert gezogenen Schluss: «Man wird hiermit immer wieder auf Fehler der mikroskopischen Einstellung und Ablesung hingewiesen», auf das Bestimmteste protestiren. Nimmt man die äusserste Sorgfalt, welche auf die richtige Stellung des Mikroskops, sowohl in Bezug auf Vertikalität als Focirung angewandt wurde, in Betracht, ferner die Schärfe und Vergrösserung der Mikroskope, die ausgezeichnete Beleuchtung, u. s. w., so kann kein Zweifel obwalten, das wirklich objective, reell bestehende Unterschiede im Spiele sind, welche meiner Ansicht nach, wie oben erwähnt, erklärt werden müssen. Die in dieser dritten Abtheilung mitgetheilten Messungen werden, wie ich glaube, diese Ansicht bestätigen.



* Richtiger: das (von Van Swinden aus Paris mitgebrachte) Meter der Rotavirischen Republik. Die fremden Commissäre bekamen jeder ein Meter und ein Kilogramm als Geschenk; das von Van Swinden erhaltene Meter und Kilogramm wurden aus seinem Nachlasse, für das Utrechter Physikalische Cabinet, durch Prof. Moll angekauft.

Die Triangulation von Java. Dritte Abtheilung.
Ergänzungen zu den beiden ersten Abtheilungen. Das Basisnetz von
Simplak (West-Java). Die Basismessung bei Logantong (Mittel-Java,
Residentschaft Samarang) und bei Tangsil (Ost-Java, Residentschaft
Bezoeki), sowie die beiden dazu gehörenden Basisnetze.

ERGÄNZUNG ZUR ERSTEN ABTHEILUNG.

§ 1. Verbindung untereinander der in Holland und zu Batavia angestellten Vergleichungen der Messstangen mit dem Normalmeter.

Wie aus der ersten Abtheilung dieses Berichtes erhellt, hatte ich in Batavia, wegen der dort herrschenden gleichmässigen Temperatur, die relativen Ausdehnungsverhältnisse der Messstangen durch künstliche Erwärmung bestimmen müssen. Immerhin hat diese Methode ihre grossen Nachteile, weil man keine Sicherheit hat, dass die Zink- und die Stahlstange, aus denen jede Messstange besteht, bei den Vergleichungen dieselbe Temperatur besitzen. Nach meiner Rückkehr in Holland hatte ich Gelegenheit die Resultate der Vergleichungen mit hineinzu ziehen, welche, vor und nach der Basismessung im Haarlemmermeerpolder, vom dem verstorbenen Professor Stankart in Amsterdam angestellt waren; wenigstens war dies mit den Messstangen I, III und IV der Fall. Die Messstange II war im Haarlemmermeerpolder auf den Boden gefallen, wobei die eine der beiden gläsernen Endtheilungen zerbrach, und durch eine neue, von Herrn Olland in Utrecht angefertigte ersetzt werden musste, in Folge dessen die Länge der Stange sich änderte. Später ist dieselbe in Amsterdam nicht mehr mit dem Normalmeter verglichen worden; früher aber sowohl bei Sommer- als bei Wintertemperatur, so dass für das relative Ausdehnungsverhältniss Q immer ein brauchbarer Werth abzuleiten möglich war, während aus den Indischen Beobachtungen allein die Länge der Stahlstange II bei der Normaltemperatur erschlossen werden musste.

Ich werde nun die Ergebnisse der einzelnen Reihen der Vergleichungen und die Bestimmung der Unbekannten mittheilen.

Messstange I.

Ort	Zeit	
Amsterdam	Februar 1868, $1_0 = 4\ N_0$	$= -247.2 + 299.2\ P - 422.2\ T,$
"	Juni "	$= -274.0 - 525.1\ P + 256.6\ T,$
"	October "	$= -267.1 + 254.8\ P - 552.5\ T,$
"	Juni 1869,	$= -265.5 - 22.5\ P - 69.9\ T,$
"	October "	$= -258.1 - 9.9\ P - 90.5\ T,$
"	Jannar 1870,	$= -265.6 + 842.4\ P - 964.0\ T,$
Batavia	September 1872,	$= -261.6 - 904.9\ P + 797.2\ T,$
"	Jannar 1874,	$= -262.5 - 774.45\ P + 675.2\ T.$

Die beiden letzten Zeilen sind der ersten Abtheilung dieses Berichts, S. 70 und 71 entlehnt.

Obwohl, wie wir später sehen werden, P und T sich zweifelsohne mit der Temperatur etwas ändern, so sind wir nicht in der Lage auf diese Variabilität gehörig Rücksicht zu nehmen, und demnach genöthigt, dieselben ebenso wie bei den anderen Messstangen Q, R und S, als constant zu betrachten.

Nimmt man das arithmetische Mittel dieser Gleichungen, so erhält man

$$I_0 - 4 N_0 = -262,2 - 82,5 P - 21,5 T, \dots \dots \dots (1)$$

Zieht man diese von allen einzelnen Gleichungen ab, so hat man

	$\frac{1}{20}$ Coeff von P.
$0 = + 45,0 + 581,5 P - 400,7 T.$	$+ 8$
$0 = - 11,8 - 240,7 P + 258,1 T,$	$- 5$
$0 = - 4,9 + 517,1 P - 511,0 T,$	$+ 6$
$0 = - 1,5 + 60,0 P - 48,4 T,$	$+ 1$
$0 = + 4,1 + 72,4 P - 68,8 T,$	$+ 1$
$0 = - 1,4 + 924,7 P - 924,5 T,$	$+ 18$
$0 = + 0,6 - 822,6 P + 818,7 T,$	$- 16$
$0 = - 0,1 - 692,2 P + 694,7 T,$	$- 14$

Wegen der ungefähren Gleichheit der Coefficienten von P und T müssen wir darauf verzichten diese beiden Unbekannten von einander zu trennen. Man kann aber die Gleichungen durch die Methode der kleinsten Quadrate in Bezug auf P lösen, und erhält so den Werth von P in einer Function von T. Statt der Coefficienten von P wenden wir der Kürze halber die Multiplicatoren an, welche oben an die rechte Seite gesetzt sind, und finden so:

$$P = 1,0105 T - 0,00254, \dots \dots \dots (2)$$

und durch Substitution in die Gleichung (1):

$$I_0 - 4 N_0 = -262,4 - 104,6 T.$$

Messstange II.

Ort. Zeit.

Amsterdam Oct.—Dec. 1867, $I_0 - 4 N_0 = -6,4 + 409,7 Q - 518,5 T,$

" Mai—Juni 1868, $= + 4,6 - 465,2 Q + 589,5 T.$

Der Unterschied dieser beiden Gleichungen ist:

$$0 = 11,0 - 872,9 Q + 907,6 T,$$

woraus folgt

$$Q = 1,0597 T + 0,01260.$$

Nach dem oben gesagten ist der Werth von I_0 , welcher aus den beiden hier angeführten Gleichungen $I_0 - 4 N_0$ folgen würde, für uns von keiner Bedeutung. Für die Bestimmung dieser Grösse müssen wir anschliesslich das Resultat der in Batavia ausgeführten Vergleichen benutzen. Dieses ist, (1^{re} Abth. S. 72 und 75, mit Rücksicht auf die Correction + 6^{te}, I, S 85):

$$I_0 - 4 N_0 = -81,6 + 749,2 T - 1249,0 Q.$$

Substituiren wir hierin den soeben gefundenen Werth von Q, so haben wir

$$I_0 - 4 N_0 = -97,5 - 549,5 T.$$

Messstange III.

Ort.	Zeit.	
Amsterdam	Februar 1868, III	$N_0 = + 46,4 + 105,0 R = 55,0 T,$
"	Juni "	$= + 58,0 + 0,8 R + 79,4 T,$
"	October "	$= + 55,5 + 185,5 R = 101,6 T,$
"	Juni 1869,	$= + 56,5 + 124,1 R = 49,9 T,$
"	October "	$= + 44,0 + 104,7 R = 6,2 T,$
"	Januar 1870,	$= + 55,0 + 294,2 R = 226,5 T,$
Batavia	September 1872,	$= + 48,7 = 108,4 R + 195,2 T,$
"	Februar 1874,	$= + 55,1 = 70,1 R + 162,5 T.$

Die beiden letzten Zeilen sind der I^{re} Abtheilung, S. 75 entlehnt.

Das arithmetische Mittel dieser Gleichungen ist:

$$III_0 - N_0 = + 49,6 + 79,2 R + 2,2 T,$$

Und der Unterschied mit den einzelnen Gleichungen:

	$\frac{1}{25}$ Coeff. van R.
$0 = - 5,2 + 25,8 R = 57,2 T,$	$+ 1$
$0 = - 11,6 = 78,4 R + 77,5 T,$	$- 5$
$0 = + 5,7 + 104,1 R = 105,8 T,$	$+ 4$
$0 = + 6,7 + 44,9 R = 52,1 T,$	$+ 2$
$0 = - 5,6 + 25,5 R = 8,4 T,$	$+ 1$
$0 = + 5,4 + 215,0 R = 228,7 T,$	$+ 9$
$0 = - 0,9 = 187,6 R + 195,0 T,$	$+ 7\frac{1}{2}$
$0 = + 5,5 = 149,5 R + 160,1 T.$	$- 10$

Nach Multiplication mit den an der rechten Seite gestellten Proportionalzahlen, Addirung der resultirenden Gleichungen und Theilung durch den Coefficienten von R hat man

$$R = 1,0490 T = 0,00970,$$

und damit

$$III_0 - N_0 = + 48,8 + 85,5 T.$$

Messstange IV.

Ort.	Zeit.	
Amsterdam	Februar 1868, IV ₀	$N_0 = - 7,0 + 47,2 S = 70,2 T,$
"	Juni "	$= - 5,2 = 71,0 S + 79,9 T,$
"	October "	$= + 5,2 + 104,5 S = 124,8 T,$
"	Juni 1869,	$= + 1,1 + 50,2 S = 45,9 T,$
"	October "	$= - 5,5 + 15,0 S = 18,6 T,$
"	Januar 1870,	$= + 1,9 + 186,2 S = 221,9 T,$
Batavia	September 1872,	$= + 1,2 = 171,5 S + 182,8 T,$
"	Februar 1874,	$= - 1,75 = 154,55 S + 157,55 T.$

Das arithmetische Mittel dieser Gleichungen ist:

$$IV_0 - N_0 = 0,8 = 2,0 S = 7,4 T.$$

Die Unterschiede mit den einzelnen Gleichungen sind:

	$\frac{1}{25}$ Coeff. von S.
$0 = -6,2 + 49,2 S - 62,8 T,$	$+ 2$
$0 = -2,4 - 69,0 S + 87,5 T,$	$- 5$
$0 = +6,0 + 100,5 S - 117,4 T,$	$+ 4$
$0 = +1,9 + 52,2 S - 56,5 T,$	$+ 1$
$0 = -2,7 + 45,0 S - 11,2 T,$	$+ 1$
$0 = +2,7 + 188,2 S - 214,5 T,$	$+ 8$
$0 = +2,0 - 169,5 S + 190,2 T,$	$- 7$
$0 = -0,95 - 452,55 S + 164,75 T.$	$- 6$

Nachdem diese Gleichungen mit den nebenstehenden Zahlen multiplicirt, die kommenden addirt, und durch den Coefficient von S dividirt sind, bekommt man:

$$S = 1,1268 T \quad 0,00714,$$

und endlich

$$IV_0 - N_0 = 0,8 - 9,7 T.$$

RECAPITULATION.

$$\begin{aligned} I_0 &= 4 N_0 - 262,4 - 104,6 T, & P &= 1,0105 T - 0,00254, \\ II_0 &= 4 N_0 - 97,5 - 549,5 T, & Q &= 1,0597 T + 0,01260, \\ III_0 &= N_0 + 48,8 + 85,5 T, & R &= 1,0490 T - 0,00970, \\ IV_0 &= N_0 - 0,8 - 9,7 T. & S &= 1,1268 T - 0,00714. \end{aligned}$$

Also die Summe:

$$S_0 = 10 N_0 - 511,7 - 578,5 T.$$

§ 2. Vergleichung der Länge des Platin-Iridium-Meters N°. 27 mit dem Mètre des Archives.

In der zweiten Abtheilung des Berichtes über die Triangulation von Java wurde S. 55 die Bemerkung gemacht »die definitive Länge der Basis in International-Metern werde erst dann festgesetzt werden können, wenn die Niederländische Regierung von der Französischen die beiden neuen nach der Meter-Conferenz von 1872 aus Platin-Iridium verfertigten Meter empfangen haben und das Verhältniss dieser mit dem für die Zukunft anzunehmenden internationalen Meter bekannt sein wird. Eine dieser Copien sei für Ost-Indien bestimmt, und damit werde das Normalmeter verglichen werden müssen, von dessen Länge die Längen der drei für die Triangulation von Java gemessenen Basen abhängen.«

Die beiden den Niederlanden von der Section Française der Internationalen Meter-Commission in ihrer Sitzung vom 29 März 1876 zuertheilten Platin-Iridium-Meter in X Form tragen die Num-

metri 19 und 27; erstgenanntes ist bestimmt der Etalon des Niederländischen Maasssystems zu werden, letzteres war für Ost-Indien bestimmt.

Der Durchschnitt der internationalen Meter wurde nach einem Vorschlage des verstorbenen Herrn H. Tresca so gewählt, wie nebenstehende Figur 1 zeigt. Hierdurch wurde zunächst beabsichtigt, mit derselben Quantität Metall eine sehr hohe Widerstandsfähigkeit zu erhalten, und in der That zeigte ein am 12 September 1876 angestellter Versuch, dass wenn das Meter horizontal auf zwei steinernen Stützpunkten ruhte, deren Entfernung 90 Centimeter betrug, eine Beschwerung von 10 Kilogramm in der Mitte nur eine Durchbiegung von 1,56 Millimeter verursachte, welche nach Entfernung der Last sogleich wieder verschwand.



Fig. 1.

Sodann befindet sich die obere Fläche des Querbalkens genau auf der Höhe der neutralen Faser, welche bekanntlich bei einer Unterstützung weder Verlängerung, noch Verkürzung erleidet.

Die Meter hatten eine Länge von 102 Centimeter, waren also Strichmaasse; die Striche waren auf der genannten oberen Fläche des Querbalkens gezogen. An jedem Ende waren in einer Entfernung von 20 Mikrons, auf der Länge des Maassstabes senkrecht, drei Striche gezogen, deren der mittlere der Endstrich war. Durch zwei Querstriche wurde der Ort angegeben, wo die Ablesung stattfinden musste, (siehe Fig. 5, auf der folgenden Seite.)

Die beiden Meter N° 19 und N° 27, sowie ein drittes, n° 25 der Section Française, wurden von der laut Cabinetordre ernannten Commission, bestehend aus den Herren F. J. Stamkart, J. Bosscha und mir, in Paris im October 1879 wiederholte Male auf dem «Comparteur transversal» mit dem Mètre des Archives, und auf dem «Comparteur longitudinal» unter einander verglichen, und zwar zunächst bei der Lufttemperatur. Später wurden N° 19 und N° 25 noch in der künstlich bis nahe dem Nullpunkte abgekühlten Comparations-Stube mit dem Mètre des Archives verglichen, und schliesslich wurde im folgenden Jahre die gegenseitige Vergleichung am Comparteur transversal wiederholt. Sämmtliche Vergleichungen sind in allen Details in dem Berichte publicirt, welchen das Mitglied der Commission Prof. J. Bosscha, in den Annales de l'Ecole Polytechnique de Delft, Tome 1, 2^e Livraison, und Tome II, 2^e und 5^e Livraison veröffentlicht hat. Der Kürze halber muss ich, in Bezug auf diese Vergleichungen und die Feststellung des daraus gefolgerten Verhältnisses des Meters n° 27 zum Archivmeter, den Leser auf diesen Bericht verweisen.

Will man die Länge eines Maassstabes bei jeder Temperatur kennen, so muss man auch mit seiner Ausdehnung bekannt sein. Zwischen den beiden aus einem Stabe Platin-Iridium gezogenen Metern n° 26 und 27 wurde ein Stück von etwa ein Centimeter Länge herausgenommen, ein sogenannter Zeuge, Témoin, und dessen Ausdehnung hatte Herr Fizeau die Bereitwilligkeit mit dem von ihm erfundenen Apparat zu bestimmen, wie es auch für einen Témoin des anderen für die Niederlande bestimmten Meter, N° 19 that. Indem wir das Resultat mit denjenigen der Vergleichungen auf dem Comparteur vereinigten, wurde, (siehe a. a. O. § 102,) die folgende Formel für die Länge des Meters N° 27 abgeleitet, wo t die Temperatur nach Celsius bedeutet:

$$N^{\circ} 27 = 1^m, 000\,006\,11 \quad + \quad 0, 000\,008\,452 \quad 7 \quad + \quad 0, 000\,000\,004\,01 \quad t^2$$

Obwohl diese Gleichung das Verhältniss zwischen dem N° 27 und dem Archivmeter wiedergibt, so soll dieselbe auch für das Verhältniss mit dem internationalen Meter dienen können, indem das Meter \mathfrak{M} , welches als Internationales Meter angenommen worden ist, zwar materiell ein anderes Meter als das Archivmeter ist, seine Correction zur Einheit der Längenmaasse aber so angenommen wurde, dass diese Einheit der Länge des Archivmeters gleich geblieben sein soll. (Rapport sur la construction, les comparaisons et les autres opérations ayant servi à déterminer les équations des nouveaux prototypes métriques; présenté par le Comité international des Poids et Mesures; rédigé par le Dr. J. René Benoit, Directeur du Bureau international des Poids et Mesures. Paris, Gauthier-Villars, 1889, p. 65.)

In Bezug auf diese Behauptung wird man jedoch erst dann völlige Sicherheit erhalten, wenn die zur Vergleichung des Archivmeters mit dem Uebergangsmeter I. angestellten Fundamental-Beobachtungen in allen Einzelheiten publicirt worden sind.

§ 3. Vergleichung des Normalmeters von Repsold mit dem Platin-Iridium-Meter N° 27.

Bereits seit längerer Zeit war ich ins Vaterland zurückgekehrt, als ich seitens des Ministeriums der Colonien den Auftrag erhielt, die endgültige Berechnung des Triangulationsnetzes von Java unter meiner Leitung ausführen zu lassen. Ich beantragte demzufolge, das Meter N° 27 nicht nach Batavia zu senden, sondern Comparator und Normalmeter herüberkommen zu lassen. Dieser Antrag erhielt die Genehmigung und beide langten mit dem ganzen Basis-Apparat im Jahre 1882 in Utrecht an. Der Comparator wurde im Meridiansale der Sternwarte in der Richtung des Meridians auf isolirten Steinpfeilern aufgestellt. Für das Platin-Iridium-Meter diente eine eigene Unterlage (Support), welche nach dem Vorbilde derjenigen, welche in Paris gedient hatte, von der Firma P. J. Kipp en Zonen in Delft geliefert worden war. Zur Beleuchtung wurden Gasflammen angewandt.

Der Beobachter stand an der Westseite des Comparators. Die untereinander zu vergleichenden Meter befanden sich neben einander im Nordende des Comparators. Die Beleuchtung des Normalmeters geschah wie in Batavia, an dem einen Ende, hier dem nördlichen, durch ein kreisförmiges, mit einer Glasscheibe geschlossenes Fenster, welches sich im Kasten befand.

Da das südliche Ende des Meters zu weit (um 5 Meter) vom südlichen Ende des Kastens entfernt war, um eine ähnliche Beleuchtung zu gestatten, ward dort mittels eines Spiegels das Licht einer auf dem Comparator stehenden Gaslampe benutzt, welches durch die im Deckel des Kastens angebrachten Fensterscheiben schien.

Einige Schwierigkeit bereitete die Beleuchtung der Striche auf N° 27. Die Mikroskope hatten, wie man aus Fig. 28 (1^{te} Abtheilung) erschen kann, keine Illuminatoren, ich stellte mir diese auf folgende Weise dar. Die Röhren, welche die Objective umgaben, wurden herabgenommen, so dass

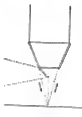


FIG. 2.

die conischen Fassungen der Objective entblößt wurden. Auf diese wurden, siehe die Figur 2, abgestumpft-conische Kappen von Pappe aufgeklebt, welche am Unterrande einen, unter etwa 45° geneigten, das halbe Objectiv bedeckenden Illuminator von hellweisser Pappe trugen.

An der Ostseite, also dem Beobachter gegenüber, wurden nun im Kasten zwei runde, gleichfalls mit Glasscheiben geschlossene Fenster angebracht, auf gleicher Höhe der Objective der Mikroskope und ihnen gegenüber. Vor diesen Fenstern waren Gasflammen angezündet, deren Bilder durch starke Linsen auf die Illuminatoren geworfen wurden. Das Licht dieser glühend weissen Bilder wurde nun der Oberfläche des Platin-Meters zurückgeworfen, und trat durch die unbedeckte Hälfte des Objectivs in das Mikroskop. Die Kante des Illuminators war auf die Richtung der Endstriche senkrecht, die Stellung der Hälfte des Objectivs, welche das Licht durchließ, war also symmetrisch in Bezug auf den Endstrich, so dass das Bild dieses Striches, wegen der theilweisen Bedeckung des Objectivs, keine Verschiebung in der Längsrichtung des Meters erfahren konnte.



FIG. 3.

Die Figur 5 zeigt, wie die Striche im Felde der 25 Mal vergrößernden Mikroskope gesehen wurden.

Es handelte sich nun darum, die Werthe von N_0 und T zu bestimmen, was durch die Vergleichungen des Normalmeters mit dem Platin-Iridium-Meter N° 27 geschehen sollte.

Bei der Berechnung solcher Vergleichungen that sich eine Schwierigkeit vor.

Die oben mitgetheilte Formel, durch welche die Ausdehnung des Platin-Meters ausgedrückt wurde, enthielt auch das von t abhängige Glied, es war also angezeigt auch für das Stahl- und das Zinkmeter, aus welchen beiden das Normalmeter zusammengesetzt war, dieses Glied zu berücksichtigen. In den letzten Jahrgängen des *Annuaire du Bureau des Longitudes* findet man (siehe z. B. 1880, S. 551) die Ausdehnungskoeffizienten der Metalle und verschiedener anderer fester Körper, von Herrn Fizeau mit seinem berühmten Apparat bestimmt, bei einander. Es werden da für jede

1° der Ausdehnungskoeffizient für 40° , ($a_0 = 40^\circ$),

2° die Variation des Coefficienten für 1° , ($\frac{\Delta a}{\Delta \theta}$), in Einheiten der 8^{ten} Decimalstelle,

3° die Verlängerung der Länge-Einheit, berechnet von 0° bis 100° (also $100 (a_0 = 40 + 10 \frac{\Delta a}{\Delta \theta})$).

Die dritte Columnne kann also aus den beiden ersten abgeleitet werden.

Das Normalmeter bestand aus einer Stahl- und einer Zinkstange. Der Stahl war, wie aller Stahl an den Repsold'schen Instrumenten, aus der Krupp'schen Fabrik, und zwar Gussstahl. Für Eisen und Stahl findet man im *Annuaire* die folgenden Zahlen:

	$a_0 = 40$	$\frac{\Delta a}{\Delta \theta}$
Fer doux, des arts	0,000 012 10	1,85*
Fer réduit par l'hydrogène et comprimé	0,000 011 88	2,05
Fer météorique (de Gaille)	0,000 010 95	1,75*
Acier fondu français { trempé	0,000 015 22	5,90
{ recuit	0,000 011 01	1,24*
Acier fondu Anglais, recuit	0,000 010 95	1,52*
Fonte de fer (grise)	0,000 010 61	1,57

Die Sternchen bezeichnen eine hohe Genauigkeit der Bestimmung. Für Zink findet man (S. 552):

Zinc distillé (poudre comprimée)	0,000 029 18	— 1,27
Auf ähnliche Art ausgedrückt, würden für das Meter N° 27 die Zahlen sein:	0,000 008 59,51	+ 0,401.

Die aus dem *Annuaire* entlehnten Zahlen geben zu zwei Bemerkungen Anlass. Zunächst fällt für Eisen und Stahl die grosse Verschiedenheit, nicht nur von a , sondern auch von $\frac{\Delta a}{\Delta \theta}$ auf. Selbst wenn wir den gehärteten französischen Stahl ausschliessen, dessen a auch die Ausdehnung unseres Stahlmeters weit übertrifft, so variiert bei den anderen Sorten Eisen und Stahl die $\frac{\Delta a}{\Delta \theta}$ noch von 1,24 bis 2,05; bei Stahl allein von 1,24 bis 1,52. In Betreff des Zinks war es auffallend, dass nur von comprimiertem Zinkpulver die Ausdehnung mitgetheilt wurde. Ich wandte mich also brieflich an Herrn Fizeau selbst mit den folgenden Fragen:

1° ob er keine Bestimmung für gegossenes Zink gemacht habe; 2° ob, bei Mangel an einer solchen Bestimmung, es erlaubt sei für gegossenes Zink die für zusammengedrücktes Pulver gefundenen Zahlen zu benutzen, indem ich weiter meine Absicht äusserte, von beiden Stangen, aus welchen das Normalmeter bestand, durch Vergleichung bei niedriger, mittlerer und hoher Temperatur die Ausdehnung und die Aenderung der Ausdehnung in Bezug auf die Temperatur zu bestimmen. Die mir auf das Bereitwilligste gegebene Antwort des Herrn Fizeau, vom 5 Februar 1885, lautete:

«Sur le premier point je vous dirai que j'ai fait beaucoup d'essais sur le zinc fondu, soit en lingot, soit en plaque, soit en barre, refroidi tantôt lentement, tantôt brusquement, à l'état naturel ou martelé et forgé, et toujours sans succès, c. à. d. sans résultats nets et constants; ce qui doit être attribué évidemment à la cristallisation de ce métal pendant le passage de l'état liquide à

l'état solide, les cristaux de zinc n'appartenant pas au système régulier ou à égale dilatation en tous sens, mais au système rhomboédrique*, lequel présente des dilatations inégales dans les diverses directions autour de l'axe principal; cette inégalité paraît être très grande pour le zinc, d'où il résulte que l'allongement d'une règle de zinc fondu ne peut pas être exactement assignée à l'avance, mais dépend de l'orientation accidentelle des axes des cristaux formés pendant la solidification et varie d'une règle à l'autre. Telle est la raison qui m'a fait renoncer à déterminer la dilatation du zinc fondu, (n'ayant pas pu d'ailleurs me procurer un cristal isolé suffisamment net,) et à recourir à l'emploi de limaille fine comprimée à la presse hydraulique et transformée ainsi en un métal compact et homogène. On voit que la dilatation déterminée dans ces circonstances doit être la dilatation moyenne des cristaux. La valeur doit être constante et caractéristique du métal, mais elle ne s'applique pas à des règles obtenues par fusion dont l'allongement est subordonnée à l'arrangement accidentel des cristaux à l'intérieur du métal.

La réponse sur le 2^{me} point résulte immédiatement de ce qui précède. Il est clair que, même comme approximation, il ne convient pas d'employer, pour le zinc fondu, les nombres trouvés pour le zinc en poudre comprimée. Je pense que vous trouverez la véritable solution de la difficulté qui nous occupe, en faisant, comme vous proposez de le faire, des comparaisons à diverses températures entre les règles dont il s'agit et le mètre en X N° 27 que vous possédez et dont j'ai déterminé la dilatation avec tous les soins convenables et dans de bonnes conditions; j'ajouterai que les variations de la température ambiante de l'hiver et l'été me paraissent tout-à-fait convenables et suffisantes pour le but qu'il s'agit d'atteindre". . . .

Ich ging also, wie dies meine Absicht gewesen war, fort, die Ausdehnungen der beiden Stangen besonders zu bestimmen.

Die Vergleichenungen wurden vom 20 Februar bis zum 8 Juli 1885 an 52 verschiedenen Tagen angestellt, an jedem Tage drei Mal, mit Intervallen von 8 Stunden, zu 20°, 4° und 12° mitt. Zeit, wiewohl die Folge dieser Beobachtungszeiten nicht immer dieselbe war. Durch diese dreimalige Beobachtung wurde beabsichtigt den Einfluss des täglichen Temperaturwechsels zu eliminieren. Je 4 Tage bildeten eine Reihe, und zwischen jeder Reihe und der folgenden, wurden Normal und N°. 27 ausgewechselt.

Auf jedem der beiden zu vergleichenden Meter lag eines der beiden in Zehntelgraden getheilten Thermometer Baudin 4896 und 4899**, welche zugleich mit dem Meter von der Section Française de la Commission internationale in Paris empfangen war. Diese Thermometer theilten nicht in der Umwechslung, so dass z. B. N° 27 bei der einen Reihe 4896, bei der anderen 4899 bei sich hatte; wodurch also die etwaige Differenz in den Anweisungen dieser Thermometer eliminirt wurde. Nichtsdestoweniger waren die Correctionlisten der beiden Thermometer aufs Genaueste bestimmt worden. Ihren Siedepunkt konnte ich nicht bestimmen, denn sie reichten nicht weiter als bis 50° C.; ihr Nullpunkt wurde aber am 2^{ten} März 1885 in schmelzendem Eise, wovon das Wasser abfiel, in horizontaler Lage bestimmt. Die Correction war für 4896 — 0°,29, für 4899 — 0°,50; überhaupt stand 4899 um 0°,01 höher als 4896; sie wurden weiter am folgenden Tage mit einem Etalon von Baudin, welcher der Sternwarte gehört und dessen Correctionen bei Siede- und Eispunkt absichtlich bestimmt wurden, wiederholte Male verglichen. Bei diesen Vergleichenungen befanden sich beide Thermometer mit ihren Behältern neben einander in einer horizontal liegenden blechernen Hülse, der von Watten umgeben war. Bei der Ablesung wurden sie so weit herausgezogen, dass das Ende des Quecksilbers sichtbar wurde. Die Ablesung geschah dann mit einer Lupe. Als Resultate aller Vergleichenungen wurde die Correctionen wie folgt angenommen:

* Hexagonale? O.

** Im Protokoll der Uebernahme der Meter, (Bericht des Herrn Boscma p. 163.) wurden die Nummern der Thermometer 4899 und 4900 genannt. Ich habe aber 4896 und 4899 erhalten

	4896	4899
bei 0°	0°29	— 0°50
5	— 0,27	— 0,28
10	— 0,25	— 0,26
15	— 0,25	— 0,24
20	— 0,15	— 0,16
22,5	— 0,14	— 0,15

Während die Thermometer im Comparator auf den Metern lagen, geschah ihre Ablesung, durch die im Deckel des Kastens befindlichen Glasscheiben, mittels des vertikal stehenden Fernrohrs eines Patentkreises von Pistor und Martins, welches aber mit einer für diesen Zweck erforderlichen Verlängerung versehen wurde.

Die Resultate je zweier Reihen wurden combinirt, und auf diese Weise wurden 4 Mittel-Resultate erhalten. Anfanglich war es meine Absicht, nur 5 doppelte, also 6 einzelne Reihen zu nehmen, was für die Bestimmung von drei Unbekannten hinreichte. Bei der ersten Reihe, 20–25 Februar 1885, (Normalmeter Ost) betrug die Temperatur im Kasten im Mittel etwa 7°; alsdann sank sie aber bei der 2^{ten} Reihe, 6–10 März, (Normalmeter West), bis unter Null, im Mittel war sie 2½° C; und so beschloss ich die 3^{te} Reihe, 11–16 März mit Normalmeter Ost, gleich folgen zu lassen, (Mitteltemperatur auch 2½° C), welche ich mit der 2^{ten} verband, während die 4^{te} Reihe, 2–6 April, Normalmeter West, mit etwa 9½° C, mit der ersten vereinigt wurde.

Nun kamen im April und Mai die 5^{te} und 6^{te} Serie mit mittleren Temperaturen. 12½ und 16½, aber wie zu erwarten war, stieg die Luftwärme im Juni noch hinreichend, so dass bei Sommerwärme (22 bis 25° C) zwei neue Reihen genommen werden konnten.

Die Messungen am Comparator wurden in derselben Weise notirt, wie die Vergleichen des Glasmeters mit dem Normalmeter, 1^{te} Abtheilung S. 60, nur geschah dies mit dem Unterschiede, dass zwar vor und nach den Ablesungen zwei Thermometer abgelesen wurden, diese aber nicht in einem Wassertroge, sondern auf den beiden zu vergleichenden Metern lagen; bei No. 27 in der Hölzling, welche die Gestalt des Meters anbot, (siehe den Holzschnitt S. 9), bei dem Normalmeter zwischen dem Zink- und dem Stahlmeter. Um das letzte Thermometer ablesen zu können, musste demnach der umhüllende eiserne Cylinder α (1^{te} Abtheilung Fig. 27) herabgenommen werden.

Die periodischen Ungleichheiten der Mikrometerschrauben wurden ein und für allemal*, und die Gänge der Schrauben, welche wegen der kleinen Aenderungen der Entfernung des Objectes nicht constant sein konnten, bei jeder Reihe des Offens auf das Genaueste bestimmt.

Die Correctionen der Resultate für Gang und periodische Ungleichheiten der Mikrometerschrauben waren, (siehe 1^{te} Abtheilung S. 61):

* Bei der Bestimmung der periodischen Ungleichheit einer Schraube in einem Bepold'schen Mikrometer kann man, wenn man dazu die Distanz der Ablesefäden benutzt, entweder den Strich, mit dessen Hilfe dies geschieht, unverrückt lassen, und die kleine Schraube ζ (1^{te} Abtheilung Fig. 28), welche als Stützpunkt für die Mikrometerschraube dient, benutzen um die Fäden zu verstellen, oder diese Schraube unverrückt lassen, und den Strich verschieben. Die letztgenannte Methode ist meines Erachtens die bessere, und wurde auch befolgt. Solaki nämlich die Achse der Schraube ζ der Achse der Mikrometerschraube nicht vollkommen parallel, und ihre Endfläche, gegen welche die Mikrometerschraube sich stützt, nicht vollkommen auf diese beiden Achsen senkrecht ist, so werden, wenn die Schraube ζ gedreht wird, neue periodische Ungleichheiten hineingeleitet, welche aber bei den gewöhnlichen Ablesungen der Mikrokope nicht vorkommen. Die kleine Schraube wurde also nicht berührt, sondern das Normalmeter jedesmal etwas verschoben. Die Schrauben zeigten sich vorzüglich, die Formeln für ihre Correction waren für

$$\text{Mikroskop I: } 0,0257 \sin (121^\circ 15' + n) + 0,0055 \sin (331^\circ 4' + 2n).$$

$$\text{II: } 0,118 \sin (321^\circ + n) + 0,075 \sin (191^\circ + 2n).$$

Nachdem mittels dieser Formel Correctionstafeln berechnet waren, wurden, behufs Controlirung, die zu dieser Bestimmung angewandten Messungen des Fadenschnittes verlesen und die so erhaltenen Zahlen stimmten innerhalb kleiner Ablesefelder überein.

von Ns — A : (1) — (2) — (3) + (6) + (I—IV) g + (VI—II) g',

von Nz — A : (1) — (2) — (5) + (5) + (I—II) g + (V—III) g'.

Ich werde nun die Ergebnisse der 96 Vergleichen folgen lassen. Die erste Columne gibt das Datum, die 2^{te} die Tages-Epoche, in welcher die Ziffer 1 eine Morgens-, 2 eine Nachmittags- und 3 eine Nachtbeobachtung bedeutet. Die 5^{te} Columne enthält die Temperatur des Normalmeters; die vierte N₁—A, d. h. den durch die Messung gefundenen Uebermass der Stahlstange über den Mètre des Archives,* zu welchem Resultate die verbesserte Anweisung des Thermometers, welches auf N° 27 lag, und die Fizeau'sche Formel benutzt wurden. Die fünfte Columne gibt die Ueberreste ε, (Rech-

VERGLEICHUNGEN DES NORMALMETERS

Erste Reihe (Normalmeter Ost)

Monat und Tag, 1883	Tage- Zeit.	C	N ₁ —A	ε	R—B	N ₁ —A	ε	R—B
II 20	2	4.79	+ 13μ35	—0μ38	—229μ30	—0μ48		
"	3	5.85	30.40	—1.11	198.85	+0.32		
"	1	6.19	34.00	—1.07	186.82	—1.68		
21	2	6.79	41.42	—2.05	170.35	—0.42		
"	3	7.25	45.11	—0.80	157.50	+0.34		
"	1	7.42	44.88	+1.25	153.95	+1.82		
22	2	7.93	51.62	0.00	137.03	+0.01		
"	3	7.90	51.61	—0.31	136.72	—1.19		
"	1	6.85	41.07	—1.06	147.10	—1.90		
23	2	7.54	48.32	—0.89	148.14	—0.44		
"	3	7.13	45.21	—2.19	157.85	—2.86		
"	1	6.24	33.31	+0.16	186.02	—1.00		

Dritte Reihe (Normalmeter Ost)

Monat und Tag, 1883	Tage- zeit.	C	N ₁ —A	ε	R—B	N ₁ —A	ε	R—B
III 11	3	1.02	—20μ97	—1μ04	—337μ77	—2μ04		
"	1	0.31	29.86	+0.37	359.16	—1.81		
"	2	0.47	28.48	+0.68	355.30	—1.60		
12	2	2.06	10.59	—0.44	311.07	+1.10		
"	3	1.16	—19.71	—0.83	334.14	—2.05		
15	1	0.24	—30.22	—0.01	364.78	—1.28		
"	3	1.19	—20.64	+0.42	336.12	+0.71		
16	1	1.40	—20.15	+2.15	331.05	+1.84		
"	2	3.26	+ 1.52	+0.17	275.95	+1.28		
30	2	4.07	+ 11.25	—0.95	252.25	+1.25		
"	1	5.22	+ 25.25	—2.80	216.85	—0.50		
31	3	6.34	+ 34.65	—3.11	186.56	+2.30		

Zweite Reihe (Normalmeter West)

Monat und Tag, 1883	Tage- Zeit.	C	N ₁ —A	ε	R—B	N ₁ —A	ε	R—B
III 6	2	5.23	+ 24μ08	—1μ41	—216μ56	—0μ26		
"	3	5.19	+ 22.89	—0.65	—217.32	—0.68		
"	1	4.26	+ 15.64	—3.32	—239.03	—6.34		
7	2	4.44	+ 15.77	—1.53	—238.16	—1.92		
"	3	4.03	+ 11.01	—1.14	—249.93	—2.20		
"	1	3.03	0.10	—0.85	—278.17	—3.32		
8	2	2.90	— 1.82	—0.31	—283.38	—1.93		
"	1	1.66	—16.07	+0.81	—320.13	—1.48		
9	2	2.245	— 7.39	—1.68	—302.00	—2.50		
10	1	—3.70	—73.17	+1.76	—480.56	+3.14		
"	2	—1.10	—46.56	+2.27	—406.16	+4.08		
"	3	—1.09	—45.68	+1.50	—402.92	—1.13		

Vierte Reihe (Normalmeter West)

Monat und Tag, 1883	Tage- zeit.	C	N ₁ —A	ε	R—B	N ₁ —A	ε	R—B
IV 2	1	7.48	+ 44μ89	+1μ89	—151μ24	+0μ30		
"	2	9.02	61.43	+1.95	—108.34	+3.04		
"	3	9.37	65.70	+1.47	—95.97	+1.74		
"	1	9.26	65.21	+0.76	—97.71	+0.11		
4	2	10.32	76.81	+0.64	—69.50	+3.30		
"	3	10.31	74.82	+2.53	—69.00	+2.70		
"	1	9.08	60.67	+3.36	—104.75	+1.80		
5	2	10.40	76.45	+1.87	—68.41	+4.79		
"	3	10.88	84.68	—1.15	50.52	+1.21		
"	1	9.77	68.75	+2.74	82.75	+0.37		
6	2	9.79	69.70	+2.01	83.94	+2.10		
"	3	9.30	+ 63.53	+2.88	96.53	+0.11		

Summe der positiven

" " negativen

* Als ich diese Vergleichen redactete, war der Bericht von Herrn Prof. Buscha noch nicht gedruckt, und ich nahm also für die Länge des Meters N° 27 bei 0° C, den mir von ihm mitgetheilten Werth 1m, 000 006 32 an. Nach wiederholter Reduction

nung-Beobachtung) an, welche durch Substitution der endgültigen Werthe der Unbekannten x , y , und z in die Formel

$$\text{Länge der Stahlstange} = x + y t + z t^2$$

gefunden wurden. Die 6^{te} Columne $N_{\text{—A}}$ ist eigentlich durch Addirung von $N_{\text{—A}}$ und $N_{\text{—N}}$ gefunden, welche letzte Grösse früher berechnet war, wie bei den in der 1^{ten} Abtheilung besprochenen Messungen geschehen musste. Die 7^{te} Columne endlich zeigt wieder für die Zinkstange die übrigbleibenden Fehler $R = B$ an.

VEREINIGT DEM PLATIN-IRIDIUM-METER No. 27.

Fünfte Reihe (Normalmeter West)							Siebente Reihe (Normalmeter West)						
N-1 donat nd Tag: 1883	Tag- zeit.	C	N _{—A}	R _{—B}	N _{—A}	R _{—B}	Monat und Tag: 1883	Tag- zeit.	C	N _{—A}	R _{—B}	N _{—A}	R _{—B}
18	1	11'85	+ 93 μ 42	+0 μ 68	— 22 μ 06	+2 μ 32	VI 28	1	18'91	+168 μ 61	+3 μ 23	+192 μ 27	—0 μ 01
19	2	12,90	106,05	—0,50	+ 8,90	+3,08	29	2	20,79	190,05	+2,77	245,28	+4,14
20	3	13,12	107,58	+0,38	+13,93	+3,74	30	3	21,56	201,55	—0,10	271,97	+0,92
21	1	11,96	95,31	—0,02	—15,96	—1,09	VII 1	1	22,03	204,80	+1,92	286,79	+0,44
22	2	12,71	102,92	+0,55	+ 2,40	+2,99	2	2	23,34	216,73	+4,73	321,72	+5,57
23	3	12,53	104,64	—3,13	+ 1,63	—1,63	3	3	23,08	218,64	—0,11	318,64	+0,69
24	1	12,53	100,84	+0,66	— 0,21	—0,21	4	4	21,54	201,27	—0,03	273,10	—0,82
25	2	13,11	107,24	+0,61	+18,34	—0,97	5	5	23,28	220,15	+0,64	322,34	+2,51
26	3	13,33	110,05	+0,20	+24,06	—0,10	6	6	23,30	219,41	+1,60	325,23	+0,84
27	1	11,51	92,68	—2,29	—23,58	—6,92	7	7	21,86	201,36	+3,48	282,68	—0,64
28	2	13,45	110,30	+1,27	+25,92	+1,64	8	8	23,47	217,42	+5,51	326,75	+4,52
29	3	14,14	+121,84	—2,71	+50,74	—2,47	9	9	23,83	+224,72	+2,27	+339,87	+2,43
Sechste Reihe (Normalmeter Ost)							Achte Reihe (Normalmeter Ost)						
27	1	13'87	+116 μ 30	—0 μ 13	+ 43 μ 18	—3 μ 02	VII 4	3	23'86	+229 μ 83	—2 μ 50	+342 μ 06	+0 μ 26
28	2	15,71	134,94	+1,46	+ 94,61	+0,90	5	1	21,65	203,40	—0,94	276,02	—0,39
29	3	16,29	144,38	—1,58	+113,12	—0,13	6	2	22,38	212,12	—1,46	298,91	—0,98
30	1	15,31	131,50	+0,49	+ 84,08	—0,62	7	3	20,81	197,66	—4,61	254,83	—4,81
31	2	16,57	146,50	—0,61	—121,72	—0,27	8	4	22,07	207,61	—0,44	288,61	—0,16
32	3	17,71	160,52	—2,01	+156,04	—0,14	9	5	22,07	210,62	—3,45	291,71	—3,36
33	1	17,01	150,31	+0,45	+134,13	+0,61	10	6	21,11	198,19	—1,78	261,61	—2,45
34	2	17,56	155,94	+0,91	+149,90	+1,47	11	7	21,85	203,97	+0,73	281,28	+0,46
35	3	17,15	154,50	—2,19	+140,02	—1,05	12	8	21,43	201,57	—1,58	271,39	—2,47
36	1	15,78	137,37	—0,20	+ 98,92	—1,30	13	9	20,04	187,34	—2,90	232,82	—6,23
37	2	17,04	152,38	—1,29	+135,61	+0,03	14	10	21,03	197,32	—1,81	257,48	—0,75
38	3	17,05	+148,20	+3,00	+131,49	+4,45	15	11	21,15	+201,47	—4,62	264,69	—4,31
Stahl. Zink.													
mit 71,18		+ 87,01											
mit 71,07		— 87,02											

Stahl. Zink.

71,18 + 87,01
71,07 — 87,02

wurde dieser Werth aber um 0,21 Mikron kleiner gefunden, welche Correction später angebracht werden wird.

Um aus diesen Messungen die Unbekannten x , y , z abzuleiten, wurden, wie bereits oben erwähnt, je zwei Reihen combinirt, wodurch vier Endgleichungen erhalten wurden. Der Coefficient des y war in diesen Endgleichungen $= \frac{1}{2} [1]$; um die Sicherheit zu erhalten, dass nachher die Summe der $\epsilon = 0$ gefunden würde, musste der Coefficient der z aber $= \frac{1}{2} [1]$, und nicht $= \frac{1}{2} [1]$ angenommen werden.

Diese Endgleichungen waren:

Reihen:

Nennen:				Stahl.	Zink.		
2 und 5	$x +$	2,2427	$y +$	10,02 $z = -$	8,715	$-$	505,847
1 " 4	$x +$	8,2025	$y +$	69,95 $z = +$	54,081	$-$	129,512
5 " 6	$x +$	14,59125	$y +$	217,06 $z = +$	124,405	$+$	61,895
7 " 8	$x +$	21,935	$y +$	482,59 $z = +$	205,058	$+$	284,564

deren Lösung durch die Methode der kleinsten Quadrate zu folgendem Resultate führte:

$$N_x = \text{Stahlstange} = A - 52,7485 + 10,50985 t + 0,01656 t',$$

$$N_z = \text{Zinkstange} = A - 570,0664 + 29,15554 t + 0,05185 t',$$

Also

$$N_x - N_z = -537,5179 + 18,62549 t + 0,01547 t'.$$

Dieser Ausdruck ist 0 für $t = 17,8460$. Setzt man also $t = 17,846 + \delta$, so hat man:

$$N_x = A + 160\mu,020 + 11\mu,09576 \delta + 0\mu,01656 \delta',$$

$$N_z = A + 190,020 + 50,27142 \delta + 0,05185 \delta',$$

Mithin:

$$N_x - N_z = A + 160\mu,02,$$

oder, mit Rücksicht auf die in der letzten Note besprochenen Correction:

$$N_x = A + 159\mu,81 = 1,00015981 \text{ Meter und:}$$

$$N_z - N_x = 19\mu,17766 \delta + 0\mu,01547 \delta',$$

$$T = \frac{11,09576 + 0,01655 \delta}{19,17766 + 0,01547 \delta} = 0,57847 + 0,0005864 \delta.$$

Das Studium der für ϵ erhaltenen Wertho giebt zu verschiedenen Folgerungen Anlass. Nach ihrer Grösse geordnet, folgen sie, in Betreff ihrer Zahl, zwischen bestimmten Grenzen ziemlich genau dem Exponentialgesetze. Die Quadraturung giebt nämlich;

	Stahl.	Zink.
95 m' =	542,71	547,09
m' =	5,685	5,88
m = \pm	$\pm 1\mu,02$	$\pm 2\mu,425$
w = \pm	$\pm 1\mu,295$	$\pm 1\mu,64$

Und die Abtheilung der Fehler gab:

	Rechnung.	Stahl.	Zink.
0 - $\frac{1}{2}$ w	25	50	52
$\frac{1}{2}$ w - 1 w	25	25	21
1 w - $1\frac{1}{2}$ w	18	15	15
$1\frac{1}{2}$ w - 2 w	15	11	15
2 w - $2\frac{1}{2}$ w	8	9	5
$2\frac{1}{2}$ w - 3 w	4	4	6
3 w - $3\frac{1}{2}$ w	2	0	1
$3\frac{1}{2}$ w - 4 w	1	5	2
4 w - $4\frac{1}{2}$ w	1	1	1

Dennoch sind die ϵ viel grösser, als sie nach der Genauigkeit der Einstellung und Ablesung sein sollten. Combinirt man die ϵ je drei, so dass man Tagesmittel erhält, so sollte man, falls meine Absicht, den Einfluss der täglichen Temperaturperiode zu eliminiren, erreicht worden war, den Werth von m' bis auf weniger als ein Drittel zurückbringen. Dies war aber keineswegs der Fall.

Ich erhielt:

	Stahl.	Zink.
29 m'	75,70	105,56
m'	2,54	5,64

Hieraus erhellt also, dass die tägliche Periode nicht die Hauptursache der Abweichungen gewesen ist: das Nachbleiben der Metalle beim Steigen oder Fallen der mittleren Lufttemperatur, (welches also das Nachbleiben des Quecksilbers in den Thermometern übertrifft.) übte einen stärkeren Einfluss aus. In dieser Hinsicht sind also die Vergleichen zu Utrecht unter ganz anderen Umständen angestellt, als die früheren in Batavia; dort war die tägliche Periode am fühlbarsten, hier die jährliche; wozu der Ort des Comparators im Meridiansaale der Sternwarte, wo der tägliche Temperaturwechsel ziemlich geringe ist, freilich viel beigetragen hat.

Sehen wir nun, was die Reihen geben. Wir finden:

	Stahl.	Zink.
5 m'	12,94	12,90
m'	2,59	2,58

Es hat also nicht viel geholfen, dass ich jedesmal die Vergleichen 4 Tage lang fortsetzte. Ist eine Stange einmal etwas zu lang oder zu kurz, so scheint also dieser Zustand während einiger Zeit bleibend zu sein, bis ein starker Temperaturwechsel darin Aenderung bringt.

Gehen wir noch weiter, und combiniren wir die 2^e und 3^e, die 1^e und 4^e, die 5^e und 6^e, sowie endlich die 7^e und 8^e Reihe, wo also der Einfluss der Lage der Meter eliminirt worden ist, so erhalten wir:

	Stahl.	Zink.
(4—5) $m' = m'$	0,59	0,55

Diese Gleichung ist zwar befriedigend, lässt aber wegen des zu kleinen Coefficienten von m keinerlei Schlüsse zu.

Die Lage der Meter scheint einen geringen Einfluss auf ihre Länge gehabt zu haben. Im Winter, also bei den 4 ersten Reihen, wäre dies dadurch zu erklären; dass sich an der Ostseite des Meridiansaals die Thüre des Auditoriums befand, wo fast jeden Tag geheizt wurde.* Im Sommer war solche Ursache nicht anzugeben. An der Westseite konnte die Sonne die Fenster bescheinen, diese waren aber mit Vorhängen und Läden versehen, welche letztere immer geschlossen gehalten wurden. Der Einfluss der Lage der Meter würde aus den folgenden Werthen von ϵ bemerkbar sein:

* Allenfalls ist aber nicht zu vergessen, dass die eventuelle Wärme dieser Thür durch Strahlung die Ostseite des Comparators einschliessenden Kasten erwärmen musste, und dass weiter doch nichts von diesem Einfluss wurde bemerkt werden, wenn die Thermometer nur die richtige Temperaturen der Meter anzeigten.

Normalmeter Ost.				Normalmeter West.			
	Stahl.	Zink.			Stahl.	Zink.	
1 ^e Serie	— 0 μ ,70	— 0 μ ,91		2 ^e Serie	— 0 μ ,295	— 1 μ ,02	
5 ^e „	— 0 ,20	— 0 ,06		4 ^e „	+ 1 ,745	+ 1 ,95	
6 ^e „	— 0 ,14	+ 0 ,08		5 ^e „	— 0 ,56	+ 0 ,07	
8 ^e „	— 2 ,11	— 2 ,09		7 ^e „	+ 2 ,16	+ 1 ,71	

Vergleichen wir aber die zu einander gehörenden Reihen, so finden wir für Normalmeter West — Normalmeter Ost:

	Stahl.	Zink.
4 ^e — 1 ^e Serie	+ 2 μ ,445	+ 2 μ ,84
2 ^e — 5 ^e „	— 0 ,095	— 0 ,96
5 ^e — 6 ^e „	— 0 ,22	— 0 ,01
7 ^e — 8 ^e „	+ 4 ,27	+ 5 ,80

Man sieht also, dass das erste und letzte Reihenpaar für, die beiden mittleren gegen einen Einfluss der Wärme der genannten Thüre, oder für einen in anderem Sinne zeugen. Betrachtet man die Temperaturen, so gewährt man dass sie bei der siebenten Reihe steigend, bei der achten fallend war, während bei der 2^{ten} Reihe die Temperatur fallend, bei der 5^{ten} steigend war, das Zeichen der Differenz aber auch umgekehrt ist, die Differenz selbe aber viel kleiner.

Fügt man von allen Beobachtungen die Morgen-, Nachmittags- und Abend-Differenzen ϵ zusammen, so hat man im Mittel die Abweichungen:

	Stahl.	Zink.
Morgen	+ 0 μ ,15	— 1 μ ,06
Nachmittag	+ 0 ,42	+ 1 ,22
Abend	— 0 ,54	— 0 ,15

Es scheint also dass, wenigstens beim Zink, an das Vorhandensein einer täglichen Periode gedacht werden muss. Die dreimalige Beobachtung an jedem Tage, entleert immermehr der Sorge hierüber.

ERGÄNZUNG ZUR ZWEITEN ABTHEILUNG.

§ Neuberechnung der Länge der Basis bei Simplik.

Wir haben gefunden, II Abtheilung S. 50, für die zur Meeresoberfläche reducirten drei Basis-theile (Einheit = 1 Meter):

$$\begin{aligned}
 \text{I II} &= 158 \text{ S.} + 5 \text{ I.} + 2 \text{ IV.} + 1,9227 + 0,1161 \text{ P} + 0,1800 \text{ Q} + 0,0120 \text{ R} + 0,0265 \text{ S} \\
 \text{II III} &= 100 \text{ S.} \quad \quad \quad - 0,1602 + 0,0753 \text{ P} + 0,1155 \text{ Q} + 0,0080 \text{ R} + 0,0165 \text{ S} \\
 \text{III IV} &= 151 \text{ S.} + 1 \text{ I.} + \text{ IV.} - 0,2618 + 0,0965 \text{ P} + 0,1485 \text{ Q} + 0,0217 \text{ R} + 0,0104 \text{ S}
 \end{aligned}$$

Diese drei Theile bilden die nachstehenden Winkel mit der graden Linie I IV:

I	II	4° 26' 45",652	= α
II	III	4 52 12,165	= β
III	IV	8 52 25,158	= γ

Mit den Cosinus dieser Winkel multiplieirt, werden die drei Theile

$$\begin{aligned}
 \text{I II Cos } \alpha &= 157,52457 S_o - 2,990972 I_o + 1,993982 IV_o + 1,9169 + 0,11575 P + 0,1795 Q + 0,0120 R + 0,0264 S \\
 \text{II III Cos } \beta &= 99,68609 S_o - 0,1597 + 0,07327 P + 0,1129 Q + 0,0080 R + 0,0164 S \\
 \text{III IV Cos } \gamma &= 129,43205 S_o + 0,988031 I_o + 0,988031 IV_o - 0,2587 + 0,09535 P + 0,1465 Q + 0,0214 R + 0,0103 S
 \end{aligned}$$

$$\text{Basis I IV} = 386,61431 S_o + 3,979005 I_o + 2,982013 IV_o + 1,4983 + 0,28437 P + 0,4389 Q + 0,0414 R + 0,0331 S$$

Substituiren wir hierin die in der vorigen § gefundenen Werthen von S_o , I_o , u. s. w., so finden wir:

586,64551	S_o	=	5 866,4554	N_o	--	0,1205	--	0,2256	T
+	3,979005	I_o	=	15,9160	N_o	--	0,0010	--	0,0004 T
+	2,982015	IV_o	=	2,9820	N_o	--	0,0000	--	0,0000 T
+	1,4985					+	1,4985		
+	0,28457	P	=			--	0,0007	+	0,2875 T
+	0,4589	Q	=			+	0,0055	+	0,4564 T
+	0,0414	R	=			--	0,0004	+	0,0454 T
+	0,0551	S	=			--	0,0004	+	0,0598 T
<hr/>									
Basis	I IV	=	5 885,5511	N_o	+	1,5810	+	0,6229	T.

Bei der Basismessung bei Simlak war die mittlere Temperatur 28°,2 C, welche sehr nahe der mittleren Temperatur entsprach, wobei die Vergleichen auf dem Comparator zu Batavia angestellt worden waren. Es scheint nun rationell, denjenigen Werth für T einzuführen, welcher für 28°,2 C, also für $\theta = 10^\circ,554$ gilt, d. h. $T = 0,58247$.

Durch Substitution von diesem Werth und von $N_o = 1,000 159 81$ wird gefunden:

$$\begin{aligned}
 \text{Basis von Simlak I IV} &= 5885,9520 \\
 &+ 1,5810 \\
 &+ 0,5628 \\
 &= 5887,6958 \quad \text{Mètres des Archives.} \\
 \log \text{ I IV} &= 5,589 6922.75 \quad (\text{auf dreifache Art genau berechnet}).
 \end{aligned}$$

Diese Länge ist um 0,0142 Meter kürzer als in der zweiten Abtheilung gefunden war.

§ 5. Die Verbindung der Basis bei Simplak mit der secundären Seite Poetri-Salak. (*)

Die Basis bei Simplak, welche sich nurweit Buitenzorg, nach einer vorläufigen Ausgleicheung in einer Höhe von 157 bis 195 Metern über den mittleren Stand des Meeres befindet, wurde, wie schon in der zweiten Abtheilung gesagt ist, auf einem hart angestampften Fahrweg gemessen. Ringsumher waren Dörfer, Gärten der Eingeborenen, ein Landhaus und überhaupt viele Bäume, wodurch es ziemlich schwierig wurde die Basis mit dem Dreiecksnetze zu verbinden. Schliesslich wurde eine ziemlich gute Verbindung mit der secundären Seite Poetri-Salak I dargestellt, und zwar mittels der Punkte Boeboet, Tjitjadas und Mentjereh.

Auf sämtlichen Punkten wurden die zum Verbindungsnetze gehörenden Richtungen, von Herrn Ingenieur Woldrigh, mit dem 10 zölligen Universal-Instrument Gruss P. M. II gemessen, nur auf Salak I wurden die Messungen von Herrn Assistenten J. A. Oudemans angestellt und zwar mit einem 8 zölligen Universal-Instrument, P. M. V. Durchgängig wurde auf Heliotrope visirt, welche in der Mitte der Pfeiler aufgestellt waren. Auch die Instrumente selbst waren, wie fast immer, genau mit der Vertikal-Achse über die Mittelpunkt der viereckigen, zum Einstecken der Heliotrop-Pflocke dienenden Löcher aufgestellt, sodass beide Arten Reductionen auf das Centrum der Station wegfelen.

Wir werden nun die betreffenden Messungen, sammt den Resultaten und den Gleichungen zwischen den Correctionen (1), (2) n. s. w. und den Grössen [1], [2], n. s. w. mittheilen. Die Rechnungen wurden bei dieser ersten Basisverbindung auf die Besselsche Art ausgeführt; später aber habe ich der Kürze und Einfachkeit halber, die Gewichte aller ausgeglichenen Richtungen gleich gestellt, ein Verfahren welches Gauss bereits angewandt, und von Herrn Oberst-Lieutenant (jetzt General) Schreiber verteidigt wurde. (Zeitschrift für Vermessungswesen, 1879, S 141; Jordan, Höhere Geodäsie und Topografie des deutschen Reichs, in Jordan und Steppes, das deutsche Vermessungswesen, I Band. S. 11.)

Die Summen der Quadratfehler (V') sind nach einer Formel berechnet, welche eine Vereinfachung der in den Rechnungsvorschriften der k. Preuss. Landestriangulation (Hauptdreiecke, I Theil, pag. 5) gegebenen bezweckt, und welche Herr Prof. Scholz mir gütigst mitgetheilt hat. In der Notation der Landestriangulation würde die Formel heissen:

$$\begin{aligned} [p V'^2] &= [p m^2] - \left[\frac{m^2}{p} \right] - \left[p' m \right] - \left[p' \frac{m}{p'} \right] + A \\ &\quad - \left[p' m' \right] - \left[p' \frac{m'}{p'} \right] + B \\ &\quad - \text{n. s. w.} \dots \dots \dots (1) \end{aligned}$$

Es beziehen sich hier die viereckigen Klammern auf analoge Grössen, welche zu verschiedenen Rundgängen gehören, sie deuten also eine Summirung vertikal über einander stehender Zahlen vor; doppelte Klammern $[[]]$ bedeuten eine Summirung, sowohl in vertikalem als horizontalem Sinne.

p sind die Gewichte, d. h. = 1, wenn ein Object beobachtet ist (†), und = 0, wenn es nicht beobachtet ist;

(*) Hinsichtlich der Ortsnamen folge ich der holländischen Schreibart; Boeboet und Poetri wären a. R. deutsch Babut und Putri geschrieben worden.

(†) Wird, wie dies bei Salak I der Fall war, das Gewicht für jede Beobachtung nicht = 1 gewonnen, so kann man doch vorläufig $p = 1$ setzen, und nachher die Endgleichung mit p multiplizieren.

m sind die beobachteten Richtungen, mit einer runden Sekundenzahl vermindert,
 P in jedem Umgänge die Summe der p ,
 M in jedem Umgänge die Summe der $p\ m$; sind also alle p entweder $= 1$ oder $= 0$, so ist
 P in jedem Umgänge die Zahl der beobachteten Richtungen, und M die Summe der Ablesungen;
 n die Zahl der Rundgänge,
 P' die übrigenbleibenden Fehler,
 A, B, C, \dots die resultirenden wahrscheinlichsten Winkel zwischen der ersten (Null-) Richtung und die folgenden.

Die Ausdrücke zwischen $||$, mit welchen A, B, \dots in obiger Formel multiplicirt sind, sind offenbar die ersten Theile der Normalgleichungen, welche gewöhnlich durch die Notation (an) , (bn) angedeutet werden. Dass weiter $|| A || || B || + u$, s. w. auch durch $\frac{(an)^2}{(aa)} + \frac{(bn)^2}{(bb)} + u$, s. w. ersetzt werden können, braucht wohl kaum erwähnt zu werden.

Bei den Stationen I, Tjitjadas, Poetri und Boeboet, wo bloss sechs vollständige Rundgänge gemessen sind, wird die Formel einfacher. Es ist nämlich

$$P' = P' = P' = \dots = 1$$

$$A = \frac{1}{n} [m] \quad B = \frac{1}{n} [m'] \dots$$

P ist weiter für alle Rundgänge constant und die Formel wird:

$$\begin{aligned} \left[[P P'] \right] &= (P' P') \text{ bei der Landesvermessung} \\ &= \left[[m^2] \right] - \frac{1}{n} \left[[m]^2 \right] - \frac{1}{P} \left[[M^2] \right] - \frac{1}{n} \left[[M]^2 \right] \end{aligned} \quad (2)$$

In der Formel (1) ist, wie man leicht sieht:

$$\left[[P m^2] \right] - \left[\frac{m^2}{P} \right] = (P' P') \text{ bei der Landesvermessung.}$$

NOERDLICHER ENDPUNKT DER BASIS, Pmkt I.

Beobachter: Woldringh. Instrument: (10 z.) Gross, P. M. II.

N.		Fern- rohr.	IV.	IV	Tjitjadas	Boeboet
				Heliotrop.	Heliotrop.	Heliotrop.
	1876			0° 0'	57° 17'	110° 48'
1	Juni 24	L. u. r.	0° 0'	0°,00	21°,37	45°,60
2	" 25	"	120 6	0,00	21,20	49,87
3	" 25	"	240 14	0,00	21,12	46,14
4	" 26	"	30 15	0,00	22,38	47,09
5	" 27	"	150 22	0,00	21,82	47,50
6	" 28	"	270 28	0,00	21,81	46,96

Annahme:	IV	0°	0'	0"	
	Tjitjadas	57	17	21	+ A
	Boeboet	110	48	45	+ B

NORMALGLEICHUNGEN.

$$\begin{aligned} - 1,92 &= + 4 A - 2 B \\ + 7,54 &= \quad \quad \quad + 4 B \end{aligned}$$

ENDGLEICHUNGEN.

$$\begin{aligned} - 1,92 &= + 4 A - 2 B \\ + 6,58 &= \quad \quad \quad + 5 B \end{aligned}$$

$$A = + 0,6167$$

$$B = + 2,1955$$

RESULTAT.

IV	0°	0'	0",0000	
Tjitjadas	57	17	21,6167	+ (1)
Boeboet	110	48	47,1955	+ (2)

GEWICHTSGLEICHUNGEN.

$$\begin{aligned} (1) &= + 0,5555 [1] + 0,1667 [2] \\ (2) &= + 0,1667 [1] + 0,5555 [2] \end{aligned}$$

$$\begin{aligned} n &= 6 \\ p &= 5 \\ \left. \begin{aligned} - \frac{1}{n} [m^2] &= - 45,26 \\ - \frac{1}{p} [M^2] &= - 51,15 \\ - \frac{1}{p} \left\{ M^2 - \frac{1}{n} [M]^2 \right\} &= - 5,86 \end{aligned} \right\} \begin{aligned} [m^2] &= 45,26 \\ [M]^2 &= - 51,15 \\ [M]^2 &= - 5,86 \end{aligned} \\ (P/P') &= 8,25 \dots \dots \dots \text{Divisor } 10. \end{aligned}$$

SUEDLICHER ENDPUNKT DER BASIS, Punkt IV.
Beobachter: Woldringh. Instrument: (10 z.) Gross P. M. II.

N°.	1876	L.	Fern- rohr.	I Heliotrop.	Salak Heliotrop.	Tjitjadas Heliotrop.	Mentjereh Heliotrop.	Boeboet Heliotrop.
				0° 0'	191° 8'	257° 52'	297° 47'	326° 31'
1	Aug. 12	0° 0'	L. v. r.	0°,00	10°,15			
2	" 13	120 7	"	0,00	10,76			
3	" 14	240 14	"	0,00	9,39	30°,40	30°,61	38°,17
4	" 15	30 1	"	0,00	10,70	31,57	33,30	40,15
5	" 16	150 22	"	0,00	9,90	33,14	34,91	40,15
6	" 19	270 29	"	0,00	9,51	30,81	34,13	42,51
7	" 14	0 0	"	0,00		33,40	33,40	39,15
8	" 16	120 6	"	0,00		31,46	34,99	41,34

Annahme:	I	0°	0'	0"
	Salak I	191	8	10 + A
	Tjitjadas	257	52	51 + B
	Mentjereh	297	47	55 + C
	Boeboet	526	51	40 + D

NORMALGLEICHUNGEN.

$$\begin{aligned}
 -0,415 &= +4,2 A - 0,8 B - 0,8 C - 0,8 D \\
 +2,21 &= \quad \quad +4,7 B - 1,5 C - 1,5 D \\
 +1,79 &= \quad \quad \quad +4,7 C - 1,5 D \\
 -1,58 &= \quad \quad \quad \quad +4,7 D
 \end{aligned}$$

ENDGLEICHUNGEN.

$$\begin{aligned}
 -0,415 &= +4,2 A - 0,8 B - 0,8 C - 0,8 D \\
 +2,1510 &= \quad +4,5476 B - 1,4524 C - 1,4524 D \\
 +2,5917 &= \quad \quad +4,0857 C - 1,9165 D \\
 +0,1442 &= \quad \quad \quad +5,1845 D
 \end{aligned}$$

$$\begin{aligned}
 A &= +0,1544 \\
 B &= +0,6769 \\
 C &= +0,6070 \\
 D &= +0,0452
 \end{aligned}$$

RESULTAT.

I	0°	0'	0",00
Salak I	191	8	10,1544 + (5)
Tjitjadas	257	52	51,6769 + (4)
Mentjereh	297	47	55,6070 + (5)
Boeboet	526	51	40,0452 + (6)

GEWICHTSGLEICHUNGEN.

$$\begin{aligned}
 (5) &= 0,5044 [5] + 0,1159 [4] + 0,1159 [5] + 0,1159 [6] \\
 (4) &= 0,1159 [5] + 0,5140 [4] + 0,1474 [5] + 0,1474 [6] \\
 (5) &= 0,1159 [5] + 0,1474 [4] + 0,5140 [5] + 0,1474 [6] \\
 (6) &= 0,1159 [5] + 0,1474 [4] + 0,1474 [5] + 0,5140 [6]
 \end{aligned}$$

$$\begin{aligned}
 [m^2] &= +57,98 \\
 -\left[\frac{M}{P}\right] &= -15,15
 \end{aligned}$$

$$\begin{aligned}
 - (an) A - (bn) B - \dots &= -2,45 = -\frac{(an)^2}{aa} - \frac{(bn \cdot 1)^2}{(bn \cdot 1)} \dots \\
 (N'') &= 20,40 \dots \dots \dots \text{Divisor } 20.
 \end{aligned}$$

BOEDJOET.

Beobachter: Woldringh. Instrument: (10 z.) Gross P. M. II.

N ^o .	1876	Poetri	Fern- rohr.	Poetri Heliotrop.	I Heliotrop.	IV Heliotrop.	Salak I Heliotrop.	Tjitjadas Heliotrop.	Mentjereh Heliotrop.
				0° 0'	37° 51'	73° 34'	106° 58'	145° 26'	213° 23'
1	Juli 29	0° 0'	l. u. r.	0,00	66,02	58,35	39,53	37,16	25,46
2	" 29	120 6	"	0,00	62,60	54,80	40,00	35,47	21,60
3	" 31	240 14	"	0,00	59,92	51,39	35,29	31,65	20,46
4	Aug. 1	30 16	"	0,00	64,85	56,07	39,59	34,57	24,09
5	" 2	150 22	"	0,00	60,74	54,05	37,19	32,75	18,84
6	" 3	270 29	"	0,00	62,29	54,02	38,90	34,93	21,77

Annahme: Poetri	0°	0'	0"
I	57	51	59 + A
IV	75	54	51 + B
Salak I	106	58	55 + C
Tjitjadas	145	26	51 + D
Mentjereh	215	25	18 + E

NORMALGLEICHUNGEN.

$$\begin{aligned}
 + 4,0285 &= + 5 A - 1 B - 1 C - 1 D - 1 E \\
 + 4,2885 &= + 5 B - 1 C - 1 D - 1 E \\
 + 2,1085 &= + 5 C - 1 D - 1 E \\
 + 2,1585 &= + 5 D - 1 E \\
 + 5,8285 &= + 5 E
 \end{aligned}$$

ENDGLEICHUNGEN.

$$\begin{aligned}
 + 4,0285 &= + 5 A - 1 B - 1 C - 1 D - 1 E \\
 + 5,0940 &= + 4,8 B - 1,2 C - 1,2 D - 1,2 E \\
 + 1,1875 &= + 4,5 C - 1,5 D - 1,5 E \\
 + 5,6155 &= + 4 D - 2 E \\
 + 12,1100 &= + 5 E
 \end{aligned}$$

$$\begin{aligned}
 A &= + 5,7567 \\
 B &= + 5,7800 \\
 C &= + 5,4167 \\
 D &= + 5,4217 \\
 E &= + 4,0567
 \end{aligned}$$

RESULTAT.

Poetri	0"	0'	0",0000	
I	37	52	2,7567	+
IV	75	54	54,7800	+
Salak I	106	58	58,4167	+
Tjitjadas	145	26	54,4217	+
Mentjéré	215	25	22,0567	+

GEWICHTSGLEICHUNGEN.

$$\begin{aligned}
 (7) &= 0,3535 [7] + 0,1667 [8] + 0,1667 [9] + 0,1667 [10] + 0,1667 [11] \\
 (8) &= 0,1667 [7] + 0,3535 [8] + 0,1667 [9] + 0,1667 [10] + 0,1667 [11] \\
 (9) &= 0,1667 [7] + 0,1667 [8] + 0,3535 [9] + 0,1667 [10] + 0,1667 [11] \\
 (10) &= 0,1667 [7] + 0,1667 [8] + 0,1667 [9] + 0,3535 [10] + 0,1667 [11] \\
 (11) &= 0,1667 [7] + 0,1667 [8] + 0,1667 [9] + 0,1667 [10] + 0,3535 [11]
 \end{aligned}$$

$$\begin{aligned}
 n &= 6 & \frac{[m^2]}{n} &= + 526,85 \\
 & & - \frac{1}{n} [m] &= - 407,56 \\
 P &= 6 & - \frac{1}{P} [M^2] - \frac{1}{n} [M]^2 &= - 85,85 \\
 & & (P/P) &= 55,42 \quad \dots \dots \dots \text{Divisor } 25.
 \end{aligned}$$

Eine Controle-Rechnung, wobei $[m]$ für jede Richtung = 0, also auch $[M] = 0$ war, gab

$$\begin{aligned}
 \frac{[m^2]}{n} &= + 119,27 \\
 - \frac{1}{P} [M^2] &= - 85,85 \\
 (P/P) &= 55,42, \text{ wie oben.}
 \end{aligned}$$

TJITJADAS.

Beobachter: Woldringh. Instrument (10 z): Gross P. M. II.

N ^o .	1876	Mentjéré.	Fern- rohr.	Mentjéré Heliotrop.	Boeboet Heliotrop.	I Heliotrop.	Poetri Heliotrop.	IV Heliotrop.
				0° 0'	76° 4'	94° 58'	99° 29'	115° 34'
1	Juli 11	0° 0'	l. u. r.	0°,00	51°,81	54°,68	25°,71	4°,97
2	" 11	120 5	"	0,00	50,31	53,73	27,25	4,22
3	" 13	240 14	"	0,00	49,06	52,43	25,69	2,63
4	" 13	30 16	"	0,00	48,45	51,35	25,47	3,32
5	" 14	150 22	"	0,00	51,54	52,90	26,70	4,25
6	" 15	270 28	"	0,00	50,09	52,37	24,77	3,01

Annahme:	Mentjéré	0°	0'	0''	
	Boeboet	76	4	50	+ A
	I	94	58	52	+ B
	Poetri	99	29	25	+ C
	IV	115	54	5	+ D

NORMALGLEICHUNGEN.

$$\begin{aligned}
 - 2,082 &= + 4,8 A - 1,2 B - 1,2 C - 1,2 D \\
 + 2,118 &= \quad \quad + 4,8 B - 1,2 C - 1,2 D \\
 + 2,248 &= \quad \quad \quad + 4,8 C - 1,2 D \\
 + 1,058 &= \quad \quad \quad \quad + 4,8 D
 \end{aligned}$$

ENDGLEICHUNGEN.

$$\begin{aligned}
 - 2,082 &= + 4,8 A - 1,2 B - 1,2 C - 1,2 D \\
 + 1,5975 &= \quad \quad + 4,5 B - 1,5 C - 1,5 D \\
 + 2,2600 &= \quad \quad \quad + 4,0 C - 2,0 D \\
 + 2,2000 &= \quad \quad \quad \quad + 5,0 D
 \end{aligned}$$

$$A = + 0',2100$$

$$B = + 0',9100$$

$$C = + 0',9317$$

$$D = + 0',7535$$

RESULTAT.

Mentjéré	0°	0'	0'',0000	
Boeboet	76	4	50,2100	+ (12)
I	94	58	52,9100	+ (15)
Poetri	99	29	25,9317	+ (14)
IV	115	54	5,7535	+ (15)

GEWICHTSGLEICHUNGEN.

$$\begin{aligned}
 (12) &= 0,5555 [12] + 0,1667 [13] + 0,1667 [14] + 0,1667 [15] \\
 (15) &= 0,1667 [12] + 0,5555 [15] + 0,1667 [14] + 0,1667 [15] \\
 (14) &= 0,1667 [12] + 0,1667 [15] + 0,5555 [14] + 0,1667 [15] \\
 (15) &= 0,1667 [12] + 0,1667 [15] + 0,1667 [14] + 0,5555 [15]
 \end{aligned}$$

$$\begin{aligned}
 n &= 6 & \left[m^2 \right] &= + 57,15 \\
 p &= 5 & - \frac{1}{n} \left[m \right]^2 &= - 15,67 \\
 & & - \frac{1}{p} \left\{ \left[M^2 \right] - \frac{1}{n} \left[M \right]^2 \right\} &= - 15,27 \\
 & & (VV) &= 10,21 \dots \dots \text{Divisor } 20.
 \end{aligned}$$

MENTJERÉ

Beobachter: Waldringh. Instrument: (10 z.) Gross P. M. II.

N ^o .	1876 und 1877	Poetri	Fern- rohr.	Poetri Heliotrop.	Hambalang Heliotrop.	Boeboet Heliotrop.	IV Heliotrop.	Tjitjadas Heliotrop.	Salak I Heliotrop.	Uitkijk Batavia Heliotrop.
				0° 0'	16° 52'	18° 33'	30° 1'	54° 31'	63° 45'	304° 10'
1	Dec. 20	0° 0'	L. u. r.	0°,00		35°,69	2°,96	58°,25	27°,43	
2	" 25	120 21	"	0,00		35°,52	1,93	58°,11	24°,17	
3	" 26	0 0	"	0,00						60°,03
4	" 25	120 21	"	0,00						58°,36
5	" 31	0 0	"	0,00	28°,69					
6	" 31	120 21	"	0,00	25°,14					
7	" 26	240 43	"	0,00		34°,48	1,23	56°,28	23°,61	56°,94
8	Jan. 1	240 43	"	0,00	24°,91					
9	" 1	30 11	"	0,00	27°,78	37°,03	2,60	58°,16	24°,26	57°,14
10	" 1	150 32	"	0,00	27°,58	34°,85	1,97	57°,89	24°,74	58°,32
11	" 2	270 49	"	0,00	24°,76	34°,40	1,26	57°,34	23°,53	57°,09

Annahme: Poetri

0° 0' 0'

Hambalang

16 52 24 + A

Boeboet

18 55 54 + B

IV

50 4 0 + C

Tjitjadas

54 51 56 + D

Salak I

65 45 25 + E

Uitkijk (Hafenwarte) Batavia

504 10 56 + F

NORMALGLEICHUNGEN.

$$\begin{aligned}
 + 0,9614 &= + 4,0714 A - 0,4286 B - 0,4286 C - 0,4286 D - 0,4286 E - 0,4286 F \\
 - 0,7606 &= + 5,0047 B - 0,9955 C - 0,9955 D - 0,9955 E - 0,9955 F \\
 + 5,2194 &= + 5,0047 C - 0,9955 D - 0,9955 E - 0,9955 F \\
 + 1,2994 &= + 5,0047 D - 0,9955 E - 0,9955 F \\
 + 1,0094 &= + 5,0047 E - 0,9955 F \\
 + 5,5604 &= + 4,4007 F
 \end{aligned}$$

ENDGLEICHUNGEN.

$$\begin{aligned}
 + 0,9614 &= + 4,0714 A - 0,4286 B - 0,4286 C - 0,4286 D - 0,4286 E - 0,4286 F \\
 - 0,0278 &= + 4,9596 B - 1,0404 C - 1,0404 D - 1,0404 E - 0,6404 F \\
 + 5,9464 &= + 4,7415 C - 1,2587 D - 1,2587 E - 0,7747 F \\
 + 5,0741 &= + 4,4071 D - 1,5929 E - 0,9804 F \\
 + 5,8952 &= + 5,8514 E - 1,5548 F \\
 + 6,9815 &= + 5,4672 F
 \end{aligned}$$

A	=	+	2,6581
B	=	+	1,4251
C	=	+	2,0864
D	=	+	1,7664
E	=	+	1,7182
F	=	+	2,1035

RESULTAT.

Poetri	0°	0'	0",0000	
Hambalang	16	52	26,6581	+ (16)
Boeboet	18	55	55,4251	+ (17)
IV	50	1	2,0864	+ (18)
Tjitjadas	54	31	57,7664	+ (19)
Salak I	65	45	24,7182	+ (20)
Uitkijk Batavia	504	10	58,1035	+ (21)

GEWICHTSGLEICHUNGEN.

(16)	=	0,2581	[16]	+	0,0826	[17]	+	0,0926	[18]	+	0,0826	[19]	+	0,0826	[20]	+	0,0727	[21]
(17)	=	0,0826	[16]	+	0,2960	[17]	+	0,1294	[18]	+	0,1294	[19]	+	0,1294	[20]	+	0,1005	[21]
(18)	=	0,0826	[16]	+	0,1294	[17]	+	0,2960	[18]	+	0,1294	[19]	+	0,1294	[20]	+	0,1005	[21]
(19)	=	0,0826	[16]	+	0,1294	[17]	+	0,1294	[18]	+	0,2960	[19]	+	0,1294	[20]	+	0,1005	[21]
(20)	=	0,0826	[16]	+	0,1294	[17]	+	0,1294	[18]	+	0,1294	[19]	+	0,2960	[20]	+	0,1005	[21]
(21)	=	0,0727	[16]	+	0,1005	[17]	+	0,1005	[18]	+	0,1005	[19]	+	0,1005	[20]	+	0,2884	[21]

$$\begin{aligned}
 \left[\begin{matrix} m^2 \\ p \end{matrix} \right] &= + 169,95 \\
 - \left[\begin{matrix} M^2 \\ p \end{matrix} \right] &= - 115,60 \\
 - \frac{(aa)^2}{aa} - \frac{(bb, 1)^2}{(bb, 1)} &= - 55,55 \\
 (VV) &= 21,00 \dots \dots \text{Divisor } 50.
 \end{aligned}$$

POETRI.

Beobachter: Woldringh. Instrument: (10 z.) Gross P. M. II.

N°.	1876	Dago.	Fern- rohr.	Dago Heliotrop.	Salak I Heliotrop.	Tjitjadas Heliotrop.	Boeboet Heliotrop.	Mentjéré Heliotrop.
				0° 0'	288° 5'	317° 18'	328° 27'	343° 17'
1	Nov. 26	0° 0'	L u. r.	0",00	46",49	30",26	22",54	8",84
2	" 28	120 21	"	0,00	48,10	29,95	22,87	8,96
3	" 29	240 42	"	0,00	44,29	29,36	20,81	8,01
4	" 29	30 5	"	0,00	45,91	28,76	19,77	8,06
5	" 30	150 26	"	0,00	47,33	29,69	22,21	8,43
6	" 30	270 44	"	0,00	47,25	31,13	23,26	9,13

Annahme:	Dago	0°	0'	0"	
	Salak I	288	5	46	+ A
	Tjitjades	517	18	29	+ B
	Boeboet	528	27	21	+ C
	Mentjeré	545	17	8	+ D

NORMALGLEICHUNGEN.

$$\begin{aligned}
 - 0,112 &= + 4,8 A - 1,2 B - 1,2 C - 1,2 D \\
 + 1,668 &= + 4,8 B - 1,2 C - 1,2 D \\
 + 1,978 &= + 4,8 C - 1,2 D \\
 - 0,052 &= + 4,8 D
 \end{aligned}$$

ENDGLEICHUNGEN.

$$\begin{aligned}
 - 0,1120 &= + 4,8 A - 1,2 B - 1,2 C - 1,2 D \\
 + 1,6400 &= + 4,5 B - 1,5 C - 1,5 D \\
 + 2,4967 &= + 4,0 C - 2,0 D \\
 + 1,7151 &= + 5,0 D
 \end{aligned}$$

$$\begin{aligned}
 A &= + 0,5617 \\
 B &= + 0,8585 \\
 C &= + 0,9100 \\
 D &= + 0,5717
 \end{aligned}$$

RESULTAT.

Dago	0°	0'	0",00	
Salak I	288	5	46,5617	+ (22)
Tjitjades	517	18	29,8585	+ (25)
Boeboet	528	27	21,9100	+ (24)
Mentjeré	545	17	8,5717	+ (25)

GEWICHTSGLEICHUNGEN.

$$\begin{aligned}
 (22) &= 0,5555 [22] + 0,1667 [25] + 0,1667 [24] + 0,1667 [25] \\
 (25) &= 0,1667 [22] + 0,5555 [25] + 0,1667 [24] + 0,1667 [25] \\
 (24) &= 0,1667 [22] + 0,1667 [25] + 0,5555 [24] + 0,1667 [25] \\
 (25) &= 0,1667 [22] + 0,1667 [25] + 0,1667 [24] + 0,5555 [25]
 \end{aligned}$$

Es sind hier zur Berechnung der Summe (VV) die Fehler selbst benutzt. Es war also $[m] = 0$, und die Rechnung steht so:

$$\begin{aligned}
 \left[\left[m^2 \right] \right] &= + 22,42 \\
 - \left[\frac{[m^2]}{P} \right] &= - 12,99 \\
 (VV) &= 9,45 \quad . \quad . \quad . \quad . \quad . \quad \text{Divisor } 20.
 \end{aligned}$$

SALAK I.

Beobachter: Assistent J. A. Oudemans. Instrument: (8 z.) P. M. V.

N ^o .	1876	Poetri.	Fernrohr.	Poetri Heliotrop.	Sangaboewana I Heliotrop.	Telaga Heliotrop.	Mentjeré Heliotrop.	Boeboet Heliotrop.	IV Heliotrop.	Batavia Uitkijk Heliotrop.
				0° 0'	43° 56'	116° 37'	298° 56'	327° 20'	338° 32'	218° 57'
1	27, 29, 30 Apr 20 u. 25 Mai	0° 0' und 12°	l. u. r.	0°,00		47°,92	49°,61	16°,18	62°,50	
2	30 Apr, 25 Mai 6 Juni	120° 0' und 13°	"	0,00	17°,82	37°,63	43°,14	10°,74	60°,61	
3	4, 5 Mai, 3 Juni	240° 0' und 13°	"	0,00	25°,93	41°,84	43°,12	11°,91	56°,29	
4	5 Mai	11	"	0,00	30°,75	45°,32	46°,31	14°,89	61°,72	
5	6 Mai, 3 Juni	131	"	0,00	32°,40	40°,78	42°,79	14°,56	64°,82	
6	7 Mai, 6 Juni	251	"	0,00	27°,62	43°,74	44°,34	14°,73	62°,69	
7	8, 9, 22 Mai	20	"	0,00		43°,66	43°,47	14°,12	58°,54	
8	9 Mai	140	"	0,00	22°,63	46°,52	47°,39	17°,15	61°,84	
9	9 Mai	260	"	0,00		37°,45	40°,28	11°,42	57°,35	
10	10, 11 Mai	31	"	0,00		46°,48	50°,09	11°,80	60°,07	
11	11, 12, 23 Mai	151	"	0,00		47°,00	43°,18	17°,77	62°,07	
12	12 Mai	271	"	0,00		44°,34	43°,37	12°,40	57°,26	
13	12 Mai	40	"	0,00		43°,64	44°,01	14°,03	58°,06	
14	12, 15, 25 Mai	160	"	0,00		47°,45	48°,42	20°,22	65°,01	
15	15, 27 Mai	280	"	0,00		42°,04	43°,66	12°,19	61°,89	
16	15, 21 Mai	51	"	0,00		40°,39	42°,39	14°,78	58°,03	
17	16, 24 Mai	171	"	0,00		45°,79	44°,79	18°,08	63°,93	
18	18, 20 Mai	291	"	0,00		39°,38	41°,36	14°,21	58°,55	
19	3 Juni	131 20'	"			0° 0' 0",00				45°,36

Bei dieser Tabelle ist eine Vereinfachung eingeführt worden. Jede Zeile stellt nämlich nicht, wie angenommen wurde, das combinirte Resultat zweier Umgänge, bei Fernrohr links und rechts, dar. Poetri war immer sichtbar und der Beobachter benutzte es bei allen den Umgängen als Nullpunkt. Die Heliotrope waren aber in den meisten Fällen nicht alle zugleich sichtbar; und so sind im Ganzen 65 Umgänge beobachtet worden, welche sämmtlich mit Poetri anfangen und endeten, und weiter verschiedene Combinationen der übrigen Stationen enthielten. Der Beobachter war beauftragt worden, von Telaga, Mentjeré, Boeboet und IV die Winkel mit Poetri mit Fernrohr links und rechts bei 18 Kreislagen zu messen, und es dauerte vom 27 April bis zum 6 Juni, bis dieser Auftrag erfüllt war.

Der Kürze halber sind nun die Beobachtungen, welche bei der gleichen Kreislage angestellt waren, zusammengefügt und eingeschrieben, als gehörten sie zu einem Rundgange und als wären es einzige Messungen.

Annahme: Poetri	0°	0'	0"	
Sangaboewana I	45	56	22	+ A
Telaga	116	57	45	+ B
Mentjeré	298	56	44	+ C
Boeboet	527	20	14	+ D
IV	558	55	0	+ E

NORMALGLEICHUNGEN.

$$\begin{array}{rcl}
+ 2,8155 & = & 5,0 \text{ A} - 1,0 \text{ B} - 1,0 \text{ C} - 1,0 \text{ D} - 1,0 \text{ E} \\
- 0,6847 & = & + 14,6 \text{ B} - 5,4 \text{ C} - 5,4 \text{ D} - 5,4 \text{ E} \\
+ 1,6255 & = & + 14,6 \text{ C} - 5,4 \text{ D} - 5,4 \text{ E} \\
+ 1,1255 & = & + 14,6 \text{ D} - 5,4 \text{ E} \\
+ 5,1755 & = & + 14,6 \text{ E}
\end{array}$$

ENDGLEICHUNGEN.

$$\begin{array}{rcl}
+ 2,8155 & = & 5,0 \text{ A} - 1,0 \text{ B} - 1,0 \text{ C} - 1,0 \text{ D} - 1,0 \text{ E} \\
- 0,1220 & = & + 14,4 \text{ B} - 5,6 \text{ C} - 5,6 \text{ D} - 5,6 \text{ E} \\
+ 2,1575 & = & + 15,5 \text{ C} - 4,5 \text{ D} - 4,5 \text{ E} \\
+ 2,5767 & = & + 12,0 \text{ D} - 6,0 \text{ E} \\
+ 5,6151 & = & + 9,0 \text{ E}
\end{array}$$

$$\begin{array}{lcl}
\text{A} & = & + 0,9789 \\
\text{B} & = & + 0,4094 \\
\text{C} & = & + 0,5578 \\
\text{D} & = & + 0,5100 \\
\text{E} & = & + 0,6259
\end{array}$$

RESULTAT.

Poetri	0°	0'	0",0000		
Sangaboewana I	45	56	22,9789	+	(26)
Telaga	116	57	45,4094	+	(27)
Mentjéré	298	56	44,5578	+	(28)
Boeboet	527	20	14,5100	+	(29)
Batavia, Uitkijk	555	55	28,7694	+	(27)
IV	558	55	0,6259	+	(50)

GEWICHTSGLEICHUNGEN.

$$\begin{array}{lcl}
(26) & = & 2,2 [26] + 0,5 [27] + 0,5 [28] + 0,5 [29] + 0,5 [50] \\
(27) & = & 0,5 [26] + 1,0 [27] + 0,5 [28] + 0,5 [29] + 0,5 [50] \\
(28) & = & 0,5 [26] + 0,5 [27] + 1,0 [28] + 0,5 [29] + 0,5 [50] \\
(29) & = & 0,5 [26] + 0,5 [27] + 0,5 [28] + 1,0 [29] + 0,5 [50] \\
(50) & = & 0,5 [26] + 0,5 [27] + 0,5 [28] + 0,5 [29] + 1,0 [50]
\end{array}$$

Aus Anlass dieser Beobachtungen, versuchte ich die allgemeine Lösung des Problems: Es sind n vollständige Gyri oder Rundgänge von q unliegenden Dreieckspunkten oder Signalen beobachtet, und überdies von diesen q Signalen noch einige, q' in Zahl, in n' Rundgängen.

Es wird eines der in $n + n'$ Rundgängen eingeschnittenen Signale als Nullpunkt benutzt, es sind dann überdies noch $q - q'$ Signale bloß in n und $q' - 1$ Signale in $n + n'$ Rundgängen eingestellt; welche sind dann die Coefficienten $\alpha a, \alpha \beta$ u. s. w.?

Ich fand das folgende Coefficientensystem:

		A	B.....K	L	M.....Z	
Zahl: $q = 1$	A	a	b.....b	d	d.....d	Zahl: $q = q'$
	B	b	a.....b	d	d.....d	
	K	b	b.....a	d	d.....d	Zahl: $q' = 1$
	L	d	d.....d	c	d.....d	
	Z	d	d.....d	d	d.....c	

Es ist hier

$$a = \frac{1}{n} + \frac{q'-1}{q'} \cdot \frac{1}{n+n'} + \frac{1}{q'} \cdot \frac{1}{n}$$

$$b = \frac{q'-1}{q'} \cdot \frac{1}{n+n'} + \frac{1}{q'} \cdot \frac{1}{n}$$

$$c = \frac{2}{n+n'}$$

$$d = \frac{1}{n+n'}$$

Bei Salak ist $q = 6$, $n = 6$, $q' = 5$, $n' = 12$

$$\text{also } a = \frac{1}{6} + \frac{1}{5} \cdot \frac{1}{6} + \frac{1}{5} \cdot \frac{1}{6} = \frac{11}{30}$$

$$b = \frac{1}{30}$$

$$c = \frac{2}{18} = \frac{1}{9}$$

$$d = \frac{1}{18}$$

Weil nun $q = q' = 1$ ist, so kommt der Coefficient b nicht vor; die hier gefundenen Zahlen sind, wegen des kleinen Gewichts des benutzten Instruments, mit 9 multiplicirt worden, wodurch die Coefficienten $= \frac{11}{3}, 1$ und $\frac{1}{2}$ wurden, wie auch die eigens in Zahlen ausgeführte Lösung ergeben hat.

Salak I ist der einzige Punkt in diesem Netze, wo die Beobachtungen mit einem anderen und zwar kleineren Instrument angestellt worden sind, es musste also das Verhältniss der Gewichte dieser beiden Instrumente bestimmt werden. Obwohl für dieses Verhältniss aus früheren heiländigen Untersuchungen die Zahlen 5:1 traditionell angenommen wurden, woraus die Zahl von 18 Umgängen statt 6 zu erklären ist, so zog ich es doch vor, dasselbe aus den Beobachtungen selbst abzuleiten. Bei Gr. P. M. II waren aber, nach einer von Herrn Metzger berechneten vorläufigen Formel, die periodischen Theilfehler bereits angebracht, bei P. M. V nicht. Um das Verhältniss zu finden, mussten also für beide Instrumente nur Sätze von drei Umgängen, welche z. B. bei 0° , 120° und 240° , für Ablesung: „erstes Signal“ angestellt waren, (wo also die Winkel längs 6 Randtheile gemessen worden waren.) combinirt werden, auf diese Art fand sich für Gr. P. M. II: m F' = 0,15; für P. M. V: m F' = 1,15. Das Verhältniss dieser Zahlen ist nahe 9, welches angenommen wurde. Die Gewichtscoefficienten sind also in den hier angeführten Gleichungen mit 9 multiplicirt worden.

Indem je drei zu einander gehörende Umgänge combinirt wurden, erhielt ich aus den Fehlern selbst (Sangaboewau wurde nicht mit aufgenommen): $(50-10) m' = 20 m' = 22,95$; da aber

das Gewicht der mit Gr. P. M. II aufgestellten Beobachtungen neunmal grösser angenommen wurde als die Beobachtungen mit P. M. V, so muss diese Zahl, um sie zu derselben Einheit zu reduciren, noch durch 5 dividirt werden, und also $20 \text{ m} = 7,64$, was also, in derselben Form geschrieben, wie bei der anderen Stationen wird:

$$(V') = 7,64 \dots \text{Divisor } 20.$$

Es folgen nun die Bedingungsgleichungen, welche durch das Basisnetz geliefert werden. Die sphärischen Ueberschüsse wurden nach der Formel

$$\varepsilon = (1,40694) h \sin A$$

berechnet, wo der Coefficient, dessen Log. hier mitgetheilt ist, nach den Bessel'schen Dimensionen des Erdsphäroids, der Polhöhe $6^\circ 55'$ entspricht.

Die Log. sin. wurden in Gellibrand, Trigonometria Britannica zehnstellig aufgesucht, aber auf neun Decimalstellen abgekürzt.

1. Punkt I — Punkt IV — Boeboet.

Punkt I	110° 48' 47",1955	+	(2)
Punkt IV	55 28 19,3548	—	(6)
Boeboet	55 42 52,0455	—	(7) + (8)
Summe	179 59 59,1914	+	(2) — (6) — (7) + (8)
$180^\circ + \varepsilon =$	180 0 0,0541		
0 =		—	0,8427 + (2) — (6) — (7) + (8)

2. Punkt I — Punkt IV — Tjitjadas.

Punkt I	57° 17' 21",6167	+	(1)
Punkt IV	102 7 28,5251	—	(4)
Tjitjadas	20 55 10,8255	—	(15) + (15)
Summe	180 0 0,7651	+	(1) — (4) — (15) + (15)
$180^\circ + \varepsilon =$	180 0 0,0905		
0 =		+	0,6728 + (1) — (4) — (15) + (15)

3. Punkt IV — Tjitjadas — Boeboet.

Punkt IV	68° 59' 8",5685	—	(4) + (6)
Tjitjadas	59 29 15,5255	—	(12) + (15)
Boeboet	71 54 59,6417	—	(8) + (10)
Summe	180 0 1,5555	—	(4) + (6) — (8) + (10) — (12) + (15)
$180^\circ + \varepsilon =$	180 0 0,1577		
0 =		+	1,5956 — (4) + (6) — (8) + (10) — (12) + (15)

4. Tjitjadas — Boeboet — Mentjeré.

Tjitjadas	76°	4'	50',2100	+	(12)				
Boeboet	67	56	47,6150	—	(10)	+	(11)		
Mentjeré	55	58	22,5455	—	(17)	+	(19)		
Summe	180	0	0,1685	—	(10)	+	(11)	+	(12) — (17) + (19)
180° + ε =	180	0	0,5250						
0 =			0,1567	—	(10)	+	(11)	+	(12) — (17) + (19)

5. Tjitjadas — Pankt IV — Mentjeré.

Tjitjadas	115°	54'	5',7555	+	(15)				
Pankt IV	59	55	1,9501	—	(4)	+	(5)		
Mentjeré	24	50	55,6800	—	(18)	+	(19)		
Summe	180	0	1,5454	—	(4)	+	(5)	+	(15) — (18) + (19)
180° + ε =	180	0	0,5082						
0 =			1,0552	—	(4)	+	(5)	+	(15) — (18) + (19)

6. Mentjeré — Boeboet — Poetri.

Boeboet	146°	56'	57',9655	—	(11)				
Mentjeré	18	55	55,4251	+	(17)				
Poetri	14	49	46,6617	—	(24)	+	(25)		
Summe	180	0	0,0481	—	(11)	+	(17)	—	(24) + (25)
180° + ε =	180	0	0,5965						
0 =			0,5484	—	(11)	+	(17)	—	(24) + (25)

7. Mentjeré — Tjitjadas — Poetri.

Tjitjadas	99°	29'	25',9517	+	(14)					
Mentjeré	54	51	57,7064	+	(19)					
Poetri	25	58	58,7154	—	(25)	+	(25)			
Summe	180	0	2,4115	+	(14)	+	(19)	(25)	+	(25)
180° + ε =	180	0	0,9689							
0 =			1,4426	+	(14)	+	(19)	(25)	+	(25)

8. Mentjeré — Boeboet — Salak I.

Boeboet	106°	24'	45',6200	(9)	+	(11)				
Mentjeré	45	11	49,2951	(17)	+	(20)				
Salak I	28	25	29,9722	(28)	+	(29)				
Summe	180	0	2,8875	(9)	+	(11)	(17)	+	(20)	(28) + (29)
180° + ε =	180	0	0,8294							
0 =			2,0579	(9)	+	(11)	(17)	+	(20)	(28) + (29)

9. Punkt IV — Boehoet — Salak I.

Punkt IV	155° 25'	29',8908	— (5) + (6)
Boehoet	53 25	45,6567	— (8) + (9)
Salak I	11 12	46,1159	— (29) + (50)
Summe	179 59	59,6414	— (5) + (6) — (8) + (9) — (29) + (50)
180 + ε =	180 0	0,1966	
α =		0,5552	— (5) + (6) — (8) + (9) — (29) + (50)

10. Boehoet — Poetri — Salak I.

Boehoet	106° 58'	58',4167	+ (9)
Poetri	40 21	55,5485	— (22) + (24)
Salak I	52 39	45,4900	— (29)
Summe	179 59	59,2550	+ (9) — (22) + (24) — (29)
180 + ε =	180 0	1,0285	
α =		1,7755	+ (9) — (22) + (24) — (29)

11. Punkt I — Punkt IV — Tjitjadas — Boehoet.

$$\text{Bedingung: } \frac{\sin B IV I \cdot \sin Tj B I \cdot \sin I Tj IV}{\sin IV B I \cdot \sin B Tj I \cdot \sin Tj IV I} = 1$$

B IV I	55° 28'	19',9548	— (6)	9,741 5710.76	— 51,84 (6)
Tj B I	107 54	51,6850	— (7) + (10)	9,979 2587.24	+ 6,67 { (7) — (10) }
I Tj IV	20 55	10,8255	— (15) + (15)	9,546 0716.76	+ 56,05 { (15) (15) }
IV B I	55 42	52,0455	— (7) + (8)	0,255 7760.14	+ 29,29 { (7) (8) }
B Tj I	18 54	2,7000	— (12) + (15)	0,489 5490.94	+ 61,50 { (12) (15) }
Tj IV I	102 7	28,5251	— (4)	0,009 7075.22	— 4,52 (4)

$$0,000 0059.06$$

$$0 = 39,06 - 4,52 (4) - 31,84 (6) + 33,96 (7) - 29,29 (8) - 6,67 (10) + 61,50 (12) - 117,55 (15) + 56,05 (15)$$

12. Boehoet — Punkt IV — Tjitjadas — Mentjeré.

$$\frac{\sin IV B Tj \cdot \sin M Tj IV \cdot \sin B M IV}{\sin B Tj IV \cdot \sin IV M Tj \cdot \sin IV B M} = 1$$

IV B Tj	71° 51'	59',6417	+ (10) — (8)	9,977 8626.05	+ 6,90 { (10) — (8) }
M Tj IV	115 54	5,7555	+ (15)	9,955 2451.00	— 10,07 (15)
B M IV	11 27	26,6655	+ (18) — (17)	9,298 0654.08	+ 105,88 { (18) (17) }
B Tj IV	59 29	15,5255	+ (15) (12)	0,196 6082.15	+ 25,55 { (12) (15) }
IV M Tj	24 50	55,6800	+ (19) — (18)	0,582 0158.84	+ 46,165 { (18) — (19) }
IV B M	159 48	27,2567	+ (11) (8)	0,190 2001.45	+ 24,92 { (11) — (8) }

$$51,999 9955.55$$

$$0 = - 16,47 - 31,82 (8) + 6,90 (10) + 24,02 (11) + 25,55 (12) - 35,62 (15) - 103,88 (17) + 150,05 (18) - 16,16 (19)$$

15. Punkt IV — Boeboet — Mentjéré — Salak I.

$$\frac{\sin M IV B \cdot \sin B M S \cdot \sin B S IV}{\sin B M IV \cdot \sin M S B \cdot \sin S IV B} = 1$$

M IV B	28° 44'	6',4582 + (6) — (5)	9,681 9295.10 + 58,40 { (6) (5) }
B M S	45 11	40,2951 + (20) — (17)	9,859 9755.15 + 20,91 { (20) — (17) }
B S IV	11 12	46,1159 + (50) — (29)	9,288 8161.11 + 106,21 { (50) — (29) }
B M IV	11 27	26,6655 + (18) — (17)	0,701 9545.92 + 105,88 { (17) — (18) }
M S B	28 25	29,9722 + (20) — (28)	0,522 8529.99 + 58,95 { (28) — (29) }
S IV B	155 25	29,8908 + (6) — (5)	0,155 5059.54 + 21,54 { (6) — (5) }

0,000 0102.59

$$0 = +102,39 - 21,34(3) - 38,40(5) + 59,74(6) + 82,97(17) - 103,88(18) + 20,91(20) - 38,95(28) - 115,16(29) + 106,21(30)$$

14. Mentjéré — Boeboet — Poetri — Tjitjadas.

$$\frac{\sin B M P \cdot \sin B P Tj \cdot \sin B Tj M}{\sin B P M \cdot \sin B Tj P \cdot \sin B M Tj} = 1$$

B M P	18° 55'	55',4251 + (17)	9,502 8296.98 + 62,71 (17)
B P Tj	11 8	52,0517 + (24) — (25)	9,286 5226.70 + 106,86 { (24) — (25) }
B Tj M	76 4	50,2100 + (12)	9,987 0560.12 + 5,22 (12)
B P M	14 49	46,6617 + (25) — (24)	0,591 8521.99 + 79,52 { (24) — (25) }
B Tj P	25 24	55,7217 + (14) — (12)	0,400 8759.75 + 48,65 { (12) — (14) }
B M Tj	55 58	22,5455 + (19) — (17)	0,251 0644.65 + 29,00 { (17) — (19) }

9,999 9990.19

$$0 = -9,81 + 53,85(12) - 48,63(14) + 91,71(17) - 29,60(19) - 106,86(23) + 186,38(24) - 79,52(25)$$

15. Mentjéré — Boeboet — Poetri — Salak I.

$$\frac{\sin B M P \cdot \sin B P S \cdot \sin B S M}{\sin B P M \cdot \sin B S P \cdot \sin B M S} = 1$$

B M P	18° 55'	55',4251 + (17)	9,502 8296.98 + 62,71 (17)
B P S	40 21	55,5485 + (24) — (22)	9,811 9979.58 + 24,77 { (24) — (22) }
B S M	28 25	29,9722 + (29) — (28)	9,677 1470.01 + 58,95 { (29) — (28) }
B P M	14 49	46,6617 + (25) — (24)	0,591 8521.99 + 79,52 { (24) — (25) }
B S P	52 59	45,4900 — (29)	0,267 8544.72 + 52,85 (29)
B M S	45 11	49,2951 + (20) — (17)	0,149 0266.87 + 20,91 { (17) — (20) }

0,000 0072.95

$$0 = 72,95 + 83,62(17) - 20,91(20) - 24,77(22) + 104,29(24) - 79,52(25) - 38,95(28) + 71,80(29)$$

Ausdrücke der Grössen [1], [2], [3], durch die Faktoren I, II, III,

$$\begin{aligned}
 [1] &= \text{II} \\
 [2] &= \text{I} \\
 [3] &= \text{IX} - 21,54 \text{ XIII} \\
 [4] &= \text{II} + \text{III} + \text{V} - 4,52 \text{ XI} \\
 [5] &= -\text{V} - 38,40 \text{ XIII} \\
 [6] &= -\text{I} - \text{III} - \text{IX} - 31,94 \text{ XI} + 59,74 \text{ XIII} \\
 [7] &= -\text{I} + 35,96 \text{ XI} \\
 [8] &= \text{I} + \text{II} + \text{IX} - 20,29 \text{ XI} - 31,82 \text{ XII} \\
 [9] &= \text{VIII} - \text{IX} + \text{X} \\
 [10] &= -\text{III} + \text{IV} - 6,07 \text{ XI} + 6,90 \text{ XII} \\
 [11] &= -\text{IV} + \text{VI} - \text{VIII} + 23,92 \text{ XI} \\
 [12] &= \text{III} - \text{IV} + 61,50 \text{ XI} + 25,55 \text{ XII} + 53,85 \text{ XIV} \\
 [13] &= -\text{II} - 117,55 \text{ XI} \\
 [14] &= \text{VII} - 48,03 \text{ XIV} \\
 [15] &= \text{II} - \text{III} - \text{V} + 56,05 \text{ XI} - 35,02 \text{ XII} \\
 [16] &= 0 \\
 [17] &= \text{IV} - \text{VI} + \text{VIII} - 103,88 \text{ XII} + 82,07 \text{ XIII} + 91,71 \text{ XIV} + 83,62 \text{ XV} \\
 [18] &= \text{V} + 150,05 \text{ XII} - 103,88 \text{ XIII} \\
 [19] &= -\text{IV} - \text{V} + \text{VII} - 40,16 \text{ XII} - 29,00 \text{ XIV} \\
 [20] &= -\text{VIII} + 20,91 \text{ XIII} - 20,91 \text{ XV} \\
 [21] &= 0 \\
 [22] &= -\text{X} - 24,77 \text{ XV} \\
 [23] &= -\text{VII} - 106,86 \text{ XIV} \\
 [24] &= +\text{VI} + \text{X} + 186,35 \text{ XIV} + 104,29 \text{ XV} \\
 [25] &= -\text{VI} + \text{VII} - 79,52 \text{ XIV} - 79,52 \text{ XV} \\
 [26] &= 0 \\
 [27] &= 0 \\
 [28] &= \text{VIII} + 38,95 \text{ XIII} - 38,95 \text{ XV} \\
 [29] &= -\text{VIII} + \text{IX} - \text{X} - 145,16 \text{ XIII} + 71,80 \text{ XV} \\
 [30] &= -\text{IX} + 106,21 \text{ XIII}
 \end{aligned}
 \left. \begin{array}{l} [3] + [4] + [5] + [6] = -\text{I} - \text{II} - 36,36 \text{ XI} \\ [7] + [8] + [9] + [10] + [11] = \text{VI} + \text{X} \\ [12] + [13] + [14] + [15] = \\ -\text{IV} - \text{V} + \text{VII} - 10,07 \text{ XII} + 5,22 \text{ XIV} \\ [17] + [18] + [19] + [20] = \\ -\text{VI} + \text{VII} + 62,71 \text{ XIV} + 62,71 \text{ XV} \\ [22] + [23] + [24] + [25] = 0 \end{array} \right\}$$

Die Summen, welche hinter die Accoladen gesetzt sind, werden bei der Berechnung der gleich-nummerirten Correctionen benutzt.

Darstellung der Correctionen (1), (2), (5) durch die Faktoren I, II, III

$$\begin{aligned}
 (1) &= \frac{1}{6} \text{I} + \frac{1}{3} \text{II} \\
 (2) &= \frac{1}{3} \text{I} + \frac{1}{6} \text{II} \\
 (3) &= -0,1159 (\text{I} + \text{II}) + 0,1885 \text{IX} - 4,2141 \text{XI} - 4,0226 \text{XIII} \\
 (4) &= -0,1174 \text{I} - 0,3141 \text{II} + \frac{1}{6} (\text{III} + \text{V}) - 0,0315 \text{IX} - 6,1128 \text{XI} + 0,6722 \text{XIII} \\
 (5) &= -0,1474 (\text{I} + \text{II}) - \frac{1}{6} \text{V} + 0,0315 \text{IX} - 5,5995 \text{XI} - 5,7278 \text{XIII} \\
 (6) &= -0,3141 \text{I} - 0,1474 \text{II} - \frac{1}{6} \text{III} - 0,1982 \text{IX} - 10,6662 \text{XI} + 10,6289 \text{XIII} \\
 (7) &= \frac{1}{6} (-\text{I} + \text{VI} + \text{X}) + 5,9933 \text{XI} \\
 (8) &= \frac{1}{6} (\text{I} + \text{II} + \text{VI} + \text{IX} + \text{X}) - 4,8817 \text{XI} - 5,3033 \text{XII} \\
 (9) &= \frac{1}{6} (\text{VI} + \text{VIII} - \text{IX}) + \frac{1}{3} \text{X} \\
 (10) &= \frac{1}{6} (-\text{III} + \text{IV} + \text{VI} + \text{X}) - 1,1117 \text{XI} + 1,1500 \text{XII} \\
 (11) &= \frac{1}{6} (-\text{IV} - \text{VIII} + \text{X}) + \frac{1}{3} \text{VI} + 4,1533 \text{XII} \\
 (12) &= \frac{1}{6} (\text{III} - \text{V} + \text{VII}) - \frac{1}{6} \text{IV} + 10,25 \text{XI} + 2,5800 \text{XII} + 9,5450 \text{XIV} \\
 (13) &= \frac{1}{6} (-\text{II} - \text{IV} - \text{V} + \text{VII}) - 19,5017 \text{XI} - 1,6783 \text{XII} + 0,5700 \text{XIV} \\
 (14) &= \frac{1}{6} (-\text{IV} - \text{V}) + \frac{1}{3} \text{VII} - 1,6783 \text{XII} - 7,2350 \text{XIV} \\
 (15) &= \frac{1}{6} (\text{II} - \text{III} - \text{IV} + \text{VII}) - \frac{1}{3} \text{V} + 9,3417 \text{XI} - 7,6150 \text{XII} + 0,8700 \text{XIV}
 \end{aligned}$$

- (17) = $\frac{1}{6}$ (IV + VIII) - 0,2961 VI + 0,1294 VII - 17,3133 XII + 13,8283 XIII + 23,3997 XIV + 22,0514 XV
 (18) = $\frac{1}{6}$ V + 0,1294 (- VI + VII) + 23,0083 XII - 17,3133 XIII + 8,1147 (XIV + XV)
 (19) = $\frac{1}{6}$ (- IV - V) - 0,1294 VI + 0,2961 VII - 7,6933 XII + 3,2514 XIV + 8,1147 XV
 (20) = 0,1294 (- VI + VII) - $\frac{1}{6}$ VIII + 3,4850 XIII + 8,1147 XIV + 4,6297 XV
 (22) = - $\frac{1}{6}$ X - 4,1283 XV
 (23) = - $\frac{1}{6}$ VII - 17,8100 XIV
 (24) = $\frac{1}{6}$ (VI + X) + 31,0633 XIV + 17,3817 XV
 (25) = $\frac{1}{6}$ (- VI + VII) - 13,2533 XIV - 13,2533 XV
 (28) = $\frac{1}{2}$ (VIII - X) + 19,475 XIII - 3,650 XV

NORMAL

	I	II	III	IV	V	VI	VII	VIII	IX
+ 0,8427 =	+ 0,9808	+ 0,3141	+ 0,3333	—	—	—	—	—	+ 0,3649
- 0,6728 =	+ 0,9808	— 0,3333	— 0,3333	— 0,3333	—	—	—	—	+ 0,0317
+ 1,3956 =		+ 1,0000	+ 0,3333	+ 0,3333	—	—	—	—	+ 0,3333
+ 0,1567 =			— 0,3333	+ 1,0000	+ 0,3333	— 0,3333	— 0,3333	+ 0,3333	—
+ 1,0352 =					+ 1,0000	— 0,3333	— 0,3333	—	—
- 0,3484 =						+ 0,9628	— 0,2961	— 0,3333	—
- 1,4426 =							+ 0,9628	—	—
+ 2,0579 =								+ 1,6667	— 0,6667
- 0,5552 =									+ 1,7200
+ 1,7733 =									
- 39,06 =									
+ 46,47 =									
- 102,59 =									
+ 9,81 =									
- 72,95 =									
0 =									

ENDGLE

	I	II	III	IV	V	VI	VII	VIII	IX
+ 0,8427 =	+ 0,9808	+ 0,3141	+ 0,3333	—	—	—	—	—	+ 0,3649
- 0,9427 =		+ 0,8802	— 0,4401	— 0,3333	— 0,3333	—	—	—	— 0,0854
+ 0,6378 =			+ 0,0667	— 0,3333	+ 0,1667	—	—	—	+ 0,1667
+ 0,1622 =				+ 0,8333	+ 0,4167	— 0,3333	— 0,5333	+ 0,3333	+ 0,0833
+ 0,4377 =					+ 0,6237	+ 0,1667	— 0,1667	— 0,1667	— 0,1157
- 0,4004 =						+ 0,7850	— 0,3849	— 0,1555	+ 0,0642
- 1,4570 =							+ 0,2963	+ 0,0125	+ 0,0339
+ 2,0612 =								+ 1,4577	— 0,7188
+ 0,0774 =									+ 1,1428
+ 1,3347 =									
- 23,0887 =									
+ 19,56 =									
- 200,11 =									
+ 35,95 =									
- 71,51 =									

Die Auflösung obiger Gleichungen giebt die Correlaten wie folgt:

I	= +	1,59551	log	0,14411
II	= -	0,09955		8,99804n
III	= +	0,08979		8,95525
IV	= -	2,72192		0,45488n
V	= +	1,05948		0,21470
VI	= -	2,09525		0,52082n
VII	= -	5,10765		0,49245n
VIII	= +	1,44451		0,15966
IX	= -	5,62507		0,55908n
X	= +	0,78704		9,89597
XI	= -	0,01719		8,25528n
XII	= -	0,04100		8,61278n
XIII	= -	0,05441		8,75568n
XIV	= +	0,02260		8,55411
XV	= -	0,05555		8,52515n

und für den Beitrag zur Summe der Fehlerquadrate wurde gefunden:

aus Gleichung	I	0,724	aus Gleichung	X	1,760
" "	II	1,010	" "	XI	0,240
" "	III	0,610	" "	XII	0,128
" "	IV	0,052	" "	XIII	8,066
" "	V	0,507	" "	XIV	0,140
" "	VI	0,204	" "	XV	2,585
" "	VII	5,560			
" "	VIII	2,915			
" "	IX	0,005			
			Summe (VV)	=	22,084

Durch Substitution der Werthe der Correlaten I, u. s. w. ergeben sich die Verbesserungen:

(1) = + 0,1991	(11) = - 0,5259	(21) = - 0,1697
(2) = + 0,4479	(12) = + 0,0715	(22) = + 0,0065
(3) = - 0,5416	(13) = + 0,1045	(23) = + 0,1155
(4) = + 0,2968	(14) = - 0,9502	(24) = - 0,0955
(5) = + 0,0559	(15) = - 0,4711	(25) = - 0,0266
(6) = - 0,1149	(16) = - 0,1395	(26) = - 0,9414
(7) = - 0,5551	(17) = - 0,2446	(27) = - 0,9414
(8) = - 0,2751	(18) = - 0,0285	(28) = - 0,3295
(9) = + 0,7581	(19) = - 0,5469	(29) = - 1,4169
(10) = - 0,7145	(20) = - 0,5527	(30) = - 2,0195

Für die Bestimmung des mittleren Fehlers einer einmaligen Beobachtung einer Richtung, (jedemal zwei Umgänge mit Fernrohr links und rechts,) haben wir nun das folgende Material:

	(V')	Divisor.
Punkt I	8,25	10
Punkt IV	20,40	20
Boeboet	55,42	25
Tjitjadas	10,21	20
Meutjeré	21,00	50
Poetri	9,45	20
Salak I	7,64	20
Zusatz ($\frac{1}{2}V$) =	22,08	15
Summa	152,45	160

Quadrat des mittleren Fehlers einer einmaligen Beobachtung (Fernrohr links und rechts) einer Richtung

$$\mu\mu = \frac{192,65}{160} = 0,828.$$

Mittlerer Fehler einer einmaligen Beobachtung (F. l. u. r.):

$$\mu = \pm 0,91.$$

Um das Verhältniss der Gewichte der Instrumente Gr. P M II und P M V zu bestimmen, waren, wie oben erwähnt, die Mittel aus drei Umgängen, deren Anfangspunkte um 120° untereinander verschieden waren, genommen, und daraus war das Verhältniss 9:1 gefunden. Nach den (V'), welche aber erst später berechnet sind, würde das Verhältniss der Gewichte beider Instrumente für das kleinere Instrument günstiger sein; addirt man nämlich die für die Stationen Punkt I bis Poetri gefundenen Werthe von (V'), so hat man

$$\begin{aligned} 125 \mu\mu &= 102,71 \\ \mu\mu &= 0,822 \end{aligned}$$

während für Salak I

$$\mu\mu = 7 \times \frac{22,08}{20} = 5,44$$

sein würde. Hieraus würde das Verhältniss folgen $\frac{3,41}{0,822} = 4,2:1$.

Eine, später absichtlich ausgeführte, Berechnung für Salak I, indem die einzelnen Beobachtungen in den 55 Rundgängen gesondert gehalten wurden, ergab

$$\mu\mu = 4,21,$$

was wieder etwas mehr ist als 5,44, und das Verhältniss der Gewichte beider Instrumente zu 5 erhöhen würde. Aus dieser kleineren Zahl als 9 würde gefolgert werden können, bei P M V seien es weniger die periodischen Theilungsfehler, als vielmehr die unregelmässigen Beobachtungs- und Theilungsfehler, welche die Resultate beeinträchtigen.

Ich erachtete es nicht der Mühe werth mit einem dieser später bestimmten Gewichtsverhältnisse die Rechnung zu wiederholen.

§ 6. Ausgeglicheue Richtungen und Logarithmen der Entfernungen der Dreieckspunkte.

PUNKT I.			Log. Entf. in Metern
Punkt IV	0° 0'	0°,0000	5,589 6922 75
Tjitjadas	57 17 21	,8158	4,055 8268 18
Boehoet	110 48 47	,6412	5,565 0589 08

PUNKT IV.			
Punkt I	0° 0'	0°,0000	5,589 6922 75
Salak I	191 8 9	,6128	4,246 0471 51
Tjitjadas	257 52 51	,9757	5,968 6520 12
Mentjere	297 47 55	,6609	4,505 8955 29
Boehoet	526 51 59	,9505	5,794 1600 26

BOEBOET.			
Poetri	0° 0'	0°,0000	4,272 7014 20
Punkt I	57 52 2	,1856	5,565 0589 08
Punkt IV	75 54 54	,5069	5,794 1600 26
Salak I	106 58 59	,1748	4,551 8494 85
Tjitjadas	145 26 55	,7072	5,959 9005 06
Mentjere	215 25 21	,5128	4,178 0215 82

TJITJADAS.			
Mentjere	0° 0'	0°,0000	4,157 9674 42
Boehoet	76 4 50	,2815	5,959 9005 06
Punkt I	94 58 55	,0145	4,055 8268 18
Poetri	99 29 24	,9815	4,427 5405 60
Punkt IV	115 54 5	,2622	5,968 6520 12

MENTJERE.			
Poetri	0° 0'	0°,0000	4,510 4957 15
Hambalang	16 52 26	,5186	
Boehoet	18 55 55	,1785	4,178 0215 82
Punkt IV	50 1 2	,0579	4,505 8955 29
Tjitjadas	54 51 57	,4165	4,157 9674 42
Salak I	65 45 24	,1855	4,482 8120 49
Uitkijk Batavia	504 10 57	,8458	

POETRI.

Dago	0°	0'	0,0000	
Salak I	288	5	46,5682	4,521 2018 78
Tjijadas	517	18	29,9758	4,427 5405 60
Boehoet	528	27	21,8145	4,272 7014 20
Mentjeré	545	17	8,5451	4,510 4957 15

SALAK I.

Poetri	0°	0'	0,0000	4,521 2018 78
Sangaboewana I	45	56	22,0575	
Telaga	446	57	42,4680	
Mentjeré	298	56	45,9085	4,482 8120 49
Boehoet	527	20	15,5951	4,551 8494 85
Punk I V	558	52	58,6046	4,246 0471 51

§ 7. Bestimmung des mittleren Fehlers des briggschen Logarithmus der Seite Poetri-Salak I.

Es sei U eine Function der ausgeglichenen Richtungen:

$$U = F. [A = (1), B = (2), C = (5), \dots],$$

oder auch

$$U = F [A, B, C, \dots] = l_1 (1) + l_2 (2) + l_3 (5) + \dots,$$

wo also l_1, l_2, l_3, \dots die Differentialquotienten der Function F in Bezug auf A, B, C, \dots bezeichnen; man habe weiter, durch Substitution der Formeln

$$\begin{aligned} (1) &= \mathfrak{A}_1 I + \mathfrak{B}_1 II + \mathfrak{C}_1 III + \dots, \\ (2) &= \mathfrak{A}_2 I + \mathfrak{B}_2 II + \mathfrak{C}_2 III + \dots, \\ (5) &= \mathfrak{A}_5 I + \mathfrak{B}_5 II + \mathfrak{C}_5 III + \dots, \end{aligned}$$

u. s. w.,

gefunden:

$$l_1, (1) + l_2 (2) + l_3 (5) + \dots = (\mathfrak{A}_1 I + \mathfrak{B}_1 II + \mathfrak{C}_1 III) + \dots$$

so hat man zur Ermittlung des mittleren Fehlers der Function U die folgenden Berechnungen zu machen:

Es seien

$$\begin{aligned} (1) &= (\alpha \alpha) [1] + (\alpha \beta) [2] + (\alpha \gamma) [5] + \dots \\ (2) &= (\alpha \beta) [1] + (\beta \beta) [2] + (\beta \gamma) [5] + \dots \\ (5) &= (\alpha \gamma) [1] + (\beta \gamma) [2] + (\gamma \gamma) [5] + \dots \\ &\dots \dots \dots \end{aligned}$$

die Gewichtsgleichungen, welche bei jeder Stations-Ausgleichung gefunden sind, so berechne man

$$\begin{aligned}
 q_1 &= (\alpha \alpha) l_1 + (\alpha \beta) l_2 + (\alpha \gamma) l_3 + \dots \\
 q_2 &= (\alpha \beta) l_1 + (\beta \beta) l_2 + (\beta \gamma) l_3 + \dots \\
 q_3 &= (\alpha \gamma) l_1 + (\beta \gamma) l_2 + (\gamma \gamma) l_3 + \dots \\
 &\dots \dots \dots \\
 (l q) &= l_1 q_1 + l_2 q_2 + l_3 q_3 + \dots
 \end{aligned}$$

und stelle sich vor, es sei jeder der Normalgleichungen (S. 58 und 59) noch ein Glied $+(Z/l) \lambda$, $(Z/l) \lambda$, $(Z/l) \lambda$, ..., und überdies diesen Normalgleichungen selbst noch eine supplementäre Gleichung

$$0 = (Z/l) I + (Z/l) II + (Z/l) III + \dots + (l q) \lambda$$

hinzugefügt, wo λ eine eingebildete Unbekannte ist, so dass man bei der Lösung der Normalgleichungen nach der bekannten, von Gauss herrührenden Methode, für jede Gleichung noch eine Columnne mehr für λ und dann noch die supplementäre Columnne für die hinzugefügte, jetzt die letzte, Normalgleichung hat. Bei der Behandlung dieser Normalgleichungen, d. h. bei der Ableitung der Endgleichungen, erhält λ nun in der zweiten und in den folgenden Gleichungen andere Coefficienten, nämlich

$$\begin{aligned}
 (Z/l) &= Z/l - \frac{(I, II)}{(I, I)} (Z/l) \\
 (Z/l) &= (Z/l) - \frac{(I, III)}{(I, I)} (Z/l) - \frac{(II, III, I)}{(II, II, I)} (Z/l) \\
 &\dots \dots \dots
 \end{aligned}$$

und der Coefficient $(l q)$ der eingebildeten Unbekannte γ wird dann

$$(l q) = \frac{(Z/l)^2}{(I, I)} - \frac{(Z/l, I)^2}{(II, II, I)} - \frac{(Z/l, II, I)^2}{(III, III, I)}$$

welcher Werth dem reciproken Gewichte, d. h. dem Quotienten $\frac{m^2}{\sigma^2}$ der Function U gleich ist.

Da mehr Richtungen gemessen worden sind, als unumgänglich nothwendig ist, so ist auch jede Seite des Verbindungsnetzes, z. B. hier die secundäre Seite Poetri-Salak, auf mehrere Arten zu berechnen. Man hat z. B.

$$\frac{\sin \text{Poetri-Salak I}}{\sin \text{IV}} = \frac{\sin \text{B I IV} \cdot \sin \text{B IV S} \cdot \sin \text{S B P}}{\sin \text{I B IV} \cdot \sin \text{B S IV} \cdot \sin \text{B P S}}$$

aber auch

$$= \frac{\sin \text{B I IV} \cdot \sin \text{B IV Tj} \cdot \sin \text{B Tj M} \cdot \sin \text{M B P} \cdot \sin \text{P M S}}{\sin \text{I B IV} \cdot \sin \text{B Tj IV} \cdot \sin \text{B M Tj} \cdot \sin \text{M P B} \cdot \sin \text{M S P}}$$

Legt man nun die eine oder die andere dieser Formeln bei der Berechnung des mittleren Fehlers des gefundenen Werthes von Log. Poetri-Salak I zu Grunde, so muss man doch immer dasselbe Resultat erhalten. Zur Controlle sind beide Wege befolgt, und von beiden Rechnungen sind die Haupt-elemente in der Form einer Columnne oben schon mitgetheilt worden.

Die Einzelheiten der Berechnung der beiden $(l q)$ werden wir hier folgen lassen.

ERSTE BERECHNUNG.

$$\begin{aligned}
 \text{Log. } \frac{\sin \text{P S}}{\sin \text{I IV}} &= \text{Vorläufiger Werth} = 8.0057(2) + 21.545(7) - 21.545(6) + 29.286(7) - 29.286(8) \\
 &\quad - 6.428(9) + 24.775(22) - 24.775(24) + 106.216(29) - 106.216(50)
 \end{aligned}$$

Die Coefficienten sind die l_i und weiter findet man:

$$\begin{array}{llll}
 q_2 = \frac{1}{2} l_2 = & 2,6679 & l_2 q_2 = + & 21,355 \\
 q_2 = 0,5044 l_2 + 0,1159 l_6 = + & 4,0255 & l_2 q_2 = + & 85,882 \\
 q_6 = 0,1159 l_2 + 0,5140 l_6 = & 4,2284 & l_6 q_6 = + & 90,255 \\
 q_7 = \frac{1}{2} l_7 + \frac{1}{4} l_6 + \frac{1}{4} l_9 = + & 5,8097 & l_7 q_7 = + & 111,571 \\
 q_8 = \frac{1}{2} l_8 + \frac{1}{4} l_6 + \frac{1}{4} l_9 = & 5,9525 & l_8 q_8 = + & 174,519 \\
 q_9 = \frac{1}{2} l_7 + \frac{1}{4} l_6 + \frac{1}{4} l_9 = & 2,1427 & l_9 q_9 = + & 15,775 \\
 q_{10} = \frac{1}{2} l_{10} + \frac{1}{4} l_{11} = + & 4,1292 & l_{10} q_{10} = + & 102,500 \\
 q_{11} = \frac{1}{2} l_{10} + \frac{1}{4} l_{11} = & 4,1292 & l_{11} q_{11} = + & 102,500 \\
 q_{12} = l_{12} + \frac{1}{2} l_{13} = & +55,108 & l_{12} q_{12} = + & 5640,916 \\
 q_{13} = \frac{1}{2} l_{12} + \frac{1}{2} l_{13} = & 55,108 & l_{13} q_{13} = + & 5640,916
 \end{array}$$

$$\text{Summe: } (lq) = + 11985,585$$

ZWEITE BERECHNUNG.

$$\begin{array}{l}
 \text{Log. } \frac{\sin p}{\sin i} = \text{Vorläufiger Werth} = 8,0057 (2) - 8,2292 (4) + 8,2292 (6) \\
 + 29,286 (7) \quad 29,286 (8) + 51,945 (11) + 50,772 (12) - 25,554 (15) \\
 + 29,009 (17) \quad 29,009 (19) + 10,5805 (20) + 79,524 (24) - 79,524 (25) \\
 + 11,645 (28)
 \end{array}$$

$$\begin{array}{llll}
 q_2 = \frac{1}{2} l_2 & = - & 2,6679 & + 21,35 \\
 q_7 = 0,5140 l_7 + 0,1474 l_6 & = - & 1,5715 & + 11,29 \\
 q_6 = 0,1474 l_7 + 0,5140 l_6 & = + & 1,5715 & + 11,29 \\
 q_7 = \frac{1}{2} l_7 + \frac{1}{4} l_6 + \frac{1}{4} l_{11} & = + & 10,205 & + 298,87 \\
 q_8 = \frac{1}{2} l_8 + \frac{1}{4} l_6 + \frac{1}{4} l_{11} & = + & 0,445 & + 42,97 \\
 q_{11} = \frac{1}{4} l_7 + \frac{1}{4} l_6 + \frac{1}{4} l_{11} & = + & 10,648 & + 540,15 \\
 q_{12} = \frac{1}{2} l_{12} + \frac{1}{4} l_{13} & = + & 5,998 & + 184,57 \\
 q_{13} = \frac{1}{2} l_{12} + \frac{1}{4} l_{13} & = & 5,589 & + 86,60 \\
 q_{17} = 0,2960 l_{17} + 0,1294 l_{10} + 0,1294 l_{20} & = + & 6,178 & + 179,22 \\
 q_{10} = 0,1294 l_{17} + 0,2960 l_{10} + 0,1294 l_{20} & = & 5,4916 & + 101,29 \\
 q_{20} = 0,1294 l_{17} + 0,1294 l_{10} + 0,2960 l_{20} & = + & 5,0725 & + 51,89 \\
 q_{21} = \frac{1}{2} l_{21} + \frac{1}{4} l_{23} & = + & 15,254 & + 1054,01 \\
 q_{23} = \frac{1}{4} l_{21} + \frac{1}{4} l_{23} & = & 15,254 & + 1054,01 \\
 q_{27} = l_{28} & = + & 11,645 & + 155,61
 \end{array}$$

$$(lq) = + 5407,18$$

Diese Werthe von (lq) sind als Coefficienten der eingebildeten Unbekannte λ in der letzten Normalgleichung benutzt. Bei der Lösung dieser Gleichungen werden nach einander 15 Zahlen hiervon abgezogen, nämlich die Glieder $\frac{(N)}{(1,1)}$ u. s. w. so dass, wie man in den Endgleichungen schon sehen kann, noch übrigbleibt

$$600,72 \text{ resp. } 601,66.$$

Der letzte Werth ist wegen der kleineren, bei seiner Berechnung verwandten Zahlen der zuverlässigste. Das Gewicht des $\text{Log. } \frac{\sin p}{\sin i}$ ist also $= \frac{1}{601,66}$ und der mittlere Fehler, soweit dies die Unsicherheit der Winkelmessungen betrifft:

$$= \mu \sqrt{601,66} = 24,55 \mu = 22,5 \text{ Einheiten der 7ten Decimalstelle, was } 0,000 \, 0051 \, 4 = \frac{1}{191 \, 550}$$

der Länge entspricht.

§ 8. Zweiter Theil des Basisnetzes von Simplak. Verbindung der secundären
Seite Poetri-Salak I mit der primären Seite Sangaboewana I - Telaga.

Die secundäre Seite Poetri-Salak I war, wie in der beigelegten Tafel sichtbar ist, sowohl direct durch die beiden Dreiecke Poetri - Salak I - Sangaboewana I und Salak I - Sangaboewana I - Telaga, als auch indirect mittels der Punkte Dago, Mentjéré, Pangerango und Hambalang, mit der primären Seite Sangaboewana I - Telaga verbunden.

Die Beobachtungen waren, mit einer Ausnahme, vom Ingenieur Metzger mit dem 10 zölligen Universal-Instrument Gross P. M. II ausgeführt; nur auf Salak I war, wie schon früher erwähnt, vom Assistenten J. A. Oudemans mit einem 8 zölligen Instrumente gemessen, weshalb diesen Messungen ein kleineres Gewicht beigelegt werden musste.

Wahrscheinlich hat es in der Absicht des Herrn Metzger gelegen, die Verbindung prismenmässig durch primäre Messungen. (d. h. mit einem 10 zölligen Instrument und auf Heliotrope,) auf Hambalang, Salak und Pangerango zu vervollständigen, doch ist er durch seine Krankheit im Jahre 1875 und seine dadurch gezwungene Rückreise nach Europa daran verhindert worden; die genannten primären Messungen sind aber auch nach meiner Abreise, welche gleichfalls im Jahre 1875 stattfand, nicht ausgeführt worden. Für die Verbindung von Poetri - Salak I mit Telaga - Sangaboewana I müssen also die auf Salak I mit einem schwächeren Instrumente erhaltenen Messungen benutzt werden, wobei aber zu berücksichtigen ist, dass bei diesen doch immer Heliotrope angewandt wurden.

Wie schon gesagt ist, habe ich von hier an die einfachere Gaussische Ausgleichungsmethode angewandt, indem nämlich den bereits stationsweise ausgeglichenen Richtungen einfach gleiche Gewichte gegeben werden. Ebenso werden wir in der Folge die von Hansen empfohlene Vereinfachung einführen, bei jedem Netze die Signale durch Zahlen anzugeben, und so bedeutet im jetzigen Netze

1 Salak I,	5 Sangaboewana I,
2 Poetri,	6 Pangerango,
3 Mentjéré,	7 Telaga,
4 Hambalang,	8 Dago.

Ich muss hier noch bemerken, dass ich die Möglichkeit zwar erkannte, z. B. durch Hebernung der Beobachtungen auf Endoet und Sangaboewana II, eine stärkere Verbindung mit dem primären Dreiecksnetze zu erhalten, die Zahl der Bedingungsgleichungen erhielt aber dann gleich solch einen Zuwachs, dass ich, um Zeit zu ersparen, eine einfachere Verbindung vorzog.

Die folgenden Richtungen rühren von dem bereits ausgeglichenen ersten Theile des Basisnetzes her:

1			2			3		
3	298° 56' 45,91		S	0° 0' 0",00	+	(5)	2	0° 0' 0",00
2	0 0 0,00		1	288 5 46,57			4	16 52 26,52
5	45 56 22,04	+	(1)	3 545 17 8,55			1	65 45 24,19
7	116 57 42,47	+	(2)					

Ausserdem wurden die folgenden Messungen mit dem 10 zölligen Gross P. M. II vorgefunden, welche in aller Strenge ausgeglichen wurden:

2 POETRI.

Beobachter: Metzger. Instrument (10 z.) Gross P. M. H.

N ^o .	1867	Fern- rohr.	Dago.	Dago.	Sanga- hoewana I	Pang- rango.	Hamba- lang.	Sangabo- wana II	Endoet.
				0° 0'	188° 5'	245° 4'	251° 49'	515° 54'	529° 46'
1	October 22	I. u. r.	0° 0'	0°,00			19°,05	29°,48	
2	" 25	"	240 1	0°,00			17°,95	50°,82	
3	" 22	"	120 1	0°,00			17°,51		
4	" 25	"	50 1	0°,00			19°,58		
5	" 27	"	150 1	0°,00			15°,55		
6	" "	"	15 0	0°,00			17°,52		
7	" "	"	155 0	0°,00			15°,60		
8	" "	"	255 1	0°,00			15°,74		
9	" 26	"	120 1	0°,00				51°,52	
10	" "	"	270 1	0°,00				29°,75	
11	" "	"	50 0	0°,00				50°,57	
12	" "	"	150 1	0°,00				29°,62	
13	" 26	"	150 1	0°,00		51°,54			
14	" 27	"	120 1	0°,00		48°,97			
15	" "	"	50 1	0°,00		50°,75			
16	" "	"	270 1	0°,00		50°,20	14°,44		
17	" "	"	240 1	0°,00	16°,10	48°,79			
18	November 4	"	0 0	0°,00	15°,57				
19	" "	"	120 1	0°,00	15°,85				
20	" "	"	240 1	0°,00	15°,46				
21	" "	"	50 1	0°,00	17°,38				
22	" "	"	150 1	0°,00	17°,85				26°,98
23	" "	"	270 1	0°,00					26°,18
24	" "	"	0 0	0°,00					24°,69
25	" "	"	120 1	0°,00					26°,55
26	" "	"	240 1	0°,00					24°,79
					0° 0'				141° 41'
27	" "	"	98 6	0°,00					11°,54
28	" "	"	218 6	0°,00					10°,50
						0° 0'		72°29	
29	October 27	"	245 5			0°,00		56°,90	

RESULTATE.

8	Dago	0° 0'	0°,00	(4)
5	Sangahoewana I	188 5	16°,24	(5)
6	Pangerango	245 4	50°,75	(6)
4	Hambalang	251 49	16°,75	(7)
	Sangaboewana II	515 54	29°,58	
	Endoet	529 46	26°,97	

5 SANGAROEWANA I.

Beobachter: Metzger. Instrument: (10 z.) Gross P. M. II.

N ^o .		Fern- rohr.	Poetri.	Poetri. Boe- rang- rang.	Pa- toelha.	Telaga.	Pang- rango.	Salak I	Hamba- lang.	
				0° 0'	187° 4'	250° 58'	279° 41'	505° 12'	525° 56'	545° 59'
1	1868 Oct. 24	l. n. r.	0° 0'	0',00		44',79		50',85		
2	" " 24	"	120 1	0',00		45',21		52',61		
3	" " 25	"	50 0	0',00		45',60		55',40		
4	" " 25	"	150 1	0',00		45',46		54',95		
5	" " 25	"	270 1	0',00		45',14		55',65		
6	" " 25	"	240 1	0',00				51',05		
7	" " 25	"	240 1	0',00		42',85				
8	" " 26	"	0 0	0',00	7',46					
9	" " 26	"	120 1	0',00	10',19					
10	" " 28	"	240 1	0',00	10',71					
11	" " 28	"	50 1	0',00	12',60					
12	" " 28	"	150 1	0',00	12',60					
13	" " 29	"	270 1	0',00	10',78					
14	1875 Mai 29	"	14° 20', 52° 20'	0',00			50',28	51',55		58',04
15	" " 50	"	86 22, 104 22	0',00			28',60	51',00		59',58
16	" " 29	"	50 21, 68 21	0',00				52',55		58',48
17	" " 50	"	122 25, 140 25	0',00				54',99		59',94
18	" " 50	"	158 24, 176 25	0',00				52',56		58',75
19	" " 50	"	550 2, 584 05			0° 0'				
20	Juni 1	"	60 4, 78 05			0',00				29',68
						0',00				28',15
21	" " 5	"	558 17, 556 17						0° 0'	21° 45'
22	" " 5	"	14 18, 52 18						0',00	1',07
23	" " 5	"	50 19, 68 19						0',00	5',76
24	" " 5	"	86 20, 104 20						0',00	5',11
25	" " 5	"	122 21, 140 21						0',00	0',56
									0',00	5',85

RESULTATE.

2	Poetri	0° 0'	0',00	+	(15)
	Boerangrang	187 4	10',74		
	Patoelha	250 58	45',60		
7	Telaga	279 41	50',05	+	(9)
6	Pangrango	505 12	52',57	+	(10)
1	Salak I	525 56	56',50	+	(11)
4	Hambalang	545 59	58',97	+	(12)

6 PANGUANO.

Beobachter: Metzger. Instrument: (10 z.) Gross P. M. II. Fernrohr überall links und rechts.

N ^o .		Sangabdwana I.	Sangabdwana I.		Boerangrang.		Patocha.	Telaga.	Sangabdwana II.		Endoet.	Dago.	Poetri.
			0° 0'	55° 50'	77° 4'	150° 8'	219° 51'	229° 15'	260° 25'	291° 46'			
1	1867 Nov. 14	0° 0'	0°,00	28°,65									61°,66
2	" " 14	120 1	0°,00	50°,20	59°,20								58°,95
5	" " 14	240 1	0°,00	50°,00	57°,14								60°,50
4	" " 15	50 0	0°,00	50°,67	40°,85				45°,26				60°,50
5	" " 15	150 1	0°,00	51°,06	42°,77				45°,48		22°,21	61°,88	
6	" " 16	270 1	0°,00								19°,44	56°,45	
7	" " 16	0 0	0°,00								19°,90		
8	" " 17	0 0	0°,00			42°,05	55°,60						
9	" " 17	270 5	0°,00	29°,59	45°,50	51°,85							
10	" " 17	120 1	0°,00						44°,82		20°,17		
11	" " 17	240 1	0°,00				54°,98				20°,64		
12	" " 17	50 0	0°,00				56°,40				25°,52		
15	" " 18	270 1	0°,00					15°,56	41°,54				
14	" " 18	240 1	0°,00					17°,98	46°,05				
15	" " 18	120 0	0°,00				52°,70	17°,15					
16	" " 19	150 1	0°,00				52°,07	16°,29			20°,89		

RESULTATE.

5	Sangabdwana I	0° 0'	0°,00 + (16)
	Boerangrang	55 50	50°,06
	Patocha	77 4	40°,85
7	Telaga	150 8	55°,15 + (17)
	Sangabdwana II	219 51	16°,89
	Endoet	229 15	45°,98
8	Dago	260 25	20°,78 + (14)
2	Poetri	291 47	0°,28 + (15)

7 TELAGA.

Beobachter: Metzger. Instrument: (10 z.) Gross P. M. H. Fernrohr überall links und rechts.

N ^o .		Bitoeng.	Bitoeng.		Patat.		Soer- rangga.		Sanga- boe- wana II.		Salak I.		Pang- rango.		Sanga- boe- wana I.		Pa- toeha.	
			0°	0'	82°	8'	107°	58'	152°	59'			214°	58'			515°	5'
1	1869 Mai 12	0° 00'	0',00					11',65									14',12	
2	" " 15	120 1	0',00										24',00				15',00	
5	" " 15	240 5	0',00					15',44					25',68				15',87	
4	" " 17	507 51	0',00	57',57				17',02			19',79		25',15				11',65	
5	" " 17	0 0	0',00	56',91							20',85		22',84					
6	" " 17	240 5	0',00	58',60							21',87							
7	" " 18	120 2	0',00	54',57				15',39			18',27							
8	" " 19	7 55	0',00	57',08							18',25		20',46				15',26	
9	" " 19	67 54	0',00	56',15							19',12		25',79				15',88	
10	" " 20	50 0	0',00	57',55							20',62		25',94				15',48	
11	" " 21	150 1	0',00	55',48							17',56		21',46				14',58	
12	" " 21	270 5	0',00	57',59							22',01		21',50				15',95	
				0° 0'	25° 49'						95° 46'						158° 49'	
15	" " 25	90 2	0',00	19',42														
14	" " 25	150 5	0',00	19',52														
15	" " 25	0 0	0',00	18',65														
16	" " 25	120 2	0',00	20',54														
17	" " 25	240 5	0',00	20',32														
18	1875 April 28	264° 14',500° 14	0',00	19',24							8',50					55',18		
19	" " 28	282 15',518 15	0',00	20',08							7',60					52',89		
20	" " 28	556 16',554 16	0',00	16',98							9',07					52',50		
21	" " 29	12 17',50 17	0',00	21',19							9',55					55',66		
22	" " 29	48 18',66 17	0',00	20',01							8',21					52',61		

RESULTATE.

Bitoeng	0°	0'	0',00
Patat	82°	8'	56',47
Soerangga	107°	58'	15',65
Sangaboewana II	152°	59'	19',75
1 Salak I	177°	55'	4',89 + (18)
6 Pangrango	214°	58'	22',85 + (19)
5 Sangaboewana I	240°	58'	29',65 + (20)
Patoeha	515°	5'	14',24

S. DAGO.

Beobachter: Metzger. Instrument: (10 z.) Gross P. M. II.

N ^o .				Endoet.	Ferro- rohr.	L. u. r.	Endoet.		Karang.	Gede.	Nacht- signal.	Poetri.	Hambalang.	Pangrango.
							0° 0'	58° 24'		87° 54'	99° 55'	259° 44'	255° 58'	271° 27'
1	1868	März	7	0° 0'	0	I. u. r.	0°,00	18°,58			64°,48			54°,81
2	"	"	7	120	1	"	0°,00	16°,59			61°,01			54°,46
3	"	"	8	240	1	"	0°,00	18°,54			61°,64	21°,99		52°,57
4	"	"	8	0	0	"	0°,00					17°,77		
5	"	"	9	50	0	"	0°,00	18°,06						
6	"	"	9	150	1	"	0°,00	16°,90						
7	"	"	9	270	1	"	0°,00	16°,48	15°,86					
8	"	"	9	120	1	"	0°,00					19°,52		
9	"	"	9	50	0	"	0°,00					20°,59		
10	"	"	10	50	0	"	0°,00		15°,79	58°,62				51°,50
11	"	"	10	150	1	"	0°,00		15°,52	59°,75	18°,59			55°,97
12	"	"	10	270	1	"	0°,00			60°,55	19°,52			52°,75
13	"	"	10	240	1	"	0°,00							52°,81
14	1871	April	21	15	0	"	0°,00	18°,70			60°,57			
15	"	"	22	255	1	"	0°,00	16°,71	15°,47	57°,88	18°,70			
16	"	"	22	155	1	"	0°,00	18°,88	17°,55	58°,48	19°,50			
17	"	"	22	15	0	"	0°,00		19°,42			21°,14		
18	1868	März	8	207	50	"			0° 0'			152° 10'		
19	"	"	8	527	51	"			0°,00			4°,59		
20	"	"	8	87	51	"			0°,00			5°,15		
21	"	"	8	87	51	"			0°,00			4°,51		
									0°,00			5°,06		
22	1871	März	28	219	51	"				0° 0'	140° 8'	154° 2'		
23	"	"	28	559	55	"				0°,00	22°,85			
24	"	"	28	99	52	"				0°,00	21°,50			
25	"	Juni	10	219	52	"				0°,00	25°,50			
26	"	"	10	559	55	"				0°,00	20°,22			
27	"	"	10	99	52	"				0°,00	20°,44			
28	"	März	29	219	52	"				0°,00	26°,85			
29	"	"	29	555	55	"				0°,00	25°,40	55°,66		
30	"	"	29	291	55	"				0°,00	21°,62	55°,88		
31	"	"	30	527	55	"				0°,00	25°,50	55°,12		
32	"	"	30	5	54	"				0°,00	21°,55	51°,56		
										0°,00	19°,98	55°,85		
33	"	"	26	0	0	"				0° 0'	14° 54'			
34	"	"	26	120	1	"				0°,00	50°,49			
35	"	"	26	240	5	"				0°,00	50°,88			
										0°,00	51°,55			

RESULTATE.

Endoet	0° 0'	0° 00'
Karang	58 24	17,49
Gede	87 54	16,74
Nacht-signal	99 55	59,56, siehe Note auf Seite 60.
2 Poetri	259 44	20,55 + (21)
4 Hambalang	255 58	55,41 + (22)
6 Pangrango	271 27	52,96 + (25)

Der zweite Theil des Basisnetzes gibt nun die folgenden Bedingungsgleichungen:

Dreieck 1 2 5.

$$\begin{aligned} 1 &= 45^{\circ} 56' 22'',04 + (1) \\ 2 &= 100 \quad 0 \quad 50,55 - (5) + (4) - (5) \\ 5 &= 56 \quad 5 \quad 5,50 - (11) + (15) \end{aligned}$$

$$\begin{array}{r} 179 \quad 59 \quad 55,87 \\ 180^{\circ} + \varepsilon = 180 \quad 0 \quad 5,27 \end{array}$$

$$(I) \quad . \quad . \quad . \quad 0 = - 7,40 + (1) - (5) + (4) - (5) - (11) + (15)$$

Dreieck 1 5 7.

$$\begin{aligned} 1 &= 72^{\circ} 41' 20'',45 - (1) + (2) \\ 5 &= 44 \quad 15 \quad 26,45 - (9) + (11) \\ 7 &= 65 \quad 5 \quad 24,74 \quad (18) + (20) \end{aligned}$$

$$\begin{array}{r} 180 \quad 0 \quad 11,62 \\ 180^{\circ} + \varepsilon = 180 \quad 0 \quad 5,89 \end{array}$$

$$(II) \quad . \quad . \quad . \quad 0 = - 5,75 + (1) - (2) + (9) - (11) + (18) - (20)$$

Dreieck 2 5 6.

$$\begin{aligned} 2 &= 54^{\circ} 59' 54'',51 - (5) + (6) \\ 5 &= 56 \quad 47 \quad 27,45 - (10) + (15) \\ 6 &= 68 \quad 12 \quad 59,72 \quad (15) + (16) \end{aligned}$$

$$\begin{array}{r} 180 \quad 0 \quad 1,66 \\ 180^{\circ} + \varepsilon = 180 \quad 0 \quad 2,89 \end{array}$$

$$(III) \quad . \quad . \quad . \quad 0 = + 1,25 + (5) \quad (6) + (10) - (15) + (15) - (16)$$

Dreieck 2 6 8.

$$\begin{aligned} 2 &= 116^{\circ} 55' 9'',25 + (4) - (6) \\ 6 &= 51 \quad 21 \quad 59,50 - (14) + (15) \\ 8 &= 51 \quad 45 \quad 12,45 - (21) - (25) \end{aligned}$$

$$\begin{array}{r} 180 \quad 0 \quad 1,18 \\ 180^{\circ} + \varepsilon = 180 \quad 0 \quad 2,80 \end{array}$$

$$(IV) \quad . \quad . \quad . \quad 0 = - 1,62 + (4) \quad (6) - (14) + (15) - (21) + (25)$$

Dreieck 5 6 7.

$$\begin{aligned}
 5 &= 25^{\circ} 51' 2'' 52 & (9) + (10) \\
 6 &= 150 8 55,15 & (16) + (17) \\
 7 &= 26 20 6,80 & (19) + (20)
 \end{aligned}$$

$$\begin{aligned}
 &180 \quad 0 \quad 2,45 \\
 180 + \epsilon &= 180 \quad 0 \quad 2,09
 \end{aligned}$$

$$(V) \quad . \quad . \quad . \quad 0 = - 0,56 + (9) - (10) + (16) - (17) + (19) - (20)$$

Fünfeck 1 2 5 6 7.

$$\begin{aligned}
 &\sin 215 \cdot \sin 526 \cdot \sin 567 \cdot \sin 175 \\
 &\sin 125 \cdot \sin 265 \cdot \sin 675 \cdot \sin 517 = 1.
 \end{aligned}$$

$$\begin{aligned}
 215 &= 45^{\circ} 56' 22'',04 & 9,844\,2955,5 & + 21,8 \, (1) \\
 125 &= 100 0 50,55 & 0,006\,6508,2 & + 5,7 \, \{ \quad (5) + (4) \quad (5) \} \\
 526 &= 54 59 54,51 & 9,915\,5269,5 & + 14,7 \, \{ \quad (5) + (6) \} \\
 265 &= 68 12 59,72 & 0,052\,1744,5 & + 8,4 \, \{ (15) \quad (16) \} \\
 567 &= 150 8 55,15 & 9,885\,5095,6 & + 17,7 \, \{ (16) \quad (17) \} \\
 675 &= 26 20 6,80 & 0,552\,9867,0 & + 42,5 \, \{ (19) \quad (20) \} \\
 175 &= 65 5 24,74 & 9,950\,1092,7 & + 10,7 \, \{ (20) - (18) \} \\
 517 &= 72 41 20,45 & 0,020\,1514,2 & + 6,6 \, \{ (1) - (2) \}
 \end{aligned}$$

$$9,990\,9846,8$$

$$\begin{aligned}
 (VI) \quad . \quad . \quad . \quad . &= 1552 + 284(1) - 66(2) - 57(5) + 57(4) = 184(5) + 147(6) + 84(15) \dots \\
 &+ 95(16) - 177(17) - 107(18) + 425(19) - 518(20) = 0
 \end{aligned}$$

Fünfeck 2 4 5 6 8.

$$\begin{aligned}
 &\sin 245 \cdot \sin 256 \cdot \sin 268 \cdot \sin 284 \\
 &\sin 254 \cdot \sin 265 \cdot \sin 286 \cdot \sin 248 = 1.
 \end{aligned}$$

$$\begin{aligned}
 245 &= 101^{\circ} 55' 59'',57 & 9,990\,5117,8 & + 4,4 \, \{ (7) \quad (5) + (15) - (12) \} \\
 254 &= 14 20 1,05 & 0,606\,5065,1 & + 82,4 \, \{ (12) \quad (15) \} \\
 256 &= 56 47 27,45 & 9,922\,5582,5 & + 15,8 \, \{ (15) \quad (10) \} \\
 265 &= 68 12 59,72 & 0,052\,1744,5 & + 8,4 \, \{ (15) \quad (16) \} \\
 268 &= 51 21 59,50 & 9,716\,5607,7 & - 54,6 \, \{ (15) \quad (14) \} \\
 286 &= 51 45 12,45 & 0,279\,2059,2 & - 54,1 \, \{ (21) \quad (25) \} \\
 284 &= 15 54 52,58 & 9,580\,9008,5 & - 85,0 \, \{ (22) \quad (21) \} \\
 248 &= 57 54 44,09 & 0,071\,9947,1 & - 15,2 \, \{ (4) \quad (7) + (22) - (21) \}
 \end{aligned}$$

$$0,000\,0110,0$$

$$\begin{aligned}
 (VII) \quad . \quad . \quad . \quad . &= 1100 + 152(4) - 44(5) - 88(7) - 158(10) + 780(12) - 652(15) \dots \\
 &- 546(14) + 450(15) - 84(16) - 641(21) + 982(22) - 541(25) = 0
 \end{aligned}$$

Fünfeck 1 2 3 4 5.

$$\frac{\sin 245 \cdot \sin 251 \cdot \sin 213 \cdot \sin 234}{\sin 254 \cdot \sin 215 \cdot \sin 231 \cdot \sin 243} = 1.$$

245	=	101° 55' 59",57	9,990 5117,8 + 4,4 { (7) — (5) + (15) — (12) }
254	=	14 20 1,05	0,606 5065,1 + 82,4 { (12) — (15) }
251	=	56 5 5,50	9,769 7499,5 + 29,0 { (15) — (11) }
215	=	44 56 22,04	0,158 7044,5 — 21,8 { (1) }
213	=	61 5 16,09	9,942 0478,6
231	=	65 45 24,19	0,047 2440,4
234	=	16 52 26,52	9,462 7999,5 + 69,4 (8)
243	=	71 59 42,48	0,022 6549,6 + 7,0 { (4) — (5) + (8) — (7) }
			9,999 99957,0

$$\begin{aligned} \text{(VIII)} \quad . \quad . \quad . \quad - 70 \quad 218 \text{ (1)} - 70 \text{ (5)} + 70 \text{ (4)} - 44 \text{ (5)} - 26 \text{ (7)} + 764 \text{ (8)} - \dots \\ = 290 \text{ (11)} + 780 \text{ (12)} - 490 \text{ (15)} = 0. \end{aligned}$$

Darstellung der Correctionen (1), (2), (5) . . . durch die Factoren I, II, III,

(1)	=	9 I + 9 II + 2556 VI — 1962 VIII	(Gewicht von (1) = $\frac{1}{3}$)
(2)	=	— 5 II — 498 VI	(Gewicht von (2) = $\frac{1}{3}$)
(5)	=	— I — 57 VI — 70 VIII	
(4)	=	+ I + IV + 57 VI + 152 VII + 70 VIII	
(5)	=	— I + III — 184 VI — 44 VII — 44 VIII	
(6)	=	— III — IV + 147 VI	
(7)	=	— 88 VII — 26 VIII	
(8)	=	764 VIII	
(9)	=	+ II + V	
(10)	=	+ III — V — 458 VII	
(11)	=	— I — II — 290 VIII	
(12)	=	780 VII + 780 VIII	
(15)	=	+ I — III — 642 VII — 490 VIII	
(14)	=	— IV — 546 VII	
(15)	=	+ III + IV + 84 VI + 450 VII	
(16)	=	— III + V + 95 VI — 84 VII	
(17)	=	— V — 177 VI	
(18)	=	+ II — 107 VI	
(19)	=	+ V + 425 VI	
(20)	=	— II — V — 528 VI	
(21)	=	— IV — 641 VII	
(22)	=	+ 982 VII	
(25)	=	+ IV — 541 VII	

Bevor wir nun die Normal- und Endgleichungen mittheilen, bemerken wir dass wir, ebenso wie bei dem ersten Theile des Netzes, den mittleren Fehler des Logarithmus der Seite Sangabewana I — Telaga in der Voraussetzung abgeleitet haben, die Seite Petri-Salak sei bekannt, oder mit anderen Worten, wir haben den mittleren Fehler des Log. des Verhältnisses

$$\frac{\sin 5\ 7}{\sin 1\ 2}$$

bestimmt und werden also die Zahlen mittheilen, welche sich auf diese Bestimmung beziehen.
Es ist

$$\frac{\sin 5\ 7}{\sin 1\ 2} = \frac{\sin 2\ 1\ 5 \cdot \sin 6\ 2\ 5 \cdot \sin 5\ 6\ 7}{\sin 1\ 5\ 2 \cdot \sin 2\ 6\ 5 \cdot \sin 6\ 7\ 5},$$

also

$$\begin{aligned} \text{Log. } \frac{\sin 5\ 7}{\sin 1\ 2} &= \text{Vorläufiger Werth} + 21,8\ (1) - 14,7\ (5) + 14,7\ (6) \\ &+ 29,0\ (11) - 29,0\ (15) + 8,4\ (15) + 9,5\ (16) - 17,7\ (17) \\ &+ 42,5\ (19) - 42,5\ (20) \text{ Einheiten der 7ten Decimalstelle.} \end{aligned}$$

Wir haben jetzt

$l_1 = + 21,8$	$q_1 = 9l_1$	$l_1\ q_1 = 4\ 275$
$l_2 = - 14,7$	$q_2 = 7l_2$	$l_2\ q_2 = 648$
$l_3 = + 14,7$	$= q_3$	$l_3\ q_3 = 216$
$l_{11} = + 29,0$	$= q_{11}$	$l_{11}\ q_{11} = 841$
$l_{12} = - 29,0$	$= q_{12}$	$l_{12}\ q_{12} = 841$
$l_{15} = + 8,4$	$= q_{15}$	$l_{15}\ q_{15} = 71$
$l_{16} = + 9,5$	$= q_{16}$	$l_{16}\ q_{16} = 86$
$l_{17} = - 17,7$	$= q_{17}$	$l_{17}\ q_{17} = 1\ 806$
$l_{19} = + 42,5$	$= q_{19}$	$l_{19}\ q_{19} = 1\ 806$
$l_{20} = - 42,5$	$= q_{20}$	$l_{20}\ q_{20} = 315$

$$\text{Summe: } (l\ q) = 10\ 905$$

Weiter lehrt die Substitution, dass der Zusatz zum vorläufigen Werth, 21,8 (1) — 14,7 (5) + . . . , auch folgendermassen ausgedrückt werden kann:

$$\begin{aligned} 152,9\ \text{I} + 209,7\ \text{II} - 1,5\ \text{III} - 6,5\ \text{IV} + 112,0\ \text{V} + 97292,4\ \text{VI} \\ + 22055,6\ \text{VII} - 56524,8\ \text{VIII.} \end{aligned}$$

Dieser Ausdruck $+ 10905\ \lambda = 0$ bildet die supplementäre Normalgleichung, von welcher im vorigen Paragraph die Rede war. Wir haben also die folgenden

NORMALGLEICHUNGEN.

	I	II	III	IV	V	VI	VII	VIII	λ
λ 7,40	$\div 14$	$\div 10$	$- 2$	$\div 1$	$-$	$\div 2814$	$- 466$	1978	$\div 152,9$
$\div 5,75$		$\div 16$	$-$	$\div 2$	$\div 2975$	$-$	$- 1672$	$\div 209,7$	
$\div 1,25$			$\div 16$	$\div 2$	$- 540$	$\div 974$	$\div 446$	$- 4,5$	
$\div 1,62$				$\div 6$	26	$\div 1208$	$\div 70$	$- 6,5$	
$\div 0,56$					$\div 6$	1025	$\div 54$	$\div 112,0$	
$\div 1552$					$\div 1145867$	$\div 41288$	$\div 545952$	$\div 97292$	
$\div 1100$						$\div 2869870$	$\div 956444$	$\div 220996$	
$\div 70$							$\div 1956424$	$\div 56525$	
$\div 0$								$\div 10905$	

ENDGLEICHUNGEN.

	I	II	III	IV	V	VI	VII	VIII	λ
$\div 7,40$	$\div 14$	$\div 10$	$- 2$	$\div 1$	$-$	$\div 2814$	466	1978	$\div 152,9$
$\div 0,4445$		$\div 8,8572$	$\div 1,42887$	$- 0,71429$	$\div 2$	$\div 965$	$\div 552,86$	$- 259,15$	$\div 100,5$
$\div 0,2446$			$\div 5,4859$	$\div 2,2581$	$\div 2,5226$	$\div 95,645$	$\div 855,74$	$\div 205,222$	$\div 4,5$
$\div 1,2279$				$\div 4,9412$	$\div 1,1177$	$\div 110,619$	$\div 916,587$	$\div 105,885$	$\div 10,9$
$\div 0,1221$					$\div 4,5119$	$\div 790,461$	$\div 155,094$	$\div 121,480$	$\div 95,6$
$\div 42,9$						$\div 524141$	$\div 109589$	$\div 154522$	$\div 58279$
$\div 1070,78$							$\div 2497888$	$\div 870598$	$\div 8955$
$\div 1505,61$								$\div 1296876$	$\div 1580$
									$\div 1479$

Die Auflösung dieser Gleichungen giebt die Correlaten wie folgt:

I	$= \div 0,52846$	Log	$\div 9,51648$
II	$= \div 0,15260$		$\div 9,12254$
III	$= - 0,21044$		$\div 9,52515n$
IV	$= \div 0,44529$		$\div 9,64669$
V	$= - 0,19946$		$\div 9,20986n$
VI	$= \div 0,0008954$		$\div 6,95202$
VII	$= - 0,0008552$		$\div 6,92075n$
VIII	$= \div 0,00116095$		$\div 7,06481$

$$\text{Gewicht des Log.} \frac{\sin 54^\circ}{\sin 12^\circ} = \frac{1}{1479}$$

Weiter durch Substitution:

(1) = + 4',161 (Gew. $\frac{1}{3}$)	(9) = - 0',067	(17) = + 0',041
(2) = - 0',574 (Gew. $\frac{1}{3}$)	(10) = + 0',104	(18) = + 0',057
(5) = - 0',445	(11) = - 0',798	(19) = + 0',181
(4) = + 0',776	(12) = + 0',256	(20) = - 0',227
(5) = - 0',719	(15) = + 0',505	(21) = + 0',091
(6) = - 0',101	(14) = - 0',155	(22) = - 0',818
(7) = + 0',045	(15) = - 0',050	(25) = - 0',727
(8) = + 0',887	(16) = + 0',164	

$$[\rho^2] = 8 \mu^2 = 6,47$$

$$\mu^2 = 0,81$$

$$\mu = \pm 0',90$$

Dieses μ bezieht sich nun auf jede Richtung, an etwa 6 verschiedenen Randtheilen doppelt, d. h. bei Fernrohr rechts und links, gemessen. Der mittlere Fehler des Log. $\frac{\sin 57}{\sin 12}$ ist also

$$= \pm 0,90 \sqrt{1479} = \pm 58,46 \times 0,90 = 54,6 \text{ Einheiten der siebenten Decimalstelle.}$$

TAFEL DER ADDITAMENTE.

Bei der Berechnung dieses zweiten Theiles des Basisnetzes haben wir angefangen, die schon von Delambre im Jahre 1809 (Base du système Métrique II, S. 691) befolgte Methode zu benutzen, statt mit den Logarithmen der Entfernungen, mit den Logarithmen ihrer Sinus zu rechnen. Bei jedem Dreiecke braucht dann nicht vorher von jedem Winkel das Drittel des sphärischen Ueberschusses abgezogen zu werden. Man arbeitet das ganze Netz mit diesen Sinus durch, und erst am Ende fügt man die „Additamente“ (Log Seite — Log. Sinus Seite) hinzu, und die diesem Logarithmus gehörende Zahl giebt die Länge der Seite selbst in Metern an.

Die Insel Java hat eine mittlere Breite von $7^\circ 20'$, für welche nach den Besselschen Dimensionen des Erdsphäroids, der Logarithmus des mittleren Krümmungshalbmessers in Metern = 6,805 2565 ist. Das Additament giebt in Einheiten der siebenten Decimalstelle, $\text{Log. } x - \text{Log. Sin } x$; wird x gleichfalls in Metern ausgedrückt, so ist $\text{Log. Additament} = 2 \text{ Log } x + 2,25516 = 10$.

Wir theilen hier die benutzte Additamententafel mit. Sie giebt, mit Log. Seite als Argument, das Additament; die ersten 15 Argumente sind so genommen, dass das Additament 0,1 bis 1,5 beträgt; weiter aber behält das letzte den Bruch 0,5, wodurch der Vortheil entsteht, dass man gleich sehen kann, welche ganze Zahl man für das Additament nehmen muss. Ist z. B. der Log. Seite = 4,6861, so liegt das Additament zwischen 41,5 und 42,5, ist also rund 42.

TAFEL DER ADDITAMENTE IN EINHEITEN DER 7^{ten} DECIMALSTELLE.

Log. Seite.	Addi- tament.	Log. Seite.	Addi- tament.	Log. Seite.	Addi- tament.	Log. Seite.	Addi- tament.
5,375	0,1	4,5951	27,5	4,7881	67,5	4,8891	107,5
,524	0,2	,6008	28,5	,7913	68,5	,8911	108,5
,642	0,3	,6085	29,5	,7944	69,5	,8951	109,5
,674	0,4	,6156	30,5	,7975	70,5	,8951	110,5
,725	0,5	,6226	31,5	,8006	71,5	,8971	111,5
5,762	0,6	4,6294	32,5	4,8056	72,5	4,8990	112,5
,796	0,7	,6359	33,5	,8066	73,5	,9009	113,5
,825	0,8	,6425	34,5	,8095	74,5	,9028	114,5
,851	0,9	,6485	35,5	,8124	75,5	,9047	115,5
,875	1,0	,6546	36,5	,8155	76,5	,9066	116,5
5,894	1,1	4,6604	37,5	4,8181	77,5	4,9084	117,5
,915	1,2	,6662	38,5	,8208	78,5	,9105	118,5
,950	1,3	,6717	39,5	,8256	79,5	,9121	119,5
,946	1,4	,6772	40,5	,8265	80,5	,9159	120,5
5,9615	1,5	,6824	41,5	,8290	81,5	,9157	121,5
4,0724	2,5	4,6876	42,5	4,8516	82,5	4,9175	122,5
,1455	3,5	,6927	43,5	,8545	83,5	,9195	123,5
,2000	4,5	,6976	44,5	,8568	84,5	,9210	124,5
,2456	5,5	,7024	45,5	,8594	85,5	,9227	125,5
,2799	6,5	,7072	46,5	,8419	86,5	,9245	126,5
4,5110	7,5	4,7118	47,5	4,8444	87,5	4,9262	127,5
,5581	8,5	,7165	48,5	,8469	88,5	,9279	128,5
,5625	9,5	,7207	49,5	,8495	89,5	,9296	129,5
,5840	10,5	,7251	50,5	,8517	90,5	,9312	130,5
,6058	11,5	,7295	51,5	,8541	91,5	,9328	131,5
4,4219	12,5	4,7555	52,5	4,8565	92,5	4,9345	132,5
,4586	13,5	,7576	53,5	,8588	93,5	,9362	133,5
,4541	14,5	,7416	54,5	,8611	94,5	,9378	134,5
,4686	15,5	,7456	55,5	,8654	95,5	,9394	135,5
,4822	16,5	,7494	56,5	,8657	96,5	,9410	136,5
4,4949	17,5	4,7555	57,5	4,8679	97,5	4,9426	137,5
,5070	18,5	,7570	58,5	,8701	98,5	,9441	138,5
,5184	19,5	,7607	59,5	,8725	99,5	,9457	139,5
,5295	20,5	,7645	60,5	,8745	100,5	,9475	140,5
,5396	21,5	,7679	61,5	,8767	101,5	,9488	141,5
4,5495	22,5	4,7714	62,5	4,8788	102,5	4,9505	142,5
,5590	23,5	,7748	63,5	,8809	103,5	,9518	143,5
,5680	24,5	,7782	64,5	,8850	104,5	,9554	144,5
,5767	25,5	,7815	65,5	,8850	105,5	,9569	145,5
,5850	26,5	,7848	66,5	,8871	106,5	,9565	146,5

Log. Seite.	Addi- tament.	Log. Seite.	Addi- tament.	Log. Seite.	Addi- tament.	Log. Seite.	Addi- tament.
4,9578	147,5	4,9788	162,5	4,9980	177,5	5,0156	192,5
,9595	148,5	,9802	165,5	,9992	178,5	,0168	195,5
,9607	149,5	,9815	164,5	5,0005	179,5	,0179	194,5
,9622	150,5	,9828	165,5	,0017	180,5	,0190	195,5
,9656	151,5	,9841	166,5	,0029	181,5	,0201	196,5
4,9654	152,5	4,9854	167,5	5,0041	182,5	5,0212	197,5
,9665	153,5	,9867	168,5	,0052	183,5	,0225	198,5
,9679	154,5	,9880	169,5	,0064	184,5	,0254	199,5
,9695	155,5	,9895	170,5	,0076	185,5	,0245	200,5
,9707	156,5	,9906	171,5	,0088	186,5	,0256	201,5
4,9721	157,5	4,9918	172,5	5,0099	187,5	5,0266	202,5
,9754	158,5	,9951	175,5	,0111	188,5	,0277	205,5
,9748	159,5	,9945	174,5	,0122	189,5	,0288	204,5
,9762	160,5	,9956	175,5	,0134	190,5	,0298	205,5
,9775	161,5	,9968	176,5	,0145	191,5	,0309	206,5

§ 9. Ausgeglichene Richtungen, und Log. Sin. der Dreiecksseiten.

(Die Richtungen nach den cursiv gedruckten Punkten sind abgeleitet.)

Punkt.	Richtung.	Log. Sin.	Seite.	Additament.
1 Solak I.				
2 Poetri	0° 0' 0",000	4,521	1995,5	19,75
4 Humbalang	15 5 6 ,407	4,415	1570,9	12,0
5 Sangaboewana I	45 56 26 ,201	4,744	7852,6	55,5
6 Pangraung	71 40 4 ,507	4,419	7085,5	12,4
7 Telaga	116 57 41 ,896	4,658	4659,1	55,9
3 Mentjere	298 56 45 ,910	4,482	8099,8	16,5
2 Poetri.				
8 Dago	0 0 0 ,000	4,545	0465,7	21,8
1 Solak I	288 5 47 ,015	4,521	1995,5	19,75
3 Mentjere	545 17 8 ,995	4,510	4914,5	18,8
5 Sangaboewana I	188 5 14 ,745	4,592	7504,2	27,5
6 Pangraung	245 4 40 ,875	4,547	4854,7	22,5
4 Humbalang	251 49 15 ,997	5,095	9559,5	1,75

3 Mentjéré.

2 Poetri	0° 0' 0",000	4,510 4914.5	18.8
4 Hambalang	16 52 27 ,407	4,552 9859.0	20.9
1 Salak 1	65 45 24 ,186	4,482 8099.8	16.5

4 Hambalang.

2 Poetri	0 0 0 ,000	5,995 9559.5	1.75
5 Sangahoewana 1	101 55 58 ,539	4,554 9080.0	25.1
6 Pangrango	167 52 45 ,520	4,407 0557.1	11.7
1 Salak 1	229 21 56 ,951	4,415 1570.9	12.0
3 Mentjéré	288 20 19 ,585	4,552 9859.0	20.9
8 Dago	502 5 14 ,854	4,592 8045.1	27.5

5 Sangahoewana 1.

2 Poetri	0 0 0 ,000	4,592 7504.2	27.5
7 Telaga	279 41 29 ,478	4,774 5507.7	65.4
6 Pangrango	505 12 52 ,169	4,558 2525.4	21.4
1 Salak 1	525 56 55 ,197	4,744 7852.6	55.5
4 Hambalang	545 59 58 ,721	4,554 9080.0	25.1

6 Pangrango.

5 Sangahoewana 1	0 0 0 ,000	4,558 2525.4	21.4
7 Telaga	150 8 55 ,007	4,492 2441.1	17.5
1 Salak 1	228 27 59 ,599	4,419 7085.5	12.4
8 Dago	260 25 20 ,461	4,776 8766.1	64.1
4 Hambalang	288 24 9 ,568	4,407 0557.1	11.7
2 Poetri	291 47 0 ,066	4,547 4854.7	22.5

7 Telaga.

(Bitoeng	0 0 0 ,000)		
1. Salak 1	177 55 4 ,927	4,658 4059.1	55.9
6 Pangrango	214 53 25 ,014	4,492 2441.1	17.5
5 Sangahoewana	240 58 29 ,405	4,774 5507.7	65.4

8 Dago.

(Endoet	0 0 0 ,000)		
2 Poetri	259 44 20 ,621	4,545 0465.7	21.8
4 Hambalang	255 58 52 ,292	4,592 8045.1	27.5
6 Pangrango	271 27 55 ,687	4,776 8766.1	64.1

* Note (s. Seite 51.) Behufs Ausführung der Azimutbestimmungen wurde als Nachtsignal jedesmal eine Lampe benutzt, welche in der Nische eines, in der Entfernung von einigen Hundert Metern vom Beobachtungspfeiler errichteten zweiten Meßlers angebracht war. Das Licht dieser Lampe fiel durch ein kleines Loch, welches in einer an der Seite des Beobachters eingemauerten Blechplatte gelocht war, und dessen Centrum sich in der Mittellinie eines weissen vertikalen Striifens, mit welchem die Blechplatte angestrichen war, befand, und auf welchen aber Tag, bei den horizontalen Winkelmessungen, das Fernrohr gelehrt wurde.

§ 10. Die Basismessung bei Logantong, (Residentschaft Samarang).

WAHL DES TERRAINS.

Die Wahl eines für die Basismessung geeigneten Terrains in Mittel-Java bereite keine besondere Schwierigkeiten. Mit Rücksicht auf die Verbindung der Basis mit dem primären Netze erschien jener Theil des Feldweges, der sich zwischen den Kampongs (Dörfern) Logantong und Penoeuggalan befindet, am geeignetsten.* Hier war die Möglichkeit vorhanden, eine Basis von 4000 Metern in einer Richtung zu messen, ohne die Nothwendigkeit, sich viel von der Axe des Weges zu entfernen, was deshalb als ein Vortheil anzusehen war, weil die Ränder der Feldwege überhaupt weniger gehärtet sind, als der mittlere Theil. Der Weg, der im östlichen Theile der Abtheilung Denak der Residentschaft Samarang liegt, hat eine Breite von 6 bis 7 Metern, war gut unterhalten und mit Korallenblöcken beschüttet.

Dieses Material hatte aber auch oft seine grossen Nachteile. Bei dem geringsten Winde hebelte die aufgewehrte, sehr leichte und feine Staub die Augen und das Instrument, während das grelle Licht, wie die grosse Wärme, an der Oberfläche des Weges sehr hinderlich war. Der Weg vor dem Apparate wurde wiederholt im Laufe des Tages mit Wasser begossen, aber meistens war diese Massregel nicht hinreichend, da auch von den herumliegenden Feldern viel Staub aufwirbelte. Bei herannahenden Staubböden mussten die Klappen der Hüften geschlossen werden, und zuweilen waren selbst die Windstösse so heftig, dass die Hüften entweder mittelst Seile befestigt oder mit den Händen festgehalten werden mussten. Dennoch sind, Dank den genommenen Vorsichtsmassregeln, keine Unglücksfälle mit dem Apparate während der ganzen Messung vorgekommen und nur einzelne Male musste die Arbeit während einiger Minuten unterbrochen werden.

Der lebhafteste Verkehr auf dem Wege, besonders an Pasar- d. h. Markttagen, verursachte öfters Aufenthalt beim Richten der Messstangen; sogar schwer beladene Karren (Grodaks) mussten dann und wann passieren. Die Ablesungen wurden dann selbstverständlich unterbrochen, gaben aber nachher in den meisten Fällen an, der Apparat sei nach den erlittenen Erschütterungen zu seinem vorigen Zustande zurückgekehrt und Verschleigungen seien nicht vorgekommen.

SICHERUNG DER ENDPUNKTE DER BASIS.

Im Anfange wurde die Richtung der Basis durch zwei gemauerte Pfeiler angegeben, welche um einige Meter jenseits der Endpunkte errichtet waren. Zu Logantong wurde zeitig das Fundament für den Endpfeiler gebaut, wie auch ein Trachytblock unter der Axe dieses Pfeilers in den Boden eingemauert, welches die Glaskugel** eingegossen enthielt, welche als Endpunkt der Basis dienen sollte. (2te Abth., S. 16 und Fig. 46). Nur an dieser Seite war es erforderlich den Weg ein wenig zu verlegen.

Die Form und Dimensionen der Pfeiler an den Endpunkten der Basis sind denjenigen des Pfeilers I der Basis bei Simplok, (2te Abth., Tafel V) ganz und gar ähnlich.

* Man sehe den beigelegten Plan.

** Von den Herren Repohl waren dem Basis-Mess-Apparate nur zwei kupferne Cylinder mit bergkrystallinen Halbkugeln beigegeben; diese waren aber bereits bei der Basis von Simplok benutzt worden.

Zu Penonggalan wurde das Fundament für Pfeiler und Trachytblock erst zu einer Zeit gelegt, als die Messung bis auf etwa 500 Meter vom Endpunkte vollendet war. Mit einer Messfeder wurde der überschüssige Theil der Basis so genau wie möglich gemessen, und so der Ort bestimmt, wo die End-Glaskugel kommen sollte. Auf diese Weise wurde es ermöglicht mit dem Basis-Apparate selbst genau bis zum Endpunkt zu messen.

In einer von dem verstorbenen Ingenieur C. Waldringh an mich gerichteten Note kommt über die Sicherung des Endpunktes Folgendes vor:

„Schadet der Endpunkt nicht mehr nötig sein wird, muss die Glaskugel zugemauert werden. Ich habe aber das folgende Mittel bedacht, damit der Endpunkt nachher leicht wieder gefunden werden kann. Ich habe

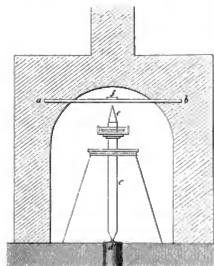


eine Stange *a b* anfertigen lassen, welche im Fundamente mittelst der Anker *a* und *b* fest eingemauert werden kann. In der Mitte dieser Stange ist eine der von Repsold mit dem Basis-Apparat gelieferten, vergoldeten Platten, mit der Inschrift „Triangulation“, mittels Schrauben befestigt. Nun wird der Absetzcylinder *c* auf die Glaskugel *d* gesetzt; dann wird der Kegel *e*, (1^r Alth., Tafel I, fig. 15) aufgeschraubt, und die Stange wird so eingemauert, dass das kleine Loch *f* in der Mitte der Platte gerade über die Spitze des vertikal gestellten Cylinders kommt.“

Ob dieses Mittel wirklich angewandt worden ist, darüber giebt das Archiv keine Auskunft.

DER BASIS-APPARAT UND DIE BENUTZTEN MITTEL. ZUM RICHTEN UND ZUM BESCHÜTZEN DESSELBEN.

Der Apparat war derselbe, mit welchem die Basis zu Simlak gemessen wurde. In der ersten Hälfte des Jahres 1875 wurde der Apparat nach dem Basis-Terrain in Denak hintergeführt und dort in einer Scheune gelagert.



Obwohl das Instrument zu Batavia mit aller Sorgfalt verpackt worden war und der Transport unter guter Aufsicht stattfand, ergab sich doch dass die eingetheilten Glasscheiben der langen Messstangen beschädigt waren. Durch die Erschütterungen bei dem Transporte müssen sie, ungeachtet die Rollen *b* (1^r Alth. Fig. 22) es zu verhindern bestimmt waren, gegen einander gestossen haben, so dass sie an der Unterseite abgeschuert worden waren, was aber an der Lage der Glasscheiben in den Stangen keine Aenderung verursachen konnte. Da bei durchfallendem Lichte abgelesen werden musste, so war diese Abscherung sehr hinderlich. Die bei der vorigen Basismessung benutzte Beleuchtung durch Tageslicht ergab sich jetzt als ungenügend und es musste Sonnen- d. h. Heliotropenlicht angewandt werden. Auch ein Versuch, Lampenlicht anzuwenden, gab keine befriedigende Resultate, so dass die Basismessung vom Sonnenschein abhängig wurde, was dann und wann Aufenthalt verursachte.

Bei der Messung der ersten Basis hatte sich das Bedürfniss nach einem zweiten Paare Absetz-Mantel und Absetz-Platten (1^r Alth., S. 12) fühlbar gemacht, so dass deren auch zwei bei den Herren Repsold bestellt worden waren. Eine dieser letzten war bei Ankuft auf dem Basis-Terrain in Denak defect, die andere wurde neben derjenigen, welche schon bei Simlak gedient hatte, in Gebrauch genommen.

Die Einrichtung dieser neuen Absetz-Vorrichtung ist einigermassen von der alten verschieden. Während bei der letzten, mittels Schrauben, zwei rechtwinklig auf einander gestellte Schlitten in Bewegung kommen, wodurch der Absetz-Cylinder unter das Mikroskop gebracht wurde, und die Bewegung der Absetz-Kugel *a*, (1^r Alth., Fig. 10), durch die oben aus dem Mantel hervorragenden Stangen *f* dirigirt wurde, hat die neue Absetz-Platte nur eine Scheide, welche durch Schrauben in zwei Richtun-

gen rechtwinklig gegen einander verschoben, und überdies um ihre eigene Achse herumdreht werden kann. Diese Verschiebung erfordert also eine zweite Person, die durch zwei Öffnungen im Mantel, welche durch Klappen geschlossen werden können, die Bewegung der Scheibe reguliren muss.

Der Zweck dieser veränderten Vorrichtung, welche der früher beschriebenen an Bequemlichkeit nachsteht, ist den Ingenieuren nicht deutlich geworden. Er ist für das Absetzen bei Beendigung der Tagesarbeit sehr bequiem, wenn man die Stange *f* ausserhalb des Mantels selbst drehen kann, und wenn am folgenden Tage der Absetz-Cylinder wieder aufgerichtet werden muss, braucht man nur dieselben Stangen zu entfernen, wodurch jede Verschiebung der Absetz-Kugel unmöglich wird.

Es wurde von den Herren Repsold auch noch ein Apparat beigelegt, welcher den Zweck hatte, absetzen oder vielmehr ablesen zu können, im Falle bei einer zweiten Messung die Glaskugel zu weit abstände, so dass die Theilung des Absetz-Cylinders nicht unter das Mikroskop gebracht werden konnte, was vorkommen kann, sobald bei der zweiten Messung die Temperatur viel höher oder niedriger ist, als bei der ersten, und wenn bei dem Stellen der Stangen darauf keine Rücksicht genommen wird. Während der ganzen Messung ist aber kein einziges Mal dieser Apparat benutzt worden, weil er bei sehr kleinen Unterschieden nicht brauchbar ist, und grössere nicht vorkommen.

Für das Richten der Messstangen wurde ein Versuch gemacht, ein in der Richtung der Basis aufgestelltes Universal-Instrument zu benutzen, wie dies auch die Absicht des Verfertigers des Apparates gewesen war. Jede Messstange trägt nämlich zu diesem Zwecke an ihrem Ende eine weisse Porzellanscheibe *m*, (1^{te} Abth., S. 10 und Fig. 1.) die in der Mitte durchbohrt ist. Aber die vor der ersten Basismessung bereits vorausgesehenen Nachteile, deren schon in der 2^{ten} Abtheilung, S. 15 gedacht ist, machten sich in hohem Masse fühlbar, und alsbald wurden wieder die mit Senkbloßen versehenen Rahmen, Fig. 41 und 42 angewandt, und weiter ebenso verfahren, wie a. a. O. beschrieben worden ist.

Ebenso waren auch die Hütten den bei Simlak benutzten ähnlich; wie dort, isolirten sich die Beobachter, so gut es anging, auf Brettern, welche an beiden Enden auf Blöcken ruhten; die Stellen, wo die Böcke zu stehen kamen, wurden im Voraus dazu fertig gemacht, d. h. entweder gehärtet, oder angefüllt, u. s. w. Noch wurden die Böcke zur Erhöhung ihrer Stabilität durch eisernen Ballast beschwert.

BEOBSACHTER UND HÜLFSPERSONAL.

Beim Beginne der Messung, Anfang Juli 1875, waren auf dem Basis-Terrain als Beobachter thätig: der mit der Leitung beauftragte Ingenieur Woldrigh, der Assistent Teimissen, und die bei dem Geographischen Dienste angestellten Unterofficiere Bergmann und Zell, während vier andere Unterofficiere als Hilfsarbeiter fungirten; ausserdem standen für den Transport der Messstangen und Hütten die nöthigen Mandurs (Aufseher) und Kulis (Arbeiter) zur Verfügung.

Gegen Ende August langten auch der Ingenieur Soeters, sowie der Assistent J. A. Oudemans auf dem Terrain an. Beim Beginne der Messung der zweiten Hälfte der Basis übernahm erstgenannter, als in Anciennität der ältere, die Leitung von dem Ingenieur Woldrigh und während früher das europäische Personal in zwei Gruppen eingetheilt war, konnte nun eine Theilung in drei Gruppen gemacht werden, was wegen der häufig unter den Hütten eintretenden Temperatur von 58° C. erwünscht sein konnte.

Die Absicht, an jedem Tage möglichst 200 Meter zu messen, wie dies ausnahmsweise bei der ersten Basismessung gelungen war, konnte anfangs in Folge verschiedener Ursachen, nämlich heftiger Winde, und des durch diese aufgewehten Staubes, Mangel an Sonnenschein, u. s. w. nicht durchgeführt werden.

Dann und wann trat auch durch Krankheit des Personals eine Störung ein. Durchschnittlich wurden bei Vollendung der ersten 2000 Meter täglich nur 100 Meter gemessen, sobald aber drei Gruppen mitarbeiteten, wurden die Umstände günstiger, so dass täglich 200 Meter gemessen wurden, nämlich je 100 Meter von einer Gruppe.

Da bei dieser Messung zwei Absetz-Platten nebst Mänteln zur Verfügung standen, war es unnötig, wie dies bei Simplak geschah, bei je 200 Meter mit einer eingemauerten Glaskugel abzusetzen, dazu diente nämlich die Absetz-Platte. Sobald die folgenden 200 Meter doppelt gemessen waren, konnte die hintere Absetz-Platte entfernt werden. Wäre die dritte Absetz-Platte nicht defect angekommen, so hätten ihrer zwei stehen bleiben können, wodurch die Messung doch behalten wäre, selbst in dem Falle, dass die Kugel der vorderen Absetz-Platte durch Versetzen versetzt worden wäre.

Nachdem 445 Meter gemessen worden waren, ergab sich die Nothwendigkeit, den Apparat des eingedrungnen Staubes wegen zu reinigen und alle Rectificationen nachzusehen, so dass der Ingenieur Woldringh auch dort eine feste Glaskugel einmauerte.

Die Ausführung der Basismessung.

Wie bereits erwähnt, wurde der ganze Basis-Apparat Anfang Juli von Batavia angefahren und in Penoeengalan ausgepackt und aufgestellt. Am 11 Juli wurde er nach dem anderen Ende der Basis, wo die Messung anzufangen beabsichtigt war, hinübergetragen, und nach einigen Uebungen und Widerwärtigkeiten gelang am 16 Juli die erste stimmungsfähige Messung von 50 Metern. Am 17 Juli mass man weitere 100 Meter. Am 18 wurden sämtliche 150 Meter zum zweiten Male gemessen; der höheren Temperatur wegen aber kam die Achse des letzten Mikroskopes der Absetzkugel vorüber, aber nicht weit genug um den für ähnliche Fälle von den Herren Repsold geschickten Hilfsapparat anzuwenden. Ingenieur Woldringh entschloss sich, die letzten 100 Meter am folgenden Tage noch einmal zu messen, und bei dem Stellen der Messungen unter die Mikroskope auf die Temperatur Rücksicht zu nehmen.

Die folgenden 4 Tage lieferten nichts Besonderes. Am 24 wurde, wie oben schon vermeldet, auf 445 Meter eine feste Glaskugel eingemauert. Die Messung wurde bis auf 450 Meter fortgesetzt und dort mittels der Absetz-Platte abgesetzt. Erst am folgenden Tage, als das Cement, mit welchem man den Trachytlöcher, der die Glaskugel enthielt, eingemauert hatte, hinreichend erhärtet war, konnte die Entfernung der beiden Kugeln bestimmt werden.

Nach der Reinigung des Apparates wurde die zweite Messung der letzten 100 Meter verrichtet, diesmal war das Absetzen auf die Platte zwar möglich, aber doch schwierig, weil die Kugel etwas zu weit vom Mikroskop abstand, aber wieder nicht hinreichend weit um den Hilfsapparat von Repsold zu benutzen. Der Ingenieur Woldringh entschloss sich aufs Neue, die letzten 100 Meter überzumessen, was am folgenden Tage geschah, wo das Absetzen, sowohl auf die feste Glaskugel, als auf die Absetz-Platte, gelang.

Ohne Störung wurde an den folgenden Tagen die Messung bis 950 Meter fortgesetzt, während immer jede Strecke von 100 Meter an zwei auf einander folgenden Tagen gemessen wurde.

Am 7 August wurde von 950—1000 Meter gemessen, und dort eine feste Glaskugel eingemauert. Am folgenden Tage hätten die letzten 50 Meter aufs Neue gemessen werden müssen. Nachdem der Absetz-Cylinder auf die Glaskugel, am 950^{ten} Meter, gesetzt worden, drehte einer der Hilfsarbeiter aus Versetzen an derjenigen Schraube der Absetz-Platte, durch welche diese in der Richtung der Basis verstellt wurde. Der Nullpunkt dieses Tages war also nicht nur verloren, sondern auch der Endpunkt der vorigen 505 Meter. Die zweite Messung wurde also nutzlos gewesen sein, und es blieb die Wahl übrig, entweder die ganze Strecke von 445 Meter an nochmals zu messen, oder es dabei bewenden zu lassen, wodurch also die letzten 50 Meter (950—1000) nur einmal gemessen waren.

Weil nun aber die Messung jener 50 Meter ohne irgend ein Missgeschick ganz glücklich von Statton gegangen war, entschloss sich Herr Woldringh zur letztgenannten Alternative.

Am 9 August wurde der Apparat wieder gereinigt, kleine Reparaturen an den Mikroskopen ausgeführt und die Rectification aller Theile des Apparates untersucht, und wo nöthig hergestellt.

Die Messung und Widermessung der folgenden 1000 Meter geschah ohne die mindeste Störung. Der Wind hinderte viel weniger, als während der Messung der ersten 1000 Meter; eine häufig

eintretende Störung verursachte dagegen die trübe Luft; denn wegen der Unmöglichkeit den Apparat ohne Sonnenschein abzulesen, konnte oft erst um 8 oder 8½ Uhr mit der Messung begonnen werden.

Bei 2000 Meter wurde wieder eine feste Glaskugel eingemauert.

Von nun an wurden, wie oben schon mitgeteilt, unter Leitung des Herrn Ingenieur Soeters, täglich 200 Meter gemessen, während die zweite Messung immer gleich am folgenden Tage ausgeführt wurde.

Wieder ohne Störung gelangte man bis 5000 Meter, und dieser Punkt wurde abermals durch eine eingemauerte Glaskugel angedeutet.

Am 25. September wurde der Endpunkt der Basis bei 4175 Meter erreicht, und dort eine der neulich von den Herren Repsold empfangenen bergkrystallinen Absatz-Kugeln eingemauert. Bereits bei 4170 Meter war mit der Platte abgesetzt. Am folgenden Tage wurde erst die Entfernung von der Platte bis zur Krystallkugel und dann die Distanz 4000—4175 aufs Neue mit dem Apparat gemessen.

Hiermit war die Messung der Basis in Mittel-Java beendigt.

Vom Anfange (16. Juli) bis zum Ende (24. September) sind 71 Werktage; hiervon müssen abgezogen werden 4 Tage für die Reinigung des Apparates, und 5 Tage für misslungene Messungen, es bleiben also 62 Tage übrig, welche für die Doppelmessung von 4125 Metern, und die einzelne Messung von 50, also für die Messung von 8500 Metern nötig waren, was im Durchschnitt 154 Meter täglich giebt. 56 Meter pro Stunde war etwa das Maximum der erreichten Geschwindigkeit.

Wie bei der vorigen Basismessung wurde immer die Zeit der Messungen und die Lufttemperatur notirt; man brauchte (2^o Abth., S. 25—27) die erstgenannten, um die nicht berücksichtigte Ausdehnung der Mikroskopträger zu berechnen.

An jedem Tage wurde auch, vor dem Anfange und nach dem Ende der Messung, der Nullpunkt des festen Niveaus des Gradhogens (1^o Abth., S. 10) und der Gang (Rm) der Mikrometerschrauben der Mikroskope bestimmt.

VORLÄUFIGE REDUCTION DER MESSUNGEN.

An jedem Tage wurden nach Beendigung der Messung die gedruckten Formulare (2^o Abth., S. 19) aus den Feldbüchern eingelegt, die Correction für Gang der Mikrometerschrauben und für Neigung, und weiter vorläufig die Reduction mittels der Indischen Coefficienten P, Q, R und S berechnet, wodurch der Vortheil erreicht wurde, dass jedesmal die beiden Messungen derselben Strecke gleich nach Beendigung der zweiten Messung unter sich verglichen werden konnten.

Die sämtlichen Resultate der Tagesmessungen waren in Mikrons die nachstehenden:

Erste Messung.

Zweite Messung.

	$I_1 + I_0$	A bis D	ΔI	ΔIV	ΔII	ΔIII	$I_1 + I_0$	A bis D	ΔI	ΔIV	ΔII	ΔIII
Erster Theil.												
A	2000	+1101,5	2500	690	1822	201	-1250,5	+1508,5	2426,5	583	1536	76,5
B	1503	+626,5	5503,5	1535	9888,5	587	-1113	-637	5649,5	1392	10031	138
C	1787,5	+523	6082	1733	11000,5	782	-1108	-23	6823	1714,5	11198	768,5
D	1053,5	+1893,5	6730	1726	11118	745	-1670	-985,5	7469	1582	13835	912
E	1339	+2159,5	6401,5	1587	10575	692	-1295	-1182	8751	2271,5	13112,5	1310
F	1116	-391	6510	1669	11196	669	-837	-393	6966,5	1565	16111	516
G	909	-851	6798	1761	11274,5	772,5	-1062,5	-1012	7268	1718	11722	785
H	1267,5	-591	5090	1510	9156	311	-1521,5	-1188	5215,5	1589,5	9193	411,5
I	538	-676,5	5690,5	1366	10080,5	380	-92,5	-2395	6129,5	1905	10935,5	715
K	1191,5	-569,5	6018	1807	11288	835	-913	-1298,5	5539,5	1158	9816	181
L	661	-81	2396	531	1169,5	11,5	-661	-81	2396	531	1169,5	11,5
	-14367	+6607	61639,5	15735	105198,5	5806	-13013	+1732,5	61051	16039,5	167562	6388
		-3166						6211				
		+3131						-1181,5				
Zweiter Theil.												
M	1207	-120	6813	1793	11209	817	-1201,5	-531	6319	1179	16631	551
N	-1695,5	+169	6900,5	1727	11279	759	-1189	+618,5	6528	1591	16781	678
O	6213	+139	6756	1646	11013,5	701	-6017,5	+126,5	6758	1399	16972	687
X	-2563	+256,5	6586,5	1607,5	10823	676	-2802	-1119	7710	1998	11916	107
Y	2313,5	+659	7015,5	1918	11662	1013	-2392	+1567	7561,5	1805,5	15914,5	867,5
Q	2339	+509,5	7128	1818	11710	886	-2196,5	-2166	6132	1586	167	637,5
R	1751	+308	6915	1367,5	10238	127	-1918	-370	6521,5	1561	16800	651
S	-2063	+285	8121	2627	12181	1122	-1810,5	-332	8371	2200	12696	1263
T	1721	+592	8015	1916,5	12100	1061	-999,5	-32	7873	1922	12172	1002
U	2737,5	+2581,5	8150	2006	11983	932	-2558	-1639,5	10167	2675,5	11128	1773
V	-21795,5	+5692,5	72710,5	17887	116237,5	8121	-23759,5	+1962	71017	18381	116767,5	9191
		-120						-3792,5				
		+5182,5						+1169,5				
Dritter Theil.												
W	-1252,5	-1082,5	17393	1375	14721,5	2772	-1155	-959	15769,5	1099	23575	2333,5
X	-5666	-606	19921	5076	20275,5	2919	-5577,5	-1189	18698	4738,5	25865	2615,5
Y	-11271	-1231	11711,5	3755	23230	1820	-11721,5	-519	11671	3683	22992	1716
Z	-1867,5	-1499	13182	3731	23561	1818	-3715	-3210,5	16394	3857	24091,5	1982
AA	-7195	-976	17872	1329	25868	2267	-7156	-2781	18695	1662	27223	2783
	-35552	+5311,5	83079,5	21366	126693	11626	-31650	+2118	8139,5	21039,5	126316,5	11160
								-6570,5				
								-1422,5				
Vierter Theil.												
BB	-7295	-1556,5	15149,5	3818	23952,5	1991,5	-6052	-3138	16188,5	1007	24631	2090
CC	-4120,5	+2620,5	17209,5	1657	25082	2398,5	-1172	-1131	16111	4138	24718,5	2291
DD	-2163	-1107	17173,5	1121	26102	2152	-2327	-1314	17516	3297	25892	2321,5
EE	-1731	-1574	17923,5	1188,5	26210	2198	-1303	-1311	17569	3349	25917	2596,5
FF	-3665,5	-1192	18092	1501	26571	2632	-3863	-392	17971	4318	25521,5	2431
GG	-1554,5	-736	15638	3811,5	22889,5	2079	-1979,5	-1713	16514,5	4111	22725	2217
	-26831,5	+2620,5	101090	25517	151217	13952	-26296,5	+4526	101291	25250	119138	13693
		-6675,5						7629				
		-1055						-3163				
Receptiv- lation.												
	-11367	+3411	61639,5	15735	105198,5	5806	-13013	+1181,5	61051	16039,5	167562	6388
	-21795,5	+5182,5	72710,5	17887	116237,5	8121	-23759,5	+1695,5	71017	18381	116767,5	9191
	-35552	+5311,5	83079,5	21366	126693	11620	-31650	+1222,5	8139,5	21039,5	126316,5	11160
	-26831,5	-1055	101090	25517	151217	13952	-26296,5	-3163	101291	25250	119138	13693
Summe:	99510	-716	319155,5	80535	398256	39898	97716	-7837,5	323531,5	50710	500111	16732
		-100292							105553,5			
Multiplikator:			P	S	Q	R	Multiplikator:		P	S	Q	R

DEFINITIVE REDUCTION DER MESSUNGEN.

Die mittlere Temperatur während der Basismessung wurde gefunden:

Für die erste Hälfte 28,67,

„ „ zweite „ 52,46,

Also im Mittel 50,57.

Hiermit entspricht, (siehe oben S. 16.) $T = 0,5826$, und weiter:

$P = 0,5862$.

$Q = 0,6185$,

$R = 0,6045$,

$S = 0,64955$.

Multipliziert man mit diesen Coefficienten die ΔI , ΔII , ΔIII und ΔIV der obenstehenden Tabelle, und addirt man für jeden Tag die Intervalle A bis D , so findet man auch für jeden Tag den Betrag, welcher der vollen Zahl der Längen der Messstangen hinzugefügt werden muss.

ERSTER THEIL.

	Länge in Metern.	Erste Messung. Millimeter.	Zweite Messung. Millimeter.	Unterschied, 1 ^{te} 2 ^{te} Messung.
A	50	4,096	4,004	+ 0,092
B	100	9,814	9,877	— 0,065
C	100	11,065	11,087	— 0,024
D	100	15,247	15,400	— 0,155
E	100	12,804	12,725	+ 0,081
F	100	10,578	10,742	— 0,164
G	100	10,755	10,892	— 0,159
H	100	7,510	7,258	+ 0,252
I	100	9,410	9,154	+ 0,256
K	100	10,967	10,905	— 0,062
L	50	5,775	5,775	
	1000	+ 104,017	+ 105,817	+ 0,200

ZWEITER THEIL.

M	100	10,989	10,904	+ 0,085
N	100	11,071	11,095	— 0,022
O	100	6,205	6,506	— 0,101
P	100	9,497	9,651	— 0,154
Q	100	12,299	12,294	+ 0,005
R	100	11,548	11,452	+ 0,096
S	100	9,618	9,592	+ 0,026
T	100	12,694	12,769	— 0,075
U	100	15,170	12,961	+ 0,178
V	100	15,302	15,487	+ 0,115
	1000	+ 110,962	+ 110,589	+ 0,175

* Angenommen wie bei der ersten Messung.

DRIITTE THEIL.

W	180	+	24,721	+	24,690	+	0,051
X	220		28,577		28,452	+	0,125
Y	200		14,012		15,985	+	0,027
Z	200		19,498		19,559	+	0,041
AA	200		22,175		22,255	+	0,082
	1000	+	108,981	+	108,921	+	0,060

VIERTER THEIL.

BB	200		18,645		18,790		0,145
CC	200		28,759		28,897		0,158
DD	200		26,858		26,705	+	0,155
EE	200		25,026		24,967	+	0,059
FF	200		26,479		26,606		0,127
GG	175		21,461		21,048	+	0,415
	1175	+	147,208	+	147,011	+	0,197

Der ganze Unterschied zwischen den beiden Messungen ist also 0,950 mM, um welchen das Resultat der ersten Messung grösser ist. Auf die Länge der Basis, 4175 Meter, ist dies nicht mehr als 1: 4 500 000.

Reduciren wir weiter die Unterschiede der ersten und zweiten Messung der Sectionen A bis X und G G durch Multipliciren mit $\sqrt{\frac{200}{50}}$, $\sqrt{\frac{200}{100}}$, $\sqrt{\frac{200}{180}}$, u. s. w. alle auf 200 Meter, so bekommen wir

$$\begin{aligned}
 \text{m. F. eines Unterschiedes zweier Messungen von 200 Meter} &= \pm 0,205 \text{ mM}, \\
 \text{„ „ einer einzelnen Messung} &= \pm 0,205: \sqrt{2} = \pm 0,144 \text{ „}, \\
 \text{„ „ des Mittels aus zwei Messungen} &= \pm 0,102 \text{ „}, \\
 \text{„ „ der ganzen Basis} &= \pm 0,102 \sqrt{20,875} = \pm 0,464 \text{ „}, \\
 \text{und der w. F.} &= 0,6745 \times \pm 0,464 = \pm 0,515 \text{ „},
 \end{aligned}$$

was also $\frac{1}{15\,351\,000}$ der Basis beträgt. Diese Genauigkeit übertrifft also noch bei weitem diejenige, welche bei der ersten Basismessung erreicht worden war, worauf vielleicht die grössere Festigkeit des Weges Einfluss gehabt haben mag, was doch aber von der Sorgfalt, mit welcher das Personal seiner Aufgabe nachkam, ein löbliches Zeugniß abgibt.

VERGLEICHUNG DER MESSSTANGEN MIT DEM NORMALMETER VOR UND NACH DER BASISMESSUNG.

Für die Vergleichung der Messstangen vor der Basismessung bei Logantong wurde jene angenommen, welche nach der Basismessung bei Simprak ausgeführt worden war, (1^{te} Abth., S. 70 bis 77). Nach der Basismessung bei Logantong wurden die Messstangen nach Batavia hinübergeführt. Der Con-

parator, welcher früher in meiner Wohnung in Batavia, (Kramat, dem Eingange des Gutes Lantar Satoe gegenüber.) aufgestellt war, wurde nach Beendigung der Messungen, nach dem neuen Gebäude des Marine-Departements in Goenoeng Sahari hinübergebracht, wo zwei Zimmer für die Abtheilung „Geographischer Dienst“ gehaut worden waren. Ich verliess Batavia am 25 August 1875, während die Basismessung in Denak noch in vollem Gange war; nach meiner Abreise haben die Vergleichen im Local des genannten Dienstes im Marine-Departement stattgefunden, woran sich der Ingenieur Woldringh, der Assistent de Vletter und der dem Geographischen Dienste zur Verfügung gestellte Adjudant-Unterofficier Bergmann betheiligten. Erstgenannter hatte an den früheren Beobachtungen Theil genommen, und war also mit der Manipulation des Comparators hinreichend vertraut.

Es folgen hier die Tabellen, welche die Resultate der einzelnen Vergleichen enthalten. Diese sind nicht immer wie früher durch die 24 Stunden des Tages fortgesetzt worden; was aber von geringer Wichtigkeit ist, da, wie die früheren Messungen dargethan haben, constante Unterschiede bestehen können, ungeachtet dass die periodischen eliminirt werden.

RESULTATE DER VERGLEICHUNG DER MESSSTANGE II

Fenster geschlossen. Beleuchtung mittels Lampen, und mit geschlossen

I ₁					I ₂				
1876.	Temperatur Celsius.		I ₁ -N.	Z-S Mess- stange.	Z-S Normal- meter.	1876.	Temperatur Celsius.		I ₂ -N.
	Im Zimmer.	Im Kasten.					Im Zimmer.	Im Kasten.	
20 April	27°.28	27°.38	— 80,16	205,39	192,13	30 April	27°.33	27°.02	— 81,58
18 ¹ 34 ¹	27°.35	27°.31	— 77,76	202,29	190,60	19 ¹ 45 ¹	27°.53	27°.13	— 72,90
20 38	27°.73	27°.43	— 77,89	202,11	191,61	20 36	27°.58	27°.26	— 70,17
21 36	27°.92	27°.51	— 79,37	204,39	192,44	21 37	28°.82	27°.41	— 70,57
22 39	28°.17	27°.73	— 78,17	203,41	194,04	22 37	28°.07	27°.56	— 71,57
23 36	28°.12	27°.76	— 77,88	208,31	196,78	23 37	28°.32	27°.71	— 72,20
30 April	28°.17	27°.83	— 78,60	210,18	199,53	1 Mei	28°.67	28°.19	— 73,65
0 36	28°.37	27°.88	— 77,95	212,80	202,21	1 37	28°.77	28°.19	— 70,93
1 37	28°.12	27°.96	— 80,07	211,07	200,31	2 30	28°.39	28°.19	— 72,20
2 28	28°.37	28°.19	— 80,16	217,08	202,37	3 39	28°.37	28°.19	— 73,15
3 39	28°.32	28°.21	— 81,83	219,93	203,75	4 39	28°.27	28°.19	— 70,70
4 38	28°.32	28°.29	— 83,47	220,21	207,33	6 38	28°.12	28°.29	— 73,13
5 38	28°.22	28°.29	— 85,13	221,01	205,22	7 37	27°.97	28°.31	— 71,92
6 38	28°.22	28°.29	— 82,84	221,98	207,52	8 38	28°.15	28°.31	— 72,82
Im Mittel:	28°.16	27°.88	— 81,10	212,31	199,21				

RESULTATE DER VERGLEICHUNG DER MESSSTANGE III

Fenster geschlossen. Bei II₁, II₂ und II₃ war der Kasten geschlossen und geschah die Beobachtung

Beobachter: Ingenieur Woldringh, Assistent

II ₁							II ₂						
Beob- achter.	1876.	Temperatur Celsius.		II ₁ -N.	Z-S Mess- stange.	Z-S Normal- meter.	Beob- achter.	1876.	Temperatur Celsius.		II ₂ -N	Z-S Mess- stange.	Z-S Normal- meter.
		Im Zimmer.	Im Kasten.						Im Zimmer.	Im Kasten.			
V	9 ¹ Mai	28°.77	28°.87	— 192,00	212,80	219,27	W	9 ¹ Mai	28°.72	28°.82	— 250,21	611,35	611,35
s	10 11	28°.72	27°.79	— 190,01	212,50	215,86	s	10 1	28°.67	28°.82	— 255,36	611,87	611,87
s	11 9	28°.67	28°.74	— 189,01	212,20	215,29	s	11 10	28°.42	28°.74	— 251,88	611,29	611,29
s	12 9	28°.62	28°.69	— 188,99	211,67	211,11	s	12 4	28°.37	28°.69	— 250,16	611,10	611,10
W	13 5	28°.12	28°.62	— 188,78	212,30	213,27	s	13 6	28°.12	28°.19	— 255,02	609,09	609,09
s	14 7	28°.27	28°.19	— 188,65	211,09	212,87	s	14 6	28°.02	28°.12	— 254,63	608,16	608,16
s	15 7	28°.02	28°.30	— 188,67	208,97	212,41	s	15 7	27°.78	28°.29	— 255,11	606,26	606,26
s	16 6	27°.92	28°.32	— 189,27	209,16	209,65	s	16 6	27°.53	28°.11	— 255,83	601,95	601,95
s	17 8	27°.71	28°.06	— 190,11	205,07	207,49	s	17 6	27°.33	27°.93	— 257,11	601,62	601,62
s	18 7	27°.38	27°.08	— 188,88	202,81	205,93	s	18 6	27°.18	27°.78	— 258,13	597,81	597,81
B	19 8	27°.82	28°.03	— 188,33	202,41	202,60	B	19 11	27°.43	27°.68	— 255,01	597,73	597,73
s	20 8	28°.37	28°.03	— 188,16	200,12	202,31	s	20 7	27°.38	27°.78	— 255,48	597,55	597,55
s	21 7	28°.62	28°.19	— 189,27	198,50	203,69	s	21 7	27°.07	27°.88	— 256,12	591,68	591,68
s	22 7	28°.95	28°.21	— 188,16	198,24	202,62	s	22 7	28°.22	27°.88	— 256,37	591,01	591,01
s	23 6	29°.15	28°.29	— 189,71	200,33	201,60	s	23 7	28°.37	28°.03	— 255,31	589,19	589,19
	12 Mai	29°.30	28°.41	— 188,31	202,88	206,26		12 Mai	28°.62	28°.39	— 253,71	589,15	589,15
s	0 7	29°.81	28°.71	— 187,68	206,11	208,84	s	1 7	29°.25	28°.19	— 251,11	587,92	587,92
W	1 9	30°.01	28°.81	— 188,29	209,80	211,12	V	2 9	29°.25	28°.07	— 251,16	602,92	602,92
s	3 10	30°.16	29°.01	— 189,39	213,71	215,50	s	3 7	29°.35	28°.82	— 252,81	601,91	601,91
s	4 8	30°.16	29°.12	— 189,79	215,79	218,37	s	4 8	29°.40	28°.91	— 253,67	606,31	606,31
s	5 9	30°.06	29°.27	— 189,71	218,09	221,16	s	5 8	29°.30	29°.09	— 255,93	609,07	609,07
s	6 8	29°.91	29°.29	— 188,69	221,32	223,91	s	6 8	29°.25	29°.12	— 258,19	611,97	611,97
s	7 9	29°.76	29°.29	— 189,08	221,51	225,04	s	7 8	29°.20	29°.09	— 253,61	613,11	613,11
s	8 9	29°.50	29°.29	— 189,41	221,61	225,53	s	8 8	28°.67	28°.09	— 251,80	616,18	616,18
		28°.08	28°.03	— 189,11	209,56	212,31			28°.15	28°.15	— 255,09	601,13	601,13

DEM NORMALMETER, FÜR ALLE CORRECTIONEN VERBESSERT.

Kasten. Beobachter: Ingenieur Woldringh und Adjutant-Unterofficier Bergmann.

I ₂						I ₁					
1876	Temperatur Celsius.		I ₂ -N.	Z-S Mean- stage.	Z-S Normal- meter.	1876	Temperatur Celsius.		I ₁ -N.	Z-S Mean- stage.	Z-S Normal- meter.
	Im Zimmer.	Im Kasten.					Im Zimmer.	Im Kasten.			
1 Mai						2 Mai					
10 ^h 37 ^m	27° 23	27° 10	204.19	180.22	184.63	20 23	28° 07	27° 76	74.84	213.40	109.11
20 50	27 57	27 33	200.50	190.60	186.93	20 28	28 22	27 58	72.95	217.31	201.86
21 15	27 57	27 46	202.52	191.60	191.84	21 6	28 22	27 58	72.95	217.31	201.86
22 15	27 57	27 46	202.52	191.60	191.84	22 10	28 22	27 58	72.95	217.31	201.86
23 38	28 22	27 83	200.20	193.89	194.53	23 7	28 72	28 27	73.45	220.90	203.48
2 Mai						3 Mai					
0 34	28 52	28 01	199.61	167.88	198.11	0 9	29 10	28 49	73.90	224.74	209.97
1 30	28 47	28 27	199.08	169.00	201.76	1 12	29 10	28 49	73.91	224.75	210.79
2 26	28 77	28 45	190.51	201.09	202.28	2 17	29 50	29 07	75.06	235.55	218.13
3 30	28 85	28 49	198.37	209.09	205.11	3 25	29 70	29 19	74.90	235.48	221.84
4 58	28 72	28 04	196.12	202.20	208.29	4 11	29 70	29 19	74.42	237.18	224.38
5 37	28 85	28 74	197.68	211.78	209.44	5 10	29 70	29 24	74.44	241.67	227.17
6 37	28 85	28 74	193.53	213.49	212.78	6 9	29 40	29 29	76.38	242.92	230.10
7 37	28 49	28 38	195.48	213.50	214.11	7 1	29 15	29 04	77.30	246.09	232.50
8 37	28 42	28 78	195.63	211.86	215.26	8 8	29 20	29 10	75.03	246.26	235.65
	28 42	28 15	198.70	201.11	201.29		29 11	28 73	73.26	241.37	217.84

4 DEM NORMALMETER, FÜR ALLE CORRECTIONEN VERBESSERT.

durch Lampen. Bei II₁ war der Kasten offen und geschah die Beleuchtung durch reflectirtes Sonnenlicht.

le Vletter, und Adjutant-Unterofficier Bergmann.

H_1							H_2						
beob. barber.	1876	Temperatur Celsius.		$H_1 - N$.	$Z - S$ Mess- sänge.	$Z - S$ Normal- factor.	Beob. barber.	1876	Temperatur Celsius.		$H_2 - N$.	$Z - S$ Mess- sänge.	$Z - S$ Normal- factor.
		Im Zimmer	Im Kasten						Im Zimmer	Im Kasten			
W	22 30 31 32 33 34 35 36 37 38 39 40 41 42 43 44 45 46 47 48 49 50 51 52 53 54 55 56 57 58 59 60 61 62 63 64 65 66 67 68 69 70 71 72 73 74 75 76 77 78 79 80 81 82 83 84 85 86 87 88 89 90 91 92 93 94 95 96 97 98 99 100	38 39 40 41 42 43 44 45 46 47 48 49 50 51 52 53 54 55 56 57 58 59 60 61 62 63 64 65 66 67 68 69 70 71 72 73 74 75 76 77 78 79 80 81 82 83 84 85 86 87 88 89 90 91 92 93 94 95 96 97 98 99 100	28 29 30 31 32 33 34 35 36 37 38 39 40 41 42 43 44 45 46 47 48 49 50 51 52 53 54 55 56 57 58 59 60 61 62 63 64 65 66 67 68 69 70 71 72 73 74 75 76 77 78 79 80 81 82 83 84 85 86 87 88 89 90 91 92 93 94 95 96 97 98 99 100	28 29 30 31 32 33 34 35 36 37 38 39 40 41 42 43 44 45 46 47 48 49 50 51 52 53 54 55 56 57 58 59 60 61 62 63 64 65 66 67 68 69 70 71 72 73 74 75 76 77 78 79 80 81 82 83 84 85 86 87 88 89 90 91 92 93 94 95 96 97 98 99 100	50,13 50,22 50,31 50,40 50,49 50,58 51,07 51,16 51,25 51,34 51,43 51,52 52,01 52,10 52,19 52,28 52,37 52,46 52,55 53,04 53,13 53,22 53,31 53,40 53,49 53,58 54,07 54,16 54,25 54,34 54,43 54,52 55,01 55,10 55,19 55,28 55,37 55,46 55,55 56,04 56,13 56,22 56,31 56,40 56,49 56,58 57,07 57,16 57,25 57,34 57,43 57,52 58,01 58,10 58,19 58,28 58,37 58,46 58,55 59,04 59,13 59,22 59,31 59,40 59,49 59,58 60,07 60,16 60,25 60,34 60,43 60,52 61,01 61,10 61,19 61,28 61,37 61,46 61,55 62,04 62,13 62,22 62,31 62,40 62,49 62,58 63,07 63,16 63,25 63,34 63,43 63,52 64,01 64,10 64,19 64,28 64,37 64,46 64,55 65,04 65,13 65,22 65,31 65,40 65,49 65,58 66,07 66,16 66,25 66,34 66,43 66,52 67,01 67,10 67,19 67,28 67,37 67,46 67,55 68,04 68,13 68,22 68,31 68,40 68,49 68,58 69,07 69,16 69,25 69,34 69,43 69,52 70,01 70,10 70,19 70,28 70,37 70,46 70,55 71,04 71,13 71,22 71,31 71,40 71,49 71,58 72,07 72,16 72,25 72,34 72,43 72,52 73,01 73,10 73,19 73,28 73,37 73,46 73,55 74,04 74,13 74,22 74,31 74,40 74,49 74,58 75,07 75,16 75,25 75,34 75,43 75,52 76,01 76,10 76,19 76,28 76,37 76,46 76,55 77,04 77,13 77,22 77,31 77,40 77,49 77,58 78,07 78,16 78,25 78,34 78,43 78,52 79,01 79,10 79,19 79,28 79,37 79,46 79,55 80,04 80,13 80,22 80,31 80,40 80,49 80,58 81,07 81,16 81,25 81,34 81,43 81,52 82,01 82,10 82,19 82,28 82,37 82,46 82,55 83,04 83,13 83,22 83,31 83,40 83,49 83,58 84,07 84,16 84,25 84,34 84,43 84,52 85,01 85,10 85,19 85,28 85,37 85,46 85,55 86,04 86,13 86,22 86,31 86,40 86,49 86,58 87,07 87,16 87,25 87,34 87,43 87,52 88,01 88,10 88,19 88,28 88,37 88,46 88,55 89,04 89,13 89,22 89,31 89,40 89,49 89,58 90,07 90,16 90,25 90,34 90,43 90,52 91,01 91,10 91,19 91,28 91,37 91,46 91,55 92,04 92,13 92,22 92,31 92,40 92,49 92,58 93,07 93,16 93,25 93,34 93,43 93,52 94,01 94,10 94,19 94,28 94,37 94,46 94,55 95,04 95,13 95,22 95,31 95,40 95,49 95,58 96,07 96,16 96,25 96,34 96,43 96,52 97,01 97,10 97,19 97,28 97,37 97,46 97,55 98,04 98,13 98,22 98,31 98,40 98,49 98,58 99,07 99,16 99,25 99,34 99,43 99,52 100,01 100,10 100,19 100,28 100,37 100,46 100,55 101,04 101,13 101,22 101,31 101,40 101,49 101,58 102,07 102,16 102,25 102,34 102,43 102,52 103,01 103,10 103,19 103,28 103,37 103,46 103,55 104,04 104,13 104,22 104,31 104,40 104,49 104,58 105,07 105,16 105,2								
		28 29 30 31 32 33 34 35 36 37 38 39 40 41 42 43 44 45 46 47 48 49 50 51 52 53 54 55 56 57 58 59 60 61 62 63 64 65 66 67 68 69 70 71 72 73 74 75 76 77 78 79 80 81 82 83 84 85 86 87 88 89 90 91 92 93 94 95 96 97 98 99 100	28 29 30 31 32 33 34 35 36 37 38 39 40 41 42 43 44 45 46 47 48 49 50 51 52 53 54 55 56 57 58 59 60 61 62 63 64 65 66 67 68 69 70 71 72 73 74 75 76 77 78 79 80 81 82 83 84 85 86 87 88 89 90 91 92 93 94 95 96 97 98 99 100	28 29 30 31 32 33 34 35 36 37 38 39 40 41 42 43 44 45 46 47 48 49 50 51 52 53 54 55 56 57 58 59 60 61 62 63 64 65 66 67 68 69 70 71 72 73 74 75 76 77 78 79 80 81 82 83 84 85 86 87 88 89 90 91 92 93 94 95 96 97 98 99 100	28 29 30 31 32 33 34 35 36 37 38 39 40 41 42 43 44 45 46 47 48 49 50 51 52 53 54 55 56 57 58 59 60 61 62 63 64 65 66 67 68 69 70 71 72 73 74 75 76 77 78 79 80 81 82 83 84 85 86 87 88 89 90 91 92 93 94 95 96 97 98 99 100	50,13 50,22 50,31 50,40 50,49 50,58 51,07 51,16 51,25 51,34 51,43 51,52 52,01 52,10 52,19 52,28 52,37 52,46 52,55 53,04 53,13 53,22 53,31 53,40 53,49 53,58 54,07 54,16 54,25 54,34 54,43 54,52 55,01 55,10 55,19 55,28 55,37 55,46 55,55 56,04 56,13 56,22 56,31 56,40 56,49 56,58 57,07 57,16 57,25 57,34 57,43 57,52 58,01 58,10 58,19 58,28 58,37 58,46 58,55 59,04 59,13 59,22 59,31 59,40 59,49 59,58 60,07 60,16 60,25 60,34 60,43 60,52 61,01 61,10 61,19 61,28 61,37 61,46 61,55 62,04 62,13 62,22 62,31 62,40 62,49 62,58 63,07 63,16 63,25 63,34 63,43 63,52 64,01 64,10 64,19 64,28 64,37 64,46 64,55 65,04 65,13 65,22 65,31 65,40 65,49 65,58 66,07 66,16 66,25 66,34 66,43 66,52 67,01 67,10 67,19 67,28 67,37 67,46 67,55 68,04 68,13 68,22 68,31 68,40 68,49 68,58 69,07 69,16 69,25 69,34 69,43 69,52 70,01 70,10 70,19 70,28 70,37 70,46 70,55 71,04 71,13 71,22 71,31 71,40 71,49 71,58 72,07 72,16 72,25 72,34 72,43 72,52 73,01 73,10 73,19 73,28 73,37 73,46 73,55 74,04 74,13 74,22 74,31 74,40 74,49 74,58 75,07 75,16 75,25 75,34 75,43 75,52 76,01 76,10 76,19 76,28 76,37 76,46 76,55 77,04 77,13 77,22 77,31 77,40 77,49 77,58 78,07 78,16 78,25 78,34 78,43 78,52 79,01 79,10 79,19 79,28 79,37 79,46 79,55 80,04 80,13 80,22 80,31 80,40 80,49 80,58 81,07 81,16 81,25 81,34 81,43 81,52 82,01 82,10 82,19 82,28 82,37 82,46 82,55 83,04 83,13 83,22 83,31 83,40 83,49 83,58 84,07 84,16 84,25 84,34 84,43 84,52 85,01 85,10 85,19 85,28 85,37 85,46 85,55 86,04 86,13 86,22 86,31 86,40 86,49 86,58 87,07 87,16 87,25 87,34 87,43 87,52 88,01 88,10 88,19 88,28 88,37 88,46 88,55 89,04 89,13 89,22 89,31 89,40 89,49 89,58 90,07 90,16 90,25 90,34 90,43 90,52 91,01 91,10 91,19 91,28 91,37 91,46 91,55 92,04 92,13 92,22 92,31 92,40 92,49 92,58 93,07 93,16 93,25 93,34 93,43 93,52 94,01 94,10 94,19 94,28 94,37 94,46 94,55 95,04 95,13 95,22 95,31 95,40 95,49 95,58 96,07 96,16 96,25 96,34 96,43 96,52 97,01 97,10 97,19 97,28 97,37 97,46 97,55 98,04 98,13 98,22 98,31 98,40 98,49 98,58 99,07 99,16 99,25 99,34 99,43 99,52 100,01 100,10 100,19 100,28 100,37 100,46 100,55 101,04 101,13 101,22 101,31 101,40 101,49 101,58 102,07 102,16 102,25 102,34 102,43 102,52 103,01 103,10 103,19 103,28 103,37 103,46 103,55 104,04 104,13 104,22 104,31 104,40 104,49 104,58 105,07 105,16 105,2							
		28 29 30 31 32 33 34 35 36 37 38 39 40 41 42 43 44 45 46 47 48 49 50 51 52 53 54 55 56 57 58 59 60 61 62 63 64 65 66 67 68 69 70 71 72 73 74 75 76 77 78 79 80 81 82 83 84 85 86 87 88 89 90 91 92 93 94 95 96 97 98 99 100	28 29 30 31 32 33 34 35 36 37 38 39 40 41 42 43 44 45 46 47 48 49 50 51 52 53 54 55 56 57 58 59 60 61 62 63 64 65 66 67 68 69 70 71 72 73 74 75 76 77 78 79 80 81 82 83 84 85 86 87 88 89 90 91 92 93 94 95 96 97 98 99 100	28 29 30 31 32 33 34 35 36 37 38 39 40 41 42 43 44 45 46 47 48 49 50 51 52 53 54 55 56 57 58 59 60 61 62 63 64 65 66 67 68 69 70 71 72 73 74 75 76 77 78 79 80 81 82 83 84 85 86 87 88 89 90 91 92 93 94 95 96 97 98 99 100	28 29 30 31 32 33 34 35 36 37 38 39 40 41 42 43 44 45 46 47 48 49 50 51 52 53 54 55 56 57 58 59 60 61 62 63 64 65 66 67 68 69 70 71 72 73 74 75 76 77 78 79 80 81 82 83 84 85 86 87 88 89 90 91 92 93 94 95 96 97 98 99 100	50,13 50,22 50,31 50,40 50,49 50,58 51,07 51,16 51,25 51,34 51,43 51,52 52,01 52,10 52,19 52,28 52,37 52,46 52,55 53,04 53,13 53,22 53,31 53,40 53,49 53,58 54,07 54,16 54,25 54,34 54,43 54,52 55,01 55,10 55,19 55,28 55,37 55,46 55,55 56,04 56,13 56,22 56,31 56,40 56,49 56,58 57,07 57,16 57,25 57,34 57,43 57,52 58,01 58,10 58,19 58,28 58,37 58,46 58,55 59,04 59,13 59,22 59,31 59,40 59,49 59,58 60,07 60,16 60,25 60,34 60,43 60,52 61,01 61,10 61,19 61,28 61,37 61,46 61,55 62,04 62,13 62,22 62,31 62,40 62,49 62,58 63,07 63,16 63,25 63,34 63,43 63,52 64,01 64,10 64,19 64,28 64,37 64,46 64,55 65,04 65,13 65,22 65,31 65,40 65,49 65,58 66,07 66,16 66,25 66,34 66,43 66,52 67,01 67,10 67,19 67,28 67,37 67,46 67,55 68,04 68,13 68,22 68,31 68,40 68,49 68,58 69,07 69,16 69,25 69,34 69,43 69,52 70,01 70,10 70,19 70,28 70,37 70,46 70,55 71,04 71,13 71,22 71,31 71,40 71,49 71,58 72,07 72,16 72,25 72,34 72,43 72,52 73,01 73,10 73,19 73,28 73,37 73,46 73,55 74,04 74,13 74,22 74,31 74,40 74,49 74,58 75,07 75,16 75,25 75,34 75,43 75,52 76,01 76,10 76,19 76,28 76,37 76,46 76,55 77,04 77,13 77,22 77,31 77,40 77,49 77,58 78,07 78,16 78,25 78,34 78,43 78,52 79,01 79,10 79,19 79,28 79,37 79,46 79,55 80,04 80,13 80,22 80,31 80,40 80,49 80,58 81,07 81,16 81,25 81,34 81,43 81,52 82,01 82,10 82,19 82,28 82,37 82,46 82,55 83,04 83,13 83,22 83,31 83,40 83,49 83,58 84,07 84,16 84,25 84,34 84,43 84,52 85,01 85,10 85,19 85,28 85,37 85,46 85,55 86,04 86,13 86,22 86,31 86,40 86,49 86,58 87,07 87,16 87,25 87,34 87,43 87,52 88,01 88,10 88,19 88,28 88,37 88,46 88,55 89,04 89,13 89,22 89,31 89,40 89,49 89,58 90,07 90,16 90,25 90,34 90,43 90,52 91,01 91,10 91,19 91,28 91,37 91,46 91,55 92,04 92,13 92,22 92,31 92,40 92,49 92,58 93,07 93,16 93,25 93,34 93,43 93,52 94,01 94,10 94,19 94,28 94,37 94,46 94,55 95,04 95,13 95,22 95,31 95,40 95,49 95,58 96,07 96,16 96,25 96,34 96,43 96,52 97,01 97,10 97,19 97,28 97,37 97,46 97,55 98,04 98,13 98,22 98,31 98,40 98,49 98,58 99,07 99,16 99,25 99,34 99,43 99,52 100,01 100,10 100,19 100,28 100,37 100,46 100,55 101,04 101,13 101,22 101,31 101,40 101,49 101,58 102,07 102,16 102,25 102,34 102,43 102,52 103,01 103,10 103,19 103,28 103,37 103,46 103,55 104,04 104,13 104,22 104,31 104,40 104,49 104,58 105,07 105,16 105,2							
		28 29 30 31 32 33 34 35 36 37 38 39 40 41 42 43 44 45 46 47 48 49 50 51 52 53 54 55 56 57 58 59 60 61 62 63 64 65 66 67 68 69 70 71 72 73 74 75 76 77 78 79 80 81 82 83 84 85 86 87 88 89 90 91 92 93 94 95 96 97 98 99 100	28 29 30 31 32 33 34 35 36 37 38 39 40 41 42 43 44 45 46 47 48 49 50 51 52 53 54 55 56 57 58 59 60 61 62 63 64 65 66 67 68 69 70 71 72 73 74 75 76 77 78 79 80 81 82 83 84 85 86 87 88 89 90 91 92 93 94 95 96 97 98 99 100	28 29 30 31 32 33 34 35 36 37 38 39 40 41 42 43 44 45 46 47 48 49 50									

RESULTATE DER VERGLEICHUNG DER MESSSTANGE III MIT DEM NORMALMETER,
FÜR ALLE CORRECTIONEN VERBESSERT.

Fenster geschlossen. Beleuchtung durch Lampen.

Beobachter.	1876.	Temperatur Celsius		III—N.	Z—S Messstange.	Z—S Normalmeter.
		im Zimmer.	im Kasten.			
	25 April					
Weddringh	19° 48"	27°,45	27°,25	+ 60,77	+ 76,27	+ 188,60
	20 22	27,78	27,28	+ 59,95	77,52	188,02
und	21 20	28,17	27,41	+ 59,86	80,71	188,97
	22 9	28,47	27,56	+ 61,89	85,07	192,55
Bergmann	25 6	28,72	27,71	+ 62,85	85,76	195,89
	26 April					
	0 5	29,10	27,95	+ 62,04	90,22	198,18
	1 9	29,96	28,27	+ 62,24	95,11	202,50
	2 10	29,60	28,40	+ 62,77	94,28	205,66
	3 9	29,40	28,89	+ 64,05	97,62	207,54
	4 8	29,45	28,79	+ 66,54	101,19	210,58
	5 8	29,40	28,84	+ 67,65	104,81	215,19
	6 7	29,45	28,89	+ 65,64	107,99	217,59
	7 9	29,50	28,89	+ 65,95	112,15	220,47
	8 9	28,42	28,84	+ 66,60	115,00	220,58
	10 16	27,45	28,27	+ 62,64	111,11	217,87
	17 50	26,21	26,75	+ 60,61	80,49	191,05
	19 28	26,88	26,80	+ 59,96	78,41	187,81
	20 9	27,08	26,82	+ 58,62	76,27	186,62
	21 9	27,48	26,92	+ 57,26	77,85	184,17
	22 7	27,68	27,15	+ 59,24	80,08	184,00
	25 7	28,12	27,25	+ 59,56	84,67	189,12
		28,56	27,85	+ 62,22	+ 90,88	+ 199,50

RESULTATE DER VERGLEICHUNG DER MESSSTANGE IV MIT DEM NORMALMETER,
FÜR ALLE CORRECTIONEN VERBESSERT.

Fenster geschlossen. Bei der ersten Reihe war das Rohr des Normalmeters ohne seine wattierte Bekleidung, bei der zweiten Reihe war es wieder damit bedeckt (I^{te} Abth. S. 50).

Beobachter.	1876.	Temperatur Celsius		IV—N.	Z—S Messstange.	Z—S Normalmeter.
		im Zimmer.	im Kasten.			
Erste Reihe.						
	19 April.					
Wolbringh	18° 55"	26°,21	26°,65	— 4,18	176,54	174,18
	19 45	26,46	26,62	— 4,64	174,12	172,65
und	20 57	26,71	26,67	— 5,55	175,17	175,45
	21 10	27,05	26,62	— 8,85	174,15	175,57
Bergmann.	21 58	26,79	27,02	— 6,97	177,02	176,82
	22 9	27,55	26,67	— 5,86	176,68	176,25
	22 57	27,48	26,85	— 5,47	180,82	179,77
	25 8	27,55	26,92	— 6,25	182,15	181,04
	25 57	27,75	27,05	— 6,05	184,05	182,96

Beobachter.	1876.	Temperatur Celsius		IV - N.	Z - S, Messstange.	Z - S, Normalmeter.
		im Zimmer.	im Kasten.			
Woldringh und Bergmann.	20 April					
	0 50	28° 02	27° 26	— 4,45	+ 187,96	+ 188,52
	1 57	28 22	27 41	4,35	191,54	191,48
	4 10	28 42	27 75	4,98	195,89	195,54
	5 1	28 62	27 86	5,85	197,42	197,68
	5 57	28 62	27 93	5,00	200,07	200,46
	6 10	28 42	28 05	5,74	199,82	201,56
	6 58	27 97	27 98	6,72	202,29	204,18
	7 11	27 68	28 01	7,22	202,21	201,26
	7 57	27 55	27 85	6,29	202,55	204,14
	8 10	26 98	27 75	7,89	202,16	202,74
	8 55	26 76	27 58	6,64	201,00	202,11
	11 19	26 56	27 05	4,50	191,19	191,55
	15 10	26 71	26 85	2,41	181,50	182,59
Zweite Reihe.						
	27 April					
	19 52	26° 88	26° 82	— 5,22	180,54	177,56
	20 58	27 45	26 92	2,87	180,62	177,94
	21 57	27 55	27 02	1,17	180,78	178,02
	22 56	27 48	27 02	2,81	181,84	177,98
	25 58	27 78	27 28	5,72	186,11	181,76
	28 April					
	0 57	28 12	27 45	2,55	188,08	185,71
	1 58	28 07	27 55	5,17	191,89	185,65
	4 50	28 47	27 75	0,88	195,66	192,21
	5 55	28 47	27 85	2,05	198,74	192,16
	6 56	28 27	27 88	1,01	199,86	195,65
	7 55	28 12	27 98	0,54	201,88	195,84
	Im Mittel, 1e Reihe:	27 45	27 29	5,75	188,92	188,69
2e „ :	27 87	27 40	2,16	189,62	185,15	
Mittel von 2 Reihen:	27 65	27 55	5,95	+ 189,27	+ 186,91	

RESULTATE DER VERGLEICHUNG DER MESSSTANGEN I UND II UNTEREINANDER,
FÜR ALLE CORRECTIONEN VERBESSERT.

Der Kasten war offen; die Beleuchtung geschah mittels reflectirten Sonnenlichtes.

Beobachter.	1876.	Temperatur Celsius im Zimmer.	II - I.	Z - S, I.	Z - S, II.
Erste Reihe.					
	15 Mai				
Woldringh	19 ^h 41 ^m	28°,11	+ 165,87	+ 877,61	+ 1295,88
Bergmann	20 59	28 51	+ 166,55	880,20	1297,55
Woldringh	21 40	28 84	+ 167,72	888,82	1504,79
De Vletter	22 12	29 12	+ 165,40	895,11	1512,27
Woldringh	22 55	29 28	+ 166,97	901,44	1519,04
Bergmann	25 40	29 57	+ 172,07	921,49	1556,51
	16 Mai				
De Vletter	0 46	29 51	+ 167,75	952,99	1557,46
e	1 41	29 72	+ 166,54	956,29	1567,18
10					

Beobachter.	1876.	Temperatur Celsius im Zimmer.	H. I.	Z. S. I.	Z. S. II.
Zweite Reihe.					
	16. Mai				
Woldringh	19 ^h 15 ^m	26 ^o 51	+ 161,61	+ 744,77	+ 1155,85
"	20 15	27 02	162,04	758,75	1162,57
"	21 8	27 57	164,01	757,27	1174,76
"	22 8	27 67	165,26	770,69	1188,72
"	25 8	28 09	166,16	787,95	1205,48
	17. Mai				
"	0 15	28 56	169,78	809,76	1228,51
"	1 16	28 30	171,19	856,25	1254,55
Im Mittel 1e Reihe		29 08	167,08	905,24	1525,81
2e "		27 72	165,72	779,55	1195,71
Mittel von 2 Reihen		28 40	+ 166,40	+ 842,50	+ 1259,76

Vereinigen wir nun die für die einzelnen Messstangen vor und nach der Basismessung bei Logantung gefundenen Resultate, so haben wir:

vor:	$I_o = 4 N_o - 262,50$	$- 774,75$	$P + 675,20$	$T,$
nach:	$I_o = 4 N_o - 277,45$	$- 890,50$	$P + 819,82$	$T,$
Im Mittel:	$I_o = 4 N_o - 269,9$	$- 852,4$	$P + 746,5$	$T.$
vor:	$II_o = 4 N_o - 85,60$	$- 1184,65$	$Q + 697,40$	$T,$
nach:	$II_o = 4 N_o - 76,56$	$- 1507,01$	$Q + 815,42$	$T,$
Im Mittel:	$II_o = 4 N_o - 80,0$	$- 1245,8$	$Q + 756,4$	$T.$
vor:	$III_o = N_o + 55,10$	$- 70,10$	$R + 162,50$	$T,$
nach:	$III_o = N_o + 62,22$	$- 90,88$	$R + 199,50$	$T,$
Im Mittel:	$III_o = N_o + 58,7$	$- 80,5$	$R + 180,9$	$T.$
vor:	$IV_o = N_o - 1,75$	$- 154,55$	$S + 157,55$	$T,$
nach:	$IV_o = N_o - 5,95$	$- 189,27$	$S + 186,91$	$T,$
Im Mittel:	$IV_o = N_o - 2,9$	$- 171,8$	$S + 172,1$	$T.$

Bei der Reduction der Messungen von H_0 ist die Correction von + 6,4 Mikron wegen Nicht-Parallelismus der Fadenpaare, in den Mikrometern, und des abgesplitteten Zustandes der kleinen Glasseibe der Stahlstange bei der Theilung H_1 , angebracht, (1e Abth., S. 85). Für die in der ersten Abtheilung besprochene Reduction der Basismessung bei Simplak war dies auch geschehen, wie daselbst S. 84 vermeldet ist, und wie man auch sieht, wenn man das für H_0 angegebene Resultat mit den Endresultaten S. 75 vergleicht. Für die im Jahre 1876, nach der Basismessung bei Logantong angestellten Vergleichen konnte mit grosser Wahrscheinlichkeit angenommen werden, es sei nichts an den Mikroskopen des Comparators verändert.

Substituiert man in die oben gegebenen Mittel die werthe von P, Q, R und S, wie sie S. 8 angeführt sind, so hat man

$$\begin{aligned} I_0 &= 4 N_0 = 267,8 = 94,6 \text{ T,} \\ II_0 &= 4 N_0 = 95,7 = 558,9 \text{ T,} \\ III_0 &= N_0 + 59,5 = 96,5 \text{ T,} \\ IV_0 &= N_0 = 1,7 = 21,5 \text{ T,} \end{aligned}$$

und durch Addition:

$$S_0 = 10 N_0 = 505,7 = 558,5 \text{ T.}$$

Durch Subtraction finden wir wieder den Unterschied zwischen den nach und vor der Basismessung bei Logantong gefundenen Längen. Das Resultat ist

	Nach	—	Vor:		Mittlere Temp. C.
für I_0 :	—	15,15	—	115,85 P + 146,62 T,	27°,5,
" II_0 :	+	7,24	—	122,56 Q + 118,02 T,	27°,5,
" III_0 :	+	7,12	—	20,78 R + 57,20 T,	27°,0,
" IV_0 :	—	2,20	—	54,92 S + 29,56 T,	26°,6.

Durch Substitution von P, u. s. w. in T werden diese Ausdrücke:

$$\begin{aligned} \text{für } I_0: & - 14,86 + 29,55 \text{ T} = + 2,52 \text{ Mikron.,} \\ " \quad II_0: & + 5,70 \quad 9,20 \text{ T} = + 0,55 \text{ " ,} \\ " \quad III_0: & + 7,52 + 15,40 \text{ T} = + 16,27 \text{ " ,} \\ " \quad IV_0: & - 1,95 \quad 9,79 \text{ T} = - 7,64 \text{ " ,} \end{aligned}$$

$$\text{also für das Decimeter } S_0 = + 11,5 \text{ " ,}$$

wo für T der, der Mitteltemperatur 27°,1 entsprechender, Werth 0,5815 benutzt worden ist.

Für die Basismessung bei Simplak wurde gefunden:

	Nach	—	Vor:		Mittlere Temp. C.
für I_0 :	—	0,7	+	150,4 P — 124,0 T,	27°,4,
" II_0 :	—	4,0	+	128,6 Q — 105,5 T,	27°,5,
" III_0 :	+	6,4	+	58,5 R — 52,9 T,	27°,1,
" IV_0 :	—	5,0	+	17,2 S — 25,5 T,	26°,5,

oder nach Elimination der P, Q, R, S:

$$\begin{array}{rclcl} \text{für } I_0: & 1,0 & + & 7,8 \text{ T} & = & + & 5,5 \text{ Mikron,} \\ \text{" } II_0: & 2,4 & + & 50,2 \text{ T} & = & + & 15,2 \text{ " ,} \\ \text{" } III_0: & + & 6,0 & + & 7,5 \text{ T} & = & + & 10,2 \text{ " ,} \\ \text{" } IV_0: & - & 5,1 & - & 6,1 \text{ T} & = & - & 6,6 \text{ " ,} \end{array}$$

$$\text{also für das Decimeter } S_0: + 25,5 \text{ " .}$$

Berücksichtigt man, dass die Verification nach der Basismessung bei Simplik auch als Verification vor der Basismessung bei Logantong diene, so scheint, in der Voraussetzung, das Normalmeter sei unverändert geblieben, eine stetige Verlängerung der Messstangen I, II und III und eine stetige Verkürzung der Messstange IV stattgefunden zu haben. Dieses Phänomen kann auf verschiedenen Ursachen beruhen. Es kommt mir vor, dass wenigstens bei Stange III, eine geringe Beweglichkeit des Stahlstriches, d. h. der Glas-Platte, auf welche dieser Strich gravirt ist, die Verlängerung veranlasst hat, denn die Temperatur ist bei den drei Vergleichungen nahezu gleich, und die Resultate sind folgende:

	Temp. im Kasten.	III—N.	Zink—Stahl.		
			III.	Normal.	III—N.
1875, Vor Simplik:	28°,04	+ 48,7	108,4	195,25	86,85
1874, Nach Simplik = Vor Logantong:	26°,08	+ 55,1	70,1	162,5	92,5
1876, Nach Logantong:	27°,81	+ 62,2	90,9	139,5	108,6

Jedem Grade Celsius muss nach den nahezu bekannten Ausdehnungen des Stahls und des Zinks eine Aenderung von Z—S von etwa 17 Mikrons entsprechen.

Reducirt man die Z—S also auf 28°,04, so bekommt man:

III—N.	Unterschied mit 1875.	Z—S, III.	Unterschied mit 1875.	Z—S, Normal.	Unterschied mit 1875.
1875	48,7	108,4		195,25	
1874	55,1	105,8	4,8	196,0	+ 0,75
1876	62,2	94,1	14,5	202,7	+ 7,45

Der Unterschied III—N bezieht sich auf die Stahlstangen der beiden Maasse; während also $S_{III}-S_N$ um 15,5 μ länger geworden ist, ist zu gleicher Zeit $(Z-S)_{III}$ um 14,5 μ kürzer geworden. Es fällt schwer, mit diesen Zahlen vor Augen, nicht an die Wandelbarkeit des Stahlstriches der Stange III zu glauben.

Zwar hat der Verfertiger die Vorrichtung so gemacht, dass die kleinen Glasscheiben, auf welchen der Stahlstrich und die Zinktheilung gezogen sind, zwischen 5 Punkten gehalten werden, (U. Abh. S. 8), und hat ein eigens zu diesem Zwecke angestellter Versuch, nämlich das Reiten oder Wischen mit einem mit Glasleder überzogenen Ende eines Stückchens, ein in dieser Hinsicht beruhigendes Resultat gegeben, (U. Abh. S. 80, wo gerade die Versuche der Stange III angeführt sind,) aber die Möglichkeit, dass durch das, mit dem bei einem Transport auf Wagen unvermeidlich verbundene, Zittern eine Versetzung von $\frac{1}{20}$ Millimeter möglich sei, kann schwerlich geläugnet werden, und muss am Besten durch

Messen untersucht werden, und oben stehen die Resultate der Messungen. Es bleibt uns aber nichts anders übrig, als das Mittel aus den vor und nach der Basismessung gefundenen Resultaten für die Basismessung selbst anzunehmen.

Was das Normalmeter anbelangt, wird sich hier der Verdacht auf die Zinkstange lenken. Wir dürfen nicht vergessen in wie starken Masse das Zurückbleiben der Metalle, vorzüglich Zink, Unterschiede in den Messungen hervorgerufen kann, was namentlich General Comstock, Chef der Triangulation der Canada-Seen bewiesen hat *, und auch hinreichend durch die in der ersten und dieser Abtheilung ausgeführten Vergleichen bestätigt wird.

Bei den Resultaten, von denen hier die Rede ist, treffen wir gleichfalls einen Unterschied an, der nur dadurch erklärt werden kann, dass metallene Stangen, bei derselben Temperatur, nicht immer die gleiche Länge besitzen. Durch Addition findet man nämlich, nach der Basismessung bei Logantong:

$$I = 4 \text{ N} = 277,45 = 890,50 \text{ Q} + 819,82 \text{ T} \quad \text{bei } 28^{\circ},16 \text{ C.},$$

und, mit Rücksicht auf die schon besprochene Correction $+ 6,1$:

$$II = 4 \text{ N} = 76,56 = 1507,01 \text{ P} + 815,42 \text{ T} \quad \text{bei } 28^{\circ},17 \text{ C.},$$

woraus:

$$II - I = 201,00 = 1507,01 \text{ P} + 890,50 \text{ Q} - 4,40 \text{ T};$$

direct aber wurde gefunden:

$$II - I = 166,40 = 1259,76 \text{ P} + 842,50 \text{ Q} - \text{bei } 28,40 \text{ C.},$$

was also eine Differenz giebt

$$\begin{aligned} &= 54,60 = 47,25 \text{ P} + 48,00 \text{ Q} - 4,40 \text{ T.} \\ &= 54,60 = 28,55 + 29,67 - 2,56 \\ &= 55,47 \mu \end{aligned}$$

Bereits im Jahr 1872 wurde eine ähnliche Differenz von 7 oder 8 Mikrons gefunden, und sogar eine Differenz von 28 Mikrons zwischen zwei mit aller Sorgfalt durch die 24 Tagesstunden durchgemachte Vergleichungsreihen (1^o Abth., S. 44 und 45.)

Wollte man die jetzt gefundene Differenzen unter die drei gemessenen Unterschiede theilen, so würde

$$\begin{array}{rcll} I = 4 \text{ N} & \text{die Correction} & + & 11,16 \mu, \\ II & 4 \text{ N} & = & 11,16 \mu, \\ II & I & = & + 11,16 \mu \end{array}$$

erhalten, und auf die Summe $I + II$ würde also der gefundene Unterschied keinen Einfluss haben. Es besteht aber geringe Sicherheit, dass diese Vertheilung, obwohl die wahrscheinlichste, auch die wahre sei, und am Ende kann man nur den Schluss darans ziehen, das Millimetal sei in der absoluten Längen der Messstangen dieses Apparates nicht zu verkürzen. Es wird sich später zeigen dass doch eine hinreichende Compensirung aller nachtheiligen Einflüsse stattgefunden hat.

Die Summe der vier Messstangen, die zusammen 10 Meter machen, wird bei der Basismessung bei Logantong um $\frac{1}{2}$ (11,5 \div 22,5) = 16,8 Mikrons grösser, als bei der Basismessung bei Simlak angenommen werden müssen.

* Annual Report upon the Surveys of the Northern and Northwestern Lakes, in charge of C. B. Comstock, being Appendix T T of the Annual Report of the Chief Engineer for 1881. Washington 1881, Appendix n^o 3.

In diesem Appendix sind die im Februar und März 1881 angestellten Versuche mitgetheilt, durch welche bewiesen wird, dass eine Zinkstange, von 11^o F. bis 75^o F. erhitzt, und dann wieder bis 43^o F. abgekühlt, 7 Mikrons pro Meter länger geworden ist, während eine Abkühlung bis auf $- 1^{\circ}$ bis $- 7^{\circ}$ F. eine entgegengesetzte Wirkung erzielte, so dass also eine Verkürzung um eine nahezu gleiche Grösse stattfinden kann. Die Stahlstangen scheinen diese Eigenschaft in viel geringerer (siebenmal kleinerer) Masse zu besitzen.

ABLEITUNG DER WIRKLICHEN LÄNGE DER BASIS.

Im Ganzen sind bei der Basismessung bei Logantung die nachfolgenden Zahlen der Messstangen benutzt worden:

1 ^{te} bis 5 ^{te} Theil:	500 I, 500 II, 500 III, 500 IV.
4 ^{te} „ :	418 , 417 , 417 , 418 ,
Zusammen:	418 , 417 , 417 , 418 .

Das Mittel aus den beiden Messungen hat also nach S. 66 und 75, für die Länge der Basis ergeben:

417 S₀ + I₀ + IV₀ = 402925 + 521544 P + 499185 Q + 40515 R + 80625 S,
alles in Mikrons ausgedrückt.

Substituiren wir hierin die Werthe von P, Q, R und S aus Seite 8 und die Werthe von S₀, I₀ und IV₀ aus S. 75, so finden wir:

$$\begin{aligned}
 417 S_0 &= 4170 N_0 - 0,252894 T - 0,127477 \text{ Meter} \\
 I_0 &= 4 N_0 - 0,000095 T - 0,000268 \text{ „} \\
 IV_0 &= 4 N_0 - 0,000022 T - 0,000002 \text{ „} \\
 402925 &= 4102925 \text{ „} \\
 + 521544 P &= + 0,524718 T - 0,000816 \text{ „} \\
 + 499185 Q &= + 0,519005 T + 0,000290 \text{ „} \\
 + 40515 R &= + 0,042290 T - 0,000591 \text{ „} \\
 + 80625 S &= + 0,090846 T - 0,000576 \text{ „} \\
 \hline
 \text{Basis} &= 4175 N_0 + 0,745846 T - 0,226165 \text{ „}
 \end{aligned}$$

Substituiren wir hierin N₀ = 1,000 159 81 Meter und T = 0,5826, so finden wir:

$$\begin{aligned}
 4175 N_0 &= 4 175, 667 207 \\
 0,745846 T &= 0, 455 565 \\
 &= 0, 226 165
 \end{aligned}$$

Basis = 4 175, 874 409 Metres des Archives.

DIE KLEINEN NOCH ANZUBRINGENDEN CORRECTIONEN.

Bei der Reduction der Basismessung bei Simlak habe ich verschiedene kleine Correctionen untersucht, welche an der für die Basis gefundenen Länge noch anzubringen waren. Auf eine durchaus gleiche Art ist die Berechnung auch für die Basis bei Logantung durchgeführt.

1. Es wurde für die Correction wegen der Ausdehnung der Mikroskopträger gefunden:

		Erste Messung.	Zweite Messung.
Erster Theil, A bis I:		+ 0,765 mM.	+ 0,735 mM.
Zweiter „ , M „ V:		+ 0,711 „	+ 0,652 „
Dritter „ , W „ AA:		+ 0,449 „	+ 0,454 „
Vierter „ , III „ GG:		+ 0,545 „	+ 0,519 „
Summe		+ 2,470 „	+ 2,540 „

Also im Mittel 2,405 mM., d. h. beinahe 0,6 Milliontel der Basis.

2. Die kurzen Messstangen wurden immer so nahe als möglich horizontal gestellt, so dass die Correction für ihre Neigung ebenso wie bei der Basis von Simlak, (2^e Abth. S. 27), gänzlich vernachlässigt werden konnte.

5. Die Correction, welche daraus hervorgeht, dass, bei der Berechnung der Correction für Neigung der langen Messstangen, vorläufig angenommene Längen dieser Stangen angewandt sind, ergab sich, bei der Reduction der Basis von Simlak, = 0,000 14 des Ganzen.

Bei der Berechnung der Correction für Neigung wurden hier dieselben Längen wie dort benutzt; die Verbesserung der Correction selbst betrug = 38651 Mikrons, also die Verbesserung für die ganze Basis = 14 Mikrons.

4. Was die Theilungsfelder anbetrifft, weil die mittlere Temperatur bei der Basis bei Logantung, (50°,57) wenig höher war, als bei jener bei Simlak, (28°,2), so war vorauszusehen, dass auch nahezu dieselben Theilstrieche abgelesen waren. Die Correction für die Theilungsfelder betrug damals = 0,51 Milliometel, was wir hier der Kürze halber auch angenommen haben. Für die Basis von 4175 Meter, ist sie also = - 2,129 mM.

5. Zuletzt kommt die Correction für Höhe über der Oberfläche des Meeres. Die Commission für die Irrigationswerke in Denak verschaffte ein Datum für die Bestimmung der Höhe der verschiedenen Basistheile über dem mittleren Niveau des Meeres. Es wurde durch genaue Nivellirung für die mittlere Höhe des Bodens gefunden:

Für den ersten	Theil A	L	. . .	6,90	Meter,
" "	zweiten	"	M	V	. . . 7,15 "
" "	dritten	"	W	AA	. . . 8,06 "
" "	vierten	"	BB	CC	. . . 9,06 "

wobei noch 0,9 Meter wegen der Höhe der Messstangen über den Boden hinzugefügt werden muss.

Es war für die Basis die mittlere Polhöhe = 6°59'11", das Azimuth = 515° 5', und damit B = 6 558 096 Meter. Die Reduction der verschiedenen Theile wurde also gefunden:

des ersten	Theiles	1000 × 7,80: (B + h) =	1,227 mM.
" zweiten	"	1000 × 8,05: (B + h) =	1,265 "
" dritten	"	1000 × 8,96: (B + h) =	1,469 "
" vierten	"	1175 × 9,96: (B + h) =	1,841 "
Zusammen:			5,740 "

ENDRESULTAT FÜR die BASIS.

Wir finden also für die auf die Oberfläche des Meeres reducirte Länge der Basis bei Logantung:

		4 175,874 409
Correction wegen	Ansehnung der Mikroskopträger	+ 0,002 405
	Neigung der kurzen Messstangen	+ 0,000 000
	Vergrößerung der Correction für Neigung der langen Messstangen. .	- 0,000 014
	Theilungsfelder	+ 0,002 129
	Seehöhe	+ 0,005 740
Summe		4 175,868 951 Metres des Archives,
		Log. = 5,620 7468 G

§ 11. Die Verbindung der Basis mit dem primären Dreiecksnetze.

Ausser den beiden Endpunkten der Basis, enthält das ganze Verbindungsnetz, Tafel X und XI, 8 Stationen, deren vier, n. 6 (Banjopahit), 8 (Solon), 9 (Gading) und 10 (Segorogonocong) zum primären Dreiecksnetze gehören.

Zur Controle der Basismessung wurde unweit der Dessa Kaligong, ungefähr 5,5 Meter von der Glaskugel, welche 2000 Meter vom Anfangspunkte eingemauert war, ein Pfeiler gebaut, dessen Azimuth und Entfernung zu jener Glaskugel bestimmt wurde. Von diesem Pfeiler aus wurden die Richtungen nach den Endpunkten der Basis, (1 Loganong und 2 Penonggalan), und den Punkten 3 (Bandong) und 4 (Werac) gemessen, während auf diesen vier Stationen auch der Pfeiler Kaligong in der Basismessung aufgenommen wurde.

Der Zweck war also analog der Basismessung in Simplok, nämlich den einen Theil der Basis durch den anderen zu controliren. Bei der Berechnung, zu Utrecht, zeigten sich aber Unterschiede von 6 bis 7 Centimeter, welche unmöglich der Basismessung zugeschrieben, sehr gut aber aus dem folgenden Umstande erklärt werden konnten.

Die Glaskugel wurde im August 1875, wenige Centimeter unter der Oberfläche des Fahrweges, eingemauert. Der Trachyblock, worin dieselbe gefasst ist, ruht auf einer leichten Fundirung von Ziegelsteinen; der ringsum übrigbleibende Raum wurde mit Cement und Schutt ausgefüllt. Die Azimuthbestimmung auf den Pfeiler Kaligong und die Messung der Distanz vom Pfeiler bis zur Kugel fand aber im September 1876 statt, also um mehr als ein Jahr nach der Einmauerung.

Nimmt man in Betracht, dass die grosse Hitze während des Ostmonsuns im thonigen Boden öfters Risse verursacht, dass während des Westmonsuns die Gegenal häufig mehr oder weniger überschwenkt wird, und dass längs des Fahrweges viele mit Producten beladene Karren nach Samarang befördert werden, so kann es nicht befremden, dass nach so langer Zeit der Trachyblock sich um einige Centimeter verschoben hat. Der Punkt Kaligong hat also für die Controle keinen Werth; er kommt zwar in den Messungstabellen vor, auch wurden die Messungen daselbst auf die gewöhnliche Art ausgeglichen; er ist aber in die Ausgleichung des Verbindungsnetzes nicht aufgenommen worden.

Die Winkelmessungen wurden grösstentheils von Herrn Ingenieur Soeters mit dem zwölfzähligen Universal-Instrument von Reissold ausgeführt. Das Instrument wurde jedesmal auf die nämliche Art centrirt, wie in der 2^{ten} Abth. S. 11 beschrieben ist, während auch, soweit dies 1, 2, 3, und 4 betrifft, auf Heliotschirme (2^{te} Abth., Tafel VI, die 1^{te} Figur ohne Nummer), und nach den übrigen Punkten auf gewöhnliche Heliotropen gerichtet wurde. Es folgen hier die Tabellen der erhaltenen Winkelmessungen. Die Ausgleichung auf der Station geschah nach der Bessel'schen Methode, jedoch theilweise mittels einer von Prof. Schols in Delft herriührenden, sehr praktischen Einrichtung der Formulare.

1 LOGANTONG.

Beobachter: Soeters. Instrument: (12 z.) Repsold mit gebrochenem Fernrohr.

N ^o .	1876	Bandong.	Objectiv.	3	5	Kaligong	2	4	6
				Bandong Heliotrop u. Spalt.	Basé Heliotrop.	Heliotrop u. Spalt.	Pencoeng- galau He- liotrop u. Spalt.	Weroe Heliotrop u. Spalt.	Banjoepa- hil. Heliotrop.
				0° 0'	10° 55'	59° 42'	59° 49'	66° 16'	86° 57'
1	25 März	0° 0' 0'	l. u. r.	0°,00	41°,69	60°,45	10°,65	57°,41	54°,48
2	24 "	51 4 40	"	0°,00	41°,00	58°,69	8°,58	56°,02	54°,59
5	25 "	62 8 20	"	0°,00	41°,56	59°,04	9°,19	59°,22	54°,75
4	25, 26 "	95 15 0	"	0°,00	40°,19	59°,42	8°,51	59°,05	54°,55
5	26 bis 28 "	124 17 20	"	0°,00	40°,08	60°,06	10°,54	40°,28	55°,15
6	27 "	155 21 40	"	0°,00	41°,50	59°,22	8°,58	57°,04	54°,09

RESULTATE.

3	Bandong	0° 0'	0°,00	+	(6)
5	Basé	10 55	41°,00	+	(7)
	Kaligong	59 42	59°,65		
2	Pencoenggalau	59 49	9°,27	+	(8)
4	Weroe	66 16	58°,52	+	(9)
6	Banjoepahil	86 57	54°,56	+	(10)

KALIGONG.

Beobachter: Soeters. Instrument: (12 z.) Repsold.

N ^o .	1876	Logantong.	Objectiv.	Logantong	Bandong	Pencoeng- galau He- liotrop u. Spalt.	Weroe Heliotrop u. Spalt.
				Heliotrop u. Spalt.	Heliotrop u. Spalt.		
				0° 0'	115° 52'	180° 11'	221° 52'
1	29 bis 31 März	0° 0' 0'	l. u. r.	0°,00	17°,47	47°,57	15°,64
2	30 "	54 4 20	"	0°,00	17°,85	50°,11	15°,08
5	30, 31 "	62 8 40	"	0°,00	19°,68	48°,95	14°,01
4	31 "	95 15 0	"	0°,00	21°,55	48°,48	15°,81
5	1 April	124 17 20	"	0°,00	18°,55	47°,57	17°,55
6	1, 2 "	155 21 40	"	0°,00	18°,09	47°,45	16°,52

RESULTATE.

1	Logantong	0° 0'	0°,00	
3	Bandong	115 52	18°,85	
2	Pencoenggalau	180 11	48°,55	
4	Weroe	221 52	15°,88	

2 PENOENGALAN.

Beobachter: Soeters. Instrument: (12 z.) Repsold.

N ^o .	1876	Werre.	Objec- tiv.	Werre Heliotrop u. Spalt.	Logantong Heliotrop u. Spalt.	Kaligong Heliotrop u. Spalt.	Bandong Heliotrop u. Spalt.	Basi Heliotrop.	Banjoepa- hit Heliotrop.
				0° 0'	100° 21'	100° 27'	169° 12'	257° 51'	556° 58'
1	15, 14 März.	0° 1 0'	l. u. r.	0°,00	55',75	12',91	54',49		
2	15 "	62 8 40	"	0°,00	54',60	15',45	55',60		
5	15 "	95 15 0	"	0°,00	54',96	15',11	52',87		
4	15 "	124 17 20	"	0°,00	56',55	16',56	55',18		
5	15 "	155 21 40	"	0°,00	52',60	15',46	55',24		
6	16 "	15 50 10	"	0°,00	55',19	15',45	54',55		
7	16 "	46 56 50	"	0°,00	56',07	16',00	55',10		
8	17 "	77 40 50	"	0°,00	55',95	14',19	55',77		
9	18 "	108 45 10	"	0°,00	59',04	17',54	54',10		
10	"	159 49 50	"	0°,00	54',40	15',75	52',85		
11	20 "	170 55 50	"	0°,00	54',07	15',57	55',00		
12	18 "	0 0 0	"	0°,00				12',84	51',70
15	19 "	62 8 40	"	0°,00				16',26	29',92
14	19 "	95 15 0	"	0°,00				17',51	50',65
15	20 "	124 17 20	"	0°,00				18',56	51',88
16	21 "	155 21 40	"	0°,00				16',45	52',15
17	14 "	51 4 20	"	0°,00	51',59	11',81	55',29	15',75	29',28

RESULTATE.

4 Werre	0° 0' 0'00	+	(1)
1 Logantong	100 21 54,51	+	(2)
Kaligong	100 27 14,45		
3 Bandong	169 12 55,48	+	(5)
5 Basi	257 51 16,47	+	(4)
6 Banjoepahit	556 58 51,20	+	(5)

3 RANDONG.

Beobachter: Soeters. Instrument: (12 z.) Repsold.

N ^o .	1876	Basé.	Objectiv.	Basé	Pengoeng-	Weroe	Kaligong	Logantong
				Heliotrop.	Heliotrop	u. Spalt.	Heliotrop	u. Spalt.
				0° 0'	92° 50'	97° 42'	157° 45'	164° 9'
1	5, 4 April	0° 0' 0"	l. u. r.	0°.00	22'.47	27°.09	11°.82	55°.87
2	4, 5 "	51 4 20	"	0 .00	20 .86	27 .55	12 .55	55 .72
5	5 "	62 8 40	"	0 .00	25 .51	50 .56	12 .06	55 .06
4	6 "	95 15 0	"	0 .00	22 .44	29 .51	10 .99	52 .35
5	7 "	155 21 40	"	0 .00	21 .57	28 .51	10 .29	52 .55
6	7 "	124 17 20	"	0 .00	22 .66			
				0° 0'	4° 52'	44° 54'	71° 19'	
7	6 "	124 17 20	"	0°.00	7°.18	48°.85	29°.40	

RESULTATE.

5 Basé	0° 0' 0".00	+	(11)
2 Pemoenggalan	92 50 22.54	+	(12)
4 Weroe	97 42 28.06	+	(15)
Kaligong	157 45 11.72		
1 Logantong	164 9 55.21	+	(14)

4 WEROE.

Beobachter: Soeters. Instrument: (12 z.) Repsold.

N ^o .	1876	Logantong.	Objectiv.	Logantong	Kaligong	Randong	Pemoeng-	Basé
				Heliotrop	Heliotrop	Heliotrop	galan	Heliotrop.
				u. Spalt.	u. Spalt.	u. Spalt.	u. Spalt.	u. Spalt.
				0° 0'	14° 58'	47° 15'	55° 10'	100° 1'
1	9, 10 April	0° 0' 0"	l. u. r.	0°,00	58°,74	56°,72	55°,95	28°,59
2	11 " "	95 15 0	"	0 .00	57 .90	59 .55	57 .92	51 .12
5	11, 12 "	124 17 20	"	0 .00	58 .49	59 .57	56 .80	51 .55
4	10 "	51 4 20	"	0 .00	56 .96	56 .17	55 .55	
5	10 "	62 8 40	"	0 .00	57 .22	55 .51	55 .69	
6	15 "	155 21 40	"	0 .00	56 .97	55 .59	55 .96	
7	14 "	155 21 40	"	0 .00				28 .24
8	14 "	51 4 20	"	0 .00				28 .58
9	14 "	62 8 40	"	0 .00				29 .62

RESULTATE.

1 Logantong	0° 0' 0".00	+	(15)
Kaligong	14 58 57.58		
3 Randong	47 15 56.99	+	(16)
2 Pemoenggalan	55 10 56.18	+	(17)
5 Basé	100 1 29.26	+	(18)

2 PENDENGGALAN.

Beobachter: Soeters. Instrument: (12 z.) Repsold.

N ^o .	1876	Weroe.	Objectiv.	Weroe	Logantong	Kaligong	Bandong	Basih	Banjoepahit
				Heliotrop u. Spalt.	Heliotrop u. Spalt.	Heliotrop u. Spalt.	Heliotrop u. Spalt.	Heliotrop.	Heliotrop.
				0° 0'	100° 21'	100° 27'	169° 12'	257° 51'	556° 58'
1	15, 14 März.	0° 1' 0'	l. u. r.	0',00	55',75	12',91	54',49		
2	15 "	62 8 40	"	0',00	54',60	15',45	55',60		
5	15 "	95 15 0	"	0',00	54',06	15',11	52',87		
4	15 "	124 17 20	"	0',00	56',55	16',56	55',18		
5	15 "	155 21 40	"	0',00	52',60	15',46	55',24		
6	16 "	15 50 10	"	0',00	55',19	15',45	54',55		
7	16 "	46 56 59	"	0',00	56',07	16',00	55',10		
8	17 "	77 40 50	"	0',00	55',95	14',19	55',77		
9	18 "	108 45 10	"	0',00	59',04	17',54	54',10		
10	"	159 49 50	"	0',00	54',40	15',75	52',85		
11	20 "	170 55 50	"	0',00	54',07	15',57	55',00		
12	18 "	0 0 0	"	0',00				12',84	51',70
15	19 "	62 8 40	"	0',00				16',26	29',92
14	19 "	95 15 0	"	0',00				17',51	50',65
15	20 "	124 17 20	"	0',00				18',56	51',88
16	21 "	155 21 40	"	0',00				16',45	52',15
17	14 "	51 4 20	"	0',00	51',59	11',81	55',29	15',75	29',28

RESULTATE.

4 Weroe	0° 0' 0'00	+	(1)
1 Logantong	100 21 54,51	+	(2)
Kaligong	100 27 14,45		
3 Bandong	169 12 55,48	+	(5)
5 Basih	257 51 16,47	+	(4)
6 Banjoepahit	556 58 51,20	+	(5)

3 BANDONG.

Beobachter: Soeters. Instrument: (12 z.) Repsold.

N ^o .	1876	Basé.	Objectiv.	Basé Heliotrop.	Penoeng- galan Heliotrop u. Spalt.	Weroe Heliotrop u. Spalt.	Kaligong Heliotrop u. Spalt.	Logantong Heliotrop u. Spalt.
				0° 0'	92° 50'	97° 42'	157° 45'	164° 9'
1	5, 4 April	0° 0' 0'	l. n. r.	0° 00	22° 47	27° 99	11° 82	55° 87
2	4, 5 "	51 4 20		0° 00	20° 86	27° 55	12° 55	55° 72
3	5 "	02 8 40		0° 00	25° 51	50° 50	12° 56	55° 90
4	6 "	95 15 0		0° 00	22° 44	29° 51	10° 39	52° 55
5	7 "	155 21 40		0° 00	21° 37	28° 51	10° 29	52° 55
6	7 "	124 17 20		0° 00	22° 36			
7	6 "	124 17 20	"		0° 0'	4° 52	44° 54	71° 19
					0° 00	7° 18	48° 85	29° 40

RESULTATE.

5 Basé	0° 0' 0° 00	+	(11)
2 Penoenggahan	92 50 22° 54	+	(12)
4 Weroe	97 42 28° 96	+	(15)
Kaligong	157 45 11° 72		
1 Logantong	164 9 55° 21	+	(14)

4 WEROE.

Beobachter: Soeters. Instrument: (12 z.) Repsold.

N ^o .	1876	Logantong.	Objectiv.	Logantong Heliotrop u. Spalt.	Kaligong Heliotrop u. Spalt.	Bandong Heliotrop u. Spalt.	Penoeng- galan Heliotrop u. Spalt.	Basé Heliotrop.
				0° 0'	14° 58'	47° 15'	55° 10'	100° 1'
1	9, 10 April	0° 0' 0'	l. n. r.	0° 00	58° 74	56° 72	55° 95	28° 59
2	11 "	95 15 0		0° 00	57° 90	59° 55	57° 92	51° 12
3	11, 12 "	124 17 20		0° 00	58° 49	59° 57	56° 80	51° 55
4	10 "	51 4 20		0° 00	56° 96	56° 17	55° 55	
5	10 "	02 8 40		0° 00	57° 22	55° 51	55° 69	
6	15 "	155 21 40		0° 00	56° 97	55° 59	55° 96	
7	14 "	155 21 40	"	0° 00				28° 24
8	14 "	51 4 20	"	0° 00				28° 58
9	14 "	02 8 40	"	0° 00				29° 62

RESULTATE.

1 Logantong	0° 0' 0° 00	+	(15)
Kaligong	14 58 57° 58		
3 Bandong	47 15 56° 99	+	(16)
2 Penoenggahan	55 10 56° 18	+	(17)
5 Basé	100 1 29° 26	+	(18)

5 BASE.

Beobachter: Soeters. Instrument: (12 z.) Repsold.

Objectiv überall links und rechts.

1876	Gading.	Gading.	Segoro- goe- noeng.	Sang- grah.	Salem.	Banjoe- pahit.	Weroe.	Penoeng- galan.	Logan- tong.	Ban- dong.
		0° 0'	55° 57'	65° 57'	103° 8'	150° 56'				
5, 4 Juni	150° 51' 40"	0°,00	41°,77	55°,24	52°,75	56°,15				
4 "	90 51 0	0 ,00	40 ,72	56 ,54	55 ,75	59 ,82				
4, 5 "	50 10 20	0 ,00	41 ,08	54 ,08	54 ,00	58 ,41				
5 "	120 41 20	0 ,00	41 ,85	56 ,14	54 ,46	58 ,45				
6 "	60 20 40	0 ,00	40 ,27	54 ,85	54 ,95	59 ,96				
6 "	0 0 0	0 ,00	41 ,60	54 ,92	51 ,20	56 ,69				
						0° 0'	46° 15'	57° 15'	70° 50'	75° 45'
51 Mai	0 0 0					0 ,00	6°,90	50°,52	59°,87	4°,66
51 " 1 Juni	60 20 40					0 ,00	5 ,87	48 ,56	56 ,47	5 ,12
1 Juni	120 41 20					0 ,00	2 ,88	46 ,76	55 ,52	1 ,59
2 "	50 10 20					0 ,00	6 ,98	49 ,78	55 ,65	5 ,25
2 "	90 51 0					0 ,00	2 ,58	45 ,62	55 ,52	— 1 ,16
2, 5 "	150 51 40					0 ,00	4 ,56	49 ,15	57 ,71	2 ,24

RESULTATE.

9	Gading	0° 0'	0°,00	+	(19)
10	Segorogoe-noeng	55 57 41	,21	+	(20)
7	Sanggrah	65 57 55	,21	+	(21)
7	Salem	103 8 55	,52	+	(22)
6	Banjoe-pahit	150 56 58	,24	+	(25)
4	Weroe	176 50 2	,87	+	(24)
2	Penoeng-galan	187 50 46	,64	+	(25)
1	Logantong	201 7 54	,67	+	(26)
3	Bandong	206 22 0	,55	±	(27)

6 BANJOEPAHIT.

Beobachter: 1871, Flory. Instrument: (10 z.) Gross P. M. I.

" 1877, Soeters. " (12 z.) Repsold.

1871	Salem.	Logantong.	Pencoeng- galan.	Basé.	Gading.	Sang- grah.	Salem.	Mer- haboe.	Oena- rang.	Mocara Demak.
		0° 0'	9° 28'	55° 7'		97° 24'				
50 Juni	0° 0' 0"						0° 0'		115° 8'	180° 5'
50 "	51 5 20						0° 00		46° 04	50° 86
50 "	62 10 40						0° 00		46° 51	29° 05
50 "	95 16 0						0° 00		44° 27	29° 56
							0° 00		47° 12	28° 59
2 Juli	124 21 20				0° 0'		94° 10'		207° 19'	174° 16'
5 "	124 21 20				0° 00		40° 64			12° 50
5 "	155 26 40				0° 00		58° 79		24° 80	8° 92
5 "	0 0 0				0° 00		40° 58		25° 04	10° 17
4 "	51 5 20				0° 00		41° 85			
4 "	62 10 40				0° 00		41° 70			
					0° 00		40° 55			
4 "	95 16 0				0° 00		58° 55	164° 51	6° 64	
7 "	0 0 0						0° 0'	70° 20		
7 "	51 5 20						0° 00	28° 62		
7 "	62 10 40						0° 00	26° 48		
7 "	124 21 20						0° 00	27° 05		
							0° 00	26° 87		
1877	Logantong.				58° 59'		155° 9'			
17 März.	0 0 0	0° 00	15° 45	10° 75	1° 50	57° 19	44° 04			
18, 19 "	60 20 40	0° 00	15° 50	10° 46	2° 35	59° 16	45° 54			
19 "	120 40 20	0° 00	14° 22	10° 09	5° 07	59° 50	44° 64			
20 "	50 10 20	0° 00	15° 80	8° 57	1° 82	58° 04	45° 25			
20 "	90 51 0	0° 00	12° 35	8° 55	5° 41	40° 40	41° 64			
20 "	150 51 40	0° 00	14° 55	11° 07	2° 42	57° 58	42° 85			

RESULTATE.

1	Logantong	0° 0'	0° 00	+	(28)
2	Pencoenggalan	9 28	15° 71	+	(29)
5	Basé	55 7	9° 32	+	(50)
9	Gading	58 59	2° 72	+	(51)
7	Sanggrah	97 24	58° 76	+	(52)
8	Salem	155 9	45° 45	+	(55)
	Merhaboe	225 50	10° 65	+	(54)
	Oenarang	266 18	29° 12	+	(55)
	Mocara Demak	555 15	15° 18	+	(56)

7 SANGGRAH.

Beobachter: N° 1 bis 7. Woldringh; N° 8 bis 15. Soeters. Instrument: (12 z.) Repsold.

N°.	1875 u. 1877	Banjoepahit.	Objec- tiv.	Ban- joepahit.	Basé.	Gading.	Segoro- gumoeang.	Salem.
				0° 0'	51° 5'	105° 51'	176° 28'	515° 42'
1875								
1	10, 15 u. 22 Februar	0° 0' 0'	l. u. r.	0°,00	27',51	5',25	20',96	
2	15	" 120 41 20	"	0,00	28,04	5,51	20,58	
3	15 u. 19	" 50 10 20	"	0,00	28,58	6,54	20,45	
4	19	" 90 51 0	"	0,00	51,24	7,21	20,75	
5	20	" 150 51 40	"	0,00	27,71	5,81	18,84	
6	15, 14	" 60 20 40	"	0,00	51,29		21,05	
7	20, 21	" 60 20 40	"	0,00		8,99		
1877								
8	7 März	0 0 0	"	0,00				50',00
9	"	60 20 40	"	0,00				55,14
10	"	120 41 20	"	0,00				51,56
11	"	50 10 20	"	0,00				51,87
12	"	90 51 0	"	0,00				55,58
13	"	150 51 40	"	0,00				51,74

RESULTATE.

6	Banjoepahit	0° 0' 0',00	+	(57)
5	Basé	51 5 29,29	+	(58)
9	Gading	105 51 6,28	+	(59)
10	Segorogumoeang	176 28 20,66	+	(60)
8	Salem	515 42 51,92	+	(61)

S. SALEM.

Beobachter: 1875, Flory. Instrument: (10 z.) Gross P. M. L. Fernrohr überall links und rechts.
 " 1877, Soeters. " (12 z.) Repsold. Objectiv überall links und rechts.

1871	Banjoepalit.	Banjoepalit.	Basé.	Gading.	Sanggrah.	Segorogoe-nong.	Lawoe.	Kritjian.	Merlaboe.
		0° 0'	52° 29'	62° 16'	77° 57'		154° 25'		275° 42'
Februar u. März	95° 16' 10"					0° 0'		88° 54'	
"	124° 21' 20"					0° 00'		58° 68'	
"	155° 26' 40"					0° 00'		59° 67'	
"	62° 10' 50"					0° 00'		59° 71'	
						0° 00'		60° 44'	
						105° 27'			
"	95° 16' 0"	0° 00'		15° 58'		41° 76'			
"	124° 21' 20"	0° 00'		11° 30'		59° 05'			
"	155° 26' 40"	0° 00'		11° 59'		59° 10'			
"	62° 10' 40"	0° 00'		15° 01'		40° 45'			
								192° 22'	
"	0° 0' 0"	0° 00'		10° 55'				58° 05'	
"	51° 5' 20"	0° 00'		10° 41'				57° 75'	
"	0° 0' 0"	0° 00'				58° 68'			
"	51° 5' 20"	0° 00'				58° 55'			
1877								Nglang-grang.	
31 März; 2, 5 April	0° 0' 0"	0° 00'	24° 22'	12° 35'	48° 52'	58° 67'			
1, 5 April	60° 20' 40"	0° 00'	24° 76'	15° 64'	48° 15'	59° 18'			
5 "	50° 10' 20"	0° 00'	25° 71'	12° 32'	48° 08'	59° 22'		251° 22'	
5, 4 "	90° 51' 0"	0° 00'	22° 21'	12° 66'	47° 86'	59° 62'			
4 "	150° 51' 40"	0° 00'	22° 55'	15° 55'	47° 55'	59° 44'			
2 "	120° 41' 20"	0° 00'	25° 21'	15° 76'	48° 05'				
4 "	120° 41' 20"	0° 00'				59° 67'			
18 "	0° 0' 0"	0° 00'					18° 26'		
18 "	60° 20' 40"	0° 00'					17° 37'		
18, 20 "	120° 41' 20"	0° 00'					16° 25'	14° 58'	
20 "	50° 10' 20"	0° 00'					18° 09'	14° 29'	
20 "	90° 51' 0"	0° 00'					18° 17'	15° 48'	
20, 21 "	150° 51' 40"	0° 00'					16° 75'	14° 35'	
22, 24 "	60° 20' 40"	0° 00'						15° 40'	
24 "	0° 0' 0"	0° 00'						14° 75'	
24 "	50° 51' 0"	0° 00'							40° 55'
24 "	90° 10' 20"	0° 00'							59° 35'
25 "	150° 51' 40"	0° 00'							41° 11'
25 "	120° 41' 20"	0° 00'							41° 28'
25 "	60° 20' 40"	0° 00'							45° 35'
25 "	0° 0' 0"	0° 00'							40° 72'

RESULTATE.

6	Banjoepalit	0° 0'	0° 00'	+	(42)
5	Basé	52° 29'	25° 18'	+	(45)
9	Gading	62° 16'	12° 50'	+	(44)
7	Sanggrah	77° 57'	47° 77'	+	(45)
10	Segorogoe-nong	105° 27'	59° 51'	+	(46)
	Lawoe	154° 25'	17° 57'	+	(47)
	Kritjian	192° 22'	58° 88'	+	(48)
	Nglanggrang	251° 22'	14° 39'	+	(49)
	Merlaboe	275° 42'	41° 25'	+	(50)

9 GADING.

1870 und 1871 Beobachter: Flory. Instrument: (10 z.) Gross P. M. I. Fernrohr überall links und rechts.
 1877 " " Sectors. " (12 z.) Repsold. Objectiv " " " "
 1875 " " Woldringh. " (") " " " " " " "

1870	Petjangan.	Segoro- goe- noeng.	Sindang.	Salem.	Banjoe- pahit.	Mocara Demak.	Genoek.	Petjan- gakan.	Boetak.
		0° 0'		72° 59'				252° 29'	290° 52'
25 August.	0° 0' 0"	0°,00						5°,12	56°,19
26 "	0 0 0	0,00						5,97	57,22
27, 30 September.	60 10 40	0,00						4,04	54,80
2, 5, 11 "	90 16 0	0,00						2,56	56,14
26 August.	50 5 20							0° 0'	58° 25'
5 September.	120 21 20							0,00	54°,22
6, 11 "	150 26 40							0,00	55,35
11 "	60 10 40							0,00	54,68
								0,00	55,34
5, 4 "	50 5 20	0,00						252° 29'	
5 "	120 21 20	0,00						5,27	
6 "	150 26 40	0,00						5,45	
								4,52	
18 "	0 0 0						0° 0'	47° 55'	
18 "	50 5 20						0°,00	15°,15	
16 "	60 10 40						0,00	15,46	
18 "	90 16 0						0,00	14,25	
18 "	90 16 0						0,00	16,56	
19, 20 "	120 21 20						0,00	12,77	
20 "	150 26 40						0,00	15,98	
			0° 0'						
8, 9 October.	0 0 0	0°,00				118° 27'	179° 5'		
8 "	50 5 25	0,00				52°,66	58°,70		
7 "	60 10 50	0,00				52,66	59,20		
6 "	90 16 10	0,00				50,05	59,18		
6 "	120 21 40	0,00				51,19	60,41		
4, 6 "	150 27 0	0,00				49,87	58,66		
						50,98	58,94		
15 "	0 0 0				0° 0'	47° 26'	108° 2'		
15 "	50 5 50				0°,00	42°,66	48°,65		
15 "	60 10 40				0,00	40,15	46,85		
15 "	150 27 0				0,00	41,29	49,52		
14 "	120 51 55				0,00	57,90	48,68		
16 "	90 16 15				0,00		49,26		
14 "	90 16 15				0,00	57,75	46,60		
	Segoro- goe-noeng.				96° 55'				
2, 5 April.	124 21 20	0,00		54°,64	1°,79				
2 "	155 26 40	0,00		55,57	5,15				
5 "	0 0 0	0,00		55,05	0,52				
5, 4 "	51 5 20	0,00		54°,22	2,87				
4 "	62 10 50	0,00		54,80	1,97				
4 "	95 16 0	0,00		55,97	2,08				

1870	Petjanganhan,	Segoro- goe- moeng.	Sanggrah.	Salem.	Banjoepahit.	Basé.
		0° 0'	60° 29'	72° 59'	96° 55'	120° 4'
	Segorogoe					
50 März	0° 0' 0"	0°,00		55°,97		
1 April	51 5 20	0,00		55,18		
1, 2 "	62 10 40	0,00		56,17		
2 "	95 16 0	0,00		55,88		
1877						
10 März	0 0 0	0,00		54,06		
10 "	60 20 40	0,00		55,55		
10 "	120 41 20	0,00		54,95		
10 "	50 10 20	0,00		52,77		
10 "	90 51 0	0,00		54,65		
10 "	150 51 40	0,00		54,09		
1875						
6 März	0 0 0	0,00	41°,17		0°,01	11°,65
6, 7 "	60 20 40	0,00	46,45		4,16	15,20
7 "	120 41 20	0,00	42,45		0,00	12,04
8, 9 "	50 10 20	0,00	45,55		5,00	12,05
9 "	90 51 0	0,00	44,48		2,97	14,01
9 "	150 51 40	0,00	44,95		0,85	15,59

RESULTATE.

10 Segorogoe	0° 0'	0°,00	+	(51)
Sindang	25 51 50	41	—	(52)
7 Sanggrah	60 29 45	79	—	(55)
8 Salem	72 59 54	66	—	(54)
6 Banjoepahit	96 55 4	82	—	(55)
5 Basé	120 4 15	04	+	(56)
Mocara Demak	145 59 44	64	+	(57)
Gemok	204 55 49	60	—	(58)
Petjanganhan	252 29 4	92	+	(59)
Boetak	290 52 56	98	+	(60)

10 SEGOROGOE MOENG.

Beobachter, 1864, 65: Van Asperen. Instrument: (12 z.) Repsold.
 " , 1870, 71: Flory. " (10 z.) Gross P. M. L.
 " , 1876: Soeters. " (12 z.) Repsold.

1864		Gading. <small>Signat. redu- cirt auf das Centrum des Picturus.</small>	Boetak.	Wono- tjolo.	Kendil.	Lawoe <small>Signat. redu- cirt auf das Centrum des Picturus.</small>	Krijan.
						0° 0'	49° 57'
24 October	Lawoe 24° 4' n. 125°					0°,00	42°,15
1865	Gading	0° 0'				221° 54'	
50 Mai	24° 50'	0°,00				45°,95	
1870	Boetak		0° 0'	55° 22'	85° 55'		
25 October	0° 0' 0"		0°,00	54°,57	48°,46		
25 "	50 5 20		0,00	54,96	49,18		
25, 25 "	60 10 40		0,00	55,04	49,28		
25 "	90 16 0		0,00	52,25	47,68		
27 "	120 21 20		0,00	54,82	50,46		
28, 29 "	150 26 40		0,00	56,69	52,06		

1864		Salem.	Sang- grah.	Basé.	Gading.	Boetak.	Kendil.	Pandau.	Kritjan.
		0° 0'	17° 15'	41° 50'	65° 48'	140° 7'			557° 21'
1871		Kritjan.							
8	April.	0 0 0	0 ,00		44 ,52				12 ,95
8	"	51 5 20	0 ,00		45 ,91				12 ,41
8	"	62 10 40	0 ,00		44 ,27				15 ,17
9, 10	"	95 16 0	0 ,00		45 ,00				11 ,05
10	"	124 21 20	0 ,00		44 ,46				14 ,61
10	"	155 26 40	0 ,00		45 ,04				12 ,51
1876									
24, 25, 26 April.		0 0 0	0 ,00	40 ,25	57 ,55	45 ,17			
25 April.		60 20 40	0 ,00	58 ,84		45 ,15			
25 "		120 41 20	0 ,00	58 ,46		45 ,29			
25 "		50 10 20	0 ,00	58 ,80		40 ,56			
25 "		90 51 0	0 ,00	56 ,82		41 ,69			
26 "		150 51 40	0 ,00	57 ,48		41 ,45			
				0° 0'	24° 14'				
26 "		60 20 40	0 ,00		56 ,01				
26 "		120 41 20	0 ,00		55 ,52				
				0° 0'	24° 18'				
26 "		50 10 20	0 ,00		8 ,11				
26 "		90 51 0	0 ,00		9 ,26				
26 "		150 51 40	0 ,00		5 ,50				
		Kritjan.							
25 "		0 0 0			0° 0'	74° 18'		150° 40'	
25 "		51 4 20			0 ,00	25 ,65		1 ,08	
25 "		62 8 40			0 ,00	25 ,10		1 ,28	
25 "		95 15 0			0 ,00	25 ,46		0 ,25	
25 "		124 17 20			0 ,00	21 ,52		1 ,75	
26 "		155 21 40			0 ,00	21 ,78			
26 "					0 ,00	25 ,52			

RESULTATE.

8	Salem	0° 0'	0 ,00	+	(61)
7	Sanggrah	17 15	59 ,11	+	(92)
5	Basé	41 50	55 ,74	+	(65)
9	Gading	65 48	45 ,22	+	(64)
	Boetak	140 7	6 ,69	+	(65)
	Wumotjolo	175 29	41 ,07	+	(66)
	Pandau	216 28	44 ,55	+	(67)
	Kendil	225 40	56 ,21	+	(68)
	Lawoe	287 25	29 ,64	+	(69)
	Kritjan	557 21	12 ,25	+	(70)

Bei den Messungen von 1864 und 1865 wurden nach Gading und Lawoe auf Bombus-Signale, nach Kritjan auf ein Heliotrop eingestellt. Die Reduction auf das Centrum des Pfeilers war für Gading $-28',08$, und für Lawoe $+59',12$. Diese Reduction ist oben schon angebracht.

In ganzen Netze, welches die 11 Punkte verbindet, geben die Messungen 17 Winkel- und 9 Seitengleichungen; es würden also, wenn die Ausgleichung in Einem durchgeführt würde, 26 Gleichungen mit ebensoviel Unbekannten gelöst werden müssen. Es lag aber auf der Hand, durch die Seite 5 6, (Basé-Hanjoepahit) eine Trennung vorzunehmen, und das ganze Netz also in zwei kleinere zu theilen. Es folgt hier die Ableitung der Bedingungsgleichungen für den ersten Theil.

Dreieck 1 2 3.

$$3 = 71^{\circ} 49' 50',87 + (14) - (12)$$

$$1 = 59 49 9,27 + (8) - (6)$$

$$2 = 68 51 18,97 + (5) - (2)$$

$$180^{\circ} + \epsilon = \begin{array}{r} 179 \quad 59 \quad 59,11 \\ 180 \quad 0 \quad 0,05 \end{array}$$

$$(I) \quad . \quad . \quad . \quad 0 = - 0,92 - (2) + (5) - (6) + (8) - (12) + (14)$$

Dreieck 1 2 4.

$$4 = 55^{\circ} 10' 56',18 + (17) - (15)$$

$$1 = 26 27 29,05 + (9) - (8)$$

$$2 = 100 21 54,51 + (2) - (1)$$

$$180^{\circ} + \epsilon = \begin{array}{r} 179 \quad 59 \quad 59,74 \\ 180 \quad 0 \quad 0,02 \end{array}$$

$$(II) \quad . \quad . \quad . \quad 0 = - 0,28 - (1) + (2) - (8) + (9) - (15) + (17)$$

Dreieck 1 3 4.

$$4 = 47^{\circ} 15' 56',99 + (16) - (15)$$

$$1 = 66 16 58,52 + (9) - (6)$$

$$3 = 66 27 24,25 + (14) - (15)$$

$$180^{\circ} + \epsilon = \begin{array}{r} 179 \quad 59 \quad 59,56 \\ 180 \quad 0 \quad 0,05 \end{array}$$

$$(III) \quad . \quad . \quad . \quad 0 = - 0,49 - (6) + (9) - (15) + (14) - (15) + (16)$$

Dreieck 3 4 5.

$$5 = 29^{\circ} 51' 57',66 + (27) - (24)$$

$$3 = 97 42 28,90 + (15) - (11)$$

$$4 = 52 45 52,27 + (18) - (16)$$

$$180^{\circ} + \epsilon = \begin{array}{r} 179 \quad 59 \quad 58,89 \\ 180 \quad 0 \quad 0,11 \end{array}$$

$$(IV) \quad . \quad . \quad . \quad 0 = - 1,22 - (11) + (15) - (16) + (18) - (24) + (27)$$

Dreieck 1 4 5.

$$5 = 24^{\circ} 17' 51',80 + (26) \quad (24)$$

$$1 = 55 40 57,52 + (9) \quad (7)$$

$$4 = 100 1 29,26 + (18) \quad (15)$$

$$179 59 58,58$$

$$180^{\circ} + \varepsilon = 180^{\circ} 0 0,15$$

$$(V). \quad . \quad . \quad 0 = - 1,75 = (7) + (9) \quad (15) + (18) = (24) + (26)$$

Dreieck 2 3 5.

$$5 = 18^{\circ} 51' 15',89 + (27) \quad (25)$$

$$2 = 68 58 22,99 + (4) \quad (5)$$

$$3 = 92 50 22,54 + (12) \quad (11)$$

$$179 59 59,22$$

$$180^{\circ} + \varepsilon = 180 0 0,06$$

$$(VI). \quad . \quad . \quad 0 = - 0,84 = (5) + (4) = (11) + (12) = (25) + (27)$$

Dreieck 1 5 6.

$$6 = 55^{\circ} 7' 9',92 + (50) \quad (28)$$

$$1 = 76 22 15,56 + (10) \quad (7)$$

$$5 = 70 50 56,45 + (26) \quad (25)$$

$$179 59 59,91$$

$$180^{\circ} + \varepsilon = 180 0 0,65$$

$$(VII). \quad . \quad . \quad 0 = - 0,74 = (7) + (10) = (25) + (26) = (28) + (50)$$

Dreieck 2 5 6.

$$6 = 25^{\circ} 58' 56',21 + (50) \quad (29)$$

$$2 = 99 7 14,75 + (5) \quad (4)$$

$$5 = 57 15 48,40 + (25) \quad (25)$$

$$179 59 59,54$$

$$180^{\circ} + \varepsilon = 180 0 0,42$$

$$(VIII). \quad . \quad . \quad 0 = - 1,08 = (4) + (5) = (25) + (25) = (29) + (50)$$

Viereck 1 2 3 4.

$$\sin 123 \cdot \sin 142 \cdot \sin 134 = 1.$$

$$\sin 132 \cdot \sin 124 \cdot \sin 143$$

$$1 \ 2 \ 3 = 68^{\circ} 51' 18',97 + (5) \quad (2) \quad 9,969 \ 7290,6 + 8,2 \{ (5) = (2) \}$$

$$1 \ 3 \ 2 = 71 19 50,87 + (14) \quad (12) \quad 0,025 \ 4888,8 + 7,1 \{ (12) = (14) \}$$

$$1 \ 4 \ 2 = 55 10 56,18 + (17) \quad (15) \quad 9,905 \ 5862,6 + 15,8 \{ (17) = (15) \}$$

$$1 \ 2 \ 4 = 100 21 54,51 + (2) \quad (4) \quad 0,007 \ 1579,6 + 5,9 \{ (2) = (4) \}$$

$$1 \ 3 \ 4 = 66 27 24,25 + (14) \quad (15) \quad 9,962 \ 2550,1 + 9,2 \{ (14) = (15) \}$$

$$1 \ 4 \ 3 = 57 15 56,99 + (16) \quad (15) \quad 0,154 \ 0022,7 + 19,5 \{ (15) = (16) \}$$

$$9,999 \ 9994,4$$

$$0 = - 5,6 = 3,9 (1) = 4,3 (2) + 8,2 (5) + 7,1 (12) = 9,2 (15) + 2,1 (14) + 3,7 (15) = 19,5 (16) + 15,8 (17)$$

oder:

$$(IX). \quad 0 = - 0,56 = 0,39 (1) = 0,41 (2) + 0,82 (3) + 0,71 (12) = 0,92 (15) + 0,21 (14) + 0,37 (15) = 1,95 (16) + 1,58 (17)$$

Viereck 1 3 4 5.

$$\frac{\sin 435^\circ \cdot \sin 413^\circ \cdot \sin 451^\circ}{\sin 453^\circ \cdot \sin 431^\circ \cdot \sin 415^\circ} = 1.$$

4 3 5	97° 42' 28",96 + (15) - (11)	9,996 0580,0 + 2,85 { (11) (15) }
4 5 3	29 51 57,66 + (27) - (24)	0,507 2256,1 + 57,2 { (24) (27) }
4 1 3	66 16 58,52 + (9) - (6)	9,961 6599,4 + 9,5 { (9) - (6) }
4 3 1	66 27 24,25 + (14) - (15)	0,057 7449,9 + 9,2 { (15) - (14) }
4 5 1	24 17 51,80 + (26) - (24)	9,614 2554,9 + 46,65 { (26) (24) }
4 1 5	55 40 57,52 + (9) (7)	0,085 0785,6 + 14,4 { (7) (9) }

9,999 9985,9

$$0 = -16,1 - 9,3 (6) + 14,1 (7) - 5,1 (9) + 2,85 (11) + 6,35 (15) - 9,2 (14) - 9,45 (21) + 46,65 (26) - 37,2 (27)$$

oder:

$$(X) 0 = -1,61 - 0,93 (6) + 1,41 (7) - 0,51 (9) + 0,285 (11) + 0,635 (15) - 0,92 (14) - 0,945 (21) + 4,665 (26) - 3,72 (27)$$

Viereck 1 2 3 5.

$$\frac{\sin 235^\circ \cdot \sin 213^\circ \cdot \sin 251^\circ}{\sin 253^\circ \cdot \sin 231^\circ \cdot \sin 285^\circ} = 1.$$

2 3 5	92° 50' 22",54 + (12) - (11)	9,999 4664,4 + 1,1 { (11) (12) }
2 5 3	18 51 15,89 + (27) - (25)	0,498 0588,7 + 62,8 { (25) - (27) }
2 1 3	59 49 9,27 + (8) (6)	9,806 4295,6 + 25,25 { (8) (6) }
2 3 1	71 19 50,87 + (14) - (12)	0,025 4888,8 + 7,1 { (12) (14) }
2 5 1	15 16 48,05 + (26) - (25)	9,561 1802,5 + 89,2 { (26) (25) }
2 1 5	29 15 28,27 + (8) - (7)	0,511 5727,0 + 57,6 { (7) (8) }

9,999 9964,8

$$0 = -35,2 - 25,25 (6) + 37,6 (7) - 12,55 (8) + 1,1 (11) + 6,9 (12) - 7,1 (14) - 26,4 (25) + 89,2 (26) - 62,8 (27)$$

oder:

$$(XI) 0 = -1,408 - 1,01 (6) + 1,59 (7) - 0,494 (8) + 0,044 (11) + 0,24 (12) - 0,281 (14) - 1,006 (25) + 3,568 (26) - 2,512 (27)$$

Viereck 1 2 5 6.

$$\frac{\sin 162^\circ \cdot \sin 652^\circ \cdot \sin 512^\circ}{\sin 612^\circ \cdot \sin 562^\circ \cdot \sin 152^\circ} = 1.$$

1 6 2	9° 28' 15",71 + (29) - (28)	9,216 2697,2 + 126,2 { (29) (28) }
6 1 2	47 8 45,29 + (10) (8)	0,154 8457,85 + 19,5 { (8) - (10) }
6 5 2	57 15 48,40 + (25) - (23)	9,924 7191,4 + 15,5 { (25) (23) }
5 6 2	25 58 56,21 + (50) - (29)	0,596 7129,9 + 48,0 { (29) - (50) }
5 1 2	29 15 28,27 + (8) - (7)	9,688 6272,95 + 57,6 { (8) - (7) }
1 5 2	15 16 48,05 + (26) - (25)	0,658 8197,7 + 89,2 { (25) (26) }

9,999 9927,0

$$0 = -73,0 - 37,6 (7) + 57,1 (8) - 19,5 (10) - 13,5 (23) + 192,7 (25) - 89,2 (26) - 126,2 (28) + 174,2 (29) - 48,0 (30)$$

oder:

$$(XII) 0 = -1,46 - 0,376 (7) + 1,142 (8) - 0,39 (10) - 0,27 (23) + 2,004 (25) - 1,781 (26) - 2,524 (28) + 3,184 (29) - 0,96 (30)$$

Darstellung der Correctionen (1), (2), (5) . . . durch die Factoren I, II, III . . .

$$\begin{aligned}
 2 \times (1) &= - II - 0,59 IX & \text{also} & (1) = - 0,5 II - 0,195 IX \\
 2 \times (2) &= - I + II - 0,45 IX & a & (2) = - 0,5 I + 0,5 II - 0,215 IX \\
 2 \times (5) &= + I - VI + 0,82 IX & e & (5) = + 0,5 I - 0,5 VI + 0,41 IX \\
 (4) &= + VI - VIII \\
 (5) &= + VIII \\
 (6) &= - I - III - 0,95 X - 1,91 XI \\
 (7) &= - V - VII + 1,44 X + 1,504 XI - 0,752 XII \\
 (8) &= I - II - 0,494 XI + 1,142 XII \\
 (9) &= II + III + V - 0,51 X \\
 (10) &= VII - 0,59 XII \\
 (11) &= - IV - VI + 0,285 X + 0,044 XI \\
 (12) &= - I + VI + 0,71 IX + 0,24 XI \\
 (15) &= - III + IV - 0,92 IX + 0,655 X \\
 (14) &= I + III + 0,21 IX - 0,92 X - 0,284 XI \\
 (15) &= - II - III - V + 0,57 IX \\
 (16) &= III - IV - 1,95 IX \\
 (17) &= II + 1,58 IX \\
 (18) &= IV + V \\
 (25) &= - VII - VIII - 0,27 XII \\
 (24) &= - IV - V - 0,945 X \\
 (25) &= - VI + VIII - 1,056 XI + 2,054 XII \\
 (26) &= V + VII + 4,665 X + 5,568 XI - 1,784 XII \\
 (27) &= IV + VI - 5,72 X - 2,512 XI \\
 (28) &= - VII - 2,524 XII \\
 (29) &= - VIII + 5,484 XII \\
 (50) &= VII + VIII - 0,96 XII
 \end{aligned}$$

VORBEREITUNG ZUR BERECHNUNG DES MITTLEREN FEHLERS DES BRIGGISCHEN LOGARITHMUS DER SEITE BASE-RANJOEPAMIT.

Bevor wir die Normal- und Endgleichungen mittheilen, werden wir wieder erst die Zahlen abtheilen, welche sich auf die Bestimmung des mittleren Fehlers des briggischen Logarithmus des Verhältnisses

$$\begin{aligned}
 \sin 56 \\
 \sin 12
 \end{aligned}$$

beziehen.

Auf zweierlei Art fand die Bestimmung statt; einerseits ist:

$$\frac{\sin 56}{\sin 12} = \frac{\sin 216}{\sin 162} \cdot \frac{\sin 526}{\sin 256}$$

$$\begin{aligned}
 \text{Log. } \frac{\sin 56}{\sin 12} &= \text{Vorläufiger Werth} + 5,4 (4) - 5,4 (5) - 19,5 (8) + 19,5 (10) + 15,5 (25) \\
 &\quad - 15,5 (25) + 126,2 (28) - 126,2 (29) \\
 &= - 19,5 I + 19,5 II + 16,9 VI - 120,2 VII + 92,4 VIII + 25,889 XI \\
 &\quad - 819,458 XII.
 \end{aligned}$$

Andererseits ist ebenso:

$$\frac{\sin 56}{\sin 12} = \frac{\sin 215 \cdot \sin 526}{\sin 251 \cdot \sin 263},$$

$$\begin{aligned} \text{Log. } \frac{\sin 56}{\sin 12} &= \text{Vorläufiger Werth} + 5,4 (4) - 5,4 (5) - 57,6 (7) + 57,6 (8) + 89,2 (25) \\ &\quad - 89,2 (26) + 48,0 (29) - 48,0 (50) \\ &= 57,6 \text{ I} - 57,6 \text{ II} - 51,6 \text{ V} - 85,8 \text{ VI} - 99,6 \text{ VII} - 15,6 \text{ VIII} \\ &\quad - 470,262 \text{ X} - 487,5856 \text{ XI} + 626,8760 \text{ XII.} \end{aligned}$$

Zur Berechnung von $(l q)$ hat man

einerseits:

l	$lq = l^2$
5,4	11,56
5,4	11,56
19,5	580,25
19,5	580,25
15,5	182,25
15,5	182,25
126,2	15926,44
126,2	15926,44

$$(lq) = 55001,00.$$

andererseits:

l	$lq = l^2$
5,4	11,56
5,4	11,56
57,6	1415,76
57,6	1415,76
89,2	7956,64
89,2	7956,64
48,0	2504,00
48,0	2504,00

$$(lq) = 25571,92.$$

Weitere Erklärung wird wohl unnöthig sein.

	I	II	III	IV	V	VI	VII
+ 0,92 =	+ 5,000	1,500	+ 2,000			- 1,500	-
+ 0,28 =		+ 5,000	+ 2,000		+ 2,000		-
+ 0,49 =			- 6,000		- 2,000		-
+ 1,22 =				+ 6,000	+ 2,000	+ 2,000	-
+ 1,75 =					- 6,000		+ 2,000
+ 0,84 =						+ 5,500	-
+ 0,74 =							+ 6,000
+ 1,08 =							
+ 0,56 =							
+ 1,61 =							
+ 1,408 =							
+ 1,46 =							

	I	II	III	IV	V	VI	VII
+ 0,9200 =	5,000	1,500	+ 2,000	-		- 1,500	-
+ 0,5560 =		4,550	+ 2,000		+ 2,000	- 0,450	-
+ 0,1957 =			+ 5,7145	- 2,000	+ 0,8571	+ 0,8571	-
+ 1,1146 =				+ 4,9251	+ 2,4615	+ 2,4615	-
+ 0,9955 =					+ 5,6924	1,2507	+ 2,000
+ 0,9900 =						+ 5,1668	+ 0,0000
0,0065 =							+ 4,7761
+ 1,7085 =							
0,0419 =							
+ 1,2564 =							
+ 0,2487 =							
+ 4,9898 =							

EICHUNGEN.

VIII	IX	X	XI	XII	λ_1	λ_2						
-	+	0,125	+	0,010	-	0,008	-	1,142	-	19,5	-	57,6
-	+	1,190	-	0,510	+	0,494	-	1,142	-	19,5	-	57,6
-	-	1,190	-	1,155	+	0,726	-	-	-	-	-	-
-	+	1,050	-	2,425	-	2,556	-	-	-	-	-	-
-	-	0,570	+	5,060	+	2,064	-	1,052	-	-	-	51,6
2,000	-	0,500	-	4,005	-	1,260	-	2,054	-	16,9	-	85,8
2,000	-	-	-	5,225	+	2,064	+	0,412	-	120,2	-	99,6
6,000	-	-	-	-	-	1,056	-	2,120	-	92,4	-	15,6
-	-	8,5551	-	0,7774	-	0,1108	-	-	-	-	-	-
-	-	-	+	41,0251	-	29,5682	-	9,4052	-	-	-	470,262
-	-	-	-	-	-	25,8222	-	10,2295	+	25,889	-	487,5856
-	-	-	-	-	-	-	-	28,9266	-	819,458	+	626,8760
-	-	-	-	-	-	-	-	-	-	55001,00	+	25571,392

HÜNGEN.

VIII	IX	X	XI	XII	λ_1	λ_2					
	0,125	+	0,010	0,008	1,142						
	1,2275		0,507	+	0,4916	0,7994	15,6501	26,52			
	1,9414		0,8495	+	0,4485		0,0000	0,00			
	0,0154	—	2,8825		2,5146						
	0,4559	+	5,52	+	2,9018	0,6806	6,000	50,0505			
2,000	0,7655	—	0,5752	+	0,8075	2,0175	10,4005	90,4655			
2,421	0,0852	+	0,5562	—	0,5225	1,2052	119,1594	58,8745			
5,5098	0,4589		0,5458		0,7095	4,0049	159,5549	40,895			
	6,6899		0,2150	+	0,4506	+	1,0689	24,2422	+	29,2090	
		+	50,6104	+	25,8595	9,5216	+	45,2149	—	450,805	
			—	+	1,5477	—	2,6555	+	51,0897	—	100,5827
				—		15,9625	—	516,4990	+	181,616	
							—	2654,75	+	2655,24	

Die Auflösung dieser Endgleichungen giebt die Correlaten wie folgt:

I = + 1,02686	Log. . . 0,01155
II = + 0,59216	9,59546
III = — 1,25857	0,09292n
IV = — 0,75255	9,86484n
V = + 1,10082	0,04172
VI = + 1,01808	0,00778
VII = — 0,61920	9,79185n
VIII = + 1,60742	0,00521
IX = — 0,14008	9,14658n
X = — 0,55661	9,72966n
XI = + 0,88287	9,94590
XII = + 0,55757	9,55512

Und weiter die Correctionen:

(1) = — 0',169 (Gew.=2)	(10) = — 0',759	(25) = — 0',485
(2) = — 0',287 (Gew.=2)	(11) = — 0',400	(24) = + 0',159
(5) = — 0',055 (Gew.=2)	(12) = + 0',104	(25) = — 0',209
(4) = + 0',011	(15) = + 0',294	(26) = + 0',491
(5) = + 1',007	(14) = + 0',002	(27) = + 0',064
(6) = — 0',181	(15) = — 0',506	(28) = 0',285
(7) = 0',195	(16) = — 0',252	(29) = + 0',258
(8) = + 0',607	(17) = + 0',171	(50) = + 0',045
(9) = + 0',528	(18) = + 0',568	

Durch Summirmg der Quadrate dieser Fehler findet man mit Rücksicht auf die Gewichte:

$$[p \epsilon^2] = 12 \mu^2 = 5,74,$$

welche Gleichung wir später mit der analogen, aus dem zweiten Theile des Basisnetzes hergeleiteten vereinigen wollen.

Bis soweit war die Rechnung vorgeschritten, als ich von der, vor Kurzem in Helmert's erschienenem Musterwerke: „die mathematischen und physikalischen Theorien der höheren Geodäsie“, (1880), I. Th., S. 190, mitgetheilten Formel für die Correction wegen der Höhe des anvisirten Objectes über die der Berechnung zu Grunde gelegte Niveaulfläche, (die Oberfläche des Rotations-Ellipsoids,) Kenntniss bekam. Nennt man H diese Höhe, a den Aequatorial-Halbmesser der Erde, beide in Metern, e die Excentricität des Erdmeridians, B die geographische Breite des Beobachtungsorts, S die Entfernung und A das Azimuth des anvisirten Objectes, so ist der Betrag der Höhen-Correction, nach Helmert:

$$d A = + \frac{e^2 H}{2 a \operatorname{arc} 1''} \cdot (\cos^2 B \sin 2 A + \frac{1}{2} \frac{S}{a} \sin 2 B \cdot \sin A + \text{Glieder zweiter und höherer Ordnung.})$$

Diese Formel wird

für $B = 6^\circ$	$d A = (6,0284 - 10) H \sin 2 A + (8,25 - 20) H S \sin A + \dots$
7°	$(6,0267 - 10) \quad " \quad + (8,51 - 20) \quad "$
8°	$(6,0247 - 10) \quad " \quad + (8,57 - 20) \quad "$
9°	$(6,0224 - 10) \quad " \quad - (8,42 - 20) \quad "$

Das zweite Glied bleibt sogar für $H = 5676$, die Höhe des Smorow, und $S = 100000$ Meter, immer unter $0,001$ und darf somit vernachlässigt werden. Für das erste Glied reichte die nachstehende Tafel hin, welche für die Mittelbreite Java's, $7^\circ 20'$, also mit der Constante $6,0260 - 10$ berechnet worden war.

Bemerkung. Bohnenberger scheint der Erste gewesen zu sein, der in seiner Abhandlung *«De conjugatis dimensionibus trigonometricis in superficie terrae sphaeroidis instituit*, (Programm der Universität Tübingen 1826.) diese Correction berücksichtigt hat. Man sehe die Uebersetzung von E. Hammer: *Die Berechnung der trigonometrischen Vermessungen mit Rücksicht auf die sphäroidische Gestalt der Erde*, Stuttgart 1852, S. 17. Es ist dort aber nur das erste Glied entwickelt und dann hat Bohnenberger im Nenner statt $a(1-e^2) = \frac{a(1-e^2)}{1-(1-e^2)\sin^2 B}$, was aber nur einen Unterschied höherer Ordnung macht.

Bohnenberger bezeichnet die Correction als von der *verschwindenden Höhenlage* der Punkte herrührend; demgemäss ist sie bei ihm auch die Correction, welche gefordert wird, wenn man den anvisirten Punkt auf die durch die Beobachtungs-Station gehende Niveau-Oberfläche projectirt. In Wirklichkeit aber projectirt man bei der Berechnung einer Triangulation alle Punkte auf ein einziges Niveau, jenes des Meeres, dann aber kommt die Höhe der Beobachtungs-Station nicht in Betracht, und soll H nicht den Höhen-Unterschied beider Punkte, sondern die Höhe des anvisirten Punktes über die mittlere Oberfläche des Meeres bedeuten.

Nach Prof. Schols, *Geodetische formules en tabeln, ten gebruik bij de trigonometrie van het eiland Sumatra, gedrukt naar rekening van het Ministerie van Koloniën*, Utrecht, 1844, S. 112, wird die Correction noch etwas genauer, wenn man statt B und A , die Mittelbreite B_m und das mittlere Azimuth A_m nimmt. Bei ihm heisst die Formel, wenn H die Höhe des anvisirten Punktes in Kilometern bedeutet:

$$+ 0'',108 H \cos^2 B_m \sin 2 A_m.$$

Diese Formel lässt sich leicht so ableiten. Nehmen wir den Beobachtungsort D auf der nördlichen Hemisphäre. Das anvisirte Object F liege, von D gesehen, im ersten Quadranten des Horizonts, d. h. A sei $< 90^\circ$; seine Höhe sei H , seine geographische Breite $= B_1$, das Azimuth von D in F sei A_1 . Der Vertical-Schnitt, welcher durch F geht, schneidet auf dem Rotations-Ellipsoid den Meridian von F nicht in der Projection dieses Punktes, P , sondern etwas niedlicher in Q . Das Azimuth wird also zu klein gefunden und die Correction $d A$ ist positiv. Man findet leicht:

$$PQ = H e^2 \cos B_1 \left(\sin B_1 \sqrt{\frac{1-e^2 \sin^2 B}{1-e^2 \sin^2 B_1}} - \sin B \right) \left(1 - \frac{H}{N} + \dots \right)$$

Der letzte Factor, in welchem N sehr nahe dem Normal des Beobachtungsortes gleich ist, kann, sogar bei den höchsten Berggipfeln, immer vernachlässigt werden. Der vorletzte Factor wird, nach Entwicklung der Wurzel, bis auf Glieder dritter Ordnung genau $= (B_1 - B) \cos B_1 (1 + e^2 \sin B_1 \sin B_m)$ Sin 1° . Es ist aber:

$$B_1 - B = \frac{H \cos A_m}{N_m \sin 1^\circ} = \frac{H \cos A_m}{N_m} \frac{1}{\sin 1^\circ} \frac{(1-e^2 \sin^2 B_m)^3}{(1-e^2) \sin 1^\circ}.$$

Weiter ist $d A = + \frac{PQ \sin A_1}{N_m \sin 1^\circ} \cdot e''$, wo $e'' = 206265''$; also:

$$d A = + H e'' e^2 \cos B_1 \sin A_1 \cdot \frac{\cos A_m}{N_m (1-e^2)} \cdot \cos B_m \left(1 - \frac{3}{2} e^2 \sin^2 B_m \right) \left(1 + e^2 \sin B_1 \sin B_m \right).$$

Bis auf ein kleines Glied zweiter Ordnung ist aber $\cos B_1 \sin A_1 = \cos B_m \sin A_m$, und schreibt man im letzten Factor für $\sin B_1 \sin B_m$, was wegen des Multiplieurs e^2 erholdet ist, so hat man:

$$d A = + \frac{H}{2} \frac{1}{N_m} \frac{(1-e^2 \sin^2 B_m)}{1-e^2} \cdot e'' \cdot \frac{e^2}{1-e^2} \cdot \cos^2 B_m \sin 2 A_m \\ = + \frac{H}{2} \frac{1}{N_m} \cdot e'' \cdot \frac{e^2}{1-e^2} \cdot \cos^2 B_m \sin 2 A_m.$$

worin also der constante Coefficient, bis auf Glieder höherer Ordnung, mit Bohnenberger übereinstimmt. Für $H = 1000$ Meter findet man diesen Coefficienten $= 0'',108$, wie beide Verfasser ihn haben.

Höhe des anvisirten Objects in Metern.	AZIMUTH.									
	4°	5°	10°	15°	20°	25°	30°	35°	40°	45°
	90	85	80	75	70	65	60	55	50	45°
	180° 270	185° 265	190° 260	195° 255	200° 250	205° 245	210° 240	215° 235	220° 230	225°
	+	+	+	+	+	+	+	+	+	+
100	0,00	0,002	0,004	0,005	0,007	0,009	0,009	0,010	0,010	0,011
200	0,00	0,004	0,007	0,011	0,014	0,016	0,018	0,020	0,021	0,021
300	0,00	0,006	0,011	0,016	0,020	0,024	0,028	0,030	0,031	0,032
400	0,00	0,007	0,015	0,021	0,027	0,033	0,037	0,040	0,042	0,042
500	0,00	0,009	0,018	0,027	0,034	0,041	0,046	0,050	0,052	0,053
600	0,00	0,011	0,022	0,032	0,041	0,049	0,055	0,060	0,063	0,064
700	0,00	0,013	0,025	0,037	0,048	0,057	0,064	0,070	0,073	0,074
800	0,00	0,015	0,029	0,042	0,055	0,065	0,074	0,080	0,084	0,085
900	0,00	0,017	0,033	0,048	0,061	0,073	0,083	0,090	0,094	0,096
1000	0,00	0,018	0,036	0,053	0,068	0,081	0,092	0,100	0,105	0,106
1100	0,00	0,020	0,040	0,058	0,075	0,090	0,101	0,110	0,115	0,117
1200	0,00	0,022	0,044	0,064	0,082	0,098	0,110	0,120	0,126	0,128
1300	0,00	0,024	0,047	0,069	0,089	0,106	0,119	0,130	0,136	0,138
1400	0,00	0,026	0,051	0,074	0,095	0,114	0,129	0,140	0,146	0,149
1500	0,00	0,028	0,054	0,080	0,102	0,122	0,138	0,150	0,157	0,159
1600	0,00	0,029	0,058	0,085	0,109	0,131	0,147	0,160	0,167	0,170
1700	0,00	0,031	0,062	0,090	0,116	0,138	0,156	0,170	0,178	0,181
1800	0,00	0,033	0,065	0,096	0,123	0,146	0,165	0,180	0,188	0,191
1900	0,00	0,035	0,069	0,101	0,130	0,154	0,175	0,190	0,198	0,202
2000	0,00	0,037	0,073	0,106	0,136	0,163	0,184	0,200	0,209	0,213
2100	0,00	0,039	0,076	0,112	0,143	0,171	0,193	0,210	0,220	0,223
2200	0,00	0,041	0,080	0,117	0,151	0,179	0,202	0,219	0,230	0,234
2300	0,00	0,042	0,083	0,122	0,157	0,187	0,211	0,229	0,241	0,244
2400	0,00	0,044	0,087	0,127	0,164	0,195	0,221	0,239	0,251	0,255
2500	0,00	0,046	0,091	0,133	0,171	0,203	0,230	0,248	0,261	0,266
2600	0,00	0,048	0,094	0,139	0,177	0,211	0,239	0,259	0,272	0,276
2700	0,00	0,050	0,098	0,143	0,184	0,220	0,248	0,269	0,282	0,287
2800	0,00	0,052	0,102	0,149	0,191	0,228	0,257	0,279	0,293	0,298
2900	0,00	0,053	0,105	0,154	0,198	0,236	0,267	0,289	0,303	0,308
3000	0,00	0,055	0,109	0,159	0,205	0,244	0,276	0,299	0,314	0,319
3100	0,00	0,057	0,113	0,165	0,211	0,252	0,285	0,309	0,324	0,329
3200	0,00	0,059	0,116	0,170	0,218	0,260	0,294	0,319	0,334	0,340
3300	0,00	0,061	0,119	0,175	0,225	0,268	0,303	0,329	0,345	0,350
3400	0,00	0,063	0,123	0,181	0,232	0,276	0,313	0,339	0,356	0,361
3500	0,00	0,065	0,127	0,186	0,239	0,285	0,322	0,349	0,366	0,372
3600	0,00	0,066	0,131	0,191	0,245	0,293	0,331	0,359	0,376	0,382
	--	--	--	--	--	--	--	--	--	--
	90° 180	95° 175	100° 170	105° 165	110° 160	115° 155	120° 150	125° 145	130° 140	135°
	270° 360	275° 355	280° 350	285° 345	290° 340	295° 335	300° 330	305° 325	310° 320	315°

N. 70. U.

Es sind nun, nach dieser Tafel, indem dabei die schon beiläufig bekannten Azimuthe benutzt wurden, den mitgetheilten ausgedehnten Richtungen, die antenstehenden Correctionen hinzugefügt worden:

5	6	7	8	9	10
9 + 0",015 10 - 0",024 7 - 0",017 8 + 0",004 6 + 0",018	5 + 0",020 9 + 0",049 7 - 0",005 8 - 0",017 Merbr. + 0",329 Oens. + 0",027	6 - 0",005 5 - 0",020 9 + 0",041 10 - 0",006 8 + 0",021	4 - 0",016 5 + 0",004 9 + 0",053 7 + 0",020 10 + 0",012 L ^m . - 0",331 Kr ^m . - 0",010 Ng ^m . + 0",055 Merbr ^m . + 0",221	10 - 0",029 Sl. - 0",006 7 + 0",014 8 + 0",020 6 + 0",017 5 + 0",006 M ^m D ^m . 0",000 G ^m . - 0",033 Pet ^m . 0",000 B ^m . + 0",039	8 + 0",009 7 - 0",004 5 - 0",018 9 - 0",055 B ^m . + 0",069 W ^m . + 0",020 I ^m . - 0",069 K ^m . - 0",014 L ^m . + 0",049 Kr ^m . + 0",018

Und somit gah der zweite Theil des Basisnetzes die nachfolgenden Bedingungsgleichungen:

Dreieck 5 6 7.

$$5 = 64^{\circ} 59' 2",58 - (21)$$

$$6 = 64 17 28,77 + (52)$$

$$7 = 51 5 29,28 + (58) - (57)$$

$$180 \quad 0 \quad 0,65$$

$$180^{\circ} + \varepsilon = 180 \quad 0 \quad 1,28$$

$$(I) \quad . \quad . \quad 0 = - \quad 0,65 - (21) + (52) - (57) + (58)$$

Dreieck 6 7 8.

$$6 = 55^{\circ} 45' 4",65 + (55) - (52)$$

$$7 = 56 17 8,05 + (57) \quad (41)$$

$$8 = 77 57 47,81 + (45) - (42)$$

$$180 \quad 0 \quad 0,51$$

$$180^{\circ} + \varepsilon = 180 \quad 0 \quad 1,00$$

$$(II) \quad . \quad . \quad 0 = - \quad 0,49 - (52) + (55) + (57) - (41) \quad (42) + (45)$$

Dreieck 5 7 8.

$$5 = 57^{\circ} 10' 58",55 + (22) - (21)$$

$$7 = 97 20 57,55 + (58) - (41)$$

$$8 = 45 28 24,61 + (45) - (45)$$

$$180 \quad 0 \quad 0,27$$

$$180^{\circ} + \varepsilon = 180 \quad 0 \quad 1,57$$

$$(III) \quad . \quad . \quad 0 = - \quad 4,10 - (21) + (22) + (58) - (41) - (45) + (45)$$

Dreieck 5 7 9.

$$\begin{aligned} 5 &= 65^\circ 57' 55'', 18 + (21) - (19) \\ 7 &= 54 27 57,05 + (59) - (58) \\ 9 &= 59 54 29,24 + (56) - (55) \end{aligned}$$

$$\begin{array}{r} 180 \quad 0 \quad 1,47 \\ 180^\circ + \varepsilon = 180 \quad 0 \quad 1,41 \end{array}$$

$$(IV) \quad 0 = + 0'',06 - (19) + (21) - (58) + (59) - (55) + (56)$$

Dreieck 6 7 9.

$$\begin{aligned} 6 &= 58^\circ 25' 55'',99 + (52) - (51) \\ 7 &= 105 51 6,55 + (59) - (57) \\ 9 &= 56 5 18,04 + (55) - (55) \end{aligned}$$

$$\begin{array}{r} 180 \quad 0 \quad 0,56 \\ 180^\circ + \varepsilon = 180 \quad 0 \quad 1,67 \end{array}$$

$$(V) \quad 0 = - 1,51 - (51) + (52) - (57) + (59) - (55) + (55)$$

Dreieck 6 8 9.

$$\begin{aligned} 6 &= 94^\circ 40' 40'',64 + (55) - (51) \\ 8 &= 62 16 12,57 + (44) - (42) \\ 9 &= 25 55 7,16 + (55) - (54) \end{aligned}$$

$$\begin{array}{r} 180 \quad 0 \quad 0,57 \\ 180^\circ + \varepsilon = 180 \quad 0 \quad 1,98 \end{array}$$

$$(VI) \quad 0 = - 1,61 - (51) + (55) - (42) + (44) - (54) + (55)$$

Dreieck 7 9 10.

$$\begin{aligned} 7 &= 70^\circ 57' 14'',55 + (40) - (59) \\ 9 &= 60 29 45,85 + (55) - (51) \\ 10 &= 48 55 4,06 + (64) - (62) \end{aligned}$$

$$\begin{array}{r} 180 \quad 0 \quad 2,22 \\ 180^\circ + \varepsilon = 180 \quad 0 \quad 2,01 \end{array}$$

$$(VII) \quad 0 = + 0'',21 - (59) + (40) - (51) + (62) + (64)$$

Dreieck 8 9 10.

$$\begin{aligned} 8 &= 41^\circ 41' 26'',77 + (46) - (44) \\ 9 &= 72 59 54,71 + (54) - (51) \\ 10 &= 65 48 45,16 + (64) - (61) \end{aligned}$$

$$\begin{array}{r} 180 \quad 0 \quad 4,64 \\ 180^\circ + \varepsilon = 180 \quad 0 \quad 5,86 \end{array}$$

$$(VIII) \quad 0 = + 0'',78 - (44) + (46) - (51) + (54) - (61) + (64)$$

Dreieck 5 8 10.

$$\begin{aligned}
 5 &= 67^{\circ} 51' 12'',54 + (22) - (20) \\
 8 &= 70 58 16,14 + (46) - (45) \\
 10 &= 41 50 55,71 + (65) - (61) \\
 180^{\circ} + \epsilon &= \frac{180 \quad 0 \quad 4,19}{180 \quad 0 \quad 4,17} \\
 (IX) \quad . \quad . \quad 0 &= + 0',92 - (20) + (22) - (45) + (46) - (61) + (65)
 \end{aligned}$$

Viereck 5 6 7 8.

$$\frac{\sin 765 \cdot \sin 786 \cdot \sin 758}{\sin 756 \cdot \sin 768 \cdot \sin 785} = 1.$$

$$\begin{aligned}
 765 &= 64^{\circ} 17' 28'',77 + (52) & 9,954 \, 7502.6 + 10.1 \, (52) \\
 756 &= 64 59 2,58 - (21) & 0,045 \, 9687.2 + 10.0 \, (21) \\
 786 &= 77 57 47,81 + (45) - (42) & 9,990 \, 3451.1 + 4.5 \, (45) - (42) \\
 768 &= 55 45 4,65 + (55) - (52) & 0,082 \, 7053.0 + 14.4 \, (52) - (55) \\
 758 &= 57 10 58,35 + (22) - (21) & 9,781 \, 2965.7 + 27.7 \, (22) - (21) \\
 785 &= 45 28 24,61 + (45) - (45) & 0,146 \, 9554.1 + 20.8 \, (45) - (45) \\
 & & \hline
 & & 9,999 \, 9991.7
 \end{aligned}$$

$$\begin{aligned}
 0 &= -8,2 - 17,7 \, (21) + 37,7 \, (22) + 24,5 \, (32) - 14,4 \, (33) - 4,5 \, (42) + 30,8 \, (43) - 16,5 \, (45) \\
 \text{oder:} \\
 (X) \quad . \quad . \quad 0 &= -0,83 - 1,77 \, (21) + 2,77 \, (22) + 2,45 \, (32) - 1,44 \, (33) - 0,45 \, (42) + 2,08 \, (43) - 1,63 \, (45)
 \end{aligned}$$

Viereck 5 6 7 9.

$$\frac{\sin 759 \cdot \sin 765 \cdot \sin 796}{\sin 795 \cdot \sin 756 \cdot \sin 769} = 1.$$

$$\begin{aligned}
 759 &= 65^{\circ} 57' 55'',18 + (21) - (19) & 9,960 \, 6150.7 + 9.4 \, (21) - (19) \\
 795 &= 59 54 29,24 + (56) - (55) & 0,064 \, 5461.4 + 12.4 \, (55) - (56) \\
 765 &= 64 17 28,77 + (52) & 9,954 \, 7502.6 + 10.1 \, (52) \\
 756 &= 64 59 2,58 - (21) & 0,045 \, 9687.2 + 10.0 \, (21) \\
 796 &= 56 5 18,04 + (55) - (55) & 9,769 \, 7920.4 + 28.9 \, (55) - (55) \\
 769 &= 58 25 55,99 + (52) - (51) & 0,206 \, 5501.7 + 26.6 \, (51) - (52) \\
 & & \hline
 & & 0,000 \, 0004.0
 \end{aligned}$$

$$\begin{aligned}
 0 &= +4,0 - 9,4 \, (19) + 19,4 \, (21) + 26,6 \, (31) - 16,5 \, (32) - 16,5 \, (33) + 28,9 \, (55) - 12,4 \, (56) \\
 \text{oder:} \\
 (XI) \quad . \quad . \quad 0 &= +0,4 - 0,91 \, (19) + 1,94 \, (21) + 2,68 \, (31) - 1,65 \, (32) - 1,65 \, (33) + 2,89 \, (55) - 1,24 \, (56)
 \end{aligned}$$

Viereck 5 8 7 9.

$$\frac{\sin 578 \cdot \sin 597 \cdot \sin 589}{\sin 587 \cdot \sin 579 \cdot \sin 595} = 1.$$

5 7 8	=	97° 20	57,55 + (58) - (41)	9,996 9229.2 + 2.7 { (41) - (58) }
5 8 7	=	45 28	24,61 + (45) - (45)	0,146 9554.1 + 20.8 { (45) - (45) }
5 9 7	=	59 54	29,24 + (56) - (55)	9,955 9558.6 + 12.4 { (56) - (55) }
5 7 9	=	54 27	57,05 + (59) - (58)	0,089 5288.2 + 15.0 { (58) - (59) }
5 8 9	=	29 46	49,57 + (44) - (45)	9,696 0758.8 + 56.8 { (44) - (45) }
5 9 8	=	47 4	18,56 + (50) - (54)	0,155 5659.1 + 19.6 { (54) - (50) }

0,000 0008.0

$$0 = + 8.0 + 12.3 (38) - 15.0 (39) + 2.7 (41) - 16.0 (43) + 36.8 (44) - 20.8 (45) - 12.4 (53) + 19.6 (54) - 7.2 (56) \\ \text{oder:} \\ (\text{XII}), 0 = + 0.8 + 1.23 (37) - 1.50 (39) + 0.27 (41) - 1.60 (43) + 3.68 (44) - 2.08 (45) - 1.24 (53) + 1.96 (54) - 0.72 (56)$$

Viereck 5 9 10 7.

$$\frac{\sin 7910 \cdot \sin 759 \cdot \sin 7105}{\sin 7109 \cdot \sin 795 \cdot \sin 7510} = 1.$$

7 9 10	=	60° 29	45,85 + (55) - (51)	9,959 6775.0 + 12.0 { (55) - (51) }
7 10 9	=	48 55	4,06 + (64) - (62)	0,125 2012.9 + 18.5 { (62) - (64) }
7 5 9	=	65 57	55,18 + (21) - (19)	9,960 6150.7 + 9.4 { (21) - (19) }
7 9 5	=	59 54	29,24 + (50) - (55)	0,064 5461.4 + 12.4 { (55) - (50) }
7 10 5	=	24 14	56,61 + (65) - (62)	9,615 5287.7 + 46.7 { (65) - (62) }
7 5 10	=	50 20	14,01 + (21) - (20)	0,296 6525.6 + 56.0 { (20) - (21) }

9,999 9995.5

$$0 = - 6.7 - 9.4 (19) + 36.0 (20) - 26.6 (21) - 12.0 (31) + 21.4 (53) - 12.4 (56) - 28.2 (62) + 46.7 (63) - 18.5 (64) \\ \text{oder:} \\ (\text{XIII}), 0 = - 0.67 - 0.94 (19) + 3.60 (20) - 2.66 (21) - 1.20 (31) + 2.14 (53) - 1.24 (56) - 2.82 (62) + 4.67 (63) - 1.85 (64)$$

Viereck 5 9 8 10.

$$\frac{\sin 8910 \cdot \sin 859 \cdot \sin 8105}{\sin 8109 \cdot \sin 895 \cdot \sin 8510} = 1.$$

8 9 10	=	72° 59	54,71 + (54) - (51)	9,980 5929.1 + 6.4 { (54) - (51) }
8 10 9	=	65 48	45,16 + (64) - (61)	0,059 9071.5 + 9.4 { (61) - (64) }
8 5 9	=	105 8	55,21 + (22) - (19)	9,988 4650.8 + 4.9 { (19) - (22) }
8 9 5	=	47 4	18,56 + (56) - (54)	0,155 5659.1 + 19.6 { (54) - (56) }
8 10 5	=	41 50	55,71 + (65) - (61)	9,821 5495.5 + 25.7 { (65) - (61) }
8 5 10	=	67 51	12,54 + (22) - (20)	0,054 5215.6 + 8.7 { (20) - (22) }

0,000 0001.2

$$0 = + 1.2 + 4.9 (19) + 8.7 (20) - 13.6 (22) - 6.4 (51) + 26.0 (53) - 19.6 (56) - 11.3 (61) + 23.7 (63) - 9.4 (64) \\ \text{oder:} \\ (\text{XIV}), 0 = + 0.12 + 0.49 (19) + 0.87 (20) - 1.36 (22) = 0.64 (51) + 2.60 (53) - 1.96 (56) - 1.13 (61) + 2.37 (63) - 0.94 (64)$$

Darstellung der Correctionen (19), (20), (21). . . durch die Correlaten I, II, III, . . .

$$\begin{aligned}
 (19) &= -IV - 0,94 XI - 0,94 XIII + 0,49 XIV \\
 (20) &= -IX + 5,60 XII + 0,87 XIV \\
 (21) &= -I - III + IV - 1,77 X + 1,94 XI - 2,66 XIII \\
 (22) &= III + IX + 2,77 X - 1,56 XIV \\
 (51) &= -V - VI + 2,66 XI \\
 (52) &= I - II + V + 2,45 X - 1,65 XII \\
 (53) &= II + VI - 1,44 X \\
 (57) &= -I + II - V \\
 (58) &= I + III - IV + 1,25 XII \\
 (59) &= IV + V - VII - 1,50 XII \\
 (40) &= VII \\
 (41) &= -II - III + 0,27 XII \\
 (42) &= -II - VI - 0,45 X \\
 (45) &= -III - IX + 2,08 X - 1,60 XII \\
 (44) &= VI - VIII + 5,68 XII \\
 (45) &= II + III - 1,65 X - 2,08 XII \\
 (46) &= VIII + IX \\
 (51) &= -VII - VIII - 1,20 XIII - 0,64 XIV \\
 (55) &= -IV - V + VII - 1,65 XI - 1,24 XII + 2,44 XIII \\
 (54) &= -VI + VIII + 1,96 XII + 2,60 XIV \\
 (55) &= V + VI + 2,89 XI \\
 (56) &= IV - 1,24 XI - 0,72 XII - 1,24 XIII - 1,96 XIV \\
 (61) &= -VIII - IX - 1,45 XIV \\
 (62) &= -VII - 2,82 XIII \\
 (65) &= +IX + 4,67 XIII + 2,57 XIV \\
 (64) &= VII + VIII - 1,85 XIII - 0,94 XIV.
 \end{aligned}$$

Die Correctionen (25) und (50) sind schon beim ersten Theile berechnet und angebracht, und werden also im zweiten Theile = 0 gesetzt.

VORBEREITUNG ZUR BERECHNUNG DES MITTLEREN FEHLERS DER BRUGGSCHEM
 LOGARITHMEN DER VERHÄLTNISSE ZWISCHEN DEN VIER SEITEN 6 9, 6 8, 9 10,
 UND 8 10, UND DER SEITE 5 6.

Für jedes dieser Verhältnisse ist die Berechnung wieder zweifach geführt. Man hat nämlich:

einerseits		andererseits	
$\sin 6\ 9$	$= \sin 9\ 5\ 6$	$\sin 9\ 8\ 6$	$\cdot \sin 6\ 5\ 8$
$\sin 5\ 6$	$= \sin 5\ 9\ 6$	$\sin 8\ 9\ 6$	$\cdot \sin 6\ 8\ 5$
$\sin 6\ 8$	$= \sin 6\ 5\ 8$	$\sin 6\ 9\ 8$	$\cdot \sin 6\ 5\ 9$
$\sin 5\ 6$	$= \sin 6\ 8\ 5$	$\sin 6\ 8\ 9$	$\cdot \sin 5\ 9\ 6$
$\sin 9\ 10$	$= \sin 9\ 5\ 10 \cdot \sin 5\ 6\ 9$	$\sin 9\ 8\ 10$	$\cdot \sin 9\ 6\ 8 \cdot \sin 9\ 5\ 6$
$\sin 5\ 6$	$= \sin 5\ 10\ 9 \cdot \sin 6\ 9\ 5$	$\sin 9\ 10\ 8$	$\cdot \sin 9\ 8\ 6 \cdot \sin 6\ 9\ 5$
$\sin 8\ 10$	$= \sin 5\ 6\ 8 \cdot \sin 8\ 5\ 10$	$\sin 6\ 5\ 7$	$\cdot \sin 7\ 6\ 8 \cdot \sin 8\ 7\ 10$
$\sin 5\ 6$	$= \sin 6\ 8\ 5 \cdot \sin 5\ 10\ 8$	$\sin 6\ 7\ 5$	$\cdot \sin 7\ 8\ 6 \cdot \sin 7\ 10\ 8$

Und weiter, einerseits:

$$\begin{aligned}\text{Log } \frac{\sin 6^\circ 9'}{\sin 5^\circ 6'} &= \text{Vorläufiger Werth} + 18,05 (19) + 48,4 (55) - 48,4 (56) \\ &= \text{V.W.} - 66,45 \text{ IV} + 48,4 \text{ V} + 48,4 \text{ VI} + 182,925 \text{ XI} + 54,848 \text{ XII} \\ &\quad + 45,049 \text{ XIII} + 105,7085 \text{ XIV.}\end{aligned}$$

$$\begin{aligned}\text{Log } \frac{\sin 6^\circ 8'}{\sin 5^\circ 6'} &= \text{Vorläufiger Werth} - 40,5 (22) + 55,1 (42) - 55,1 (45) \\ &= \text{V.W.} - 55,1 \text{ II} - 7,4 \text{ III} - 55,1 \text{ VI} - 7,4 \text{ IX} - 195,928 \text{ X} + 52,96 \text{ XII} \\ &\quad + 55,08 \text{ XIV.}\end{aligned}$$

$$\begin{aligned}\text{Log } \frac{\sin 9^\circ 10'}{\sin 5^\circ 6'} &= \text{Vorläufiger Werth} - 29,58 (19) + 29,58 (20) + 45,65 (65) - 46,65 (64) \\ &\quad + 45,45 (51) + 48,58 (55) - 48,58 (56) \\ &= \text{V.W.} - 19,00 \text{ IV} + 4,95 \text{ V} + 4,95 \text{ VI} - 46,65 \text{ VII} - 46,65 \text{ VIII} \\ &\quad + 17,25 \text{ IX} + 542,9504 \text{ XI} + 54,8556 \text{ XII} + 497,4040 \text{ XIII} + 260,5545 \text{ XIV.}\end{aligned}$$

$$\begin{aligned}\text{Log } \frac{\sin 8^\circ 10'}{\sin 5^\circ 6'} &= \text{Vorläufiger Werth} - 8,71 (20) + 8,71 (22) - 12,18 (55) + 55,07 (42) \\ &\quad - 55,07 (45) + 25,79 (61) - 25,79 (65) \\ &= \text{V.W.} - 45,25 \text{ II} + 41,78 \text{ III} - 45,25 \text{ VI} - 25,79 \text{ VIII} + 2,91 \text{ IX} \\ &\quad - 42,001 \text{ X} + 52,91 \text{ XII} - 142,455 \text{ XIII} - 109,825 \text{ XIV.}\end{aligned}$$

und andererseits:

$$\begin{aligned}\text{Log } \frac{\sin 6^\circ 9'}{\sin 5^\circ 6'} &= \text{Vorläufiger Werth} - 40,51 (22) + 22,01 (42) - 55,07 (45) + 11,06 (44) \\ &\quad + 48,50 (54) - 48,50 (55) \\ &= \text{V.W.} - 22,01 \text{ II} - 7,44 \text{ III} - 48,50 \text{ V} - 107,55 \text{ VI} + 57,24 \text{ VIII} \\ &\quad - 7,44 \text{ IX} - 190,9028 \text{ X} - 159,5870 \text{ XI} + 188,2808 \text{ XII} + 180,6756 \text{ XIV.}\end{aligned}$$

$$\begin{aligned}\text{Log } \frac{\sin 6^\circ 8'}{\sin 5^\circ 6'} &= \text{Vorläufiger Werth} + 18,05 (19) + 11,06 (42) - 11,06 (44) - 48,50 (54) \\ &\quad + 96,68 (55) - 48,58 (56) \\ &= \text{V.W.} - 11,06 \text{ II} - 66,45 \text{ IV} + 96,68 \text{ V} + 122,86 \text{ VI} - 57,24 \text{ VIII} - 4,98 \text{ X} \\ &\quad + 522,429 \text{ XI} - 100,556 \text{ XII} + 45,024 \text{ XIII} - 21,911 \text{ XIV.}\end{aligned}$$

$$\begin{aligned}\text{Log } \frac{\sin 9^\circ 10'}{\sin 5^\circ 6'} &= \text{Vorläufiger Werth} + 18,09 (19) + 1,55 (51) - 1,55 (55) + 11,06 (42) \\ &\quad - 55,12 (44) - 24,06 (46) + 48,58 (55) - 48,58 (56) + 9,45 (61) \\ &\quad - 9,45 (64) \\ &= \text{V.W.} - 12,59 \text{ II} - 66,45 \text{ IV} + 46,85 \text{ V} - 0,86 \text{ VI} - 9,45 \text{ VII} \\ &\quad + 40,28 \text{ VIII} + 14,61 \text{ IX} - 2,7758 \text{ X} + 186,9122 \text{ XI} - 94,408 \text{ XII} \\ &\quad + 60,5067 \text{ XIII} + 99,0588 \text{ XIV.}\end{aligned}$$

$$\begin{aligned}
\text{Log } \frac{\sin S}{\sin 6} \frac{10}{6} &= \text{Vorläufiger Werth} = 9,98 (21) = 14,54 (52) + 14,54 (55) + 17,01 (57) \\
&- 17,01 (58) + 22,77 (40) = 22,77 (41) + 4,49 (42) - 4,49 (45) + 67,76 (61) \\
&- 67,76 (62) \\
&= \text{V.W.} = 58,58 \text{ I} + 59,48 \text{ II} + 11,25 \text{ III} + 7,05 \text{ IV} = 51,55 \text{ V} + 9,85 \text{ VI} \\
&+ 90,55 \text{ VII} - 67,76 \text{ VIII} - 67,76 \text{ IX} = 52,8198 \text{ X} + 4,2998 \text{ XI} - 17,7510 \text{ XII} \\
&+ 217,6500 \text{ XIII} - 96,8968 \text{ XIV.}^*
\end{aligned}$$

Indem wir wieder, für jeden Verhältniss-Logarithmus, die Quadrate der Coefficienten / der Correctionen summiren, erhalten wir:

	einerseits:	andererseits:
für 6 9:	5010,92,	8007,25,
" 6 8:	5851,47,	14590,99,
" 9 10:	12642,50,	7124,96,
" 8 10:	5619,26,	11549,65,

Und so gestalten sich die erweiterten Normal- und Endgleichungen folgendermaassen:

	I	II	III	IV	V	VI	VII	VIII	IX	X	XI
+ 0,65	+ 4	- 2	+ 2	+ 2	+ 2	- 2	-	-	-	+ 4,22	- 3,59
+ 0,49		+ 6	+ 2	- 2	- 2	+ 2	-	-	+ 2	5,07	+ 1,45
+ 0,19			+ 6	- 2	-	-	-	-		0,85	+ 1,94
- 0,06				+ 6	- 2	-	- 2	-		+ 1,77	+ 3,29
+ 1,31					+ 6	+ 2	-	-		+ 2,45	+ 0,23
+ 1,61						+ 6		-		- 0,90	+ 0,23
- 0,21							+ 6	+ 2	-	-	+ 1,65
- 0,78								+ 6	+ 2	-	-
- 0,02									+ 6	+ 0,69	-
+ 0,85										+ 26,0677	+ 7,1161
+ 0,40											+ 27,0571
- 0,50											-
+ 0,67											-
- 0,12											-

END

	I	II	III	IV	V	VI	VII	VIII	IX	X	XI
+ 0,65	+ 4	- 2	+ 2	- 2	+ 2	-	-	-	-	+ 4,22	- 3,59
+ 0,815		+ 5	+ 3	- 1	- 1	+ 2	-	-	-	2,96	0,145
+ 0,280			+ 3,2	0,4	0,4	- 1,2	-	-	+ 2	0,496	0,958
+ 0,46375				+ 4,75	+ 2,75	+ 0,25	- 2	-	+ 0,25	0,19	+ 1,157
+ 0,91525					+ 3,1579	+ 2,1053	- 0,8421	-	+ 0,1053	0,098	+ 1,112
+ 0,75665						+ 3,3333	+ 0,6667	-	+ 0,6667	6,453	+ 0,375
+ 0,0781							+ 4,8	- 2	-	0,1900	0,6100
- 0,365								+ 2,1	-	+ 3,610	0,9360
- 0,1617								+ 3,6	+ 2,4	+ 0,0653	+ 0,66
+ 0,5666									+ 3	+ 19,6729	+ 3,6215
- 0,0178											+ 22,1207
- 1,0861											-
+ 0,2292											-
+ 1,1080											-

Die Aufösung dieser Endgleichungen giebt die Correlaten wie folgt:

I	=	-	0,03088	Lag	=	8,60076n
II	=	-	0,82611			9,91704n
III	=	+	0,95111			9,99172
IV	=	+	0,55878			9,74724
V	=	-	0,64589			9,80975n
VI	=	+	1,02562			0,01009
VII	=	+	0,17583			9,24509
VIII	=	-	0,16192			0,20930n
IX	=	-	0,32789			8,51573n
X	=	+	0,10769			9,03218
XI	=	+	0,01110			8,04766
XII	=	-	0,23121			9,40604n
XIII	=	-	0,18576			9,27591n
XIV	=	+	0,53409			9,72761

Weiter die mittleren Fehler:

von	Lag	Sin	6 9	=	μ	1' 302	=	17,4 μ ,
		Sin	5 6	=	μ	1' 996	=	31,6 μ ,
		Sin	6 8	=	μ	1' 896	=	29,9 μ ,
		Sin	5 6	=	μ	1' 512	=	22,6 μ ,

GLEICHUNGEN.

XII	XIII	XIV	6 9		6 8		9 10		8 10	
			λ_1	λ_2	λ_3	λ_4	λ_5	λ_6	λ_7	λ_8
+ 1,32	+ 2,06	—	—	—	—	—	—	—	—	—
+ 8,35	—	—	—	—	—	—	—	—	—	—
+ 0,49	+ 2,06	— 1,36	—	—	—	—	—	—	—	—
+ 2,21	+ 5,40	+ 2,45	—	—	—	—	—	—	—	—
+ 0,26	+ 2,44	—	—	—	—	—	—	—	—	—
+ 1,72	—	+ 2,60	—	—	—	—	—	—	—	—
+ 0,26	+ 4,01	+ 0,30	—	—	—	—	—	—	—	—
+ 1,72	+ 0,65	+ 3,75	—	—	—	—	—	—	—	—
+ 1,60	+ 1,07	+ 1,57	—	—	—	—	—	—	—	—
+ 0,0624	+ 4,7082	+ 3,7672	—	—	—	—	—	—	—	—
+ 2,0558	+ 0,7632	+ 1,9698	—	—	—	—	—	—	—	—
+ 30,1622	+ 2,1328	+ 6,3072	—	—	—	—	—	—	—	—
	+ 0,03012	+ 18,6767	—	—	—	—	—	—	—	—
		+ 22,4952	—	—	—	—	—	—	—	—
		+ 5011	—	—	—	—	—	—	—	—
		+ 8007	—	—	—	—	—	—	—	—
		+ 3831,5	—	—	—	—	—	—	—	—
		+ 14501	—	—	—	—	—	—	—	—
		+ 12648	—	—	—	—	—	—	—	—
		+ 7125	—	—	—	—	—	—	—	—
		+ 5019	—	—	—	—	—	—	—	—
		+ 11350	—	—	—	—	—	—	—	—

GLEICHUNGEN.

XII	XIII	XIV	6 9		6 8		9 10		8 10	
			λ_1	λ_2	λ_3	λ_4	λ_5	λ_6	λ_7	λ_8
+ 1,23	+ 2,06	—	—	—	—	—	—	—	—	—
+ 1,735	+ 1,33	—	—	—	—	—	—	—	—	—
+ 0,906	+ 0,332	— 1,36	—	—	—	—	—	—	—	—
+ 1,8287	+ 3,7375	+ 2,62	—	—	—	—	—	—	—	—
+ 0,05	+ 1,2737	+ 1,3468	—	—	—	—	—	—	—	—
+ 2,8833	+ 0,7133	+ 3,87	—	—	—	—	—	—	—	—
+ 1,1000	+ 2,5340	+ 0,2700	—	—	—	—	—	—	—	—
+ 0,560	+ 1,4990	+ 1,545	—	—	—	—	—	—	—	—
+ 0,1810	+ 1,8333	+ 2,2883	—	—	—	—	—	—	—	—
+ 2,9012	+ 2,5428	+ 3,3254	—	—	—	—	—	—	—	—
+ 4,3901	+ 1,8532	+ 0,9191	—	—	—	—	—	—	—	—
+ 21,0531	+ 3,2569	+ 8,1299	—	—	—	—	—	—	—	—
	+ 53,1576	+ 10,2263	—	—	—	—	—	—	—	—
		+ 2,6380	—	—	—	—	—	—	—	—
		+ 303	—	—	—	—	—	—	—	—
		+ 301	—	—	—	—	—	—	—	—
		+ 003	—	—	—	—	—	—	—	—
		+ 999	—	—	—	—	—	—	—	—
		+ 894	—	—	—	—	—	—	—	—
		+ 896	—	—	—	—	—	—	—	—
		+ 512	—	—	—	—	—	—	—	—
		+ 512	—	—	—	—	—	—	—	—

Und durch Substitution, die Correctionen:

- (19) = — 0",130
 (20) = + 0,113
 (21) = — 0,049
 (22) = + 0,225
 (31) = — 0,351
 (32) = + 0,386
 (33) = + 0,044
 (37) = — 0,111
 (38) = + 0,073
 (39) = + 0,115
 (40) = + 0,176
 (41) = — 0,223
 (42) = — 0,248

- (43) = — 0",027
 (44) = + 0,263
 (45) = + 0,502
 (46) = — 0,400
 (51) = — 0,129
 (53) = + 0,005
 (54) = — 0,201
 (55) = + 0,413
 (56) = — 0,087
 (61) = — 0,274
 (62) = + 0,357
 (63) = + 0,056
 (64) = — 0,139

§ 12. Ausgeglichenen Richtungen und Log. Sin. der Dreiecksseiten.

Punkt.	Richtung.			Log. Sin. Seite.	Additament.
1 Logantong.					
3 Bandong	559°	59'	59', 82	5,615 9650.1	0.5
5 Basé	10	55	40', 805	4,089 2844.9	2.7
Kaligong	59	42	59', 95		
2 Penoeuggalan	59	49	9', 88	5,620 7468.5	0.5
4 Weroe	66	16	58', 85	5,710 2218.9	0.5
6 Banjoepahit	86	57	55', 80	4,526 1585.8	8.0
2 Penoeuggalan.					
4 Weroe	559°	59'	59', 85	5,566 2488.5	0.1
1 Logantong	100	21	54', 22	5,620 7468.5	0.5
Kaligong	100	27	15', 85		
3 Bandong	169	12	55', 45	5,450 6671.7	0.2
5 Basé	257	51	16', 48	5,948 1907.2	1.4
6 Banjoepahit	556	58	52', 21	4,269 6241.4	6.2
3 Bandong.					
5 Basé	559°	59'	59', 60	5,917 8182.5	1.2
2 Penoeuggalan	92	50	22', 44	5,450 6671.7	0.2
4 Weroe	97	42	29', 25	5,709 6277.4	0.5
Kaligong	157	45	12', 64		
1 Logantong	164	9	55', 21	5,615 9650.1	0.5
4 Weroe.					
1 Logantong	559°	59'	59', 69	5,710 2218.9	0.5
Kaligong	14	58	57', 19		
3 Bandong	47	15	56', 76	5,709 6277.4	0.5
2 Penoeuggalan	55	10	56', 55	5,566 2488.5	0.1
5 Basé	100	1	29', 65	4,012 9095.8	2.0
5 Basé.					
9 Gading	559°	59'	59', 87	4,578 0670.9	10.2
10 Segoroemoeng	55	57	41', 28	4,700 8706.8	45.2
7 Sanggrah	65	57	55', 15	4,405 2494.8	11.5
8 Saleu	165	8	55', 1755	4,546 6265.5	22.2
6 Banjoepahit	150	56	57', 755	4,559 5782.4	8.5
4 Weroe	176	50	5', 01	4,012 9095.8	2.0
2 Penoeuggalan	187	50	46', 45	5,948 1907.2	1.4
1 Logantong	201	7	55', 16	4,089 2844.8	2.7
3 Bandong	206	22	0', 59	5,917 8179.7	1.2

6 Banjoepahit.

Punkt.	Richtung.			Log. Sin. Seite.	Additament.
1 Logantong	559°	59	59', 72	4,526 1585.8	8.0
2 Penoeunggolan	9	28	15', 95	4,269 6241.4	6.2
5 Basé	55	7	9', 975	4,539 5782.4	8.5
9 Gading	58	59	2', 42	4,618 6288.5	50.9
7 Sanggrah	97	24	59', 15	4,404 5501.8	11.5
8 Salem	155	9	45', 45	4,275 2188.7	6.5
Merlaboe	225	50	10', 96		
Oenarang	266	18	29', 15		
Moera Demak	555	15	15', 18		

7 Sanggrah.

6 Banjoepahit	559°	59	59', 86	4,404 5501.8	11.5
5 Basé	51	5	29', 55	4,405 2494.8	11.5
9 Gading	105	51	6', 445	4,428 2090.0	12.9
10 Segorogoemoeng	176	28	20', 84	4,495 0890.0	17.4
8 Salem	515	42	51', 75	4,551 5008.9	8.5

8 Salem.

6 Banjoepahit	559°	59	59', 75	4,275 2188.7	6.5
5 Basé	52	29	25', 17	4,546 6265.5	22.2
9 Gading	62	16	12', 85	4,670 4550.9	50.2
7 Sanggrah	77	57	48', 51	4,551 5008.9	8.5
10 Segorogoemoeng	105	27	58', 85	4,690 9549.0	45.1
Lawoe	154	25	17', 25		
Kritjian	192	22	58', 89		
Nglangrang	251	22	15', 06		
Merlaboe	275	42	41', 49		

9 Gading.

10 Segorogoemoeng	559°	59	59', 87	4,528 9610.6	20.5
Sindang	25	51	50', 45		
7 Sanggrah	60	29	45', 925	4,428 2090.0	12.9
8 Salem	72	59	54', 42	4,670 4550.9	59.2
6 Banjoepahit	96	55	2', 28	4,618 6288.5	50.9
5 Basé	120	4	12', 38		
Moera Demak	145	59	41', 67		
Genoek	204	55	49', 60		
Petjangan	252	29	4', 05		
Boetak	290	52	57', 05		

Punkt	Richtung.			Log. Sin. Seite.	Additament.
	10 Segoroguenoeng.				
8 Salem	359°	59'	59', 75	4,690 9549.0	45.1
7 Sanggrah	17	15	59, 46	4,495 0890.0	17.4
5 Basé	41	50	55, 77	4,700 8706.8	44.7
9 Gading	65	48	45, 02	4,528 9610.6	20.5
Boetak	140	7	6, 75		
Wonotjolo	175	29	41, 08		
Pandan	216	28	44, 25		
Kendil	225	40	56, 19		
Lawoe	287	25	29, 68		
Kritjan	357	21	12, 24		

Die Richtigkeit der Lösung der Endgleichungen ist an die sphärischen Ueberschüsse und an die Seitengleichungen geprüft worden; wir haben aber diese Prüfungen, welche jeder sich leicht selbst machen kann, hier der Kürze halber fortgelassen. Obenstehende Log. Sin. Seite sind, wie die vorigen, (S. 92, 95, 105 und 104,) mittels 7 stelliger Logarithmen berechnet; die achte Stelle ist also nur durch die Interpolation entstanden, und hauptsächlich wegen der Additive hinzugefügt. — Es kommen nämlich Fälle vor, wo die Abrundung auf sieben Decimalstellen bei Log. Sin. Seite und Additament beide, den Log. Seite um eine Einheit dieser Stelle zu gross oder zu klein giebt.

§ 13. Die Basismessung bei Tangsil, (Residenschaft Besocki).

WAHL DES TERRAINS.

Im Jahre 1875 wurde dem Assistenten J. L. Baron van Ischouden der Auftrag erteilt, in Ost-Java eine Untersuchung nach einem geeigneten Basis-Terrain anzustellen, und zwar entweder in der Residenschaft Besocki, oder in der damaligen, seitdem wiederum wie früher bei Besocki eingetheilten, Residenschaft Banjowangi.

Es war vorauszusetzen, dass dieser Auftrag nicht ganz leicht zu erfüllen sein würde. An der Westseite, gegen die Grenze der Residenschaft Probolinggo, befindet sich das Ajang-Gebirge, im Norden, dicht an der See, der Ringgit, im Nordosten der Baloran, (nach Jughlun Boeloran), der das bekannte Kap Seduno bildet, und östlich von der Mitte der Residenschaft, der Rauw und der Ijen; die Abhänge dieser Berge breiten sich natürlich sehr weit aus, während ausserdem der ganze Süd-Ost-Theil der Residenschaft ein ununterbrochenes Hügelland bildet.

Demnach gelang es Herrn van Ischouden zwei für Basismessungen geeignete Gebiete zu finden; das eine war der grosse Fahrweg unmittelbar im Osten vom Hauptort Besocki, das andere die im Thale zwischen dem Ajang und Ringgit einerseits und dem Rauw andererseits befindliche Strasse von Sitobanah nach Bondowoso, und zwar derjenige Theil, welcher die Dörfer Tangsil und Djorangsapi verbindet. Letzterer wurde gewählt; zwar kamen auf ihm etwas grössere Neigungen vor, als auf dem grossen Fahrwege östlich von Besocki; diese konnten aber, dank den vorzüglichsten Neigungs-Messern der langen Messstau-

gen des Basis-Apparats, (1^o Alth. S. 10.) nicht erheblich schaden, während die Verbindung mit dem Dreiecknetz an beiden Seiten der Basis stattfinden konnte, was einen nicht zu verachtenden Vortheil bot.

Es konnte hier in grader Linie eine Basis von 5040 Metern gemessen werden, wobei aber freilich nicht immer die Achse des Weges inne gehalten werden konnte, und sogar ein Theil den Rand des Weges berühren musste. Bei der nachherigen Messung machten sich jedoch hierdurch keine Uebelstände geltend. Betrachtet man die Höhen-Unterschiede, welche durch Nivelliren gefunden waren, so war der grösste Unterschied 1,157 Meter auf 99,7 Meter, was einer mittleren Neigung dieser Strecke von 0° 40' entspricht; und die grösste Neigung welche durch je einen der Neigungsmesser angegeben wurde, wurde, war 2° 24' 17",5.

Nach einiger Mühe wurden vom Ingenieur Suckers geeignete Verbindungspunkte gefunden; die der Basis gegenüberstehenden Winkel betrugen aber doch zu Poetri nur 55° 8' und zu Petjaloengan nur 28° 1'. Die weitere Verbindung mit der primären Seite Beser-Soroket gelang aber, s. Tafel XIV, mittels Dreiecke von günstigerer Form.

SICHERUNG DER ENDPUNKTE. BESCHREIBUNG DER BEOBSACHTUNGSPFEILER; CENTRIRUNG DER HELIOTROPE UND DES UNIVERSAL-INSTRUMENTS.

Die Tafel XIII zeigt den Aufstand und die Projection der Pfeiler, sowohl an den beiden Endpunkten der Basis, Tamsil und Djoerangsapi, wie auch an den Netzpunkten. Erstere Pfeiler haben eine Höhe von 5, letztere von 1,5 Meter.

Der untere Theil des Fundaments besteht aus Rollsteinen, welche in den Boden hineingestampft sind, die darüber befindlichen Lagen bestehen aus ähnlichen Steinen und starkem Cement. Ferner sind die Pfeiler ganz aus Ziegelsteinen und ähnlichem Cement gebaut; nur oben werden sie von einem aus Trachyt gehauenen Quaderstein gedeckt.

Das Fundament für die Absetzkugel steht in der Mitte zwischen den Fundamenten für das Gewölbe, welches den Pfeiler trägt. Es besteht gleichfalls aus mit festem Cement gemauerten Ziegelsteinen, und in ihm ist eine viereckige Vertiefung ausgespart worden, worin ein parallelepipedischer Trachyblock von 5,5 Decimeter Höhe und 2 Decimeter Länge und Breite eingelassen und mit Cement stark befestigt wurde.

In diesem Trachyblock wurde, wie es bei den anderen Basen auch geschah, ein senkrechter eiserner Bolzen, von etwa 2 dm. Höhe, mit einem Querdurchschnitt von 5,5 cm., der oben eine eingelassene Glaskugel enthält, eingesenkt und mit Blei festgegossen.

Zwischen dem Fundament und der Absetzkugel, befindet sich gut angestampfter Kies und Sand.

Das Gewölbe, dessen Seiten der Richtung der Basis parallel laufen, ist erst nach Vollendung der Basismessung gebaut. Inzwischen war die Glaskugel am Anfangspunkt genügend vor Beschädigung geschützt.

In dem Pfeiler oberhalb des Gewölbes, wurde ein senkrechtcs Zinkrohr, genau über der Glaskugel, eingemauert. Der Quaderstein, mit welchem der Pfeiler gedeckt wurde, enthält in der Mitte eine eiserne Schraubenmutter; in diese passt eine Schraube mit centraler Durchbohrung, welche, wie in der zweiten Abtheilung S. 11 beschrieben worden ist, einen auf Tafel VI, abgebildeten Spalt-Apparat trug. (Es steht dort irrthümlich Taf. IV.)

Bevor der Quaderstein auf den Pfeiler gelegt wurde, wurde, wie oben S. 62 abgebildet ist, der Absetzcylinder mit seiner kegelförmigen Spitze auf die Glaskugel gesetzt und mittels der am Cylinder verbundenen Libelle genau senkrecht gestellt. Dann wurde der Quaderstein, mit dem Spaltapparat versehen, in einem Bette von feuchtem Cement auf den Pfeiler gelegt, und mittels eines Bleiloths, dessen Faden durch die Durchbohrung der Schraube und weiter durch das Zinkrohr ging, so verschoben, dass die Achse der Schraube, und somit auch die Mittellinie des Spalts, genau über die Spitze der Kugel, also auch genau über das Centrum der Glaskugel kam. Um die Vertikalität des Spalts und der Schraubenachse

zu sichern wurde ein kleineres Beiloth benutzt, welches in der Mitte der oberen Seite des Rahmens des Spaltapparates befestigt war, und also mitten in Spalte hing.

Als auf einem der Endpunkte die horizontalen Winkel gemessen wurden, wozu das 12zählige Universal-Instrument von Repsold diente, wurde in die Schraubenmutter eine andere Schraube gedreht, welche ebenso central eine feine Durchbohrung hatte, und die centrale Spitze, mit welcher das Universal-Instrument unten versehen war, wurde genau oberhalb dieser Durchbohrung gebracht, so dass sie, wenn sie niedergelassen wurde, in die Durchbohrung hineinsank.

Auf diese Weise war die Centrirung innerhalla eines Millimeters gesichert, was auf eine Basis von 5040 Metern, nach Winkelmaass, etwa 0,04 entspricht.

Die Pfeiler der Basisnetzpunkte wurden mit ähnlichen Trachyt-Quadersteinen bedeckt, wie jene der Endpunkte, und die Centrirung wurde dort auch auf ähnliche Art besorgt. Nur waren die Schrauben, in der Mitte der Decksteine, nicht durchbohrt, sondern ihre Achse auf dem Kopfe durch eine Marke angegeben.

HÜLFSPFEILER FÜR DAS RICHTEN DER MESSSTANGEN.

Ursprünglich war die Richtung und erreichbare Länge der Basis durch zwei kleine Pfeiler zu Tangsil und Djorangsapi angegeben. Auf einer Entfernung von etwa zwei Metern vom Pfeiler zu Tangsil, in der Richtung nach Djorangsapi, wurde das Fundament für die Absetzkugel gebaut, welche dort das Ende der Basis angeben sollte.

Sowohl des lebhaften Verkehrs auf der Fahrstrasse, als auch des unebenen Terrains wegen war es nöthig vier Zwischenpunkte in der Richtung der Basis anzunehmen. In diesen wurden ähnliche Pfeiler errichtet wie auf den Verbindungspunkten, nur wurden sie nicht mit Quadersteinen bedeckt, sondern in dieselben ein Balken eingelassen,* in welchem die oben beschriebene Schraubenmutter angebracht war. In dieser wurde also ebenfalls ein Stübm mit senkrechtem Spalt eingeschraubt.

Um die Spalte dieser Schirme genau in der Richtung der Basis zu stellen, wurde zu Tangsil auf die Absetzkugel der von Repsold dem Basis-Apparat mitgegebene Beobachtungstisch, 1^o Alth. Tafel I, Fig. G, und auf diesen Tisch das Universal-Instrument von Repsold gesetzt. Es wurde nun erst nach einem, über das andere Ende zu Djorangsapi aufgestellten Heliotropen visirt, und dann, nach einander, die Balken auf den Hilfspfeilern so lange nach vorher verabredeten Signalen hin und her verschoben, bis der Spalt vom Mittelfaden des Foculus des Universal-Instruments bedeckt oder in zwei gleiche Theile getheilt wurde, worauf alsdann der Balken mit Cement im Pfeiler befestigt wurde.

Sobald die Messung der Basis bis zu einem der Hilfspfeiler fortgeschritten war, wurde dieser abgebrochen.

TRANSPORT DES BASIS-APPARATS.

Nachdem eine der Endtheilungen der langen Messstangen, welche zerbrochen war, nämlich H, zu Batavia erneuert, und alle Stangen mit dem Normalmeter verglichen worden waren, wurde der Basis-Mess-Apparat auf einem Dampfschiffe nach Ost-Java expedirt. Das Ein- und Ausschiffen geschah unter der Aufsicht eines Ingenieurs oder Assistenten, der weitere Transport über Land wurde unter Aufsicht eines der zum geographischen Dienste abkommendierten Unterofficiere oder eines zu diesem Dienste gehörigen Civilbeamten bewerkstelligt, und zwar derjenige der Messstangen durch Kulis, der der übrigen Theile des Apparats auf Wagen.

Ingenieur Woddring hatte vor der Absendung des Apparats aus Batavia, zwischen den Enden der

* Ob hier ein senkrecht stehender oder ein wagerecht liegender Balken gemeint ist, ist nicht deutlich. Ich mutmassen: ein senkrecht stehender, analog den eisernen Bolzen, welche beim Absetzen die Kugeln trugen, und im Trachtyblock festgegossen wurden.

Stahl- und der Zinkstangen, Schreibchen Kork befestigt, damit nicht wieder wie früher, (S. 62.) eine Berührung und Absplitterung der Glastheilungen stattfinden konnte. Die gegenseitige Entfernung dieser Glastheilungen wurde dabei von 0,1 mM. zu etwa 2 mM. vergrössert.

In Folge dieser Maassregel kam der Apparat unbeschädigt auf dem Basisterrain an. Nachdem der Apparat vollständig in Ordnung gebracht und die tragbaren Hütten (2^e Alth. S. 6) zum Schutze des Apparats und der Beobachter angefertigt worden waren, wurde, nach einer Probemessung, mit der eigentlichen Messung begonnen.

BEOBACHTER UND HÜLFSPERSONAL.

Einige Tage vor dem Anfange der Messung war der Ingenieur C. Woddringh gezwungen, mit Urlaub nach Europa abzureisen, und so bestand das Personal während der Basismessung aus dem Ingenieur H. Th. Soeters, den Assistenten J. A. Oudemans und A. de Vletter, und den Civilbeamten Adam Bergmann und E. Zell.

Aus diesem Personal wurden zwei Gruppen gebildet in der Art, dass bei jeder Gruppe immer einer der ersten drei als Beobachter gegenwärtig war, der zugleich die Leitung der Arbeit auf sich nahm.

Das Hülfspersonal bestand aus 6 europäischen Beamten, 5 javanischen Mandurs (Aufsehern) und 25 javanischen Kulis. Jeder hatte bei dem periodisch wiederkehrenden Weiterbringen des Apparats und der Hütten seine besondere ihm speciell aufgetragene Arbeit.

Nachts wurde der Apparat von einem Mandur und einigen Kulis bewacht, und überdies so gut wie möglich gegen Unfälle geschützt.

Vom Ingenieur Soeters wurde für die Basismessung das Folgende angedordnet:

An jedem Tage sollten von zwei Gruppen 200 Meter gemessen werden, also von jeder Gruppe 100 Meter.

Nach jeden 600 Metern sollte eine Glaskugel fest eingemauert werden; sobald diese 600 Meter doppelt gemessen waren, sollte der Apparat gereinigt und in allen seinen Theilen untersucht werden. Während der Messung sollte der Augenblick jeder Ablesung und die Lufttemperatur in den Hütten in besonderen Schreibheften notirt werden.

Von jedem Beobachter sollte ein Tagebuch gehalten werden, in welchem alle sich auf die Messung beziehenden Einzelheiten notirt wurden.

Die Formulare für die Reduction der Dekimeter, 2^e Alth. S. 17, sollten jeden Tag eingefüllt werden.

Später wurde hieran noch hinzugefügt, dass während der Messung alle Umstände in ein besonderes Heft notirt und dass Verstellungen des Nullpunkt-Mikroskops in Folge der Anhebung und Wegföhrens der hinteren langen Messstange, in den Messheften notirt werden sollten.

MAASSREGELN ZUR SICHERUNG DER STABILITÄT DES APPARATS.

Wie bei den vorigen Basismessungen in West- und Mittel-Java wurden die Bücke, auf welchen die Messstangen ruhten, mit Ballast-Trüger beschwert, die Füsse dieser Bücke auf Bretter oder Blöcke gesetzt, und für die Beobachter Laufreiter gelegt, deren Stützpunkte so weit wie möglich von den Bücken entfernt waren.

Ungearbeitet aller dieser Maassregeln war die Stabilität eine nicht immer genügende. Wurde nämlich die hintere lange Messstange zur weiteren Beförderung aufgehoben, so wurde öfters eine Verstellung von etlichen Mikrons des vorderen Mikroskops der vorgehenden kurzen Messstange beobachtet. Um diesen Verstellungen aber vorzuziehen, wurde der Weg in der Richtung der Basis gebohrt und festgestampft.

DIE AUSFÜHRUNG DER BASISMESSUNG.

Am 20 August 1877 wurde am Süd-West-Ende der Basis nahe bei Tangail mit der Messung angefangen. Es wurden nur 155 Meter gemessen, der Weg war nämlich unrasig und verschiedene zeitraubende Vorsorgmaassregeln, z. B. das Stellen von Brettern und Blöcken unter den Füssen der Räder, waren geboten.

Am 21 wurde dieser Abstand aufs Neue gemessen.

Am 22 und 25 wurden 205 Meter doppelt gemessen, am 24 und 25, 200 Meter.

Am 26 wurden 55 Meter gemessen und 5 Meter weiter ein Trachyblock mit Glaskugel in den Boden eingemauert.

Am 27 wurden diese 5 Meter, und die letzten 40 Meter zum zweiten Male gemessen.

Am 28 und 29 wurde der Apparat gereinigt und die Rectification untersucht.

Auf gleiche Weise wurde fortgearbeitet bis am 27 October das nord-östliche Ende bei Djorangsapi erreicht wurde.

Am 12 September wurde zuerst bemerkt, dass beim Aufheben der hinteren 4-Meter-Messstange das vordere Mikroskop sich um einige Mikrons verstellte, dergestalt dass, wenn man auf diese Verstellung keine Rücksicht nahm, die Basis zu klein gemessen würde. Fortan wurde diese Verstellung, welche im Mittel für jede 5 Meter nur etwa 5 Mikron betrug, in den Beobachtungsheften notirt und bei der Reduction in Betracht gezogen.

Bei der Basismessung in West-Java, bei Simplak, an welcher ich selbst Theil genommen hatte, ist eine ähnliche Verstellung, vielleicht wegen des sehr festen Bodens, nicht aufgefallen. Auch bei der Basismessung in Mittel-Java, bei Loganung, ist darüber nichts notirt. Die Correction würde im Ganzen eine Correction von etwa \pm ein Milliontel, also in Logarithmen 4 Einheiten der siebenten Decimalstelle betragen. Allenfalls lässt sich aus dieser Erfahrung die Lehre ziehen, dass die Vorsorgmaassregel, welche von den spanischen Geodäten bei der Basismessung bei Madridejos genommen wurde, indem dieselben die Räder auf schwere steinerne Scheiben stellten — (im Bericht über diese Basismessung (*Base Central de la Triangulación geodésica d'España*, p. 11) werden diese Steine „*plataformas*“ genannt) — Nachahmung verdient. Auch wurde hier der Boden, für das letzte Viertel der Basis, eigens mit Korallen und Steinen festgestampft.

Die doppelte Messung der 5040 Meter langen Basis hat 69 Tage gedauert, wovon aber 8 Tage für das periodische Reinigen des Apparats und das Feststampfen des Weges abgezogen werden müssen, so dass 61 Tage ausschliesslich für die Messung übrigbleiben, was also für jeden Arbeitstag im Mittel eine gemessene Entfernung von 166 Meter giebt. Dieses günstige Ergebniss muss theilweise dem Umstande zugeschrieben werden, dass jeden Tag zwei Gruppen arbeiteten, so dass die Messung ununterbrochen vom Sonnen-Aufgang bis Sonnen-Untergang ihren Fortgang nahm, und theilweise, dass drei Erplatten zum Absetzen, (1^o Abth. S. 12 und Tafel 1, Fig. 10 und 11) benutzt werden konnten. Durch das Einmauern einer Glaskugel, wurde nur einmal innerhalb sechs Tagen ein Aufenthalt verursacht. Dasselbe hätte eigentlich ganz unterlassen werden können, da die letzten zwei Erplatten immer hinreichende Sicherheit für das Behalten der gemessenen Strecke darboten. Im letzten Viertel (1250 Meter) der Basis ist denn auch keine Glaskugel mehr eingemauert worden.

Die Beobachtungen, wie auch die Methode, die Messstangen mittels der Bleithe und auf die Mikroskope aufgesetzter Diopter, 1^o Abth. Fig. 41, zu richten, war über die ganze Basismessung dieselbe wie die bei Simplak befolgte. Bei den letzten Dekametern wurde, was bei Simplak nicht vorgekommen ist, auf die Spitze des Absetzcyinders gerichtet, welcher schon vorläufig der an ihre Stelle gebrachten End-Glaskugel aufgesetzt war.

Die S. 14 der zweiten Abtheilung erwähnte Methode, beim Anfang der Messung das Mikroskop B der kurzen Messstange über die Glaskugel oder Absetzkugel zu bringen, wurde in sofern verbessert, als statt eines Korbes ein Messingrohr benutzt wurde, welches mittels Bajonettverschluss in das untere Mikroskoprohr passte, und aus dessen Boden centrisch der Faden eines Bleithales abhing.

Während der Basismessung wurde, was früher nicht stattfand, jedesmal im Moment der Ablesung die Temperatur unter den Hütten notirt. Bei der ersten Messung wurden jedesmal vor der Ablesung der vorderen kurzen und langen Messstange, die Stahl-Striche der letztgenannten auf der Ablesung 200 des überstehenden Mikroskops gebracht, während bei der zweiten Messung derselben Strecke, je nachdem die Temperatur höher oder niedriger, als bei der ersten Messung war, die Stahlstriche auf eine kleinere, resp. grössere Ablesung gebracht wurden. Hiermit wurde bezweckt, dass beim Ende der gemessenen Strecke das vordere Mikroskop der vorangehenden kurzen Messstange, nahezu gerade über den Mittelstrich der getheilten Glasplatte des Absetzcyinders gelange. Es kam aber doch wohl vor, dass dem Absetzcyinder eine Neigung gegeben werden musste, um die getheilte Glasplatte ablesbar zu erhalten. Dies störte nicht, wenn diese Neigung nur mit der Libelle *d*, 1^{re} Abth. Tafel 1, Fig. 7, abgelesen werden konnte; dann aber musste der äquivalente Werth eines Libellentheils in Mikrons bekannt sein.

Die ursprünglich von den Herren Repsold empfangene Libelle, 1^{re} Abth. S. 12, war zerbrochen, und durch eine andere weniger empfindliche ersetzt worden. Der Werth eines Libellentheils musste für den Gebrauch der Libelle nicht in Sekunden, sondern in Mikrons bekannt sein, und hing offenbar davon ab, wie weit der innere Cylinder ausgezogen war.

Vom Ingenieur Soeters dazu beauftragt, machte Assistent J. A. Oudenans hierüber am 9 und 10 August 1877 die nachstehenden Bestimmungen:

Anzahl der sichtbaren Zähne der Stange (n)	1 Theil =	Zahl der Bestimmungen	Höhe des Cylinders	Abgeleiteter Werth eines Libellentheils
50	7,98 μ	4	817,7	2',011
45	8,64 μ	5	860,5	2',075
60	9,44 μ	9	902,2	2',175

woraus die Formel abgeleitet wurde:

$$1 \text{ Theil der Libelle} = 8,68\mu + 0,0487\mu (n-45)$$

Beim Gebrauch des Absetzcyinders wurde also immer die Zahl der sichtbaren Zähne notirt; dadurch war es nicht nötig den Cylinder absolut senkrecht zu setzen, sondern es reichte hin eine kleine Neigung zuzulassen, welche man, durch Ablesen der Libelle in zwei Ständen, zwar in Theilchen notirte, in Mikrons aber in Rechnung brachte.

REDUCTION DER BASISMESSUNG.

Wie gesagt, wurden während der Basismessung täglich die Dekaneter-Formulare eingefüllt, und vorläufig mittels der Indischen relativen Ausdehnungscoefficienten P, Q, R, S reducirt; hiernach wurde die Gelegenheit geboten, die zweite Messung jedes Theiles der Basis sofort mit der ersten zu vergleichen. Die Gänge (Run) der Mikrometerschrauben der Mikroskope wurden dabei vernachlässigt, und auch zu Utrecht ergab eine beispielsweise für zehn Arbeitstage durchgeführte Probe, dass der Gang ohne Schaden ausser Acht gelassen werden kann.

Bei der Zusammenstellung der Tagesresultate in Utrecht, wurden einige kleinere Fehler, aber doch auch ein durchlaufender Reductionsfehler entdeckt; *, nach gehöriger Verbesserung ergaben sich die nachstehenden Resultate der Tagesmessungen:

* Dieser Fehler bestand darin, dass nicht darauf geachtet worden war, dass bei den kurzen Messungen, (1^{re} Abth. S. 11.) die Theiltheile des Zinkstabs an der einen Seite, welche dem Verbindungspunkt mit dem Stahlstab näher war, nur 11, jene an der anderen Seite aber 21 Zehntel-Millimeter trug. Der Mittelstrich war also an der einen Seite Strich 3, an der anderen Seite Strich 19, und beim Ableiten des Ueberschusses der Zinkstabs über den Stahlstab, ΔIII und ΔIV , wenn der rechte Coincidenzpunkt vom linken abgezogen wurde, mussten also 500 μ abgezogen werden. Man sehe 1^{re} Abth. S. 28 unten, wo, aus den Coincidenzpunkten Links 1217,42 und Rechts 504,73, für den Werth Z-S abgeleitet wurde 712,69 — 500 = 212,69. Das Abziehen dieser 500 μ war durchgängig verstanden worden. Auf die ganze Basis würde dies einen Unterschied von 252 m μ in den ΔIII und ΔIV , also, nach Multiplication mit R und S, von 315 m μ auf die wirkliche Länge gegeben haben. Bei der Reduction der Basismessung von Logantong war dieser Fehler nicht bezugwen worden.

ERSTE MESSUNG.

		$l_1 + l_2$	A las 0	ΔI	ΔIV	ΔII	ΔIII
Erster Theil	A	1949	206	11177	2876	19221,5	1068
	B	5991	77,5	12414	5109	24898	999
	C	11810	189	15041	5522	24676	1257,5
	D	1859	171,5	1195,5	242	5461,5	171
		19619	501	37824,5	9549	72167	5155,5
Zweiter Theil	E	19595	1195	14029	5481,5	25162	1442
	F	11004,5	995	14058,5	5551,5	25155,5	1441
	G	9694	892	11106	2762	21565	408
		40295,5	3078	59175,5	9775	71880,5	5291
Dritter Theil	H	44004,5	158	16578	4025	27788	1995
	I	2568	89	11967	5076,5	25499	981,5
	K	6175	556	11172	2810	21910,5	464
		22747,5	89	59717	9909,5	75197,5	5440,5
Vierter Theil	L	15715	272	12895	5205	24429	1555
	M	5442	258	11454	5610,5	22087	790
	N	4618	575	11065	2957,5	22544	815
		25775	1085	55992	8775	69760	2960
Fünfter Theil	O	4505,5	540	12111	2950,5	25526	966
	P	4587	744,5	15895	5957	26958	1992
	Q	5268	641	11228,5	2666	21850,5	551
		14558,5	1925,5	59254,5	9562,5	72514,5	5489
Sechster Theil	R	5279	1772	15846	5875,5	27150	1948,5
	S	6795	1650	16029	4145	27011	1827,5
	T	9502,5	1586	12246	5155	24974	1071,5
	U	7654	1655,5	12777	5595	25850	1075
		27208,5	6641,5	57498	14554,5	102945	5920,5
Siebenter Theil	V	11522,5	975	15641,5	5965,5	27295	1880
	W	10516	1696	16646	4044,5	29059	1927
	X	9605	1151	17947,5	4478	50266,5	2579
	Y	9011	1155,5	15466,5	5748	27540	1620,5
	Z	5768,5	2058	16480,5	4106	28107	2121,5
	AA	5178	1595	16280	5994	27217	1755,5
		51599	7808,5	98162	24556	169262,5	11705,5
1 ^{er} Theil		19619	501	37824,5	9549	72167	5155,5
2 ^{er} "		40295,5	3078	59175,5	9775	71880,5	5291
3 ^{er} "		22747,5	89	59717	9909,5	75197,5	5440,5
4 ^{er} "		25775	1085	55992	8775	69760	2960
5 ^{er} "		14558,5	1925,5	59254,5	9562,5	72514,5	5489
6 ^{er} "		27208,5	6641,5	57498	14554,5	102945	5920,5
7 ^{er} "		51599	7808,5	98162	24556	169262,5	11705,5
Summa		199599	14168,5	547601,5	86459,5	651528	5958

ZWEITE MESSUNG.

	$I_1 + I_{II}$	A bis D	ΔI	ΔIV	ΔII	ΔIII
Erster Theil	A	2121 + 2485	9860	2562	17677	769
	B	4265 + 1055,5	12927	3558	25460,5	1215
	C	11548 + 5155	10092	2828	22408,5	777
	D	2045 + 1711,5	2512	612	4696	259,5
	19977	+ 2889	55797	9570	70242	2998,5
Zweiter Theil	E	17676,5 - 72	15400	5288,5	24790	1098
	F	10958,5 + 756	14148,5	5445	25568	1546
	G	9351 - 8149	16515	4254	27568	2228,5
	57966	- 7485	45861,5	10985,5	77526	4672,5
Dritter Theil	H	15521 + 5078	14481	5647,5	25822	1555,5
	I	2646 + 1579,5	15146	5278	24400	1114
	K	6157,5 + 4757	15641	5502	25025	1564
	24524,5	+ 1058,5	41268	10487,5	75557	4215
Vierter Theil	L	15502 + 718,5	12172,5	2874,5	25747,5	950,5
	M	5092,5 + 5567,5	15646	5127,5	25088,5	1166
	N	3921 + 5456,5	14265	5519	25590,5	1652
	22425,5	- 8105,5	40085,5	9521	74426,5	5748,5
Fünfter Theil	O	4400,5 + 1555	12528	5127	25742	1142,5
	P	4422 + 604	14787	5152	26592	1791,5
	Q	5272 + 8570,5	15918	5808,5	27059	2045
	14094,5	- 9502,5	45055	10067,5	77195	4977
Sechster Theil	R	5728 + 105	14526	5858	26265	1759,5
	S	6879 + 1024	14755	5751	25155	1407
	T	8618 + 4784	15720	5475	26511,5	1578,5
	U	7740 + 8598,5	16898	4555	28650	2527
	26965	- 12655,5	59879	15595	106497,5	6872
Siebenter Theil	V	11612 + 2490	16698	4185	27991	2127
	W	9572 + 758,5	15575	5959,5	27859,5	1821
	X	10647 + 979,5	17509	4275,5	29451	2152,5
	Y	8891 + 2981	16519	4045	28529,5	1891,5
	Z	5960 + 258	15871	5751	27504,5	1689
	AA	4971 + 7045	19285,5	4821	50817	2782,5
	51655	- 12555	101257,5	24995	172152,5	12465,5
1 ^{er} Theil	19977	+ 2889	55797	9570	70242	2998,5
2 ^{er} "	57966	- 7485	45861,5	10985,5	77526	4672,5
3 ^{er} "	24524,5	+ 1058,5	41268	10487,5	75557	4215
4 ^{er} "	22425,5	- 8105,5	40085,5	9521	74426,5	5748,5
5 ^{er} "	14094,5	- 9502,5	45055	10067,5	77195	4977
6 ^{er} "	26965	- 12655,5	59879	15595	106497,5	6872
7 ^{er} "	51655	- 12555	101257,5	24995	172152,5	12465,5
Summa	- 197405,5	- 47651	565179,5	90819,5	655554,5	59945

Da es für die Bestimmung der mittleren Temperatur während der Basismessung nicht auf die äußerste Genauigkeit ankommt, (es handelt sich ja nur darum, plausible Werthe für die Coefficienten P, Q, R und S anzunehmen,) wurden nur einige Tage bei nahezu gleichen Intervallen herausgewählt, welche die folgenden Zahlen gegeben haben:

BESTIMMUNG DER MITTLEREN TEMPERATUR WÄHREND DER BASISMESSUNG.

Theil.	1e Messung.		2e Messung.	
	Datum.	Mittlere Temperatur.	Datum.	Mittlere Temperatur.
560—560 M.	24 Aug.	27°,28	25 Aug.	26°,96
800—1000 "	1 Sept.	29°,57	2 Sept.	29°,42
1400—1600 "	10 "	29°,05	11 "	29°,50
2000—2200 "	17 "	27°,09	18 "	27°,64
2600—2800 "	24 "	50°,40	25 "	50°,65
3200—3405 "	4 Oct.	50°,58	5 Oct.	50°,09
3810—4010 "	16 "	50°,72	17 "	51°,26
4450—4640 "	22 "	29°,44	25 "	50°,01
Im Mittel		29°,22	29°,58	

Mittel für beide Messungen: 29°,50.

Wir haben also nach S. 16 angenommen:

$$\begin{aligned}
 &T = 0,5829, \\
 \text{und nach S. 8: } &P = 0,5858, \\
 &Q = 0,6179, \\
 &R = 0,6010, \\
 &S = 0,6489
 \end{aligned}$$

Multipliziert man mit diesen Coefficienten die ΔI , ΔII , ΔIII und ΔIV der obenstehenden Tabelle, und berücksichtigt man die Intervalle A bis D, so wie die Reduction für Neigung I_1 und I_2 , so findet man für jede, einem Arbeitstage entsprechende Unterabtheilung die Anzahl Millimeter, welche einer vollen Zahl der Längen der Messstangen hinzugefügt werden muss.

ERSTER THEIL.

Theil.	Länge in Metern.	Erste Messung. Millimeter.	Zweite Messung. Millimeter.	Unterschied, 1 ^e — 2 ^e Messung.
A	155	19,191	19,189	+ 0,002
B	205	21,505	20,901	+ 0,602
C	200	14,167	14,017	+ 0,150
D	40	0,865	1,060	- 0,197
	600	55,524	55,167	+ 0,557

ZWEITER THEIL.

E	200	8,490	8,212	+ 0,278
F	200	16,912	16,775	+ 0,139
G	200	15,066	15,086	- 0,020
	600	58,468	58,071	+ 0,597

DRITTER THEIL.

H	200	16,844	17,285	- 0,441
I	200	21,657	21,604	+ 0,053
K	200	15,674	15,810	- 0,136
	600	54,135	54,699	- 0,544

Vierter THEIL.

L	200	11,558	11,457	+ 0,101
M	200	17,390	17,856	- 0,466
N	200	17,856	18,055	- 0,199
	600	46,804	47,568	- 0,564

FÜNFTER THEIL.

O	200	19,089	18,874	+ 0,215
P	200	24,576	24,258	+ 0,118
Q	200	16,219	15,901	+ 0,518
	600	59,684	59,055	+ 0,651

SECHSTER THEIL.

Theil.	Länge in Metern.	Erste Messung. Millimeter.	Zweite Messung. Millimeter.	Unterschied, 1 ^e — 2 ^e Messung.
R	200	24,680	24,636	+ 0,044
S	205	21,775	21,585	+ 0,190
T	205	14,208	14,099	+ 0,109
U	200	15,768	15,601	+ 0,167
	810	76,451	75,981	+ 0,450

SIEBENTER THEIL.

V	200	17,254	16,968	+ 0,266
W	210	19,865	19,658	+ 0,207
X	210	22,797	22,841	— 0,044
Y	210	19,057	19,077	— 0,040
Z	200	25,154	25,510	— 0,376
AA	200	25,440	25,424	+ 0,516
	1250	125,507	125,178	+ 0,529

Der ganze Unterschied zwischen den beiden Messungen beträgt also für 5040 Meter nur 1,076 Millimeter, was $\frac{1}{4700000}$ der ganzen Länge entspricht. Bei der Reduction der Basis von Simlak wurde gefunden $\frac{1}{1290000}$, 2^{te} Abth., S. 21, bei jener von Logantong $\frac{1}{1500000}$, (oben S. 68.)

Die Unterschiede in der letzten Reihe setzen uns in den Stand, den mittleren Fehler der einzeln Abtheilungen wie auch der ganzen Basis zu ermitteln. Indem wieder auf die bekannte Art alle Unterschiede auf 200 Meter reducirt werden, finden wir den mittleren Fehler:

eines Unterschiedes zweier Messungen von 200 Meter	= ± 0,245 mM.,
jeder Messung von 200 Meter	= ± 0,172 "
des ar. Mittels zweier Messungen von 200 Meter	= ± 0,121 "
des ersten, zweiten, . . . fünften Theils: ± 0,121 $\sqrt{5}$	= ± 0,210 "
des sechsten Theils: ± 0,121 $\sqrt{4,05}$	= ± 0,244 "
des siebenten Theils: ± 0,121 $\sqrt{0,15}$	= ± 0,501 "
der ganzen Basis ± 0,121 $\sqrt{25,2}$	= ± 0,609 "
und der wahrsch. Fehler = ± 0,6745 × 0,609	= ± 0,411 "

d. h. $\frac{1}{12265000}$ der Basis, nur etwas grösser als bei der Basis-Messung von Logantong gefunden ist.

Ich habe mir die Frage gestellt, in wie weit dieser mittlere Fehler der Unsicherheit der Reduction für Neigung der langen Messstangen zuzuschreiben ist. Offenbar kann für diese Untersuchung die

bereits berechnete Correction für Neigung dienen. Diese ist nämlich für jede lange Messstange, wenn dieselbe eine Länge von N Millimeter hat:

$$\text{Corr.} = - N (1 - \cos I),$$

also, durch Differentiation in Bezug auf I , und indem wir immer das Millimeter als Einheit annehmen:

$$d. \text{ Corr.} = - N \sin I \sin I', d. I.$$

Wie in der 1^{en} Abth. S. 10 gesagt ist, giebt der Nonius des Gradbogens, mit welchem die Neigung abgelesen wird, 20" directe Ablesung, und war der Werth eines Theils des Niveaus ausgeglichen = 50". Factisch war dies überall etwa 28". Der Gradbogen wurde von den beiden Beobachtern abgelesen, nachdem das Niveau so genau wie möglich eingestellt war. Beide schrieben ihre Ablesung unabhängig auf, und für die Berechnung der Correction wurde das ar. Mittel der beiden Ablesungen genommen.

Nennt man nun den mittleren Fehler eines solchen ar. Mittels m , den m. F. einer Corr. m_0 , so ist das Quadrat des m. Fehlers der ganzen Basis, wegen der Unsicherheit der Neigungen:

$$m_0^2 = [m^2] = N^2 \sin^2 I' \cdot m^2 [\sin^2 I]. \dots \dots \dots (1)$$

wo die Klammern eine Summation bedeuten. Es ist aber die Summe aller Correctionen für Neigung

$$l_1 + l_n = - 2 N [\sin^2 \frac{1}{2} I]$$

wofür wir hier offenbar schreiben können:

$$l_1 + l_n = - \frac{1}{2} N [\sin^2 I]. \dots \dots \dots (2)$$

Die Gleichungen (1) und (2) geben

$$m_0^2 = - 2 N \cdot \sin^2 I' \cdot (l_1 + l_n) m^2,$$

also, indem hier $N = 4000$ ist, bei uns:

$$m_0 = \pm 89,445 \sin I' \cdot m \sqrt{-(l_1 + l_n)} \\ = \pm 0,0004556 m_1 \sqrt{-(l_1 + l_n)}$$

Diese Formel gilt für jede mit 4 Meter langen Messstangen ausgeführte Basismessung. Wir haben gefunden: für die Basismessung bei Simplak, 1^{er} Abth. S. 20 und 28, $l_1 + l_n = 492$ mM.

für die Basismessung bei Logantong (S. 66)	105 "
" " " " Tangsil	198,5 "

und somit finden wir den mittleren Fehler jeder einzelnen Messung, wegen der Ablesung der Neigung, in Millimetern:

der Basis bei Simplak	$\pm 0,00061 m_1$,
" " " Logantong	$\pm 0,0044 m_1$,
" " " Tangsil	$\pm 0,0061 m_1$.

Für das Mittel aus zwei Messungen derselben Basis müssen diese Ausdrücke natürlich noch mit $\frac{1}{2} \sqrt{2} = 0,7071$ multiplicirt werden. Nach einer absichtlich angestellten Untersuchung muss m , (der mittlere Fehler der Nullpunktbestimmung darunter begriffen,) etwa $\pm 5''$ gesetzt werden, und so

sieht man dass die aus dieser Quelle herrührende Unsicherheit bei jeder der drei Basismessungen bei Weitem noch kein Zehntelmillimeter beträgt.

VERGLEICHUNG DER MESSSTANGEN MIT DEM NORMALMETER VOR UND NACH DER
BASISMESSUNG, UND BESTIMMUNG DER LÄNGEN DER STANGEN WÄHREND DER MESSUNG.

Es sind oben, S. 68—74, bereits die Resultate der Vergleichung der Messstangen mit dem Normalmeter nach der Basismessung in Mittel-Java mitgeteilt worden. Dieselben müssen selbstverständlich auch für die Basismessung in Ost-Java gelten. Die beschädigte Glasheilung II₁ wurde aber nach jenen Vergleichungen mit einer neuen vertauscht, und die Vergleichung von II₁ mit dem Normalmeter nochmals ausgeführt.

RESULTATE DER VERGLEICHUNG DES LETZTEN VIERTELS DER MESSSTANGE II₁ II₂ MIT
DEM NORMALMETER, FÜR ALLE CORRECTIONEN VERBESSERT.

Fenster und Kasten geschlossen. Belichtung durch Lampen.

Beobachter: Ingenieur Waldringh, Assistent de Vletter und Adjutant-Unterofficier Bergmann.

Die Einheit, wie früher, = 1 Mikron.

Beobachter.	1876.	Temperatur Celsius		II ₁ —N.	Z.—S Messstange.	Z.—S Normalmeter.
		im Zimmer.	im Kasten.			
Bergmann	50 Mai					
"	49 ^h 41 ^m	26 ^o ,81	26 ^o ,82	+ 47,02	556,75	177,00
"	20 8	27,18	26,87	50,50	554,72	178,65
"	21 8	27,58	27,07	46,55	556,51	177,59
"	22 9	27,97	27,25	44,95	557,52	177,17
"	25 8	28,47	27,58	45,41	559,94	178,08
	51 Mai.					
"	0 9	28,77	27,45	47,51	565,89	185,00
"	1 7	29,15	27,85	47,16	566,51	185,82
"	2 9	29,20	27,86	46,86	574,61	192,61
Waldringh.	5 10	29,40	28,06	48,21	580,55	200,16
"	4 7	29,50	28,29	47,85	584,80	205,88
"	5 6	29,40	28,49	48,17	586,59	207,75
"	5 55	29,55	28,52	49,89	589,40	210,52
"	7 6	28,95	28,59	48,15	595,05	212,27
"	8 8	28,77	28,50	48,44	592,97	215,49

Beobachter.	Temperatur Celsius		H ₁ - N.	Z - S Messstange.	Z - S Normal- meter.
	1876.	im Zimmer. im Kasten.			
De Vletter.	9 ^h 12 ^m	28°, 77 28°, 64	+ 48,49	592,15	212,94
"	10 8	28, 72 28, 57	47,85	592,45	215,90
"	11 9	28, 52 28, 47	48,25	590,60	215,91
"	12 8	28, 22 28, 54	47,45	590,14	211,42
"	15 9	27, 92 28, 26	48,04	588,05	210,38
"	14 12	27, 87 28, 08	47,22	588,07	210,55
"	15 10	27, 78 27, 98	45,92	586,84	208,50
"	16 8	27, 65 27, 85	45,52	585,68	206,87
"	17 8	27, 45 27, 71	45,46	582,59	204,95
"	18 2	27, 58 27, 65	44,58	580,24	202,24
		28, 56 27, 94	+ 47,29	578,85	199,75

Wir haben also für die Messstange H:

	Temperatur Celsius		Stange- Normal.	Z - S Messstange.	Z - S Normalmeter.	
	im Zimmer.	im Kasten.				
H ₁	28°, 98	28°, 65	+ 189,11	209,56	212,51	(S. oben S. 70)
H ₂	28, 41	28, 45	255,09	605,44	207,15	(" " " 71)
H ₃	28, 09	28, 26	54,81	75,52	207,56	(" " " ")
Correction, 1 ^{re} Abth. S. 85			+ 6,10			
H ₁	28, 56	27, 94	+ 47,29	578,85	199,75	
	28°, 46	28°, 52	67,40	1465,55	826,75	

das heisst: bei 28°, 52 ist gefunden:

$$H_0 = 4 N_0 - 67,40 - 1465,55 Q + 826,75 T.$$

Nach der Basismessung wurde der Apparat zwar nach Batavia hinübergeführt, es dauerte aber eine geraume Zeit bevor die Schlussvergleichung der Messstangen mit dem Normalmeter wiederholt wurde. Krankheit zwang nämlich nach und nach die Ingenieure und Assistenten sich mit Urlaub von den Arbeiten zurückzuziehen. Ingenieur Soeters, der schon im Jahre 1874, als er mich, behufs der Beobachtung des Venus-Durchganges, nach Réunion begleitete, die ersten Symptome eines Leberleidens empfand, hatte noch im Jahre 1878 auf allen Dreieckspunkten des Basisnetzes nicht nur die horizontalen Messungen, (s. den folgenden Abschnitt) vollendet, sondern auch zuvor eine vollständige Bestimmung der Höhen-Unterschiede dieser Punkte, auch mittels gleichzeitiger und gegenseitiger Zenithdistanzen, dirigiert, starb aber schon am 10 April 1879 zu Plantoenon, einer Heilanstalt in der Residenzstadt Samarang. Inge-

nieur Woldringh war, grade vor der Basismessung bei Tangsil, genöthigt, bei der Regierung um zwei Jahre Urlaub nach Europa einzukommen und kehrte im Juli 1879, sobald er die Nachricht des Todes seines Collegen erhielt, nach Java zurück.

Es scheint dass erst andere Arbeiten, wahrscheinlich Reductionen der Terrainbedachtungen ihn in Batavia zurückhielten, bald aber traf auch ihn das Unglück von einer Lungenentzündung ergriffen zu werden, so dass er, ein Jahr nach seiner Rückkehr nach Indien, im Sept. 1880, gezwungen war ein zweites Mal auf Urlaub nach Europa zu gehen; Anfang November desselben Jahres erlag er seinem Leiden zu Mentone.

Assistent J. L. Baron van Isselmuden war bereits im Jahre 1878 gestorben, Assistent de Vletter war im April 1880 genöthigt gewesen um Urlaub einzukommen, Assistent J. A. Oudemans desgleichen im Mai 1881, und so kam die Regierung zu dem Beschluss, den Geographischen Dienst, als Abtheilung des Marine-Departements aufzuheben, die Breiten- und Azimuth-Bestimmungen, welche noch behufs der sogenannten Gradmessung auf dem Programm standen, unerledigt zu lassen, und die Fortsetzung der Triangulation auf den »Buitenbezittingen«, d. h. auf den Inseln ausserhalb Java, einer besondern Abtheilung des Generalstabes zu übertragen. Der damalige Hauptmann H. Heib, der zum Chef dieser Abtheilung bestimmt worden war, unternahm im Jahre 1881 zur Vervollständigung der Arbeiten für die Triangulation von Java, die Vergleichung der Messstangen, welche noch nicht nach der Basismessung bei Tangsil ausgeführt waren, und reducirte die Messungen nach dem Muster der vorigen Vergleichen, d. h. nach den in der 1 Abth. S. 51 gegebenen Vorschriften. Die von demselben erhaltenen Resultate sind in der folgenden Tabelle niedergelegt:

NACH DER BASISMESSUNG
 RESULTATE DER VERGLEICHUNG DER MESSSTANGE I MIT
 Beobachter: Hauptmann

I ₁						I ₂					
Zeit im Mittel 1881.	Temperatur Celsius.		I ₁ —N.	Z—S Mess- stange.	Z—S Normal- meter.	Zeit im Mittel 1881.	Temperatur Celsius.		I ₂ —N.	Z—S Mess- stange.	Z—S Normal- meter.
	Im Zimmer.	Im Kasten.					Im Zimmer.	Im Kasten.			
27 Oct. 23 ^h 8 ^m	29°,78	28°,63	— 67,30	207,56	202,57	28 Oct. 23 ^h 8 ^m	29°,25	28°,33	— 69,33	247,40	208,20
28 Oct. 5 9	30,07	29,37	— 67,88	223,69	217,10	29 Oct. 5 8	29,83	29,17	— 68,25	263,23	219,90
11 9	29,54	29,27	— 66,86	225,70	219,85	11 8	28,86	28,88	— 67,82	266,24	223,01
18 19	28,76	28,58	— 68,20	218,30	211,74	18 21	28,81	28,28	— 67,91	255,77	211,66
31 Oct. 23 ^h 10 ^m	29,54	28,43	— 65,57	206,37	198,53	1 Nov. 23 ^h 9 ^m	29,35	28,58	— 66,84	219,12	208,28
1 Nov. 5 8	30,02	29,27	— 64,25	223,13	212,27	2 Nov. 5 8	29,78	29,37	— 66,16	265,06	220,56
11 7	29,10	29,07	— 66,71	226,00	216,08	11 4	29,34	29,17	— 66,08	267,09	222,83
18 24	28,76	28,48	— 63,18	215,93	206,49	18 23	28,91	28,68	— 59,02	260,32	216,81
1e Reihe	29°,54	28°,95	— 67,56	218,81	212,83		29°,21	28°,67	— 68,33	258,18	213,41
2e Reihe	29°,36	28°,81	— 63,43	217,86	208,34		29°,40	28°,93	— 60,03	260,37	217,23

RESULTATE DER VERGLEICHUNG DER MESSSTANGE II MIT
 Beobachter: Hauptmann

II ₁						II ₂					
Zeit im Mittel 1881	Temperatur Celsius.		II ₁ —N.	Z—S Mess- stange.	Z—S Normal- meter.	Zeit im Mittel 1881	Temperatur Celsius.		II ₂ —N	Z—S Mess- stange.	Z—S Normal- meter.
	Im Zimmer.	Im Kasten.					Im Zimmer.	Im Kasten.			
14 Oct. 0 ^h 0 ^m	31°,30	30°,46	+ 191,10	228,18	221,06	14 Oct. 23 ^h 13 ^m	30°,41	29°,17	— 251,54	600,19	217,21
5 15	30°,91	30°,36	+ 192,48	211,34	233,17	15 Oct. 5 10	30°,85	29°,89	— 249,57	614,98	228,71
10 38	30°,35	29°,91	+ 192,62	230,81	232,86	11 4	30°,11	29°,62	— 248,91	614,91	228,77
18 10	29°,96	29°,43	+ 190,75	229,77	222,85	18 20	29°,64	29°,03	— 249,99	603,25	216,39
17 Oct. 23 ^h 10 ^m	29°,78	28°,92	+ 186,36	220,01	211,50	18 Oct. 23 ^h 8 ^m	29°,35	28°,48	— 253,03	590,88	210,29
18 Oct. 5 10	30°,36	29°,42	+ 187,52	228,44	219,68	19 Oct. 5 9	30°,07	29°,32	— 232,02	604,54	223,12
11 5	29°,34	29°,27	+ 185,19	232,70	220,09	11 7	29°,45	29°,12	— 251,81	605,74	223,01
18 25	29°,54	28°,77	+ 187,31	224,44	212,97	18 20	29°,20	28°,73	— 252,55	606,11	218,19
1e Reihe	30°,68	30°,05	+ 191,81	234,78	227,40		30°,25	29°,43	— 250,90	608,34	222,54
1e Reihe	29°,81	29°,10	+ 186,65	226,10	216,06		29°,52	28°,94	— 232,35	600,32	219,32

Summa für die ganze Messstange I.

1e Reihe	29°,33	28°,82	4 N — 252,16	902,88	854,71
2e Reihe	29°,79	29°,12	— 237,17	923,51	870,54
Mittel aus 2 Reihen	29°,56	28°,97	4 N — 244,67	913,20	862,63

BEI TANGSIL.

DEM NORMALMETER, FÜR ALLE CORRECTIONEN VERBESSERT.

II. Heft.

I ₁						I ₂					
Zeit im Mittel, 1881.	Temperatur Celsius.		I ₁ —N	Z—S Mess- stange.	Z—S Normal- meter.	Zeit im Mittel, 1881.	Temperatur Celsius.		I ₂ —N	Z—S Mess- stange.	Z—S Normal- meter.
	Im Zimmer	Im Kasten.					Im Zimmer	Im Kasten.			
29 Oct. 23 ^h 8 ^m 30 Oct. 5 8 11 8 18 17 2 Nov.	29° 54 29° 83 29° 10 28° 52	28° 53 29° 37 29° 12 28° 38	— 201,85 — 200,80 — 200,30 — 200,15	200,75 218,57 220,51 209,02	201,75 219,07 220,09 209,71	30 Oct. 23 ^h 9 ^m 31 Oct. 5 16 11 8 18 21 3 Nov.	29° 61 29° 73 29° 15 28° 01	28° 48 29° 27 29° 02 28° 48	+ 81,23 + 81,14 + 83,67 + 86,29	203,09 218,71 222,13 210,17	203,82 210,78 220,12 211,30
23 ^h 7 ^m 3 Nov. 5 7 11 7 18 23	29° 73 30° 55 30° 55 29° 54	28° 73 29° 57 29° 57 29° 02	— 198,83 — 198,86 — 198,75 — 199,51	201,23 219,85 223,81 218,61	207,33 218,57 224,00 217,71	23 ^h 8 ^m 4 Nov. 5 8 11 7 18 23	30° 10 29° 27 31° 25 29° 78 29° 75	29° 27 29° 07 29° 02 29° 02 29° 17	+ 85,11 + 85,18 + 81,89 + 85,33	217,38 235,23 230,10 225,16	220,73 232,58 234,15 224,12
	29° 25 30° 09	28° 85 29° 22	— 200,85 — 198,99	212,22 216,41	213,41 216,90		29° 36 30° 31	28° 81 29° 51	+ 81,58 + 85,28	213,67 228,54	213,03 228,05

DEM NORMALMETER, FÜR ALLE CORRECTIONEN VERBESSERT.

II. Heft.

II ₂						II ₄					
Zeit im Mittel, 1881.	Temperatur Celsius.		II ₂ —N	Z.—S Mess- stange.	Z.—S Normal- meter.	Zeit im Mittel, 1881.	Temperatur Celsius.		II ₄ —N	Z.—S Mess- stange.	Z.—S Normal- meter.
	Im Zimmer.	Im Kasten.					Im Zimmer.	Im Kasten.			
15 Oct. 23 ^h 13 ^m	30°,95	29°,03	— 58,10	377,65	215,09	16 Oct. 23 ^h 8 ^m	29°,83	28°,78	+ 13,33	286,74	209,85
16 Oct. 5 8	30°,95	29°,72	— 57,69	393,67	226,77	17 Oct. 5 23	30°,95	29°,62	+ 15,18	302,13	222,86
10 58	29°,80	29°,37	— 58,10	398,02	228,35	11 8	29°,88	29°,47	+ 14,87	301,16	225,05
18 18	30°,06	28°,57	— 59,12	385,76	217,68	18 8	29°,68	28°,92	+ 15,15	298,48	218,18
19 Oct. 23 ^h 8 ^m	29°,88	28°,73	— 58,21	373,78	211,80	20 Oct. 23 ^h 8 ^m	29°,97	28°,85	+ 50,82	285,10	211,03
20 Oct. 5 13	30°,56	29°,57	— 55,85	388,89	223,37	21 Oct. 5 9	30°,60	29°,62	+ 51,31	301,68	222,69
10 16	29°,83	29°,12	— 56,39	391,19	224,71	11 10	30°,26	29°,57	+ 51,09	303,10	225,97
18 23	29°,93	28°,82	— 56,60	381,87	217,67	18 23	29°,78	29°,22	+ 52,30	299,39	221,17
	30°,18	29°,27	— 58,33	388,78	221,37		30°,09	29°,20	+ 14,63	297,88	218,99
	30°,00	29°,14	— 56,76	383,93	219,89		30°,15	29°,31	+ 51,61	297,39	220,22

Summa für die ganze Messstange II.

1e Reihe	30° 58	29° 19	4 N — 71,89	1529,78	801,21
2e Reihe	29° 87	29° 16	— 70,85	1508,61	875,19
Mittel aus 2 Reihen	30° 13	29° 33	4 N — 71,37	1518,91	888,35

RESULTATE DER VERGLEICHUNG DER MESSSTANGE III MIT DEM NORMALMETER,
FÜR ALLE CORRECTIONEN VERBESSERT.
Beobachter: Hauptmann H. Helb.

Zeit im Mittel, 1881.	Temperatur Celsius		III—N.	Z—S Messstange.	Z—S Normalmeter.
	im Zimmer.	im Kasten.			
Oct. 21 25° 8"	29°,49	28°,97	+ 65,64	127,45	212,21
" 22 5° 21"	29°,49	28°,97	65,76	151,86	214,19
" " 11 8	28°,71	28°,75	64,27	152,55	212,57
" " 18 25	28°,71	28°,58	62,94	124,45	205,95
" " 25 8	28°,96	28°,55	65,12	125,07	204,64
" 25 5° 9"	29°,68	29°,17	65,44	151,29	215,15
" " 11 9	29°,10	28°,97	64,45	152,51	215,49
" " 18 11	28°,66	28°,45	62,98	127,25	207,59
Im Mittel 1 ^r Reihe 2 ^r "	29°,10	28°,76	64,15	129,02	211,00
	29°,10	28°,78	64,00	129,05	209,67
Mittel von 2 Reihen.	29°,10	28°,77	+ 64,08	129,05	210,54

RESULTATE DER VERGLEICHUNG DER MESSSTANGE IV MIT DEM NORMALMETER,
FÜR ALLE CORRECTIONEN VERBESSERT.

Beobachter: Hauptmann H. Helb.

Zeit im Mittel, 1881.	Temperatur Celsius		IV—N.	Z—S Messstange.	Z—S Normalmeter.
	im Zimmer.	im Kasten.			
Oct. 25 25° 9"	29°,50	28°,45	— 2,46	205,24	201,79
" 24 5 10	29°,68	29°,27	+ 0,75	221,69	214,81
" " 11 9	29°,50	29°,02	+ 0,07	222,59	216,01
" " 18 18	28°,17	28°,28	+ 0,15	212,97	207,55
" " 25° 10"	29°,55	28°,58	+ 0,54	224,21	208,27
" 25 5 19	50°,12	29°,47	+ 1,45	254,79	219,61
" " 10 58	29°,50	29°,27	+ 0,28	228,28	225,42
" " 18 25	28°,71	28°,58	+ 0,49	222,00	214,94
1 ^r Reihe 2 ^r "	29°,11	28°,75	— 0,57	215,57	210,04
	29°,57	28°,98	+ 0,69	227,54	216,56
Mittel von 2 Reihen.	29°,24	28°,87	+ 0,16	221,45	215,50

RESULTATE DER VERGLEICHUNG DER MESSSTANGEN I UND II UNTEREINANDER,
FÜR ALLE CORRECTIONEN VERBESSERT.

Beobachter: Hauptmann H. Helb. Thermometer sind nicht abgelesen.

1881.	II—I	Z—S I	Z—S II
Nov. 6 25° 40"	164,12	917,35	1505,54
„ 7 5 10	162,74	940,66	1525,75
„ 11 10	165,24	877,60	1461,11
„ 18 25	162,54	827,90	1411,40
„ 25 0	167,21	848,12	1455,70
„ 8 5 9	165,71	915,09	1502,18
„ 11 9	167,15	900,22	1487,56
„ 18 24	168,67	855,42	1457,61
Im Mittel 1 ^{re} Reihe	165,10	890,88	1474,88
2 ^{te} „	166,68	879,21	1465,76
Mittel von 2 Reihen.	164,89	885,05	1470,52

Vereinigen wir wieder die für die einzelnen Messstangen vor und nach der Basismessung bei Tangsil gefundenen Resultate, so haben wir, (S. oben S. 74:)

$$\begin{aligned} \text{vor: } I_o &= 4 N_o - 277,45 = 890,50 P + 819,82 T \text{ bei } 28^\circ,42 C. \\ \text{nach: } I_o &= 4 N_o - 244,67 = 915,20 P + 862,65 T \text{ „ } 28^\circ,97 \text{ „} \\ \text{Im Mittel: } I_o &= 4 N_o - 261,06 = 901,75 P + 841,25 T \text{ „ } 28^\circ,70 \text{ „} \end{aligned}$$

$$\begin{aligned} \text{vor: } II_o &= 4 N_o - 67,40 = 1465,55 Q + 826,75 T \text{ bei } 28^\circ,52 C. \\ \text{nach: } II_o &= 4 N_o - 65,27 = 1518,91 Q + 885,55 T \text{ „ } 29^\circ,55 \text{ „} \\ \text{Im Mittel: } II_o &= 4 N_o - 66,54 = 1492,15 Q + 855,05 T \text{ „ } 28^\circ,85 \text{ „} \end{aligned}$$

$$\begin{aligned} \text{vor: } III_o &= N_o + 62,22 = 90,88 R + 199,50 T \text{ bei } 27^\circ,85 C. \\ \text{nach: } III_o &= N_o + 64,08 = 129,05 R + 210,54 T \text{ „ } 28^\circ,77 \text{ „} \\ \text{Im Mittel: } III_o &= N_o + 65,15 = 109,96 R + 204,92 T \text{ „ } 28^\circ,51 \text{ „} \end{aligned}$$

$$\begin{aligned} \text{vor: } IV_o &= N_o - 5,95 = 189,27 S + 186,91 T \text{ bei } 27^\circ,55 \text{ „} \\ \text{nach: } IV_o &= N_o + 0,16 = 221,45 S + 215,50 T \text{ „ } 28^\circ,87 \text{ „} \\ \text{Im Mittel: } IV_o &= N_o - 4,90 = 205,56 S + 200,11 T \text{ „ } 28^\circ,41 \text{ „} \end{aligned}$$

Substituiert man in diese Mittel die Werthe von P, Q, R und S, wie sie S. 8 recapitulirt sind, so hat man:

$$\begin{aligned}
I_o &= 4 N_o = 258,77 = 69,99 \text{ T,} \\
II_o &= 4 N_o = 85,14 = 696,52 \text{ T,} \\
III_o &= N_o + 64,22 + 89,57 \text{ T,} \\
IV_o &= N_o = 0,45 = 51,29 \text{ T,}
\end{aligned}$$

also die Summe:

$$S_o = 10 N_o = 280,12 = 708,05 \text{ T.}$$

Durch Subtraction finden wir wieder den Unterschied zwischen den nach und vor der Basismessung bei Tangsil gefundenen Längen. Das Resultat ist:

	Nach	Vor:	Mittlere Temp. C.
für I_o :	+ 52,78	22,90 P + 42,81 T,	28°,6,
" II_o :	+ 2,15	55,56 Q + 56,60 T,	28°,8,
" III_o :	+ 1,86	58,15 R + 10,84 T,	28°,5,
" IV_o :	+ 1,11	52,18 S + 26,59 T,	28°,1.

$$\begin{aligned}
\text{Nehmen wir hier } T &= 0,5826, \text{ nach S. 16,} \\
\text{und } P &= 0,5862, \text{ " S. 8,} \\
Q &= 0,6185, \text{ " S. " ,} \\
R &= 0,6007, \text{ " S. " ,} \\
S &= 0,6494, \text{ " S. " ,}
\end{aligned}$$

so wird dieser Unterschied

$$\begin{aligned}
\text{für } I_o &: + 44,50 \mu, \\
\text{" } II_o &: + 1,99 \text{ " ,} \\
\text{" } III_o &: - 14,74 \text{ " ,} \\
\text{" } IV_o &: - 1,41 \text{ " ,}
\end{aligned}$$

$$\text{also für das Dekameter} \quad + 50,14 \mu.$$

Merkwürdigerweise hat für sämtliche drei Basismessungen eine Verlängerung des ganzen Dekameters, d. h. der Summe der Längen der Messstangen stattgefunden. Doch ist die Verlängerung keine allgemein geltende Regel, es tritt auch bei der Stange III der Fall ein, dass auch einmal eine Verkürzung zu constatiren war, während die Messstange IV immer kürzer geworden ist. Die folgende Recapitulation wird dies noch deutlicher machen:

UNTERSCHIED, IN MIKRONEN, ZWISCHEN DEN LÄNGEN DER MESSSTANGEN NACH UND VOR DEN DREI BASISMESSUNGEN AUF JAVA:

Simlak	Logantoug.	Tangsil.	Summe.
I + 5,5	+ 2,5	+ 44,5	+ 50,4
II + 15,2	+ 0,5	+ 2,0	+ 17,5
III + 10,2	+ 16,5	14,7	+ 11,8
IV - 6,6	- 7,6	- 1,4	- 15,6
+ 22,5	+ 11,5	+ 50,2	+ 65,8

Das ganze Dekameter war also, der Umtausch der Glasplatte II, ausser Acht gelassen, nach der dritten Basismessung um 64μ länger als vor der ersten. Durch jene Vertauschung ist die Zinkstange, welche die Theilungen trägt, (denn die Stahlstange hat an beiden Enden nur einen Strich), verlängert worden; die Folge war, dass Stahl- und Zinkstange bei niedriger Temperatur wie früher einander gleich sind, und dass deshalb die Normallänge N_0 , welche beide Stangen dann haben, um 82μ kürzer geworden ist.

Welche nun die Ursache dieser stetigen Verlängerung resp. Verkürzung gewesen sein mag, lässt sich schwerlich noch bestimmen. Am Wahrscheinlichsten achte ich es, dass die kleinsten Kry-
stalle, speciell des Zinks, wenn eine Stange von diesem Metall Temperaturänderungen ausgesetzt ist, erst nach längerer Zeit zu einer endlichen Anordnung gelangen. Will man dieses Metall seines grossen Ausdehnungscoefficienten wegen bei Basis-Apparaten beibehalten, so dürfte eine Probe mit gewalztem, statt gegossenem Zink, zu empfehlen sein.

ABLEITUNG DER WIRKLICHEN LÄNGE DER BASIS.

Im Ganzen sind bei der Basismessung bei Tangsil die nachfolgenden Zahlen der Messstangen benutzt worden:

1 ^{re} bis 5 ^{te} Theil:	jede Messstange	500	Mal,
6 ^{te} Theil:	„ „	81	„
7 ^{te} „	„ „	125	„
Zusammen also:		504	„

Nehmen wir das Mittel von den beiden Messungen, so erhalten wir für die Länge der Basis:

$$504 S_0 = 229412 + 556591 P + 642441 Q + 56952 R + 88650 S.$$

Substituiren wir hierin die Werthe von P, Q, R, S aus Seite 8, und den Werth von S_0 von der vorigen Seite, so finden wir, indem wir jetzt das Meter als Einheit annehmen:

$$\begin{array}{rclcl}
 504 S_0 & = & 5040 N_0 & - & 0,556847 T & = & 0,141180 \\
 229412 & = & & & & = & 0,229412 \\
 + 556591 P & = & + 0,560155 T & = & 0,000905 \\
 + 642441 Q & = & + 0,667946 T & + & 0,008095 \\
 + 56952 R & = & + 0,078705 T & = & 0,000558 \\
 + 88650 S & = & + 0,099868 T & = & 0,000655 \\
 \hline
 \text{Basis} & = & 5040 N_0 & + & 0,809865 T & = & 0,564595.
 \end{array}$$

Substituiren wir hierin $N_0 = 1,00015981$ Meter, und $T = 0,5829$, so finden wir:

$$\begin{array}{rcl}
 5040 N_0 & = & 5040,805440 \\
 0,809865 T & = & + 0,472069 \\
 & & - 0,564595 \\
 \hline
 \text{Basis} & = & 5040,915116 \text{ Mètres des Archives.}
 \end{array}$$

DIE KLEINEN NOCH ANZUBRINGENDEN CORRECTIONEN.

Man sehe 2^e Abth. S 25 ff, und oben S. 78.

1. Für die Correction wegen der Ausdehnung der Mikroskopträger wurde gefunden:

		Erste Messung.	Zweite Messung.
Erster	Theil, A bis D:	+ 0,241 mM.	+ 0,505 mM.
Zweiter	„ E „ G:	+ 0,294 „	+ 0,216 „
Dritter	„ H „ K:	+ 0,518 „	+ 0,505 „
Vierter	„ L „ N:	+ 0,296 „	+ 0,259 „
Fünfter	„ O „ Q:	+ 0,525 „	+ 0,295 „
Sechster	„ R „ U:	+ 0,429 „	+ 0,592 „
Siebenter	„ V „ AA:	+ 0,510 „	+ 0,475 „
		+ 2,415 „	+ 2,221 „

Also im Mittel + 2,517 mM., d. h. 0,46 Millimittel der Basis.

2. Die Correction wegen der geringen Neigungen der kurzen Messstangen darf, wie in der 2^{en} Abth. S. 27 gezeigt ist, = 0 gesetzt werden, indem sie kaum einige wenige Mikrons betragen kann.

3. Die Correction, welche sich daraus ergibt, dass, bei der Berechnung der Correction für Neigung der langen Messstangen, vorläufig angenommene Längen dieser Stangen, und zwar zu kleine, angewandt sind, ist schwer zu veranschlagen. Die Correction für Neigung war einer Tafel entnommen worden, welche mit nur 4 Decimalstellen nach der Formel $(6,9051) \sin^2 \frac{1}{2} l$ berechnet war, und die benötigte Reduction, hinreichend genau, in Mikrons giebt. Setzt man diesem vierstelligen Logarithmus drei Nullen hinzu, so findet man in einer siebenstelligen Tafel, dass er der doppelten Stangenlänge 8000,184 entspricht.

Das Totum der ΔI und ΔII , im Mittel aus den beiden Messungen, beträgt aber, (s. vorige Seite) 556591 und 642441; theilt man diese Zahlen durch 504, die Anzahl Male dass die Messstangen I und II benutzt sind, so erhält man 707,1 und 1274,7. Diese multiplicirt mit $P = 0,5862$ und $Q = 0,6185$, gehen für die mittleren Uebermaasse der beiden Messstangen über 4 N_0 : $P \times \Delta I = 414,5$ und $Q \times \Delta II = 788,1$ Mikrons. Es sind also:

$$\begin{aligned} 8 N_0 &= 8001,2785 \text{ mM.} \\ P \times \Delta I &= 0,4145 \text{ „} \\ Q \times \Delta II &= 0,7881 \text{ „} \end{aligned}$$

8002,481 „ des Metre des Archives.

Abgezogen: 8000,184

giebt Correction + 2,5 mM. oder 0,0002875 der Ganzen.

Die ganze für Neigung angebrachte Correction betrug im Mittel aus beiden Messungen 198,6 mM. so dass, streng genommen, die Correction dieser Correction noch — 0,057 mM., d. h. 57 Mikrons betragen kann.

4. Für die Correction wegen der Theilungsfehler der abgelesenen Glasplatten * konnte bei der

* Ueber diese Correctionen werden wir in einem Nachtrage zu dieser Abtheilung Näheres mittheilen

Reduction der Basismessung bei Logantong dieselbe proportionale Zahl (0,51 Milliontel) angenommen werden als bei der Reduction der Basismessung bei Simplak, (S. 79, in Verbindung mit 2^{ter} Abth. S. 28,29); bei der Basismessung in Ost-Java war aber die neue Glasplatte II₁ benutzt worden; nun waren zufälliger Weise die Correctionen der abgelesenen Striche dieser Theilung positiv, wie die Correctionen der abgelesenen Striche des anderen Ende dieser Stange II₂, so dass die totale Correction jetzt weniger gross war als früher. Zu der Berechnung des eingeführten Betrages wurde verfahren wie S. 28,29 der 2^{ten} Abth. beschrieben worden ist; es wurden dazu die nachfolgenden Tagmessungen gewählt:

die Unterabtheilung	E, 1 ^{re} Messung, 50 August	1877, 200 Meter, (600—800);
„ „	K, 2 ^{te} „ 15 September	„ , 200 „ (1600—1800);
„ „	P, 1 ^{re} „ 24 „	„ , 200 „ (2600—2800);
„ „	U, 2 ^{te} „ 9 October	„ , 200 „ (5610—5810);
„ „	Y, 1 ^{re} „ 22 „	„ , 210 „ (4450—4640).

Für die Summe der Theilungsfehler wurde gefunden:

Unter- abtheil.	L	I ₁	I ₂	L-I ₁	P(I ₁ -I ₂)	II ₁	II ₂	II ₃	II ₄	II ₅	II ₆	II ₇	II ₈	II ₉	II ₁₀	II ₁₁	II ₁₂	II ₁₃	II ₁₄	II ₁₅	II ₁₆	II ₁₇	II ₁₈	II ₁₉	II ₂₀	II ₂₁	II ₂₂	II ₂₃	II ₂₄	II ₂₅	II ₂₆	II ₂₇	II ₂₈	II ₂₉	II ₃₀	II ₃₁	II ₃₂	II ₃₃	II ₃₄	II ₃₅	II ₃₆	II ₃₇	II ₃₈	II ₃₉	II ₄₀	II ₄₁	II ₄₂	II ₄₃	II ₄₄	II ₄₅	II ₄₆	II ₄₇	II ₄₈	II ₄₉	II ₅₀	II ₅₁	II ₅₂	II ₅₃	II ₅₄	II ₅₅	II ₅₆	II ₅₇	II ₅₈	II ₅₉	II ₆₀	II ₆₁	II ₆₂	II ₆₃	II ₆₄	II ₆₅	II ₆₆	II ₆₇	II ₆₈	II ₆₉	II ₇₀	II ₇₁	II ₇₂	II ₇₃	II ₇₄	II ₇₅	II ₇₆	II ₇₇	II ₇₈	II ₇₉	II ₈₀	II ₈₁	II ₈₂	II ₈₃	II ₈₄	II ₈₅	II ₈₆	II ₈₇	II ₈₈	II ₈₉	II ₉₀	II ₉₁	II ₉₂	II ₉₃	II ₉₄	II ₉₅	II ₉₆	II ₉₇	II ₉₈	II ₉₉	II ₁₀₀	II ₁₀₁	II ₁₀₂	II ₁₀₃	II ₁₀₄	II ₁₀₅	II ₁₀₆	II ₁₀₇	II ₁₀₈	II ₁₀₉	II ₁₁₀	II ₁₁₁	II ₁₁₂	II ₁₁₃	II ₁₁₄	II ₁₁₅	II ₁₁₆	II ₁₁₇	II ₁₁₈	II ₁₁₉	II ₁₂₀	II ₁₂₁	II ₁₂₂	II ₁₂₃	II ₁₂₄	II ₁₂₅	II ₁₂₆	II ₁₂₇	II ₁₂₈	II ₁₂₉	II ₁₃₀	II ₁₃₁	II ₁₃₂	II ₁₃₃	II ₁₃₄	II ₁₃₅	II ₁₃₆	II ₁₃₇	II ₁₃₈	II ₁₃₉	II ₁₄₀	II ₁₄₁	II ₁₄₂	II ₁₄₃	II ₁₄₄	II ₁₄₅	II ₁₄₆	II ₁₄₇	II ₁₄₈	II ₁₄₉	II ₁₅₀	II ₁₅₁	II ₁₅₂	II ₁₅₃	II ₁₅₄	II ₁₅₅	II ₁₅₆	II ₁₅₇	II ₁₅₈	II ₁₅₉	II ₁₆₀	II ₁₆₁	II ₁₆₂	II ₁₆₃	II ₁₆₄	II ₁₆₅	II ₁₆₆	II ₁₆₇	II ₁₆₈	II ₁₆₉	II ₁₇₀	II ₁₇₁	II ₁₇₂	II ₁₇₃	II ₁₇₄	II ₁₇₅	II ₁₇₆	II ₁₇₇	II ₁₇₈	II ₁₇₉	II ₁₈₀	II ₁₈₁	II ₁₈₂	II ₁₈₃	II ₁₈₄	II ₁₈₅	II ₁₈₆	II ₁₈₇	II ₁₈₈	II ₁₈₉	II ₁₉₀	II ₁₉₁	II ₁₉₂	II ₁₉₃	II ₁₉₄	II ₁₉₅	II ₁₉₆	II ₁₉₇	II ₁₉₈	II ₁₉₉	II ₂₀₀	II ₂₀₁	II ₂₀₂	II ₂₀₃	II ₂₀₄	II ₂₀₅	II ₂₀₆	II ₂₀₇	II ₂₀₈	II ₂₀₉	II ₂₁₀	II ₂₁₁	II ₂₁₂	II ₂₁₃	II ₂₁₄	II ₂₁₅	II ₂₁₆	II ₂₁₇	II ₂₁₈	II ₂₁₉	II ₂₂₀	II ₂₂₁	II ₂₂₂	II ₂₂₃	II ₂₂₄	II ₂₂₅	II ₂₂₆	II ₂₂₇	II ₂₂₈	II ₂₂₉	II ₂₃₀	II ₂₃₁	II ₂₃₂	II ₂₃₃	II ₂₃₄	II ₂₃₅	II ₂₃₆	II ₂₃₇	II ₂₃₈	II ₂₃₉	II ₂₄₀	II ₂₄₁	II ₂₄₂	II ₂₄₃	II ₂₄₄	II ₂₄₅	II ₂₄₆	II ₂₄₇	II ₂₄₈	II ₂₄₉	II ₂₅₀	II ₂₅₁	II ₂₅₂	II ₂₅₃	II ₂₅₄	II ₂₅₅	II ₂₅₆	II ₂₅₇	II ₂₅₈	II ₂₅₉	II ₂₆₀	II ₂₆₁	II ₂₆₂	II ₂₆₃	II ₂₆₄	II ₂₆₅	II ₂₆₆	II ₂₆₇	II ₂₆₈	II ₂₆₉	II ₂₇₀	II ₂₇₁	II ₂₇₂	II ₂₇₃	II ₂₇₄	II ₂₇₅	II ₂₇₆	II ₂₇₇	II ₂₇₈	II ₂₇₉	II ₂₈₀	II ₂₈₁	II ₂₈₂	II ₂₈₃	II ₂₈₄	II ₂₈₅	II ₂₈₆	II ₂₈₇	II ₂₈₈	II ₂₈₉	II ₂₉₀	II ₂₉₁	II ₂₉₂	II ₂₉₃	II ₂₉₄	II ₂₉₅	II ₂₉₆	II ₂₉₇	II ₂₉₈	II ₂₉₉	II ₃₀₀	II ₃₀₁	II ₃₀₂	II ₃₀₃	II ₃₀₄	II ₃₀₅	II ₃₀₆	II ₃₀₇	II ₃₀₈	II ₃₀₉	II ₃₁₀	II ₃₁₁	II ₃₁₂	II ₃₁₃	II ₃₁₄	II ₃₁₅	II ₃₁₆	II ₃₁₇	II ₃₁₈	II ₃₁₉	II ₃₂₀	II ₃₂₁	II ₃₂₂	II ₃₂₃	II ₃₂₄	II ₃₂₅	II ₃₂₆	II ₃₂₇	II ₃₂₈	II ₃₂₉	II ₃₃₀	II ₃₃₁	II ₃₃₂	II ₃₃₃	II ₃₃₄	II ₃₃₅	II ₃₃₆	II ₃₃₇	II ₃₃₈	II ₃₃₉	II ₃₄₀	II ₃₄₁	II ₃₄₂	II ₃₄₃	II ₃₄₄	II ₃₄₅	II ₃₄₆	II ₃₄₇	II ₃₄₈	II ₃₄₉	II ₃₅₀	II ₃₅₁	II ₃₅₂	II ₃₅₃	II ₃₅₄	II ₃₅₅	II ₃₅₆	II ₃₅₇	II ₃₅₈	II ₃₅₉	II ₃₆₀	II ₃₆₁	II ₃₆₂	II ₃₆₃	II ₃₆₄	II ₃₆₅	II ₃₆₆	II ₃₆₇	II ₃₆₈	II ₃₆₉	II ₃₇₀	II ₃₇₁	II ₃₇₂	II ₃₇₃	II ₃₇₄	II ₃₇₅	II ₃₇₆	II ₃₇₇	II ₃₇₈	II ₃₇₉	II ₃₈₀	II ₃₈₁	II ₃₈₂	II ₃₈₃	II ₃₈₄	II ₃₈₅	II ₃₈₆	II ₃₈₇	II ₃₈₈	II ₃₈₉	II ₃₉₀	II ₃₉₁	II ₃₉₂	II ₃₉₃	II ₃₉₄	II ₃₉₅	II ₃₉₆	II ₃₉₇	II ₃₉₈	II ₃₉₉	II ₄₀₀	II ₄₀₁	II ₄₀₂	II ₄₀₃	II ₄₀₄	II ₄₀₅	II ₄₀₆	II ₄₀₇	II ₄₀₈	II ₄₀₉	II ₄₁₀	II ₄₁₁	II ₄₁₂	II ₄₁₃	II ₄₁₄	II ₄₁₅	II ₄₁₆	II ₄₁₇	II ₄₁₈	II ₄₁₉	II ₄₂₀	II ₄₂₁	II ₄₂₂	II ₄₂₃	II ₄₂₄	II ₄₂₅	II ₄₂₆	II ₄₂₇	II ₄₂₈	II ₄₂₉	II ₄₃₀	II ₄₃₁	II ₄₃₂	II ₄₃₃	II ₄₃₄	II ₄₃₅	II ₄₃₆	II ₄₃₇	II ₄₃₈	II ₄₃₉	II ₄₄₀	II ₄₄₁	II ₄₄₂	II ₄₄₃	II ₄₄₄	II ₄₄₅	II ₄₄₆	II ₄₄₇	II ₄₄₈	II ₄₄₉	II ₄₅₀	II ₄₅₁	II ₄₅₂	II ₄₅₃	II ₄₅₄	II ₄₅₅	II ₄₅₆	II ₄₅₇	II ₄₅₈	II ₄₅₉	II ₄₆₀	II ₄₆₁	II ₄₆₂	II ₄₆₃	II ₄₆₄	II ₄₆₅	II ₄₆₆	II ₄₆₇	II ₄₆₈	II ₄₆₉	II ₄₇₀	II ₄₇₁	II ₄₇₂	II ₄₇₃	II ₄₇₄	II ₄₇₅	II ₄₇₆	II ₄₇₇	II ₄₇₈	II ₄₇₉	II ₄₈₀	II ₄₈₁	II ₄₈₂	II ₄₈₃	II ₄₈₄	II ₄₈₅	II ₄₈₆	II ₄₈₇	II ₄₈₈	II ₄₈₉	II ₄₉₀	II ₄₉₁	II ₄₉₂	II ₄₉₃	II ₄₉₄	II ₄₉₅	II ₄₉₆	II ₄₉₇	II ₄₉₈	II ₄₉₉	II ₅₀₀	II ₅₀₁	II ₅₀₂	II ₅₀₃	II ₅₀₄	II ₅₀₅	II ₅₀₆	II ₅₀₇	II ₅₀₈	II ₅₀₉	II ₅₁₀	II ₅₁₁	II ₅₁₂	II ₅₁₃	II ₅₁₄	II ₅₁₅	II ₅₁₆	II ₅₁₇	II ₅₁₈	II ₅₁₉	II ₅₂₀	II ₅₂₁	II ₅₂₂	II ₅₂₃	II ₅₂₄	II ₅₂₅	II ₅₂₆	II ₅₂₇	II ₅₂₈	II ₅₂₉	II ₅₃₀	II ₅₃₁	II ₅₃₂	II ₅₃₃	II ₅₃₄	II ₅₃₅	II ₅₃₆	II ₅₃₇	II ₅₃₈	II ₅₃₉	II ₅₄₀	II ₅₄₁	II ₅₄₂	II ₅₄₃	II ₅₄₄	II ₅₄₅	II ₅₄₆	II ₅₄₇	II ₅₄₈	II ₅₄₉	II ₅₅₀	II ₅₅₁	II ₅₅₂	II ₅₅₃	II ₅₅₄	II ₅₅₅	II ₅₅₆	II ₅₅₇	II ₅₅₈	II ₅₅₉	II ₅₆₀	II ₅₆₁	II ₅₆₂	II ₅₆₃	II ₅₆₄	II ₅₆₅	II ₅₆₆	II ₅₆₇	II ₅₆₈	II ₅₆₉	II ₅₇₀	II ₅₇₁	II ₅₇₂	II ₅₇₃	II ₅₇₄	II ₅₇₅	II ₅₇₆	II ₅₇₇	II ₅₇₈	II ₅₇₉	II ₅₈₀	II ₅₈₁	II ₅₈₂	II ₅₈₃	II ₅₈₄	II ₅₈₅	II ₅₈₆	II ₅₈₇	II ₅₈₈	II ₅₈₉	II ₅₉₀	II ₅₉₁	II ₅₉₂	II ₅₉₃	II ₅₉₄	II ₅₉₅	II ₅₉₆	II ₅₉₇	II ₅₉₈	II ₅₉₉	II ₆₀₀	II ₆₀₁	II ₆₀₂	II ₆₀₃	II ₆₀₄	II ₆₀₅	II ₆₀₆	II ₆₀₇	II ₆₀₈	II ₆₀₉	II ₆₁₀	II ₆₁₁	II ₆₁₂	II ₆₁₃	II ₆₁₄	II ₆₁₅	II ₆₁₆	II ₆₁₇	II ₆₁₈	II ₆₁₉	II ₆₂₀	II ₆₂₁	II ₆₂₂	II ₆₂₃	II ₆₂₄	II ₆₂₅	II ₆₂₆	II ₆₂₇	II ₆₂₈	II ₆₂₉	II ₆₃₀	II ₆₃₁	II ₆₃₂	II ₆₃₃	II ₆₃₄	II ₆₃₅	II ₆₃₆	II ₆₃₇	II ₆₃₈	II ₆₃₉	II ₆₄₀	II ₆₄₁	II ₆₄₂	II ₆₄₃	II ₆₄₄	II ₆₄₅	II ₆₄₆	II ₆₄₇	II ₆₄₈	II ₆₄₉	II ₆₅₀	II ₆₅₁	II ₆₅₂	II ₆₅₃	II ₆₅₄	II ₆₅₅	II ₆₅₆	II ₆₅₇	II ₆₅₈	II ₆₅₉	II ₆₆₀	II ₆₆₁	II ₆₆₂	II ₆₆₃	II ₆₆₄	II ₆₆₅	II ₆₆₆	II ₆₆₇	II ₆₆₈	II ₆₆₉	II ₆₇₀	II ₆₇₁	II ₆₇₂	II ₆₇₃	II ₆₇₄	II ₆₇₅	II ₆₇₆	II ₆₇₇	II ₆₇₈	II ₆₇₉	II ₆₈₀	II ₆₈₁	II ₆₈₂	II ₆₈₃	II ₆₈₄	II ₆₈₅	II ₆₈₆	II ₆₈₇	II ₆₈₈	II ₆₈₉	II ₆₉₀	II ₆₉₁	II ₆₉₂	II ₆₉₃	II ₆₉₄	II ₆₉₅	II ₆₉₆	II ₆₉₇	II ₆₉₈	II ₆₉₉	II ₇₀₀	II ₇₀₁	II ₇₀₂	II ₇₀₃	II ₇₀₄	II ₇₀₅	II ₇₀₆	II ₇₀₇	II ₇₀₈	II ₇₀₉	II ₇₁₀	II ₇₁₁	II ₇₁₂	II ₇₁₃	II ₇₁₄	II ₇₁₅	II ₇₁₆	II ₇₁₇	II ₇₁₈	II ₇₁₉	II ₇₂₀	II ₇₂₁	II ₇₂₂	II ₇₂₃	II ₇₂₄	II ₇₂₅	II ₇₂₆	II ₇₂₇	II ₇₂₈	II ₇₂₉	II ₇₃₀	II ₇₃₁	II ₇₃₂	II ₇₃₃	II ₇₃₄	II ₇₃₅	II ₇₃₆	II ₇₃₇	II ₇₃₈	II ₇₃₉	II ₇₄₀	II ₇₄₁	II ₇₄₂	II ₇₄₃	II ₇₄₄	II ₇₄₅	II ₇₄₆	II ₇₄₇	II ₇₄₈	II ₇₄₉	II ₇₅₀	II ₇₅₁	II ₇₅₂	II ₇₅₃	II ₇₅₄	II ₇₅₅	II ₇₅₆	II ₇₅₇	II ₇₅₈	II ₇₅₉	II ₇₆₀	II ₇₆₁	II ₇₆₂	II ₇₆₃	II ₇₆₄	II ₇₆₅	II ₇₆₆	II ₇₆₇	II ₇₆₈	II ₇₆₉	II ₇₇₀	II ₇₇₁	II ₇₇₂	II ₇₇₃	II ₇₇₄	II ₇₇₅	II ₇₇₆	II ₇₇₇	II ₇₇₈	II ₇₇₉	II ₇₈₀	II ₇₈₁	II ₇₈₂	II ₇₈₃	II ₇₈₄	II ₇₈₅	II ₇₈₆	II ₇₈₇	II ₇₈₈	II ₇₈₉	II ₇₉₀	II ₇₉₁	II ₇₉₂	II ₇₉₃	II ₇₉₄	II ₇₉₅	II ₇₉₆	II ₇₉₇	II ₇₉₈	II ₇₉₉	II ₈₀₀	II ₈₀₁	II ₈₀₂	II ₈₀₃	II ₈₀₄	II ₈₀₅	II ₈₀₆	II ₈₀₇	II ₈₀₈	II ₈₀₉	II ₈₁₀	II ₈₁₁	II ₈₁₂	II ₈₁₃	II ₈₁₄	II ₈₁₅	II ₈₁₆	II ₈₁₇	II ₈₁₈	II ₈₁₉	II ₈₂₀	II ₈₂₁	II ₈₂₂	II ₈₂₃	II ₈₂₄	II ₈₂₅	II ₈₂₆	II ₈₂₇	II ₈₂₈	II ₈₂₉	II ₈₃₀	II ₈₃₁	II ₈₃₂	II ₈₃₃	II ₈₃₄	II ₈₃₅	II ₈₃₆	II ₈₃₇	II ₈₃₈	II ₈₃₉	II ₈₄₀	II ₈₄₁	II ₈₄₂	II ₈₄₃	II ₈₄₄	II ₈₄₅	II ₈₄₆	II ₈₄₇	II ₈₄₈	II ₈₄₉	II ₈₅₀	II ₈₅₁	II ₈₅₂	II ₈₅₃	II ₈₅₄	II ₈₅₅	II ₈₅₆	II ₈₅₇	II ₈₅₈	II ₈₅₉	II ₈₆₀	II ₈₆₁	II ₈₆₂	II ₈₆₃	II ₈₆₄	II ₈₆₅	II ₈₆₆	II ₈₆₇	II ₈₆₈	II ₈₆₉	II ₈₇₀	II ₈₇₁	II ₈₇₂	II ₈₇₃	II ₈₇₄	II ₈₇₅	II ₈₇₆	II ₈₇₇	II ₈₇₈	II ₈₇₉	II ₈₈₀	II ₈₈₁	II ₈₈₂	II ₈₈₃	II ₈₈₄	II ₈₈₅	II ₈₈₆	II ₈₈₇
--------------------	---	----------------	----------------	------------------	------------------------------------	-----------------	-----------------	-----------------	-----------------	-----------------	-----------------	-----------------	-----------------	-----------------	------------------	------------------	------------------	------------------	------------------	------------------	------------------	------------------	------------------	------------------	------------------	------------------	------------------	------------------	------------------	------------------	------------------	------------------	------------------	------------------	------------------	------------------	------------------	------------------	------------------	------------------	------------------	------------------	------------------	------------------	------------------	------------------	------------------	------------------	------------------	------------------	------------------	------------------	------------------	------------------	------------------	------------------	------------------	------------------	------------------	------------------	------------------	------------------	------------------	------------------	------------------	------------------	------------------	------------------	------------------	------------------	------------------	------------------	------------------	------------------	------------------	------------------	------------------	------------------	------------------	------------------	------------------	------------------	------------------	------------------	------------------	------------------	------------------	------------------	------------------	------------------	------------------	------------------	------------------	------------------	------------------	------------------	------------------	------------------	------------------	------------------	------------------	------------------	------------------	------------------	-------------------	-------------------	-------------------	-------------------	-------------------	-------------------	-------------------	-------------------	-------------------	-------------------	-------------------	-------------------	-------------------	-------------------	-------------------	-------------------	-------------------	-------------------	-------------------	-------------------	-------------------	-------------------	-------------------	-------------------	-------------------	-------------------	-------------------	-------------------	-------------------	-------------------	-------------------	-------------------	-------------------	-------------------	-------------------	-------------------	-------------------	-------------------	-------------------	-------------------	-------------------	-------------------	-------------------	-------------------	-------------------	-------------------	-------------------	-------------------	-------------------	-------------------	-------------------	-------------------	-------------------	-------------------	-------------------	-------------------	-------------------	-------------------	-------------------	-------------------	-------------------	-------------------	-------------------	-------------------	-------------------	-------------------	-------------------	-------------------	-------------------	-------------------	-------------------	-------------------	-------------------	-------------------	-------------------	-------------------	-------------------	-------------------	-------------------	-------------------	-------------------	-------------------	-------------------	-------------------	-------------------	-------------------	-------------------	-------------------	-------------------	-------------------	-------------------	-------------------	-------------------	-------------------	-------------------	-------------------	-------------------	-------------------	-------------------	-------------------	-------------------	-------------------	-------------------	-------------------	-------------------	-------------------	-------------------	-------------------	-------------------	-------------------	-------------------	-------------------	-------------------	-------------------	-------------------	-------------------	-------------------	-------------------	-------------------	-------------------	-------------------	-------------------	-------------------	-------------------	-------------------	-------------------	-------------------	-------------------	-------------------	-------------------	-------------------	-------------------	-------------------	-------------------	-------------------	-------------------	-------------------	-------------------	-------------------	-------------------	-------------------	-------------------	-------------------	-------------------	-------------------	-------------------	-------------------	-------------------	-------------------	-------------------	-------------------	-------------------	-------------------	-------------------	-------------------	-------------------	-------------------	-------------------	-------------------	-------------------	-------------------	-------------------	-------------------	-------------------	-------------------	-------------------	-------------------	-------------------	-------------------	-------------------	-------------------	-------------------	-------------------	-------------------	-------------------	-------------------	-------------------	-------------------	-------------------	-------------------	-------------------	-------------------	-------------------	-------------------	-------------------	-------------------	-------------------	-------------------	-------------------	-------------------	-------------------	-------------------	-------------------	-------------------	-------------------	-------------------	-------------------	-------------------	-------------------	-------------------	-------------------	-------------------	-------------------	-------------------	-------------------	-------------------	-------------------	-------------------	-------------------	-------------------	-------------------	-------------------	-------------------	-------------------	-------------------	-------------------	-------------------	-------------------	-------------------	-------------------	-------------------	-------------------	-------------------	-------------------	-------------------	-------------------	-------------------	-------------------	-------------------	-------------------	-------------------	-------------------	-------------------	-------------------	-------------------	-------------------	-------------------	-------------------	-------------------	-------------------	-------------------	-------------------	-------------------	-------------------	-------------------	-------------------	-------------------	-------------------	-------------------	-------------------	-------------------	-------------------	-------------------	-------------------	-------------------	-------------------	-------------------	-------------------	-------------------	-------------------	-------------------	-------------------	-------------------	-------------------	-------------------	-------------------	-------------------	-------------------	-------------------	-------------------	-------------------	-------------------	-------------------	-------------------	-------------------	-------------------	-------------------	-------------------	-------------------	-------------------	-------------------	-------------------	-------------------	-------------------	-------------------	-------------------	-------------------	-------------------	-------------------	-------------------	-------------------	-------------------	-------------------	-------------------	-------------------	-------------------	-------------------	-------------------	-------------------	-------------------	-------------------	-------------------	-------------------	-------------------	-------------------	-------------------	-------------------	-------------------	-------------------	-------------------	-------------------	-------------------	-------------------	-------------------	-------------------	-------------------	-------------------	-------------------	-------------------	-------------------	-------------------	-------------------	-------------------	-------------------	-------------------	-------------------	-------------------	-------------------	-------------------	-------------------	-------------------	-------------------	-------------------	-------------------	-------------------	-------------------	-------------------	-------------------	-------------------	-------------------	-------------------	-------------------	-------------------	-------------------	-------------------	-------------------	-------------------	-------------------	-------------------	-------------------	-------------------	-------------------	-------------------	-------------------	-------------------	-------------------	-------------------	-------------------	-------------------	-------------------	-------------------	-------------------	-------------------	-------------------	-------------------	-------------------	-------------------	-------------------	-------------------	-------------------	-------------------	-------------------	-------------------	-------------------	-------------------	-------------------	-------------------	-------------------	-------------------	-------------------	-------------------	-------------------	-------------------	-------------------	-------------------	-------------------	-------------------	-------------------	-------------------	-------------------	-------------------	-------------------	-------------------	-------------------	-------------------	-------------------	-------------------	-------------------	-------------------	-------------------	-------------------	-------------------	-------------------	-------------------	-------------------	-------------------	-------------------	-------------------	-------------------	-------------------	-------------------	-------------------	-------------------	-------------------	-------------------	-------------------	-------------------	-------------------	-------------------	-------------------	-------------------	-------------------	-------------------	-------------------	-------------------	-------------------	-------------------	-------------------	-------------------	-------------------	-------------------	-------------------	-------------------	-------------------	-------------------	-------------------	-------------------	-------------------	-------------------	-------------------	-------------------	-------------------	-------------------	-------------------	-------------------	-------------------	-------------------	-------------------	-------------------	-------------------	-------------------	-------------------	-------------------	-------------------	-------------------	-------------------	-------------------	-------------------	-------------------	-------------------	-------------------	-------------------	-------------------	-------------------	-------------------	-------------------	-------------------	-------------------	-------------------	-------------------	-------------------	-------------------	-------------------	-------------------	-------------------	-------------------	-------------------	-------------------	-------------------	-------------------	-------------------	-------------------	-------------------	-------------------	-------------------	-------------------	-------------------	-------------------	-------------------	-------------------	-------------------	-------------------	-------------------	-------------------	-------------------	-------------------	-------------------	-------------------	-------------------	-------------------	-------------------	-------------------	-------------------	-------------------	-------------------	-------------------	-------------------	-------------------	-------------------	-------------------	-------------------	-------------------	-------------------	-------------------	-------------------	-------------------	-------------------	-------------------	-------------------	-------------------	-------------------	-------------------	-------------------	-------------------	-------------------	-------------------	-------------------	-------------------	-------------------	-------------------	-------------------	-------------------	-------------------	-------------------	-------------------	-------------------	-------------------	-------------------	-------------------	-------------------	-------------------	-------------------	-------------------	-------------------	-------------------	-------------------	-------------------	-------------------	-------------------	-------------------	-------------------	-------------------	-------------------	-------------------	-------------------	-------------------	-------------------	-------------------	-------------------	-------------------	-------------------	-------------------	-------------------	-------------------	-------------------	-------------------	-------------------	-------------------	-------------------	-------------------	-------------------	-------------------	-------------------	-------------------	-------------------	-------------------	-------------------	-------------------	-------------------	-------------------	-------------------	-------------------	-------------------	-------------------	-------------------	-------------------	-------------------	-------------------	-------------------	-------------------	-------------------	-------------------	-------------------	-------------------	-------------------	-------------------	-------------------	-------------------	-------------------	-------------------	-------------------	-------------------	-------------------	-------------------	-------------------	-------------------	-------------------	-------------------	-------------------	-------------------	-------------------	-------------------	-------------------	-------------------	-------------------	-------------------	-------------------	-------------------	-------------------	-------------------	-------------------	-------------------	-------------------	-------------------	-------------------	-------------------	-------------------	-------------------	-------------------	-------------------	-------------------	-------------------	-------------------	-------------------	-------------------	-------------------	-------------------	-------------------	-------------------	-------------------	-------------------	-------------------	-------------------	-------------------	-------------------	-------------------	-------------------	-------------------	-------------------	-------------------	-------------------	-------------------	-------------------	-------------------	-------------------	-------------------	-------------------	-------------------	-------------------	-------------------	-------------------	-------------------	-------------------	-------------------	-------------------	-------------------	-------------------	-------------------	-------------------	-------------------	-------------------	-------------------	-------------------	-------------------	-------------------	-------------------	-------------------	-------------------	-------------------	-------------------	-------------------	-------------------	-------------------	-------------------	-------------------	-------------------	-------------------	-------------------	-------------------	-------------------	-------------------	-------------------	-------------------	-------------------	-------------------	-------------------	-------------------	-------------------	-------------------	-------------------	-------------------	-------------------	-------------------	-------------------	-------------------	-------------------	-------------------	-------------------	-------------------	-------------------	-------------------	-------------------	-------------------	-------------------	-------------------	-------------------	-------------------	-------------------	-------------------	-------------------	-------------------	-------------------	-------------------	-------------------	-------------------	-------------------	-------------------	-------------------	-------------------	-------------------	-------------------	-------------------	-------------------	-------------------	-------------------	-------------------	-------------------	-------------------	-------------------	-------------------	-------------------	-------------------	-------------------	-------------------	-------------------	-------------------	-------------------	-------------------	-------------------	-------------------	-------------------	-------------------	-------------------	-------------------	-------------------	-------------------	-------------------	-------------------	-------------------	-------------------	-------------------	-------------------	-------------------	-------------------	-------------------	-------------------	-------------------	-------------------	-------------------	-------------------	-------------------	-------------------	-------------------	-------------------	-------------------	-------------------	-------------------	-------------------	-------------------	-------------------	-------------------	-------------------	-------------------	-------------------	-------------------	-------------------	-------------------	-------------------

Die Theilungen der Messstangen erhoben sich, wie aus Tafel I der 4^{ten} Abth. erhellt, um 0,95 Meter über den Boden, also war am Ende der Basis bei Djoerangsapi dieselbe Theilung $250,0 - 5,0 + 0,9 = 225,9$ Meter über der Oberfläche der Meeres. Nun ist das arithmetische Mittel der 51 Höhen, welche auf dem Profil angegeben sind, = 5,56 Meter; Djoerangsapi entspricht 5,91 Meter, also ist die mittlere Höhe der Basis 2,55 Meter höher als Djoerangsapi oder = 228,25 Meter über die See.

Das mittlere Azimuth der Basis war $60^{\circ} 17' 6'',5$, die Mittelbreite $7^{\circ} 55' 25'',42$. Nach den Bessel'schen Elementen des Erdspheroids, welche bei der Reduction dieser Triangulation angewandt benutzt sind, ist für diese Breite und Richtung:

$$R = 6\,567\,485 \text{ Meter,}$$

und also die Correction für Höhe

$$= - 5040,9 \times \frac{228,25}{6\,367\,711} = - 0,180691 \text{ Meter.}$$

ENDRESULTAT FÜR DIE AUF DIE MEERESOBERFLÄCHE REDUCIRTE BASIS.

Wir finden also für die auf die Oberfläche des Meeres reducirte Länge der Basis bei Tangsil:

		5 040,915 146
Correction wegen	Auslenkung der Mikroskopträger	+ 0,002 517
	Neigung der kurzen Messstangen	0,000 000
	Vergrößerung der Correction für Neigung der langen Messstangen.	0,000 057
	Theilungsfehler	0,001 058
	Seehöhe	0,180 691
	Summe	5 040,755 627 Metres des Archives,
		Log. = 5,702 4957,5

§ 14. Die Verblindung der Basis von Tangsil mit dem primären Dreiecksnetze.

Die Verbindung der Basis mit dem Dreiecksnetze, s. Tafel XII, war nur mittelmässig günstig. An beiden Seiten der Basis **1 2** wurde ein Dreieck gebildet, das eine, **1 2 4**, an der Nord-West-Seite, mit einem Scheitelwinkel = $55^{\circ}8'$, das andere, **1 2 3**, an der Süd-Ost-Seite, mit einem Scheitelwinkel $28^{\circ}1'$. Bei einem Winkel der letztgenannten Grösse entspricht eine Differenz einer Sekunde im Bogen schon 40 Einheiten der siebenten Decimalstelle im Log. Sinus. Der mittlere Fehler einer Richtung im Basisnetze ergab sich etwa = $0',45$, also eines Winkels = $0',76$; die 40 werden also zu 50 herabgebracht. Das folgende Verbindungsdreieck **3 4 5** bekam im Punkte 5 einen Scheitelwinkel von $45^{\circ}1'$, was allenfalls günstiger ist.

Ohne Zweifel ist die Natur des hügeligen und theils bewohnten, theils bewaldeten Terrains

hieran Schuld gewesen. Indessen bestehen doch mehrere Basisnetze, z. B. von Catania, wo nicht vortheilhaftere Winkel vorkommen.

In dem Bericht, welcher über die Arbeiten an der Basismessung in Manuscript vorgefunden ist, findet sich nichts über eine Absicht, die ganze Basis zur Controle in zwei Theile zu theilen, und durch ein oder zwei Zwischenpunkte den einen Theil aus dem anderen Theil herzuleiten, wie dies bei der Basis von Sinjak zur Ausführung gekommen ist, und bei der Basis von Lagantong wenigstens projectirt worden war. Zwar ist seitwärts, in einer Entfernung von 110 Metern südlich vom Fahrwege, in der Dese Womosari, ein Pfeiler für die Breitenbestimmung gebaut worden, als Dreieckspunkt ist dieser Pfeiler aber nicht benutzt worden.

Alle Winkelbeobachtungen in diesem Netze sind von dem verstorbenen Ingenieur Soters mit dem 12 zölligen Universal-Instrument von Repsold ausgeführt; von den anvisirten Pfeilern wurde, in der Regel mit dem Spalt-Schirme, wie oben erwähnt ist, heliotropirt, und jeder Rundgang wurde mit Objectiv rechts und links beobachtet; in den nachstehenden Tabellen sind, wie wir bisher immer gethan haben, der Kürze halber nur die Mittelzahlen mitgetheilt. Die Ausführung der Einzel-Resultate bei Kreis oder Fernrohr, resp. Objectiv links und rechts, würde die Tabellen, welche die Winkelmessungen enthalten, auf das Doppelte ausgedehnt, den Leser aber nur in den Stand gesetzt haben, den mittleren Fehler einer Richtung und Ablesung in jeder Lage abzuleiten; was aber, soweit es die Universal-Instrumente von Pistor und Martins, mit excentrischem Fernrohr, betrifft, nur geschehen kann, wenn man die Richtungen auf das Centrum des Instruments reducirt. Wir werden aber später das Resultat dieser Untersuchung für jeden Beobachter und jedes Instrument selbst angeben.

Wir lassen nun die Winkelmessungen, oder richtiger die Richtungsbeobachtungen folgen; müssen aber in Betreff der Nummerirung der Correctionen die Bemerkung machen, dass die Ausgleichung des Netzes früher durch ein Missverständniß so angeführt worden ist, dass die Null-Richtung ursprünglich keine Correction erhielt. Diese Methode würde aber nur dann richtig sein, wenn von $2''$, $5''$, Punkte, nur der Winkel mit dem ersten Object, jeder besonders, gemessen worden wäre.

Die Summe der auf diese Weise gefundenen Correctionen war selbstverständlich nur ausnahmsweise = 0; allen, auch der Correction = 0 der Nullrichtung, wurde dann eine constante Grösse zugefügt, damit die Summe der sämtlichen Correctionen nun = 0 werde. Diese konnte man nun als die plausibelsten Correctionen der Richtungen ansehen; sie sind es aber nicht in aller Richtigkeit. Wegen der ungeheuren Arbeit, welche an die Auflösung von neunzehn Gleichungen mit eben soviel Unbekannten verbunden ist, und weil im Anfange der Fortschritt der Arbeit als Hauptsache betrachtet wurde, so habe ich damals es dabei bewenden lassen; jetzt aber, wo die Rechnungen des Netzes vollendet sind, war es die Mühe werth, die Ausgleichung nach der besseren Methode zu wiederholen; die Nullrichtungen bekamen dabei auch Correctionen; damit aber die Vergleichung der alten mit den neuen Resultaten leichter geschehen könne, haben wir in der Nummerirung die alten Nummern behalten, also den Correctionen der Nullrichtungen die Zahlen (50), (51) u. s. w. gegeben. Die Vergleichung der beiden Resultate werden wir in einem Anhang hinzufügen.

1 DJOERANGSAPI.

Beobachter: Soeters. Instrument: (12 z.) Repsold.

Objectiv überall links und rechts. Auf allen Punkten Heliotrope, mit oder ohne Spalt.

1878	Socket.	Socket.	Petja-loengan.	Tanah-wolan.	Tangsil.	Poetri.	Bésér.
		0° 0'	17° 4'	87° 27'	100° 0'	165° 55'	167° 55'
28 Mai	0° 2' 10"	0',00	15',10	59',85	14',57	55',65	5',78
" "	60 22 50	0',00	15',45	61',28	18',07	56',15	6',49
29 "	120 45 50	0',00	14',55	59',80	17',15	55',16	2',80
51 "	50 12 50	0',00	15',98	60',57	16',81	55',96	5',95
" "	90 55 5	0',00	14',44	59',95	18',55	55',25	5',05
2 Juni	150 55 45	0',00	15',02	58',67	17',47	54',46	5',05

RESULTATE.

				Azi- Höhe.	Corr. muth.	für Höhe.	Corrigirte Richtung.			
7	Socket	0°	0'	0',00	2 950	140°	- 0',31	0',00	+	(50)
3	Petjaloengan	17	4	15,09	334	137	- 0,04	15,56	+	(1)
5	Tanahwolan	87	27	59,98	161	228	+ 0,08	28' 0,57	+	(2)
2	Tangsil	100	0	17,16	239	240	+ 0,02	17,45	+	(5)
4	Poetri	165	55	34,77	976	304	- 0,10	54,98	+	(4)
6	Bésér	167	55	4,85	1 303	308	- 0,13	5,05	+	(5)

2 TANGSIL.

Beobachter: Soeters. Instrument: (12 z.) Repsold.

Objectiv überall links und rechts. Auf allen Punkten Heliotrope, mit oder ohne Spalt.

1878	Bésér.	Bésér.	Poetri.	Djoerangsapi.	Petjaloengan.
		0° 0'	5° 8'	85° 48'	154° 45'
24 u. 27 Mai	0° 2' 5"	0',00	59',04		58',59
24 "	60 22 57	0',00	59',05		57',58
25 u. 26 "	120 45 20	0',00	58',60		57',77
" " "	50 12 10	0',00	58',19		56',64
26 "	90 55 5	0',00	57',25		57',49
" "	150 55 45	0',00	58',24		56',90
19 Juli	0 2 0	0',00	58',29	59',66	57',89
20 "	60 22 40	0',00	59',25	59',55	58',11
21 "	50 12 10	0',00	58',15	58',61	58',56
" "	120 45 25	0',00	58',21	40',57	57',99
25 "	90 55 0	0',00	57',65	40',55	57',68
" "	150 55 55	0',00	58',26	58',48	57',78

RESULTATE.

				Azi- Höhe.	Corr. muth.	für Höhe.	Corrigirte Richtung.		
6	Bésér	0° 0'	0',00	1 303 331°	- 0',10	0',00	+	(51)	
4	Poetri	5 8	54,35	976 339	- 0,07	58,58	+	(6)	
1	Djoerangsapi	85 48	39,57	236 60	+ 0,02	59,69	+	(7)	
3	Petjaloengan	154 45	37,71	534 129	- 0,05	57,79	+	(8)	

3 PETJALOENGAN.

Beobachter: Soeters. Instrument: (12 z.) Repsold.

Objectiv überall links und rechts. Auf allen Punkten Heliotrope, mit oder ohne Spalt.

1878	Socket.	Socket.	Tanahwoelan.	Tangsil.	Beser.	Poetri.	Djerangsapi.
		0° 0'	120° 15'	177° 14'	189° 45'	189° 58'	205° 21'
5 Juni	0° 2' 10'	0°,00	12°,40	40°,28	55°,55	56°,96	40°,79
6 u. 7 "	60 22 50	0,00	14,26	40,47	56,52	57,27	42,54
7 u. 8 "	120 45 20	0,00	15,29	40,94	55,28	57,18	41,04
8 "	50 12 55	0,00		41,58	54,44		59,64
9 "	90 55 15	0,00	15,55	41,11	54,95	56,06	59,55
10 "	150 55 45	0,00	15,52	40,45	54,82	56,88	40,65
8 u. 10 "	Tanahwoelan. 150 28 50		0,00		52,54	14,57	

RESULTATE.

		Azi- Corr. für Corrigirte			
		Höhe. math. Höhe.		Richtung.	
7	Socket	0° 0'	0°,00	132° -- 0°,32	0°,00 + (52)
5	Tanahwoelan	120 15	43,30	761 252 + 0,05	45,57 + (9)
2	Tangsil	177 14	40,65	239 309 -- 0,02	40,95 + (10)
6	Beser	189 45	35,23	1303 372 -- 0,13	35,42 + (11)
4	Poetri	189 58	56,84	976 322 -- 0,10	57,06 + (12)
1	Djerangsapi	205 21	40,63	230 337 -- 0,02	40,95 + (15)

4 POETRI.

Beobachter: Soeters. Instrument: (12 z.) Repsold.

Objectiv überall links und rechts. Auf allen Punkten Heliotrope, mit oder ohne Spalt.

1878	Djerangsapi.	Djerangsapi.	Socket.	Petjaloengan.	Tangsil.	Tanahwoelan.
		0° 0'	12° 47'	18° 7'	55° 47'	85° 16'
15 u. 14 Juni	0° 2' 25'	0°,00	49°,90	56°,47	0°,90	41°,48
15 "	60 25 10	0,00	50,15	55,87	1,26	42,78
15 u. 17 "	120 45 15	0,00	49,27	55,84	0,24	41,67
15 "	50 12 45	0,00		56,01	1,42	41,48
16 "	90 52 45	0,00		55,11	1,12	45,01
17 "	150 55 25	0,00	49,96	56,48	0,52	41,78
18 "	50 52 45	0,00	49,59			
" "	90 52 50	0,00	48,95			

RESULTATE.

		Azi- Corr. für Corrigirte			
		Höhe. math. Höhe.		Richtung.	
1	Djerangsapi	0° 0'	0°,00	125° -- 0°,02	0°,00 + (55)
7	Socket	12 47	49,64	2930 137 -- 0,32	49,54 + (14)
3	Petjaloengan	18 7	55,96	354 142 -- 0,05	55,95 + (15)
2	Tangsil	55 47	0,85	239 160 -- 0,02	0,88 + (16)
5	Tanahwoelan	85 16	92,03	761 295 + 0,07	92,12 + (17)

5 TANAHWOELAN.

Beobachter: Soeters. Instrument: (12 z.) Repsold.

Objectiv überall links und rechts. Auf allen Punkten Heliotrope mit oder ohne Spalt.

Objectiv überall links und rechts. Auf allen Punkten theodolite und barometer.									
		Bésér.		Poetri.	Djoerangsapi.	Petjaloengan.	Socket.		
1878				0° 0'	5° 58'	26° 56'	51° 6'	79° 10'	
29 Juni		0° 1' 25"	0',00	57',20	20',14	57',00			
1 Juli		60 22 10	0',00	57',76	20',64	58',60		55',17	
" "		120 42 55	0',00	57',40	20',95	59',00		55',10	
" "		0 1 20	0',00					55',02	
" "		50 11 45	0',00	56',65	19',18	58',52		52',08	
" "		90 52 55	0',00	57',21	20',44	58',45		55',95	
5 u. 6		150 55 20	0',00	57',52	20',74	58',06			
7 "		150 55 20	0',00					55',76	

RESULTATE.

		Azi- Höhe.	Corr. für muth. Höhe.	Corrigirte Richtung.	
6 Bésér	0° 0'	0°,00	1 303	21° + 0°,09	0',00 + (54)
4 Poetri	5 58	37',27	916	27 + 0°,05	57',26 + (18)
1 Djoerangsapi	26 56	20',35	230	45 + 0°,02	20',28 + (19)
3 Petjaloengan	51 6	38',50	534	72 + 0°,03	58',44 + (20)
7 Socket	79 10	53',15	2 950	109 - 0°,11	52',98 + (21)

6 BÉSÉR.

Beobachter: Soeters. Instrument: (12 z.) Repsold.

Objectiv überall links und rechts. Auf allen Punkten Heliotrope mit oder ohne Spalt.

Objectiv liberall links und rechts. Am anen Punkten Reindrop und aus dem P.							
1878	Djoerangsapi.	Djoerangsapi.	Socket.	Petja-loengan.	Tangsil.	Tanahwoelan.	
		0° 0'	9° 2'	15° 55'	26° 58'	75° 18'	
22 Juni	0° 1' 20"	0',00	51',80	5',54	52',85	54',18	
25 "	120 42 55	0',00	50',00	4',74	51',06	55',06	
24 "	50 11 55	0',00	50',76	4',61	51',70	54',48	
24 u. 26 "	90 52 20	0',00	50',54	4',51	52',44	55',54	
26 "	150 55 0	0',00	50',56	5',55	52',55	54',50	
" "	60 22 0	0',00	51',15	5',72	55',45	55',44	

RESULTATE.

		Azi- Höhe.	Corr. für muth. Höhe.	Corrigirte Richtung.	
1 Djoerangsapi	0° 0'	0°,00	230	125° - 0°,02	0',00 + (55)
7 Socket	9 2	30',00	2 950	137 - 0°,32	50',60 + (22)
3 Petjaloengan	15 55	4',38	531	112 - 0°,05	4',55 + (25)
2 Tangsil	26 58	32',84	230	131 - 0°,02	52',84 + (24)
5 Tanahwoelan	75 18	31',50	761	201 + 0°,03	54',87 + (25)

7 SOEKET.

Beobachter: Soeters. Instrument: (12 z.) Repsold.

Objectiv überall links und rechts. Auf allen Punkten Heliotrope mit oder ohne Spalt.

1878	Tanaowoan.	Tanaowoan.	Petjaloengan.	Poctri.	Besér.	Djoerangsapi.
		0° 0'	51° 40'	56° 18'	56° 55'	59° 57'
11 Juli	0° 1' 50"	0°,00	2°,01	52°,79	4°,40	28°,46
15 "	60 22 5	0°,00	2°,88	52°,58	4°,79	29°,41
15 u. 14 "	120 45 0	0°,00	5°,56	54°,04	5°,52	27°,76
14 "	50 11 45	0°,00	5°,69	55°,55	5°,81	29°,92
15 "	90 52 25	0°,00	5°,90	54°,14	4°,97	29°,65
15 u. 16 "	150 55 10	0°,00	5°,26	55°,67	5°,45	29°,04

RESULTATE.

		Azi- Corr. für Corrigirte		Höhe. unth. Höhe. Richtung.	
		Höhe.	unth.	Höhe.	Richtung.
5 Tanaowoan	0° 0'	0°,00	761	290°	0°,00 + (56)
3 Petjaloengan	51 40	5,22	354	312	0°,06 + (26)
4 Poetri	56 18	35,43	976	317	0°,10 55°,56 + (27)
6 Besér	56 55	5,13	1308	317	0°,13 5°,05 + (28)
1 Djoerangsapi	59 57	29,04	250	320	0°,02 29°,05 + (29)

Das ganze Basisnetz enthält 18 gegenseitig gemessene Richtungen, zwischen 7 Dreieckspunkten, es ergeben sich also 12 Winkel- und 7 Seitenungleichungen.

Dreieck 1 2 3.

$$\begin{aligned}
 1 &= 82^\circ 56' 2'',07 + (5) - (4) \\
 2 &= 68 56 58,10 + (8) - (7) \\
 3 &= 28 6 59,98 + (15) - (10)
 \end{aligned}$$

$$\begin{aligned}
 180^\circ + \epsilon &= 180 \quad 0 \quad 0,15 \\
 &= 180 \quad 0 \quad 0,127
 \end{aligned}$$

$$(I) \quad 0 = + \quad 0,025 - (1) + (5) - (7) + (8) - (10) + (15)$$

Dreieck 1 2 4.

$$\begin{aligned}
 1 &= 65^\circ 55' 17'',55 + (4) - (5) \\
 2 &= 80 59 41,51 + (7) - (6) \\
 4 &= 55 47 0,88 + (16) - (55)
 \end{aligned}$$

$$\begin{aligned}
 180^\circ + \epsilon &= 179 \quad 59 \quad 59,74 \\
 &= 180 \quad 0 \quad 0,098
 \end{aligned}$$

$$(II) \quad 0 = - \quad 0,558 - (5) + (4) - (6) + (7) + (16) - (55)$$

Dreieck 1 2 6.

$$\begin{array}{rcl} 1 & = & 67^{\circ} 52' 47''.60 + (5) - (5) \\ 2 & = & 85 48 59.69 + (7) - (51) \\ 6 & = & 26 58 52.84 + (24) - (55) \end{array}$$

$$\begin{array}{rcl} & 180 & 0 & 0.15 \\ 180^{\circ} + \varepsilon & = & 180 & 0 & 0.155 \end{array}$$

$$(III) \quad . \quad . \quad 0 = - 0.005 - (5) + (5) + (7) + (24) - (51) - (55)$$

Dreieck 1 3 4.

$$\begin{array}{rcl} 1 & 146^{\circ} 29' 19''.02 + (4) - (1) \\ 3 & 15 22 45.87 + (15) - (12) \\ 4 & 18 7 55.95 + (15) - (55) \end{array}$$

$$\begin{array}{rcl} & 179 & 59 & 59.42 \\ 180^{\circ} + \varepsilon & = & 180 & 0 & 0.120 \end{array}$$

$$(IV) \quad . \quad . \quad 0 = - 0.700 - (1) + (4) - (12) + (15) + (15) - (55)$$

Dreieck 1 3 5.

$$\begin{array}{rcl} 1 & = & 70^{\circ} 25' 45''.01 + (2) - (1) \\ 3 & = & 85 5 57.56 + (15) - (9) \\ 5 & = & 24 50 18.16 + (20) - (19) \end{array}$$

$$\begin{array}{rcl} & 180 & 0 & 0.55 \\ 180^{\circ} + \varepsilon & = & 180 & 0 & 0.576 \end{array}$$

$$(V) \quad . \quad . \quad 0 = - 0.046 - (1) + (2) - (9) + (15) - (19) + (20)$$

Dreieck 1 3 6.

$$\begin{array}{rcl} 1 & 150^{\circ} 28' 49''.67 + (5) - (1) \\ 3 & 15 58 5.51 + (15) - (11) \\ 6 & 15 55 4.55 + (25) - (55) \end{array}$$

$$\begin{array}{rcl} & 179 & 59 & 59.55 \\ 180^{\circ} + \varepsilon & = & 180 & 0 & 0.141 \end{array}$$

$$(VI) \quad . \quad . \quad 0 = - 0.614 - (1) + (5) - (11) + (15) + (25) - (55)$$

Dreieck 1 3 7.

$$\begin{array}{rcl} 1 & 17^{\circ} 4' 15''.56 + (1) - (50) \\ 3 & 154 58 19.07 + (52) - (15) \\ 7 & 8 17 25.86 + (29) - (26) \end{array}$$

$$\begin{array}{rcl} & 180 & 0 & 0.29 \\ 180^{\circ} + \varepsilon & = & 180 & 0 & 0.222 \end{array}$$

$$(VII) \quad . \quad . \quad 0 = + 0.068 + (1) - (15) - (26) + (29) - (50) + (52)$$

Dreieck 1 4 5.

1	76° 5'	54',61	+	(4)	—	(2)
4	85 16	42 ,12	+	(17)	—	(55)
5	20 57	45 ,02	+	(19)	—	(18)

$$180^\circ + \varepsilon = \begin{array}{r} 179 \ 59 \ 59 \ ,75 \\ 180 \ 0 \ 0 \ ,505 \end{array}$$

$$(VIII) \quad . \quad . \quad . \quad 0 = -0,755 = (2) + (4) + (17) - (18) + (19) - (55)$$

Dreieck 1 5 6.

1	80° 5'	4',66	+	(5)	—	(2)
5	26 56	20 ,28	+	(19)	—	(54)
6	75 18	54 ,87	+	(25)	—	(55)

$$180^\circ + \varepsilon = \begin{array}{r} 179 \ 59 \ 59 \ ,81 \\ 180 \ 0 \ 0 \ ,676 \end{array}$$

$$(IX) \quad . \quad . \quad . \quad 0 = -0,866 = (2) + (5) + (19) + (25) - (54) - (55)$$

Dreieck 1 5 7.

1	87° 28'	0',57	+	(2)	—	(50)
5	52 54	52 ,70	+	(21)	—	(19)
7	59 57	29 ,05	+	(29)	—	(56)

$$180^\circ + \varepsilon = \begin{array}{r} 180 \ 0 \ 2 \ ,12 \\ 180 \ 0 \ 1 \ ,815 \end{array}$$

$$(X) \quad . \quad . \quad . \quad 0 = +0,507 = (2) - (19) + (21) + (29) - (50) - (56)$$

Dreieck 4 5 7.

4	70° 28'	52',78	+	(17)	—	(14)
5	75 12	15 ,72	+	(21)	—	(18)
7	56 18	55 ,56	+	(27)	—	(56)

$$180^\circ + \varepsilon = \begin{array}{r} 180 \ 0 \ 1 \ ,86 \\ 180 \ 0 \ 2 \ ,156 \end{array}$$

$$(XI) \quad . \quad . \quad . \quad 0 = -0,276 = (14) + (17) - (18) + (21) + (27) - (56)$$

Dreieck 5 6 7.

5	79° 10'	52',98	+	(21)	—	(54)
6	64 16	4 ,27	+	(25)	—	(22)
7	56 35	5 ,05	+	(28)	—	(56)

$$180^\circ + \varepsilon = \begin{array}{r} 180 \ 0 \ 2 \ ,50 \\ 180 \ 0 \ 2 \ ,506 \end{array}$$

$$(XII) \quad . \quad . \quad . \quad 0 = -0,006 = (21) - (22) + (25) + (28) - (54) - (56)$$

Viereck 1 2 3 4.

$$\frac{\sin 124 \cdot \sin 143 \cdot \sin 132}{\sin 142 \cdot \sin 134 \cdot \sin 123} = 1.$$

1 2 4 = 80° 39' 41",51 + (7) — (6)	9,994 2057.5 + 5.4 { (7) — (6) }
1 4 2 = 55 47 0,88 + (16) — (55)	0,255 0482.5 + 29.2 { (55) — (16) }
1 4 3 = 18 7 55,95 + (15) — (55)	9,495 0544.5 + 64.5 { (15) — (55) }
1 3 4 = 15 22 45,87 + (15) — (12)	0,576 4260.6 + 76.6 { (12) — (15) }
1 3 2 = 28 6 59,98 + (15) — (10)	9,675 2685.2 + 59.4 { (15) — (10) }
1 2 3 = 68 56 58,10 + (8) — (7)	0,029 9954.4 + 8.1 { (7) — (8) }

9,999 9982.5

$$\text{XIII} \dots 0 \pm -177 - 34 (6) + 115 (7) - 81 (8) - 394 (10) + 766 (12) - 372 (13) + 643 (15) - 292 (16) - 331 (33)$$

Viereck 1 2 3 6.

$$\frac{\sin 126 \cdot \sin 163 \cdot \sin 132}{\sin 162 \cdot \sin 136 \cdot \sin 123} = 1.$$

1 2 6 = 85° 48' 59",69 + (7) — (51)	9,998 8582.5 + 1.5 { (7) — (51) }
1 6 2 = 26 58 52,84 + (24) — (55)	0,548 5155.7 + 42.0 { (55) — (24) }
1 6 3 = 15 55 4,55 + (25) — (55)	9,580 1499.6 + 85.2 { (25) — (55) }
1 3 6 = 15 58 5,51 + (15) — (11)	0,569 4518.1 + 75.5 { (11) — (15) }
1 3 2 = 28 6 59,98 + (15) — (10)	9,675 2685.2 + 59.4 { (15) — (10) }
1 2 3 = 68 56 58,10 + (8) — (7)	0,029 9954.4 + 8.1 { (7) — (8) }

9,999 9975.5

$$\text{XIV} \dots 0 = -265 + 56 (7) - 81 (8) - 394 (10) + 732 (11) - 359 (13) + 852 (23) - 429 (24) - 15 (31) - 432 (35)$$

Viereck 1 3 5 6.

$$\frac{\sin 365 \cdot \sin 153 \cdot \sin 316}{\sin 356 \cdot \sin 315 \cdot \sin 163} = 1.$$

3 6 5 = 59° 25' 50",52 + (25) — (25)	9,954 9856.5 + 12.5 { (25) — (25) }
3 5 6 = 51 6 58,44 + (20) — (54)	0,108 8195.5 + 17.0 { (54) — (20) }
1 5 3 = 24 50 18,16 + (20) — (19)	9,617 8108.2 + 46.1 { (20) — (19) }
3 1 5 = 70 25 45,01 + (2) — (1)	0,025 9558.4 + 7.5 { (1) — (2) }
3 1 6 = 150 28 49,67 + (5) — (1)	9,692 6004.5 + 57.2 { (1) — (5) }
1 6 3 = 15 55 4,55 + (25) — (55)	0,619 8500.4 + 85.2 { (55) — (25) }

0,000 0001.5

$$\text{XV} \dots 0 = 13 + 117 (1) - 75 (2) - 372 (3) - 461 (19) + 291 (20) - 577 (23) + 125 (25) + 170 (31) + 852 (35)$$

Viereck 1 3 4 5.

$$\frac{\sin 345 \cdot \sin 153 \cdot \sin 314}{\sin 354 \cdot \sin 315 \cdot \sin 143} = 1.$$

345	= 65°	8'	46",19	+	(17)	—	(15)	9,957 7906.0	+	9.7	{	(17)	—	(15)	}
354	= 45	8	1,18	+	(20)	—	(18)	0,149 5042.2	+	21.0	{	(18)	—	(20)	}
153	= 24	50	18,16	+	(20)	—	(19)	9,617 8108.2	+	46.1	{	(20)	—	(19)	}
315	= 70	25	45,01	+	(2)	—	(1)	0,025 9358.4	+	7.5	{	(1)	—	(2)	}
314	= 146	29	19,62	+	(4)	—	(1)	9,742 0179.1	+	51.8	{	(1)	—	(4)	}
143	= 18	7	55,95	+	(15)	—	(55)	0,506 9455.7	+	64.5	{	(55)	—	(15)	}

0,000 0029.6

$$\text{XVI.} \quad 0 = 296 + 393 (1) - 75 (2) - 318 (4) - 740 (15) + 97 (17) + 210 (18) - 461 (19) + 251 (20) + 643 (35)$$

Viereck 1 3 5 7.

$$\frac{\sin 157 \cdot \sin 173 \cdot \sin 135}{\sin 175 \cdot \sin 137 \cdot \sin 153} = 1.$$

157	= 52°	54'	52",70	+	(21)	—	(19)	9,899 9066.5	+	16.1	{	(21)	—	(19)	}
175	= 59	57	29,05	+	(29)	—	(56)	0,192 5115.8	+	25.1	{	(56)	—	(29)	}
173	= 8	17	25,86	+	(29)	—	(26)	9,158 9425.8	+	144.5	{	(29)	—	(26)	}
137	= 134	58	19,07	+	(32)	—	(13)	0,568 2255.7	+	44.4	{	(32)	—	(15)	}
135	= 85	5	57,56	+	(15)	—	(9)	9,998 4094.2	+	1.8	{	(15)	—	(9)	}
153	= 24	50	18,16	+	(20)	—	(19)	0,582 1891.8	+	46.1	{	(19)	—	(20)	}

0,999 9847.8

$$\text{XVII.} \quad 0 = -1522 - 18 (9) - 426 (13) + 300 (19) - 461 (30) + 161 (31) - 1445 (36) + 1194 (39) + 444 (52) + 251 (56)$$

Viereck 1 4 5 7.

$$\frac{\sin 517 \cdot \sin 475 \cdot \sin 145}{\sin 175 \cdot \sin 547 \cdot \sin 415} = 1.$$

517	= 87°	28'	0",57	+	(2)	—	(50)	9,999 5755.4	+	4.0	{	(2)	—	(50)	}
175	= 59	57	29,05	+	(29)	—	(56)	0,192 5115.8	+	25.1	{	(56)	—	(29)	}
475	= 56	18	55,56	+	(27)	—	(56)	9,772 4845.1	+	28.6	{	(27)	—	(56)	}
547	= 70	28	52,78	+	(17)	—	(14)	0,025 7056.2	+	7.5	{	(14)	—	(17)	}
145	= 85	16	42,12	+	(17)	—	(55)	9,997 0046.1	+	2.4	{	(17)	—	(55)	}
415	= 76	5	54,61	+	(4)	—	(2)	0,012 9208.0	+	5.2	{	(2)	—	(4)	}

0,000 0002.6

$$\text{XVIII.} \quad 0 = 26 + 62 (2) - 52 (4) + 75 (14) - 51 (17) + 296 (37) - 251 (39) - 10 (30) - 24 (33) - 35 (35)$$

Vireck 1 5 6 7.

$$\frac{\sin 517 \cdot \sin 576 \cdot \sin 561}{\sin 175 \cdot \sin 567 \cdot \sin 516} = 1.$$

517	=	87° 28	0',57	+	(2)	=	(50)	9,999 5755.4	+	1.0	{ (2) = (50) }
175	=	59 57	29,05	+	(29)	=	(56)	0,192 5115.8	+	25.1	{ (56) = (29) }
576	=	56 55	5,95	+	(28)	=	(56)	9,774 9156.4	+	28.4	{ (28) = (56) }
567	=	64 16	4,27	+	(25)	=	(22)	0,045 5554.4	+	10.2	{ (22) = (25) }
561	=	75 18	54,87	+	(25)	=	(55)	9,981 5070.7	+	6.5	{ (25) = (55) }
516	=	80 5	4,66	+	(5)	=	(2)	0,006 5559.2	+	5.6	{ (2) = (5) }
								9,999 9989.9			

$$\text{XIX} \dots = -101 + 46 (2) - 36 (5) + 102 (22) - 29 (25) + 284 (28) - 251 (29) - 10 (30) - 63 (36) - 33 (56)$$

Darstellung der Correctionen (50), (1), (2), (5) . . . durch die Correlaten I, II, III, . . .

$$\begin{aligned} (50) &= -\text{VII} - \text{X} - 10 \text{ XVIII} - 10 \text{ XIX} \\ (1) &= -\text{I} - \text{IV} - \text{V} - \text{VI} + \text{VII} + 447 \text{ XV} + 595 \text{ XVI} \\ (2) &= \text{V} - \text{VIII} - \text{IX} + \text{X} - 75 \text{ XV} - 75 \text{ XVI} + 62 \text{ XVIII} + 46 \text{ XIX} \\ (5) &= -\text{I} - \text{II} - \text{III} \\ (4) &= \text{II} + \text{IV} + \text{VIII} - 518 \text{ XVI} - 52 \text{ XVIII} \\ (5) &= \text{III} + \text{VI} + \text{IX} - 572 \text{ XV} - 56 \text{ XIX} \\ (51) &= -\text{III} - 15 \text{ XIV} \\ (6) &= -\text{II} - 54 \text{ XIII} \\ (7) &= -\text{I} + \text{II} + \text{III} + 115 \text{ XIII} + 96 \text{ XIV} \\ (8) &= -\text{I} - 81 \text{ XIII} - 81 \text{ XIV} \\ (52) &= \text{VII} + 444 \text{ XVII} \\ (9) &= -\text{V} - 18 \text{ XVII} \\ (10) &= -\text{I} - 594 \text{ XIII} - 594 \text{ XIV} \\ (11) &= -\text{VI} + 755 \text{ XIV} \\ (12) &= -\text{IV} + 766 \text{ XIII} \\ (15) &= \text{I} + \text{IV} + \text{V} + \text{VI} - \text{VII} - 572 \text{ XIII} - 559 \text{ XIV} - 426 \text{ XVII} \\ (55) &= -\text{II} - \text{IV} - \text{VIII} - 551 \text{ XIII} + 645 \text{ XVI} - 24 \text{ XVIII} \\ (14) &= -\text{XI} + 75 \text{ XVIII} \\ (15) &= \text{IV} + 645 \text{ XIII} - 740 \text{ XVI} \\ (16) &= \text{II} - 292 \text{ XIII} \\ (17) &= \text{VIII} + \text{XI} + 97 \text{ XVI} - 51 \text{ XVIII} \\ (54) &= -\text{IX} - \text{XII} + 170 \text{ XV} \\ (18) &= -\text{VIII} - \text{XI} + 210 \text{ XVI} \\ (19) &= -\text{V} + \text{VIII} + \text{IX} - \text{X} - 461 \text{ XV} - 461 \text{ XVI} + 500 \text{ XVII} \\ (20) &= \text{V} + 291 \text{ XV} + 251 \text{ XVI} - 461 \text{ XVII} \\ (21) &= \text{X} + \text{XI} + \text{XII} + 161 \text{ XVII} \\ (53) &= -\text{III} - \text{VI} - \text{IX} - 452 \text{ XIV} + 852 \text{ XV} - 65 \text{ XIX} \\ (22) &= -\text{XII} + 102 \text{ XIX} \\ (25) &= \text{VI} + 852 \text{ XIV} - 977 \text{ XV} \\ (24) &= \text{III} - 420 \text{ XIV} \\ (25) &= \text{IX} + \text{XII} + 125 \text{ XV} - 59 \text{ XIX} \end{aligned}$$

$$\begin{aligned}
(56) &= -X - XI - XII + 251 \text{ XVII} \quad 55 \text{ XVIII} \quad 55 \text{ XIX} \\
(26) &= -VII = 1445 \text{ XVII} \\
(27) &= XI + 286 \text{ XVIII} \\
(28) &= XII + 284 \text{ XIX} \\
(29) &= VII + X + 1194 \text{ XVII} - 251 \text{ XVIII} \quad 251 \text{ XIX}
\end{aligned}$$

VORBEREITUNG ZUR BERECHNUNG DES MITTLEREN FEHLERS DES BRIGGSCHEN
LOGARITHMUS DER SEITE SÉBER-SOEKET.

Das Verhältniss $\frac{\sin 67}{\sin 12}$ kann wieder auf verschiedene Art ausgedrückt werden; wir wählen einerseits

$$\frac{\sin 67}{\sin 12} = \frac{\sin 126 \cdot \sin 516 \cdot \sin 657}{\sin 162 \cdot \sin 156 \cdot \sin 576},$$

woraus abgeleitet wird

$$\begin{aligned}
\log \frac{\sin 67}{\sin 12} &= \text{Vorläufiger Werth} = 5,69 \text{ (2)} + 5,69 \text{ (5)} + 1,54 \text{ (7)} - 42,04 \text{ (19)} \\
&\quad + 4,05 \text{ (21)} - 41,97 \text{ (24)} \quad 28,40 \text{ (28)} - 1,54 \text{ (54)} + 58,01 \text{ (54)} \\
&\quad + 41,97 \text{ (55)} + 28,40 \text{ (56)} \\
&= \text{V. W.} \quad 1,54 \text{ I} + 1,54 \text{ II} - 77,17 \text{ III} + 58,55 \text{ V} - 58,28 \text{ VI} - 58,55 \text{ VIII} \\
&\quad 114,64 \text{ IX} + 45,98 \text{ X} \quad 24,57 \text{ XI} \quad 90,78 \text{ XII} + 177,40 \text{ XIII} \\
&\quad 552,70 \text{ XIV} + 60504,65 \text{ XV} + 19657,19 \text{ XVI} - 4854,77 \text{ XVII} \\
&\quad 1222,78 \text{ XVIII} \quad 11949,49 \text{ XIX};
\end{aligned}$$

und anderseits

$$\frac{\sin 67}{\sin 12} = \frac{\sin 124 \cdot \sin 145 \cdot \sin 517 \cdot \sin 657}{\sin 142 \cdot \sin 154 \cdot \sin 175 \cdot \sin 567},$$

woraus

$$\begin{aligned}
\log \frac{\sin 67}{\sin 12} &= \text{Vorläufiger Werth} + 0,95 \text{ (2)} - 5,46 \text{ (6)} + 5,46 \text{ (7)} - 29,21 \text{ (16)} \\
&\quad + 2,49 \text{ (17)} + 55,94 \text{ (18)} - 55,94 \text{ (19)} + 4,05 \text{ (21)} + 10,15 \text{ (22)} \\
&\quad 10,15 \text{ (25)} \quad 25,12 \text{ (29)} - 0,95 \text{ (50)} + 26,72 \text{ (55)} - 4,05 \text{ (54)} \\
&\quad + 25,12 \text{ (56)} \\
&= \text{V. W.} \quad 5,46 \text{ I} \quad 49,01 \text{ II} + 5,46 \text{ III} - 26,72 \text{ IV} + 56,87 \text{ V} \\
&\quad 24,19 \text{ VII} \quad 157,04 \text{ VIII} - 62,99 \text{ IX} + 11,59 \text{ X} - 74,54 \text{ XI} \\
&\quad - 57,56 \text{ XII} \quad 555,86 \text{ XIII} + 552,16 \text{ XIV} + 25764,74 \text{ XV} + 54888,48 \text{ XVI} \\
&\quad 59821,55 \text{ XVII} + 4724,61 \text{ XVIII} + 6959,59 \text{ XIX}.
\end{aligned}$$

Weiter finden wir

$$\begin{array}{ccc}
& \text{einerseits} & \text{anderseits} \\
(l) = & 8596,42 & 9558,18
\end{array}$$

so dass wir die folgenden Normal- und Endgleichungen erhalten:

	I	II	III	IV	V	VI	VII	VIII	IX	X	XI	XII
0,025 =	+ 6	- 2	- 2	+ 2	+ 2	+ 2	- 2	- 2	- 2	- 2	- 2	- 2
0,335 =		+ 6	+ 2	+ 2	- 2	- 2	- 2	+ 2	+ 2	- 2	- 2	- 2
0,903 =			+ 6	- 2	- 2	- 2	- 2	- 2	+ 2	- 2	- 2	- 2
0,700 =				+ 6	+ 2	+ 2	- 2	+ 2	- 2	+ 2	- 2	- 2
0,046 =					+ 6	+ 2	- 2	- 2	+ 2	- 2	- 2	- 2
0,611 =						+ 6	- 2	- 2	+ 2	- 2	- 2	- 2
0,068 =							+ 6	- 2	+ 2	- 2	- 2	- 2
0,735 =								+ 6	- 2	+ 2	- 2	- 2
0,566 =									+ 6	- 2	+ 2	- 2
0,307 =										+ 6	- 2	+ 2
0,276 =											+ 6	- 2
0,066 =												+ 6
177 =												
265 =												
15 =												
296 =												
1522 =												
26 =												
101 =												

EXP-

	I	II	III	IV	V	VI	VII	VIII	IX	X	XI	XII
0,025 =	+ 6	- 2,0	- 2,0	+ 2,0	+ 2,0	+ 2,0	- 2,0	- 2,0	- 2,0	- 2,0	- 2,0	- 2,0
0,33533 =		+ 5,3333	+ 1,3333	+ 2,6667	+ 0,6667	+ 0,6667	- 0,6667	+ 2,0	- 2,0	- 2,0	- 2,0	- 2,0
0,09225 =			+ 3,0	- 2,0	- 0,5	- 0,5	- 0,5	- 0,5	+ 2,0	- 2,0	- 2,0	- 2,0
0,5325 =				+ 4,0	+ 1,0	+ 1,0	+ 1,0	+ 1,0	- 2,0	+ 2,0	- 2,0	- 2,0
0,11492 =					+ 4,95	+ 0,75	- 0,95	- 2,15	+ 1,3333	+ 0,39393	- 2,0	- 2,0
0,30515 =						+ 3,63637	+ 0,66666	+ 0,1212	- 1,3333	+ 2,35353	- 2,0	- 2,0
0,19425 =							+ 4,66667	- 2,0	+ 1,0667	+ 2,35353	- 2,0	- 2,0
0,40800 =								+ 3,7333	+ 3,4286	- 0,7143	+ 0,3711	+ 2,0
0,55012 =										+ 3,58333	+ 2,41667	+ 2,1167
0,67204 =											+ 3,2923	+ 0,265
0,19775 =												+ 2,897
0,30992 =												
222 =												
161,5 =												
417,45 =												
169,90 =												
1619,20 =												
133,96 =												
298,56 =												

Die Auflösung dieser Endgleichungen giebt die Correlaten wie folgt:

I =	- 0,51285	Log.	9,49551n
II =	0,11972		9,07816n
III =	- 0,09647		8,98459n
IV =	0,20562		9,42426n
V =	- 0,11160		9,04766n
VI =	+ 0,95861		9,97249n
VII =	- 0,94067		9,97758n
VIII =	+ 0,27549		9,44010n
IX =	+ 0,56102		9,74898n
X =	+ 0,55390		9,74811n

GLEICHUNGEN.

XIII	XIV	XV	XVI	XVII	XVIII	XIX	λ_1	λ_2
174	142	147	393	426	—	—	1,54	3,46
206	96	—	961	—	25	—	1,54	49,01
115	125	1224	—	—	—	27	77,17	3,46
144	359	447	2094	426	25	—	—	26,72
372	359	290	244	1169	62	16	38,35	56,67
372	179	2645	393	426	—	27	38,25	—
372	359	447	393	3996	—	241	—	34,19
331	—	386	1160	300	141	241	35,35	137,94
—	432	1655	386	360	144	35	114,64	62,99
—	—	386	356	301	162	162	15,98	11,59
—	—	—	115	90	192	35	24,27	74,64
—	—	—	—	90	35	176	90,75	37,56
1325232	308385	0	701513	138472	8124	—	177,16	333,86
1956056	1900456	—	152951	—	—	27216	332,70	332,16
—	2365974	—	27941	1650	48609	60504,53	23764,74	23764,74
—	—	—	466558	251011	5493	19652,19	14885,48	14885,48
—	—	—	1551275	4254020	303479	307977	4834,77	39821,33
—	—	—	—	—	67105	—	1222,78	4724,61
—	—	—	—	—	161472	164152	11919,29	6059,39
—	—	—	—	—	—	—	9396,42	9355,19

GLEICHUNGEN.

XIII	XIV	XV	XVI	XVII	XVIII	XIX	λ_1	λ_2
174,0	142,0	147,0	393,0	426,0	—	—	1,54	3,46
130,0	15,67	149,0	1092,0	142,0	25,0	—	1,93	30,16
19,5	63,5	1335,75	142,0	106,5	7,0	27,0	77,94	14,85
161,8	356,0	272,5	1417,0	213,0	14,0	—	0,9017	9,49
294,45	240,1	597,0	851,55	948,55	68,5	43,3	16,32	62,925
257,64	301,88	1545,5	25,73	16,31	6,848	6,9394	5,98	6,4131
199,09	244,33	102,0	16,85	3101,17	234,33	228,83	0,2477	19,735
199,80	56,30	25,5	261,3	71,9	92,3	72,1	7,230	55,175
101,30	203,40	167,2	0,0	21,1	5,47	45,8	33,305	13,17
32,40	27,69	2,3	2,5	395,7	80,57	80,0	22,65	39,29
145,60	46,00	3,6	25,3	296,7	295,0	91,2	5,58	10,675
69,30	145,50	53,5	4,6	161,3	21,3	236,7	42,70	6,91
1441303	295352	106992	669757	33592	10445	11949	2335,33	5914,16
—	1790656	990129	33917	62412	3365	3732,92	3042,99	3042,99
—	—	584546	235532	218873	18837	25832	31112,59	13905,11
—	—	—	117943	65096	11577	3098	6515,20	21770,56
—	—	—	—	1771353	18736	155910	16201,75	2354,66
—	—	—	—	—	—	21022	562,06	2659,62
—	—	—	—	—	—	101233	6080,56	4637,23
—	—	—	—	—	—	—	1624	1622

$$XI = -0,145875$$

$$9,16598n$$

$$XII = -0,57774$$

$$9,57719n$$

$$XIII = -0,00025469$$

$$6,40001n$$

$$XIV = +0,00145819$$

$$7,15782$$

$$XV = +0,00247621$$

$$7,50579$$

$$XVI = -0,00028920$$

$$6,77026n$$

$$XVII = +0,00152698$$

$$7,12286$$

$$XVIII = +0,00098166$$

$$6,99196$$

$$XIX = +0,00294675$$

$$7,46954$$

und den mittleren Fehler von $\text{Lag} \frac{\sin 67}{\sin 12} = \mu \sqrt{1625} = 40,5 \mu$.

Weiter giebt die Substitution die untenstehenden Correctionen:

(50) = + 0',551	(15) = + 0',007
(1) = - 0',525	(16) = - 0',045
(2) = - 0',555	(17) = + 0',022
(5) = - 0',097	(54) = + 0',258
(4) = + 0',026	(18) = - 0',255
(5) = + 0',576	(19) = - 0',084
(51) = + 0',075	(20) = - 0',151
(6) = + 0',128	(21) = + 0',250
(7) = + 0',205	(55) = - 0',100
(8) = - 0',409	(22) = + 0',678
(52) = - 0',561	(25) = - 0',255
(9) = + 0',088	(24) = - 0',701
(10) = - 0',155	(25) = + 0',578
(11) = + 0',144	(56) = + 0',165
(12) = + 0',071	(26) = - 0',968
(15) = + 0',211	(27) = + 0',155
(55) = - 0',205	(28) = + 0',459
(14) = + 0',219	(29) = + 0',209

Während ich diese Arbeit für die Presse fertig machte, fand ich in der von dem verstorbenen Herrn Soeters fertig gemachten Richtungstabelle der Beobachtungen zu Bésir einen Schreibfehler. Die Richtung nach Tanahwoelan am 25 Juni soll nämlich heissen 56',06, also um 1' grösser als oben angegeben. Dadurch wird das ar. Mittel 0',17 grösser und dies kommt unserer Fehlertabelle zu Gunsten, denn der Fehler (25) wird von + 0',578 bis auf + 0',208 hermitgebracht. Erlauben wir uns diese Aenderung, so finden wir für den mittleren Fehler einer stationsweise ausgeglichenen Richtung

$$19 \mu^2 = [\epsilon^2] = 5,5764$$

$$\mu^2 = 0,1882$$

$$\mu = \pm 0',454$$

In Bezug auf die Basis wird also der mittlere Fehler der Seite Bésir-Sacket

$$= 40,5 \times \pm 0,454 = \pm 17,5 \text{ Einheiten der siebenten Decimalstelle}$$

§ 15. Ausgegichene Richtungen und Log. Sin. der Dreiecksseiten.

Punkt.	Richtung.	Log. Sin.	Seite.	Additament.
--------	-----------	-----------	--------	-------------

1 Djoerangsapi.

7 Socket	0° 0' 0", 55	4,472 0456,6	15,8
3 Petjaloengan	17 4 15 , 04	5,999 2280,7	1,8
5 Tanahwoelan	87 28 0 , 04	4,579 8270,7	10,2
2 Tangsil	100 0 17 , 55	5,702 4957,7	0,5
4 Poetri	165 35 55 , 01	5,929 7475,1	1,5
6 Bèsér	167 55 5 , 41	4,049 6481,4	2,5

2 Tangsil.

6 Bèsér	0° 0' 0", 075	4,016 5715,9	2,0
4 Poetri	5 8 58 , 51	5,887 5400,0	1,1
1 Djoerangsapi	85 48 59 , 89	5,702 4957,7	0,5
3 Petjaloengan	154 45 57 , 58	4,025 9150,1	2,1

3 Petjaloengan.

7 Socket	559° 59' 59", 64	4,507 9541,1	7,4
5 Tanahwoelan	120 15 45 , 06	4,555 4857,1	9,2
2 Tangsil	177 14 40 , 80	4,025 9150,1	2,1
6 Bèsér	189 45 55 , 56	4,511 6775,0	7,5
4 Poetri	189 58 57 , 15	4,248 1890,8	5,8
1 Djoerangsapi	205 21 41 , 14	5,999 2280,7	1,8

4 Poetri.

1 Djoerangsapi	559° 59' 59", 80	5,929 7475,1	1,5
7 Socket	12 47 49 , 56	4,578 4848,6	25,7
3 Petjaloengan	18 7 55 , 94	4,248 1890,8	5,8
2 Tangsil	55 47 0 , 855	5,887 5400,0	1,1
5 Tanahwoelan	85 16 42 , 14	4,569 9017,4	9,9

5 Tanahwoelan.

6 Bèsér	0° 0' 0", 24	4,591 9840,5	10,9
4 Poetri	5 58 57 , 01	4,566 9017,4	9,9
1 Djoerangsapi	26 56 20 , 20	4,579 8270,7	10,2
3 Petjaloengan	51 6 58 , 29	4,555 4857,1	9,2
7 Socket	79 10 55 , 25	4,571 7157,5	24,9

Punkt.	Richtung.	Log. Sin	Seite.	Additament.
--------	-----------	----------	--------	-------------

6 Bésér.

1	Djoerangsapi	559°	59'	59', 90	4,049 6481.4	2.5
7	Socket	9	2	51', 28	4,609 2811.7	29.6
3	Petjaloengan	15	55	4', 095	4,511 6775.0	7.5
2	Tangsil	26	58	52', 14	4,016 5715.9	2.0
5	Tanahwoelan	75	48	55', 25	4,591 9840.5	10.9

7 Socket.

5	Tanahwoelan	0°	0'	0', 165	4,571 7457.5	24.9
3	Petjaloengan	51	40	2', 22	4,507 9541.1	7.4
4	Poetri	56	48	55', 495	4,578 4848.6	25.7
6	Bésér	56	55	5', 51	4,609 2811.7	29.6
1	Djoerangsapi	59	57	29', 26	4,472 0456.6	15.8

NACHTRÄGE.

I. Verbesserung der Ausgleichung des ersten Basisnetzes von Simprak für die Höhe der Stationen über das Meeresniveau.

Bei der in § 5 enthaltenen Ausgleichung des Verbindungsnetzes zwischen der Basis von Simprak I IV und der Seite Poetri Salak, welche, kurz nachdem ich die Neuberechnung der Triangulation von Java übernommen hatte, ausgeführt wurde, war die Correction der Richtungen wegen der Höhen der anvisirten Stationen über das Meeresniveau vernachlässigt worden, und anfangs hatte ich nicht die Absicht, die Ausgleichung in dieser Hinsicht zu überarbeiten. Es kam mir aber später der Gedanke, dass die vernachlässigte Correction vielleicht einen nicht ganz unmerklichen Einfluss auf das Resultat, die Länge der Seite Poetri Salak, ausüben könnte.

Bei einem Azimuth des anvisirten Objects von $0^\circ, 90^\circ, 180^\circ$ und 270° ist die Correction für Höhe nämlich ≈ 0 , erreicht aber ihr Maximum in den zwischenliegenden Azimuthen von $45^\circ, 135^\circ, 225^\circ$ und 315° . Die höchsten Gipfel auf Java, der Snecroo, der Lawoe und der Slamut, erreichen eine Höhe von beinahe 3600 Metern, und so kann die Höhe-Correction auf dieser Insel $\pm 0''.38$ erreichen. Nun ist gerade im Dreiecke Mentjerré-Poetri-Salak das Azimuth der Station Salak, welche eine Höhe von 2210 Meter besitzt, von Mentjerré und Poetri aus $= 150^\circ 38'$ resp. $211^\circ 43'$; die Correction für M S war also negativ, für P S aber positiv; beide Correctionen gaben aber Verkleinerungen der Winkel PMS und MPS; zwar erleidet der Winkel am Salak derselben Ursache wegen eine Vergrößerung, diese riecht aber, der relativ geringeren Höhe der Stationen Mentjerré und Poetri wegen, nicht aus, um die gestörte Gleichheit der Winkelsumme mit 180° wieder herzustellen.

Da eine vorläufige Rechnung ergab, dass der Einfluss auf log. Poetri Salak einige Einheiten der 7^{ten} Decimalstelle betragen kann, unternahm ich die genaue Berechnung der Correctionen und ihres Einflusses. Indem für jede Beobachtungs-Station die sämmtlichen Correctionen mit der Correction für die Nullrichtung vermindert wurde, blieben noch Correctionen übrig, welche den früher angenommenen (1), (2) . . . entsprachen und welche ich (1)', (2)', . . . nannte. Die folgende Tabelle enthält die gefundenen Werthe:

Richtung.	Azimuth.	Höhe des anvisirten Objects in Metern.	Correction für Höhe.	Abgeleitet.	Nachträge, durch die Bedingungs- gleichungen gebildete Correctionen.
I IV.	$179^\circ 7'$	195	$0''.0006$		
„ Tjitjadas.	$236 25$	239	$+ 0''.0235$	(1)' $= + 0''.0241$	(1)' $= 0''.0031$
„ Boehoet.	$289 56$	260	$- 0''.0177$	(2)' $= - 0''.0171$	(2)' $= - 0''.0004$
IV I.	$359 7$	157	$- 0''.0005$		
„ Salak I.	$190 15$	2210	$+ 0''.0822$	(3)' $= + 0''.0827$	(3)' $= - 0''.0005$
„ Tjitjadas.	$257 0$	239	$+ 0''.0111$	(4)' $= + 0''.0116$	(4)' $= - 0''.0021$
„ Mentjerré.	$296 58$	590	$+ 0''.0507$	(5)' $= - 0''.0502$	(5)' $= - 0''.0158$
„ Boehoet.	$329 39$	260	$0''.0258$	(6)' $= 0''.0253$	(6)' $= - 0''.0037$

Richtung.	Azimuth.	Höhe des anvisirten Objects in Metern.	Correction für Höhe.	Abgeleitet.	Nachträgliche, durch die Bedingungs- gleichungen gebotene Correctionen.
Buehoet Poetri	72° 1'	190	+ 0'.0118		
" I	109 56	157	- 0'.0107	(7)' = - 0'.0225	(7)' = + 0'.0112
" IV	145 39	195	- 0'.0194	(8)' = - 0'.0312	(8)' = + 0'.0139
" Salak I	179 3	2210	- 0'.0078	(9)' = - 0'.0196	(9)' = + 0'.0104
" Tjitjadas	217 31	239	+ 0'.0216	(10)' = + 0'.0128	(10)' = + 0'.0174
" Mentjeré	285 27	590	- 0'.0222	(11)' = - 0'.0140	(11)' = + 0'.0296
Tjitjadas Mentjeré	321 26	590	- 0'.0612		
" Buehoet	37 31	260	+ 0'.0268	(12)' = + 0'.0880	(12)' = - 0'.0161
" I	56 25	157	+ 0'.0151	(13)' = + 0'.0760	(13)' = - 0'.0077
" Poetri	60 55	190	+ 0'.0172	(14)' = + 0'.0784	(14)' = - 0'.0221
" IV	77 0	195	+ 0'.0081	(15)' = + 0'.0703	(15)' = - 0'.0128
Mentjeré Poetri	80 53	190	+ 0'.0022		
" Hanchalang	103 45	625	- 0'.0002	(16)' = - 0'.0329	(16)' = + 0'.0066
" Buehoet	105 27	260	- 0'.0112	(17)' = - 0'.0164	(17)' = + 0'.0030
" IV	110 55	195	- 0'.0167	(18)' = - 0'.0180	(18)' = + 0'.0000
" Tjitjadas	141 26	239	- 0'.0248	(19)' = - 0'.0270	(19)' = - 0'.0016
" Salak I	150 38	2210	- 0'.0011	(20)' = - 0'.0033	(20)' = + 0'.0550
" Unikik Batavia	31 3	23	+ 0'.0021	(21)' = - 0'.0001	(21)' = + 0'.0080
Poetri Dago	283 36	180	- 0'.0000		
" Salak I	211 43	2210	+ 0'.0103	(22)' = + 0'.0195	(22)' = - 0'.0397
" Tjitjadas	240 55	239	- 0'.0216	(23)' = + 0'.0306	(23)' = + 0'.0197
" Buehoet	252 4	260	- 0'.0162	(24)' = + 0'.0252	(24)' = + 0'.0103
" Mentjeré	266 53	590	- 0'.0068	(25)' = - 0'.0158	(25)' = + 0'.0086
Salak I Poetri	51 43	190	+ 0'.0181		
" Sangaboewana	75 49	1291	+ 0'.0060	(26)' = - 0'.0179	(26)' = - 0'.0100
" Telaga	118 27	1082	- 0'.0050	(27)' = - 0'.0211	(27)' = - 0'.0100
" Mentjeré	330 38	590	+ 0'.0538	(28)' = - 0'.0719	(28)' = - 0'.0308
" Buehoet	359 3	260	- 0'.0000	(29)' = - 0'.0190	(29)' = - 0'.0131
" IV	10 15	195	+ 0'.0073	(30)' = - 0'.0108	(30)' = - 0'.0510

Wandte man aber die Correctionen (1)', (2)', . . . an, so wurde den Bedingungs-
gleichungen nicht mehr genügt und so mussten, auf genau denselben Wege wie früher die Correctionen (1), (2), . . . , neue Correctionen
(1)', (2)', . . . gesucht werden. Dazu mussten die Höhen-correctionen (1)', (2)', . . . in die früheren Bedingungs-
gleichungen, ohne Hinzufügung des constanten Gliedes, substituiert werden. Die kommenden Zahlen stellten
die constanten Glieder der auf 0 reduzierten neuen Normalgleichungen zwischen den Correlationen dar, welche selbst
aber ihre früheren Coefficienten behielten. Schreibt man die Gleichungen aber wie früher, so müsste das Vorzeichen
des constanten Gliedes umgekehrt werden, und so entstanden die nachstehenden ersten Theile der Normalgleichungen,
denen ich die daraus zunächst abgeleiteten ersten Theile der Endgleichungen beifüge:

ERSTE THEILE.

der Normalgleichungen

+ 0'.0005
- 0'.0062
- 0'.0106
+ 0'.0206
+ 0'.0004
+ 0'.0182
- 0'.0366
- 0'.0154
- 0'.0882
+ 0'.0149

der Endgleichungen

+ 0'.0005
- 0'.0064
- 0'.0140
+ 0'.0136
- 0'.0053
+ 0'.0250
- 0'.0204
- 0'.05085
- 0'.01676
+ 0'.0105

der Normalgleichungen	der Endgleichungen
- 1 ,09	- 0 ,415
+ 0 ,20	+ 0 ,57
+ 6 ,18	+ 2 ,71
- 0 ,34	- 0 ,57
- 0 ,24	+ 1 ,11

Für die Correlaten und ihre Logarithmen fand sich

I' = + 0,0046	Log . . . 7,6628
II' = - 0,0117	8,0680m
III' = + 0,0644	8,8089
IV' = - 0,0866	8,9375
V' = - 0,1064	9,0269n
VI' = - 0,1407	9,1752n
VII' = - 0,0797	8,9015n
VIII' = - 0,2630	9,4290n
IX' = - 0,0249	8,306n
X' = + 0,2251	9,3524
XI' = - 0,0001076	6,0318n
XII' = + 0,000863	6,936
XIII' = - 0,000764	6,883
XIV' = - 0,000363	6,569n
XV' = + 0,00052	6,711

und für die Correctionen (1)', (2)' . . . die bereits in der letzten Column der obenstehenden Tabelle mitgetheilten Zahlen.

Es waren früher an die durch die Stations-Ausgleichungen gefundenen Richtungen nur die Correctionen (1), (2) . . . angebracht; die auf diese Weise verbesserten Richtungen sind aber jetzt verfallen, weil noch die Correctionen (1)' + (1)', (2)' + (2)', . . . hinzukommen. Die neuen Richtungen thun ebenso wie die früheren, hier weggelassenen, den Bedingungsbedingungen vollkommen Genüge. Für die Berechnung der Seiten wurden die Winkel der Dreiecke mit $\frac{1}{2}$ vermindert, ferner die Logarithmen der Sinus (wie früher) zehnstellig aus Gellibrand's Trigonometria Britannica entlehnt, und die letzte Decimale vernachlässigt. Demgemäss wurden die untenstehenden Zahlen erhalten, denen wir noch den Einfluss, Δ , der Correction auf die Log. der Entfernungen hinzufügen, welche letztere auch noch mittels der Differenzen der log. Sin. für 1" controllirt wurden:

AUSGEGLICHENE RICHTUNGEN UND ENTFERNUNGEN DER DREIECKSPUNKTE.

				Log. Entfernung	Δ
Punkt I.					
Punkt IV	0"	0'	0",0000	3,589 6922.75	0.00
Tjittjodus	57	17	21 ,8368	4,033 8268.86	+ 0.68
Boelsoet	110	18	47 ,6237	3,565 6389.88	+ 0.80

Punkt IV.					
Punkt I	0"	0'	0",0000	3,589 6922.75	0.00
Salak I	191	8	9 ,6890	4,246 0162.26	- 9.28
Tjittjodus	237	52	31 ,9832	3,968 6321.04	+ 0.92
Mentjeré	297	47	33 ,6265	4,305 8936.29	+ 0.97
Boelsoet	326	31	39 ,2097	3,794 1600.52	+ 0.25

Boeboet.

Poetri	0°	0'	0",0000	4,272 7015.32	+	1.22
Punkt I	37	52	2 ,1723	3,565 0389.88	+	0.80
Punkt IV	73	34	54 ,4916	3,794 1600.52	+	0.25
Salak I	106	58	39 ,1656	4,351 8487.54	—	7.39
Tjitjadas	145	26	33 ,7374	3,959 9003.41	+	0.35
Mentjeré	213	23	21 ,4894	4,178 0215.09	+	1.26

Tjitjadas.

Mentjeré	0°	0'	0",0000	4,157 9674.89	+	0.44
Boeboet	76	4	50 ,3534	3,959 9003.41	+	0.35
Punkt I	94	58	53 ,4832	4,033 8268.86	+	0.80
Poetri	99	29	25 ,0378	4,427 3404.71	+	1.04
Punkt IV	115	34	3 ,4197	3,968 6321.04	+	0.92

Mentjeré.

Poetri	0°	0'	0",0000	4,510 1938.17	+	1.31
Hambalang	16	52	26 ,4923			
Boeboet	18	33	35 ,1651	4,178 0215.09	+	1.26
Punkt IV	30	1	2 ,4899	4,305 8936.29	+	0.97
Tjitjadas	54	31	57 ,3849	4,157 9674.89	+	0.44
Salak I	63	45	24 ,0372	4,482 8116.09	—	4.47
Uitkijk Batavia	304	10	57 ,8517			

Poetri.

Dago	0°	0'	0",0000			
Salak I	288	5	46 ,7480	4,521 2015.05	—	3.74
Tjitjadas	317	18	30 ,0241	4,127 3404.71	+	1.04
Boeboet	328	27	21 ,8500	4,272 7015.42	+	1.22
Mentjeré	343	17	8 ,5705	4,510 1938.17	+	1.31

Salak I.

Poetri	0°	0'	0",0000	4,521 2015.05	—	3.74
Saugaboewann I	43	56	21 ,9811			
Telaga	116	37	42 ,2429			
Mentjeré	298	56	43 ,6058	4,482 8116.09	—	4.47
Boeboet	327	20	13 ,2397	4,351 8487.54	—	7.39
Punkt IV	338	32	58 ,5428	4,246 0462.26	—	9.28

Liniär ist der gesuchte Einfluss auf die Seite Poetri Salak I = - 28,6 Millimeter oder $-\frac{1}{1161000}$ des Ganzen, d. h. auf die ganze Länge Java's etwa ein Meter.

Durch ein Versehen ist in diesem Bericht, S. 59, bei der Mittheilung der Log. Sin. der Seiten des Verbindungsnetzes von der secundären Seite Poetri-Salak mit der primären Seite Telaga-Saugaboewann I, schon der im obenstehenden abgeleitete Log. Sin. der Seite Poetri Salak I zu Grunde gelegt.

II. Ausgleichung des zweiten Basisnetzes von Simlak, indem die Richtung Salak I.—Sangaboewana I verworfen wird.

Jedem Leser muss die Correction der Richtung (I), S. 57, Salak I.—Sangaboewana I, ungesucht ihres kleinen Gewichtes, auffallend gross erscheinen sein. Ein Fehler von $4',161$ ist für ein Mittel aus sechs Sätzen mit einem 8 zölligen Universal-Instrument, etwas Unerhörtes. Derselbe entspricht, in der Entfernung von Salak I.—Sangaboewana I, 1,12 Meter. In diesem Falle ist die Möglichkeit nicht ausgeschlossen, dass der Heliotropist an der letztgenannten Station, wahrscheinlich ein Eingeborener, des einen oder anderen Beweggrundes wegen, nicht aus dem Pfeiler, sondern aus einem nebenliegenden Punkte heliotropt hat. Derartige Fälle sind vereinzelt auf Java vorgekommen; einmal sogar, als der Heliotropist während der Beobachtungen seinen Standpunkt änderte, bemerkte der Beobachter, Herr Metzger, es gleich selbst an der Ablesung des Instruments.

Als die Ausgleichung eben verrichtet war, stellte ich mich jedoch mit dem Resultat zufrieden, in dem ja eben die Correction $-4',161$ bestimmt war, jene Richtung zu einem plausiblen Werthe zurückzubringen; jetzt aber, nach der Vollendung der Rechnungen, erachtete ich es doch der Mühe werth zu untersuchen, welchen Einfluss ein völliges Verwerfen der gerügten Richtung auf das End-Resultat, den Log. Sin. Telags—Sangaboewana I, haben würde.

In den Dreiecken 125 und 157 werden dann die Winkel an 1 (Salak I) abgeleitet, und ihre Summe dem Winkel 217, S. 46, gleich gestellt. Die Winkelgleichungen I und II verfallen, und III, IV und V können also fortan I, II und III genannt werden.

Es wurde also abgeleitet:

$$512 = 43^\circ 56' 29",41 + (3) - (4) + (5) + (11) - (13),$$

$$517 = 72^\circ 41' 14",70 + (9) - (11) + (18) - (20);$$

es war aber gemessen

$$217 = 116^\circ 37' 42",47 + (2).$$

Wir erhalten also die Gleichung

$$IV \dots 0 = -1,67 + (2) - (3) + (4) - (5) + (9) + (13) - (18) + (20),$$

Die Gleichungen (VI), (VII) und (VIII) werden nun (V), (VI) und (VII).

Die mittlere dieser drei kann unverändert übernommen werden, die erste und letzte aber erleiden durch die geänderten Winkel 215 und 317 entsprechende Aenderungen. Es wird nämlich

$$\text{Log. Sin. } 215 = 9,84131168 + 21,8 + (3) - (4) + (5) + (11) - (13) \{,$$

$$\text{Comp. Log. Sin. } 317 = 0,02013518 + 6,5 - (9) + (11) - (18) + (20) \{,$$

und somit waren die anzuführenden Gleichungen die folgenden:

$$(I) \quad + (5) - (6) + (10) - (13) + (15) - (16) + 1,23 = 0$$

$$(II) \quad + (4) - (6) - (14) + (15) - (21) + (23) = 1,62 = 0$$

$$(III) \quad + (9) - (10) + (16) - (17) + (19) - (20) = 0,36 = 0$$

$$(IV) \quad + (2) - (3) + (4) - (5) - (9) + (13) - (18) + (20) - 1,67 = 0$$

$$(V) \quad + 181 (3) - 181 (4) + 34 (5) + 117 (6) - 65 (9) + 283 (11) - 218 (13) + 81 (15) + 93 (16) - 177 (17) - 172 (18) + 425 (19) - 253 (20) + 454 = 0$$

$$(VI) \quad + 132 (1) - 44 (5) - 88 (7) - 138 (10) + 780 (12) - 612 (13) - 316 (14) + 430 (15) - 81 (16) - 341 (21) + 982 (22) - 341 (23) + 1100 = 0$$

$$(VII) \quad - 288 (3) + 288 (4) - 262 (5) - 26 (7) + 761 (8) - 508 (11) + 780 (12) - 272 (13) - 1683 = 0$$

DARSTELLUNG DER CORRECTIONEN DURCH DIE CORRELATEN.

(1)	fällt weg.	
(2)	= IV	(Gewicht von (2) = $\frac{1}{2}$)
(3)	= - IV + 181 V - 288 VII	
(4)	= II + IV - 181 V + 132 VI + 288 VII	
(5)	= I - IV + 34 V - 44 VI - 262 VII	
(6)	= - I - II + 147 V	
(7)	= - 88 VI - 26 VII	
(8)	= 764 VII	
(9)	= III - IV - 65 V	
(10)	= I - III - 138 VI	
(11)	= 283 V - 508 VII	
(12)	= 780 VI + 780 VII	
(13)	= - I + IV - 218 V - 642 VI - 272 VII	
(14)	= - II - 346 VI	
(15)	= I + II + 84 V + 430 VI	
(16)	= - I + III + 93 V - 84 VI	
(17)	= - III - 177 V	
(18)	= - IV - 172 V	
(19)	= III + 425 V	
(20)	= - III + IV - 253 V	
(21)	= - II - 641 VI	
(22)	= + 982 VI	
(23)	= II - 341 VI	

NORMALGLEICHUNGEN.

	I	II	III	IV	V	VI	VII
- 1,23	± 6	± 2	- 2	- 2	± 96	± 974	± 10
+ 1,62		± 6	0	± 1	- 214	± 1208	± 288
+ 0,36			± 6	- 2	± 883	± 54	± 0
+ 1,67				± 10	± 630	± 466	± 506
- 454					± 511377	± 142876	± 197632
- 1160						± 2869870	± 834856
+ 1683							± 1759352

ENDGLEICHUNGEN.

	I	II	III	IV	V	VI	VII
- 1,23	± 6	± 2	- 2	- 2	± 96	± 974	± 10
+ 243		± 5,333	± 0,667	± 1,6667	± 270	± 883,33	± 284,67
+ 0,36075			± 5,25	- 2,875	± 949,5	± 268,25	± 32,25
+ 0,45927				± 7,2381	± 8,21	± 270,47	± 462,71
- 274,85					± 353329	± 124798	± 177752
+ 1106,93						± 2497620	± 867715
+ 1791,95							± 1323698

RESULTIRENDE WERTHE DER CORRELATE:

I =	-	0,27302	Log. . . .	9,49619n
II =	+	0,49871		9,69785
III =	-	0,075136		8,87585n
IV =	-	0,057488		8,75058n
V =	+	0,00022554		6,35323
VI =	-	0,00091354		6,96073n
VII =	+	0,00135384		7,13157

RESULTIRENDE WERTHE FÜR DIE VERBESSERUNGEN DER RICHTUNGEN.

Correction.	Frühere Ausgleichung.	Jetzige Ausgleichung.	Unterschied.	Correction.	Frühere Ausgleichung.	Jetzige Ausgleichung.	Unterschied.
	s. S. 57.				s. S. 57.		
(1) Gew. $\frac{1}{2}$	4",16	4",91	+ 0",75	(13)	+ 0",51	+ 0",39	- 0",12
(2) " $\frac{1}{2}$	0,57	0,17	- 0,40	(14)	- 0,15	- 0,18	- 0,03
(3)	0,14	0,29	+ 0,15	(15)	- 0,05	- 0,15	- 0,10
(4)	+ 0,28	0,67	+ 0,39	(16)	+ 0,16	+ 0,30	+ 0,14
(5)	- 0,22	0,52	+ 0,30	(17)	+ 0,01	+ 0,03	+ 0,02
(6)	- 0,10	0,19	+ 0,29	(18)	+ 0,04	+ 0,02	- 0,02
(7)	+ 0,04	0,04	0,00	(19)	+ 0,18	+ 0,02	- 0,16
(8)	- 0,80	1,03	+ 0,23	(20)	- 0,23	- 0,04	+ 0,19
(9)	- 0,07	0,03	- 0,10	(21)	+ 0,09	+ 0,00	- 0,09
(10)	+ 0,10	0,07	- 0,03	(22)	- 0,82	- 0,50	+ 0,32
(11)	0,80	0,62	- 0,18	(23)	+ 0,53	+ 0,81	+ 0,28
(12)	+ 0,26	0,34	+ 0,08				

Frühere Ausgleichung.

$$[\mu^2] = 8 \mu^2 = 6,17,$$

$$\mu^2 = 0,81,$$

$$\mu = 0,90.$$

Jetzige Ausgleichung.

$$[\mu^2] = 7 \mu^2 = 4,21,$$

$$\mu^2 = 0,60,$$

$$\mu = 0,77.$$

Der mittlere Fehler jeder Richtung wird also durch das Verwerfen der verdächtigen Richtung Salak I—Sangabowana I etwas verbessert, die Unterschiede zwischen den beiden Ausgleichungen sind aber doch überhaupt geringe. Wir finden nämlich für die Log. Sin. der Dreiecksseiten die folgenden Uebersumme der neuen Ausgleichung über die frühere:

Uebersumme.			Uebersumme.		
Seite.	in Einheiten der 7ten Decimalstelle des Log.	in Metern.	Seite.	in Einheiten der 7ten Decimalstelle des Log.	in Metern.
4 2	0,0	0	4 3	21,5	+ 0,20
6 3	+ 10,2	+ 0,13	4 8	+ 16,1	+ 0,14
4 7	+ 11,1	+ 0,11			
2 8	18,0	+ 0,14	3 6	+ 18,2	+ 0,14
2 3	+ 24,7	+ 0,22	3 7	+ 5,7	+ 0,08
2 6	+ 25,6	+ 0,19			
2 4	+ 9,3	+ 0,02	6 7	- 6,9	- 0,05
			6 8	+ 20,5	+ 0,28
3 4	- 0,8	- 0,00			

Die primäre Seite 3 7, Sangabowana I—Telsa, deren Bestimmung der Endzweck dieses Netzes war, wird also, durch die geänderte Ausgleichung, bei einer Länge von 59505 Metern, um 0,08 Meter, verlängert. Zusammen geben die im vorigen Nachtrage und die in diesem besprochenen Correctionen + 5,7 — 3,7 = + 2,0 Einheiten der siebenten Decimalstelle.

III. Vergleichung der Resultate der beiden Ausgleichungen des Basisnetzes von Tamsil.

Im Texte, S. 137, haben wir über diese beide Ausgleichungen bereits das Nöthige mitgetheilt. Wir werden uns also jetzt begnügen, die beiden Systeme der Resultate zur Vergleichung neben einander zu stellen.

Corr.	1 ^e Ausgleichung.		2 ^e Ausgleichung. (S. 150)	Unterschied 2 ^e —1 ^e Ausgleichung.	Corr.	1 ^e Ausgleichung.		2 ^e Ausgleichung. (S. 150)	Unterschied 2 ^e —1 ^e Ausgleichung.
	a	b				a	b		
(30)	0 ^o ,00	+ 0 ^o ,21	+ 0 ^o ,35	+ 0 ^o ,11	(34)	0 ^o ,00	+ 0 ^o ,15	+ 0 ^o ,24	+ 0 ^o ,09
(1)	— 0 ^o ,64	— 0 ^o ,60	— 0 ^o ,31	+ 0 ^o ,09	(18)	— 0 ^o ,28	— 0 ^o ,23	— 0 ^o ,25	— 0 ^o ,02
(2)	— 0 ^o ,39	— 0 ^o ,25	— 0 ^o ,33	— 0 ^o ,08	(19)	— 0 ^o ,14	+ 0 ^o ,01	— 0 ^o ,08	— 0 ^o ,09
(3)	— 0 ^o ,28	— 0 ^o ,04	— 0 ^o ,10	— 0 ^o ,06	(20)	— 0 ^o ,29	— 0 ^o ,24	— 0 ^o ,15	+ 0 ^o ,09
(4)	— 0 ^o ,15	+ 0 ^o ,09	+ 0 ^o ,03	— 0 ^o ,06	(21)	+ 0 ^o ,16	+ 0 ^o ,31	+ 0 ^o ,25	— 0 ^o ,06
(5)	+ 0 ^o ,11	+ 0 ^o ,35	+ 0 ^o ,38	+ 0 ^o ,03	(35)	0 ^o ,00	+ 0 ^o ,10	— 0 ^o ,10	— 0 ^o ,20
(6)	0 ^o ,00	— 0 ^o ,01	+ 0 ^o ,08	+ 0 ^o ,17	(22)	+ 0 ^o ,52	+ 0 ^o ,62	+ 0 ^o ,68	+ 0 ^o ,06
(11)	+ 0 ^o ,19	+ 0 ^o ,18	+ 0 ^o ,13	— 0 ^o ,05	(23)	— 0 ^o ,38	— 0 ^o ,28	— 0 ^o ,26	+ 0 ^o ,02
(7)	+ 0 ^o ,42	+ 0 ^o ,11	— 0 ^o ,21	— 0 ^o ,20	(24)	— 0 ^o ,81	— 0 ^o ,73	— 0 ^o ,70	+ 0 ^o ,04
(8)	— 0 ^o ,57	— 0 ^o ,58	+ 0 ^o ,41	+ 0 ^o ,17	(25)	+ 0 ^o ,20	+ 0 ^o ,30	+ 0 ^o ,38	+ 0 ^o ,08
(32)	0 ^o ,00	— 0 ^o ,16	— 0 ^o ,36	— 0 ^o ,20	(36)	0 ^o ,00	+ 0 ^o ,10	+ 0 ^o ,17	+ 0 ^o ,07
(9)	+ 0 ^o ,25	+ 0 ^o ,09	+ 0 ^o ,09	0 ^o ,00	(26)	— 0 ^o ,88	— 0 ^o ,78	— 0 ^o ,97	— 0 ^o ,19
(10)	— 0 ^o ,15	— 0 ^o ,31	— 0 ^o ,15	+ 0 ^o ,16	(27)	— 0 ^o ,03	+ 0 ^o ,07	+ 0 ^o ,13	+ 0 ^o ,06
(11)	+ 0 ^o ,21	+ 0 ^o ,05	+ 0 ^o ,14	+ 0 ^o ,09	(28)	+ 0 ^o ,34	+ 0 ^o ,34	+ 0 ^o ,46	+ 0 ^o ,12
(12)	+ 0 ^o ,19	+ 0 ^o ,03	+ 0 ^o ,07	+ 0 ^o ,01	(29)	+ 0 ^o ,15	+ 0 ^o ,25	+ 0 ^o ,21	— 0 ^o ,04
(13)	+ 0 ^o ,15	+ 0 ^o ,23	+ 0 ^o ,21	— 0 ^o ,08					
(33)	0 ^o ,00	— 0 ^o ,01	— 0 ^o ,20	— 0 ^o ,19					
(14)	— 0 ^o ,12	+ 0 ^o ,11	+ 0 ^o ,22	+ 0 ^o ,11					
(15)	+ 0 ^o ,05	— 0 ^o ,06	+ 0 ^o ,01	+ 0 ^o ,07					
(16)	— 0 ^o ,03	— 0 ^o ,04	— 0 ^o ,04	0 ^o ,00					
(17)	+ 0 ^o ,03	+ 0 ^o ,02	+ 0 ^o ,02	0 ^o ,00					

Die Columnen a enthält die erhaltenen Correctionen, die Columnen b dieselben, nachdem eine für jede Station constante Zahl hinzugefügt worden ist, damit die Summe der Correctionen = 0 werde. Der durchschnittliche Unterschied, ohne Berücksichtigung der Vorzeichen, ist noch nicht 0^o,09. Auf die primäre Seite 67, Bézér-Socket, hat die geänderte Ausgleichungsmethode zufälligerweise keinen Einfluss, ebenso wenig wie auf die secundäre Seite 56; nur die Seite 57, wurde, auf 37300 Meter, bei der zweiten Ausgleichung um 46 Millimeter d. h. 1,25 Millioitel kürzer gefunden, als bei der ersten.

IV. Die Fehler der Theilstriche auf den Glasplatten der Zinkstangen, sowohl der Messstangen als des Normalmeters.

Die Entdeckung, (1^o Abth. S. 18), dass an der Seite des Normalmeters, wo Stahl- und Zinkstange mit einander verbunden sind, bei uns der rechten Seite, die zwei Theilungsintervalle an beiden Seiten des Hauptstriches um etwa 5 μ von einander verschieden sind, war die Veranlassung, dass ich in den Jahren 1872 und 1873, mit Hülfe der in Batavia anwesenden Herren, Ingenieur Van Asperen, Assistent Woldringh und Assistent Flory, die Fehler aller besetzten Theilstriche, nicht nur des Normalmeters, sondern auch der Messstangen, zu bestimmen mich bestrehte.

Die Theilungsintervalle sollten überall = 100 μ sein, welcher Betrag auch dem Werthe einer Umdrehung der sämtlichen Mikrometerschrauben entsprach. Befand sich also das Objectiv eines Mikroskops auf der gehörigen

Entfernung von den Fäden, d. h. wäre der Gang der Mikrometerschraube = 0, und wären die Theilstriche auch fehlerfrei, so müßten, wenn eine Theilung unter dem Mikroskop lag, die Ablesungen, nach Einstellung des Doppelfadens auf die ganze Reihe der Theilstriche, alle gleich sein. Aus den Unterschieden aber der Ablesung des Haupt- und eines Seitenstriches musste nun, indem auf den Gang der Mikrometerschraube, und bei Mikroskop I auch auf das Glied 2^{ter} Ordnung, (1^{te} Abth. S. 21–23,) Rücksicht genommen wurde, zu dem Theilfehler dieses Seitenstriches geschlossen werden.

Der Gang wurde, wie erwähnt, (1^{te} Abth., S. 20, 21,) mittels der bekannten Länge der Chorde einer Gradtheilung eines Pistorch'schen Kreises bestimmt; wobei immer zehn auf einander folgende Grade benutzt, und die Anfangspunkte auf der Trommel jedesmal 10 Theile weiter genommen wurden.

Sobald die zu untersuchende Strecke einer Theilung symmetrisch in das Feld eines Mikroskops gebracht worden war, wurde der Doppelfaden von der einen Seite nach der anderen bewegt, auf jeden Theilstrich zweimal eingestellt und abgelesen. Alsdann wurde die Bewegung rückwärts wiederholt, so dass am Ende jeder Strich viermal abgelesen war. Immerhin wurde aber, auch bei dieser zweiten Reihe von Einstellungen, die Mikrometerschraube in derselben Richtung wie früher, rechts, d. h. gegen die Wirkung der Spiralfeder im Mikrometergehäuse gedreht, wie auch immer bei allen Ablesungen, nach an Universal-Instrumenten, die Gewohnheit war, und auch noch neuerlich (Astr. Nachr., Bd. 125, S. 358,) von Herrn Dr. Kuorre empfohlen worden ist; die Ablesung nahm dabei zu, und lief also in gleicher Richtung mit dem Hilde der unterliegenden Glastheilung, also nicht wie bei der Ablesung von Kreis-theilungen, wo die Richtung, in welcher die Theilung der Mikroskope zunimmt, derjenigen entgegengesetzt ist, in welcher die Randtheilung fortgeht.

Sodann wurde der Stützpunkt der Mikrometerschraube um 10 μ verstellt, und die Messung wiederholt, nachdem das Mikroskop gelöst, gehoben und aufs Neue auf die Theilung scharf eingestellt worden war. Die Ablesungen waren dann um etwa 10 μ grösser als früher; streng genommen war diese Versetzung, weil die Ablesungen auf alle Striche derselben Reihe alle nahe gleich waren, für die Elimination der periodischen Fehler der Schraube nicht unbedingt notwendig; sie wurde aber angeführt, damit die Umstände bei den Wiederholungen der Messung soviel wie möglich variirt würden.

Da die Trommel in 100 Theile getheilt war, (deren jeder einem Mikron entsprach,) so wurden zehn solche Messungen zu einer Bestimmung vereinigt. Die Correction eines Seitenstriches war nun offenbar

$$= \text{Ablesung Hauptstrich} - \text{Ablesung Seitenstrich},$$

welche Differenz noch sowohl für Gang, als, soweit die Messungen mit Mikroskop I angeführt waren, für das Glied zweiter Ordnung verbessert werden musste.

Behufs etwaiger späterer Benützung desselben Apparats erachte ich es nicht unangemessen hier die Resultate dieser Bestimmungen (im Sinne: Correction) mitzutheilen. Damit aber dieselben in Betreff ihrer Genauigkeit beurtheilt werden können, werde ich auch die einzelnen Satzmittel folgen lassen.

Der Beobachter stand immer an der Seite des Comparators, wo er die Karbel t, Fig. 27, und den Cylinder z, Fig. 26 der 1^{ten} Abth. (dritte Tafel links hatte; dann waren für ihn die Köpfe und Trommeln der Mikrometerschrauben stets links. Es versteht sich dass bei umgekehrter Stellung dieser Trommeln die Correctionen der Theilstriche ihr Vorzeichen ändern; nur einmal aber, (Theilung IIa am 19. November 1872, siehe unten die Tabelle), ist die Messung auf diese Art hewerkstelligt worden.

In Tafel XV findet man eine Abbildung der Theilungen, wie diese sich in den Mikroskopen zeigten, die Zahlen sind von mir hinzugefügt.

Ich urtheile es wohl von einigem Interesse, dass die Untersuchung der Theilungen mit beiden Mikroskopen des Comparators stattfand. Wollte man aber die Mikroskope nicht umwechseln, so konnte dies bei den Endtheilungen der langen Messungen nur geschehen, wenn der Mikroskopträger umgedreht wurde, sodass er dann, (s. 1^{te} Abth. S. 15 unten), mit der Rolle auf der Wange mit winkligem Querschnitt, mit den eingekerbten Füßen aber auf der platten Wange des Untertheils ruhte. Dann musste aber das zu benutzende Mikroskop um seine Achse gedreht werden, damit die Mikrometerschraubentrommel wieder links zu liegen käme.

BESTIMMUNG DES WERTHES EINER REVOLUTION DER MIKROMETERSCHRAUBEN, MITTELS
AUSMESSUNG EINES GRADES DER RANDTHEILUNG EINES
PATENTKREISES, (1e Abth., S. 21.)

MIKROSKOP 1.

Tag.	Benutzte Grade.	Beobachter.	1° der Kreises =	g (1e Abth., S. 31.)	
1 August 1872	0° — 10°	Oudemans	1089,15	1088,90	+ 0,00037
2 " "	10 — 20	"	1088,89		
7 " "	0 — 10	"	1088,68		
15 November "	0 — 10	Woldringh	1081,14	1081,39	+ 0,00732
" " "	10 — 20	"	1081,97		
26 " "	0 — 10	Van Asperen	1082,41		
3 December "	0 — 10	Woldringh	1080,04		
7 " "	0 — 10	Woldringh	1078,89	1079,42	+ 0,00915
9 " "	0 — 10	"	1079,51		
" " "	0 — 10	Oudemans	1079,86		
14 März 1873	0 — 10	Woldringh	1088,05	1087,78	+ 0,00139
15 " "	10 — 20	"	1088,39		
17 " "	0 — 10	"	1085,93		
" " "	20 — 30	Oudemans	1085,97		
21 " "	30 — 40	Flory	1088,17		
7 April "	0 — 10	Woldringh	1080,63		
9 " "	10 — 20	"	1087,91		

Bemerkung. Der Gang dieses Mikroskops hat sich wahrscheinlich Anfang November 1872 geändert, als der Mikroskopisch, bei den Vergleichen der erwähnten Messungen, (1e Abth., S. 45,) öfters herabgenommen wurde; dann war ein Stoss gegen das Objectiv, wodurch dieses den Absefaden näher kam, sehr leicht möglich. Auch am 6 December empfing dieses Objectiv wieder einen leichten Stoss, weshalb der Werth einer Revolution der Mikrometerschraube aufs Neue bestimmt wurde.

Als wir im Frühjahr 1873 zu der Bestimmung der Theilungsfehler der Stangen III und IV schritten, wurde erst das Objectiv wieder so weit herausgezogen, dass die Schraubenrevolution sehr nahe ihren Werth bekam. Die Formel welche angibt, um wieviel das Objectiv herausgezogen werden musste, wurde auf die folgende Art abgeleitet: Es sei e die Höhe eines Längsages der Mikrometerschraube:

d die Länge eines Theilungsintervalls, welchem ein Längsage der Mikrometerschraube entsprechen muss;
 r die Entfernung des Fadentraums von der Theilung, verändert mit der Entfernung der optischen Hauptpunkte des Objectivs;

x die Entfernung des Fadentraums von oberem Hauptpunkte des Objectivs;

y die Entfernung des unteren Hauptpunktes des Objectivs von der Theilung.

Man habe gefunden, dass ein Theilungsintervall in Mikroskop nicht e , sondern $(1-x)r$ entspricht, so hat man die nachstehenden genauen Gleichungen:

$$x + y = e \quad \dots \quad (1)$$

$$x : y = (1-x) r : d \quad \dots \quad (2)$$

$$\frac{1}{x + \Delta x} + \frac{1}{y - \Delta y} = \frac{1}{x} + \frac{1}{y} \quad \dots \quad (3)$$

$$x + \Delta x : y - \Delta y = r : d \quad \dots \quad (4)$$

Es handelt sich nun darum, aus diesen Gleichungen Δx abzuleiten, während x und y eliminiert werden, welche, wenn man das Mikroskop nicht ablesen will, nicht so leicht zu messen sind als e .

Aus (2) folgt:

$$\frac{1}{x} = \frac{(1-e)}{d} \cdot \frac{1}{x} \cdot \dots \quad (5)$$

Aus (4):

$$\frac{1}{y - \Delta y} = \frac{e}{d} \cdot \frac{1}{x + \Delta x} \cdot \dots \quad (6)$$

Aus (5), (6) und (3):

$$\left(1 + \frac{e}{d}\right) \cdot \frac{1}{x + \Delta x} = \left(1 + \frac{(1-e)e}{d}\right) \cdot \frac{1}{x} \cdot \dots \quad (7)$$

Aus (7):

$$1 + \frac{\Delta x}{x} = \frac{d + e}{d + (1-e)e}$$

Also:

$$\frac{\Delta x}{x} = \frac{e}{d + (1-e)e} \cdot \dots \quad (8)$$

Aus (1) und (2) folgt aber:

$$x = \frac{(1-e)e}{d + (1-e)e} \cdot \dots \quad (9)$$

Also, aus (8) und (9):

$$\Delta x = \left(\frac{e}{d + (1-e)e}\right)^2 (1-e) \cdot e \cdot \dots \quad (10)$$

Oder, wenn man die zweiten und höheren Potenzen von e vernachlässigt:

$$\Delta x = \left(\frac{e}{d}\right)^2 \cdot e \cdot \dots \quad (11)$$

Bei den Mikroskopen des Comparators fand ich $e = 0,205$ mm., d war 0,1 mm., $e = 219$ mm., also:

$$\Delta x = \left(\frac{0,205}{0,1}\right)^2 \cdot 219 \cdot e = 99 \cdot e.$$

Die Ausmessungen der Grade des Reflexionskreises von Pistor und Martins, von 7 und 9 December 1872, hatten für e , der Werth $\frac{1089,3}{1089,3} = 1079,42 \rightarrow + 0,00907$ gegeben; das Objectiv musste also um $\Delta x = 0,9$ mm. herausgeschoben werden

MIKROSKOP II.

Tage.	Benutzte Grade.	Beobachter.	1 ^o des Kreises =	$\frac{e}{1e \text{ Abh.}}$ S. 31.
9 August 1872	0 — 10	Weldrings	1089,96	1089,66 — 0,00033
10 „	10 — 20	„	1089,47	
„	0 — 10	„	1089,13	
26 November	0 — 10	„	1089,97	
„	0 — 10	Van Asperen	1089,21	
13 December	350 0	Oudemans	1089,02	
„	350 0	Van Asperen	1089,53	1089,72 — 0,00002
„	350 — 0	Weldrings	1089,92	
10 April 1873	10 — 20	Weldrings	1089,47	1089,72 — 0,00002
„	15 — 19	„	1089,17	
„	(und 20 — 25)	„	„	„

Beobachter.	1872.	Strich in der Mitte des Feldes.	Mikroskop.		26
Van Asperen.....	21 Sept.	18	1	Gefunden Corr. für Gang " 2 ^{ter} Ordnung	
Woldringh.....	" "	18	1	Gefunden Corr. für Gang " 2 ^{ter} Ordnung	
Oudemans.....	15 Nov.	20,5	1	Gefunden Corr. für Gang " 2 ^{ter} Ordnung	
Woldringh.....	16 "	18	1	Gefunden Corr. für Gang " 2 ^{ter} Ordnung	
Van Asperen.....	20 "	20,5	1	Gefunden Corr. für Gang " 2 ^{ter} Ordnung	
Woldringh.....	5 Dec.	20,5	1	Gefunden Corr. für Gang " 2 ^{ter} Ordnung	+ 9,50 - 8,05 + 1,25 + 0,21
Woldringh.....	7 "	20,5	1	Gefunden Corr. für Gang " 2 ^{ter} Ordnung	+ 11,29 - 10,07 + 1,01 + 0,21
Woldringh.....	10 "	18	1	Gefunden Corr. für Gang " 2 ^{ter} Ordnung	
Woldringh.....	11 "	18	1	Gefunden Corr. für Gang " 2 ^{ter} Ordnung	
Woldringh.....	11 "	18	11	Gefunden Corr. für Gang	
Van Asperen..... und Woldringh.....	12 "	18	11	Gefunden Corr. für Gang	
Van Asperen..... und Woldringh.....	13 "	21	11	Gefunden Corr. für Gang	+ 1,64 + 0,36 + 2,00
Oudemans.....	13 "	20,5	11	Gefunden Corr. für Gang	+ 1,60 + 0,36 + 1,96
Van Asperen.....	13 "	20,5	11	Gefunden Corr. für Gang	+ 2,18 + 0,36 + 2,54
Woldringh.....	13 "	20,5	11	Gefunden Corr. für Gang	+ 2,29 + 0,36 + 2,65
				Im Mittel:	+ 2,05

ZUG AUF DEN HAUPTSTRICH 15.

25	21	20	19	17
		$\begin{array}{r} + 2,06 \\ - 0,19 \\ + 0,00 \end{array} \left\{ + 1,96 \right.$		
$\begin{array}{r} + 9,79 \\ - 7,32 \\ + 0,35 \end{array} \left\{ + 2,82 \right.$		$\begin{array}{r} + 1,81 \\ - 0,19 \\ + 0,00 \end{array} \left\{ + 1,71 \right.$		
$\begin{array}{r} + 8,75 \\ - 7,32 \\ - 0,78 \end{array} \left\{ + 0,85 \right.$	$\begin{array}{r} + 5,69 \\ - 4,39 \\ - 0,01 \end{array} \left\{ + 1,29 \right.$	$\begin{array}{r} + 2,85 \\ - 3,66 \\ + 0,72 \end{array} \left\{ - 0,09 \right.$		
$\begin{array}{r} + 11,64 \\ - 7,32 \\ + 0,35 \end{array} \left\{ + 4,67 \right.$	$\begin{array}{r} + 6,14 \\ - 4,39 \\ + 0,71 \end{array} \left\{ + 2,46 \right.$	$\begin{array}{r} + 4,20 \\ - 3,66 \\ + 0,09 \end{array} \left\{ + 0,63 \right.$	$\begin{array}{r} + 4,50 \\ - 2,93 \\ + 0,15 \end{array} \left\{ + 1,72 \right.$	$\begin{array}{r} + 1,49 \\ - 1,46 \\ + 0,17 \end{array} \left\{ + 0,20 \right.$
	$\begin{array}{r} + 6,54 \\ - 4,39 \\ + 0,71 \end{array} \left\{ + 2,86 \right.$	$\begin{array}{r} + 4,20 \\ - 3,66 \\ + 0,72 \end{array} \left\{ + 1,26 \right.$	$\begin{array}{r} + 4,73 \\ - 2,93 \\ + 0,68 \end{array} \left\{ + 2,48 \right.$	$\begin{array}{r} + 1,81 \\ - 1,46 \\ + 0,46 \end{array} \left\{ + 0,81 \right.$
	$\begin{array}{r} + 5,02 \\ - 5,49 \\ + 0,71 \end{array} \left\{ + 1,14 \right.$	$\begin{array}{r} + 4,48 \\ - 3,66 \\ + 0,72 \end{array} \left\{ + 1,54 \right.$		
		$\begin{array}{r} + 4,03 \\ - 1,58 \\ + 0,72 \end{array} \left\{ + 0,17 \right.$		
		$\begin{array}{r} + 6,00 \\ - 4,58 \\ + 0,09 \end{array} \left\{ + 1,51 \right.$	$\begin{array}{r} + 5,67 \\ - 3,66 \\ + 0,15 \end{array} \left\{ + 2,16 \right.$	$\begin{array}{r} + 1,93 \\ - 1,83 \\ + 0,17 \end{array} \left\{ + 0,27 \right.$
		$\begin{array}{r} + 6,54 \\ - 4,58 \\ + 0,09 \end{array} \left\{ + 1,95 \right.$		
		$\begin{array}{r} - 1,10 \\ + 0,17 \end{array} \left\{ - 0,93 \right.$		
		$\begin{array}{r} + 0,43 \\ + 0,17 \end{array} \left\{ + 0,60 \right.$		
	$\begin{array}{r} + 2,11 \\ + 0,20 \end{array} \left\{ + 2,31 \right.$	$\begin{array}{r} + 0,81 \\ + 0,17 \end{array} \left\{ + 0,98 \right.$		
	$\begin{array}{r} + 2,57 \\ + 0,20 \end{array} \left\{ + 2,57 \right.$	$\begin{array}{r} + 1,22 \\ + 0,17 \end{array} \left\{ + 1,39 \right.$		
	$\begin{array}{r} + 2,32 \\ + 0,20 \end{array} \left\{ + 2,52 \right.$	$\begin{array}{r} + 1,34 \\ + 0,17 \end{array} \left\{ + 1,51 \right.$		
$\begin{array}{r} + 2,86 \end{array}$	$\begin{array}{r} + 2,16 \end{array}$	$\begin{array}{r} + 1,01 \end{array}$	$\begin{array}{r} + 2,12 \end{array}$	$\begin{array}{r} + 0,43 \end{array}$

IIa, IN BEZUG AUF DEN HAUPTSTRICH 15.

25	24	23	22	21
		$\begin{array}{r} + 6,58 \\ - 0,30 \\ + 1,09 \end{array} \left\{ \begin{array}{l} + 7,97 \\ + 7,97 \end{array} \right.$		
$\begin{array}{r} + 8,60 \\ - 7,32 \\ + 0,82 \end{array} \left\{ \begin{array}{l} + 2,10 \\ + 2,10 \end{array} \right.$		$\begin{array}{r} + 5,70 \\ - 0,30 \\ + 1,69 \end{array} \left\{ \begin{array}{l} + 7,09 \\ + 7,09 \end{array} \right.$		
$\begin{array}{r} + 8,84 \\ - 7,32 \\ + 0,82 \end{array} \left\{ \begin{array}{l} + 2,34 \\ + 2,34 \end{array} \right.$		$\begin{array}{r} + 11,16 \\ - 5,86 \\ + 1,00 \end{array} \left\{ \begin{array}{l} + 6,30 \\ + 6,30 \end{array} \right.$		$\begin{array}{r} + 8,71 \\ - 4,30 \\ + 0,72 \end{array} \left\{ \begin{array}{l} + 5,04 \\ + 5,04 \end{array} \right.$
$\begin{array}{r} + 11,37 \\ - 7,32 \\ + 1,39 \end{array} \left\{ \begin{array}{l} + 2,66 \\ + 2,66 \end{array} \right.$		$\begin{array}{r} + 11,47 \\ - 5,86 \\ + 1,00 \end{array} \left\{ \begin{array}{l} + 6,61 \\ + 6,61 \end{array} \right.$		$\begin{array}{r} + 9,58 \\ - 4,39 \\ + 0,72 \end{array} \left\{ \begin{array}{l} + 5,91 \\ + 5,91 \end{array} \right.$
$\begin{array}{r} + 11,37 \\ - 7,32 \\ + 1,39 \end{array} \left\{ \begin{array}{l} + 2,66 \\ + 2,66 \end{array} \right.$		$\begin{array}{r} - 13,89 \\ + 5,86 \\ + 1,21 \end{array} \left\{ \begin{array}{l} + 6,82 \\ + 6,82 \end{array} \right.$		$\begin{array}{r} - 11,10 \\ + 4,39 \\ + 0,94 \end{array} \left\{ \begin{array}{l} + 7,65 \\ + 7,65 \end{array} \right.$
+ 2,37	+ 2,40 (3)	+ 6,96	+ 7,25 (3)	+ 6,20

Vorzeichen der Correction umgekehrt werden.

(29 Beobh. 23 — 22 = 100,27 (12 Beobh.)
 10 100,23 (15 " Woldringh.)
 100,24 (10 " Oudemans.)

Mittel: 100,25
 Correction für Gang: + 0,04
 100,29

die Gewichte der beiden Resultate verhalten sich nämlich, wie wir weiter sehen werden, wie 28 : 10.

CORRECTIONEN DER STRICHE DER THEILUNG IIb, IN BEZUG AUF DEN HAUPTSTRICH 5.

Beobachter.	1872	Strich in der Mitte des Feldes	Mikro- skop		D	8
Woldringh.	6 Sept.	8	11	Gefunden Corr. für Gang	$\begin{array}{r} + 0,92 \\ + 0,13 \end{array} \left\{ \begin{array}{l} + 1,05 \\ + 1,05 \end{array} \right.$	$\begin{array}{r} + 0,20 \\ + 0,10 \end{array} \left\{ \begin{array}{l} + 0,30 \\ + 0,30 \end{array} \right.$
Oudemans.	7 "	8	11	Gefunden Corr. für Gang	$\begin{array}{r} + 0,74 \\ + 0,13 \end{array} \left\{ \begin{array}{l} + 0,87 \\ + 0,87 \end{array} \right.$	$\begin{array}{r} + 0,51 \\ + 0,10 \end{array} \left\{ \begin{array}{l} + 0,61 \\ + 0,61 \end{array} \right.$
Woldringh.	7 "	9	1	Gefunden Corr. für Gang " 2 ^{te} Ordnung	$\begin{array}{r} + 1,66 \\ + 0,12 \\ + 0,35 \end{array} \left\{ \begin{array}{l} + 1,86 \\ + 1,86 \end{array} \right.$	$\begin{array}{r} + 0,70 \\ + 0,11 \\ + 0,34 \end{array} \left\{ \begin{array}{l} + 0,93 \\ + 0,93 \end{array} \right.$
Oudemans.	" "	9	1	Gefunden Corr. für Gang " 2 ^{te} Ordnung	$\begin{array}{r} + 1,24 \\ + 0,15 \\ + 0,35 \end{array} \left\{ \begin{array}{l} + 1,44 \\ + 1,44 \end{array} \right.$	$\begin{array}{r} + 0,21 \\ + 0,11 \\ + 0,34 \end{array} \left\{ \begin{array}{l} + 0,44 \\ + 0,44 \end{array} \right.$
Im Mittel:					+ 1,20	+ 0,57

CORRECTIONEN DER STRICHE DER THEILUNG B.

Beobachter.	1872.	Strich in der Mitte des Feldes.	Mikroskop.		11	10
Van Asperen...	Sept.	12?	11	Gefunden Corr. für Gang	+ 0,82 } - 0,13 } + 0,69	
Woldringh...	Sept.	12	11	Gefunden Corr. für Gang	+ 0,82 } - 0,13 } + 0,72	
Oudemans...	14 Nov.	10	11	Gefunden Corr. für Gang	+ 0,42 } - 0,13 } + 0,29	- 0,73 } - 0,17 } - 0,90
Woldringh...	23 "	10	11	Gefunden Corr. für Gang	+ 0,68 } - 0,13 } + 0,55	- 0,98 } - 0,17 } - 1,15
Van Asperen...	23 "	10	11	Gefunden Corr. für Gang	+ 0,07 } - 0,13 } - 0,06	- 1,39 } - 0,17 } - 1,56
Im Mittel:					+ 0,44	- 1,21

CORRECTIONEN DER STRICHE DER THEILUNG B.

Beobachter.	1872.	Strich in der Mitte des Feldes.	Mikroskop.		11	10
Woldringh...	14 Sept.		11	Gefunden Corr. für Gang	- 1,48 } - 0,13 } - 1,61	- 1,16 } - 0,17 } - 1,33
Van Asperen...	16 "		11	Gefunden Corr. für Gang	- 1,42 } - 0,13 } - 1,55	- 1,20 } - 0,17 } - 1,37
Oudemans...	14 Nov.	10	11	Gefunden Corr. für Gang	- 0,23 } - 0,13 } - 0,36	- 0,65 } - 0,17 } - 0,82
Woldringh...	21 "	10	11	Gefunden Corr. für Gang	+ 0,04 } - 0,13 } - 0,09	- 0,03 } - 0,17 } - 0,20
Van Asperen...	21 "	10	11	Gefunden Corr. für Gang	- 0,14 } - 0,13 } - 0,27	+ 0,31 } - 0,17 } + 0,14
Van Asperen und Woldringh...	26 "		11	Gefunden Corr. für Gang	- 0,01 } - 0,13 } - 0,14	- 0,22 } - 0,17 } - 0,39
Im Mittel:					- 0,67	- 0,68

IN BEZUG AUF DEN HAUPTSTRICH 15.

9	8	7	6	5
$\begin{array}{r} + 1,13 \} + 0,93 \\ 0,20 \} \\ + 1,11 \} + 0,91 \\ 0,20 \} \\ + 0,85 \} + 0,63 \\ - 0,20 \} \\ \hline + 0,83 \end{array}$	$\begin{array}{r} + 0,12 \} - 0,11 \\ - 0,23 \} \\ - 0,16 \} - 0,39 \\ 0,23 \} \\ - 0,27 \} - 0,50 \\ - 0,23 \} \\ \hline - 0,33 \end{array}$	$\begin{array}{r} - 1,04 \} - 1,20 \\ 0,26 \} \\ - 1,22 \} - 1,48 \\ 0,26 \} \\ - 1,38 \} - 1,64 \\ - 0,26 \} \\ \hline - 1,47 \end{array}$	$\begin{array}{r} - 0,73 \} - 1,03 \\ - 0,30 \} \\ - 0,84 \} - 1,14 \\ - 0,30 \} \\ - 1,19 \} - 1,49 \\ - 0,30 \} \\ \hline - 1,22 \end{array}$	$\begin{array}{r} - 0,87 \} - 1,20 \\ - 0,33 \} \\ - 0,71 \} - 1,04 \\ - 0,33 \} \\ - 0,72 \} - 1,05 \\ - 0,33 \} \\ \hline - 1,10 \end{array}$

IN BEZUG AUF DEN HAUPTSTRICH 15.

9	8	7	6	5
$\begin{array}{r} 0,07 \} - 1,17 \\ 0,20 \} \\ 0,80 \} - 1,06 \\ 0,30 \} \\ 0,91 \} - 1,11 \\ 0,23 \} \\ \hline - 1,11 \end{array}$	$\begin{array}{r} - 1,68 \} - 1,91 \\ - 0,23 \} \\ - 1,41 \} - 1,64 \\ 0,23 \} \\ - 1,30 \} - 1,53 \\ 0,23 \} \\ \hline - 1,69 \end{array}$	$\begin{array}{r} - 1,31 \} - 1,57 \\ - 0,26 \} \\ 0,08 \} - 1,24 \\ 0,26 \} \\ 0,88 \} - 1,14 \\ 0,26 \} \\ \hline - 1,32 \end{array}$	$\begin{array}{r} - 1,29 \} - 1,59 \\ - 0,30 \} \\ - 1,26 \} - 1,66 \\ 0,30 \} \\ - 1,18 \} - 1,48 \\ 0,30 \} \\ \hline - 1,58 \end{array}$	$\begin{array}{r} - 0,56 \} - 0,89 \\ - 0,33 \} \\ - 0,17 \} - 0,50 \\ - 0,33 \} \\ + 0,12 \} - 0,21 \\ - 0,33 \} \\ \hline - 0,53 \end{array}$

CORRECTIONEN DER STRICHE DER THEILUNG

Beobachter.	1873	Strich in der Mitte des Feldes.	Mikro- skop.		17	16
Oudemans	1 März	14	1	Gefunden Corr. für Gang 2 ^{ter} Ordnung	+ 1,68 - 0,84 + 0,16	+ 0,19 - 0,72 + 0,26
Flory	20 "	14	1	Gefunden Corr. für Gang 2 ^{ter} Ordnung	+ 1,73 - 0,98 + 0,16	+ 0,74 - 0,81 + 0,26
Woldringh	7 u. 9 April	14	1	Gefunden Corr. für Gang 2 ^{ter} Ordnung	+ 2,23 - 0,98 + 0,16	+ 1,42 - 0,84 + 0,26
Flory	13 Februar	14	11	Gefunden Corr. für Gang	+ 2,65 - 0,80 + 0,16	+ 1,37 - 0,90 + 0,26
Oudemans	10 März	14	11	Gefunden Corr. für Gang	+ 1,54 - 0,80 + 0,16	+ 0,57 - 0,80 + 0,26
Woldringh	8 u. 10 April	14	11	Gefunden Corr. für Gang	+ 2,49 - 0,80 + 0,16	+ 1,81 - 0,90 + 0,26
Im Mittel:					+ 1,67	+ 0,75

(*) Dieser Strich war durch den Querstrich, welcher sich auf etwa 0,15 mm. von der Kante befindet, gebrochen, in Nä-

he auf das letzte Ende, nahe der Kante. Stellt man die Ablesefäden so ein, dass der obere und untere Theil symmetrisch zueinander theilstrichs scheint also etwas mehr als $\frac{1}{2}$ zu betragen.

CORRECTIONEN DER STRICHE DER THEILUNG

Beobachter	1873	Strich in der Mitte des Feldes	Mikro- skop.		17	16
Oudemans	27 Februar	14	1	Gefunden Corr. für Gang 2 ^{ter} Ordnung	+ 0,83 - 0,84 + 0,16	+ 0,87 - 0,72 + 0,26
Flory	21 "	14	1	Gefunden Corr. für Gang 2 ^{ter} Ordnung	+ 1,82 - 0,98 + 0,16	+ 1,68 - 0,81 + 0,26
Woldringh	7 u. 9 April	14	1	Gefunden Corr. für Gang 2 ^{ter} Ordnung	+ 0,90 - 0,98 + 0,16	+ 0,49 - 0,84 + 0,26
Flory	14 Februar	14	11	Gefunden Corr. für Gang	+ 1,50 - 0,80 + 0,16	+ 1,61 - 0,90 + 0,26
Oudemans	11 März	14	11	Gefunden Corr. für Gang	+ 0,44 - 0,80 + 0,16	+ 0,02 - 0,90 + 0,26
Woldringh	8 u. 10 April	14	11	Gefunden Corr. für Gang	+ 1,30 - 0,80 + 0,16	+ 0,85 - 0,90 + 0,26
Im Mittel:					+ 0,90	+ 0,74

IIIa, IN BEZUG AUF DEN HAUPTSTRICH 10.

15	14	13	12	11 (*)
$\begin{array}{r} + 1,61 \\ - 0,60 \\ + 0,32 \end{array} \left\{ \begin{array}{l} \\ \\ \end{array} \right. + 1,33$	$\begin{array}{r} + 1,72 \\ - 0,48 \\ + 0,35 \end{array} \left\{ \begin{array}{l} \\ \\ \end{array} \right. + 1,50$	$\begin{array}{r} - 0,16 \\ - 0,36 \\ + 0,34 \end{array} \left\{ \begin{array}{l} \\ \\ \end{array} \right. - 0,18$	$\begin{array}{r} - 0,33 \\ - 0,24 \\ + 0,28 \end{array} \left\{ \begin{array}{l} \\ \\ \end{array} \right. - 0,29$	$\begin{array}{r} - 0,44 \\ - 0,12 \\ + 0,17 \end{array} \left\{ \begin{array}{l} \\ \\ \end{array} \right. - 0,30$
$\begin{array}{r} + 2,01 \\ - 0,70 \\ + 0,32 \end{array} \left\{ \begin{array}{l} \\ \\ \end{array} \right. + 1,63$	$\begin{array}{r} + 1,54 \\ - 0,56 \\ + 0,35 \end{array} \left\{ \begin{array}{l} \\ \\ \end{array} \right. + 1,33$	$\begin{array}{r} - 0,43 \\ - 0,42 \\ + 0,34 \end{array} \left\{ \begin{array}{l} \\ \\ \end{array} \right. - 0,51$	$\begin{array}{r} - 0,34 \\ - 0,28 \\ + 0,28 \end{array} \left\{ \begin{array}{l} \\ \\ \end{array} \right. - 0,34$	$\begin{array}{r} + 0,28 \\ - 0,14 \\ + 0,17 \end{array} \left\{ \begin{array}{l} \\ \\ \end{array} \right. + 0,31$
$\begin{array}{r} + 2,15 \\ - 0,70 \\ + 0,32 \end{array} \left\{ \begin{array}{l} \\ \\ \end{array} \right. + 1,77$	$\begin{array}{r} + 1,97 \\ - 0,56 \\ + 0,35 \end{array} \left\{ \begin{array}{l} \\ \\ \end{array} \right. + 1,76$	$\begin{array}{r} - 0,55 \\ - 0,42 \\ + 0,34 \end{array} \left\{ \begin{array}{l} \\ \\ \end{array} \right. - 0,63$	$\begin{array}{r} - 0,57 \\ - 0,28 \\ + 0,28 \end{array} \left\{ \begin{array}{l} \\ \\ \end{array} \right. - 0,57$	$\begin{array}{r} - 0,47 \\ - 0,14 \\ + 0,17 \end{array} \left\{ \begin{array}{l} \\ \\ \end{array} \right. - 0,44$
$\begin{array}{r} + 2,61 \\ - 0,80 \\ + 0,32 \end{array} \left\{ \begin{array}{l} \\ \\ \end{array} \right. + 2,61$	$\begin{array}{r} + 1,96 \\ - 0,60 \\ + 0,35 \end{array} \left\{ \begin{array}{l} \\ \\ \end{array} \right. + 1,96$	$\begin{array}{r} + 0,63 \\ - 0,60 \\ + 0,34 \end{array} \left\{ \begin{array}{l} \\ \\ \end{array} \right. + 0,03$	$\begin{array}{r} - 0,22 \\ - 0,00 \\ + 0,34 \end{array} \left\{ \begin{array}{l} \\ \\ \end{array} \right. - 0,22$	$\begin{array}{r} - 0,23 \\ - 0,00 \\ + 0,17 \end{array} \left\{ \begin{array}{l} \\ \\ \end{array} \right. - 0,23$
$\begin{array}{r} + 1,76 \\ - 0,80 \\ + 0,32 \end{array} \left\{ \begin{array}{l} \\ \\ \end{array} \right. + 1,76$	$\begin{array}{r} + 0,96 \\ - 0,60 \\ + 0,35 \end{array} \left\{ \begin{array}{l} \\ \\ \end{array} \right. + 0,96$	$\begin{array}{r} - 0,78 \\ - 0,60 \\ + 0,34 \end{array} \left\{ \begin{array}{l} \\ \\ \end{array} \right. - 0,38$	$\begin{array}{r} - 0,61 \\ - 0,00 \\ + 0,34 \end{array} \left\{ \begin{array}{l} \\ \\ \end{array} \right. - 0,61$	$\begin{array}{r} + 0,17 \\ - 0,00 \\ + 0,17 \end{array} \left\{ \begin{array}{l} \\ \\ \end{array} \right. + 0,17$
$\begin{array}{r} + 2,06 \\ - 0,80 \\ + 0,32 \end{array} \left\{ \begin{array}{l} \\ \\ \end{array} \right. + 2,06$	$\begin{array}{r} + 2,10 \\ - 0,60 \\ + 0,35 \end{array} \left\{ \begin{array}{l} \\ \\ \end{array} \right. + 2,10$	$\begin{array}{r} + 0,01 \\ - 0,60 \\ + 0,34 \end{array} \left\{ \begin{array}{l} \\ \\ \end{array} \right. + 0,01$	$\begin{array}{r} - 0,18 \\ - 0,60 \\ + 0,34 \end{array} \left\{ \begin{array}{l} \\ \\ \end{array} \right. - 0,18$	$\begin{array}{r} - 0,43 \\ - 0,00 \\ + 0,17 \end{array} \left\{ \begin{array}{l} \\ \\ \end{array} \right. - 0,43$
$\begin{array}{r} + 1,86 \\ - 0,80 \\ + 0,32 \end{array} \left\{ \begin{array}{l} \\ \\ \end{array} \right. + 1,86$	$\begin{array}{r} + 1,62 \\ - 0,60 \\ + 0,35 \end{array} \left\{ \begin{array}{l} \\ \\ \end{array} \right. + 1,62$	$\begin{array}{r} - 0,28 \\ - 0,60 \\ + 0,34 \end{array} \left\{ \begin{array}{l} \\ \\ \end{array} \right. - 0,28$	$\begin{array}{r} - 0,37 \\ - 0,60 \\ + 0,34 \end{array} \left\{ \begin{array}{l} \\ \\ \end{array} \right. - 0,37$	$\begin{array}{r} - 0,17 \\ - 0,60 \\ + 0,17 \end{array} \left\{ \begin{array}{l} \\ \\ \end{array} \right. - 0,17$

skop ungefähr so:



; es scheint also dass dieser Querstrich vor den Theilstrichen gezogen worden ist. Die Correction bezieht sich

denselben kommen, so liest man, nach 5 von mir ausgeführten Messungen, 1 μ ,50 mehr ab. Die Distanz der beiden Theile desselben

IVa, IN BEZUG AUF DEN HAUPTSTRICH 10.

15	14	13	12	11
$\begin{array}{r} + 2,81 \\ - 0,60 \\ + 0,32 \end{array} \left\{ \begin{array}{l} \\ \\ \end{array} \right. - 2,53$	$\begin{array}{r} + 0,44 \\ - 0,48 \\ + 0,35 \end{array} \left\{ \begin{array}{l} \\ \\ \end{array} \right. + 0,31$	$\begin{array}{r} - 1,27 \\ - 0,36 \\ + 0,34 \end{array} \left\{ \begin{array}{l} \\ \\ \end{array} \right. - 1,29$	$\begin{array}{r} - 0,68 \\ - 0,24 \\ + 0,28 \end{array} \left\{ \begin{array}{l} \\ \\ \end{array} \right. - 0,64$	$\begin{array}{r} + 0,31 \\ - 0,12 \\ + 0,17 \end{array} \left\{ \begin{array}{l} \\ \\ \end{array} \right. + 0,36$
$\begin{array}{r} + 1,38 \\ - 0,70 \\ + 0,32 \end{array} \left\{ \begin{array}{l} \\ \\ \end{array} \right. + 1,63$	$\begin{array}{r} + 0,88 \\ - 0,56 \\ + 0,35 \end{array} \left\{ \begin{array}{l} \\ \\ \end{array} \right. + 0,67$	$\begin{array}{r} - 0,80 \\ - 0,42 \\ + 0,34 \end{array} \left\{ \begin{array}{l} \\ \\ \end{array} \right. - 0,88$	$\begin{array}{r} - 0,67 \\ - 0,28 \\ + 0,28 \end{array} \left\{ \begin{array}{l} \\ \\ \end{array} \right. - 0,67$	$\begin{array}{r} - 0,15 \\ - 0,11 \\ + 0,17 \end{array} \left\{ \begin{array}{l} \\ \\ \end{array} \right. - 0,12$
$\begin{array}{r} + 2,24 \\ - 0,70 \\ + 0,32 \end{array} \left\{ \begin{array}{l} \\ \\ \end{array} \right. + 1,86$	$\begin{array}{r} + 0,61 \\ - 0,56 \\ + 0,35 \end{array} \left\{ \begin{array}{l} \\ \\ \end{array} \right. + 0,40$	$\begin{array}{r} - 1,22 \\ - 0,42 \\ + 0,34 \end{array} \left\{ \begin{array}{l} \\ \\ \end{array} \right. - 1,30$	$\begin{array}{r} - 0,39 \\ - 0,28 \\ + 0,28 \end{array} \left\{ \begin{array}{l} \\ \\ \end{array} \right. - 0,39$	$\begin{array}{r} - 0,13 \\ - 0,14 \\ + 0,17 \end{array} \left\{ \begin{array}{l} \\ \\ \end{array} \right. - 0,10$
$\begin{array}{r} + 4,22 \\ - 0,80 \\ + 0,32 \end{array} \left\{ \begin{array}{l} \\ \\ \end{array} \right. + 4,22$	$\begin{array}{r} + 1,05 \\ - 0,60 \\ + 0,35 \end{array} \left\{ \begin{array}{l} \\ \\ \end{array} \right. + 1,05$	$\begin{array}{r} - 0,36 \\ - 0,60 \\ + 0,34 \end{array} \left\{ \begin{array}{l} \\ \\ \end{array} \right. - 0,36$	$\begin{array}{r} + 0,21 \\ - 0,60 \\ + 0,34 \end{array} \left\{ \begin{array}{l} \\ \\ \end{array} \right. + 0,21$	$\begin{array}{r} + 0,50 \\ - 0,60 \\ + 0,17 \end{array} \left\{ \begin{array}{l} \\ \\ \end{array} \right. + 0,50$
$\begin{array}{r} + 2,29 \\ - 0,80 \\ + 0,32 \end{array} \left\{ \begin{array}{l} \\ \\ \end{array} \right. + 2,29$	$\begin{array}{r} + 0,14 \\ - 0,60 \\ + 0,35 \end{array} \left\{ \begin{array}{l} \\ \\ \end{array} \right. + 0,14$	$\begin{array}{r} - 1,42 \\ - 0,60 \\ + 0,34 \end{array} \left\{ \begin{array}{l} \\ \\ \end{array} \right. - 1,42$	$\begin{array}{r} - 1,35 \\ - 0,60 \\ + 0,34 \end{array} \left\{ \begin{array}{l} \\ \\ \end{array} \right. - 1,35$	$\begin{array}{r} - 0,50 \\ - 0,60 \\ + 0,17 \end{array} \left\{ \begin{array}{l} \\ \\ \end{array} \right. - 0,50$
$\begin{array}{r} + 2,38 \\ - 0,80 \\ + 0,32 \end{array} \left\{ \begin{array}{l} \\ \\ \end{array} \right. + 2,38$	$\begin{array}{r} + 0,74 \\ - 0,60 \\ + 0,35 \end{array} \left\{ \begin{array}{l} \\ \\ \end{array} \right. + 0,74$	$\begin{array}{r} - 0,92 \\ - 0,60 \\ + 0,34 \end{array} \left\{ \begin{array}{l} \\ \\ \end{array} \right. - 0,92$	$\begin{array}{r} - 0,26 \\ - 0,60 \\ + 0,34 \end{array} \left\{ \begin{array}{l} \\ \\ \end{array} \right. - 0,26$	$\begin{array}{r} - 0,21 \\ - 0,60 \\ + 0,17 \end{array} \left\{ \begin{array}{l} \\ \\ \end{array} \right. - 0,21$
$\begin{array}{r} + 2,86 \\ - 0,80 \\ + 0,32 \end{array} \left\{ \begin{array}{l} \\ \\ \end{array} \right. + 2,86$	$\begin{array}{r} + 0,55 \\ - 0,60 \\ + 0,35 \end{array} \left\{ \begin{array}{l} \\ \\ \end{array} \right. + 0,55$	$\begin{array}{r} - 1,63 \\ - 0,60 \\ + 0,34 \end{array} \left\{ \begin{array}{l} \\ \\ \end{array} \right. - 1,63$	$\begin{array}{r} - 0,52 \\ - 0,60 \\ + 0,34 \end{array} \left\{ \begin{array}{l} \\ \\ \end{array} \right. - 0,52$	$\begin{array}{r} - 0,01 \\ - 0,60 \\ + 0,17 \end{array} \left\{ \begin{array}{l} \\ \\ \end{array} \right. - 0,01$

CORRECTIONEN DER STRICHE DER THEILUNG Na, d. h. DER LINKEN

Beobachter.	1872 — 1873	Strich in der Mitte des Feldes.	Mikro- skop.		18	17
Woldringh.....	31 August		11	Gefunden Corr. für Gang		
Oudemans.....	4 Septemb.	12	1	Gefunden Corr. für Gang " 2 ^{ter} Ordnung		
Woldringh.....	19 December		11	Gefunden Corr. für Gang		
Van Asperen....	" "		11	Gefunden Corr. für Gang		
Woldringh.....	18 März	14	1	Gefunden Corr. für Gang " 2 ^{ter} Ordnung	+ 2,04 — 1,11 + 0,93	+ 1,33 — 0,97 + 0,36
"	" "		11	Gefunden Corr. für Gang	+ 1,50 + 0,02	+ 0,84 + 0,01
Flory.....	19 März		11	Gefunden Corr. für Gang	+ 0,61 + 0,02	+ 0,07 + 0,01
"	" "	14	1	Gefunden Corr. für Gang " 2 ^{ter} Ordnung	+ 1,08 — 1,11 + 0,05	+ 1,23 — 0,97 + 0,26
Oudemans.....	22 "		11	Gefunden Corr. für Gang	+ 1,33 + 0,02	+ 0,46 + 0,01
"	" "	14	1	Gefunden Corr. für Gang " 2 ^{ter} Ordnung	+ 0,50 — 1,11 + 0,05	+ 0,40 — 0,97 + 0,16
Woldringh.....	7, 9 April	14	1	Gefunden Corr. für Gang " 2 ^{ter} Ordnung	+ 0,79 — 1,11 + 0,05	+ 0,16 — 0,97 + 0,16
"	8, 10 "		11	Gefunden Corr. für Gang	+ 0,76 + 0,02	+ 0,22 + 0,01
Im Mittel:					+ 0,67	+ 0,09

THEILUNG DES NORMALMETERS, IN BEZUG AUF DEN HAUPTSTRICH 10.

16	15	14	13	12	11
		$+ \begin{smallmatrix} 1,25 \\ 0,13 \end{smallmatrix} \} + 1,38$	$+ \begin{smallmatrix} 1,07 \\ 0,10 \end{smallmatrix} \} + 1,17$	$+ \begin{smallmatrix} 0,82 \\ 0,07 \end{smallmatrix} \} + 0,89$	$+ \begin{smallmatrix} 0,12 \\ 0,03 \end{smallmatrix} \} + 0,15$
		$+ \begin{smallmatrix} 0,90 \\ 0,15 \\ - 0,02 \end{smallmatrix} \} + 0,73$	$+ \begin{smallmatrix} 0,56 \\ 0,11 \\ + 0,01 \end{smallmatrix} \} + 0,59$	$+ \begin{smallmatrix} 0,81 \\ 0,07 \\ + 0,07 \end{smallmatrix} \} + 0,81$	$+ \begin{smallmatrix} 0,25 \\ 0,04 \\ + 0,06 \end{smallmatrix} \} + 0,27$
		$+ \begin{smallmatrix} 0,34 \\ 0,13 \end{smallmatrix} \} + 0,47$	$+ \begin{smallmatrix} 0,20 \\ 0,16 \end{smallmatrix} \} + 0,30$	$+ \begin{smallmatrix} 0,36 \\ 0,07 \end{smallmatrix} \} + 0,37$	$- \begin{smallmatrix} 0,32 \\ 0,03 \end{smallmatrix} \} - 0,29$
		$+ \begin{smallmatrix} 0,29 \\ 0,13 \end{smallmatrix} \} + 0,42$	$+ \begin{smallmatrix} 0,09 \\ 0,10 \end{smallmatrix} \} + 0,19$	$+ \begin{smallmatrix} 0,30 \\ 0,07 \end{smallmatrix} \} + 0,37$	$- \begin{smallmatrix} 0,53 \\ 0,03 \end{smallmatrix} \} - 0,50$
$+ \begin{smallmatrix} 1,19 \\ 0,83 \\ + 0,26 \end{smallmatrix} \} + 0,62$	$+ \begin{smallmatrix} 2,19 \\ 0,70 \\ + 0,32 \end{smallmatrix} \} + 1,81$				
$+ \begin{smallmatrix} 0,87 \\ 0,01 \end{smallmatrix} \} + 0,88$	$+ \begin{smallmatrix} 1,75 \\ 0,01 \end{smallmatrix} \} + 1,76$				
$+ \begin{smallmatrix} 0,96 \\ 0,01 \end{smallmatrix} \} + 0,97$	$+ \begin{smallmatrix} 1,18 \\ 0,01 \end{smallmatrix} \} + 1,19$	$+ \begin{smallmatrix} 0,03 \\ 0,01 \end{smallmatrix} \} + 0,04$			
$+ \begin{smallmatrix} 1,10 \\ 0,83 \\ + 0,26 \end{smallmatrix} \} + 0,53$	$+ \begin{smallmatrix} 2,07 \\ 0,70 \\ + 0,32 \end{smallmatrix} \} + 1,69$	$+ \begin{smallmatrix} 0,77 \\ 0,56 \\ + 0,25 \end{smallmatrix} \} + 0,56$			
$+ \begin{smallmatrix} 0,43 \\ 0,01 \end{smallmatrix} \} + 0,44$	$+ \begin{smallmatrix} 1,63 \\ 0,01 \end{smallmatrix} \} + 1,64$	$+ \begin{smallmatrix} 0,31 \\ 0,01 \end{smallmatrix} \} + 0,32$			
$- \begin{smallmatrix} 0,35 \\ 0,83 \\ + 0,26 \end{smallmatrix} \} - 0,02$	$+ \begin{smallmatrix} 0,91 \\ 0,70 \\ + 0,32 \end{smallmatrix} \} + 0,53$	$- \begin{smallmatrix} 0,28 \\ 0,56 \\ + 0,35 \end{smallmatrix} \} - 0,49$			
$+ \begin{smallmatrix} 0,21 \\ 0,83 \\ + 0,26 \end{smallmatrix} \} - 0,36$	$+ \begin{smallmatrix} 1,31 \\ 0,70 \\ + 0,32 \end{smallmatrix} \} + 0,93$	$+ \begin{smallmatrix} 0,02 \\ 0,56 \\ + 0,35 \end{smallmatrix} \} - 0,19$			
$+ \begin{smallmatrix} 0,16 \\ 0,01 \end{smallmatrix} \} + 0,17$	$+ \begin{smallmatrix} 1,18 \\ 0,01 \end{smallmatrix} \} + 1,19$	$- \begin{smallmatrix} 0,02 \\ 0,01 \end{smallmatrix} \} - 0,01$			
$+ 0,18$	$+ 0,36$	$+ 0,32$	$+ 0,56$	$+ 0,61$	$- 0,09$

CORRECTION DES STRICHES 4 DER THEILUNG He, IN BEZUG AUF DEN HAUPTSTRICH 5.

Beobachter.	1872.	Strich in der Mitte des Feldes.	Mikroskop.		4
Oudemans	7, 8 Sept.		11	Gefunden während der Vergleichung der Messstange 11 mit dem Normal, je 45 Beob. 1e Abth. S. 32—33.	— 0,47 + 0,03 } — 0,44
Woldringh					
Oudemans	8, 9 "		I		— 0,61 — 0,04 } — 0,65
Van Asperen					
Woldringh	16 "	3,5	11?	Je 10 Beobachtungen. Es war vernünftiger worden zu notiren, mit welchem Mikroskope gemessen wurde. Für ein Intervall kann der Gang aber vernachlässigt werden.	— 0,28
Van Asperen					
Woldringh	" "	3,5	11?		— 0,43

Im Mittel, mit Rücksicht auf die Anzahl der Beobachtungen: — 0,51

CORRECTIONEN DER STRICHE DER THEILUNG Hb, IN BEZUG AUF DEN HAUPTSTRICH 5.

Beobachter.	1872.	Strich in der Mitte des Feldes.	Mikroskop.		3.	Anzahl Beob.	2	Anzahl Beob.
Oudemans ...	9 Sept.	4	11	Gefunden — 1,43 Corr. für Gang + 0,07	— 1,50	10	— 0,95 — 0,10	11
"	10 "	4	1	Gefunden — 1,67 Corr. für Gang + 0,30 " 2 ^{ter} Ordng + 0,02	1,35	13	— 0,46 + 0,24 — 0,04	15
Van Asperen	14 "	4	1	Gefunden — 2,13 Corr. für Gang + 0,30 " 2 ^{ter} Ordng + 0,02	— 1,81	10	— 1,65 + 0,24 — 0,04	10
Woldringh ...	" "	4	11	Gefunden — 1,72 Corr. für Gang + 0,07	— 1,79	10	— 1,25 — 0,10	10

Im Mittel, mit Rücksicht auf die Anzahl Beobachtungen: — 1,50

— 0,94

CORRECTIONEN DER STRICHE DER THEILUNG Nb, d. h. DER RECHTEN SEITE DES NORMALMETERS, IN BEZUG AUF DEN HAUPTSTRICH 5.

Beobachter.	1872	Strich in der Mitte des Feldes.	Mikroskop.		6	4
Oudemans	28 Juli.	5	1	Gefunden — 2,72 Corr. für Gang + 0,04 " 2 ^{ter} Ordnung — 0,03	— 2,79	— 2,64 + 0,04 — 0,01
"	2 Aug.	5	1	Gefunden — 2,52 Corr. für Gang + 0,04 " 2 ^{ter} Ordnung — 0,03	— 2,50	— 2,18 + 0,04 — 0,01
Woldringh ...	6 "	5	11	Gefunden — 2,45 Corr. für Gang + 0,03	— 2,42	— 2,80 — 0,03
"	7 "	5	11	Gefunden — 2,59 Corr. für Gang + 0,03	— 2,56	— 2,64 — 0,03

Im Mittel: — 2,59

— 2,36

Die gefundenen Correctionen sind von ungleicher Genauigkeit. Erstens nimmt diese nothwendig mit wachsender Entfernung vom Hauptstrich ab, zweitens ist die Anzahl der Bestimmungen, deren jede, wie oben gesagt, in der Regel auf zehn Messungen beruhte, verschieden. Ich bin bestrebt gewesen, für jede gefundene Correction auch den mittleren Fehler zu ermitteln und glaube dies auf die unten zu erklärende Weise erreicht zu haben.

Obwohl bei jeder der zehn Messungen, welche zu einer Bestimmung eines Theilungsfehlers vereinigt wurden, die scharfe Einstellung des Mikroskops in den Brennpunkt erneuert wurde*, so wäre es doch ein Irrthum anzunehmen, dass der mittlere Fehler des Endwerthes einer Correction gefunden werde, indem man den mittleren Fehler einer einzigen Messung durch die Quadratwurzel aus der Anzahl der sämmtlichen an verschiedenen Tagen und von verschiedenen Beobachtern angestellten Messungen theilt. Es ergibt sich nämlich am deutlichsten, dass jeder Beobachter beim Einstellen, sowohl des Mikroskops in den Brennpunkt, als des Doppelfadens auf die Striche, seine eigenenthümliche Auffassung hat, und dass diese ausserdem bei einem und dem selben Beobachter an verschiedenen Tagen wechselt. Je gleichmässiger und schöner die Striche einer Theilung gezogen sind, je kleiner wird ohne Zweifel diese letzte Variabilität sein; Striche auf Glas sind aber selten so scharf als auf Metall** und je nachdem man auf den Boden oder auf die Ränder der Striche einstellt, hat man eine andere Focirung, und somit auch oft eine andere Ablesung.

Ich werde dennoch erst das Resultat mittheilen, welches ich für den mittleren Fehler einer einzelnen Messung eines Abstandes von s Theilungsintervallen (Zehntelmillimetern) vom Hauptstrich gefunden habe.

In diesem mittleren Fehler ist also die tägliche Verschiedenheit der Auffassungsweise nicht begriffen. Zunächst wurde durch Vergleichung der zehn erhaltenen Resultate, (nur ausnahmsweise war diese Zahl eine andere,) mit dem ar. Mittel, für jeden Abstand vom Hauptstrich, und für jeden Beobachter der mittlere Fehler abgeleitet. Derartigen ar. Mittel werden wir fortan immer, der Kürze halber, eine Bestimmung nennen. Es wurden hierzu, wegen der grossen Menge der Messungen, die ersten Potenzen der Fehler, ohne Rücksicht auf Vorzeichen, und also die einfachen Formeln

$$(s-1) M = [\pm e] \text{ und } m = 1,2533 M$$

benutzt.

Die Verschiedenheit der für die vier Beobachter erhaltenen Resultate war nicht so gross, dass dieselben nicht, für jeden Abstand, zu einem einzigen Resultate vereinigt werden könnten. Die acht ersten Abstände gaben nämlich durch einander für den mittl. Fehler von

$$\begin{array}{l} \text{Quidemann : } \pm 0,7503, \text{ van Asperen : } \pm 0,7536, \\ \text{Woldringh : } \pm 0,7566, \text{ und Flory : } \pm 0,7552. \end{array}$$

Hierauf wurde für jeden Abstand die für die verschiedenen Beobachter gefundenen Werthe von $(s-1) M$ zu einem Resultate vereinigt, hiernach der Werth von $(s-1) M^2$ abgeleitet, welche gleich $[s-1]s^2 + [s-1]s^2 s^2$ gesetzt wurde, und dann eine Formel von der Form

$$x^2 + s^2 y^2 = M^2$$

gesucht, welche den gefundenen Gleichungen am Besten genügte. Es wurde erst eine vorläufige Lösung vorgenommen, indem die für 1 bis 4 Theilungsintervalle geltenden Gleichungen, zu einer, jene von 5 bis 14 Theilungsintervallen zu einer zweiten Gleichung vereinigt wurden, so erhielt ich die zwei Gleichungen:

$$\begin{array}{l} 1313,5 \ x^2 + 10472,5 \ y^2 = 190,81 \\ 1338 \ x^2 + 82296 \ y^2 = 582,10 \end{array}$$

in welchen die Coefficienten des x^2 nahezu gleich gross waren. Die Lösung dieser Gleichungen gab:

$$\begin{array}{l} x^2 = 0,088 \ 584 \ 5 \\ y^2 = 0,003 \ 417 \ 74 \end{array}$$

* Hinterher ist es mir vorgekommen, dass in ähnlichen Fällen dieses wiederholte Fociren durch eine bessere Manier ersetzt werden kann, indem nämlich die Entfernung des Objectivs vom Object auf irgend eine Weise constant gehalten wird.

** Ich muss hier eine Ausnahme machen für die Theilungen auf Glas, welche die Firma Dumoulin-Fröment in Paris liefert. Die Sternwarte zu Utrecht besitzt einige Theilungen von dieser Firma, Millimetre in halber, und auch in Zehntelmillimetre, welche an Sauberkeit der Striche nichts zu wünschen übrig lassen.

Für die zweite Lösung wurden die Gewichte der zweiten Glieder der Gleichungen in Betracht gezogen, so dass die nunmehr zu lösenden Normalgleichungen die folgenden waren:

$$\begin{bmatrix} a \\ m^2 \end{bmatrix} x^2 + \begin{bmatrix} a^2 \\ m^2 \end{bmatrix} y^2 = \begin{bmatrix} a \\ m^2 \end{bmatrix},$$

$$\begin{bmatrix} a^2 \\ m^2 \end{bmatrix} x^2 + \begin{bmatrix} a^2 \\ m^2 \end{bmatrix} y^2 = \begin{bmatrix} a^2 \\ m^2 \end{bmatrix},$$

in welchen der Werth der m^2 nach der ersten Lösung genommen wurde, oder in Zahlen:

$$\begin{aligned} 131\,328\,x^2 + 1\,101\,635\,y^2 &= 19\,257, \\ 1\,101\,635\,x^2 + 32\,837\,615\,y^2 &= 274\,750, \end{aligned}$$

woraus

$$\begin{aligned} x^2 &= 0,106\,38, \\ y^2 &= 0,004\,798\,3. \end{aligned}$$

Mit diesen Werthen wurde $[p^2] = 129,1$, mit der vorläufigen 159,2, so dass die Rücksichtnahme auf die Gewichte das Resultat erheblich verbessert hat.

Indem s successive $= 1, 2, 3 \dots 14$ gesetzt wurde, erhielt ich für M^2 Werthe, deren Wurzel, multiplicirt mit 1,2533, in der letzten Column der antestehenden Tabelle vorkommt. Wenigleich die Rechnung überall mit drei Decimalstellen ausgeführt wurde, werden wir, der leichteren Uebersicht wegen, nur zwei angeben.

MITTLERER FEHLER EINER EINZIGEN MESSUNG DER ENTFERNUNG ZWEIER THEILSTRICHE
AUF DEN GLASPLATTEN DER ZINKSTANGEN, SOWOHL DER MESSSTANGEN ALS DES NORMAL-
METERS, MITTELS DER MIKROSKOPE DES COMPARATORS.

Abstand vom Hauptstrich. (Zähl- millimeter = x)	Divisor — $a = [x \frac{1}{2}]$				Mittlerer Fehler.							
	Onde-	van As-	Wal-	Flory,	Alle zusammen	Onde-	van As-	Wal-	Flory.	Alle zusammen.	Formel.	
	man.	peren.	dringh.			man.	peren.	dringh.				
1	168	112	231,5	38	589,5	0,16	0,18	0,11	0,24	0,15	0,42	
2	17,5	28,5	123,5	38	237,5	0,21	0,51	0,37	0,29	0,37	0,14	
3	93,5	28,5	133	38	293,0	0,11	0,10	0,11	0,11	0,11	0,18	
4	104,5	57	169,5	57	393,5	0,14	0,62	0,51	0,39	0,19	0,54	
5	94	65,5	202	57	414,0	0,52	0,65	0,60	0,73	0,61	0,60	
6	94	16,5	170	57	367,5	0,59	0,81	0,71	0,76	0,70	0,66	
7	85,5	19	128,5	57	290,0	0,64	1,27	0,87	0,81	0,81	0,73	
8	57	28,5	62	19	166,5	0,62	0,93	0,94	0,33	0,75	0,81	
9	28,5	19	19		66,5	0,74	1,23	1,14		1,00	0,88	
10	38	12,5	12,5		123,0	0,91	0,91	1,12		0,98	0,96	
11	8,5	13	32		53,5	0,51	0,73	0,96		0,83	1,01	
12	9,5	9,5	9,5		28,5	1,19	0,72	1,13		1,01	1,12	
13											1,20	
14	9,5	9,5	9,5		28,5	1,51	0,78	1,37		1,22	1,28	

Für den Fall, dass die Auffassung der schärfsten Bilder, in den Mikroskopen, von einem Beobachter zum andern, und für denselben Beobachter von einem Tage zum andern, nicht wechselte, würden die in der letzten Column enthaltenen Zahlen einfach durch 1:10 dividirt werden müssen, um den mittleren Fehler jeder Bestimmung zu erhalten: ein blosses Einsehen der S. 161 bis 174 gegebenen Tabellen reicht aber hin um zu zeigen, dass die mittleren Fehler der Bestimmungen viel grösser sind.

Um also die mittleren Fehler der Correctionen der Theilstriche zu ermitteln, wie diese in den Tabellen ge-

funden wurden sind, (indem aus allen Bestimmungen einfach das arithmetische Mittel genommen wurde,) musste ich also die oben mitgetheilte Rechnung bei Seite lassen, und nur die in den Tabellen mitgetheilten Zahlen verwerthen. Es konnte aber nur diejenigen Bestimmungen mit einander verglichen werden, welche mit demselben Werthe der Revolution der Mikrometerschraube reducirt waren. Und der mittlere Fehler des Mittels aus allen Bestimmungen musste uncthriglich noch der Unsicherheit wegen, welche den benutzten Werthen einer Schraubenrevolution immer noch anhangt, erh6ht werden.

Es sei nun, wie fr6her, α der Abstand eines Seitenstriehs vom Hauptstrie in Theilungsintervallen, d. h. Zehntelmillimetern, die Correction dieses Striches sei im Ganzen n Mal bestimmt, (jedemal durch 10 Messungen), und zwar $n_1, n_2, n_3, \dots, n_s, \dots$ Mal in der 1^{ten}, 2^{ten}, 3^{ten}, . . . ten . . . Gruppe, wozu der Werth einer Schraubenrevolution $p_1, p_2, p_3, \dots, p_s, \dots$ Mal bestimmt worden ist, so dass

$$u = u_1 + u_2 + u_3 + \dots + u_s + \dots = [u_s].$$

Man erinnere sich weiter, dass der mittlere Fehler einer Bestimmung des Werthes einer Schraubenrevolution $= \pm 0,05 \mu$ betr6gt, (1^{er} Abth. S. 23); nennt man dann m_s den mittleren Fehler einer Bestimmung einer Correction, so hat man f6r das Quadrat des m. Fehlers jedes Endwerthes einer Correction:

$$m_s^2 = \frac{m_s^2}{n} + \frac{1}{n} \left[\frac{\sigma_s^2}{p_s^2} \right] \times 0,0025 \mu^2 \\ = \frac{1}{n} \left\{ m_s^2 + \left[\frac{\sigma_s^2}{p_s^2} \right] \right\} \times 0,0025 \mu^2 \quad |$$

Es musste also erst m_s bestimmt werden. Wegen der kleineren Anzahl der in den Tabellen, S. 164 bis 174 enthaltenen Bestimmungen, wurde, nachdem die einzelnen Werthe mit dem Mittel aus jeder Gruppe verglichen waren, die Unterschiede nicht wie fr6her summirt, sondern quadrirt, und so f6r jede Gruppe die Gleichungen:

$$(n-1) m^2 = [\sigma^2]$$

abgeleitet. Alle derartigen Gleichungen, welche bei den verschiedenen Messungen, f6r denselben Abstand des Seitenstriehs vom Hauptstrie galten, wurden zu einer Gleichung vereiniget, und die s6mmlichen 13 erhaltenen Gleichungen *, auf 6hnliche Art, wie dies f6r die einzelnen Messungen geschehen war, gel6st. Die erste L6sung gab:

$$m_s^2 = 0,2274 \pm 0,003283 \mu^2, \text{ mit } [p_s^2] = 45,14;$$

die zweite, wobei die Gewichte in Betracht gezogen wurden:

$$m_s^2 = 0,196044 \pm 0,0015467 \mu^2, \text{ mit } [p_s^2] = 44,26^{**},$$

oder:

$$m_s = \pm (0,443)^{\pm} \pm (0,0394 \mu)^{\pm}.$$

Diese Formel giebt f6r m_s die folgende Tafel:

α	m_s	α	m_s
1	0,415	8	0,70
2	0,46	9	0,75
3	0,49	10	0,81
4	0,52	11	0,86
5	0,56	12	0,92
6	0,60	13	0,98
7	0,65	14	1,04

In der Tafel XV ist dieser Werth von m_s in Function von α durch eine Curve angedeutet, wie auch, zur Vergleichung, der schon oben besprochene, welche sich auf die einzelnen hieher einander ausgef6hrten Messungen

* Der Abstand = 13 Intervallen kam nicht vor, = 14 Intervallen wohl.

** Der Unterschied zwischen diesen Werthen ist deshalb geringer als fr6her, weil der 3^{te} Strich, der den gr6ssten Beitrag liefert, in beiden L6sungen denselben Werth f6r α giebt.

dasselben Tages bezieht, während eine dritte Curve die Ordinaten der zweiten: $\frac{1}{10}$ angiebt, welche den mittleren Fehler einer Bestimmung angeben würden, im Falle dass keine tägliche und persönliche Variation der Auffassung bestand.

Als Beispiel der Berechnung des mittleren Fehlers einer Correction wählen wir Strich 14 der Theilung Na, bei welcher die grösste Anzahl Gruppen vorkommt. Der Hauptstrich ist hier 10, also $x = 4$. Es sind im Ganzen $n = 10$ Bestimmungen in 4 Gruppen vorhanden, für diese hat man:

$$\begin{array}{ll} a_1 = 3 & p_1 = 7 \\ a_2 = 3 & p_2 = 2 \\ a_3 = 1 & p_3 = 3 \\ a_4 = 3 & p_4 = 8 \end{array}$$

Die Formel giebt also für diese Correction:

$$m^2 = \frac{1}{10} \left(\frac{3}{7} + \frac{3}{2} + \frac{1}{3} + \frac{3}{8} \right) \times 0,0400 + 0,2688 \frac{1}{1} = 0,0374 \text{ und } m = \pm 0,19$$

Wir werden nun eine Recapitulation der gefundenen Theilungsfehler, im Sinne Correction, und ihrer mittleren Fehler folgen lassen:

Ia, (Hauptstrich : 15)			Ib, (Hauptstrich : 5)			Ic, (Hauptstrich : 15)		
Strich	Corr.	M. F.	Strich	Corr.	M. F.	Strich	Corr.	M. F.
26	+ 2,05	± 0,42	8	- 0,585	± 0,35	11	- 0,44	± 0,24
25	+ 2,86	0,47				10	- 1,21	0,33
21	+ 2,16	0,265				9	- 0,83	0,36
20	+ 1,01	0,19				8	- 0,33	0,39
19	- 2,12	0,32				7	- 1,17	0,43
17	+ 0,43	0,27				6	- 1,22	0,46
						5	- 1,10	0,50

IIa, (Hauptstrich : 15) *			IIb, (Hauptstrich : 5)			IIc, (Hauptstrich : 15)		
Strich	Corr.	M. F.	Strich	Corr.	M. F.	Strich	Corr.	M. F.
29	- 1,83	± 0,70	9	- 1,30	± 0,28	11	- 0,67	± 0,24
27	- 2,56	0,51	8	- 0,57	± 0,25	10	- 0,68	0,27
25	- 2,37	0,53				9	- 1,11	0,36
24	- 2,40	0,40	IIc, (Hauptstrich : 3)			8	- 1,09	0,38
23	- 6,06	0,38	4	- 0,51	± 0,23	7	- 1,32	0,43
22	+ 7,25	0,40				6	- 1,38	0,46
21	- 6,20	0,38	IId, (Hauptstrich : 5)			5	- 0,53	0,50
			3	- 1,59	± 0,24			
			2	- 0,94	0,25			

* Diese Theilung war, einigermassen in Eile, von Herrn H. Olland in Utrecht angefertigt, als die vorige, von den Herren Repsold gelieferte, im Haarlemmermuseumpoker zerbrochen war; siehe S. 5 dieser Abtheilung.

IIIa, (Hauptstrich : 10)			IVa, (Hauptstrich : 10)			Na, (Hauptstrich : 10)		
Strich	Corr.	M. F.	Strich	Corr.	M. F.	Strich	Corr.	M. F.
17	+ 1,67	± 0,23	17	+ 0,60	± 0,33	18	+ 0,67	± 0,335
16	+ 0,75	0,30	16	+ 0,64	0,30	17	+ 0,00	0,30
15	+ 1,86	0,27	15	+ 2,88	0,27	16	+ 0,18	0,27
14	+ 1,62	0,24	14	+ 0,55	0,24	15	+ 1,36	0,24
13	+ 0,28	0,22	13	+ 1,03	0,22	14	+ 0,32	0,19
12	— 0,37	0,20	12	— 0,52	0,20	13	+ 0,36	0,23
11	— 0,17	0,185	11	0,01	0,185	12	+ 0,61	0,235
						11	— 0,00	0,225

IIIb, (Hauptstrich : 5)			IVb, (Hauptstrich : 5)			Nb, (Hauptstrich : 5)		
Strich	Corr.	M. F.	Strich	Corr.	M. F.	Strich	Corr.	M. F.
6	— 1,88	± 0,22	4	— 0,27	± 0,22	4	— 2,56	± 0,22
						6	— 2,38	0,22

Die Correction der Striche 6 von IIIb und 4 von IVb sind an der Ablesungen bei den Vergleichen der Messstangen mit den Normalmeter abgeleitet; wir haben ihnen einen mittleren Fehler wie der Correctionen der Striche 4 und 6 von Nb zugeschrieben.

Es erübrigt noch die Theilungsfehler zu besprechen einer neuen Theilung, welche vor der Basismessung bei Tausgil an die Stelle der beschädigten II₂ gesetzt worden war.

Hauptmann Helb hat im October 1881 die Theilungsfehler der Striche 5—11 dieser Theilung in Bezug auf den Hauptstrich 15 bestimmt. Während aber, wie aus dem Vorhergehenden bekannt ist, für die Bestimmung der Gänge der Mikrometerschrauben im den Jahren 1872 und 1873 die Grade eines getheilten Kreises verwendet wurden, benutzte Hauptmann Helb dazu zwei Theilstriche, deren Fehler schon früher von uns bestimmt worden waren, nämlich 10—16, resp. 11—17 vom Normal-links, Na, oder auch 21—27 der Theilung IIa. Er führte diese Gangbestimmung zweimal aus, nämlich sowohl vor, als nach der Bestimmung der Theilungsfehler. Er fand den Gang für Mikroskop II den kleinsten, und benutzte dieses also auch für die Bestimmung der Theilungsfehler. Ausserdem liess sich die Endtheilung II₂ doch am bequemsten mit dem rechten Mikroskop II bestimmen.

Die gefundenen Gänge waren

						g^1	
Vor;	Aus	Strich	10—16	Na	—	0,00008	
	"	"	11—17	"	+	0,00037	
	"	"	10—16	"	+	0,00077	
	"	"	11—17	"	+	0,00123	
						+	0,00057

Also + 0,0057 für eine Revolution.

Bei der Bestimmung der Gänge ist ausdrücklich in der Reinschrift der Messungen erwähnt, dass nach jedem Hin- und Zurückgang des Mikroskops, dieses aufs Neue gelöst und eingestellt wurde; bei der Bestimmung der Cor-

rectionen der Striche 5 bis 11 ist dies aber höchstwahrscheinlich nicht geschehen, denn die Summe der Abweichungen vom ar. Mittel, $[\pm \nu]$ sind nahezu gleich, (im Mittel 9,5 M = 2,64), während sie, wenn wirklich jedesmal neu focirt würde, für die grösseren Abstände vom Hauptstrich hätten zunehmen müssen.

Das vom Hauptmann Heib gefundene Resultat ist in der folgenden Tabelle enthalten.

CORRECTIONEN DER STRICHE DER THEILUNG He #. Hauptstrich 15.

Strich	Gefunden	Corr. für Gang.	Correction	M. Fehler
11	+ 2 ^m .61	+ 0 ^m .23	+ 2 ^m .84	± 0 ^m .54
10	+ 2 .80	+ 0 .29	+ 3 .09	0 .57
9	+ 4 .20	+ 0 .34	+ 4 .54	0 .62
8	+ 4 .70	+ 0 .40	+ 5 .10	0 .67
7	+ 4 .83	+ 0 .46	+ 5 .29	0 .73
6	+ 5 .38	+ 0 .51	+ 6 .10	0 .78
5	+ 6 .27	+ 0 .57	+ 6 .84	0 .84

Die letzte Columne ist berechnet worden, indem $n = 1$, $n_p = 1$, $p_p = 4$ genommen wurde; ich möchte diese mittleren Fehler nicht gern niedriger annehmen.

ERRATA.

S. 14. 4^e Colonne, Z. 7 v. u., fehlt des Vorzeichen +.

" 14, 7^e " " 1 v. u., steht - 1,13 statt + 1,13.

" 18, Z. 6 v. u., steht § statt § 4.

" 22, " 21, " M^e " [M^e].

" 22, 23, 24, " Mentjereh " Mentjereh.

" 34, Z. 8 und 1 v. u. fehlt das Vorzeichen +.

" 35, " 14 steht 0 — statt 0 =.

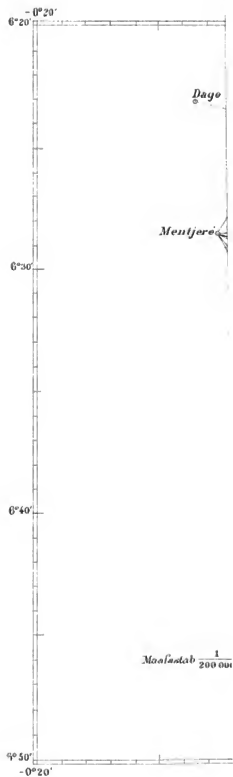
" 54, " 6, " 41° 56' " 43° 56'.

" 57, " 15, steht 1809 statt 1807.

" 59, § 9,

Der hier benutzte Log. Sin Poetri-Salak 1 ist um 375 Einheiten der siebenten Decimalstelle kleiner als er nach S. 43, Z. 8 sein sollte; siehe hierüber den Schluss des ersten Nachtrages.

" 73, Z. 9,	steht	werthe	statt	Werthe
" 92, " 25,	"	(23) — (23)	"	(25) — (23).
" 114, " 1,	"	Abth.	"	Abth.
" 147, " 7,	"	SÉBÈR.	"	BÉSÈR.



afel VIII.

$+0^{\circ}30'$
 $-0^{\circ}20'$

$6^{\circ}30'$

vanaf

$6^{\circ}40'$

$6^{\circ}50'$

$7^{\circ}0'$

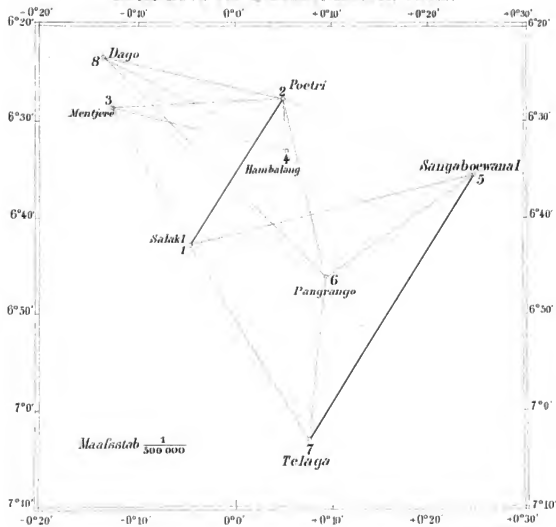
$7^{\circ}10'$

$+0^{\circ}30'$

rection
vom
foeirt

diese

BASIS-NETZ VON SIMPLAK. ZWEITER THEIL. *Tafel VIII.*





"38"

‘S’

9°

• • •

1

5

•

5-

32

7'

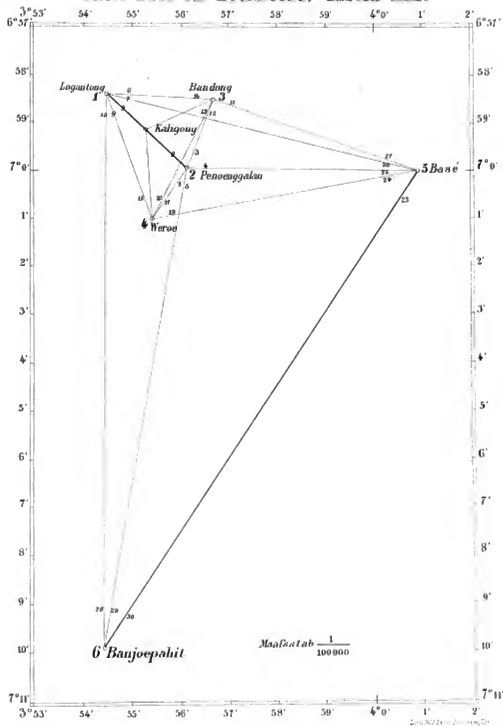
8.

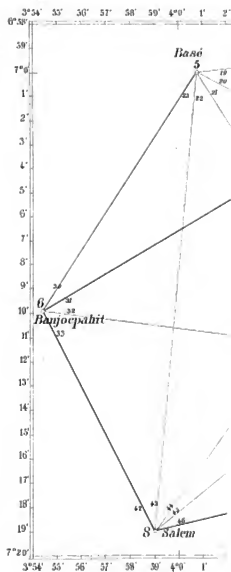
9.

 10^4

7111

BASIS-NETZ VON LOGANTONG, ERSTER THEIL.





gail.

11 134

PLAN
des Basisterrains
bei **TANGSIL**,
aufgenommen
vom Assistenten:

A. de Vetter.

Maafsstab $\frac{1}{20000}$.

(März 1878)



Kampong od Dorf.



Wald.



Regierung's Kaffeepflanzung



Sawah od Reisfeld, dessen
Bepflanzung nicht von Regen
abhängig ist.



Tegal od Ackerland, dessen
Bepflanzung von Regen abhängig ist.



Todtenacker.



Hauptstrasse



Landweg



Wasserleitung



Fluss

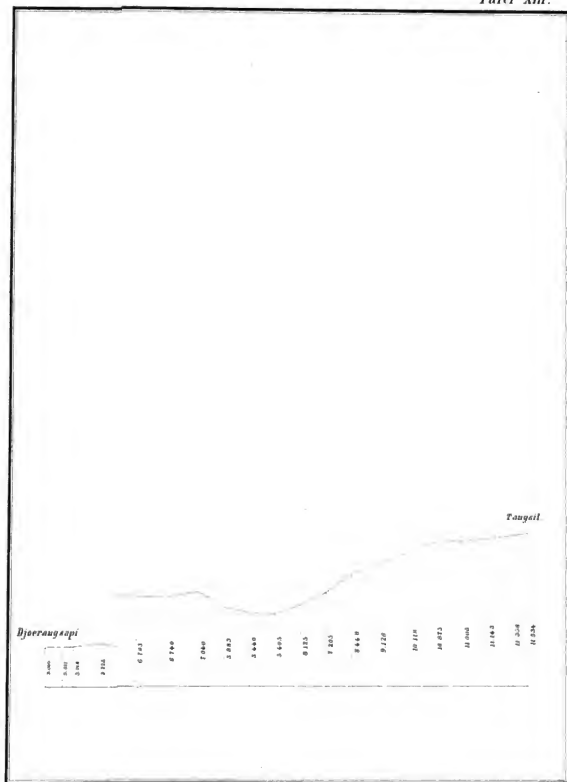


Wahnung des District-Haupts.

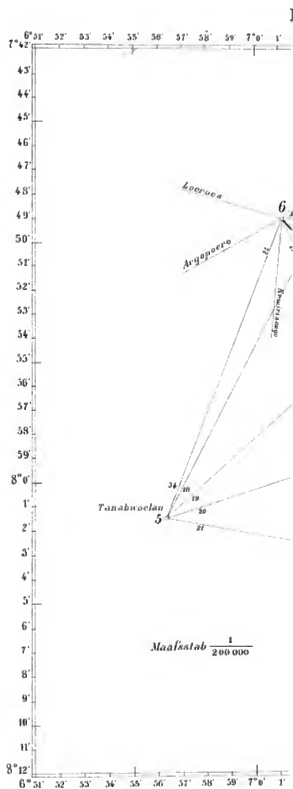
nach Osten

gail

11 134



H. 10. 1. 1. 1. 1.



University of Michigan

DIE TRIANGULATION VON JAVA

VIERTE ABTHEILUNG

DIE TRIANGULATION VON JAVA
AUSGEFÜHRT VOM
PERSONAL DES GEOGRAPHISCHEN DIENSTES
IN
NIEDERLÄNDISCH OST-INDIEN

VIERTE ABTHEILUNG

DAS PRIMÄRE DREIECKNETZ

IM AUFTRAG DES MINISTERIUMS DER KOLONIEN UND UNTER MITWIRKUNG VON

J. C. A. VAN ASPEREN, Geogr. Ingenieur in Ost-Indien a. D.

M. L. J. VAN ASPEREN, Kapitän zur See a. D.

W. G. TEUNISSEN, Assistenten bei dem Geogr. Dienst in Ost-Indien a. D.

BEARBEITET VON

DR. J. A. C. OUDEMANS

Professor der Astronomie an der Reichs-Universität zu Utrecht, ehemaligem Hauptingenieur und Chef des
Geographischen Dienstes in Ost-Indien

DRUCK VON JOH. ENSCHEDÉ EN ZONEN ZU HAARLEM

HAAG
MARTINUS NIJHOFF
1895

INHALT.

	Seite.
Historische Einleitung	1
§ 1. Näheres über die gebräuchtesten Universal-Instrumente und ihre Theilungen	9
Ueber die periodischen Fehler der Kreistheilungen und der Mikrometerschrauben	39
§ 2. Das Hauptnetz und seine Ausgleicung	44
Ergebnisse der Richtungsmessungen erster Ordnung	53
Ausgeglichene Haupt-Dreiecke	78
§ 3. Anschluss der Tegal-Pekalongan'schen Kette an das primäre Dreiecksnetz	112
Richtungen und Azimuthe	114
Dreiecke	118
§ 4. Die Verbindung der De Lange'schen Punkte Slamet I, II und III mit dem Punkte Slamet IV	123
Richtungen und Azimuthe	125
§ 5. Die Verbindung von Batavia mit dem primären Dreiecksnetze	127
Richtungen zur Bestimmung des Leuchthurns zu Batavia	129
Dreiecke	130
Richtungen zur Bestimmung des Zeitsignals zu Batavia	131
Dreiecke	132
Gegenseitiges Azimut und Entfernung von Leuchthurn und Zeitsignal	132
§ 6. Die Verbindung von Java mit Sumatra	133
Richtungen und Azimuthe	134
Dreiecke	136
§ 7. Der mittlere Fehler einer Richtung, abgeleitet aus den Stations-Ausgleicungen	139
Recapitulation und Zusammenstellung	144
§ 8. Der mittlere Fehler eines Winkels, nach der Ferrero'schen Formel, aber für die Instrumente verschiedener GröÙe so viel wie möglich getrennt	146
§ 9. Der mittlere Fehler einer Einstellung des Fernrohrs, und einer Ablesung des Mikroskops	150
Instrument: Repsold, 12 z., gebrochenes Fernrohr	150, 157
Instrument: Gross P. M. I, 10 z., excentrisches Fernrohr	162, 165
Instrument: Gross P. M. II, 10 z., excentrisches Fernrohr	166, 169
Instrument: P. M. I, 8 z., gebrochenes Fernrohr	170, 171
Instrument: P. M. II, 8 z., excentrisches Fernrohr	172, 173
Instrument: P. M. III, 8 z., excentrisches Fernrohr	174, 177
Instrument: P. M. IV, 8 z., excentrisches Fernrohr	178, 179
Instrument: P. M. V, 8 z., excentrisches Fernrohr	180, 181
Erste Recapitulation	182, 183
Zweite und dritte Recapitulation	186, 187
Vierte Recapitulation	188
§ 10. Genäherte Bestimmung des mittleren Krümmungshalbmessers der Erde für die mittlere Breite Java's, aus dem sphärischen Excesse des Vielecks, in welchem das primäre Dreiecksnetz eingeschlossen ist	189
§ 11. Die Längen und Breiten der Punkte erster Ordnung	197
Formelsystem, nach welchem die Rechnung geführt worden ist	200

	Seite.
Formelsystem des Herrn Prof. Schols	201
Hilfstaffeln	202-204
Rechnung nach den Formeln der Seite 200.	205
Rechnung nach den Formeln des Herrn Prof. Schols	206
Breite, Länge, Ost von Batavia (Zeitsignal) und Seehöhe aller Dreieckspunkte erster Ordnung.	207
Das Java'sche Dreiecksnetz erster Ordnung	207
Das Basisnetz von Simprak	212
Das Basisnetz von Logantong	212
Das Basisnetz von Tangsil	213
Die Verbindung mit Sumatra	213
§ 12. Die Länge von Batavia	214
a. Die alte Länge	214
b. Die durch Mondbeobachtungen bestimmte Länge	214
c. Die erste telegraphisch bestimmte Länge	216
d. Die Verbesserung durch die amerikanische Längen-Expedition	218
e. Die Verbesserung durch die Verbindung der amerikanischen und der russischen, sich in Wladiwostok anschliessenden telegraphischen Ketten	219

ERRATA.

ERSTE ABTHEILUNG.

8. 1, Z. 1 v. u., steht 23 statt 35.
- „ 30, „ 14 „ „ $\frac{597}{10,3} : \frac{706}{8,75}$ statt $\frac{706}{8,75} : \frac{597}{10,3}$.
- „ 31, „ 12 „ „ Normalmeters statt Normalmeter.
- „ 63, „ 13 „ „ + 59,65 statt — 59,65.
- „ „ „ 1 „ „ 165,59 „ 164,59.
- „ 64, „ 23 „ „ V „ „.
- „ 24. Hier ist zu bemerken dass nach einer Mittheilung von Stamkart auch bei den Messungen in Amsterdam das Platinmeter immer in seiner Dose gelegen hat.
- „ 65, „ 18. Die Ursache des Misslings soll vielmehr daran gelegen haben, dass Stamkart, wie er mir mitgetheilt, die Versuche nur bei auffallendem Lichte genommen hat.

ZWEITE ABTHEILUNG.

8. 11, Z. 12, steht Taf. IV statt Taf. VI.

DRITTE ABTHEILUNG.

- S. 25, Z. 4, steht $106^{\circ} 38'$ statt $106^{\circ} 58'$.
- „ 33, „ 11, „ Gellibrand, Trigonometria Britannica, statt Vlaccq, Trigonometria artificialis.
- „ 36, „ 3, „ { (6) — (3) } statt { (6) — (5) }.
- „ 37, „ 24, „ [23] ÷ [24], „ [23] + [24].
- „ 60, „ 12, v. u., steht Hambalang statt *Hambalang*.
- „ 82, „ Richtung Barjocpahit, 2o Zahl, steht 29,92 statt 32,42. (Dieser Fehler wurde entdeckt bei der Berechnung des mittleren Fehlens einer Einstellung des Fernrohrs und Ablesung des Kreises, aus Vergleichung von Objectiv rechts mit Objectiv links, 4e Abtheilung, S. 160). Die Sekunden der Resultate werden demzufolge respective: $0^{\circ},00$; $34^{\circ},55$; $14^{\circ},48$; $53^{\circ},52$; $16^{\circ},55$ und $31^{\circ},85$, also die letztere Zahl um $0^{\circ},65$ mehr als früher. Es würde die Mühe nicht lohnen, die ganze Ausgleichung des Basisnetzes von Logantong wegen dieser Verbesserung umzuarbeiten, um so mehr weil die Correctionen (1) bis (5), S. 18, eine günstigere

Quadratsumme geben. Dieselben werden nämlich nun resp. — 0',056; — 0',210; + 0',020; + 0',019 und + 0',475, und $[p^2]$ wird 2,82 statt 3,74. S. 110 wird $26\mu^1 = 4,43$, $\mu^1 = 0,170$ und $\mu = \pm 0',412$; die mittleren Fehler, welche weiter folgen, müssen um $\frac{1}{10}$ ihres Betrags vermindert werden.

S. 84, Z. 6 v. u. steht 7 Salem statt 8 Salem.

„ 99, „ Die Ableitung der Formel am Fuss der Seite kann, nach einer brieflichen Mittheilung des Herrn Prof. Scholz, einfacher so abgeleitet werden. Für jeden Rotationskörper gilt, wie man leicht sieht, die Formel $dA = He^{\frac{N_m - R_m}{2 \cdot N_m R_m}} \sin 2 A_m$. Für das Ellip-

soid ist aber $\frac{N_m - R_m}{N_m} = \frac{e^2}{1 - e^2} \cos^2 B_m$, und so folgt die Formel unmittelbar.

„ 104, „ 8 v. u. steht 53,21 statt 53,52.

„ 140, Tanahwoelan, Richtung Socket, 2e Zahl, steht 33,10 statt 53,10.

„ „ , Boehr, Richtung Tanahwoelan, 2e Zahl, steht 35,96 statt 30,96, (s. S. 150).

„ 151, Z. 4 v. u. steht 4,366 ... statt 4,369 ...

VIERTE ABTHEILUNG.

S. 90, Z. 10,	steht 9,5775152 statt 4,5775152.
„ 105, „ 10,	„ 5,4000821 „ 4,4000821.
„ 112, „ 1,	fehlt § 2.
„ 131, „ 18,	steht 39,15 „ 30,93.
„ „ 18,	„ 42,62 „ 40,40.
„ 135, „ 14 v. u.	„ 1",8 „ — 1",8.

Die Triangulation von Java. Vierte Abtheilung. Das primäre Dreiecknetz.

HISTORISCHE EINLEITUNG.

Nachdem der Geographische Ingenieur S. H. de Lange * die Polhöhe, und mittels Mondbeobachtungen die Länge von Batavia und Menado, und überdies noch die Lage verschiedener Punkte, sowohl in der Residentchaft Menado als auf der Hin- und Rückreise bestimmt hatte, wurde im Jahre 1854 die Triangulation von Java in der Residentchaft Cheribon angefangen.

Der Zweck dieser Triangulation war die Lieferung fester Punkte für die seit kurzem angefangene Aufnahme behufs Verfertigung einer militärischen und topographischen Karte. Die grösste Genauigkeit wurde dabei nicht gefordert, auch war de Lange nur mit dürftigen Hilfsmitteln ausgerüstet, da mit seiner Ernennung im Jahre 1849 mehr bestimmt die astronomische Ortsbestimmung im O. I. Archipel bezweckt worden war.

Im Jahre 1851 war ihm ein Assistent in der Person seines Bruders G. A. de Lange ** beigegeben worden, so dass die Triangulation von den beiden Brüdern in Angriff genommen wurde. Eine vorläufige Grundlinie ward unweit Cheribon, dem Strande entlang, mit einer Messkette gemessen, und aus dieser, mittels ein Paar Dreiecke, die Entfernung zweier Gipfel (Kromon und Tjerimai) bestimmt.

Sehr bald erkrankte aber der Ingenieur S. H. de Lange und musste mit Urlaub nach Europa zurückkehren, er erreichte aber die Heimath nicht mehr und starb, am 29 Mai 1855, an Bord des Schiffes „Palembang“, bald nach seiner Abfahrt.

So setzte Herr G. A. de Lange, der seinem Bruder bald als Ingenieur nachfolgte, in den Jahren 1855 bis 57 die Triangulation über die Residentchaften Banjoemas, Bagelen und Kadoe fort, nachdem erst ein Anschluss an Batavia, durch das Azimuth, vom Pangerango aus, der Hafenwarte (Uitkyk) zu Batavia, und den Breiten-Unterschied dieser Orte angestrebt worden war.

Als Assistent war ihm zunächst zeitweilig der Controleur, Doctor phil. J. J. van Limburg Brouwer, sodann der in Holland ernaunte Herr C. F. J. Jaeger zugefigt.

Wie es mit Arbeiten ungewohnter Art häufig geht, wenn dieselben von einem Personal ausgeführt werden müssen, welches dafür nicht gründlich und wissenschaftlich vorbereitet ist, zumal in einer Kolonie, wo oft die Mittel fehlen, sich über das was man nicht kennt zu unterrichten, so hatte auch Herr

* Vor seiner Ernennung (1849) Lieutenant zur See 1^{re} Classe z. D.; früher mit dem Unterricht der Mathematik und Nautik am Marine-Institut zu Medemblik beauftragt. Nachdem er sich unter Kaiser's Leitung während eines Jahres auf der Sternwarte zu Leiden im Anstellen von astronomischen Beobachtungen geübt hatte, reiste er im August 1850 nach Batavia ab.

** Damals Lieutenant zur See 2^{te} Classe, jetzt, im Juli 1892, im Haag wohnhaft.

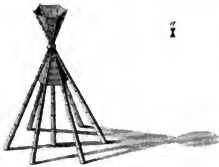
de Lange mit vielen Widerwärtigkeiten zu kämpfen. Nur Eins gereichte damals den Terrinarbeiten zu Vortheil, was später geändert worden ist. Das Niederhauen von Bäumen und Errichten von Signalen und Unterkunftshütten auf den Gipfeln wurde nämlich im Erd- oder sogenannten Herrenland ausgeführt. So war er Ende 1857 bis an die östliche Grenze Kadu's gelangt und hatte sogar den Anschluss an die Residentenschaft Samarang erreicht.

Im Jahre 1857 wurde mir vom Minister der Kolonien die Stelle eines Haupt-Ingenieurs und Chefs des Geographischen Dienstes in Ost-Indien angeboten. Meine specielle Aufgabe war »die geographische Ortsbestimmung durch astronomische Beobachtungen im Ost-Indischen Archipel,« bald aber wurde mir auch die Leitung der Fortsetzung der Triangulation übertragen. Herr G. A. de Lange hatte aber den Staatsdienst verlassen und mein Bestreben, ihn wieder für die Triangulation zu gewinnen, blieb ohne Erfolg.

Die Triangulation war inzwischen ins Stocken gerathen. Es wurden nun im J. 1861 der Lieutenant zur See 1^{re} Classe J. C. A. van Asperen zum Ingenieur und im folgenden Jahre der Second-Lieutenant der Artillerie J. C. W. R. Th. Band und der Lieutenant zur See 2^e Classe F. W. Voswinkel Dorsden zu Assistenten ernannt; diese Herren übten sich Einer nach dem Andern erst zu Batavia im Gebrauche des Universal-Instrumentes ein, reisten dann aber nach dem Terrain ab.

Von den Herren Ingenieuren De Lange oder besser von Herrn G. A. de Lange, (denn der ältere Bruder hat eigentlich nur am Entwerfen des ersten Anfanges theilgenommen,) war kein Unterschied zwischen primären und secundären Dreiecken gemacht worden; er liess auf ausgewählten Gipfeln Bandhuss-Signale errichten, beobachtete, auf jedem Gipfel, auf einem improvisirten Bandhuss-Dreifuss alle sichtbaren Signale, und bei der für den Zweck immer vortreflichen Theilung des Skizzirten Pisterschen Universal-Instrumentes * legte er sich nicht besonders auf eine übertriebene Wiederholung der Messungen. Heliotrope wandte er nur dann an, wenn ein Standpunkt in der Ebene für einen Beobachter auf einem Gipfel sichtbar gemacht werden musste, denn man darf in Java, der Undurchsichtigkeit der unteren Luftschichten wegen, gar nicht darauf rechnen, von einem Gipfel herab ein Bandhuss-Signal in der Ebene zu unterscheiden. Ganz anders verhält sich die Sache, wenn man ein derartiges Signal auf einem Gipfel oder Bergrücken, gegen den Himmel projectirt sieht, dann kann man es auch auf sehr grossen Entfernungen ganz gut im Fernrohr unterscheiden und dieses darauf richten.

Diese Bambus-Signale wurden auf folgende Art construiert: Ein Bambus-Stamm von der dicksten Sorte, Bambus Petang genannt, wurde senkrecht in den Grund gesteckt; um ihn herum wurden 6 andere Stämme schräge eingegraben, so dass sie sich dem mittleren Stamm auf etwa zwei Drittel seiner Höhe gleicher Weise anlehnten. An dieser Stelle wurden alle so fest wie möglich mittels Rotz oder Tau, an einander gebunden, so dass das Skelet des Signals aus einer Doppelpyramide bestand. Oberhalb und unterhalb des Halses dieser Doppelpyramide wurden um die Seitenflächen gleich weit mit Bambus-Flechtwerk ausgefüllt, so dass das ganze Signal aus der Ferne, siehe *a*, wie eine Samuhur aussah.



* Dieses Instrument, (N^o 24 des Preis-Vernichtnisses von J. 1816, welches in den Astr. Nachr. N^o 583, Bd. 25, S. 271 u. f. aufgenommen worden ist.) wurde von der Firma Pistor und Martins im J. 1850 geliefert. Die Krüse hatte einen Durchmesser von 5 Zoll = 19 Cm., das Fernrohr, dessen Ocular eine Oeffnung = 13 Linien oder 29,3 Mm. hatte, war gebrochen; die Krüse waren nicht verstellbar, die Mikroskope für den horizontalen Kreis an einem starken, um die vertikale Axe drehbaren horizontalen Drehmutter befestigt, und dadurch längs eines Bogens von 166^o verstellbar. Die Theilung war in 5'. Ein Umgang der Mikrometer-Schrauben war = 1', auf der Trommel war jede Minute in 6 Theile von 5 Doppelsekunden getheilt. Die Vergrößerung des Fernrohrs war 32, diejenige der Mikroskope etwa 21 Mal. Ein Theil der festen Lähelle war = 3',6, der Stellhelle = 3',1.

Anfangs wurde auf dieselbe Art fortgearbeitet, nur wurden keine Bambus-Dreifüsse, sondern aus Ziegelsteinen erhaltene Pfeiler benutzt; wie Herr de Lange bereits eingeführt hatte, stand der Beobachter auf einem vom Pfeiler isolirten Boden. Zwar sind die Bambus-Signale bei den secundären Messungen mehrfach benutzt worden, im Anfangs auch wohl bei primären; die Messungen mussten dann aber auf die bekannte Art auf den Standpunkt reducirt werden. Die erreichbare und auch erreichte Genauigkeit, sowohl bei den horizontalen Winkelmessungen als bei den Polhöhen- und Azimutbestimmungen veranlassen mich aber einige Zeit später, bei der Regierung den Antrag zu stellen, zu beschliessen die Triangulation von Java solle auch für „Gradmessung“ dienen. Bei diesem Antrage meinte ich anfänglich, die Ausdehnung der Insel Java in der Richtung Ost-West sei hinreichend um, indem sechs oder sieben Paar Punkte ausgewählt wurden, welche paarweise auf nahe denselben Meridian, aber an der Nord- und der Südseite lagen, einen nicht zu verschmähenen Beitrag für die Länge eines Meridiangrades beizutragen, während auch, bei der Anwesenheit eines Telegraphen auf Java, Bestimmungen von Längegraden sehr leicht anzuführen sein würden.

Als auch die k. Akademie der Wissenschaften zu Amsterdam diesem Antrage ihren Beifall geschenkt hatte, folgte bald die entsprechende Cabinets-Ordre.

Die Triangulation hatte von Ende 1857 bis Mitte 1861, also während $5\frac{1}{2}$ Jahre gestockt; es kam hinzu, dass die vom Generalstabe ausgeführte Aufnahme durch Vermehrung der Brigaden rascher fortschritt als früher; das Militär-Departement drang also auf Beschleunigung der Triangulation, und so wurde im Jahre 1865 die Nothwendigkeit dargelegt, das Personal für die Triangulation mit einem Ingenieur und zwei Assistenten zu vermehren. Herr J. C. W. R. Th. Band, der älteste Assistent der Anciennität nach, sah sich genöthigt den Dienst Gesundheits-Rücksichten halber zu verlassen. Herr F. W. Voswinkel Dorselen wurde also zum Ingenieur ernannt und Herr C. A. E. Metzger*, der zur Disposition stand, wurde ihm als Assistent beigegeben. Beide arbeiteten vorläufig an der Triangulation der Residentchaft Pekalongan und Tagal, bevor aber die letztgenannte Residentchaft vollendet war, sah sich Herr Voswinkel Krankheit halber gezwungen um Urlaub nach Europa einzukommen. Nach seiner Rückkehr trat er, wie Herr Band, in den Civildienst über.

Als ich von Herrn Voswinkel, im März 1866, die Nachricht seiner Krankheit erhielt, eilte ich nach Samarang, übernahm dort von demselben die Instrumente und erfuhr von ihm ausführlich welche Messungen noch in der Residentchaft Tagal zu thun übrig geblieben waren.

Da an allen Punkten die Signale und Hütten schon standen, so gelang es mir, innerhalb zweier Monate, die Triangulation der Residentchaft Tagal zu beendigen. Einer der Dreiecksunkte war auch der Slamet, der zweithöchste Vulkan Java's; Herr G. A. de Lange hatte im J. 1855 drei Signale auf dem Kraterande dieses Berges bei der Triangulation der Residentchaft Banjumas benutzt, auf diesen Punkten selbst aber keine Winkel gemessen. Pfeiler oder Dreifüsse waren auch nicht vorhanden. Die Signale waren von Besauern abgehauen, die Ueberreste setzten mich aber in den Stand, die relative Lage des von Herrn Voswinkel an der Nordseite gebauten Pfeilers (Slamet IV) und der drei de Lange'schen Punkte (Slamet I, II und III) mittels einer in der Sandsee im Krater gemessenen Grundlinie zu bestimmen.

Das Personal wurde bald, im J. 1866, wieder durch die Ernennung der Assistenten J. L. Baron van Ischmuden, ** H. T. Soeters, *** F. H. A. Flury, **** G. Woldringh ***** und L. B. van Maanen *****

* Früher Ponies-Lieutenant in Preussischen Diensten, trat etwa im J. 1865 als Unteroffizier in die Niederländisch-Indische Armee über, ward aber bald nach seiner Ankunft dem Ingenieur Stieljes zugetheilt, der den Auftrag erhalten hatte, ein *Tracé* für eine Eisenbahn von Samarang nach den Fürstenlanden (Soerakarta und Jogjakarta) anzugeben.

** Ehemaliger Lieutenant zur See 2^e Classe.

*** Second-Lieutenant der Infanterie.

**** Premier-Lieutenant der Infanterie.

***** Second-Lieutenant der Infanterie.

***** Lieutenant zur See 2^e Classe.

vermehrt. Letzterer blieb aber leider nur drei Monate bei diesem Dienste, ein altes Uebel am Bein gestattete ihm nicht, die Strapazen beim Besteigen der Berge zu ertragen.

Zwei Sectionen arbeiteten nun regelmässig fort, die 1^e Section, Ingenieur Van Asperen, an Ost-Java, die 2^e Section, Ingenieur Metzger, an West-Java. Weil nun die Messungen des Herrn de Lange keine hinreichende Verbindung zwischen West- und Ost-Java darboten, so trug ich Herrn C. Woldrigh auf, quer durch die Residentchaften Banjoemas, Bagelen und Kadoe eine neue Verbindung zwischen diesen beiden Theilen herzustellen. Slamat III, an der Südseite der Kraterrandes, war dabei ein Standpunkt, und durch die oben erwähnte Triangulation im Krater dieses Berges war die Verbindung zwischen der nördlichen Residentchaft Tagal und der südlichen Residentchaft Banjoemas gesichert.

Der Instrumentenvorrath, der bis jetzt aus drei 8 zölligen Pistor'schen Universal-Instrumenten bestand, (P. M. I mit gebrochenem Fernrohr, s. die Note am Fusse der S. 2.) P. M. II und III mit Fernrohr am Ende der horizontalen Achse,) wurde natürlicherweise auch, der Vermehrung des Personals entsprechend, ergänzt. Nach und nach erhielten wir nämlich noch ein 12 z. Repsold'sches Universal-Instrument mit gebrochenem Fernrohr, zwei 8 zöllige Pistor'sche Univ. Instrumente, (P. M. IV und V.) zwei 10 zöllige, (Gross P. M. I und II.) und gelegentlich noch einige kleinere Instrumente mit Nonien, (zwei mit 6 z. und drei mit 5 z. Kreisen.) alle von Pistor und Martins.

Die zehnzölligen von Pistor und Martins und das zwölfzöllige von Repsold, wurden zur Messung auf den primären Punkten, die anderen für die secundäre Triangulation bestimmt. Für das primäre Netz, wurde fortan, auf Antrag des Ingenieurs Metzger, nur auf Heliotrope gemessen, welche auf dem Kopfe eines Pflockes befestigt waren, der in ein beim Mauern der Pfeilers ausgespartes viereckiges Loch eingetrieben wurde.

Die Instrumente mit gebrochenem Fernrohr sind wegen des vom Prisma verursachten Lichtverlustes, zumal wenn es beschlägt oder verwittert, für die Triangulation nicht zu empfehlen.

Bei jeder Triangulation gehören Basen und Basis-Netze, also ein Basis-Mess-Apparat. Bald richtete ich auf diesen Punkt meine Aufmerksamkeit und trat mit den Herren Repsold wegen eines Basis-Apparats in Briefwechsel. Diesem folgte im Jahre 1865 seitens der Regierung die Bestellung eines Apparates, in welchem die Principien erstens der bimetalischen Stangen, zweitens der Ablese durch Mikroskope, drittens des Nicht-Berührens der auf einander folgenden Stangen, viertens der Umgehung der Messstangen von hohlen, eisernen Cylindern gebilligt wurden. Der Apparat ist in den Astronomischen Nachrichten N^o 1661, (Bd. 70, S. 65-80) von Herrn J. A. Repsold beschrieben, und das Bestehen dieser Beschreibung war einer der Gründe weshalb ich die Niederländisch-Indische Regierung um Erlaubniss bat, den Bericht über die Triangulation in hochdeutscher Sprache abzufassen. Am Anfange der ersten Abtheilung dieses Berichtes, welche zu Batavia gedruckt wurde, ist die Repsold'sche Beschreibung von einigen Bemerkungen meinerseits begleitet, wieder abgedruckt worden, und auf den jener Abtheilung beigefügten Tafeln findet man von allen den Theilen derselben Abbildungen.

Wie aus den Jahresberichten der Europäischen Gradmessung von 1868 bis 1870 bekannt, ist der Apparat, ehe er nach Indien geschickt wurde, in Holland zur Messung einer Basis im Haarlemmermeerpolder von dem vorstehenden Herrn Prof. Stankart benutzt worden. *

* Das Verhältniss zwischen den Längen der Messungen und dem von den Herren Repsold beigefügten Normalmeter, sowie das Verhältniss von diesem mit dem Amsterdamer Platinmeter wurde bereits in Amsterdam von einer Commission, bestehend aus

Der Apparat wurde im Jahre 1871 nach Indien geschickt. Erst im Juni 1872 erlaubten mir aber die Erledigung anderer Arbeiten ihn auspacken, seine Einrichtung zu studiren, und mir sowohl die Behandlung der Messstangen, als auch des Comparators eigen zu machen. Die Vergleichung der Messstangen mit dem Normalmeter wurde bei einer höheren Temperatur, als in Holland möglich war, wiederholt, ebenso die Vergleichung des Normalmeters mit einem Glasmeter, welches im J. 1856 gleichzeitig mit dem Amsterdamer Glasmeter mit dem Platinmeter verglichen worden war.

Drei Grundlinien sind auf Java mit dem Bessel'schen Apparate gemessen worden, die erste bei Simplok unweit Buitenzorg, Residentchaft Batavia, in West-Java; die zweite bei Legatung, in der Abtheilung Demak, Residentchaft Samarang, in Mittel-Java; die dritte auf dem Landwege von Tangsil nach Djorangsapi, in der Abtheilung Bondowoso, Residentchaft Bezeki, in Ost-Java. Ueber diese Basismessungen und die dazu gehörenden Basisnetze siehe man die zweite und dritte Abtheilung dieses Berichtes.*

Von mir selbst wurde die erste Basismessung eingeleitet, die Arbeitsmethode angegeben und im Anfange daran Theil genommen. Andere Pflichten riefen mich aber bald nach Batavia, so dass der Ingenieur Metzger die Oberleitung der weiteren Messung übernahm.

Kurz vorher war Herr Flory erst mit Urlaub in Europa gewesen, aber bald nach seiner Rückkehr gestorben und durch meinen jüngeren Bruder, Herrn J. A. Oudemans** ersetzt worden. Die Stellen der zu Ingenieuren beförderten Herren Soeters und Woldringh wurden durch die Herren W. G. Teunissen*** und A. de Vletter**** besetzt.

Als ich mich, in Folge meiner Rückberufung nach Utrecht, Ende August 1875 nach Holland einschiffte, hatte Herr Ingenieur Soeters eben mit der Messung der Basis in Demak begonnen, und später wurde von ihm noch die Basismessung bei Tangsil geleitet.

Bei dem jetzigen Zustande der Geodesie heisst das Anwenden einer Triangulation für Gradmessung nicht mehr wie früher ausschliesslich das Bestreben, die Länge eines Breiten- oder Längengrades abzuleiten, sondern die Abweichungen zu studiren, welche gefunden werden, indem eine mittlere ellipsoidische Fläche den Berechnungen zu Grunde gelegt wird. Die Breiten-, Azimuth- und Längen-Unterschiedsbestimmungen sollen dazu soviel wie möglich vervielfältigt werden.

Es war erst verordnet worden, dass an sieben verschiedenen Meridianen, auf einem nördlichen, und auf einem südlichen Punkte Breitenbestimmungen stattzufinden hatten; später aber, als der verstorbene Ingenieur Metzger einen grossen Unterschied zwischen einer geodätischen und einer astronomischen Polhöhen-Differenz zweier einander nahe liegender Punkte gefunden hatte, wurde diese Anzahl verdoppelt. Wo die Breite bestimmt wurde, sollte auch immer zu gleicher Zeit eine Azimuthbestimmung stattfinden. Die genaue Bestimmung der Längen-Unterschiede wurde zu dem Ende verschoben.

Leider ist dieses Programm, welches ich auf Bitte des Admirals F. L. Geerling, Chef des Marine-Departements, vor meiner Abfahrt nach Holland ausarbeitete, nicht völlig erledigt worden, weil das

den Herren Stankart, Matthes und Cohen Stuart bestimmt. Ausserdem aber wurde das Normalmeter mit dem eisernen Meter der Batavischen Republik, (von Herrn Prof. Stankart, und in Nachfolge von ihm auch von mir in der ersten Abtheilung irriger Weise Meter von van Swinden als Geschenk empfangene eiserne Meter ist aus seinem Nachlass von Prof. G. Mol für das Utrechter Physikalische Cabinet angekauft) von Jahre 1799 und mit einem Glasmeter verglichen. Diese drei Meter waren sämmtlich Eindhovense, das Normalmeter ein Strichmessen. Das eiserne und das gläserne Meter waren mit dem Platinmeter verglichen worden, die Resultate der drei Vergleichenungen hätten also identisch sein sollen, waren es aber nicht, s. 1^{te} Abth. S. 1. Der Unterschied ist aber später aufgeklärt worden, s. 3^{te} Abth., S. 3.

* Die erste Abtheilung war wenige Tage vor meiner Abreise nach Holland, 25 August 1875, abgedruckt, von der zweiten Abtheilung das Manuscript vollendet. Später wurde ich vom Ministerium der Kolonien beauftragt, den Druck derselben hier zu besorgen; und einige Jahre später, als das Personal der Triangulation nahezu ganz ausgestorben und der Geographische Dienst aufgehoben worden war, wurde ich ersucht, die definitive Reduction der Triangulation von Java zu übernehmen.

** Früher Artillerie-Lieutenant in den Niederlanden, damals Beamter an der Eisenbahn Samarang-Fürstenlande.

*** Premier-Lieutenant der Infanterie, bei der topographischen Aufnahme Java's detachirt.

**** Aspirant-Ingenieur bei den Bürgerlichen Öffentlichen Arbeiten, früher Premier-Lieutenant der Infanterie.

ganze Personal nach und nach wegen Krankheit im Urlaub einzukommen genöthigt war, (5^{te} Alth. S. 126 und 127). Doch sind zahlreiche Breite- und Azimutbestimmungen verrichtet und meistens schon auf Java mit den Sternörteru aus dem Nautical Almanac reducirt worden, auch verschiedene, sowohl von den späteren Ingenieuren, als auch von Herrn de Lange, welche ausserhalb des Programmes lagen.

Ueberhaupt wurde schon während der Terrainbeobachtungen auf Java befunden, dass die astronomischen Azimutbestimmungen bis auf wenige Secunden mit den geodätischen stimmten.

Als ich, auf die Bitte des Ministeriums der Kolonien, die definitive Berechnung der Triangulation von Java übernommen hatte, wurden auch sämtliche Messbücher und Berechnungen, später auch die Correspondenz, von Batavia nach Utrecht herübergeschickt. Ich war so glücklich, bald Herrn J. C. A. van Asperen, jetzt a. D., als Mitarbeiter zu gewinnen, darauf auch dessen Bruder, Herrn M. L. J. van Asperen, Kapitän zur See a. D.; sodann während einiger Jahre Herrn W. G. Tenmissen, Assistenten bei dem Geographischen Dienst a. D.; ferner während einer kurzen Zeit Herrn H. Ypes, Civil-Ingenieur in Ost-Indien mit Urlaub und Herrn E. Engelenburg, Civil-Ingenieur, Meteorologen am Met. Institut zu Utrecht, und schliesslich in der letzten Zeit Herrn A. A. Nyland, Cand. phil., während Herr C. Verschoep, der Amannensis der Sternwarte, kleine Hilfsrechnungen und das Zeichnen der Triangulationskarten besorgte. Herr J. C. A. van Asperen wurde aber am 5 Mai 1889 von einem Schlagfluss getroffen, und hat also seitdem die Arbeit einstellen müssen.

Die Oerter der für Breite- und Azimutbestimmungen benutzten Sterne mussten selbstverständlich einer Revision unterzogen werden. Ich glaubte diese keinem besseren anvertrauen zu können als Herrn Dr. N. M. Kam, früher Observator zu Leiden, jetzt Lehrer der Mathematik am Gymnasium zu Schiedam, dem Verfasser des bekannten von der k. Akademie der Wissenschaften zu Amsterdam herausgegebenen Catalogus von Sternen aus Band 1 – 66 der Astr. Nachrichten. Ich war so glücklich, dass er meiner Bitte nachzukommen geneigt war, und die Aufgabe mit seiner bekannten Sorgfalt zu Ende führte.

Nachdem alle noch nicht genau reducirten horizontalen Messungen, sowohl primäre als secundäre, zu Utrecht aufs sorgfältigste in duplo reducirt und stationsweise ausgeglichen worden waren, kam die Frage an die Reihe, wie die drei Basismessungen unter einander stimmen würden.

Mit frischem Eifer fugt ich an, das 1^{te} Basisnetz von Simprak nach der Bessel'schen Methode auszugleichen, bald aber kam es mir hier, wo doch viel mehr als es bei der Gradmessung in Ost-Preussen der Fall gewesen war, eine programmässige Anordnung der Beobachtungen stattgefunden hatte, practisch unmöglich vor die Quadratsumme eben der Correctionen der nackten Beobachtungen zu einem Minimum zu machen, und dass es also für den Zweck völlig hinreichte, allen bereits stationsweise ausgeglichenen Richtungen gleiches Gewicht beizulegen, wie schon mehrfach auch von Anderen gethan, und von Herrn Oberst-Lieutenant, jetzt General, Schreiber empfohlen worden ist. Das zweite Basisnetz von Simprak, das 1^{te} und das 2^{te} von Logantong und das Basisnetz von Tamsil, sind auf diese Weise ausgeglichen worden, und so sind, wie dieses in der 5^{ten} Abtheilung mitgetheilt worden ist, die Log. Sin. der unten genannten primären Seiten gefunden:

In West-Java, der Seite Telaga-Sangaboewana mit einem w. F. von 41.2,	
„ Mittel-Java, von 4 primären Seiten,	„ „ „ „ 25.5 bis 27.4,
„ Ost-Java, von der Seite Bésér-Socket	„ „ „ „ 17.5

Einheiten der 7^{ten} Decimalstelle des Logarithmus.

Die Ausgleiehungen der Basisnetze, woran (chronologisch) ich selbst, Herr Temissen und Herr M. L. J. van Asperen sich betheiligten, hatte so viele Zeit gekostet, dass ich ernsthaft darauf sann, die noch viel umfangreichere Ausgleiehung des primären Netzes entweder zu umgehen, oder wenigstens abzukürzen.* Die längliche Gestalt der Insel machte dies wohl einigermaassen bequem, und die Erfahrung lehrte abthun, dass es sehr gut anging, nur mit kleinen Schritten vorzugehen, so dass die Normalgleichungen selten mehr als 5 Unbekannte enthielten. Herr M. L. J. van Asperen führte mit vielem Tact diese Ausgleiehung innerhalb dreier Monate durch, und als sie vollendet war, zeigte es sich, dass an die Logarithmen der drei Grundlinien, zur Erreichung völliger Uebereinstimmung, nur noch die nachfolgenden Correctionen anzubringen waren:

West-Java	+	9	Einheiten der 7 ^{ten} Decimalstelle.
Mittel-Java	—	15	" " " "
Ost-Java	+	4	" " " "

Vergleicht man diese Zahlen mit den mitgetheilten mittleren Fehlern, so glaube ich, dass jeder nur leistungsmässig wird, wenn ich sage, dass ich mit diesen kleinen Correctionen zufrieden war, und keinen Anstand nahm sie an die Log. der Basen selbst anzubringen, wie Herr General Ferrero dies auch im April 1880, in den Astronomischen Nachrichten, N^o 2516, vorgeschlagen hat,** und dass ich also die auf einfachere Weise durchgeführte Ausgleiehung annahm.

Derselbe ausgezeichnete Geodät hat in der Conferenz zu Nizza den Antrag gestellt, bei jedem Bericht über eine Triangulation sollte immer der mittlere Fehler eines gemessenen Winkels mitgetheilt werden, wie er vorläufig aus den Widersprüchen der Winkelsummen der Dreiecke abgeleitet werden kann, also wie die Formel

$$m = \sqrt{\frac{[v^2]}{3n}}$$

es angibt, wo n die Zahl der Dreiecke bedeutet. Im ganzen primären Dreiecksnetze für Java und Madura sind, ausser den Dreiecken welche zu den Basisnetzen gehören, 172 Dreiecke vorhanden, und es wurde im Geiste der genannten Formel gefunden:

$$m = \sqrt{\frac{609,56}{316}} = \pm 1',14''$$

Hieraus würde ein mittlerer Fehler einer Richtung $= 1,14 : \sqrt{2} = 0',81$ folgen. Weil aber das ganze Dreiecksnetz nicht nach der strengen Methode ausgeglichen worden ist, so ist zu erwarten, dass wenn die angewandten Verbesserungen der Richtungen ebenso zur Ableitung eines mittleren Fehlers benutzt werden, ein grösserer Werth herauskommen muss; in Wirklichkeit ist auf diese Weise gefunden:

$$\sqrt{\frac{242,01}{210}} = \pm 1',00'',$$

also nur ein Drittel mehr, ein Resultat welches mir ziemlich befriedigend erschien.

* Die Ausgleiehung der fünf Basisnetze führte auf 13, bezw. 8, 12, 14 und 19 Normalgleichungen. Das ganze primäre Dreiecksnetz von Java, ohne die Basisnetze, würde zu 241 Normalgleichungen führen. Bei der Lösung eines Systems von Gleichungen wächst aber die Anzahl der anzusetzenden Zahlen, resp. Logarithmen, beinahe wie die dritte Potenz der Anzahl der Unbekannten, ich finde nämlich für den Fall, dass alle Glieder vollständig da sind, $\frac{1}{3}(n^3 + 3n^2 + 3n - 2)$, also beispielsweise für 241 Unbekannten 7231,686, für 19 Unbekannten 1920 Zahlen. Die Ausgleiehung des Basisnetzes von Tangsil, kostete, doppelt gerechnet, einen Monat.

** Bei den italienischen Grundlinien waren die Correctionen, nach strenger Ausgleiehung der Netze, sogar grösser, nämlich für Catania + 17, für Crotti + 30 und für Foglia — 42 Einheiten der 7^{ten} Decimalstelle der Logarithmen.

Der Theiler 204 stellt hier die Zahl der Bedingungen vor, welche bestehen würden, wenn das ganze Dreiecknetz in Eenen ausgeglichen worden wäre; ebenso ist mit den drei Drittheilen verfahren worden. Jener Theiler ist kleiner, als die in der Note zur vorigen Seite genannte Zahl, (241), weil dort auch einige Messungen mitgerechnet worden sind, welche mit 8 zölligen Instrumenten angestellt sind.

Wird das ganze primäre Dreiecknetz, etwa nach den Gebieten der drei Grundlinien, in drei Theile getheilt, so findet man für jeden Theil nahezu dasselbe, nämlich:

West-Java	(52 Dreiecke):	$\pm 0',95$	und	$\pm 1',16$	Verhältniss	1,24,
Mittel-Java	(45 Dreiecke):	$\pm 0',71$	"	$\pm 0',94$	"	1,52,
Ost-Java	(77 Dreiecke):	$\pm 0',77$	"	$\pm 1',12$	"	1,45.

Wie auf der Karte des primären Netzes ersichtlich, ist noch eine Verbindung mit zwei Gipfeln in Sumatra (Gungung Telok und Keizerspiek) dargestellt worden. Die Triangulation dieser Insel wird von Officieren des Generalstabs, dem Major H. D. H. Bosboom und dem Hauptmann J. J. A. Müller, die sich zu Delft und Utrecht für diese Aufgabe vorbereitet haben, ausgeführt; doch ist von ihnen erst das Gouvernement Padang triangulirt, und vorläufig wird nordwärts fortgeschritten. Der Anschluss dieser Triangulation an die zwei genannten Gipfel, und also an Java, ist demzufolge noch nicht erreicht worden.

* Die Basisnetze sind viel günstiger ausgefallen; sie geben nämlich

$$w = \sqrt{\frac{38,64}{118}} = \pm 0'',57.$$

Dass der Nenner 118 hier nicht durch 3 theilbar ist, erklärt sich dadurch, dass bei dem zweiten Basisnetze in West-Java ein Viereck benutzt worden ist. (Siehe 3^{te} Abth., 2^{te} Nachtzug.)

§ 1. Näheres über die gebrauchten Universal-Instrumente und ihre Theilungen

In der vorhergehenden historischen Einleitung ist bereits Einiges über die bei der Triangulation von Java angewandten Universal-Instrumente mitgetheilt worden, das aber noch in verschiedener Hinsicht der Ergänzung bedarf.

Als im J. 1850 zu Leiden von Kaiser die Vorbereitungen zu den Arbeiten von S. H. de Lange getroffen wurden, bestellte derselbe, ausser dem 8 zölligen Universal-Instrumente P. M. I, auch ein 6 zölliges bei Reysold. Es ist dies dasselbe Instrument, von welchem ich im Programm des Leidener Gymnasiums vom J. 1852 eine Abbildung und Beschreibung gegeben habe und die damals in etwa 125 Separat-Abzügen verbreitet worden ist. Dieses Instrument hat zwar bei den Beobachtungen für die Länge und Breite von Batavia und Menado gedient, es eignete sich aber nicht besonders für die horizontalen Winkelmessungen. Wie bereits Kaiser in seinem Bericht über diese Vorbereitungen, (*De sterrekundige plaatsbepaling in den Indischen Archipel, en de maatregelen, op gezag van Z. E. den Minister van Koloniën, tot hare voorbereiding genomen*; Amsterdam, Sulpke, 1851.) bemerkt hat, war namentlich die Construction des Mikroskopträgers schwach; ausserdem war der Kreis nur von zehn zu zehn Minuten getheilt, und hatte die Revolution der Mikrometerschrauben den Werth von $10' = 600''$, so dass die Ablesung nicht scharf genug gemacht werden konnte und, was von grösserer Wichtigkeit war, die periodischen Fehler dieser Schrauben von grossem Einfluss waren.

Die Folge war, dass Herr G. A. de Lange bei der Regierung um ein neues Universal-Instrument von Pistor und Martins nachsuchte. Dieses Instrument wurde von den Verfertigern, wie alle folgenden, mit einem Fernrohr an dem einen Ende der horizontalen Achse versehen; die beiden Kreise waren verstellbar; die Mikroskope waren mittels zweier Arme an die conische Büchse befestigt, welche den Obertheil trägt, und bewegten sich also mit dem Obertheile und dem auf denselben liegenden Fernrohr, während der Horizontalkreis unbeweglich blieb. Im P. M. I, (wie im Reysold'schen Instrument.) waren dagegen die Mikroskope fest, und der Kreis bewegte sich mit dem Obertheile.

Nachdem das neue Instrument im Kolonial-Ministerium eingetroffen war, wurde es leider ohne die Kiste in zugelhütem Blech einzuschliessen, nach Indien gesandt. Damals ging die Reise noch um das Kap der Guten Hoffnung herum und somit war das Instrument einer Seereise von etwa 4 Monaten ausgesetzt. Dasselbe kam im Jahre 1855 mit verrosteter Horizontal-Achse an, und da zu Batavia damals keine Werkstätte vorhanden war, um die Achse wieder genau cylindrisch abzdrehen, so musste das Instrument nach Europa zurückgeschickt werden, wo es von den Verfertigern wieder hergestellt wurde.

Als ich nun im Jahre 1857 die Ernächtigung erhielt, beim Minister der Kolonien um noch

* Da bei P. M. I die Theilung in der Richtung links nach rechts nahm, und, wie gesagt, der Kreis unter den Mikroskopen herumdrehte, so war die Richtung der Ablesung in Bezug auf den Horizont eine der gewöhnlichen entgegengesetzte. Nach vollendeter Reduction mussten also alle mit diesem Instrument erhaltenen Ablesungen von einer constanten Zahl abgezogen werden.

einige Instrumente einzukommen, so bestellte ich bei der Firma Pistor und Martins noch ein 8 zölliges Universal-Instrument mit glockenmetallener Horizontal-Achse und dieses Instrument wurde P. M. II genannt, während das soeben genannte Instrument, nachdem die Horizontalachse abgedreht worden war, weil es etwas später zu Batavia ankam, die Bezeichnung P. M. III erhielt.

Diesen sind noch später zwei andere achtzöllige, P. M. IV und P. M. V, gefolgt. Da aber der Inhaber der Firma Pistor und Martins, von der Benutzung des Glockenmetalls für horizontale Achsen entschieden abrieth, und die Erfahrung übrigens gelehrt hatte, dass es, sogar im heissen und feuchten Klima Java's nicht schwer ist, stählerne Gegenstände durch sorgfältiges Oelen vor Rost zu bewahren, so wurden diese beiden, ebenso wie alle anderen, mit stählernen Achsen versehen. P. M. II stellte also das einzige mit glockenmetallener Achse dar.

Bei der Ausbreitung des für die Triangulation bestimmten Personals wurde es, speciell wegen der Bestimmung dieser Arbeit auch für Gradmessung, vorgezogen, grössere Instrumente und zwar zwei zehnzöllige bei Pistor und Martins und ein zwölfzölliges bei Repsold zu bestellen.

Die Pistor'schen Instrumente hatten sämmtlich (ausser P. M. I) das Fernrohr an dem einen Ende der horizontalen Achse. Diese Instrumente sind aus den illustrierten Preis-Verzeichnissen der verschiedenen Berliner Häuser, welche nach der Auflösung der Firma Pistor und Martins gegründet wurden, (Wegener, Wanschaff, Bamberg und vielleicht andere.) hinreichend bekannt. Dasselbe ist der Fall mit dem 12 z. Repsold'schen Instrument, mit gehrochenem Fernrohr, von welchem ich nur die folgenden Abbildungen anführe:

1° Publications de la commission géodésique néerlandaise; 1 Détermination, à Utrecht, de l'azimuth d'Amersfoort, par J. A. C. Ondemaus, membre de la Commission; (Das hier abgebildete Instrument hatte aber ein kräftigeres Fernrohr, mit einem Objectiv von 67 mM.)

2° D. J. Brouwer, Handleiding tot de theoretische en praktische zeevaart-kunde, kerzien door E. Simon van der Aa, 1^e deel, 2^e druk, (Nieuwediep 1880.) Plaat IXa.

3° A. Nagel, Gradmessung in Sachsen, 2^e Abtheilung, 1890, Tafel VI.

4° (soweit dies den Obertheil anbelangt) Sawitsch, Abriss der praktischen Astronomie, u. s. w. nach der 2^{ten} russischen Original-Ausgabe neu herausgegeben von C. F. W. Peters, Leipzig, 1879, Taf. III, Fig. 1 und 2.

Die kleineren Instrumente, welche auch zum Inventar des Geographischen Dienstes gehörten, zwei Universal-Instrumente mit sechs-zölligen, zwei mit fünf-zölligen Kreisen, bei denen die Ableitung mittels Nonien geschah, wurden nur zur Einschaltung secundärer Punkte angewandt, und dann immer nur ausnahmsweise, wenn die Umstände es erforderten; dieselben haben sich überhaupt, in Rücksicht auf ihre Dimensionen, sehr gut bewährt.

Vielleicht wird es einige Leser interessieren, hier einige Zahlen zu finden, welche sich auf die benutzten Instrumente beziehen. Die Linearmasse sind in Millimetern ausgedrückt. Die meisten Zahlen sind einem Register entnommen, welches in Batavia gehalten wurde. Für P. M. I weichen dieselben ein Wenig von denjenigen ab, welche in der Note zu S. 2 mitgetheilt sind; diese wurden aber aus dem Berichte Kaiser's über die für die Sendung der Herrn de Lunge getroffenen Maassregeln gezogen. Bei der Bestimmung der Vergrößerung der Mikroskope wurde die Entfernung des deutlichen Scheus = 8 par. Zoll = 217 mM. angenommen.

	P. M. I.	P. M. II.	P. M. III.	P. M. IV.	P. M. V.	Gross P. M. I.	Gross P. M. II.	Hopshd.
Durchmesser des horizontalen Kreises	225	225	225	225	225	255	285	325
Durchmesser des vertikalen Kreises	225	225	225	225	225	255	285	325
Durchmesser der horizontalen Theilung	210	210	210	210	210	270	270	316
Theilung	5'	5'	5'	5'	5'	5'	5'	5'
Eine Revolution der Mikrometerschraube	4'	5'	5'	5'	5'	5'	5'	5'
Theile der Trommel	10"	10"	10"	10"	10"	1"	1"	2"
Vergrößerung des hor. Kr. der Mikroskope des vers. Kr.	40	22,5	22,5	23	30	36,5	36,5	42,5
	45	22,5	22,5	21,6	27	36,5	36,4	34
Fernrohr	Gebrochen	Am Ende der Achse	Am Ende der Achse	Am Ende der Achse	Am Ende der Achse	Am Ende der Achse	Am Ende der Achse	Gebrochen
Länge der optischen Achse	317(1)	412	412	415	415	540	540	560
Oeffnung	29	40	40	39	39	47	47	46
Stärkste Vergrößerung	28(1)	57	54	54	54	60	62(2)	61(6)
Schwächste "	29(1)	34	26	26	26	40	40(2)	47(6)
Höhe der horizont. Achse	345	355	355	355	355	450	450	450
Excentricität des Fernrohrs	0	156	156	156	156	211,5	211,5	0
Unterschied der Zapfen- dicken	0,57	0,24	0,93	0,18	0,43	0,08	"	"
Gründer Unterschied vom Mittel in der Abmessung der Reitertheile, wenn der Obertheil um die ho- rizontale Achse gedreht wurde	0",65	0",90	"	0",00	0",00	0",50	"	"
Unterschied zwischen den geraden und ungeraden Theilungs-Intervallen (S. Tafel II) beim horizon- talen Kreis	+ 1,60	+ 0,70	+ 5",76	- 1,50 ^{b)}	- 1",075	- 1,49 ^{a)}	- 1",38	0",00
Idem beim vertic. Kreise ..	"	- 0,45	+ 4,85	- 1,60	+ 0,36	- 0,26	- 1,13	0,00
M. Fehler eines Theilstrichs innerhalb des Grades (S. Tafel II), beim horizon- talen Kreise	+ 0",54	± 0",32	± 0",74	± 0",26	± 0",80	± 0",15 ^{a)}	± 0,36	± 0,10
Idem beim vertic. Kreise ..	"	± 0,38	± 0,70	+ 0,19	± 0,02	± 0,007 ^{b)}	± 0,30	± 0,02
Schwindel der Hor. Kreis { ± 1",4 " { ± 2,3 Mikrometerschrauben { ± 0,19 " { ± 0,06 " { ± 0,06 Vert. Kreis { ± 3,4 " { ± 2,5 " { ± 0,15 " { ± 0,07	± 1",4 ± 2,3 ± 0,19 ± 0,06 ± 0,06 ± 3,4 ± 2,5 ± 0,15 ± 0,07	" " " " " " " " "	" " " " " " " " "	" " " " " " " " "	" " " " " " " " "	± 0,007 ^{b)} ± 0,30 ± 0,11 ± 0,15 ± 0,30 ± 0,17	" " " " " " " "	" " " " " " " "

⁷⁾ Bestimmt zu Leiden im Jahre 1850. ⁸⁾ Bestimmt zu Utrecht im Jahre 1891.

²⁾ Das ar. Mittel aus den von den Herren Van Iselmuden und Teunissen erhaltenen Resultaten

⁹⁾ Das ar. Mittel aus den von den Herren Metzger und Verloop erhaltenen Resultaten.

⁹⁾ Mittelzahlen aus mehreren Bestimmungen, worüber später mehr.

⁴⁾ Bezieht sich eigentlich auf das Leidener Instrument von denselben Abmessungen, welches im Sommer 1893 für kurze Zeit zu Utrecht war.

	P. M. I.	P. M. II.	P. M. III.	P. M. IV.	P. M. V.	Gross P. M. I.	Gross P. M. II.	Repsold.
	1850—58		1860—72	1865—72		1865—72	1867—80	1871
		4° 54'	4° 14'	3° 49'	3° 11'	3° 16'	2° 55'	1° 56'
Links.....	"	4° 38'	4° 32'	2° 72'	2° 18'	2° 65'	2° 80'	1° 83'
Mitte.....	"	4° 31'	4° 48'	2° 61'	3° 00'	3° 01'	2° 79'	1° 86'
Rechts.....	"	4° 40'	4° 35'	"	"	2° 31'	"	1° 54'
Ganze Länge	3° 18'							—
Werth eines Theils der Reiter- libelle.	1862—70		1871	1875		1875		1873
			4° 38'	3° 60'		"		Ganze Länge
Links.....	3° 115'		4° 64'	3° 615'		"		1° 93'
Mitte.....	3° 00'		4° 47'	3° 55'		"		1873
Rechts.....	3° 325'		4° 60'	3° 52'		2° 34'		Ganze Länge
Ganze Länge	3° 16'							2° 08'
	1850—58	1861—64	1865	1866	1866—71	1868—69	1867—76	1864—70
		"	"	4° 10'	3° 63'	2° 62'	2° 54'	"
Links.....	"	"	"	4° 02'	3° 48'	2° 69'	3° 00'	"
Mitte.....	"	"	"	4° 32'	3° 39'	2° 58'	3° 07'	"
Rechts.....	"	"	"	"	"	2° 72'	"	2° 56'
Ganze Länge	2° 58'	2° 24'	4° 46'					
Werth eines Theils der Hohen- libelle.	1862—70	1867	1871	1875	1878	1870—77	Ganze Länge	1872
							2° 63'	
Links.....	3° 35'	2° 08'	"	2° 80'	"	3° 57'	Juli 1880 ¹⁾	"
Mitte.....	4° 01'	2° 33'	"	2° 60'	"	3° 65'	2° 96'	"
Rechts.....	3° 68'	2° 70'	"	2° 80'	"	3° 80'	Sept. 1880	"
Ganze Länge	"	2° 58'	4° 60'	2° 805'	4° 30'	3° 73'	3° 46'	2° 14'
			1874				Nov. 1880	
			2° 64'					

In der obenstehenden Tafel sind auch die mittl. Fehler eines Theilstriches, so zu sagen: innerhalb des Grades, mitgetheilt. Diese m. Fehler sind aus der Ausmessung der 12 resp. 15 Unterabtheilungen einer gewissen Zahl gleichförmig über den Umkreis vertheilter Grade abgeleitet. Die Veranlassung zu dieser Untersuchung war die folgende:

Als im Februar d. J. 1865 der Ingenieur J. C. A. van Asperen zu Batavia war, theilte mir derselbe mit, dass er am horizontalen Kreise des 8 zölligen Instrumenten P. M. III eine Stelle gefunden habe, wo zwei neben einander liegende Theilungs-Intervalle sehr ungleich waren. Ich untersuchte die Stelle mittels eines der Mikroskope und fand alsbald, wie ich vermuthet hatte, dass die Theilungs-Intervalle durchgängig abwechselnd zu gross und zu klein waren. Beim untersuchten Grade 251° 45' — 252° 45' war der Unterschied im Mittel 4' 7, und der m. F. jedes Intervalles, nach Abzug des Fehlers der Messung, $\pm 0' 57$.

Ich schrieb hierüber gleich an die Herren Pistor und Martins, und empfing darauf die Nachricht: »der Fehler hätte sich leider längere Zeit unhemmt eingeschlichen, sei aber, nachdem er bemerkt, strenger kontrollirt worden. An der Führungsschraube der Theilmachine ist ein Umgang = $\frac{1}{8}$ Grad. Um $\frac{1}{2}$ Grad zu theilen, hat der feste Kopf der Schraube zwei gegenüberstehende Einschnitte oder Zähne, von denen bei $\frac{1}{8}$ Grad natürlich nur der eine benutzt, also nach und nach mehr abgenutzt wurde. Soilem ist für $\frac{1}{8}$ Grad ein besonderer Zahn benutzt worden. Der Einfluss dieses streng periodischen Fehlers fällt natürlich fort, wenn, wie es überall bei mikroskopischen Ablesungen vorzuschreiben ist, nach beiden zunächst der Mitte stehenden Theilstrichen eingestellt wird.»

¹⁾ Weshalb in diesem Jahr so oft von Libelle geredet wurde, ist nicht notirt worden; wahrscheinlich war das Lecken der Libellen das Motiv.

Dass nachher an dieser Vorschrift, auch bei Breitenbestimmungen, strenge festgehalten wurde, bedarf kaum der Erwähnung, allein ich habe dennoch gleich von den sämtlichen Instrumenten eine Untersuchung nach der Gleichheit der Theilungs-Intervalle veranlasst. Ich ersuchte nämlich die Beobachter: 1°. von beiden Kreisen ihres Instrumentes sieben Grade zu untersuchen, etwa $0^\circ - 1^\circ$; $51^\circ 50' - 52^\circ 50'$; $103^\circ - 104^\circ$; $154^\circ 50' - 155^\circ 50'$; $206^\circ - 207^\circ$; $257^\circ 50' - 258^\circ 50'$; $509^\circ - 510^\circ$. Diese Stellen sind um $51^\circ 50' = \frac{1}{2}$ Umkreis von einander entfernt; ich wählte diesen Bruch, um jedenfalls von einer möglichen Periodicität nach $\frac{1}{2}$ oder $\frac{1}{4}$ Umkreis unabhängig zu sein.

2°. Die Messung der Theilungs-Intervalle jedes Grades sollte fünfmal wiederholt werden, nämlich mit dem Index der Mikroskoptrummel auf 0 , $\frac{1}{2}$, $\frac{1}{4}$, $\frac{3}{4}$ und $\frac{1}{2}$ einer Revolution;

3°. Jeder Strich sollte immer zweimal abgelesen werden.

4°. Keine Ablesung durfte verworfen werden.

5°. Das Mikroskop sollte ganz scharf auf die Theilung eingestellt sein, so dass von Parallaxe keine Spur vorhanden sei;

6°. Die Mikrometerschraube sollte schliesslich immer nach derselben Seite gedreht werden.

7°. Die Original-Ablesungen sollten gleichfalls mitgetheilt werden.

Herr Metzger hatte damals das 8 zöllige Universal-Instrument P. M. III in Gebrauche, und hat auch von beiden Kreisen dieses Instruments sieben Grade, nach diesem Programm ausgemessen. Als aber nachher die beiden 10 zölligen Instrumente aus Berlin empfangen waren, wollte er lieber jede Unterabtheilung der Grade weniger oft, — nur dreimal — messen, dagegen die Zahl der abgemessenen Grade grösser nehmen; dabei die Theilung des Umkreises in sieben Theile zwar beibehalten, die Untersuchung aber auf mehrere Reihen von sieben Graden ausdehnen. Die erste-Reihe fing also mit 0° an, die zweite mit 50° , u. s. w. Bei beiden Kreisen seines Instrumentes (Gross P. M. II) ist er aber in einer Reihe stecken geblieben, und so sind vom horizontalen Kreise dieses Instrumentes vier und zwanzig, beim vertikalen Kreise aber zehn Grade von ihm untersucht worden. Beim erstgenannten Kreise sind also 5 Reihen vollständig gemessen, welche mit 0° , 50° , 60° begannen, von der vierten, welche mit 90° anfing, sind aber nur 5 Glieder gemessen; desgleichen ist beim verticalen Kreise nur eine Reihe vollständig und sind von der zweiten, welche mit 50° anfing, nur drei Grade gemessen.

Die Methode, welche ich damals angab um aus den genannten Messungen den Unterschied der geraden und ungeraden Theilungs-Intervalle, also den systematischen Fehler der ungeraden Striche, und zu gleicher Zeit auch den mittleren Fehler eines jeden Theilstrichs abzuleiten, war einfach die folgende: von den fünf Bestimmungen jedes Theilungs-Intervalles wurde erst das arithmetische Mittel genommen; durch Vergleichung dieses Mittels mit den einzelnen Bestimmungen ergab sich der m . Fehler jeder Bestimmung, also auch des ar. Mittels. Nennen wir diesen letzten mittleren Fehler m_1 .

Es wurde nun von den, für die sechs ungeraden und die sechs geraden Theilungs-Intervalle gefundenen Werthen die Mittel genommen; die sechs Unterschiede mit diesem Mittel wurden quadriert und addirt, und gehen je $5 m_1^2$, also zusammen $10 m_1^2$, wo also m_2 der mittlere Fehler jedes Theilungs-Intervalles ist, mit Einbegriff des Beobachtungsfehlers. Um aber das Resultat von diesem Fehler zu befreien, hatte man nur m_1^2 von m_2^2 abzutziehen, also war der m. F. eines Theilungs-Intervalles $= \sqrt{(m_2^2 - m_1^2)}$ und der m. F. eines Theilstrichs:

$$M = \sqrt{\frac{1}{2} (m_2^2 - m_1^2)} \dots \dots (1)$$

Als aber bei der niederländischen Gradmessungs-Commission im Jahre 1886 die für die Triangulation der Niederlande von Herrn J. Wauschaff in Berlin bestellten Theodolite empfangen waren, stellte ich in der genannten Commission Herrn Prof. Schols vor, die Kreise dieser Instrumente auf dieselbe Art zu untersuchen. Herr Prof. Schols nahm zwar gleich mit diesem Vorschlag Genüge, machte

Für die numerische Berechnung schreibt man einfacher:

$$\left. \begin{aligned} q_{-6} &= -p_6 - p_5 - p_4 - p_3 - p_2 - p_1 \\ q_{-5} &= -p_6 - p_5 - p_4 - p_3 - p_2 \\ q_{-4} &= -p_6 - p_5 - p_4 - p_3 \\ q_{-3} &= -p_6 - p_5 - p_4 \\ q_{-2} &= -p_6 - p_5 \\ q_{-1} &= -p_6 \\ q_1 &= +p_1 \\ q_2 &= +p_1 + p_4 \\ q_3 &= +p_1 + p_4 + p_5 \\ q_4 &= +p_1 + p_4 + p_5 + p_{10} \\ q_5 &= +p_1 + p_4 + p_5 + p_{10} + p_{11} \\ q_6 &= +p_1 + p_4 + p_5 + p_{10} + p_{11} + p_{12} \end{aligned} \right\} \dots \dots (8)$$

Die Formeln (4) bekommen dadurch die Gestalt:

$$z = aA + bB + cC + q,$$

und zwar

$$\left. \begin{aligned} z_0 &= A + 6B + q_{-6} \\ z_1 &= A + 5B - \frac{1}{2}C + q_{-5} \\ z_2 &= A + 4B + q_{-4} \\ z_3 &= A + 5B - \frac{1}{2}C + q_{-3} \\ z_4 &= A + 2B + q_{-2} \\ z_5 &= A + B - \frac{1}{2}C + q_{-1} \\ z_6 &= A \\ z_7 &= A - B - \frac{1}{2}C + q_1 \\ z_8 &= A - 2B + q_2 \\ z_9 &= A - 5B - \frac{1}{2}C + q_3 \\ z_{10} &= A - 4B + q_4 \\ z_{11} &= A - 5B - \frac{1}{2}C + q_5 \\ z_{12} &= A - 6B + q_6 \end{aligned} \right\} \dots \dots (9)$$

aus welchen die Normalgleichungen abgeleitet werden:

$$\left. \begin{aligned} 15A - 5C + [q] &= 0 \\ 182B + [6q] &= 0 \\ -5A + \frac{5}{2}C - \frac{1}{2}(q_{-5} + q_{-3} + q_{-1} + q_1 + q_3 + q_5) &= 0 \end{aligned} \right\} \dots \dots (10)$$

oder, wenn man vorläufig C ausser Betracht lässt:

$$\left. \begin{aligned} 15A + [q] &= 0 \\ 182B + [6q] &= 0 \end{aligned} \right\} \dots \dots (11)$$

also:

$$\left. \begin{aligned} A &= -\frac{1}{15} [q] \\ B &= -\frac{1}{182} [6q] \end{aligned} \right\} \dots \dots (12)$$

Für die Quadratsumme der übrigbleibenden Fehler hat man dann, (siehe oben S. 14, Z. 5-7):

$$[z^2] = [y^2] - \frac{1}{13} [y]^2 - \frac{1}{132} [4y]^2 \dots \dots \dots (15)$$

Führt man wiederum nachher C ein, so bleibt auch hier B unverändert, und die Elimination von A aus der ersten und dritten Gleichung (10) giebt:

$$C = \frac{1}{11} [7 (y_{-5} + y_{-3} + y_{-1} + y_1 + y_3 + y_5) - 6 (y_{-6} + y_{-4} + y_{-2} + y_2 + y_4 + y_6)] \quad (14)$$

während bei beiden Rechnungsweisen

$$A = \text{dem früheren Werthe} + \frac{1}{13} C \dots \dots (15)$$

Wird aber auf C Rücksicht genommen, so ändern sich auch die Fehler; wie gesagt nennen wir dieselben nun zur Unterscheidung z , so findet man leicht:

$$\left. \begin{aligned} z_0 &= x_0 + \frac{6}{24} C \\ z_1 &= x_1 - \frac{7}{24} C \\ z_2 &= x_2 + \frac{6}{24} C \\ z_3 &= x_3 - \frac{7}{24} C \\ &\dots \dots \dots \\ z_{11} &= x_{11} - \frac{7}{24} C \\ z_{12} &= x_{12} + \frac{6}{24} C \end{aligned} \right\} \dots \dots \dots (16)$$

Also

$$[z^2] = [x^2] + \left[\frac{1}{13} (x_0 + x_2 + \dots + x_{12}) - \frac{7}{13} (x_1 + x_3 + \dots + x_{11}) \right] C + \frac{2}{13} C^2 \quad (17)$$

Es folgt aber aus den Gleichungen (4), wenn man die y und die $-\frac{1}{11} C$ nicht berücksichtigt:

$$6 (x_0 + x_2 + \dots + x_{12}) - 7 (x_1 + x_3 + \dots + x_{11}) = -6 (p_1 - p_{11}) - 5 (p_3 - p_{13}) - 4 (p_5 - p_7) - 3 (p_9 - p_9) - 2 (p_{11} - p_1) - p_{11} + p_2$$

d. h. mit Rücksicht auf (7)

$$= -21 C.$$

Es wird also

$$\begin{aligned} [z^2] &= [x^2] - \frac{7}{13} C^2 + \frac{2}{13} C^2 \\ &= [x^2] - \frac{5}{13} C^2 \dots \dots \dots (18) \end{aligned}$$

He wir weiter gehen, wollen wir für die Berechnung ein Beispiel anführen. Es wurden von Herrn Metzger sieben Grade des horizontalen Kreises vom 10 zölligen Universal-Instrumente Gross

P. M. I gemessen. Wir wählen daraus die Messung des Grades $51\frac{1}{2} - 52\frac{1}{2}^\circ$. Jede Messung wurde, wie oben, S. 15, bereits erwähnt ist, dreimal ausgeführt.

1. Lösung der Gleichungen ohne C .

p	$x = A + b B + g$	bq	g^2
+ 2',50	$x_{-6} = A + 6 B = 9',71$	— 58',26	94',28
+ 0',47	$x_{-5} = A + 5 B = 7',21$	— 56',05	51',98
+ 2',29	$x_{-4} = A + 4 B = 7',04$	— 28',16	49',56
+ 0',17	$x_{-3} = A + 3 B = 4',75$	— 14',25	22',56
+ 5',29	$x_{-2} = A + 2 B = 4',58$	— 9',16	20',98
+ 1',29	$x_{-1} = A + B = 1',29$	— 1',29	1',66
	$x_0 = A$		
+ 2',58	$x_1 = A - B = 2',58$	— 2',58	6',66
+ 0',75	$x_2 = A - 2 B = 5',55$	— 6',66	11',09
+ 2',96	$x_3 = A - 3 B = 6',29$	— 18',87	59',56
+ 0',50	$x_4 = A - 4 B = 6',79$	— 27',16	46',10
+ 2',17	$x_5 = A - 5 B = 8',96$	— 44',80	80',28
+ 0',50	$x_6 = A - 6 B = 9',46$	— 56',76	89',49

$$[g] = + 2,85 \quad [bg] = - 504,00 \quad [g^2] = 514,20$$

$$A = - \frac{1}{13} [g] = - 0',218$$

$$B = - \frac{1}{13} [bg] = + 1',670$$

$$- \frac{1}{13} [g] = - 0',62$$

$$- \frac{1}{13} [bg] = - 507',78$$

$$[x^2] = 5,80$$

2. Berechnung von C .

$$\begin{array}{r}
 + 2',50 + 2',29 + 5',29 + 2',58 + 2',96 + 2',17 \\
 + 0',50 + 0',50 + 0',75 + 1',29 + 0',17 + 0',17 \\
 \hline
 + 2',00 + 1',79 + 2',54 + 1',29 + 2',79 + 2',00 \\
 \quad \quad \quad 6 \quad \quad 5 \quad \quad 4 \quad \quad 5 \quad \quad 2 \quad \quad 1 \\
 \hline
 + 12',00 + 8',95 + 10',16 + 5',87 + 5',58 + 2',00 \\
 \hline
 21 C = 42',56 \\
 C = 2',027
 \end{array}$$

3. Verbesserung der Werthe von A und $[x^2]$ für C .

$$A = - 0',218 \quad [x^2] = 5,80$$

$$\frac{1}{13} C = + 0',468 \quad - \frac{21}{13} C^2 = - 5,52$$

$$A = + 0',250 \quad [x^2] = 2,48$$

Es muss nun noch Rücksicht darauf genommen werden, dass die beobachteten p nicht fehlerfrei sind, dass also, wenn der Zweck ist, den mittleren Fehler eines Theilstrichs zu bestimmen, von den nach der Formel (15) berechneten $[x^2]$ noch ein Glied abgezogen werden muss. Um dieses Glied zu finden, substituirt man aus (6) die Werthe von A und B in die Gleichungen (4), ohne die Glieder $-\frac{1}{2} C$ zu berücksichtigen; man erhält alsdann:

$$\left. \begin{aligned} x_0 &= \frac{1}{144} [-152p_1 - 88p_2 - 50p_3 - 18p_4 + 8p_5 + 28p_6 + 42p_7 + 50p_8 + 52p_9 + 48p_{10} + 58p_{11} + 22p_{12}] \\ x_1 &= \frac{1}{144} [+44 - 99 - 65 - 56 - 12 + 7 + 21 + 50 + 54 + 55 + 27 + 16] \\ x_2 &= \frac{1}{144} [+58 + 72 - 80 - 54 - 52 - 14 - 0 + 10 + 16 + 18 + 16 + 10] \\ x_3 &= \frac{1}{144} [+52 + 61 + 87 - 72 - 52 - 55 - 21 - 10 - 2 + 5 + 4] \\ x_4 &= \frac{1}{144} [+26 + 50 + 72 + 92 - 72 - 56 - 52 - 50 - 20 - 12 - 6 - 2] \\ x_5 &= \frac{1}{144} [+20 + 59 + 57 + 74 + 90 - 77 - 65 - 50 - 58 - 27 - 17 - 8] \\ x_6 &= \frac{1}{144} [+14 + 28 + 42 + 56 + 70 + 84 - 84 - 70 - 56 - 42 - 28 - 14] \\ x_7 &= \frac{1}{144} [+8 + 17 + 27 + 58 + 50 + 65 + 77 - 90 - 74 - 57 - 59 - 20] \\ x_8 &= \frac{1}{144} [+2 + 6 + 12 + 20 + 50 + 42 + 56 + 72 - 92 - 72 - 50 - 26] \\ x_9 &= \frac{1}{144} [-4 - 5 - 5 + 2 + 10 + 21 + 55 + 52 + 72 - 87 - 61 - 52] \\ x_{10} &= \frac{1}{144} [-10 - 16 - 18 - 16 - 10 - 0 + 14 + 52 + 54 + 80 - 72 - 58] \\ x_{11} &= \frac{1}{144} [-16 - 27 - 55 - 54 - 50 - 21 - 7 + 12 + 56 + 65 + 99 - 44] \\ x_{12} &= \frac{1}{144} [-22 - 58 - 48 - 52 - 50 - 42 - 28 - 8 + 18 + 50 + 88 + 152] \end{aligned} \right\} (19)$$

Jedes p ist nun aber, wie oben erwähnt, von einem Fehler y begleitet, statt p_i hätte also $p_i - y_i$, u. s. w. gesetzt werden müssen. In obigem Systeme (19) ist demnach der Fehler des x_0

$$= \frac{1}{144} [-152y_1 - 88y_2 - 50y_3 - 18y_4 + 8y_5 + 28y_6 + 42y_7 + 50y_8 + 52y_9 + 48y_{10} + 58y_{11} + 22y_{12}],$$

der Fehler von x_1

$$= \frac{1}{144} [+44 - 99 - 65 - 56 - 12 + 7 + 21 + 50 + 54 + 55 + 27 + 16],$$

u. s. w. Es muss also von $[x^2]$ der mittlere Werth der Quadratsumme dieser Ausdrücke abgezogen werden; bei der Berechnung dieser Quadratsumme braucht man aber nur die Summe der y_1^2, y_2^2, y_3^2 , u. s. w. in Betracht zu ziehen, indem der Mittelwerth der Producte $y_1 y_2, y_1 y_3, \dots, y_6 y_{11}, \dots$ u. s. w. offenbar gleich Null angenommen werden kann. Setzt man nun den mittleren Beobachtungsfehler = m , so erhält dessen Quadrat m^2 die Summe der Quadrate obiger 156 Coefficienten zum Factor, d. h.

$$\begin{aligned} & \left(\frac{152}{144}\right)^2 + \left(\frac{88}{144}\right)^2 + \text{u. s. w.} \\ & + \left(\frac{144}{144}\right)^2 + \left(\frac{92}{144}\right)^2 + \text{u. s. w.} \\ & + \text{u. s. w.} \end{aligned}$$

Man findet diese Summe = 11; nennt man also den m. Fehler eines jeden Theilstrichs... M , so ist

$$(15-2) M^2 = 11 M^2 = [x^2] - 11 m^2 \dots \dots (20)$$

und

$$M^2 = \frac{1}{11} [x^2] - m^2 \dots \dots \dots (21)$$

Der mittlere Bestimmungsfehler m wurde durch Vergleichung, unter einander, der drei verschiedenen Werthe berechnet, welche mit anfänglicher Ablesung $= 0, \frac{1}{2}$ Rev. und $\frac{3}{2}$ Rev. der Mikrometerschraube gefunden wurden; dabei wurde selbstverständlich auf den constanten Unterschied, wegen der periodischen Ungleichheiten der Schraube, zwischen den Messungen bei den drei Anfangspunkten Rücksicht genommen. Für diesen Grad war für eine einzelne Messung ($m. F.$) $= 0,45$; also wegen der dreimaligen Wiederholung: $m^2 = 0,45^2 = 0,15$. Es würde demnach, wenn C ausser Acht gelassen werden konnte:

$$M^2 = 0,55 - 0,15 = 0,58,$$

und

$$M = \pm 0,62. \dots \dots \dots (22)$$

sein.

Wird aber C eingeführt, wozu hier allerdings Veranlassung vorliegt, so ändert sich, ausser A , auch der Ausdruck für M^2 .

Substituiert man nämlich die Werthe von A und B aus (15) und der 2^{ten} Gleichung (6) in (4), so erhält man dieselben Gleichungen (19) wie früher; nur wird dem zweiten Theile der ersten, dritten, fünften u. s. w. Gleichung noch das Glied $-\frac{6}{26} C$, und der zweiten, vierten, sechsten u. s. w. Gleichung noch das Glied $+\frac{6}{26} C$ hinzugefügt.

Es ist aber nach (7)

$$\begin{aligned} +\frac{6}{26} C &= \pm \frac{1}{6} [\quad 50p_1 - 6p_2 + 50p_3 - 12p_4 + 24p_5 - 18p_6 + 18p_7 - 24p_8 + 12p_9 - 50p_{10} + 6p_{11} - 56p_{12}] \\ -\frac{6}{26} C &= \pm \frac{1}{6} [-42 + 7 - 55 + 14 - 28 + 21 - 21 + 28 - 14 + 55 - 7 + 42] \end{aligned}$$

Fügt man diese Ausdrücke nun alternativ den Gleichungen (19) hinzu, so findet man:

$$\begin{aligned} z_0 &= \frac{1}{1216} [-360p_1 - 270p_2 - 120p_3 - 66p_4 + 48p_5 + 66p_6 + 144p_7 + 126p_8 + 168p_9 + 114p_{10} + 120p_{11} + 30p_{12}] \\ z_1 &= \frac{1}{1216} [+90 - 200 - 230 - 94 - 64 + 42 + 42 + 118 + 88 + 134 + 74 + 90] \\ z_2 &= \frac{1}{1216} [+150 + 210 - 210 - 174 - 72 - 60 + 18 + 6 + 60 + 24 + 54 - 6] \\ z_3 &= \frac{1}{1216} [+54 + 190 + 226 - 202 - 184 - 84 - 84 - 2 - 20 + 44 + 8 + 54] \\ z_4 &= \frac{1}{1216} [+114 + 144 + 246 + 264 - 192 - 186 - 108 - 114 - 48 - 66 - 12 - 42] \\ z_5 &= \frac{1}{1216} [+18 + 124 + 136 + 236 + 242 - 210 - 210 - 122 - 128 - 46 - 58 + 18] \\ z_6 &= \frac{1}{1216} [+78 + 78 + 156 + 156 + 234 + 234 - 234 - 234 - 156 - 156 - 78 - 78] \\ z_7 &= \frac{1}{1216} [-18 + 58 + 46 + 128 + 122 + 210 + 210 - 242 - 236 - 136 - 124 - 18] \\ z_8 &= \frac{1}{1216} [+42 + 12 + 66 + 48 + 114 + 108 + 156 + 192 - 264 - 246 - 144 - 114] \\ z_9 &= \frac{1}{1216} [-54 - 8 - 44 + 20 + 2 + 84 + 84 + 184 + 202 - 226 - 190 - 54] \\ z_{10} &= \frac{1}{1216} [+6 - 54 - 24 - 60 - 6 - 18 + 60 + 72 + 174 + 210 - 210 - 150] \\ z_{11} &= \frac{1}{1216} [-90 - 74 - 134 - 88 - 118 - 42 - 42 + 64 + 94 + 230 + 290 - 99] \\ z_{12} &= \frac{1}{1216} [-30 - 120 - 114 - 168 - 126 - 144 - 66 - 48 + 66 + 120 + 270 + 360] \end{aligned} \quad (23)$$

Jedes z ist hier aber wiederum von seinem Fehler y begleitet; diesen Ausdrücken sollen also noch analoge hinzugefügt werden, wo die p durch $-y$ ersetzt worden sind. Von den $[z]$ muss also in diesem Falle die Quadratsumme dieser Coefficienten $\times m^2$ abgezogen werden. Führt man dies aus, so findet man:

$$(15-5) M^2 = 10 M^2 = [x^2] - \frac{3}{2} m^2 \dots \dots \dots (24)$$

also

$$M^2 = \frac{1}{6} [x^2] - \frac{1}{2} m^2 \dots \dots \dots (25)$$

Auf unser Beispiel angewandt, finden wir:

$$\begin{aligned} M^2 &= 0,248 - 0,160 = 0,088 \\ M &= \pm 0,296 \end{aligned}$$

Die Frage liegt auf der Hand, ob in der Gleichung (21) der Coefficient von m^2 für jeden Werth von n , der Zahl der in einem Grade der Theilung begriffenen Intervalle, der Einheit gleich sei. Um dies zu beurtheilen muss man die oben gegebene Entwicklung noch einmal, aber allgemein durchführen. Wenn wir dabei, was hier einfacher ist, als bei der numerischen Entwicklung, statt des Fehlers des mittleren Striches, den Fehler des ersten Striches = A nennen, so ist die Entwicklung auch auf den Fall anwendbar, wo n , wie bei dem U. I. von Repsold, ungerade und also kein mittlerer Strich vorhanden ist. Wir lassen wieder einstweilen die C ausser Betracht. Es sei

$$\begin{aligned} x_0 &= A \\ x_1 &= A + B + p_1 \\ &\vdots \\ x_{s-1} &= A + (s-1) B + p_1 + \dots + p_{s-1} \\ x_s &= A + s B + p_1 + \dots + p_{s-1} + p_s \\ x_{s+1} &= A + (s+1) B + p_1 + \dots + p_{s-1} + p_s + p_{s+1} \\ &\vdots \\ x_{n-1} &= A + (n-1) B + p_1 + \dots + p_{s-1} + p_s + p_{s+1} + \dots + p_{n-1} \\ x_n &= A + n B + p_1 + \dots + p_{s-1} + p_s + p_{s+1} + \dots + p_{n-1} + p_n \end{aligned} \quad (26)$$

Die Methode der kleinsten Quadrate führt zu den folgenden Normalgleichungen:

$$\begin{aligned} 0 &= (n+1) A + \frac{1}{2} n (n+1) B + \dots + (n-s+1) p_s + \dots \\ 0 &= \frac{1}{2} n (n+1) A + \frac{1}{6} n (n+1) (2n+1) B + \dots + \frac{1}{2} (n-s+1) (n+s) p_s + \dots \end{aligned} \quad (27)$$

aus welchen man leicht ableitet:

$$\begin{aligned} A &= \dots - \frac{(n-s+1)(n-3s+2)}{(n+1)(n+2)} p_s + \dots \\ B &= \dots - \frac{6(n-s+1)s}{n(n+1)(n+2)} p_s + \dots \end{aligned} \quad (28)$$

wo also

$$a = - \frac{(n-s+1)(n-3s+2)}{(n+1)(n+2)} \quad \text{und} \quad b = - \frac{6(n-s+1)s}{n(n+1)(n+2)} \quad (29)$$

ist. Die Substitution in den Gleichungen (26) giebt:

$$\begin{aligned}
x_0 &= \dots \dots \dots \left(\begin{array}{c} a \\ a + b \end{array} \right) p_s \dots \dots \dots \\
x_1 &= \dots \dots \dots \left(\begin{array}{c} a \\ a + b \end{array} \right) p_s \dots \dots \dots \\
x_{s-1} &= \dots \dots \dots \left(\begin{array}{c} a + (s-1)b \\ a + b \end{array} \right) p_s \dots \dots \dots \\
x_s &= \dots \dots \dots \left(\begin{array}{c} 1 + a + (s-1)b \\ a + b \end{array} \right) p_s \dots \dots \dots \\
x_{s+1} &= \dots \dots \dots \left(\begin{array}{c} 1 + a + (s+1)b \\ a + b \end{array} \right) p_s \dots \dots \dots \\
x_{n-1} &= \dots \dots \dots \left(\begin{array}{c} 1 + a + (n-1)b \\ a + b \end{array} \right) p_s \dots \dots \dots \\
x_n &= \dots \dots \dots \left(\begin{array}{c} 1 + a + nb \\ a + b \end{array} \right) p_s \dots \dots \dots
\end{aligned}$$

Die Summe der Quadrate der Coefficienten von p_s wird:

$$= (a - s + 1) + 2a(a - s + 1) + 2b \frac{(a - s + 1)(n + s)}{2} + a^2(n + 1) + 2ab \frac{n(n + 1)}{2} + b^2 \frac{n(n + 1)(n + 2)}{6},$$

oder, nach Substitution aus (29) der Werthe von a und b und Reduction:

$$(a - s + 1) = \frac{(n - s + 1)^2}{n + 1} = 5 \frac{s^2, n - s + 1}{n - s + 1(n + 2)}.$$

Dieser Ausdruck muss nun noch für die Werthe von s summirt werden, und zwar von $s = 1$ bis zu $s = n$. So findet man

$$\begin{aligned}
& \frac{n(n+1)}{2} \cdot \frac{1}{n+1} \cdot \frac{n(n+1)(2n+1)}{6} = \frac{2}{n(n+1)(n+2)} \cdot \frac{n(n+1)(n+2)(n^2+2n+2)}{30} \\
& = \frac{n(n+1)}{2} = \frac{n(2n+1)}{6} = \frac{n^2+2n+2}{10} = \frac{2n^2+4n-6}{30} = \frac{(n+3)(n-1)}{15}.
\end{aligned}$$

Also

$$(n-1) M^2 = \{x^2\} \frac{(n+3)(n-1)}{15} m^2 \dots \dots \dots (50)$$

woraus

$$M^2 = \frac{\{x^2\}}{n-1} = \frac{n+3}{15} m^2 \dots \dots \dots (51)$$

Gibt man also n die verschiedenen vorkommenden Werthe, so findet man:

$$\left. \begin{array}{ll} \text{für } n = 2, \text{ (Theilungs-Intervalle von 50):} & M^2 = \{x^2\} = \frac{1}{3} m^2, \\ n = 3, (& a & a \quad 20): & \frac{1}{2} \{x^2\} = \frac{2}{3} m^2, \\ n = 4, (& a & a \quad 15): & \frac{1}{3} \{x^2\} = \frac{1}{5} m^2, \\ n = 6, (& a & a \quad 10): & \frac{1}{2} \{x^2\} = \frac{2}{3} m^2, \\ n = 12, (& a & a \quad 5): & \frac{1}{11} \{x^2\} = m^2, \\ n = 15, (& a & a \quad 4): & \frac{1}{11} \{x^2\} = \frac{8}{3} m^2. \end{array} \right\} (52)$$

Wird nun in diesem allgemeinen Falle, die dritte Unbekannte C eingeführt, so findet man nach den nöthigen Entwicklungen:

$$\{x^2\} = \{x^2\} - \frac{n(n+2)}{16(n+1)} C^2 \dots \dots \dots (53)$$

Der Einfluss der Beobachtungsfehler ist aber bei geraden und bei ungeraden n nicht derselbe. Der Kürze halber werden wir die etwas langwierige Entwicklung hier übergangen und nur die Endresultate mittheilen. Man findet nämlich für die geraden n :

$$(n-2) M^2 = \{x^2\} - \frac{(n-2)(n+4)}{15} m^2 \dots \dots \dots (54)$$

also

$$M^2 = \frac{[z^2]}{n-2} = \frac{n+1}{15} m^2 \dots \dots \dots (55)$$

was, für $n = 12$, mit (27) stimmt.

Für die ungeraden n weicht nur der Factor der m^2 um eine Kleinigkeit hiervon ab, es findet sich dann nämlich:

$$(n-2) M^2 = [z^2] = \frac{2n^2 + 4n - 15}{30} m^2$$

also

$$M^2 = \frac{[z^2]}{n-2} = \frac{2n^2 + 4n - 15}{30(n-2)} m^2 = \frac{[z^2]}{n-2} = \frac{1}{15} + \frac{4}{15n} + \frac{1}{30(n-2)} m^2 \dots (56)$$

Für $n = 15$ würde dies also werden:

$$M^2 = \frac{1}{15} [z^2] = \frac{3}{2} m^2 \dots \dots \dots (57)$$

Beim Repsold'schen Universal-Instrumente, dem einzigen wo n ungerade war, ist aber von einem regelmässigen Unterschiede zwischen geraden und ungeraden Theilungs-Intervallen keine Spur zu erkennen. Die letzte Formel bleibt also bei uns ausser Anwendung.

Der Werth von m^2 wurde aus den Unterschieden der einzelnen Messungen der Theilungs-Intervalle mit ihrem arithmetischem Mittel abgeleitet. Es sind hier aber zwei Fälle zu unterscheiden. Bei den achttägigen Instrumenten P. M. II, III, IV und V entsprach eine Revolution der Mikrometerschraube einem Theilungs-Intervall, die Messungen der Intervalle waren also, obgleich die Ablesung auf der Trommel regelmässig gewechselt wurde, von periodischen Fehlern der Schraube frei.

Bei den 10 zölligen Universal-Instrumenten, Gross P. M. I und II, war aber jedes Theilungs-Intervall = 24 Revolution. Wie Herr Martins, der Inhaber der berühmten Firma Pistor und Martins, mir seiner Zeit mittheilte, wurde damit bezweckt, den Beobachter in die Lage zu setzen, einerseits mittels Ablesung an zwei neben einander stehenden Strichen des Randes, den Einfluss der zufälligen Theilungsfehler zu verringern, andererseits mittels Ablesung an zwei gegenüberstehenden Theilen der Trommel, das Hauptglied der Correction für periodische Fehler zu eliminieren. Die Folge ist dann aber auch, dass jede besondere Messung eines Theilungs-Intervalles nicht frei von den periodischen Fehlern der Schraube ist, und will man die Resultate, welche bei einer anfänglichen Ablesung = 0^0 , $0^40'$ und $1^20'$ erhalten werden, zur Bestimmung des mittleren Fehlers mit einander vergleichen, so muss man erst aus allen Messungen den systematischen Unterschied zwischen der zweiten und ersten, wie auch zwischen der dritten und ersten Messung ableiten, und diese bei der Vergleichung anwenden. Die Quadratsumme der Unterschiede mit den x . Mitteln erhält also, wenn N Grade mit denselben Mikroskopen untersucht worden sind, und jeder Grad n Intervalle hat, um m^2 zu finden, zum Theiler

$$5 (2 N n - 2).$$

Sind beide Mikroskope benutzt worden, so muss man natürlich nur diejenigen Messungen, welche mit denselben Mikroskop ausgeführt wurden sind, vereinigen.

Wir werden nun in den zwei unten folgenden Tafeln die Resultate dieser Rechnungen folgen lassen. Die Werthe von A vor und nach der Verbesserung für C , mittels der Formel (15), sind in denselben weggelassen worden. Vor dieser Verbesserung war öfters das Vorzeichen dieser Grösse bei den verschiedenen Graden desselben Instruments dasselbe, nach der Verbesserung wechselten die Vorzeichen ab, so dass diese Grösse wie die übrigen x , den Charakter eines zufälligen Fehlers erhielt.

In der ersten Columne der Tafel I bedeutet H den horizontalen und V den vertikalen Kreis. In der dritten Columne sind die Anfangsbuchstaben der Vornamen nur dann angesetzt, wenn mehr als eine Person desselben Namens Mitarbeiter bei der Triangulation war.

Zur besseren Uebersicht sind die Resultate der Tafel I in Tafel II zusammengefasst.

RESULTATE DER UNTERSUCHUNGEN NACH DER GLEICHMÄSSIGKEIT DER KREISTHEILUN-

Instrument und Kreis.	Durch- messer des Kreises.	Beobachter.	Zeit.	Wieviel Mal gemessen.	Grad.	B.
P. M. I, II.	8 Z.	J. A. C. Oudemans, van Maanen.	Feb. 1865. Aug. 1866.	4	0° — 1°	+ 0',892
				4	90 — 91	+ 1',576
Mittel:						
P. M. II, II.	8 Z.	J. A. C. Oudemans, (Utrecht.)	1892.	5	0 — 1	+ 1',460
				"	51 — 52	— 0',845
				"	105 — 104	— 0',258
				"	154 — 155	— 0',545
				"	205 — 206	— 0',562
				"	252 — 255	— 0',741
Mittel:						
P. M. II, V.	8 Z.	J. A. C. Oudemans, (Utrecht.)	1892.	5	0 — 1	— 0',577
				"	51 — 52	— 0',575
				"	102 — 105	— 0',500
				"	154 — 155	— 0',157
				"	205 — 206	— 0',054
				"	256 — 257	— 0',610
Mittel:						
P. M. III, II.	8 Z.	Metzger.	Mai 1865.	5	0 — 1	+ 5',960
				"	51 — 52	+ 2',295
				"	105 — 104	+ 5',008
				"	154 — 155	+ 1',401
				"	207 — 208	+ 5',174
				"	257 — 258	+ 2',568
Mittel:						
P. M. III, V.	8 Z.	Metzger.	Mai 1865.	5	0 — 1	— 5',065
				"	51 — 52	— 5',164
				"	105 — 104	— 5',188
				"	154 — 155	— 2',925
				"	206 — 207	— 4',268
				"	257 — 258	— 5',516
Mittel:						
P. M. IV, II.	8 Z.	Van Iselmuuden.	August 1875.	5	0 — 1	— 1',578
				"	51 — 52	— 1',722
				"	105 — 104	— 2',227
				"	154 — 155	— 1',955
				"	206 — 207	— 2',662
				"	257 — 258	— 2',269
Mittel:						
Mittel:						

GEN DER BEI DER TRIANGULATION VON JAVA ANGEWANDTEN UNIVERSAL-INSTRUMENTE.

C .	$[a^2]$.	$[a^3]$.	$[a^4]$.	$[a^5]$.	a^2 .	$\frac{M^2}{a^2} = \frac{[a^2]}{a^2} = \frac{a+2}{a+4} a^2$.	M .	Grösster Unterschied mit Rücksicht auf C .
$\pm 1^{\circ} 000$	17,55	15,50	1,50	1,55				5',72
$\pm 1^{\circ} 141$	5,62	4,57	0,51	0,46				2',42
$\pm 1^{\circ} 400$	11,58	9,94	1,05	0,90	0,27	0,705	$\pm 0',84$	
$\pm 0^{\circ} 047$	2,06	2,06	0,187	0,206	0,067			1',30
$\pm 0^{\circ} 446$	2,44	2,28	0,222	0,228	0,067			1',88
$\pm 1^{\circ} 556$	2,54	0,65	0,251	0,065	0,057			0',47
$\pm 0^{\circ} 617$	5,56	5,25	0,524	0,525	0,060			1',76
$\pm 0^{\circ} 078$	0,59	0,59	0,054	0,059	0,057			0',89
$\pm 1^{\circ} 787$	4,74	2,16	0,451	0,216	0,075			0',66
$\pm 0^{\circ} 650$	0,96	0,64	0,087	0,064	0,077			0',42
$\pm 0^{\circ} 699$	2,415	1,66	0,219	0,166	0,065	0,100	$\pm 0',52$	1',14
$\pm 0^{\circ} 097$	1,50	1,49	0,156	0,149	0,257			1',60
$\pm 0^{\circ} 174$	7,99	7,97	0,726	0,797	0,217			4',60
$\pm 0^{\circ} 924$	2,07	1,58	0,188	0,158	0,157			0',95
$\pm 0^{\circ} 199$	1,17	1,14	0,106	0,114	0,077			1',45
$\pm 0^{\circ} 719$	5,26	2,84	0,290	0,284	0,120			2',58
$\pm 0^{\circ} 614$	2,85	2,55	0,257	0,255	0,095			1',08
$\pm 0^{\circ} 268$	5,55	5,47	0,521	0,547	0,120			1',05
$\pm 0^{\circ} 528$	5,192	2,94	0,290	0,294	0,145	0,145	$\pm 0',58$	1',46
$\pm 6^{\circ} 652$	45,57	7,85	5,96	0,785	0,81			2',65
$\pm 7^{\circ} 005$	54,65	15,02	4,97	1,502	1,10			4',50
$\pm 6^{\circ} 005$	41,41	12,28	5,76	1,228	0,75			2',70
$\pm 5^{\circ} 758$	25,52	12,05	2,12	1,205	0,57			1',86
$\pm 6^{\circ} 562$	48,91	14,15	4,45	1,415	0,56			4',64
$\pm 4^{\circ} 752$	59,79	21,55	5,62	2,155	1,54			5',55
$\pm 5^{\circ} 695$	57,68	52,50	5,24	5,250	2,11			4',20
$\pm 5^{\circ} 760$	44,19	16,45	4,02	1,645	1,05	0,542	$\pm 0',74$	5',41
$\pm 4^{\circ} 071$	16,10	2,71	1,46	0,27	0,68			1',75
$\pm 5^{\circ} 229$	48,49	26,41	4,41	2,64	0,74			2',87
$\pm 2^{\circ} 645$	25,81	20,17	2,55	2,02	0,48			4',26
$\pm 5^{\circ} 005$	25,16	4,95	2,29	0,49	0,81			2',50
$\pm 6^{\circ} 224$	56,40	5,11	5,51	0,51	0,51			2',08
$\pm 5^{\circ} 155$	29,65	8,55	2,69	0,84	0,49			2',67
$\pm 5^{\circ} 845$	58,66	11,08	5,51	1,11	0,51			5',56
$\pm 4^{\circ} 878$	51,46	11,25	2,86	1,125	0,60	0,485	$\pm 0',695$	2',78
$\pm 1^{\circ} 751$	2,86	0,44	0,260	0,044	0,070			0',57
$\pm 2^{\circ} 185$	4,85	1,00	0,441	0,100	0,048			0',72
$\pm 2^{\circ} 612$	6,86	1,55	0,624	0,155	0,052			0',89
$\pm 1^{\circ} 176$	2,75	1,65	0,250	0,165	0,094			0',82
$\pm 1^{\circ} 490$	2,60	0,81	0,256	0,081	0,094			0',96
$\pm 2^{\circ} 045$	4,91	1,54	0,446	0,154	0,092			1',11
$\pm 2^{\circ} 552$	4,75	0,26	0,450	0,026	0,052			0',50
$\pm 1^{\circ} 941$	4,22	1,00	0,584	0,100	0,068	0,027	$\pm 0',16$	0',80

Instrument und Kreis.	Durch- messer des Kreises.	Beobachter.	Zeit.	Wieviel Mal gemessen.	Grad.	B.
P. M. IV, II.	8 Z.	Tenmissen.	April 1875.	5	0° — 1°	+ 0',269
				"	514 — 524	+ 0',227
				"	105 — 104	+ 0',145
				"	1544 — 1554	+ 0',455
				"	206 — 207	+ 0',027
				"	2574 — 2584	+ 0',124
				"	509 — 510	+ 0',287
						Mittel:
P. M. IV, V.	8 Z.	Tenmissen.	Januar 1876.	5	0 — 1	— 0',205
				"	514 — 524	— 0',099
				"	105 — 104	— 0',145
				"	1544 — 1554	— 0',556
				"	206 — 207	— 0',269
				"	2574 — 2584	— 0',280
				"	509 — 510	— 0',275
						Mittel:
P. M. V, II.	8 Z.	H. T. Soeters.	October 1871.	5	0 — 1	+ 0',952
				"	514 — 524	+ 0',419
				"	105 — 104	+ 0',229
				"	1544 — 1554	— 0',054
				"	206 — 207	— 0',080
				"	2574 — 2584	— 0',052
				"	509 — 510	+ 0',027
						Mittel:
						Mit Ausschliessung des ersten Grades
P. M. V, V.	8 Z.	H. T. Soeters.	October 1871.	5	0 — 1	— 0',550
				"	514 — 524	— 0',161
				"	105 — 104	— 0',056
				"	1544 — 1554	— 0',109
				"	206 — 207	— 0',260
				"	2574 — 2584	— 0',255
				"	509 — 510	— 0',064
						Mittel:
Gr. P. M. I, II.	10 Z.	Metzger.	1868.	5	0 — 1	— 1',258
				"	514 — 524	— 1',670
				"	105 — 104	— 1',879
				"	1544 — 1554	— 1',552
				"	206 — 207	— 1',584
				"	2574 — 2584	— 1',601
				"	509 — 510	— 1',497
						Mittel:

(1) Gerade die erste Abtheilung dieses Grades, 0° 0' — 0° 5', ist nur etwa 4" zu klein; es scheint dort also ein

c .	$[x']$.	$[x'']$.	$\frac{[x']}{n-1}$.	$\frac{[x'']}{n-2}$.	m^2 .	$M^2 = \frac{[x']^2}{n-2} - \frac{n+1}{15} \cdot m^2$.	M .	Grösster Unterschied mit Rücksicht auf c .
— 1',685	2,92	0,65	0,265	0,065	0,040			0',91
— 1',158	2,12	1,04	0,195	0,104	0,052			1',45
— 1',919	5,01	2,04	0,455	0,204	0,040			2',05
— 1',187	2,79	1,65	0,254	0,165	0,040			1',08
— 2',194	6,12	2,25	0,556	0,225	0,044			0',87
— 2',145	5,69	1,98	0,517	0,198	0,054			1',05
— 1',289	2,82	1,48	0,256	0,148	0,016			1',42
— 1',655	5,924	1,58	0,557	0,158	0,056	0,120	$\pm 0',55$	1',26
— 1',526	1,65	0,25	0,150	0,025	0,044			0',65
— 1',640	5,15	0,96	0,285	0,096	0,026			1',02
— 1',598	2,58	0,52	0,216	0,052	0,024			0',68
— 1',746	2,95	0,49	0,268	0,049	0,025			0',75
— 2',510	4,99	0,68	0,454	0,068	0,022			0',47
— 1',510	2,58	0,54	0,216	0,054	0,011			0',95
— 1',058	1,95	1,05	0,175	0,105	0,012			0',58
— 1',598	2,77	0,61	0,252	0,061	0,024	0,055	$\pm 0',19$	0',72
+ 0',582	24,15	25,85	2,194	2,585	0,170			5',46(1)
— 1',908	5,46	2,52	0,496	0,252	0,164			0',65
— 0',881	0,75	0,15	0,068	0,015	0,048			0',56
— 1',017	5,19	2,55	0,290	0,255	0,074			1',44
— 0',796	1,25	0,74	0,114	0,074	0,046			1',04
— 0',927	0,98	0,29	0,089	0,029	0,054			0',45
— 0',920	1,59	0,91	0,145	0,091	0,052			0',56
— 0',858	5,55	4,40	0,485	0,440	0,086	0,548	$\pm 0',59$	1',42
— 1',075	2,20	1,16	0,200	0,116	0,072	0,059	$\pm 0',20$	0',75
+ 0',999	1,59	0,58	0,126	0,058	0,090			0',80
+ 0',555	0,79	0,68	0,072	0,068	0,044			0',65
+ 0',557	0,27	0,17	0,025	0,017	0,052			0',50
+ 0',474	0,495	0,515	0,045	0,052	0,018			0',55
+ 0',909	0,41	0,41	0,057	0,041	0,028			0',79
+ 0',172	0,19	0,17	0,017	0,017	0,028			0',51
+ 0',144	0,11	0,09	0,010	0,011	0,010			0',28
+ 0',561	0,522	0,54	0,047	0,054	0,056	0,004	0',00?	0',55
— 1',561	8,75	7,25	0,794	0,725	0,416			1',64
— 2',027	5,80	2,48	0,527	0,248	0,149			1',09
— 1',566	2,14	0,60	0,195	0,060	0,080			0',67
— 0',957	1,56	0,85	0,142	0,085	0,205			0',89
— 1',752	4,80	2,58	0,440	0,258	0,268			1',52
— 1',085	5,05	2,10	0,277	0,210	0,227			1',46
— 1',218	2,70	1,59	0,245	0,159	0,099			1',40
— 1',589	4,11	2,45	0,574	0,245	0,206	0,025	$\pm 0',16$	1',24

Sprung in der Theilung zu sein.

Instrument und Kreis.	Durch- messer des Kreises.	Beobachter.	Zeit.	Wieviel Mal gemessen.	Grad.	B.
Gr. P. M. I, II.	10 Z.	Verloop, (Utrecht.)	Dec. 1886.	5	0° — 1°	+ 1°,400
				"	514 — 524	+ 1,509
				"	105 — 104	+ 1,870
				"	1544 — 1554	+ 1,952
				"	206 — 207	+ 0,750
				"	257 — 258	+ 0,700
Gr. P. M. I, V.	10 Z.	H. T. Soeters.	Juli 1872.	5	0 — 1	— 0,078
				"	514 — 524	— 0,151
				"	105 — 104	— 0,129
				"	1544 — 1554	— 0,095
				"	206 — 207	— 0,201
				"	2574 — 2584	— 0,140
Gr. P. M. II, II.	10 Z.	Metzger	Sept. Oct. 1868.	5	0 — 1	Mikr. A. Mikr. B. +1,205
				"	514 — 524	+2,274
				"	105 — 104	+0,786
				"	1544 — 1554	+2,272
				"	206 — 207	+0,839
				"	2574 — 2584	+2,127
				"	509 — 510	+0,814
				"	50 — 51	+2,446
				"	814 — 824	+1,170
				"	155 — 154	+2,505
				"	1844 — 1854	+0,882
				"	256 — 257	+1,996
				"	2874 — 2884	+0,762
				"	558 — 559	+1,725
				"	60 — 61	+1,562
				"	1114 — 1124	+2,260
				"	165 — 164	+0,826
				"	2144 — 2154	+1,795
				"	266 — 267	+1,579
				"	5174 — 5184	+1,908
				"	9 — 10	+2,452
				"	90 — 91	+5,148
				"	1414 — 1424	+1,957
				"	195 — 194	+5,019
						+1,205 + 2,289

C	$[x^2]$	$[x^3]$	$[x^4]$ $n-1$	$[x^5]$ $n-2$	m^2	M^2 $= \frac{15^2}{n-2}$ $= \frac{n+1}{15} \cdot m^2$	M	Gröster Unterschied mit Rück- sicht auf C
— 1,755	5,30	0,77	0,291	0,077	0,041			0,365
— 1,521	2,96	1,55	0,269	0,155	0,098			0,462
— 1,755	5,25	0,821	0,285	0,085	0,125			0,79
— 1,222	2,52	1,111	0,211	0,112	0,056			1,18
— 2,518	1,92	0,58	0,147	0,058	0,080			0,76
— 1,872	1,55	1,52	0,505	0,152	0,052			1,07
— 0,864	2,54	1,94	0,251	0,194	0,180			1,54
— 1,581	5,56	1,17	0,505	0,117	0,090	0,021	0,145	0,99
+ 0,670	0,59	0,25	0,054	0,025	0,055			0,28
+ 0,581	0,45	0,55	0,041	0,055	0,067			0,42
+ 0,108	0,14	0,15	0,015	0,015	0,045			0,42
+ 0,452	0,25	0,10	0,025	0,010	0,017			0,55
+ 0,017	0,12	0,12	0,011	0,012	0,015			0,59
+ 0,166	0,42	0,40	0,058	0,040	0,017			0,51
+ 0,054	0,50	0,50	0,027	0,050	0,025			0,50
+ 0,256	0,524	0,25	0,029	0,025	0,050	— 0,009	?	0,41
— 1,557	2,91	1,47	0,265	0,147	0,107			1,08
— 2,250	5,94	1,92	0,540	0,192	0,195			1,02
— 0,075	5,60	5,25	0,527	0,525	0,145			1,24
— 1,407	2,57	0,97	0,254	0,097	0,187			0,55
— 0,052	5,26	2,56	0,296	0,256	0,195			1,57
— 2,051	1,57	1,24	0,415	0,124	0,200			1,09
— 1,244	5,92	2,67	0,556	0,267	0,255			1,50
— 2,755	16,25	10,22	1,477	1,022	0,167			1,64
— 0,510	5,85	5,44	0,559	0,544	0,195			1,80
— 1,506	1,82	2,47	0,458	0,247	0,227			1,24
— 1,850	5,64	2,94	0,515	0,294	0,275			1,72
— 2,167	6,80	5,01	0,618	0,501	0,295			1,12
— 1,895	6,45	5,55	0,586	0,555	0,255			0,60
— 2,181	6,72	2,88	0,611	0,288	0,505			1,40
— 1,524	1,44	2,80	0,404	0,280	0,287			1,04
— 1,100	8,50	7,52	0,775	0,752	0,255			1,98
— 1,185	4,50	5,17	0,591	0,517	0,457			1,70
— 1,962	1,99	1,88	0,454	0,188	0,260			1,57
— 1,440	1,84	5,17	0,440	0,517	1,155			1,19
— 0,812	5,65	5,10	0,550	0,510	0,510			1,65
— 1,290	1,80	0,46	0,164	0,046	0,205			0,87
— 0,756	1,94	4,50	0,449	0,450	0,215			2,01
— 1,757	5,81	1,57	0,546	0,157	0,147			1,01
— 2,048	7,05	5,64	0,659	0,564	0,275			1,74
— 1,554	5,25	5,09	0,476	0,509	0,227	0,007	$\pm 0,26$	1,55

Instrument und Kreis.	Durch- messer des Kreises.	Beobachter.	Zeit.	Wieviel Mal gemessen.	Grad.	Mi- kro- skop.	B.
Gr. P. M. II, V.	10 Z.	Metzger.	1868.	5	0° — 1°	I	+ 0',522
				"	514 — 524	II	+ 0',841
				"	105 — 104	I	+ 0',775
				"	1544 — 1554	II	+ 0',586
				"	206 — 207	?	+ 1',161
				"	2574 — 2084	?	+ 1',142
				"	509 — 510	?	+ 1',459
				"	50 — 51	?	+ 1',154
				"	814 — 824	?	+ 1',196
				"	155 — 154	?	+ 1',249
Repsold, H.	12 Z.	Van Isselmuden.	Febr. 1875.	5	0 — 1	I	+ 0',086
				"	51 — 52	I	+ 0',067
				"	105 — 104	I	+ 0',058
				"	155 — 156	I	+ 0',029
				"	206 — 207	II	+ 0',005
				"	257 — 258	I	+ 0',025
Repsold, V.	12 Z.	Van Isselmuden.	Marz 1875.	5	0 — 1	A	+ 0',008
				"	51 — 52	"	+ 0',017
				"	105 — 104	"	+ 0',017
				"	154 — 155	"	+ 0',014
				"	206 — 207	"	+ 0',016
				"	257 — 258	"	+ 0',009
				"	508 — 509	"	+ 0',016

C	$[\varepsilon^2]$	$[\varepsilon]$	$\frac{[\varepsilon^2]}{n-1}$	$\frac{[\varepsilon]}{n-2}$	m^2	$M^2 = \frac{[\varepsilon^2]}{n-2} - \frac{n+4}{15} \cdot m^2$	M	Größter Unterschied mit Rücksicht auf C .
+	0,740	2,98	2,54	0,271	0,254	0,007		1,59
+	0,597	4,25	4,12	0,586	0,412	0,117		1,51
+	1,545	4,05	2,57	0,566	0,257	0,025		0,95
+	1,880	5,91	5,055	0,557	0,506	0,155		1,75
+	0,069	1,12	1,12	0,102	0,112	0,190		1,14
+	4,419	2,94	1,51	0,267	0,151	0,110		1,24
+	1,550	2,54	0,91	0,215	0,091	0,125		0,92
+	0,947	1,40	0,68	0,127	0,068	0,110		1,01
+	1,582	5,09	5,55	0,465	0,555	0,117		1,46
+	1,816	5,45	0,77	0,512	0,077	0,085		0,84
+	1,155	0,555	2,06	0,206	0,206	0,110	0,089	$\pm 0,50$
0,000	1,17		0,084		0,009	$M^2 = \frac{[\varepsilon^2]}{14} - \frac{18}{15} m^2$	M	1,24
0,000	0,11		0,008		0,006			0,51
0,000	0,02		0,0015		0,004			0,15
0,000	0,07		0,005		0,005			0,26
0,000	0,05		0,002		0,005			0,20
0,000	0,02		0,0015		0,001			0,15
0,000	0,02		0,0015		0,002			0,19
	0,206		0,0148		0,004	0,010	$\pm 0,10$	0,55
0,000	0,02		0,0015		0,005			0,17
0,000	0,15		0,009		0,002			0,27
0,000	0,01		0,001		0,0014			0,10
0,000	0,02		0,0015		0,001			0,10
0,000	0,05		0,004		0,002			0,15
0,000	0,01		0,001		0,001			0,10
0,000	0,02		0,0015		0,002			0,09
	0,057		0,0028		0,002	0,0004	$\pm 0,02$	0,14

II. Zusammenstellung der Resultate der Tafel I.

Instru- ment.	Kreis.	Durch- messer.		Zahl der Inter- valle in 1°.	Beobachter.	Gemessen		C in [°].	m².	M².	M.	Grösster Unterschied von 2 Inter- valleu des- selben Gra- des im Mittel. (†)	
		Zoll.	Lin.			Grad.	Mal.						
													Mittel.
P. M. I.	II	8	21	12	J. A. C. O. und v. M.	2	4	+ 1',40	9,94	0,275	0,705	± 0',84	5',07
" II.	II	"	"	"	J. A. C. O.	7	5	+ 0',70	1,66	0,065	0,100	0',52	1',14
	V	"	"	"	"	"	"	0',45	2,94	0,145	0,145	0',58	1',46
" III.	II	"	"	"	Metzger.	7	5	- 5',76	16,45	1,054	0,542	0',74	5',41
	V	"	"	"	"	"	"	4',88	11,25	0,602	0,485	0',695	2',78
" IV.	II	"	"	"	v. Isselm.	"	"	1',94	1,00	0,068	0,027	0',16	0',80
	V	"	"	"	Temissen.	"	"	1',35	1,58	0,056	0,120	0',55	1',26
" V.	II	"	"	"	Soeters.	6*)	"	1',075	1,16	0,072	0,059	0',20	0',75
	V	"	"	"	"	7	"	+ 0',56	0,54	0,056	0,004	0',00?	0',55
Gross P. M. I.	II	10	27	"	Metzger.	"	5	4',59	2,45	0,206	0,025	0',16	1',24
	V	"	"	"	Verloop.	"	"	4',58	1,17	0,090	0,021	0',145	0',69
Gross P. M. II.	II	"	"	"	Soeters.	"	"	+ 0',26	0,25	0,050	0,009	0',00?	0',41
	V	"	"	"	Metzger.	24	"	1',55	5,09	0,227	0,067	0',26	1',55
Repold.	II	12	51	15	v. Isselm.	7	5	0',90	0,21	0,004	0,009	0',005	0',55
	V	"	"	"	"	"	"	0',90	0,057	0,002	0,00048	0',022	0',14

*) Der erste Grad wurde wegen des bei 0° 0' vorkommenden Sprunges ausgeschlossen. Für die sieben Pistor'schen Instrumente, wo jeder Grad in 12 Theile getheilt war, und ein Unterschied der geraden und ungeraden Theilungs-Intervalle vorhanden war, wurde M^2 durch die Formel (22), für das Repold'sche Instrument, wo ein derartiger Unterschied nicht zu Tage trat, durch die Formel (28) berechnet.

(†) Inclusive Messungsfehler.

Zu den vorigen Tafeln ist, so weit dies die Distor'schen Kreise anbetrifft, noch eine Bemerkung zu machen. Ist nämlich die Ursache der Ungleichheit der geraden und ungeraden Theilungs-Intervalle diejenige, welche Herr Martins mir mittheilte, so muss für jeden Kreis die Unbekannte C als eine Constante angesehen werden. Anstatt dass für einen Kreis, von welchem sieben Grade untersucht worden sind, sieben A , sieben B und sieben C gefunden werden, müssen also in dieser Voraussetzung zwar sieben A und sieben B , aber nur ein C gesucht werden. Man hat dann, wenn der Grad von $5'$ zu $5'$ getheilt ist, statt sieben Systeme von je 15 Gleichungen mit je 5 Unbekannten, ein System von 91 Gleichungen mit 15 Unbekannten. Offenbar bleiben die sieben Werthe von A und die sieben Werthe von B dieselben wie früher, und muss für C das arithmetische Mittel der früher gefundenen Werthe angenommen werden. Die Summe der Fehlerquadrate wird aber nun vergrößert und ebenso auch der Theiler, welcher von $91 - 21 = 70$ zu $91 - 15 = 76$ erhöht wird.

Ebenso würde man auch nur einen Werth für B annehmen können, wenigstens für alle Grade, welche mit demselben Mikroskop gemessen worden sind, ohne dass dieses inzwischen der Theilung genähert oder von derselben entfernt worden ist. Sind alle sieben Grade mit demselben Mikroskop untersucht worden, so wird der Theiler = $91 - 9 = 82$.

Ueberhaupt ist der Theiler, wenn man P verschiedene Werthe für B , und Q verschiedene Werthe für C annimmt, N die Zahl der untersuchten Grade, und n die Zahl der Intervalle in jedem Grade bezeichnet, = $Nn - P - Q$.

Die Summe der Fehlerquadrate wird natürlich durch diese Aenderungen in der Berechnungsweise vergrößert und zwar, wenn ΔC resp. ΔB die Differenzen zwischen den arithmetischen Mitteln von C , resp. B und den einzelnen Werthen dieser Grössen bezeichnet, um

$$\frac{1}{12} n (n + 1) (n + 2) [\Delta B]^2 + \frac{n(n+2)}{16(n+1)} [\Delta C]^2,$$

während der Coefficient des Quadrats des Beobachtungsfelders, welcher oben (Formel 55) = $\frac{n+4}{15}$ gefunden war,

$$= \frac{1}{6} Nn (n + 2) - \frac{1}{16} P (n^2 + 2n + 2) - \frac{1}{8} Q$$

genommen werden muss, so dass die vollständigen Formeln heissen würden:

$$[z^2] = [z'^2] + \frac{1}{12} n (n + 1) (n + 2) [\Delta B]^2 + \frac{n(n+2)}{16(n+1)} [\Delta C]^2 \dots (58)$$

$$(Nn - P - Q) M^2 = [z'^2] - \frac{1}{6} Nn (n + 2) - \frac{1}{16} P (n^2 + 2n + 2) - \frac{1}{8} Q m^2 \dots (59)$$

wo also z' der neue Werth von z bedeutet.

Setzt man $P = Q = N$, so werden ΔB und $\Delta C = 0$ und man hat

$$(Nn - 2N) M^2 = [z'^2] - \frac{N}{15} (n^2 + 2n + 8) m^2 = [z'^2] - \frac{N}{15} (n - 2) (n + 4) m^2,$$

also

$$M^2 = \frac{[z'^2]}{N(n-2)} - \frac{n+4}{15} m^2 \dots (60)$$

Betrachtet man aber nur einen Grad, so fallen die äusseren Klammern des Zählers weg, N wird = 1, und die Formel wird der Gleichung (55) gleich.

Setzt man $P = N$ und $Q = 1$, so hat man den oben erwähnten Fall, dass man zwar für jeden Grad einen eigenen Werth von B , für alle abgemessenen Grade aber nur einen Werth von C annimmt. Dann werden nur die $\Delta B = 0$, die Formeln (58) und (59) werden also:

$$\begin{aligned} \left[\left[z^2 \right] \right] &= \left[\left[z^2 \right] \right] + \frac{n(n+2)}{16(n+1)} [\Delta C], \\ |N(n-1) - 1| M^2 &= \left[\left[z^2 \right] \right] - \frac{1}{15} N(n+5)(n-1) - \frac{1}{15} m^2, \\ M^2 &= \frac{\left[\left[z^2 \right] \right]}{N(n-1) - 1} - \frac{\frac{1}{15} n + \frac{5}{15}}{15 \{N(n-1) - 1\}} \left\{ m^2 \right\} \quad (41) \end{aligned}$$

welche Gleichung, sobald man $N = 1$ setzt, selbstverständlich auch in (55) übergeht.

Setzt man weiter $P = Q = 1$, so gilt die Formel für den Fall, dass man nur einen Werth von B , und nur einen Werth von C annimmt, er wird dann:

$$(Nn - 2) M^2 = \left[\left[z^2 \right] \right] - \frac{1}{15} Nn(n+2) - \frac{1}{15} (n^2 + 2n + 2) - \frac{1}{15} m^2,$$

also

$$M^2 = \frac{\left[\left[z^2 \right] \right]}{Nn - 2} - \left\{ \frac{n + 2}{6} - \frac{(5n + 2)(n - 2)}{30(Nn - 2)} \right\} m^2 \quad (42)$$

Setzt man endlich $P = N$ und $Q = 0$, so hat man den zuerst von uns betrachteten Fall, dass auf C keine Rücksicht genommen, also kein systematischer Unterschied zwischen geraden und ungeraden Theilungs-Intervallen angenommen wird. Er wird in diesem Falle die Gleichung (59):

$$(Nn - N) M^2 = \left[\left[z^2 \right] \right] - \frac{N}{15} (n^2 + 2n - 5) m^2,$$

also

$$M^2 = \frac{\left[\left[z^2 \right] \right]}{N(n - 1)} - \frac{n + 5}{15} m^2,$$

analog der Gleichung (51).

Nach reiflicher Ueberlegung war ich der Meinung, dass es zwar als zulässig zu erachten ist, für einen ganzen Kreis nur *einen* Werth für C anzunehmen, dass es aber besser ist, jedem Grade seinen eigenen Werth von B zuzuerkennen. Einerseits hat die Untersuchung den Zweck, die Regelmässigkeit der Theilung längs kleiner Bögen zu erforschen, und die verschiedene Grösse der Grade bleibt dabei ausser Betracht. Andererseits aber wird eine kleine Aenderung der Entfernung des Randes zum Objectiv des Mikroskopes eine relativ grosse Aenderung im Werth des gemessenen Grades, also der Grösse B zur Folge haben.

Für die Pistor'schen Instrumente ist nun $n = 12$, also

$$\begin{aligned} \left[\left[z^2 \right] \right] &= \left[\left[z^2 \right] \right] + \frac{1}{15} [\Delta C] \quad (45) \\ (11N - 1) M^2 &= \left[\left[z^2 \right] \right] - (11N - \frac{1}{3}) m^2 \quad (44) \end{aligned}$$

also

$$\left. \begin{array}{llll} \text{für } N = 2: & 24 \, M^2 = & \left[\left[x^2 \right] \right] & = 24 \frac{2}{3} \, m^2, \\ \text{„ } N = 7: & 76 \, M^2 = & \text{„} & = 76 \frac{2}{3} \, m^2, \\ \text{„ } N = 10: & 109 \, M^2 = & \text{„} & = 109 \frac{2}{3} \, m^2, \\ \text{„ } N = 24: & 265 \, M^2 = & \text{„} & = 265 \frac{2}{3} \, m^2; \end{array} \right\} \dots \dots (45)$$

woraus wieder:

$$\left. \begin{array}{llll} \text{für } N = 2: & M^2 = & \frac{1}{24} \left[\left[x^2 \right] \right] & = 1 \frac{2}{63} \, m^2, \\ \text{„ } N = 7: & M^2 = & \frac{1}{76} \left[\left[x^2 \right] \right] & = 1 \frac{1}{111} \, m^2, \\ \text{„ } N = 10: & M^2 = & \frac{1}{109} \left[\left[x^2 \right] \right] & = 1 \frac{2}{227} \, m^2, \\ \text{„ } N = 24: & M^2 = & \frac{1}{265} \left[\left[x^2 \right] \right] & = 1 \frac{2}{509} \, m^2. \end{array} \right\} \dots \dots (46)$$

Wie vorausszusehen, waren die Werthe von M , welche mittels dieser Formeln erhalten wurden, wenig abweichend von den vorigen, und beide wenig von der ursprünglich nach der in Java schon befolgten Methode erhaltenen verschieden. Für die letzten wurde der Fall, dass für alle Grade nur ein Werth von C angenommen wurde, hier beiberechnet.

In der folgenden Tafel III werden wir alle Resultate vereinigen, welche sowohl nach der alten, als nach der neuen Rechnungsmethode, d. h. also nach den Formeln (1), (2), (51), (35) und (41) gefunden wurden.

III. Vergleichung der nach den zwei Methoden erhaltenen Resultate.

Instrument und Kreis.	Beob- ach- ter.	C .		M .				Bemerkungen.
		Grösse der ungeraden — Gr. der geraden Thei- lungs-Intervalle.		Mittlerer Fehler eines Theilstrichs.				
				Alte Rechnung.		Neue Rechnung.		
		Alte Rechnung.	Neue Rechnung.	Jeder Grad hat sein eigenes C .	Sämmt- liche Grade ha- ben nur ein C .	Jeder Grad hat sein eigenes C .	Sämmt- liche Grade ha- ben nur ein C .	
P. M. I, II.	J. A. C. O. und v. M.	+ 1',25	+ 1',40	± 0',74	± 0',75	± 0',84	± 0',79	
P. M. II, II.	J. A. C. O.	+ 0',64	+ 0',70	0',28	0',57	0',52	0',55	
" " V.	"	- 0',47	- 0',45	0',25	0',27	0',58	0',57	
" III, II.	Metzger.	- 5',56	- 5',76	0',75	0',795	0',74	0',75	
" " V.	"	- 4',90	- 4',88	0',65	0',76	0',695	0',72	
" IV, II.	v. Isselm.	- 1',97	- 1',94	0',18	0',25	0',16	0',20	
	Tenissen.	- 1',60	- 1',65	0',55	0',55	0',55	0',55	
" " V.	"	- 1',56	- 1',60	0',17	0',21	0',19	0',19	
" V, II.	Soeters.	- 1',00	- 1',075	0',18	0',22	0',20	0',21	Der erste Grad angeschlossen. Für Bestim- mung von m ist der erste Grad angeschlossen, sonst würde M^2 negativ gefun- den werden.
" " V.	"	+ 0',56	+ 0',56	0',04	0',09	0',02	0',05	
Gr. P. M. I, II.	Metzger.	- 1',41	- 1',59	0',17	0',21	0',16	0',16	
	Verloop.	- 1',58	- 1',58	0',17	0',215	0',145	0',18	
" " " V.	Soeters.	+ 0',27	+ 0',26	0',00	0',05	0',00?	0',00?	
" " II, II.	Metzger.	- 1',50	- 1',55	0',205	0',25	0',26	0',28	
" " " V.	"	+ 1',21	+ 1',15	0',19	0',21	0',50	0',52	
Repsold II.	v. Isselm.	0',00	0',00	± 0',040		± 0',10		
" " V.	"	0',00	0',00	0',00		0',02		

Wie aus diesen Tafeln erhellt, sind bei zwei Kreisen, nämlich den horizontalen von P. M. IV und Gross P. M. I, die Messungen von zwei Personen verrichtet worden, bei jenem von den Herren von Isselmunden und Tomissen, bei diesem von den Herren Metzger und Verloop, Amanuensis der Utrechter Sternwarte.

Die Messung des Herrn Verloop wurde dadurch veranlasst, dass ich, als, etwa im Jahre 1881,

Gross P. M. I., behufs Reparatur zu Utrecht war, in der Meinung, von diesem Instrumente lägen keine Messungen vor, ihn beauftragte, von dem horizontalen Kreise des Instruments sieben Grade auszumessen. Später ergab es sich aber, dass von diesem Kreise ein vollständiger Satz von Messungen von Herrn Metzger vorhanden war; die beiden letzten Grade coincidirten aber nur zur Hälfte mit den von Herrn Verloop abgemessenen.

Ich habe versucht, die Messungsergebnisse, einerseits der Herren van Isselouden und Tenissen, anderseits der Herren Metzger und Verloop, zu einem System zu vereinigen; dies hat aber zu keinem befriedigenden Resultate geführt, und diese Vereinigung habe ich daher in der Tafel weggelassen. Es lag nämlich vor der Hand, bei dieser Vereinigung den mittleren Fehler des arithm. Mittels zwischen den von den beiden Beobachtern erhaltenen Mittelwerthen desselben Theilungs-Intervalls aus den sämmtlichen Differenzen dieser Mittelwerthe abzuleiten; indem dabei die m^2 aus der 41 ten Columnne benutzt wurden; dann wurde aber das m^2 der ar. Mittels so gross, dass in der 12ten Columnne für M^2 ein negativer Rest übrigblieb.

Es ist nämlich gefunden:

Aus Herrn Van Isselouden's Untersuchung des horizontalen Randes von P. M. IV: $m^2 = 0,069$
 Aus Herrn Tenissen's Untersuchung: 0,056

Hieraus würde für den Unterschied v. I.—T. folgen: 0,105

während die unmittelbare Vergleichung der beiderseitigen Resultate gab 0,450, also viermal grösser. Der (m. F.)² des ar. Mittels wird dann $= \frac{1}{4} \times 0,450 = 0,1075$. Nun war $[z^2]$, im Mittel aus den sechs von beiden Beobachtern untersuchten Graden, $= 0,64$, also

$$M^2 = \frac{1}{16} [z^2] - \frac{1}{8} m^2 = 0,064 - 0,105 = - 0,041.$$

Die Untersuchung, von Herrn Metzger, des horizontalen Kreises von Gross P. M. I hatte ergeben $m^2 = 0,206$
 jene von Herrn Verloop 0,090

Also würde für den Unterschied M.—V. folgen: $m^2 = 0,296$

während die unmittelbare Vergleichung der beiderseitigen Resultate ergab 0,450, und für das ar. Mittel $\frac{1}{4} \times 0,450 = 0,1125$.

Hier war $[z^2]$, im Mittel, aus fünf von beiden Beobachtern untersuchten Graden, $= 0,72$; also

$$M^2 = \frac{1}{16} [z^2] - \frac{1}{8} m^2 = 0,072 - 0,120 = - 0,048.$$

In diesen beiden Beispielen findet man also einen negativen Werth für M^2 . Um dieses Paradoxon zu erklären, muss man erstens in Betracht ziehen, dass die für $[z^2]$ und m^2 gefundenen Zahlen auch ihren möglichen Fehler haben, dass also ersgenannte etwas zu klein, letztgenannte etwas zu gross sein kann. Zweitens kann die Frage gestellt werden, ob die Striche bei den beiden Ausmessungen desselben Grades ganz und gar dieselben geblieben sind; unsymmetrisches Abnutzen durch Putzen kann in der Zwischenzeit ihr Aeusseres etwas geändert haben, während überdies jeder Beobachter seine eigene Auffassung für jeden Strich hat. Sonst ist es wohl empfehlenswerth, wie Prof. Schols es in Delft veranlasst hat, den Werth des m^2 aus zwei kurz nach einander ausgeführten Messungsreihen abzuleiten. Man vergleicht dann die Mittelwerthe der für jedes Intervall in beiden Messungsreihen gefundenen Grössen mit einander, und wenn nun, wie es in Java Vorschrift war, sieben Grade gemessen wurden, und jeder Grad 12 Theilungs-Intervalle hat, so sind 84 Paare Unterschiede mit einander zu vergleichen, eine hinreichende Zahl, um einen genügend genauen Werth für m^2 zu erhalten.

Ich füge noch die Bemerkung hinzu, dass es einerlei ist ob, statt eines einzigen, zwei verschiedene Beobachter die beiden Messungsreihen ausführen. Haben nämlich diese beide Beobachter die mittleren Fehler m und m' , so geben die sämtlichen Unterschiede der beiderseitigen Bestimmungen $m^2 + m'^2$, und verbindet man beide Reihen Bestimmungen, so muss man von $\frac{r}{n-2} [\Sigma^2]$ abziehen $\frac{n+4}{15} \cdot \frac{m^2 + m'^2}{4}$, was also bekannt ist.

Untersuchen wir nun, was die Tafeln in Bezug auf die Regelmässigkeit der Theilungen der benutzten Instrumente lehren, so leiten wir aus derselben ab, dass die Theilungen der Firma Pistor und Martins in den fünfziger und sechziger Jahren dieses Jahrhunderts Fortschritte gemacht haben. Nehmen wir die ar. Mittel aus den für den horizontalen und den vertikalen Kreis gefundenen Werth von M , so finden wir für

				In Mikrons.	
8 zöllige Kreise.	P. M. I	geliefert 1850	0",84	0",45	
	P. M. III	" 1854	0",72	0",57	
	P. M. II	" 1858	0",55	0",84	0",18
	P. M. IV	" 1865	0",22	0",16	0",11
	P. M. V	" "	0",10	"	0",08
10 z. Kreise.	Gross P. M. I	" 1867	0",075	0",18	0",05
	Gross P. M. II	" "	0",28	"	0",20

während für Repsold, (12 z. Kreis) gefunden wurde:

Repsold	1864	0",06	0",045.
---------	------	-------	---------

Man muss wirklich über diese Schärfe erstaunt sein. In den kleinen Zahlen der letzten Columnne sind doch sowohl das Einstellen des Mikroskops der Theilmachine, als der mittlere Fehler des zu copirenden Theilstriches und der Spielraum des Reisswerkzeugs begriffen. Ich muss gestehen, dass ich die Untersuchung der Repsold'schen Kreise von Herrn van Isselmuuden wegen der hohen Genauigkeit nicht allein der Resultate, (über welche ich schon im J. 1875, Astr. Nachr. Bd. LXXXI, p. 280, meine Verwunderung ausgedrückt habe,) sondern auch der Messungen selbst, etwas misstraute; doch hat dieser, ganz ausführlich und genau, bei der Einlieferung seiner Untersuchung noch beschrieben, wie er die Messung der Intervalle gemacht hatte; er brachte nämlich von einem Fadenpaar des Mikrometers den linken Faden links und den rechten Faden rechts an die beiden Striche zur Berührung. Die Abweichungen der fünf Messungen jedes Intervalles mit den arithmetischen Mitteln folgten aber, wie eine speciell angestellte Untersuchung lehrte, in hinreichender Weise dem Gauss'schen Fehlergesetz. Um überdies allen Zweifel zu heben, habe ich Herrn Verloop, Annunsius der Utrechter Sternwarte, ersucht, vom horizontalen Kreise des daselbst befindlichen Repsold'schen Universal-Instruments auch zwei Sätze von Messungen der Theilungs-Intervalle an sieben Graden der Circumferenz auszuführen, dem einen Satz, indem die Striche in die Mitte zwischen den Aldeyefaden gebracht wurden; den zweiten, indem er dagegen, wie Herr van Isselmuuden that, die Aldeyefaden an beiden Seiten mit den Strichen in Berührung brachte. Das Resultat dieser Messung war $M = \pm 0",05$, also noch etwas kleiner als Herr van Isselmuuden für das Java'sche Instrument gefunden hatte. Die horizontalen Messungen, welche auf Java mit dem Repsold'schen Instrumente ausgeführt wurden, zeichnen sich auch, wie dies weiter noch mehr erhellen wird, durch ihre Genauigkeit aus; die Beobachter hatten die Ueberzeugung, die Unterschiede in den Resultaten der Winkelmessungen bei verschiedenen Kreislagen seien, ihrer Meinung nach, in der Hauptsache der Unsicherheit der Einstellung der Fernrohrs zuzuschreiben.

UEBER DIE PERIODISCHEN FEHLER DER KREISTHEILUNGEN UND DER MIKROMETERSCHRAUBEN.

Obgleich das Programm der primären Winkelmessungen dergestalt eingerichtet war, dass die periodischen Fehler der Kreise und der Mikrometerschrauben eliminirt wurden, so sind beide, sowohl auf Java, als bei der Neuberechnung in Utrecht, nicht ausser Acht gelassen worden.

Was die Kreise betrifft, so sind die beiden ersten, von der Firma Pistor und Martins gelieferten Universal-Instrumente, in dieser Hinsicht nicht auf Java geprüft worden, dieselben haben aber bei der Untersuchung in den Niederlanden keine Zeichen von groben periodischen Fehlern geliefert.

Einige Winkelmessungen, die von mir im August 1850, also vor der Abreise des Herrn S. H. de Lange, auf der alten Leidener Sternwarte zwischen dem Thurne des Seminariums zu Warmond und den Kirchthürmen zu Rijnsburg, Zoeterwoude und de Kaag, in sechs verschiedenen Kreislagen angestellt wurden, gaben nämlich für die Correction des Randes:

$$+ 1',15 \sin (2u + 245^\circ).$$

Da dafür gesorgt wurde, dass die Trommelablesungen bei den verschiedenen Kreislagen nahezu identisch waren, so bezieht sich diese Formel, in welcher der Coefficient allerdings ein geringes Gewicht hat, einfach auf die Theilung.

P. M. II wurde im J. 1892, zur Reparatur, nach Niederland zurückgeschickt, und so hatte ich die Gelegenheit den Kreis in Bezug auf die Fehler der Theilung zu untersuchen. Im Meridiansaale der Sternwarte zu Utrecht boten nämlich die Pfeiler der verschiedenen Instrumente die Gelegenheit einen Winkel von $120^\circ 10'$ zwischen Collimatoren zu messen. Dieser Winkel wurde jedesmal nach der bekannten Vorschrift, zweimal gemessen, indem erst auf den linken Collimator, dann auf den rechten, dann, indem der Obertheil im entgegengesetzten Sinne gedreht wurde, nochmals auf den rechten, und endlich zum zweiten Mal auf den linken Collimator visirt, und jedesmal die Mikroskope eingestellt und abgelesen wurden. Der Anfangspunkt wurde ferner jedesmal um 50° versetzt, und die ganze Reihe in entgegengesetzter Ordnung der Anfangspunkte wiederholt, und so waren die für die Abweichungen der sechs Kreislagen vom allgemeinen Mittel:

$$+ 1',08, - 0',25, + 0',74, + 0',81, - 1',65, - 0',75,$$

was meines Erachtens völlig befriedigend ist.

Ich muss hier bemerken, dass die Mikroskope erneuert und mit stärkeren Vergrößerungen versehen worden waren.*

Die später empfangenen Instrumente hatten aber weniger genaue Theilungen. Für den horizon-

* Ueberhaupt sind sowohl Prof. Schols, wie ich, der Ansicht, dass die Bequemlichkeit des Gebrauches der Instrumente, sowie auch die Genauigkeit der Resultate, durch stärkere Vergrößerungen der Mikroskope (40 bis 50 Mal) bedeutend gefördert wird. Schreibt man einmal Zehntelsekunden nieder, so soll man dieselben auch beim Ablesen bequem schätzen können.

Auch ist bei den schätzlichen Instrumenten vorzuziehen, dass eine Revolution der Mikrometerschrauben, ebenso wie bei den genaueren, nicht 5'', sondern 2'' entspricht, und dass die Trommeln in einzelne Sekunden getheilt sind.

talen Kreis von P. M. III hat eine von den Herren Metzger und Waldringh zu Tjikema dreissigmal wiederholte Messung des Winkels Hambalang—Golih ($46^{\circ} 22' 44''$) in zwölf um 15° von einander verschiedenen Kreislagen, jedoch immer mit nahezu denselben Ablesungen der Trommeln, die Formel geliefert:

$$2^{\circ},57 \sin (2n + 557^{\circ},8) + 1^{\circ},00 \sin (4n + 298^{\circ},4) + 0^{\circ},50 \sin (6n + 270^{\circ}),$$

welche ein Maximum = $5^{\circ},48$ und ein Minimum = $-5^{\circ},01$ hat.

Für den horizontalen Kreis von P. M. IV wurde in Utrecht aus einer Menge auf Java ausgeführter Winkelmessungen die Formel

$$2^{\circ},22 \sin (2n + 257^{\circ},4)$$

abgeleitet, welche auch bei den wenigen, mit diesem Instrument angestellten primären Messungen angewandt worden ist.

Um den horizontalen Kreis von P. M. V zu prüfen, hat Herr Soeters im Juni 1871, auf meine Bitte, auf der Station Sapukoel, in der Residenzhaft Bezaki, einen Probewinkel Djengawa—Karang Kelawon = $52^{\circ} 44',5$ in 12 um 15° verschiedenen Kreislagen gemessen; die Resultate zeigen einen starken Gang, und liefern die Correctionsformel

$$5^{\circ},55 \sin (2n + 220^{\circ},9) + 1^{\circ},545 \sin (4n + 58^{\circ},9)$$

Schön ist dies zwar nicht; werden jedoch die 12 Resultate in vier Gruppen getheilt, so dass in jeder Gruppe drei Messungen aufgenommen werden, bei denen die Nullpunkte um 120° verschieden sind, wo also, der zwei Mikroskope wegen, eigentlich sechs symmetrisch angeordnete Messungen vereinigt werden, so stimmen die arithmetischen Mittel dieser Gruppen so gut überein, wie dies von einem 8 zölligen Instrumente nur erwartet werden kann:

$$52^{\circ} 44' 26^{\circ},9; \quad 27^{\circ},6; \quad 27^{\circ},1; \quad 29^{\circ},6; \quad \text{im Mittel } 27^{\circ},8.$$

Für die 10 und 12 zölligen Instrumente sind erst in Utrecht definitive Formeln aus den auf Java angestellten horizontalen Messungen abgeleitet worden. Vor der Reduction der primären Messungen war dies bereits für Gross P. M. II geschehen, weil die Absicht war, an den Ablesungen die Correctionen für periodische Ungleichheit anzubringen, damit später ein genauerer Werth für den m. Fehler jeder Richtung sammt Ablesung abgeleitet werden könne.

Diese Formel war:

$$1^{\circ},00 \sin (2n + 177^{\circ},6) + 0^{\circ},15 \sin (4n + 149^{\circ}) + 0^{\circ},22 \sin (6n + 204^{\circ}).$$

Bei den Winkelmessungen, welche mit Gross P. M. I und mit Repsold ausgeführt wurden, gaben die verschiedenen Kreislagen so wenig von einander abweichende Resultate, dass es nicht erforderlich erschien, bei der Reduction eine Correction für periodische Theilungsfehler anzubringen.

Nachträglich aber, nachdem die ganze Neuberechnung der Triangulation beendet war, sind jene Winkelmessungen behufs Ableitung einer Formel vorgenommen worden. Von jedem Instrumente wurden zehn Gruppen von Rundmessungen bei sechs um 50° von einander abliegenden Kreislagen untersucht, wobei die Anfangspunkte aber durchaus verschieden genommen wurden, damit kein specieller Theilungsfehler einen erheblichen Einfluss auf das Resultat haben könnte. So fand sich

$$\begin{aligned} \text{für Gross P. M. I: } & + 0,25 \sin(2u + 170^\circ) + 0,15 \sin(4u + 182^\circ). \\ \text{„ Repsold: } & + 0,57 \sin(2u + 251^\circ) + 0,15 \sin(4u + 197^\circ). \end{aligned}$$

Stellen wir nun die Amplituden der einzelnen Glieder zusammen, so erhalten wir die folgende Uebersicht:

	A	A'	A''	Länge von 1'
P. M. I	1',50	0μ,51
„ II	„	0 ,51
„ III	2',57	1',00	0',59	0 ,51
„ IV	2 ,22	0 ,51
„ V	5 ,55	1 ,545	...	0 ,51
Gross P. M. I	0 ,25	0 ,15	...	0 ,65
„ „ II	1 ,00	0 ,15	0 ,22	0 ,65
Repsold	0 ,57	0 ,15	...	0 ,75

Betrachtet man die bei den drei letzten Instrumenten erhaltenen Resultate, so wie auch die in der Tabelle III mitgetheilten, so muss man gestehen, dass dieselben einerseits einen Fortschritt in der Genauigkeit der Instrumente bezeichnen, anderseits auch ein nicht ungünstiges Zeugniß für die jetzige Höhe der Kunst, einen Kreis zu theilen, abgeben.

Wir schreiten nun zu den Untersuchungen der Mikrometerschrauben. Da immer nur die zwei Striche, zwischen welchen der Nullpunkt des Mikrometers lag, eingestellt wurden, so war es überflüssig die stetige Ab- oder Zunahme des Werthes jeder Revolution zu prüfen, und nur die periodischen Fehler der Schrauben wurden dann und wann untersucht.

Bei den achtzölligen Instrumenten war diese Untersuchung schwieriger, sowohl der schwächeren Vergrösserung der Mikroskope, als auch der größeren Theilung der Trommeln wegen, doch waren die Differenzen der gemessenen Fadendistanzen mit ihrem arithmetischen Mittel, sobald die Messung hinreichend oft wiederholt war, relativ so geringe, und boten dieselben eine solche Abwechslung der Vorzeichen dar, dass der Schluss vor der Hand lag, die Schraube sei gut, und die Nothwendigkeit, eine Correctionstafel anzuwenden, läge nicht vor.

Bei dem achtzölligen Instrumente P. M. V ist es, nachdem dasselbe 2½ Jahr benutzt worden war, vorgekommen, dass sich in der Mikrometerschraube eines der Mikroskope des horizontalen Kreises ein starker periodischer Fehler zeigte. Die Verbindung von Java mit Sumatra war mit diesem Instrumente, nach dem Programm der primären Messungen, hergestellt worden; die Ablesungen sind aber, nachdem der Mangel entdeckt worden war, dieser periodischen Fehler wegen corrigirt worden, was jedoch, in Folge der symmetrischen Anordnung der Messungen, nur sehr kleine Differenzen in den endlichen Richtungen verursachte.

Bekanntlich können derartige periodische Fehler, obwohl dieselben gewöhnlich der Schraube zuge-

* Dass die Theilungen dieser Instrumente nicht besonders genau waren, war uns in Indien auch schon bekannt, und es schien ein Räthsel, wie eine Firma, welche einen so guten Namen hatte, wie Pistor und Martins, und für verschiedene Sternwarten Meridiankreise verfertigt hatte, so mangelhafte Theilungen liefern konnte. Dieses Räthsel wurde mir aber zu Batavia von einem Mechaniker gelöst, der früher bei der genannten Firma gearbeitet hatte. Es bestanden nämlich in der Werkstätte zwei Theilmaschinen, eine kleinere, nicht sehr genaue, aus früheren Tagen, und eine grössere, von welcher die Theilung mit grosser Sorgfalt verbessert worden war und mittels welcher die Meridiankreise getheilt wurden. War diese Maschine disponibel, so wurden auch Kreise für Theodolite und Universal-Instrumente auf derselben getheilt, und die Theilungen waren ausgezeichnet. War sie nicht disponibel, so musste die alte Maschine Dienste leisten, und die erhaltenen Theilungen liessen zu wünschen übrig.

schrieben werden, auch durch einen Fehler der Brust oder Stützfläche verursacht werden, mit welcher die Schraube gegen das Mikrometergehäuse drückt. Auch in diesem Falle ergab es sich, dass durch unvorsichtige Behandlung diese Brust beschädigt worden war.

Von den periodischen Fehlern der Mikrometerschrauben der zehnzähligen Universal-Instrumente sind selbstverständlich auch mehrere Untersuchungen zu verschiedenen Zeiten angestellt worden.

Da bei diesen Instrumenten ein Theilungs-Intervall = $2\frac{1}{2}$ Revolution der Mikrometerschraube war, so wurde bei den Einstellungen auf zwei neben einander liegende Theilstriche das Hauptglied der periodischen Ungleichheit eliminiert; dagegen warf bei denselben die oben, S. 12 bis 52 besprochene Abmessung der Theilungs-Intervalle ein reichliches Material zur Bestimmung der Coefficienten a und b , eben dieses Hauptgliedes, ab. Diese Abmessungen waren ausgeführt worden, indem mit $0' 0''$, $0' 40''$ und $1' 20''$ angefangen wurde. Beim zweiten Striche, auf welchen das zweite Fadenpaar eingestellt wurde, war dann die Ablesung $1' 0''$, $1' 40''$ und $0' 20''$. Gesetzt das Hauptglied der Correction sei, für eine Ablesung Q , $= a \cos Q + b \sin Q$, so war die Correction für das gemessene Intervall:

$$\begin{array}{ll} \text{für die erste Messung} & - 2a, \\ \text{" " zweite} & a + a - b\sqrt{3}, \\ \text{" " dritte} & a + a + b\sqrt{3}. \end{array}$$

Nimmt man also p und q die Uebermasse des zweiten, resp. des dritten, für das Intervall gefundenen Werthes über den ersten, so hat man

$$\begin{array}{l} p = - 5a + b\sqrt{3}, \\ q = - 5a - b\sqrt{3}, \end{array}$$

also

$$\begin{array}{l} a = -\frac{1}{10}(p+q), \\ b = +\frac{1}{10}(p-q)\sqrt{3} = 0,29(p-q), \end{array}$$

und die Amplitude

$$= \pm \sqrt{a^2 + b^2}.$$

Obgleich die Correctionen, wie erwähnt, nur ausnahmsweise in Anwendung gekommen sind, so werden wir hier doch die Formeln anführen, welche die Untersuchungen geliefert haben. Die Buchstaben Th. bedeuten: aus den Abmessungen der Theilungs-Intervalle.

Gross P. M. 1, Hor. Kreis.

Mikroskop A.

Mikroskop B.

Metzger, 1868:	Th.: $0',57 \sin(187^\circ + Q)$, . . . $0',06 \sin(27^\circ + Q)$,
Flory, 1870:	die Schraube tadellus, . . . $0',92 \sin(289^\circ + Q) + 0',41 \sin(159^\circ + 2Q)$,
Utrecht, 1886:	$0',21 \sin(78^\circ + Q)$. Nach der Reparatur:
	Flory, Januar 1871: $0',22 \sin(175^\circ + Q) + 0',58 \sin(98^\circ + 2Q)$,
	Utrecht 1886: $0',06 \sin(505^\circ + Q)$.

Gross P. M. I, Vert. Kreis.

Mikroskop I.

Mikroskop II.

Soeters, 1868 (?) Th.:	Die Schraube tadellos, . . . 0',05 Sin (24° + Q),
Soeters, Oct. 1872:	0',15 Sin (299° + Q), . . . 0',15 Sin (27° + Q),
J. A. Oudemans, 1878:	0',24 Sin (297° + Q), . . . 0',04 Sin (77° + Q),
Utrecht 1886:	0',54 Sin (281° + Q), . . . 0',70 Sin (545° + Q).

Gross P. M. II, Hor. Kreis.

Mikroskop A.

Mikroskop B.

Metzger, 1868, Th.:	0',55 Sin (147° + Q), . . . 0',11 Sin (119° + Q),
" Nov. Dec. 1870:	0',105 Sin (288° + Q), . . . 0',28 Sin (525° + Q),
" Oct. 1871:	0',24 Sin (22° + Q), . . . 0',08 Sin (274° + Q),
" Mai 1875:	0',21 Sin (277° + Q), . . . Die Schraube tadellos,
Utrecht, Juni 1892:	0',57 Sin (48° + Q), . . . 0',065 Sin (9° + Q).

Gross P. M. II, Vert. Kreis.

Mikroskop I.

Mikroskop II.

Metzger, 1869, Th.:	0',08 Sin (242°,5 + Q), . . . 0',21 Sin (515°,5 + Q),
" Nov. Dec. 1870:	0',26 Sin (118° + Q), . . . 0',15 Sin (529° + Q),
" Oct. 1871:	0',52 Sin (208° + Q), . . . 0',90 Sin (20° + Q),
" Mai 1872:	0',125 Sin (185° + Q), Nach Reparation:
" Oct. 1871: 0',07 Sin (99° + Q),
" Mai 1895:	0',10 Sin (162° + 2 Q), . . . 0',04 Sin (125° + Q).

Die Coefficienten der ersten Glieder dieser Formeln besitzen bei Herrn Metzger im Mittel einen m. Fehler = $\pm 0',085$, bei den anderen Beobachtern, etwas weniger, etwa $\pm 0',05$ oder $0',06$. Obgleich nun verschiedene Coefficienten grösser als diese Zahlen sind, so ist doch im Ganzen diese Untersuchung, für die Periode 1860—70, ziemlich günstig für die Schrauben ausgefallen. Soweit nicht Anlass vorhanden war, Beschädigung zu vermuthen, war der Coefficient nämlich überall kleiner als $0',4$, weshalb es nicht der Mühe werth erachtet wurde, die Correction anzuwenden.

Die Schwankungen der in den Klammern bei Q gefügten Winkel können einerseits durch die Unsicherheit der Werthe a und b erklärt werden, anderseits auch dadurch, dass die Trommeln auf den Mikrometerschrauben drehbar sind, also sehr leicht umgedreht werden können, wo dann dieselbe Seite der Schraube nicht mehr mit derselben Seite der Trommel zusammenfällt.

§ 2. Das Hauptnetz und seine Ausgleichung.

Indem wir nun die Ergebnisse der horizontalen Messungen erster Ordnung folgen lassen, müssen noch die folgenden Bemerkungen vorangeschickt werden.

In West-Java, welche Abtheilung der Terrains wir uns, was das Hauptnetz betrifft, im Westen durch die Seiten Batohideung-Karang und Karang-Gedé, im Osten durch die Seite Tjerimai-Bongkok begrenzt denken, beziehen sich alle Richtungen auf Heliotrope, welche in der Achse der Pfeiler aufgestellt wurden, (S. 4).

Die einzigen Ausnahmen von dieser Regel sind die folgenden. Der Leuchthurm zu Anjer eignete sich, durch seine länglich-conische Gestalt, sehr dazu, selbst als Zielpunkt benutzt zu werden, also war daselbst ein Heliotrop unnöthig. Und als Herr Waldringh zu Batohideung diesen Leuchthurm mittels der Richtungen Hondjei, Tjiloemloei und Karang festlegte, wurden auf diesen Gipfeln Signale benutzt.

In Ost-Java sind, bei den Messungen erster Ordnung, nicht so anschliesslich wie in West-Java, Heliotrope benutzt worden; Mangel an Personal, Schwierigkeit, gegen mässige Bezahlung freie Javanen als Heliotropisten zu werben, (was bei den Sundanesen in West-Java weit weniger der Fall war,) und andere Ursachen wirkten dazu mit.

Mit der Reduction vom Signal zur Achse des Pfeilers, welche durch den unregelmässigen Durchschnitt des Signallahses, und noch mehr durch die Unebenheit des Terrains auf den Gipfeln oft ungeheuer erschwert war, wurde zwar alle Sorgfalt verwendet; es muss dennoch eingestanden werden, dass dabei das Gentimeter nicht wohl zu erreichen war, und in den ungünstigsten Fällen eine Unsicherheit von 1–2 Decimetern übrig geblieben ist.

Mehrere Namen wird man von hinzugefügten Römischen Zahlen I, II, u. s. w. begleitet finden. Um Verwechslungen vorzubeugen, habe ich, bei dieser Neuberechnung, die Benennungen der Stationen, wie sie von den Ingenieuren der Triangulation angenommen waren, unverändert gelassen, sei es auch dass die Consequenz vielleicht eine Aenderung wünschenswerth hätte erscheinen lassen. Einige Male bestanden in derselben Residentchaft mehr als eine Station mit denselben Namen, wie Sangaboewana und Pogor, und dann dienen die Zahlen zur Unterscheidung derselben; öfters aber bezogen sich die verschiedenen nummerirten Namen auf Pfeiler auf einem und denselben Gipfel, wie z. B. Tampomas I und II; letzterer ist die Station oder der Dreieckspunkt erster Ordnung, und ist gebaut worden, weil der de Lange'sche Punkt, welcher, als Tampomas I, als Dreieckspunkt zweiter Ordnung beibehalten worden ist, für die Verbindung nach Norden zu niedrig lag.

Ebenso hatte Herr de Lange auf dem Kraterande des Tjerimai drei Signale errichtet, Tjerimai I, II und III, und zwar an drei Stellen, welche nach den verschiedenen Theilen der Residentchaft Oberibon Aussicht gaben, und welche er auch, so viel als möglich, aus allen von ihm in dieser Gegend besuchten Stationen einschmitt. Auf dem Kraterand selbst mangelte die Gelegenheit, die relative Lage dieser Signale zu bestimmen.

Als der Ingenieur Metzger die Arbeit de Lange's fortsetzte, konnte er auf dem Tjerimai keine Spur von diesen Signalen wiederfinden. Er baute daher, auf einem höheren Punkte, von wo die Aussicht nach den muringenden Gipfeln erster Ordnung frei war, einen neuen Pfeiler, Tjerimai IV.

Bei der endgültigen Berechnung der Triangulation sind die drei von Herrn de Lange gebauten Signale, jedes für sich, vermittelt sowohl der de Lange'schen, als der späteren Messungen, an das primäre Netz der späteren Triangulation angeschlossen worden, und so sind Tjerimai I, II und III in

diesem Bericht als Dreieckspunkte zweiter Ordnung aufgenommen worden; obwohl dieselben verschwunden sind, fand ich dennoch keinen Anlass dieselben zu unterdrücken, weil sie möglicher Weise bei den militärischen und topographischen Aufnahmen der Residentchaft Cheribon in den Jahren 1855—1855 benutzt worden sind, und die wirklichen Stellen, wo die Signale gestanden haben, also, bei einer etwaigen Revision dieser Arbeit, noch von Werth sein können.

Ähnliches hat sich bei den de Lange'schen Punkten Slamet I, II und III ereignet. Diese wurden zwar im J. 1865 wiedergefunden, für die Triangulation der Residentchaft Tagal war aber ein Pfeiler, (Slamet IV,) an der Nordseite der Kraterandes ein Bedürfniss. Die relative Lage dieser vier Punkte konnte mittels einer in dem Sandmeer des Kraters gemessenen Basis genau bestimmt werden, (s. S. 2.) In Slamet III ist später behufs der Verbindung längs der Südseite, von West- mit Ost-Java, mittels Bongkok, Tjeniring, Ardjoeno und Kembang, noch ein Pfeiler gebaut worden.

Slamet I und II können jetzt, ebenso wie Tjerimai I, II und III, als verschwunden betrachtet werden.

Wegen der Schwierigkeit, auf den höchsten Gipfeln einen Heliotropisten zu unterhalten, wurden auf einigen Stationen, (Slamet III, Lawoe, Boetak (Kediri), Ardjoeno (Soerabaja), Argowoodan, Sméroe, neben den Pfeilern, auch Pyramiden von Kraterblöcken errichtet, welche, aus der Ferne sichtbar, den Dienst eines Signals leisteten. * Die Ablesungen der auf diese Pyramiden gerichteten Instrumente wurden dann auf die Pfeiler reducirt; ausser beim Sméroe, wozu die Reductions-Elemente erst später aufgefunden worden sind. **

Dasselbe war auch der Fall auf den niedrigen Hügeln, „Todtenkisten“ genannt, welche der Insel Madura gegenüber, an der Javaküste liegen, nämlich Banjoelég und Petoekangan. Diese Pyramiden dienten später, statt der früher benutzten Hügel, als Baken für die Seefahrt, und sind deshalb unten ausnahmsweise als Triangulationspunkte genannt worden. Bei der später folgenden Mittheilung der geographischen Lagen, sollen aber gleichfalls die Pfeiler aufgenommen werden.

Nach der Wiederaufnahme der Triangulation im Jahre 1861 wurde von Herrn J. C. A. van Asperen mit der Residentchaft Semarang angefangen und ostwärts fortgeschritten. Er und seine Assistenten beobachteten mit achtzölligen Instrumenten und vielfach wurden Bambus-Signale benutzt. Nachdem später beschlossen worden war, die Triangulation auch für die Zwecke der Gradmessung dienstbar zu machen, und die stärkeren 10 und 12 zölligen Instrumente disponibel waren, sind die Hauptdreiecke in den Residentchaften Semarang, Japara, Rembang, Soerakarta, Djogdjakarta und Madioen alle mit solchen Instrumenten nachgemessen worden, wobei dann aber nur auf Heliotrope visirt wurde.

Auf dem Meraboe musste ein zweiter Pfeiler für den Anschluss an Nglanggran gebaut werden; dieser wurde als Meraboe II beibehalten. Dasselbe war der Fall auf dem Sockel, wo zur Bestimmung der Punkte Kenirisingo und Lemboe, zwei Hilfspfeiler, Sockel II und III errichtet wurden. Die Messungen sind aber alle auf Sockel I reducirt worden.

Von zwei Punkten, Kaliasin und Tandjong Pakem, beide in der Residentchaft Boesoki, sind die Pfeiler durch das Meer weggeschlagen worden. Es sind daher dort neue Pfeiler, Kaliasin II und Tandjong Pakem (Neu) gebaut worden, welche in unseren Verzeichnissen mit diesen Benennungen aufgenommen worden sind, denselben, welche sie in den Notiz-Heften und Berechnungen tragen. Die Umstände sind aber bei diesen beiden Punkten nicht dieselben. Kaliasin I wurde, kurz nachdem es einige Male als Zielpunkt gedient hatte, weggeschlagen, und durch einen neuen Pfeiler weiter landeinwärts ersetzt, welcher also anfangs Kaliasin II genannt wurde. In der Neuberechnung ist aber nur dieser Punkt benutzt worden, so dass er in diesem Bericht einfach Kaliasin genannt worden ist.

* Die Pyramide auf Slamet III hat für die Messungen zu Frisroe, Kembang, Ardjoeno und Tjenising als Zielpunkt gedient, für die Messungen zu Tjerimai, Suwal und Bongkok aber wurde vom Pfeiler aus heliotropirt.

** Für alle diese Gipfel werden, in der unten zu gebenden Tabelle der Längen und Breiten, so wohl Pyramiden als Pfeiler aufgenommen werden.

Tandjong Pakem (alt) aber ist nach den Messungen weggeschlagen worden, so dass Tandjong Pakem (neu) factisch nicht zur Bestimmung von Punkten zweiter Ordnung gedient hat. Es ist aber im Sept. 1878, durch ein vollgemessenes Dreieck von Herrn Soeters, mit den Hauptpunkten Sahari und Ikan verbunden worden, (S. Dreieck 198, in Beziehung zu Dreieck 192), so dass die relative Lage der beiden Pfeiler bekannt ist. Die Rechnungen beziehen sich aber sämmtlich auf Tandjong Pakem (alt).

Es sind noch einzelne Fälle vorhanden, wo zwei oder mehr Gipfel in verschiedenen Theilen Java's denselben Namen tragen, wie Ardoeno, (in den Residentschaften Baglen und Soerabaja,) Slammat, (in Tagal und in Pasoreoeau,) Boetak, (in Rembang und in Kediri.) Oft ist in diesen Fällen eine Verwechslung nicht zu befürchten, und dann sind die Namen ohne hinzugefügte Zahl gelassen. Zur Unterscheidung kann, wenn es gewünscht ist, immer die Residentschaft hinzugefügt werden, z. B. Boetak, (Kediri).

Bereits auf Java war von mir ein Formular für die Reduction der primären Messungen angegeben worden; es folgt hiermit, Seite 48 und 49, eine aufs Ungefähre genommene Probe der Reduction eines Satzes mit Fernrohr rechts und links.

Als jedoch die Papiere in Utrecht empfangen wurden, war nur ein kleiner Theil der Messungen, namentlich der jüngeren Beobachter, nach dieser Vorschrift reducirt worden, so dass z. B. alle von Herrn Metzger herrührenden Messungen neu reducirt werden mussten.

Die Ausgleichung auf der Station sollte nach der Bessel'schen Methode geschehen; was aber auch nur für einzelne Stationen bereits auf Java ausgeführt worden war.

Herr J. C. A. van Asperen hatte überhaupt seine primären Messungen richtig reducirt, die Ausgleichung auf der Station aber nicht nach der Bessel'schen, sondern nach einer von ihm selbst entworfenen einfacheren Methode ausgeführt, wozu die systematische Anordnung der Beobachtungen allerdings Veranlassung gab. Eine Beschreibung dieser Methode hat er leider nicht gegeben; und die Reductionsblätter geben nur Zahlen ohne Erklärung, doch ist es mir gelungen herauszufinden dass seine Methode dieselbe war, welche auch im Ordnance Trigonometrical Survey of Great Britain etc. S. 62—66 und in Helmer's Ausgleichungsrechnung S. 154 auseinandergesetzt ist; nur dass er die Näherung drei oder viermal wiederholte; dass diese Methode ziemlich richtig sei, wird durch die folgende Probe bewiesen. Eine der complicirtesten Stationen war Lawoe, wo zehn Zielpunkte eingestellt worden waren. Die Ausgleichung dieser Beobachtungen war von Herrn Soeters nach der Bessel'schen Methode ausgeführt, und weil gerade auch Prof. Schols dieselbe Ausgleichung nach seiner Methode gemacht hatte, wobei er genau dieselben Resultate wie Herr Soeters erhalten hatte, so ersuchte ich Herrn J. C. A. van Asperen, seine Methode auf diese Station anzuwenden. Das Resultat wird aus der untenstehenden Uebersicht deutlich:

Station	Secunden nach den Herren Schols und Soeters.	Secunden nach Herrn Van Asperen.	Unterschied.
Gambiranom	0°,00	0°,00	0°,00
Nglanggrang	56°,57	56°,57	0°,00
Kritjan	27°,91	27°,90	— 0°,01
Salam	4°,53	4°,51	— 0°,02
Segorogoenong	5°,42	5°,40	— 0°,02
Kendil	5°,02	5°,02	0°,00
Pandan	10°,87	10°,86	— 0°,01
Wilis	58°,47	58°,47	0°,00
Sengoengloeng	18°,51	18°,29	— 0°,02
Ratawoe	40°,95	40°,95	0°,00

was also nahezu eine vollkommene Uebereinstimmung zeigt. Die von Herrn Van Asperen schon auf Java ausgeglichenen, mit Gross P. M. I. und Repsold gemessenen Stationen, gaben zwar, wie später noch mehr im Einzelnen gezeigt werden wird, einen etwas grösseren mittleren Fehler der nackten Beobachtungen, der Unterschied war aber nicht gross, und muss, bei den stark wechselnden Werthen von m^2 , dem Zufall anheingestellt werden; es wurde nämlich gefunden:

Instrument.	Nach der strengen Rechnung.		Nach der Methode der Herrn J. C. A. van Asperen.	
	Anzahl der Stationen.	M. Fehler.	Anzahl der Stationen.	M. Fehler.
Gross P. M. I.	51	$\pm 1',17$	9	$\pm 1',57$
Repsold	21	$\pm 0',94$	5	$\pm 1',08$

Die Zahlen $1',57$ und $1',08$ wurden aber auch bei der strengen Rechnung wiederholt überschritten; und ich nahm also keinen Anstand, die Reductionen des Herrn Van Asperen anzunehmen.

Die übrigen Ausgleichungen auf der Station wurden hier in Utrecht auf gleiche Weise wie die S. 80 der 5^{ten} Abtheilung vermeldeten, zwar nach den Bessel'schen Methode, aber mittels einer von Herrn Prof. Schols in Delft angegebenen, sehr bequemen Einrichtung der Formulare, bearbeitet.

Die nächste Tabelle, S. 55 und folgende, enthält die für das Hauptnetz gefundenen ausgeglichenen Richtungen.

Um Raum zu gewinnen, sind in derselben Tabelle zugleich die Verbesserungen, welche die Ausgleichung des Netzes als notwendig oder wünschenswerth gezeigt hat, sodann die Sekunden der verbesserten oder ausgeglichenen Richtungen, ferner die Azimuthe und schliesslich die Entfernungen in Metern hinzugefügt.

Von dieser Ausgleichung ist bereits vermeldet worden, dass dieselbe, im Vergleich mit der, gewöhnlich mit vielem Zeitaufwand nach der strengen Methode der kleinsten Quadrate bearbeiteten, ganz anspruchslos ist. Erstens haben wir, wie Gauss dies in seiner Triangulation von Hannover auch schon gethan hat, den gemessenen Richtungen überhaupt gleiche Gewichte zuerkannt; nur in einzelnen Stationen in Ost-Java, wo mit einem 8 zölligen Instrumente, P. M. IV, die gewöhnliche Zahl der Messungen angestellt wurde, und die Abweichungen etwas ansehnlich waren, erhielten die mit diesem Instrumente gefundenen Richtungen das Gewicht $\frac{1}{2}$.

In Mittel-Java sind die Messungen zu Tjemring und Slamet III von Herrn Woldringh in 18 Kreislagen mit P. M. III (8 Z.) gemacht, und empfingen also das Gewicht = 1. Zu Praloe, Rembang und Arjuno hat Herr Temissen, mit dem ebenfalls 8 z. P. M. IV, zwar nur in 6 Kreislagen gemessen; die in den verschiedenen Kreislagen erhaltenen Winkel stimmten aber untereinander so gut, und die Dreiecke um Slamet III, hatten solche kleine Schlussfehler, dass kein Anlass vorlag, den dort gefundenen Winkeln ein kleineres Gewicht zuzuerkennen. Dasselbe war auch der Fall mit den Beobachtungen von Herrn J. C. A. van Asperen zu Krijan, welche zwar einen ungünstigen m. Fehler für die nackten Beobachtungen zeigen, deren Mittelzahlen aber ganz gut mit den übrigen Messungen stimmten.

Ueber die Ausgleichung des Netzes hat Herr M. L. J. van Asperen mir einen ausführlichen Bericht erstattet, aus welchem ich, der Kürze halber, nur das folgende hier mittheile, was für den sachverständigen Leser wohl hinreichend sein wird.

Die Rechnungen sind durchgängig mit siebenstelligen Logarithmen geführt, doch ist die durch die Interpolation erhaltene achte Decimalstelle immer angesetzt.

Weiter wurde in den Rechnungen die dritte Decimalstelle der Secunden angesetzt, damit soviel wie möglich die sphärischen Excesse und Sinusproben stimmen sollten (Fortsetzung S. 50.)

REDUCTION DER PRIMÄREN WINKELMESSUNGEN ZU PATAT.

Notiz-Heft

Tag. 1869	Fern- rohr.	Zielpunkt.	MIKROSKOP A. Die Correction für Gang ist für 10': — 0",92.						MIKRO- Die Correction für			
			Erster	Zweiter	Im	Allge- meines	Corr. für Gang. —	Corri- girtes	Erster	Zweiter	Im	
			Strich.	Strich.	Mittel.	Mittel.		Mittel.	Strich.	Strich.	Mittel.	
März 24.	l.	Telaga,	6" 0'	2".00 7.00 2.25	4".00 7.85 3.00	3".00 7.44 2.63	4".36	0".01	4".35	0' 29".00 21.00 23.13	21".88 22.00 23.63	30".44 21.30 26.58
		Tjikakap,	11 9	0.25 7.00	0.88 6.00	0.57 6.50	3.53	0.38	3.15	9 11.63 4.38	11.50 4.88	11.57 4.63
		Nangka,	208 35	51.50 53.38	51.00 53.09	51.25 51.19	52.72	0.36	51.36	35 49.25 51.75	47.50 51.00	45.38 51.38
	r.	Telaga,	0 0	9.38 8.85 7.00	10.00 9.25 6.58	9.63 8.42 6.94	8.18	0.01	8.17	0 7.00 3.00 5.50	8.63 5.75 6.13	7.52 4.38 5.52
		Tjikakap,	77 8	56.25 51.00	55.00 50.00	55.63 50.50	53.06	0.56	52.70	9 5.13 2.75	4.75 2.88	4.94 2.82
		Nangka,	208 53	56.50 51.25	55.00 51.00	55.75 51.13	53.44	0.33	53.11	57 46.00 23.00	47.00 52.38	46.50 52.69

Das Resultat dieses

Telaga 0"
Tjikakap 77
Nangka 208

Die Entfernungen waren: von Telaga 52405, von Tjikakap 56984 und von Nangka 25516 Meter; die doppelte rohr rechts — 2",69, — 2",56 und — 5",42, der Winkel mit Telaga aber + 0",55 und — 0",75 betrag. Gefunden ganze Anzahl primäre Messungen abgeleitet und discutirt worden, worüber später Bericht erstattet werden wird.

NB. Diese Reduction ist in Utrecht ausgeführt worden. Diejenigen Reductionstabellen für Ost-Java, welche Reduction bereits in den Notiz-Heften, auf der rechten Seite geschah, welche dazu, vorschrittmässig, bei der Notirung

Beobachter: METZGER. Instrument: Gross P. M. II.

N^o. 25.

KOP B. lang ist für 10': + 1",10.			Mittel aus beiden Mikro- skopen.	Neigung der hori- zontalen Achse i	Im Mittel.	s und cot z.	i cot z.	Mittel, corri- girt für Neigung	Corr. für period. Fehler des Bandes +	Corrigirte Ablesung.	Winkel mit dem ersten Object.
Allge- meines Mittel.	Corr. für Gang +	Corri- girtes Mittel.									
				- 2",9 + 12",2 + 2,9		89° 55'					
26",27	0",05	26",32	15",34	+ 3,6	+ 4",1	+ 0,0064	+ 0",03	15",36	0",93	0° 0' 16",29	0° 0' 0",00
5,10	0,45	8,55	5,55	- 5,0 + 3,6	- 0,7	91° 15' - 0,0227	+ 0,02	5,37	0,41	77 9 6,23	77 8 49,99
49,88	0,42	50,30	51,33	+ 3,6 + 3,6	+ 3,6	91° 15' - 0,0219	- 0,08	51,33	0,02	208 35 51,27	208 35 34,98
6,00	0,01	6,01	7,34	- 1,4 - 1,1 - 2,6	- 2,0	+ 0,0064	- 0,01	7,23	0,93	8,16	0,00
5,53	0,45	4,33	55,52	0,0 - 4,3	- 2,2	- 0,0027	+ 0,03	55,37	0,11	55,98	50,52
49,59	0,42	50,01	41,56	- 10,1 - 4,7	- 7,4	- 0,0219	+ 0,16	41,72	0,02	41,74	33,58

Satzes war also:

0 0",00
8 50,405
58 54,28

Excentricität des Fernrohrs war = 0,425 Meter, so dass die Reduction der Richtungen von Fernrohr links auf Fern-
wurde + 0",85 und - 1",40; die Unterschiede sind also + 0",50 und - 0",67. Diese Unterschiede sind für die

dort schon eingefüllt waren, enthielten in der vierten Columne gleich die arithmetischen Mittel, indem die erste
der Ablesungen offengelassen wurde.

Für die Berechnung der sphärischen Excesse, nach der S. 55 der III Abth. angegebenen Formel, wurden die Logarithmen der Seitenlängen aus der früheren Berechnung des Netzes entlehnt, und mit der ziemlich genau bekannten Correction verbessert.

Die drei Basisetze von Simplak, Logantong und Tangsil wurden aus der dritten Abtheilung unverändert herübergenommen; vom dem letzten war nur die Seite Résér-Socket nützlich.

Weiter wurden Vierecke mit zwei, und Fünfecke mit mehr als zwei Diagonalen, wo solche im Netze zu finden sind, nach der Methode der kleinsten Quadrate ausgeglichen. So wurde die Ausgleichung mit dem Fünfecke Telaga-Pangrango-Sangaboewana I-Patocha-Boerangrang begonnen, von welchen Punkten die drei ersten dem Basisetze von Simplak angehörten.

Beim Fortschreiten wurde nun der Hauptsache nach die Methode befolgt, dass zuerst die Winkel der neu ausgezogenen Dreiecke mit dem Drittel der Schlussfehler vermindert, dann die 560 sein sollende Summe der in einem Punkte zusammen treffenden Winkel berichtigt, und endlich die Sinusprobe fertig gemacht wird. (Schols, Landmeten en Waterpassen, § 156.) Es zeigt sich dann von selbst ob die anzubringenden Verbesserungen zu dulden sind oder nicht. In unserem Netze war dies, wie die Tabelle zeigt, meistens wohl der Fall. Waren die Verbesserungen zu gross, so wurde eine andere Ausgleichung versucht, öfters gleich die Methode der kleinsten Quadrate angewandt. Dabei wurden dann die Verbesserungen der Richtungen als Unbekannte eingeführt, durch ein Missverständniss jedoch die Verbesserung der ersten Richtung, wie es in der Bessel'schen Ausgleichungsmethode geschieht, gleich Null gesetzt. Nachher wurde dann die Summe der sämtlichen Verbesserungen der zu einem selben Standpunkte gehörenden Richtungen, jene der Nullrichtung darunter begriffen, durch addiren oder subtrahiren einer überall gleichen Zahl, = 0 gemacht. Diese Rechnungsweise würde offenbar nur dann richtig sein, wenn, statt Richtungen, Winkel mit dem ersten Object gemessen worden wären; leider wurde der Fehler erst entdeckt, als die ganze Ausgleichung des Netzes fertig abgeliefert wurde. Es versteht sich aber, dass die resultirenden Verbesserungen, welche doch, wenn auch nicht auf die allergünstigste, doch auf eine sehr günstige Art bewirken, dass den bestehenden geometrischen Bedingungen des Netzes Genüge gethan wird, sehr wenig von denjenigen verschieden sein können, welche eine ganz strenge Behandlung gegeben hätte. Die gemachte fehlerhafte Voraussetzung ist jedenfalls von derselben Ordnung, als wenn man, wie in der beschriebenen, einfacheren Ausgleichungs-Methode, mit Winkeln, statt Richtungen rechnet. Strenge genommen ist auch dies nicht erlaubt, es hat sich aber fast immer ergeben, dass die hiernit genommene Freiheit keine nachtheilige Folgen hatte, indem Anhäufung von Verbesserungen mit gleichen Vorzeichen, bei an einander anschliessenden Winkeln selten oder nie vorkam.

Ich wiederhole noch einmal, dass die Absicht mit der beschriebenen Ausgleichung nur ein Versuch war, und dass die überaus günstige Uebereinstimmung der drei Basen, wie auch der zwanglose Anschluss an das Basisnetz von Mittel-Java, und endlich die (wie wir später sehen werden) vollkommen genügende Uebereinstimmung der geodätischen mit den astronomischen Azimuthen, nicht zu dem Entschlusse führten, das ganze System der Verbesserungen, also die Ausgleichung selbst, als genügend anzunehmen. Ich brauche kaum anzuführen, dass eine nach der Methode der kleinsten Quadrate streng durchgeführte Ausgleichung, selbst wenn, zum Zwang-Anschluss an den drei Basen nur die zwei, von den Längen der Basen herrührenden Bedingungs-Gleichungen eingeführt würden, nur mit enormem Zeitaufwand zu erhalten wäre; weil nun überdies von Anschluss an das Netz eines Nachbarstaates bei einer Insel wie Java keine Rede ist, so glaube ich, dass Jedermann diesen Entschluss billigen wird.

Ausser dem genannten Fünfeck sind nun noch die untenstehenden Vier- und Fünfecke durch die Methode der kleinsten Quadrate ausgeglichen worden:

- Das Fünfeck Batochidung - Karang - Gedé - Sang'an - Leuchtthurm,
- „ „ Sangaboewana II - Pangrango - Poetri - Dago - Endoet,
- „ Viereck Boerangrang - Tampomas - Tjikeraai - Patuela,
- „ Fünfeck Tampomas - Kromon - Tjerimi - Sawal - Tjikeraai,

- das Fünfeck Sawal - Tjerimai - Slamet - Tjeniring - Bangkok,
 „ „ Kembang - Prahoe - Oengaran - Merbaboe - Gepak,
 das Viereck Nglanggran - Merbaboe - Salam - Kritjian,
 „ „ Kritjian - Salam - Segorogoenong - Lawoe,
 „ Fünfeck Nglanggran - Kritjian - Lawoe - Ratawoe - Gambiranom,
 „ Viereck Argopocro - Bésir - Socket - Kenirisongo,
 „ „ Bésir - Kaliasin - Baloran - Socket,
 „ Fünfeck Lembœ - Socket - Tandjong Pakem - Ikan - Déngong,
 „ Viereck Watoejelèng - Dradjat - Benjoelegi - Petockangan,
 „ „ Petockangan - Banjoelegi - Bangsri - Seleret.

Der Ort des Smœroe, wo nicht gemessen, welcher aber von sechs Stationen anvisirt wurde, wurde nach der Methode der kleinsten Quadrate berechnet.

Das übrige Netz wurde, wie gesagt, nach der einfacheren Methode ausgeglichen, und überhaupt liess der Anschluss wenig zu wünschen übrig. Angefangen wurde mit der Umgebung des Basisnetzes von West-Java; westwärts wurde fortgearbeitet bis zu der Sunda-Strasse, ostwärts bis zu der Seite Tjerimai-Bongkok. Dann wurde, von der Seite Bésir-Socket des Basisnetzes in Ost-Java ausgehend, erst das östliche Netz ausgeglichen, und weiter westwärts fortgearbeitet bis zu derselben Seite Tjerimai-Bongkok.

Die Abzählung der Fehler aus der Tabelle giebt die folgende Statistik:

Grenzen der Fehler.	Anzahl.
0',00 bis 0',50	518
0',50 „ 1',00	156
1',00 „ 1',50	55
1',50 „ 2',00	25
2',00 „ 2',50	8

Summe 540

Es bleiben also 454 von den 540 Verbesserungen unter der Secunde, 78 sind zwischen 1' und 2', und 8 übertreffen 2'.

Als nun das ganze Dreiecksnetz ausgeglichen worden war, ergab es sich, dass um völligen Anschluss der Seiten, was ihre Länge anbetrifft, zu erhalten, die Verbesserungen der Logarithmen der drei Basen folgendermassen angenommen werden mussten:

log. Basis bei Simplok	+	9	} Einheiten der siebenten Decimalstelle.
„ „ „ Logantong	—	15	
„ „ „ Tangsil	+	4	

Geht man von den Logarithmen zu den Zahlen über, so ist dies für die Basis

bei Simplok:	+	0,00000021	der Ganzen	oder	+	8,2	mm.,
„ Logantong:	—	0,00000050	„	„	—	12,5	„
„ Tangsil:	+	0,00000009	„	„	+	4,5	„

Theilt man, wie wir dies bereits gethan haben, Java in drei Theile, West-Java von Hondje bis zu der Seite Tjerimai-Bongkok, Mittel-Java von dieser zu der Seite Segorogoenong-Lawoe, und Ost-Java von dieser zu der Seite Tandjong Pakem-Ikan, so wird durch diese Aenderung der Basen

West-Java	um 0,65 Meter verlängert,
Mittel-Java	„ 0,95 „ verkürzt,
Ost-Java	„ 0,50 „ verlängert,

so dass die Länge der ganzen Insel, welche nahezu eine Million Meter beträgt, sich gleich bleibt.

Indem also die Logarithmen der Längen der drei Basen festgestellt worden waren, so konnten die Längen der Dreiecksseiten sämmtlich berechnet werden. Es wurde, wie früher, (s. die 5^{te} Abtheilung.) auch hier durchweg die Additamentenmethode benutzt; die ausgeglichenen Winkel der Dreiecke wurden also nicht um $\frac{1}{2} \varepsilon$ vermindert, und von allen Seiten wurde nur der log. Sin., zwar in Metern, berechnet. Durch Hinzufügung der Additamente wurden aber die Logarithmen der Seiten und dann diese selbst gefunden. In der unten folgenden Tabelle sind diese auch in der letzten Column angegeben.

Um die relative Lage der anliegenden Punkte in Bezug auf einen Centralpunkt anzugeben, muss aber, ausser der Entfernung auch das Azimuth gegeben sein; zu Genock, dem nördlichsten Punkte Mittel-Java's, war vom Ingenieur Soeters eine vollständige Breiten- und Azimuthbestimmung ausgeführt worden. Aus letzterer wurden, unter Annahme der Besselschen Dimensionen des Erdsphäroids, die Azimuthe für das ganze Netz abgeleitet und die gefundenen Azimuthe, vom Norden rechts herumgezählt, sind in der vorletzten Column der Tafel angegeben. Zwischen den ausgeglichenen Richtungen und den Azimuthe besteht natürlich für jeden Standpunkt ein constanter Unterschied.

In der dann folgenden Tabelle sind die primären Dreiecke selbst mitgetheilt worden. Hier sind die Log. Sinus der Winkel wie auch die Log. der Seiten-Sinus und die Additamente angegeben, so dass der Leser auf vielfache Art Controle auszuüben im Stande ist. Dass, wenn man den Unterschied Log. sinus Seite — Log. sinus der gegenüberstehenden Winkels nimmt, zeitweilen ein Unterschied von einer Einheit der siebenen Decimalstelle gefunden wird, rührt theilweise davon her, dass, wie gesagt, bei den Berechnungen die interpolirte achte Stelle beibehalten wurde, welche unten nicht angesetzt worden ist, während überdies, wo derselbe Logarithmus auf verschiedenen Wegen abgeleitet wird, natürlich zweifeln Differenzen von einer oder zwei Einheiten in der letzten Decimalstelle vorkommen müssen.

ERGEBNISSE DER RICHTUNGSMESSUNGEN ERSTER ORDNUNG.

Zielpunkt.	Richtungen.			Azimuth.	Entfernung in Metern.
	Gemessen.	Correction.	Ausge- glichen.		

Hondjei.

E. Metzger, Mai 1868, Gross P. M. II.

Batochideung	0° 0' 0",00	+ 0",75	0",75	17° 45' 40",94	22728,42
Tjiloeloen	56 51 9,78	— 0",17	9,61	74 16 49,80	56086,12
Poelo Tindjil	115 17 22,15	— 0",60	21,55	155 5 4,74	55891,65

Batochideung.

E. Metzger, Mai 1868, Gross P. M. II.

Tjiloeloen	0° 0' 0",00	— 0",11	— 0",11	143° 5' 48",47	50258,00
Hondjei	84 59 26,55	— 0",02	26,51	107 45 14,88	22728,42
Karang	504 14 42,04	+ 0",14	42,18	57 20 50,76	55959,58

C. Woldringh, März 1868, P. M. III.

Karang	0° 0' 0",00	+ 0",52	0",52	57° 20' 50",76	55959,58
Tjiloeloen	55 45 20,00	— 1",97	18,05	115 5 48,47	50258,00
Hondjei	140 24 45,10	— 0",65	44,45	107 45 14,88	22728,42
Leuchthurm Anjer	550 46 24,40	+ 2",29	26,69	28 6 57,15	57886,10

Poelo Tindjil.

E. Metzger, Mai 1868, Gross P. M. II.

Tjiloeloen	0° 0' 0",00	— 0",22	— 0",22	15° 55' 55",87	55522,95
Klandong	59 46 2,96	— 0",09	1,97	75 41 58,06	41658,17
Hondjei	299 5 42,69	+ 1",21	45,90	515 1 19,99	55891,65

Poelo Sangéan.

J. A. Oudemans, September und October 1880, Gross P. M. II.

Gedé	0° 0' 0",00	+ 0",55	0",55	77° 26' 48",92	25654,12
Anjer	67 15 18,25	— 0",68	17,57	144 40 6,14	11061,91
Karang	69 52 20,52	— 0",22	20,50	146 59 8,87	59118,87
Leuchthurm Anjer	86 19 44,41	+ 0",56	44,97	165 46 55,54	11519,15

Leuchthurm Anjer.

Gedé	berechnet	51° 15' 2",65	25569,80
Karang	"	140 25 17,54	28470,66
Batochideung	"	208 5 19,75	57886,10
Poelo Sangéan	"	545 46 22,75	11519,15

Zielpunkt.	Richtungen.			Azimuth.	Entfernung in Metern.
	Gemessen.	Correction.	Ausge- glichen.		

Tjiloemloem.

E. Metzger, April 1868, Gross P. M. II.

Poelo Tindjil.	0° 0' 0",00	— 0",52	— 0",52	195° 55' 5",12	55522,95
Hondjei.	60 19 55,22	— 0",55	54,69	254 14 58,15	56096,12
Batoehideung.	99 9 1,59	— 0",25	1,16	295 4 4,60	50258,00
Karang.	189 18 26,09	+ 0",75	26,84	25 15 50,28	14597,61
Endoet.	255 55 52,40	+ 0",55	52,95	87 28 56,56	52142,30
Sangaboewana II.	265 7 19,42	— 0",46	18,96	90 2 22,59	62001,90
Klandong.	291 45 58,69	+ 0",25	58,92	125 59 2,56	58746,22

Anjer.

J. A. Oudemans, September und October 1880, Gross P. M. II.

Poelo Sangian.	0° 0' 0",00	+ 0",51	0",51	524° 59 44",54	11061,91
Gedé.	85 0 42,04	— 0",52	41,52	49 40 25,54	21892,21

Karang.

E. Metzger, März 1868, Gross P. M. II.

Tjiloemloem.	0° 0' 0",00	— 1",25	— 1",25	205° 12' 25",95	44597,61
Batoehideung.	54 5 19,29	— 0",49	18,80	257 17 46,00	55950,58
Gedé.	139 27 0,57	+ 0",49	1,06	2 59 28,26	57985,05
Dago.	259 8 57,65	+ 0",92	58,55	102 21 25,75	60688,99
Endoet.	295 2 41,05	+ 0",27	41,52	158 15 8,52	51859,29
Sangaboewana II.	296 5 50,21	+ 0",06	50,27	159 16 17,47	66916,88

J. A. Oudemans, November 1880, Gross P. M. II.

Poelo Sangian.	0° 0' 0",00	— 0",10	— 0",10	526° 57' 54",95	59118,87
Gedé.	55 41 55,15	+ 0",10	55,25	2 59 28,26	57985,05
Leuchthurm Anjer.		berechnet		520 22 15,86	28470,66

Gedé.

J. A. Oudemans, October und November 1880, Gross P. M. II.

Karang.	0° 0' 0",00	— 1",17	— 1",17	182° 59' 22",48	57985,05
Anjer.	47 0 4,67	+ 0",69	5,56	229 59 28,71	21892,21
Leuchthurm Anjer.	48 52 50,97	+ 0",65	51,39	251 11 54,95	25560,80
Poelo Sangian.	74 46 8,10	— 0",54	7,76	257 25 51,11	25054,12
Dago.	508 51 49,86	+ 0",19	50,95	151 51 15,40	76829,54

Zielpunkt.	Richtungen.			Azimuth.	Entfernung in Metern.
	Gemessen.	Correction.	Ausge- glichen.		

Klandong.

E. Metzger, April 1868, Gross P. M. II.

Tjiloemloem	0°	0'	0",00	—	0',55	—	0',55	505°	37'	1",97	58746,25
Sangaboewana II	121	0	5",68	—	0',51	—	5",17	66	37	5",49	52400,52
Soerangga	177	46	25",65	—	0',08	—	25",57	125	25	25",89	55802,69
Nangka	198	51	6",11	—	0',48	—	5",65	144	8	7",95	57559,60
Poelo Tindjil	508	1	37",92	+	1',45	—	39",53	253	39	1",67	41658,17

Endoet.

E. Metzger, December 1867 und Juni 1868, Gross P. M. II.

Tjiloemloem	0°	0'	0",00	+	0',77	—	0',77	267°	25'	20",57	52142,20
Karang	50	47	45",72	—	1',12	—	42",60	518	15	2",40	51859,29
Dago	156	29	45",52	+	0',64	—	44",16	45	55	5",96	55082,51
Poetri	166	0	34",95	—	1',20	—	55",75	75	25	55",55	61222,97
Pangraung	196	45	47",28	+	0',57	—	47",85	104	11	7",65	68875,08
Sangaboewana II	255	18	42",46	+	0',54	—	42",50	142	44	2",55	45115,96

Sangaboewana II.

E. Metzger, September und October 1868, Gross P. M. II.

Endoet	0°	0'	0",00	+	0',10	—	0',10	322°	45'	27",70	15115,96
Poetri	96	29	58",46	—	0',05	—	58",45	59	15	26",05	57641,97
Pangraung	152	4	59",54	+	0',02	—	59",56	94	48	6",96	57824,55
Telaga	160	25	18",82	—	1',58	—	17",24	125	6	44",84	65499,82
Soerangga	196	5	54",05	—	0',80	—	50",25	158	49	17",85	46714,28
Klandong	285	51	45",59	+	0',07	—	45",46	246	35	14",06	52400,52
Tjiloemloem	516	15	1",55	+	1',19	—	2",72	278	58	50",52	62001,99
Karang	550	50	7",91	+	1',03	—	8",06	519	15	56",56	66916,88

Nangka.

E. Metzger, März und September 1869, Gross P. M. II.

Soerangga	0°	0'	0",00	+	0',55	—	0',55	59°	25'	58",66	20451,77
Palat	41	49	14",26	—	0',00	—	15",56	81	14	51",49	25516,55
Klandong	284	40	14",91	+	0',56	—	45",27	524	5	55",40	57559,60

Zielpunkt.	Richtungen.			Azimuth.	Entfernung in Metern.
	Gemessen.	Correction.	Ausge- glichen.		

Dago.

E. Metzger, März 1868, März, April und Juni 1871, Gross P. M. II.

Endoet	0° 0' 0",00	— 4",78	— 1",78	225° 55' 52",75	55682,51
Karang	58 24 17,26	+ 1",54	18,60	282 17 55,15	60688,99
Gede	87 54 16,74	+ 1",59	18,15	511 27 52,66	76829,54
Poetri	259 44 20,57	— 0",95	19,42	105 57 55,95	54918,05
Pangrango	271 27 52,49	— 0",92	52,47	155 21 6,98	59825,21

Soerangga.

E. Metzger, October 1868, September 1869 und November 1871, Gross P. M. II.

Nangka	0° 0' 0",00	— 0",19	— 0",19	219° 24' 45",71	20451,77
Klandong	85 55 55,55	+ 0",05	55,58	505 20 21,28	55892,69
Sangaboewana II	119 25 26,05	— 0",40	25,65	558 48 11,54	46714,28
Telaga	218 59 55,88	— 0",05	55,85	78 24 59,75	58775,80
Patat	274 45 24,85	+ 0",65	25,48	154 10 11,58	17072,98

Patat.

E. Metzger, März 1869, Gross P. M. II.

Telaga	0° 0' 0",00	— 0",21	— 0",21	52° 54' 51",49	52402,55
Bitong	50 25 45,19	— 0",04	45,15	105 0 16,85	43591,55
Tjikap	77 8 49,98	— 0",07	49,91	129 45 21,61	56985,86
Nangka	208 58 55,51	+ 0",58	56,09	261 15 7,79	25516,55
Soerangga	261 54 50,10	— 0",28	49,82	514 9 21,52	17072,98

Poetri.

E. Metzger, October und November 1867, Gross P. M. II.

Dago	0° 0' 0",00	+ 0",58	0",58	285° 55' 50",58	54918,05
Sangaboewana I	188 5 16,16	+ 1",05	15,11	111 41 5,11	59152,01
Pangrango	245 4 50,62	— 0",58	50,24	166 40 40,25	55276,61
Sangaboewana II	515 54 29,77	+ 1",16	50,35	259 10 20,95	57641,97
Endoet	529 46 26,17	— 0",12	26,05	255 22 16,04	61222,97

Zielpunkt.	Richtungen.			Azimuth.	Entfernung in Metern.
	Gemessen.	Correction.	Ausge- glichen.		

Telaga.

E. Metzger, Mai 1869 und April 1875, Gross P. M. II.

Bitong	0° 0' 0",00	— 0",88	— 0",88	150° 25' 49",25	33919,85
Patat	82 8 56,60	+ 0",55	57,15	232 32 47,26	32402,53
Sorangga	107 58 15,75	+ 1",20	16,95	258 22 7,04	38775,80
Sangaboewana II	152 39 19,50	+ 0",68	20,27	505 5 10,39	65499,82
Pangrango	214 58 22,94	+ 0",28	25,22	5 2 15,54	51065,26
Sangaboewana I	240 58 29,80	+ 0",19	29,61	51 22 19,73	59505,64
Patocha	515 5 14,17	— 1",61	12,56	105 29 2,68	52067,19

Pangrango.

E. Metzger, November 1867, Gross P. M. II.

Sangaboewana I	0° 0' 0",00	+ 0",52	0",52	54° 33' 9",65	54554,70
Boerangrang	55 50 29,95	— 2",05	27,88	90 25 37,21	65281,00
Patocha	77 4 40,44	— 0",56	40,08	151 57 49,41	61428,76
Telaga	150 8 55,02	+ 0",50	55,32	185 2 2,65	51065,26
Sangaboewana II	219 51 16,75	+ 0",54	17,07	274 44 26,40	57824,95
Endoet	229 15 45,78	+ 1",04	44,82	284 6 54,15	68875,08
Dago	260 25 20,65	+ 0",15	20,78	315 18 50,12	59825,21
Petri	291 47 0,44	+ 0",25	0,59	546 40 9,73	33276,61

Tjikakap.

E. Metzger, April 1869, Gross P. M. II.

Bitong	0° 0' 0",00	— 1",52	— 1",52	45° 22' 55",59	19695,75
Tjibontoe	48 54 46,09	+ 0",04	47,05	95 54 45,74	54655,25
Patat	264 18 25,16	+ 1",28	26,44	309 41 25,15	56985,86

Bitong.

E. Metzger, Mai 1869, Gross P. M. II.

Tjibontoe	0° 0' 0",00	— 2",22	— 2",22	129° 0' 15",85	25660,70
Tjikakap	96 21 40,67	+ 0",05	40,62	225 21 56,07	19695,75
Patat	155 57 4,74	+ 0",75	5,47	282 57 21,52	45291,55
Telaga	201 22 25,85	+ 1",02	24,85	550 22 40,91	53919,85
Patocha	295 51 18,90	+ 0",50	19,40	62 51 35,46	58061,04

Zielpunkt.	Richtungen.			Azimuth.	Entfernung in Metern.
	Gemessen.	Correction.	Ausge- glichen.		

Sangaboewana I.

E. Metzger, October 1868 und Mai und Juni 1875, Gross P. M. II.

Poetri	0°	0'	0",00	+	0",50	0",50	294°	58'	50",40	39152,01
Boerangrang	187	4	10",57	+	0",57	10",94	118	45'	1",15	42255,17
Patoeha	250	58	45",55	+	0",15	45",68	162	57'	55",88	65945,24
Telaga	279	41	50",17	—	0",41	29",76	211	20'	19",95	59505,64
Pangrango	505	12	52",89	—	0",92	52",47	254	51'	22",66	54554,70

Tjiboentoe.

E. Metzger, April 1869, Gross P. M. II.

Bitoeng	0°	0'	0",00	+	0",59	0",59	508°	58'	50",17	25660,70
Patoeha	75	55	60",94	—	1",21	59",75	22	52'	49",51	56291,85
Tjikoerai	127	55	19",69	—	0",40	49",29	76	34'	9",07	60655,49
Pogor II	166	5	25",55	—	0",59	25",14	115	2'	12",92	52551,48
Tjikakap	524	55	28",71	+	1",59	50",50	275	52'	20",08	54055,25

Patoeha.

E. Metzger, November 1868 und Juni 1869, Gross P. M. II.

Sangaboewana I.	0°	0'	0",00	+	0",50	0",50	542°	56'	17",04	65945,24
Boerangrang	59	50	52",08	—	0",95	54",15	22	7'	7",69	46055,56
Tampomas II.	72	15	16",20	—	0",14	16",06	54	49'	52",60	76025,68
Tjikoerai	126	55	44",16	—	1",70	42",46	100	20'	58",99	55999,55
Tjiboentoe	219	55	54",11	+	1",14	55",25	202	51'	51",78	56291,85
Bitoeng	260	42	50",55	+	0",46	50",81	242	49'	16",54	58061,04
Telaga	500	49	21",94	+	0",45	21",90	285	25'	58",55	52067,19
Pangrango	520	18	22",85	+	0",66	25",51	511	54'	40",05	64428,76

Boerangrang.

E. Metzger, November 1868 und Juni 1869, Gross P. M. II.

Patoeha	0°	0	0",00	—	0",01	—	0",01	1202°	5'	59",21	46055,56
Pangrango	68	45	26,96	+	0,52	27,28	270	19	26,50	65281,00	
Sangaboewana I.	96	54	42,75	—	1,22	41,55	298	40	40,75	42255,17	
Tampomas II	246	24	48,25	+	0,42	48,65	88	50	47,87	44822,77	
Tjikoerai	508	55	51,42	+	0,50	51,92	151	1	51,15	69559,55	

Zielpunkt.	Richtungen.			Azimuth.	Entfernung in Metern.
	Gemessen.	Correction.	Ausge- glichen.		

Pogor II.

E. Metzger, December 1870 und Januari 1871, Gross P. M. II.

Pogor III	0° 0' 0",00	+ 0",58	0",58	64° 37' 57",76	21272,75
Tjiboentoe	250 20 51,57	— 0,55	51,02	294 58 48,40	52551,48
Tjikoerai	519 49 50,58	+ 0,17	50,55	24 27 27,94	41455,44

Tjikoerai.

E. Metzger, November 1870, Gross P. M. II.

Tampomas II	0° 0' 0",00	— 0",07	— 0",07	10° 14' 52",87	62852,52
Kromon	51 21 24,56	— 1,11	25,25	41 56 15,99	86800,94
Tjerimai IV	41 56 31,56	+ 0,03	51,59	51 51 44,55	76865,98
Sawal	61 50 18,67	— 0,45	18,22	72 5 10,96	47811,56
Bongkok	99 19 54,91	+ 0,84	55,75	169 54 28,49	55562,56
Pogor III	165 57 0,81	— 0,72	0,49	175 51 55,25	28695,96
Pogor II	194 11 29,75	— 0,54	22,21	204 26 14,96	41455,44
Tjiboentoe	246 14 45,55	— 0,94	44,59	256 29 57,15	69655,49
Patocha	279 11 56,06	+ 0,97	57,03	289 26 29,77	55999,55
Boerangrang	520 44 22,58	+ 1,61	25,99	350 59 16,75	69559,55

Pogor III.

E. Metzger, December 1870, Gross P. M. II.

Pogor II	0° 0' 0",00	— 0",57	— 0",57	244° 56' 34",57	21272,75
Tjikoerai	111 15 8,98	+ 0,55	9,55	555 51 44,47	28695,96
Bongkok	194 8 9,94	— 0,19	9,75	78 44 44,69	51267,46

Tampomas II.

E. Metzger, Juni und Juli 1869, Gr. P. M. II.

Boerangrang	0° 0' 0",00	— 0",58	— 0",58	268° 27' 55",86	44822,77
Kromon	177 44 1,59	— 0,78	0,61	86 11 56,85	46556,95
Tjerimai IV	197 46 12,05	+ 0,06	12,09	106 14 8,52	51526,90
Sawal	255 27 54,64	+ 0,20	54,84	145 55 51,07	58295,72
Tjikoerai	284 46 11,45	+ 0,56	11,79	190 14 8,05	62852,52
Patocha	526 17 59,54	+ 0,54	51,05	254 45 27,29	76025,98

Zielpunkt.	Richtungen.			Azimuth.	Entfernung in Metern.
	Gemessen.	Correction.	Ausge- glichen.		

Sawal.

E. Metzger, Juni und Juli 1870, Gross P. M. II.

Tjikoerai	0° 0' 0",00	+ 0",78	0",78	252° 2'	5",65	47811,56
Tampomas II	71 51 12,51	— 0",22	12,29	525 55	15,16	58295,72
Tjerimai IV	152 27 58,55	+ 0",57	59,10	24 29	41,97	56016,40
Slamat III	201 19 59,99	+ 1",04	58,95	95 22	1,82	104455,14
Bongkok	276 17 1,48	— 0",08	1,40	168 19	4,28	54019,27

Bongkok.

E. Metzger, August 1870, Gross P. M. II.

Tjikoerai	0° 0' 0",00	— 0",40	0",40	289° 50'	48",54	55562,56
Sawal	58 47 46,81	+ 0",02	46,85	548 18	35,57	54019,27
Tjerimai IV	77 25 7,95	— 0",19	7,74	6 55	56,48	46577,18
Slamat III	144 55 10,04	+ 0",56	10,60	74 25	59,54	101107,50
Tjemiring	182 55 48,14	+ 0",41	48,55	112 26	37,28	84542,90
Pogor III	529 10 21,20	— 0",57	20,85	258 41	9,57	51267,46

Kromon. *

E. Metzger, Mai 1870, Gross P. M. II.

Losari	0° 0' 0",00	— 1",48	1",48	104° 18'	5",20	48791,25
Kedaka	54 51 0,75	— 0",55	0,18	158 49	12,86	57489,49
Tjerimai IV	66 26 58,40	+ 0",25	58,65	170 44	45,55	17665,91
Tjikoerai	berechnet			221 52	26,50	86800,94
Tampomas II	161 50 50,85	+ 1",52	52,57	266 8	59,65	46556,35
Cheribon II	540 24 5,52	+ 0",24	5,76	84 42	12,44	19465,65

Tjerimai IV. *

E. Metzger, Mai und Juni 1870, Gross P. M. II.

Losari	0° 0' 0",00	+ 0",06	0",06	85° 5'	55",07	44765,18
Slamat III	50 25 25,27	+ 0",54	25,61	115 50	56,02	97440,71
Kedaka	45 19 42,25	+ 0",08	42,55	126 25	15,54	45511,97
Tjemiring	61 25 12,05	— 0",55	11,50	144 50	44,51	120790,50
Bongkok	105 49 49,55	+ 1,17	50,70	186 55	25,71	66577,18
Sawal	121 25 9,25	+ 0,10	9,55	201 28	42,54	76865,98
Tjikoerai	148 42 9,45	— 1,81	7,62	251 47	40,65	51526,30
Tampomas II	205 5 25,56	+ 1,08	24,44	286 10	57,45	51526,30
Kromon	267 59 1,75	— 0,59	1,54	350 44	54,55	17665,91
Cheribon II	517 56 21,22	+ 0,07	21,15	40 41	54,16	25566,57

* Von den hier angegebenen gemessenen Richtungen sind Losari, Kedaka und Cheribon II nicht bei der Ausleibung des Hauptniveaus benutzt worden, sondern bei dem Anschluß der Messungen in den Residentchaften Pekalonga, Tagel, und einer Theile der Residentchaft Cheribon, über welchen nachher die Rede sein wird.

Zielpunkt.	Richtungen.			Azimuth.	Entfernung in Metern.
	Gemessen.	Correction.	Ausge- glichen.		

Tjemiring.

C. Woldringh, Februar und März 1874, P. M. III.

Ardjoeno	0° 0' 0",00	— 0",18	— 0",18	81° 14' 50",85	44988,02
Bongkok	211 6 27,25	+ 0,05	27,50	292 20 58,55	84542,90
Tjerimai IV		berechnet		524 25 52,17	120790,50
Slamat III	296 55 55,41	+ 0,14	55,55	17 50 24,58	62500,94

Slamat III.

C. Woldringh, Januar und Februar 1874, P. M. III.

Tjemiring	0° 0' 0",00	— 0",45	— 0",15	197° 49' 2",96	62500,94
Bongkok	56 28 9,95	— 0,85	9,10	254 17 12,21	101107,70
Slamat		berechnet		275 14 54,75	104455,14
Tjerimai IV	95 55 54,65	+ 0,37	55,02	295 24 58,15	97446,71
Prahoë	247 57 21,06	+ 0,12	21,18	85 26 24,29	78274,75
Kembang	282 25 50,82	+ 0,40	51,22	120 14 54,55	77562,52
Ardjoeno	516 28 59,69	+ 0,06	59,75	154 17 42,86	58415,57

Ardjoeno.

W. G. Teunissen, Februar 1875, P. M. IV.

Tjemiring	0° 0' 0",00	+ 0",29	0",29	261° 11' 15",15	44988,02
Slamat III	75 4 40,52	+ 0,02	40,54	554 15 55,18	58415,57
Kembang	170 44 47,48	— 0,52	47,16	71 56 2,00	45822,24

Kembang.

W. G. Teunissen, März und April 1875, P. M. IV.

Gepak	0° 0' 0",00	+ 0",54	0",54	122° 58' 51",65	56545,61
Ardjoeno	129 14 9,65	+ 0,11	9,74	251 55 0,85	45822,24
Slamat III	177 51 1,09	— 0,25	0,86	500 9 51,97	77562,52
Prahoë	250 57 8,80	+ 0,05	8,85	15 55 59,95	46609,15
Merlaboe	515 59 56,96	— 0,45	56,55	76 58 47,64	70295,82

Prahoë.

W. G. Teunissen, Mai und Juni 1875, P. M. IV.

Kembang	0° 0' 0",00	+ 0",90	0",90	195° 55' 15",90	46609,15
Slamat III	71 45 51,40	+ 0,55	51,75	265 21 4,82	78274,75
Tembok	222 9 54,27	— 0,49	55,78	55 45 0,87	42088,07
Samarang	251 55 18,45	— 0,52	17,95	65 8 51,01	59864,95
Ongaran	256 27 42,51	— 0,15	42,16	90 2 55,24	40019,07
Merlaboe	285 14 55,61	— 0,16	55,45	116 49 48,54	64569,75
Gepak	529 27 14,64	+ 0,12	14,76	165 2 27,85	67067,50

Zielpunkt.	Richtungen.			Azimuth.	Entfernung in Metern.
	Gemessen.	Correction.	Ausge- glichen.		

Gepak.

W. G. Teunissen, December 1875 und Januar 1876, Gross P. M. I.

Kembang	0° 0' 0",00	+ 0',57	0',57	502° 56' 57",55	56545,61
Prahoë	40 24 26,78	— 0',15	26,65	545 1 5,59	67967,59
Oengaran	79 46 45,59	— 0',27	45,52	22 25 20,28	79279,90
Merhaboe	105 39 25,75	— 0',20	25,55	46 16 2,50	52056,90
Nglanggran	155 44 54,52	+ 0',26	54,58	98 21 51,55	49888,55

Tembok.

H. T. Soeters, März und April 1872, Gross P. M. I.

Oengaran	0° 0' 0",00	+ 0',71	0',71	155° 27' 56",25	26511,22
Prahoë	82 15 11,87	— 0',26	11,61	255 42 47,15	42088,07
Morodemak	270 59 8,88	— 0',45	8,45	64 26 45,97	57892,26

Oengaran.

H. T. Soeters, April und Mai 1872, Gross P. M. I.

Prahoë	0° 0' 0",00	— 0',44	— 0',44	209° 59' 45",10	46619,97
Tembok	65 27 5,51	— 0',40	5,11	555 26 48,65	26511,22
Semarang	106 56 11,76	— 0',06	11,70	16 55 57,24	26554,45
Morodemak	119 4 13,17	+ 0',45	14,62	29 4 0,17	45797,11
Banjoepahit	176 35 49,42	— 0',04	49,58	86 55 54,92	41049,50
Salam	196 10 15,68	+ 1',55	15,41	106 10 0,94	51405,65
Merhaboe	249 29 55,84	— 1',28	52,56	159 29 58,10	59965,25
Gepak	292 21 41,12	0',00	41,12	202 21 26,66	79279,90

Semarang.

H. T. Soeters, August und September 1875, Gross P. M. I.

Merhaboe	0° 0' 0",00	— 0',06	— 0',06	176° 58' 55",51	54507,71
Oengaran	20 16 50,24	+ 0',85	51,09	196 55 26,46	26554,45
Prahoë	68 26 18,49	— 0',78	17,71	245 4 55,97	59864,95

Zielpunkt.	Richtungen.			Azimuth.	Entfernung in Metern.
	Gemessen.	Correction.	Ausge- glichen.		

Merbahoe.

H. T. Soeters, November 1872 und Januar 1873, Gross P. M. I.

Nglanggran	0° 0' 0",00	+ 0",78	0",78	164° 44' 12",58	44795,46
Gepak	61 29 8,51	+ 0",12	8,45	226 15 20,05	52056,90
Kembang	91 49 45,40	— 1,45	45,97	256 53 55,57	70295,82
Prahoe	132 1 37,76	+ 0,52	38,28	296 45 49,88	64569,75
Ongaran	174 44 40,49	+ 0,95	41,44	359 28 55,04	30965,25
Semarang	191 54 12,35	— 1,65	10,70	356 58 22,50	54507,71
Banjoepahit	259 0 25,58	+ 0,09	25,67	43 44 55,26	45565,97
Salam	264 22 59,55	+ 0,56	40,11	09 6 51,71	41229,55
Kritjan	291 49 15,61	+ 0,02	15,05	96 55 25,25	43708,81

Morodemak.

F. H. A. Flory, Mai 1871, Gross P. M. I.

Genoek	0° 0' 0",00	— 0",51	— 0",51	44° 44' 1",07	58712,74
Gading	61 55 11,41	— 0,29	11,15	106 39 12,53	56824,05
Banjoepahit	108 44 45,19	— 0,11	45,08	153 28 46,48	41974,16
Ongaran	164 18 29,95	+ 0,45	50,56	209 2 51,74	45797,11
Tembok	199 40 28,84	+ 0,28	29,12	244 24 50,50	57802,26

Nglanggran.

H. T. Soeters, Februar und April 1873, Gross P. M. I.

Gepak	0° 0' 0",00	+ 1",01	1",01	278° 17' 52",62	49888,55
Merbahoe	66 25 29,16	+ 0,58	29,54	544 45 21,15	44795,44
Salam	106 27 45,15	— 0,18	44,95	24 45 56,55	65785,60
Kritjan	121 25 0,10	+ 0,01	0,11	59 40 51,72	49605,01
Lawoe	155 25 98,17	+ 0,09	28,26	71 45 19,87	74909,45
Flathoe	192 4 11,25	— 1,01	10,24	110 22 1,85	61867,51
Gambiranom	215 7 26,99	— 0,29	26,70	151 25 18,51	55471,12

Banjoepahit.

F. H. A. Flory, Juni und Juli 1871, Gross P. M. I.

H. T. Soeters, März 1877, Repsold.

Gading	0° 0' 0",00	0",00	0",00	59° 41' 21",97	41555,70
Salam	94 10 40,64	+ 0,59	41,05	135 22 5,01	18759,57
Merbahoe	164 51 8,19	+ 0,20	8,59	225 42 50,57	45565,97
Ongaran	207 19 26,58	— 0,50	26,08	266 50 48,06	41049,50
Morodemak	274 16 10,41	— 0,51	10,10	355 27 52,08	41974,16

Zielpunkt.	Richtungen.			Azimuth.	Entfernung in Metern.
	Gemessen.	Correction.	Ausge- glichen.		

Salam.

F. H. A. Flory, März 1871, Gross P. M. I.

H. T. Soeters, April 1877, Repsold.

Banjoepshit	0° 0' 0",00	+ 0",55	0",55	55,5° 21' 28",45	18759,57
Gading	62 16 42,57	+ 1,04	15,61	55 57 41,55	46822,85
Segorogoenong	105 27 59,54	+ 0,29	59,65	76 49 7,55	49086,02
Lawoe	154 25 17,25	- 1,57	15,88	127 44 45,80	50194,96
Kritjian	192 22 58,89	- 0,05	58,86	165 44 6,78	20522,59
Nglanggran	251 22 15,06	+ 1,51	15,75	204 45 41,67	45785,60
Merbaboe	275 42 41,49	+ 0,88	42,57	249 4 10,29	41229,55
Oengaran	berechnet			286 6 57,72	51405,65

Kritjian.

J. C. A. van Asperen, October 1864, P. M. II.

Salam	0° 0' 0",00	+ 0",40	0",40	54,5° 45' 45",74	20522,59
Segorogoenong	68 26 17,65	- 1,56	16,07	54 10 1,41	52770,27
Lawoe	124 45 2,75	+ 1,10	5,85	140 26 49,19	42080,60
Ratawoe	berechnet			156 12 46,27	65280,21
Nglanggran	255 54 47,92	+ 0,45	48,57	219 58 55,71	49665,01
Merbaboe	290 46 55,72	- 0,41	55,51	276 50 20,64	45798,81

Gambiranom.

H. T. Soeters, Juni 1875, Gross P. M. I.

Nglanggran	0° 0' 0",00	+ 0",42	0",42	54,1° 22' 15",98	55471,42
Lawoe	76 22 57,56	- 1,78	55,58	27 44 51,14	66548,25
Ratawoe	100 51 55,25	+ 1,65	56,90	52 14 12,46	22651,78
Sengoengloeng	156 54 56,62	- 0,51	56,51	88 16 51,87	72102,38

Genoek.

F. H. A. Flory, November 1870, Gross P. M. I.

H. T. Soeters, Juli 1875, Gross P. M. I.

Gading	0° 0' 0",00	+ 0",42	0",42	167° 12' 56",98	59458,00
Morudenak	57 28 49,00	+ 0,07	49,07	224 41 25,65	58712,74
Boetak	515 45 50,82	- 0,50	50,52	122 56 26,88	78085,18

Zielpunkt.	Richtungen.			Azimuth.	Entfernung in Metern.
	Gemessen.	Correction.	Ausge- glichen.		

Gading.

F. H. A. Flory, October 1870 und April 1871, Gross P. M. I.

C. Woldringh, März 1875, Repsold.

H. T. Soeters, März 1877, Repsold.

Segorogoenong	0° 0' 0",00	— 0",52	— 0",52	142° 55' 56",45	55805,50
Salam	72 59 54,71	— 0",68	54,05	215 55 51,00	46822,85
Banjoepahit	96 55 1,87	+ 0",02	1,89	259 8 58,86	41555,70
Morodemak	145 59 41,67	+ 0",82	42,49	286 55 59,46	56824,05
Genock	204 55 49,60	+ 0",50	49,90	547 11 46,87	59458,00
Boetak	290 52 57,05	+ 0",06	57,11	75 28 54,08	54619,10

Ratawoe.

H. T. Soeters, Mai 1875, Gross P. M. I.

Gambiranom	0° 0' 0",00	— 0",11	— 0",11	252° 12' 50",15	22651,78
Nglanggran	58 4 49,50	+ 0",49	49,99	290 17 40,25	61867,51
Kritjan	105 57 60,97	— 1,15	59,82	356 10 50,08	65280,21
Lawoe	145 58 19,08	+ 0",90	20,88	16 11 11,14	46900,28
Sengoenloeng	229 56 44,27	— 0",14	44,15	102 9 54,39	55420,55

Lawoe.

H. T. Soeters, April und Mai 1874, Gross P. M. I.

Gambiranom	0° 0' 0",00	+ 0",26	0",26	207° 42' 52",29	66548,25
Nglanggran	45 55 56,57	— 0",88	55,49	251 58 7,52	74909,45
Kritjan	82 44 27,86	+ 0",01	27,87	290 25 59,90	42080,60
Salam	99 50 4,47	— 1,24	5,25	507 41 35,26	56194,96
Segorogoenong	156 27 3,59	— 0",40	2,99	4 9 55,02	45716,25
Pandan	226 58 10,88	+ 0",59	11,47	74 40 45,50	69294,92
Widis	265 41 58,27	+ 0",97	59,24	111 24 51,28	72544,68
Sengoenloeng	296 20 18,15	+ 0",64	18,79	144 2 50,82	70047,00
Ratawoe	548 27 40,95	+ 0",05	40,98	196 10 15,01	46900,28

Zielpunkt.	Richtungen.			Azimuth.	Entfernung in Metern.
	Gemessen.	Correction.	Ausge- glichen.		

Segorogoenong.

J. C. A. van Asperen, Mai 1865, Repsold.

F. H. A. Flory, October 1870 und April 1871, Gross P. M. I.

H. T. Soeters, April 1876, Repsold.

Salam	0°	0'	0",00	+ 0",05	0',05	256°	45'	50",50	49086,02
Gading	65	48	45",16	+ 0",16	45",72	522	54	55",79	55805,50
Boetak	140	7	0",75	+ 0",25	6",98	56	52	57",45	55009,17
Wonotjolo	175	29	41",08	— 0",90	40",18	70	15	50",64	52641,40
Pandan	216	28	44",25	— 0",58	45",67	115	14	54",15	69128,40
Lawoe	287	25	29",68	+ 0",90	50",58	184	9	21",04	45716,25
Krijan	557	21	12",24	+ 0",15	12",59	254	7	2",87	52770,27

Boetak, (Rembang).

H. T. Soeters, Mai 1877, Repsold.

Toengganon	0°	0'	0",00	+ 0",92	0',92	114°	55'	22",08	51465,99
Wonotjolo	29	16	58",42	+ 0",85	59",27	144	12	0",45	50540,22
Segorogoenong	101	55	29",75	— 0",15	29",58	216	50	50",74	55009,17
Gading	158	29	48",75	— 0",78	47",95	255	25	9",11	54619,10
Gencek	187	56	59",75	— 0",85	58",90	502	52	20",07	78085,18

Sengoengloeng.

H. T. Soeters, Mai und Juni 1874, Gross P. M. I.

J. A. Oudenans, Juni—Oct. 1879, Gross P. M. I.

Gambiranom	0°	0'	0",00	— 0",54	— 0",54	268°	11'	18",07	72102,27
Batawoe	15	54	6",45	+ 0",51	6",94	282	5	25",55	55426,55
Lawoe	55	48	27",26	+ 0",86	28",12	525	59	46",55	70047,00
Wilis	152	56	15",67	— 0",90	12",77	40	47	51",18	40660,79
Gebang	188	51	9",58	— 0",12	9",26	97	2	27",67	65829,58

Wonotjolo.

F. H. A. Flory, Juli 1870, Gross P. M. I.

Pandan	0°	0'	0",00	— 0",10	— 0",10	162°	45'	4",54	47176,55
Segorogoenong	87	29	4",97	+ 0",71	5",68	250	12	10",09	52641,40
Boetak	161	27	46",42	— 0",52	46",10	524	10	50",51	50540,22
Toengganon	281	29	55",60	— 0",29	55",57	84	12	57",78	29072,56

Zielpunkt.	Richtungen.			Azimuth.	Entfernung in Metern.
	Gemessen.	Correction.	Ausge- glichen.		

Pandau.

H. T. Soeters, November 1875, Gross P. M. I.

Nongko	0° 0' 0",00	— 0',18	— 0',18	86° 50' 25",99	55605,92
Wilis	92 17 51,52	+ 0',27	51,79	179 17 15,96	44707,91
Lawoe	167 56 35,98	+ 0',29	55,09	254 55 57,26	69294,92
Sengoroeng	206 10 45,09	+ 0',24	45,35	295 10 9,50	69128,40
Wonotjolo	255 42 42,28	+ 0',11	42,59	542 42 6,56	47176,55
Toenggangan	290 15 28,08	— 0',16	27,92	17 14 52,09	50259,70

Wilis.

H. T. Soeters, April und Mai 1874, Gross P. M. I.

Boetak, (Kediri)	0° 0' 0",00	— 0',82	— 0',82	97° 49' 5",51	73505,76
Gelang	56 55 4,51	+ 0',02	5,13	154 24 11,46	54845,11
Sengoroeng	122 56 25,20	+ 0',08	25,88	220 45 32,21	40060,79
Lawoe	195 50 29,03	+ 0',56	28,67	291 19 54,99	72514,68
Pandau	261 28 7,70	— 0',46	7,24	359 17 13,56	44707,91
Nongko	297 55 55,52	+ 0',52	55,84	55 25 0',17	56996,57

Toenggangan.

F. H. A. Flory, April 1868, März—Mai 1870, Gross P. M. I.

Patjakaran	0° 0' 0",00	— 1',50	— 1',50	64° 58' 25",08	52486,14
Watoetjeng	55 52 28,97	+ 0',70	28,27	118 50 54,85	48355,55
Nongko	95 1 5,50	+ 0',47	5,77	157 59 52,55	49841,75
Pandau	152 15 24,18	+ 0',11	24,29	197 15 50,87	50259,70
Wonotjolo	199 12 54,87	+ 0',79	35,66	264 11 2,24	29072,56
Boetak, (Rembang)	229 55 51,14	+ 0',85	51,99	294 52 18,57	51465,99

Nongko.

F. H. A. Flory, Mai und September 1868, Juni und Juli 1870, Gross P. M. I.

H. T. Soeters, Februar und März 1874, Gross P. M. I.

Toenggangan	0° 0' 0",00	— 0',55	— 0',55	557° 58' 15",61	49841,75
Watoetjeng	67 48 57,17	— 1',41	55,76	45 46 51,92	55180,54
Panaenggangan	130 21 39,70	+ 0',86	58,84	108 19 55,00	50886,10
Ardjoeno	145 16 14,76	+ 1',80	16,56	125 14 32,72	61457,07
Boetak, (Kediri)	166 47 51,50	+ 0',40	51,40	144 46 7,56	60004,75
Wilis	257 22 19,90	+ 0',68	20,58	215 20 56,74	56996,57
Pandau	288 58 45,56	+ 0',47	45,85	266 57 1,90	55605,92

Zielpunkt.	Richtungen.			Azimuth.	Entfernung in Metern.
	Gemessen.	Correction.	Ausge- glichen.		

Gébang.

J. A. Oudemans, November und December 1879, Gross P. M. I.

Wilis	0° 0' 0",00	— 0",04	— 0",04	514° 21' 12",40	54845,11
Boetak	95 26 56",18	— 0",52	55",66	49 48 8",10	44008,75
Slamat	154 0 15",42	— 0",05	15",57	88 21 25",81	41988,80
Sengoengloeng	522 56 11",60	+ 0",61	11",61	276 57 24",04	65829,58

Patjakaran.

F. H. A. Flory, Juli 1868 und März 1870, Gross P. M. I.

Dradjat	0° 0' 0",00	— 0",54	— 0",54	88° 59' 50",09	22028,58
Watoetjéng	71 48 49",94	— 1",15	48",79	160 28 19",42	59055,61
Toenggangan	156 16 56",48	+ 1",68	58",16	244 56 28",79	52486,14

Watoetjéng.

F. H. A. Flory, April und Juni 1868, Gross P. M. I.

Toenggangan	0° 0' 0",00	— 0",49	— 0",49	298° 28' 2",95	48555,55
Patjakaran	41 59 25",27	+ 0",55	25",60	540 27 27",04	59055,64
Dradjat	75 1 58",84	— 0",26	58",58	15 29 42",02	58586,90
Banjoelagi, (Pyramide)	95 0 51",55	— 1",52	50",01	51 28 55",45	41595,41
Petoekangan, (Pyramide)	140 52 27",60	+ 0",77	28",57	79 20 51",81	56928,06
Penanggoengan	205 15 17",16	+ 0",79	17",95	141 41 21",59	55519,65
Nongko	287 17 9",06	+ 0",55	9",41	225 45 12",85	55186,54

Dradjat.

F. H. A. Flory, Juli 1868, Gross P. M. I.

Petoekangan, (Pyramide)	0° 0' 0",00	— 0",87	— 0",87	159° 12' 58",98	40494,29
Watoetjéng	54 16 26",40	— 0",14	26",26	195 29 6",11	58586,90
Patjakaran	129 25 22",75	+ 1",28	24",05	268 58 5",88	22028,58
Banjoelagi, (Pyramide)	519 59 21",62	— 0",25	21",57	99 12 1",22	12809,07

Zielpunkt.	Richtungen.			Azimuth.	Entfernung in Metern.
	Gemessen.	Correction.	Ausge- glichen.		

Boetak, (Kediri).

H. T. Soeters, März und April 1874, Gross P. M. I.

Wilis	0° 0' 0",00	— 0",11	— 0",11	277° 45' 58",19	73505,76
Nongko	46 59 55,70	— 0,85	54,85	524 45 15,15	69094,75
Slamat	245 9 5,22	+ 1,01	4,25	162 52 42,55	28455,24
Gebang	512 1 55,44	— 0,04	55,40	229 45 55,70	44008,75

J. L. van Isselmuden, März 1871, P. M. IV.

Nongko	0° 0' 0",00	+ 0",18	0",18	524° 45' 15",15	69094,75
Ardjoeno	68 55 4,05	+ 1,81	5,84	55 36 18,81	25555,07
Ronggo	148 57 17,55	— 2,00	15,55	115 20 28,50	29297,15

Banjoelegi, (Pyramide).

F. H. A. Flory, April und Juli 1868 und April 1869, Gross P. M. I.

Petoekangan, (Pyramide)	0° 0' 0",00	+ 0",22	0",22	154° 15' 14",66	51769,42
Watoetjeng	57 14 11,27	+ 1,05	12,50	211 27 26,75	41565,41
Dradjat	124 57 57,57	— 0,14	57,25	279 11 11,67	12809,07
Bangsri	297 27 11,72	— 0,85	10,89	91 40 25,55	50445,10
Seloret	520 55 56,88	— 0,26	56,62	114 47 11,06	52164,64

Slamat.

J. A. Oudemans, Januar 1880, Gross P. M. I.

Ronggo	0° 0' 0",00	— 0",15	— 0",15	49° 54' 52",40	24207,06
Smeroe, (Pyramide)	20 18 51,47	+ 0,42	51,89	76 15 4,44	45290,75
Gebang	218 25 56,87	+ 0,59	57,46	268 18 10,01	41988,80
Boetak	292 57 52,57	— 0,85	51,52	542 52 4,06	28455,24

Ardjoeno.

J. C. A. van Asperen, Juni 1868, Repsold.

Boetak	0° 0' 0",00	— 0",66	— 0",66	215° 55' 16",17	25555,07
Nongko	89 55 25,51	— 0,50	25,01	505 10 59,84	64457,07
Penangoengan	156 46 54,47	+ 0,66	55,15	10 22 11,96	16745,99
Paseroean	215 21 5,10	— 0,04	5,06	66 56 19,90	38748,29
Argoeoelan	256 25 57,51	+ 1,95	59,46	109 58 56,50	44078,52
Keljiri	268 58 20,70	— 1,29	19,41	122 35 56,25	57550,72
Ronggo	504 55 45,72	— 0,11	45,61	158 51 0,45	55102,41

Zielpunkt.	Richtungen.			Azimuth.	Entfernung in Metern.
	Gemessen.	Correction.	Anges- glichen.		

Penangoengan.

F. H. A. Flory, August 1868 und December 1869, Gross P. M. I.

Paseroean	0° 0' 0",00	— 0",10	— 0",10	92° 15' 48",55	52665,55
98	98 6 9,45	+	0",72	10 15 190 21 58,80	16745,99
Ardjoeno	196 0 5,05	— 0",18	2,85	288 15 51,51	59986,10
Nongko	229 25 12,51	+	0",51	12 82 521 59 1,47	55519,65
Watoetjeng	270 19 15,09	— 0",47	12,62	2 55 1 27	48708,65
Petoekangan, (Pyramide)	500 35 54,54	— 0",29	34,05	52 49 22,70	65929,82
Selérét					

Petoekangan, (Pyramide).

F. H. A. Flory, Juni 1869, Gross P. M. I.

Watoetjeng	0° 0' 0",00	— 0",75	— 0",75	259° 18' 7",04	56028,06
59	59 52 46,24	— 0,69	45,55	519 10 55,54	40494,29
Dradjat	74 54 11,55	— 0,09	11,62	354 12 19,41	51769,42
Banjoelagi, (Pyramide)	155 54 4,72	— 0,57	5,29	55 12 15,07	45551,28
Bangsri	179 19 26,29	— 0,75	27,02	78 57 54,80	54212,58
Selérét	285 16 44,19	— 0,07	44,26	182 54 52,06	48708,65
Penangoengan					

Ronggo.

J. C. A. van Asperen, Mai 1868, Repsold.

Boetak	0° 0' 0",00	— 0,96	— 0,96	295° 18' 25",89	29297,15
45	45 11 57,88	— 0,28	57,60	558 50 2,54	55162,41
Ardjoeno	122 51 44,55	— 0,67	45,88	55 50 8,82	22478,21
Ketjiri	169 24 24,27	— 0,05	21,52	102 42 49,26	24028,87
Smeroe, (Pyramide)	296 54 41,97	— 0,07	41,90	229 55 6,84	24207,66
Slamat					

Ketjiri.

J. L. van Isseghuden, Juni 1868, P. M. IV.

Argwoelan	0° 0' 0",00	— 1,56	— 1,56	65° 5' 27",52	11118,10
101	101 45 45,67	— 0,75	42,94	164 51 12,02	18555,78
Smeroe, (Pyramide)	172 45 15,80	— 0,62	15,18	255 48 44,26	22478,21
Ronggo	239 25 45,85	— 0,82	46,67	502 51 15,75	57550,72
Ardjoeno	505 56 46,61	— 2,08	48,69	6 42 17,77	55525,56
Paseroean					

Paseroean.

F. H. A. Flory, November 1868, Gross P. M. I.

Ardjoeno	0° 0' 0",00	— 2,08	— 2,08	246° 55' 44",11	58748,29
Penangoengan	25 19 45,94	— 0,67	45,27	272 15 27,50	52665,55
Selérét	116 11 45,15	— 1,41	45,74	3 5 25,77	56778,51

Zielpunkt.	Richtungen.			Azimuth.	Entfernung in Metern.
	Gemessen.	Correction.	Ausge- glichen.		

J. L. van Isselmuden, Mai 1868 und März 1869, P. M. IV.

Ardjoeno	0° 0' 0",00	+ 2',28	2',28	246° 55' 44",11	58748,29
Semomkron	229 16 43,65	— 0,01	45,62	116 10 25,45	13022,55
Argowoelan	282 15 13,74	— 0,18	15,56	109 8 55,39	50786,99
Ketjiri	299 48 19,68	— 2,08	17,60	186 41 59,45	55525,36

Sméroe, (Pyramide).

<i>Argowoelan</i>	berechnet	12° 50' 14",25	25512,82
<i>Pakem</i>	"	65 7 21,98	39926,79
<i>Bekih</i>	"	107 54 5,50	60265,92
<i>Slawat</i>	"	256 9 50,02	45200,75
<i>Ronggo</i>	"	282 41 1,58	24028,87
<i>Ketjiri</i>	"	344 50 49,00	18555,78

Selérét.

F. H. A. Flory, Mai 1869, Gross P. M. I.

Bangsri	0° 0' 0",00	+ 0',64	0',64	7° 39' 50",50	20590,94
Bantja	60 50 6,55	+ 0,54	6,89	68 29 56,55	42654,92
Madoe	95 59 15,66	+ 0,51	15,97	105 19 5,65	58025,00
Paseroean	175 25 25,43	— 0,12	25,31	185 5 12,97	56778,51
Penangroengan	205 7 5,60	+ 0,15	5,75	212 46 55,50	65929,82
Petoekangan, (Pyramide) ..	250 55 29,66	— 0,49	29,17	258 35 18,85	54212,58
Banjoelég, (Pyramide) ..	287 4 17,69	— 0,85	12,86	294 44 2,52	52164,64

Bangsri.

F. H. A. Flory, Juni 1869, Gross P. M. I.

Bantja	0° 0' 0",00	— 0',95	— 0',95	97° 22' 26",85	57250,09
Selérét	90 17 11,65	— 0,08	14,57	187 59 59,56	20590,94
Petoekangan, (Pyramide) ..	155 47 20,45	— 0,57	20,06	255 9 47,86	45351,28
Banjoelég, (Pyramide) ..	174 14 39,50	+ 1,58	40,68	271 57 8,48	50145,10

Argowoelan.

J. C. A. van Asperen, März 1869, Heppold.

Paseroean	0° 0' 0",00	— 0',59	— 0',59	549° 8' 29",85	50786,99
Semomkron	24 22 31,71	— 0,27	51,44	15 51 1,86	25190,91
Pakem	112 2 51,10	+ 0,45	51,55	101 11 1,97	51754,65
Sméroe, (Pyramide)	205 21 20,50	+ 0,17	20,67	192 29 51,69	25512,82
Ketjiri	253 56 12,11	+ 0,34	12,55	245 4 42,77	11148,10
<i>Ardjoeno</i>	berechnet		289 55 51,97	44078,32	

Zielpunkt.	Richtungen.			Azimuth.	Entfernung in Metern.
	Gemessen.	Correction.	Ausge- glichen.		

Semonkron.

J. C. A. van Asperen, Mai 1869, Repsold.

Poelo Ketapang	0°	0'	0",00	—	0",15	—	0",15	90°	24'	29",85	25125,68
Pakem	50	6	25",20	+	0",16		25",56	140	50	55",54	39706,07

J. L. van Isselmuden, März und April 1869, P. M. IV.

Poelo Ketapang	0°	0'	0",00	—	0",72	—	0",72	90°	24'	29",85	25125,68
Argowoelan	105	6	5",69	—	0",42		5",27	195	50	55",82	25199,91
Paseroean	205	45	2",08	+	1",14		4",12	296	9	54",67	15022,35

Poelo Ketapang.

J. C. A. van Asperen, Mai 1869, Repsold.

Loeroes	0°	0'	0",00	—	0",18	—	0",18	100°	5'	5",40	57098,49
Argopoero	51	48	59",69	+	0",25		59",92	151	55	45",59	46894,71
Pakem	79	58	59",68	+	0",19		59",87	179	44	5",45	50466,11
Semonkron	170	17	56",91	—	0",25		56",68	270	22	40",26	25125,68

Pakem.

J. C. A. van Asperen, März 1869, Repsold.

Poelo Ketapang	0°	0'	0",00	—	0",52	—	0",52	559°	44'	2",82	50466,11
Argopoero	91	46	18",61	+	1",16		19",77	91	50	25",10	54851,84
Beseh	149	29	5",81	—	0",02		5",85	149	4	7",17	41156,46
Sueroe, (Pyramide)	245	29	55",50	—	0",15		55",57	245	4	56",70	59926,79
Argowoelan	281	24	58",70	—	0",50		58",40	281	8	41",74	51754,65
Semonkron	520	44	60",05	—	0",21		59",85	520	29	5",19	39706,07

Madoe.

F. H. A. Flory, April 1869, Gross P. M. I.

Scléret	0°	0'	0",00	—	0",09	—	0",09	285°	16'	55",41	58025,00
Bantja	82	55	14",01	—	0",12		15",89	6	11	49",59	24550,95
Tamboeko	140	44	52",15	+	0",11		52",24	64	1	27",74	45821,66
Djoemiang	175	7	24",80	+	0",11		24",91	98	24	0",41	50485,87

Bantja.

F. H. A. Flory, Mai 1869, Gross P. M. I.

Tamboeko	0°	0'	0",00	—	0",27	—	0",27	98°	2'	22",15	37114,62
Madoe	88	9	16",59	—	0",04		16",55	186	11	58",75	24550,95
Scléret	150	24	55",71	—	0",07		55",64	248	27	18",05	42654,92
Bangsri	179	17	58",45	+	0",40		58",85	277	20	1",25	57250,00

Zielpunkt.	Richtungen.			Azimuth.	Entfernung in Metern.
	Gemessen.	Correction.	Ausge- glichen.		

Béséh.

J. L. van Isschuden, April und Juni 1872, Repsold.

Kemirisoango.....	0° 0' 0".00	+ 0".55	0'.55	86° 54' 16".65	57976.29
Majang.....	3 4 58.91	+ 0".15	59.04	91 59 15.14	57485.92
Rika.....	45 9 20.59	+ 0".76	21.55	151 45 57.45	55556.77
Suérue (Pyramide).....	201 15 25.12	0".97	22.15	287 49 58.24	60265.92
Pakem.....	242 28 15.98	— 0".52	15.46	529 2 29.56	41156.46
Argopoero.....	295 6 10.86	+ 0".07	10.95	21 40 27.03	57010.01

Djoemiang.

F. H. A. Flay, April 1869, Gr. P. M. L.

Madoe.....	0° 0' 0".00	— 0".65	— 0'.65	278° 21' 56".95	50485.87
Tamboeko.....	102 56 57.94	— 0".05	57.89	21 18 54.89	25589.19
Lagoendi.....	151 24 51.90	+ 0".11	52.01	69 46 49.01	55959.76

Argopoero.

J. L. van Isschuden, Juni 1871, Mai und Juni 1875, Repsold.

Poelo Ketapang.....	0° 0' 0".00	+ 1".52	1'.52	511° 51' 8".02	46994.71
Leroes.....	51 59 19.12	+ 1".45	20.55	5 50 27.25	24955.70
Bésér.....	108 28 19.95	— 0".61	19.54	60 19 26.04	55092.65
Soelet.....	151 24 27.50	— 0".59	27.89	105 15 54.59	58080.40
Kemirisoango.....	191 5 51.41	— 0".82	50.59	142 56 57.29	40241.40
Majang.....	194 16 25.78	0".77	25.01	146 7 51.71	42718.92
Rika.....	246 47 29.65	— 0".60	29.05	168 58 55.75	57857.57
Béséh.....	249 48 17.61	— 0".55	17.28	201 59 25.98	57010.01
Pakem.....	519 56 58.89	— 0".05	58.84	271 27 45.54	54851.84

Leroes.

J. L. van Isschuden, Februar und März 1870, März 1871, Repsold.

Kafasin.....	0° 0' 0".00	+ 1".11	1'.11	74° 45' 54".19	50504.94
Bésér.....	52 56 56.74	— 0".55	56.59	107 20 29.47	28525.40
Argopoero.....	108 46 47.69	+ 0".27	47.56	185 50 49.45	24955.70
Poelo Ketapang.....	205 18 51.41	— 1".05	50.58	280 2 25.46	57098.49

Zielpunkt.	Richtungen.			Azimuth.	Entfernung in Metern.
	Gemessen.	Correction.	Ausge- glichen.		

Tambora.

F. H. A. Flory, Juni 1869, Gross P. M. L.

Djombang.....	0° 0' 0",00	0",00	0",00	201° 17' 57",59	25589,19
Madue.....	42 40 51,51	0",00	51 51 245	58 48 30	45824,66
Bantja.....	76 41 58,44	+ 0",25	58 67 277	59 50 26	57114,42
Boerocan.....	226 59 56,02	- 0",09	55 95 67	57 55 52	56200,40
Lagoendi.....	275 20 1",20	- 0",16	1 04 114	57 58 65	26045,85

Rika.

J. L. van Ischmuden, Juni 1872, Repsold.

Besèh.....	0° 0' 0",00	- 0",57	- 0",57	511° 41' 58",15	55556,77
Argopoero.....	56 56 5",47	+ 0",49	5 36 548	57 42 48	57857,57
Majang.....	78 54 59,45	- 0",15	59 52	59 16 57,84	24617,72

Majang.

J. L. van Ischmuden, Juli 1872, December 1875, Repsold.

Kemirisongo.....	0° 0' 0",00	- 0",01	- 0",01	7° 25' 55",98	5582,02
Lembœ.....	111 45 59,11	- 1",04	58 97 119	9 14 05	50650,40
Rika.....	202 50 2",54	+ 0",19	2 75 210	15 58 71	24617,72
Besèh.....	264 10 42,22	+ 0",58	42 80 271	56 18 78	57485,92
Argopoero.....	518 40 5",44	- 0",59	5 74 526	5 41 75	42718,92

Kemirisongo.

J. L. van Ischmuden, Mai und Juli 1872, Repsold.

Besèh.....	0° 0' 0",00	+ 0",49	0",49	266° 51' 18",54	57976,29
Argopoero.....	56 25 27,18	+ 0",26	27 44 522	54 45 50	40241,30
Besèr.....	98 45 6,68	+ 0",55	7 01 5	16 25 07	48706,84
Soeket.....	155 14 55,28	+ 0",69	55 97 59	45 52 05	57555,35
Lembœ.....	218 15 25,92	- 2",44	21 48 124	46 59 54	52056,70
Majang.....	280 54 15,21	+ 0",66	15 87 187	25 55 95	5582,02

Besèr.

J. L. van Ischmuden, April 1872, Repsold.

Loeroes.....	0° 0' 0",00	- 0",22	- 0",22	287° 18' 29",18	28525,49
Kaliasin.....	117 6 57,55	+ 0",19	57 72 44	25 7 12	50495,29
Baloeran.....	105 17 5",52	- 0",55	2 99 92	55 52 59	58771,47
Soeket.....	209 54 26,64	- 0",29	26 55 156	52 55 75	40670,96
Kemirisongo.....	257 57 54,55	+ 0",68	55 25 185	16 4 04	48706,84
Argopoero.....	512 58 47,84	- 0",05	47 79 249	17 17 19	55022,65

Zielpunkt.	Richtungen.			Azimuth.	Entfernung in Metern.
	Gemessen.	Correction.	Ausge- glichen.		

Lagoendi.

F. H. A. Flory, Juni und Juli 1869, Gross P. M. I.

H. T. Soeters, September 1878, Repsold.

Djoemiang	0°	0'	0",00	—	0",07	—	0",07	249°	44'	51",70	55950,70
Tamboeko	44	51	48",51	+	0",09		48",60	294	56	20",57	26045,85
Boeroan	150	18	50",57	+	0",02		50",59	20	5	2",56	26424,28
Poele Gilian	177	14	56",17	—	0",05		56",14	66	59	27",92	37125,25

Boeroan.

F. H. A. Flory, Juli 1869, Gross P. M. I.

H. T. Soeters, August 1878, Repsold.

Lagoendi	0°	0'	0",00	+	0",01		0",01	200°	2'	26",54	26424,28
Tamboeko	47	52	54",78	—	0",06		54",72	247	55	21",05	50209,40
Poele Gilian	272	16	21",11	+	0",05		21",16	112	18	47",49	27146,65

Kaliasin.

J. L. van Ischenden, Februar 1871, Repsold.

Haloran	0°	0'	0",00	—	0",68	—	0",68	125°	9'	51",77	44649,94
Socket	49	50	57",55	—	0",25		57",28	172	49	29",55	51871,95
Besér	101	14	1",20	—	0",15		1",15	224	25	55",59	50495,29
Leroes	151	50	28",82	+	1",07		29",89	254	40	2",54	50561,94

Lemboe.

J. L. van Ischenden, August und September 1872, August 1875, Repsold.

Tandjong Pakem (alt)	0°	0'	0",00	+	0",02		0",02	62°	50'	4",88	44997,24
Ikan	52	9	52",48	+	0",74		55",22	94	50	58",08	40155,09
Dogong	76	56	49",52	+	0",42		49",94	159	46	54",80	51620,57
Majang	256	17	2",22	—	0",14		2",08	299	7	6",94	50650,50
Kemirisingo	241	54	51",51	—	1",05		29",86	504	44	54",72	52056,70
Socket	506	15	52",97	+	0",64		55",61	9	5	58",17	57567,49

Zielpunkt.	Richtungen.			Azimuth.	Entfernung in Metern.
	Gemessen.	Correction.	Ausge- glichen.		

Soeket

J. L. van Isselmuden, Juni und Juli 1872, Repsold.

Argopoero	0° 0' 0",00	+ 0",45	0",45	285° 41'	16",79	58080,40
Böser	55 59 55,56	+ 0",44	55,80	516 50	50,14	40670,96
Katiasin	69 57 44,02	+ 0",46	44,48	352 49	0,82	51871,95
Isaloeran	125 56 45,81	+ 0",24	45,57	48 47	59,91	41062,97
Tandjong Pakem (alt)	192 41 21,67	+ 0",52	21,69	115 52	58,55	57918,25
Sahari	194 2 45,18	+ 0",46	45,64	117 15	59,98	51456,84
Ikan	216 47 18,55	+ 0",92	17,45	159 58	55,77	55005,05
Degong	245 29 11,50	+ 1",47	10,05	166 40	26,57	62955,88
Lembor	265 52 15,85	+ 0",54	14,57	189 5	50,71	57567,49
Kemirissougo	516 52 5,90	+ 0",05	5,87	259 45	22,22	57555,95

Poelo Gilian.

H. T. Soeters, August 1878, Repsold.

Lagoendi	0° 0' 0",00	+ 0",02	0",02	246° 57'	11",15	57125,25
Boeroen	45 49 57,47	+ 0",02	57,45	292 17	8,58	27146,65

Degong.

J. L. van Isselmuden, October 1872, Repsold.

Ikan	0° 0' 0",00	+ 0",90	0",90	45° 27'	15",52	28459,05
Lembor	276 48 0",75	+ 0",59	1,12	519 45	15,74	51620,57
Soeket	505 12 4,02	+ 1",28	2,74	546 59	17,56	62955,88

Sahari.

J. L. van Isselmuden, August 1871, Repsold.

Tandjong Pakem (alt) ..	0° 0' 0",00	+ 0",40	0",40	109° 48'	8",49	6552,69
Ikan	57 29 4,10	+ 0",07	4,05	166 47	12,12	26910,94
Soeket	187 55 42,75	+ 0",52	42,41	297 11	50,50	51456,84

H. T. Soeters, September 1878, Repsold.

Tandjong Pakem (neu) ..	0° 0' 0",00	+ 0",22	0",22	119° 56'	5",28	6456,54
Ikan	47 11 8,40	+ 0",22	8,62	166 47	12,12	26910,94

Zielpunkt.	Richtungen.			Azimuth.	Entfernung in Metern.
	Gemessen.	Correction.	Ausge- glichen.		

Baloeran.

J. L. van Isselmuden, März 1874, Repsold.

Tandjong Pakem (alt) ..	0° 0' 0",00	— 1",45	— 1",45	175° 44'	12",76	45715,54
Soeket	55 1 24,06	+ 1",54	26,00	228 45 40,19		41062,97
Beser	96 46 56,85	+ 0,28	57,15	272 51 11,52		58771,47
Kalissin	127 22 55,65	— 0,19	57,46	505 6 47,65		44649,94

Tandjong Pakem (neu)

H. T. Soeters, September 1878, Repsold.

Ikan	0° 0' 0",00	— 0",22	— 0,22	178° 59'	15",95	25015,64
Sahari	120 56 20,65	+ 0,25	20,86	299 55 57,05		6456,54
Tandjong Pakem (alt) ..	berechnet			28 10 54,10		1168,26

Ikan.

J. L. van Isselmuden, October 1871 und October 1875, Repsold.

Tandjong Pakem (alt) ..	0° 0' 0",00	+ 0",51	0",51	0° 1' 55",27		24059,08
Degong	225 24 7,52	+ 0,55	7,67	225 25 40,45		28459,45
Lemboc	274 54 55,04	+ 0,40	55,44	274 56 20,20		40155,09
Soeket	519 54 21,56	— 0,82	20,74	519 55 55,50		55005,45
Sahari	546 45 10,64	— 0,45	10,21	546 46 42,97		26910,94

H. T. Soeters, September 1878, Repsold.

Sahari	0° 0' 0",00	— 0",22	— 0,22	546° 46'	42",97	26910,94
Tandjong Pakem (neu) ..	11 52 29,97	+ 0,22	50,19	558 59 15,58		25015,64

Tandjong Pakem (alt)

J. L. van Isselmuden, October 1871, Repsold.

Sahari	0° 0' 0",00	— 0",78	— 0",78	289° 17'	59",67	6552,69
Soeket	6 52 18,75	+ 0,90	19,65	295 50 0,10		57918,20
Baloeran	66 26 17,57	— 0,11	17,46	355 45 57,91		45715,54
Ikan	250 45 52,24	+ 0,55	52,77	180 1 55,22		24659,08
Tandjong Pakem (neu) ..	berechnet			208 10 51,50		1168,26
Lemboc	515 29 15,48	— 0,52	14,96	242 46 55,41		44997,24

AUSGEGLICHENE HAUPT-DREIECKE.

Dreieckspunkt.	Verbesselter Winkel.	Log. Sin. des Winkels.	Log. Sin. der gegenüberstehenden Seite.	Addi- tament.
----------------	-------------------------	---------------------------	---	------------------

N°. 1.

Batoehideung	84° 59' 26",42	9,9981092	4,5574582	25
Tjloemloem	58 49 26,47	9,7972194	4,5565684	9
Hondjeij	56 51 8,86	9,9212025	4,4805516	16
	$\epsilon = 1,75$			

N°. 2.

Hondjeij	58° 46' 11",94	9,9520152	4,5480545	22
Tjloemloem	60 19 55,01	9,9589496	4,5549909	25
Poele Tindjil	60 54 15,88	9,9414169	4,5574582	25
	$\epsilon = 2,85$			

N°. 3.

Poele Tindjil	59° 46' 2',19	9,9565074	4,5882268	27
Tjloemloem	68 16 0,76	9,9679777	4,6196971	51
Klandong	51 58 0,50	9,8965551	4,5480545	22
	$\epsilon = 5,25$			

N°. 4.

Klandong	124° 0' 5",52	9,9550611	4,7925987	69
Tjloemloem	26 56 50,97	9,0512125	4,5105501	19
Sangaboewana H.	52 25 19,26	9,7288892	4,5882268	27
	$\epsilon = 2,75$			

N°. 5.

Sangaboewana H.	45° 44' 57",58	9,8597946	4,7171846	49
Tjloemloem	11 55 36,05	9,5019880	4,1795779	1
Endoet	124 41 18,24	9,9150088	4,7925987	69
	$\epsilon = 1,65$			

Dreieckspunkt.	Verbesserte Winkel.	Log. Sin. des Winkels.	Log Sin. der gegenüberstehenden Seite.	Addi- tament.
N ^o . 6.				
Sangaboewana H.	40° 45' 6",24	9,8105514	4,6495080	56
Tjiloeoem	75 48 52,12	9,9845511	4,8255277	80
Karang	65 56 8,48	9,9554221	4,7925987	69
	$\epsilon = 6,84$			
N ^o . 7.				
Endoet	50° 47' 41",85	9,8892595	4,6495080	56
Tjiloeoem	64 45 6,09	9,9545855	4,7146342	48
Karang	64 57 17,45	9,9571100	4,7171846	49
	$\epsilon = 5,55$			
N ^o . 8.				
Karang	54° 5' 20",05	9,7485591	4,4805516	16
Tjiloeoem	90 9 25,68	9,9960085	4,7519909	52
Batoehideng	55 45 17,71	9,9175154	4,6495080	56
	$\epsilon = 5,44$			
N ^o . 9.				
Batoehideng	29° 45' 55",65	9,6886475	4,4545961	15
Karang *	85 4 27,86	9,9968196	4,7625685	60
Leuchtharus Anjer *	67 42 2,40	0,9662425	4,7519909	52
	$\epsilon = 5,89$			
N ^o . 10.				
Poelo Sangéan	69° 52' 19",95	9,9710976	4,5796101	26
Karang	55 41 55,55	9,7659651	4,5759058	10
Gede	74 46 8,95	9,9844711	4,5925856	27
	$\epsilon = 2,21$			
N ^o . 11.				
Poelo Sangéan	67° 15' 17",22	9,9047548	4,5402887	9
Gede	27 46 2,40	9,9692761	4,9458501	2
Anjer	85 0 41,01	9,9985518	4,5759058	10
	$\epsilon = 0,62$			

* Wo der Name des Dreieckspunktes cursiv steht, ist der Winkel abgeleitet.

Dreieckspunkt.	Verbesserter Winkel.	Log. Sin. des Winkels.	Log. Sin. der gegenüberstehenden Seite.	Addi- tament.
----------------	----------------------	------------------------	---	------------------

N°. 12.

Poelo Sangéan	86° 19' 44",62	9,9991080	4,4075752	12
Gedé	26 15 56",16	9,6455477	4,0558129	2
Leuchthaus Anjer	67 26 59",91	9,9654406	4,5759058	10
$\varepsilon = 0,69$				

N°. 13.

Karang	42° 17' 14",40	9,8270176	4,4075752	12
Gedé	48 52 52",77	9,8747406	4,4545961	15
Leuchthaus Anjer	89 10 14",69	9,9660545	4,5796101	26
$\varepsilon = 1,86$				

N°. 14.

Gedé	51° 8' 8",78	9,8915559	4,7851055	66
Karang	99 41 57",49	9,9657472	4,8855165	106
Dago	29 9 59",55	9,6878407	4,5796101	26
$\varepsilon = 5,80$				

N°. 15.

Karang	55° 55' 42",77	9,7681252	4,5524597	25
Dago	58 24 20",58	9,9505267	4,7146542	48
Endoet	85 42 1",56	9,9987760	4,7851055	66
$\varepsilon = 4,71$				

N°. 16.

Dago	120° 15' 58",84	9,9565855	4,7869077	67
Endoet	29 50 49",57	9,6925252	4,5450476	22
Poetri	50 15 54",55	9,7019265	4,5524597	25
$\varepsilon = 2,74$				

N°. 17.

Dago	51 45 15",06	9,7207982	4,5474846	22
Poetri	116 55 10",14	9,9501915	4,7768778	64
Pangraung	51 21 59",61	9,7165612	4,5450476	22
$\varepsilon = 2,81$				

Dreieckspunt.	Verbesserte Winkel.	Log. Sin. des Winkels.	Log. Sin. der gegenüberstehenden Seite.	Addi- tament.
---------------	------------------------	---------------------------	---	------------------

N^o. 18.

Dago	88° 52' 25",77	9,9998591	4,8580410	85
Endoet	60 16 5,72	9,9586959	4,7768778	64
Pangrango	31 11 35,97	9,7142689	4,5524507	25
	$\epsilon = 5,46$			

N^o. 19.

Poetri	80° 41' 55",81	9,9992765	4,8580410	85
Endoet	50 45 14,15	9,7087199	4,5474846	22
Pangrango	62 55 15,57	9,9481450	4,7869077	67
	$\epsilon = 5,51$			

N^o. 20.

Endoet	69° 18' 8",77	9,9710248	4,7607528	60
Poetri	14 11 55,12	9,5896700	4,1795779	4
Sangaloewana II	96 29 58,55	9,9971997	4,7869077	67
	$\epsilon = 2,22$			

N^o. 21.

Endoet	58° 52' 54",65	9,7946115	4,7621091	60
Sangaloewana II	132 4 50,26	9,8705454	4,8580410	85
Pangrango	9 22 27,75	9,2118805	4,1795779	4
	$\epsilon = 1,66$			

N^o. 22.

Poetri	72° 29' 40",69	9,9794067	4,7621091	60
Sangaloewana II	55 54 40,95	9,7647821	4,5474846	22
Pangrango	71 55 45,52	9,9786504	4,7607528	60
	$\epsilon = 4,94$			

N^o. 25.

Pangrango	89° 42' 25",75	9,9999945	4,8162524	77
Sangaloewana II	28 18 57,88	9,6700072	4,4922455	17
Telaga	61 59 2,95	9,9458710	4,7621091	60
	$\epsilon = 4,58$			

Dreieckspunkt.	Verbesselter Winkel.	Log. Sin. des Winkels.	Log. Sin. der gegenüberstehenden Seite.	Addi- tament.
----------------	-------------------------	---------------------------	---	------------------

N°. 24.

Telaga	44° 41' 57,55	9,8470785	4,6694458	59
Sangaboewana II	55 42 55,01	9,7661682	4,5885556	27
Soerangga	99 56 28,20	9,9958651	4,8162524	77
	$\epsilon = 4,56$			

N°. 25.

Soerangga	55° 27' 59,12	9,7655704	4,5105501	19
Sangaboewana II	87 45 55,21	9,9996695	4,7466492	56
Klandong	56 46 20,54	9,9224661	4,6694458	59
	$\epsilon = 5,87$			

N°. 26.

Klandong	20° 44' 42,10	9,5492607	4,5105052	7
Soerangga	85 55 55,70	9,9975555	4,7586000	59
Nangka	75 19 45,10	9,9856047	4,7466492	56
	$\epsilon = 2,90$			

N°. 27.

Nangka	41° 49' 12,85	9,8259928	4,2525088	5
Soerangga	85 14 54,55	9,9985015	4,4068175	12
Patat	52 56 15,75	9,9019892	4,5105052	7
	$\epsilon = 0,89$			

N°. 28.

Soerangga	55° 45' 51,65	9,9175554	4,5105770	19
Patat	98 25 9,97	9,9952941	4,5885556	27
Telaga	25 49 19,78	9,6590672	4,2525088	5
	$\epsilon = 1,40$			

N°. 29.

Telaga	26° 20' 6,59	9,6470116	4,5582556	21
Pangrango	150 8 55,00	9,8855098	4,7745519	65
Sangaboewana I	25 51 2,71	9,6010052	4,4922455	17
	$\epsilon = 2,09$			

Dreieckspunkt.	Verbesserte Winkel.	Log. Sin. des Winkels.	Log. Sin. der gegenüberstehenden Seite	Addi- tament.
----------------	------------------------	---------------------------	--	------------------

N°. 50.

Pangrango	68° 12' 59",95	9,9678257	4,5927514	27
Sangaboewana I.	56 47 27,85	9,9225588	4,5474846	22
Poetri	54 59 55,15	9,9155278	4,5582556	21
	$\epsilon = 2,89$			

N°. 51.

Sangaboewana I.	116° 8' 21",55	9,9551455	4,8147792	70
Pangrango	55 50 27,56	9,7640354	4,6256711	32
Boerangrang	28 21 14,25	9,6706179	4,5582556	21
	$\epsilon = 5,54$			

N°. 52.

Sangaboewana I.	72° 15' 48",79	9,9787695	4,8990724	74
Pangrango	77 4 39,76	9,9888595	4,8191625	78
Patoeha	50 41 56,99	9,7079506	4,5582556	21
	$\epsilon = 5,54$			

N°. 53.

Sangaboewana I.	45° 54' 52",74	9,8410566	4,6650877	58
Boerangrang	96 54 41,54	9,99171515	4,8191625	78
Patoeha	59 50 50,65	9,8056599	4,6256711	52
	$\epsilon = 4,95$			

N°. 54.

Pangrango	41° 54' 12",20	9,8218640	4,6650877	58
Boerangrang	68 15 27,29	9,9678487	4,8090724	74
Patoeha	70 42 27,64	9,9735555	4,8147792	76
	$\epsilon = 7,15$			

N°. 55.

Pangrango	55° 4' 15",25	9,9097499	4,7165592	49
Patoeha	28 20 1,52	9,6784560	4,4922455	17
Telaga	98 26 49,35	9,9952651	4,8090724	74
	$\epsilon = 4,08$			

Dreieckspunkt.	Verbesserter Winkel.	Log. Sin. des Winkels.	Log. Sin. der gegenüberstehenden Seite.	Addi- tament.
----------------	----------------------	------------------------	---	---------------

N°. 56.

Sangaboewana 1.	48° 42' 46",07	9,8758778	4,7165592	49
Patoeha	59 10 58 ,51	9,9558705	4,7745519	65
Telaga	72 6 42 ,95	9,9784811	4,8191625	78
$\epsilon = 7 ,55$				

N°. 57.

Telaga	46° 54' 46",56	9,8655111	4,5804780	26
Bitoeng	92 28 54 ,55	9,9995924	4,7165592	49
Patoeha	40 56 22 ,19	9,8154849	4,5504518	21
$\epsilon = 5 ,50$				

N°. 58.

Telaga	82° 8' 58",05	9,9959105	4,6395988	54
Bitoeng	47 25 19 ,59	9,8670887	4,5105770	19
Patat	50 25 45 ,56	9,8809655	4,5504518	21
$\epsilon = 2 ,78$				

N°. 59.

Patat	26° 45' 4",76	9,6528258	4,2945714	7
Bitoeng	57 55 24 ,85	9,9264642	4,5680098	25
Tjikakap	95 41 52 ,24	9,9978551	4,6595988	54
$\epsilon = 1 ,85$				

N°. 40.

Tjikakap	48° 51' 48",55	9,8746579	4,4092675	12
Bitoeng	96 21 42 ,84	9,9975172	4,5519266	21
Tjboentoe	55 6 50 ,09	9,7597620	4,2945714	7
$\epsilon = 1 ,28$				

N°. 41.

Tjboentoe	75° 55' 59",54	9,9818859	4,5804780	26
Bitoeng	66 8 58 ,58	9,9612145	4,5598065	24
Patoeha	40 17 24 ,56	9,8106752	4,4092675	12
$\epsilon = 2 ,28$				

Dreieckspunkt.	Verbesserte Winkel.	Log. Sin. des Winkels.	Log. Sin. der gegenüberstehenden Seite.	Addi- tament.
N°. 42.				
Patocha	52° 42' 24",91	9,7526687	4,6514951	56
Boerangrang	115 55 11,54	9,9921122	4,8809585	104
Tampomas II.	55 42 28,57	9,7442614	4,6650877	58
	$\epsilon = 4,82$			
N°. 43.				
Patocha	54° 40' 26",40	9,9116258	4,7981774	71
Tampomas II.	44 51 19,25	9,8458515	4,7525851	52
Tjikoeraj	80 48 22,90	9,9945849	4,8809585	104
	$\epsilon = 8,55$			
N°. 44.				
Tjikoeraj	59° 15' 55",94	9,8012941	4,6514951	56
Boerangrang	62 50 45,27	9,9479765	4,7981774	71
Tampomas II.	78 15 47,85	9,9907712	4,8409725	86
	$\epsilon = 7,04$			
N°. 45.				
Tjikoeraj	41° 52' 46",96	9,8216616	4,6650877	58
Boerangrang	51 4 28,07	9,8909590	4,7525851	52
Patocha	87 22 51,51	9,9995461	4,8409725	86
	$\epsilon = 6,54$			
N°. 46.				
Patocha	95° 1' 52",79	9,9995919	4,8256976	80
Tjikoeraj	52 56 52,64	9,7555007	4,5598065	24
Tjikoentoe	54 1 19,56	9,9080795	4,7525851	52
	$\epsilon = 4,99$			
N°. 47.				
Tjikoentoe	58° 28' 5",85	9,7958419	4,6175575	51
Tjikoeraj	52 5 22,17	9,8968644	4,7205800	49
Pogor II.	89 28 59,54	9,9999820	4,8256976	80
	$\epsilon = 5,56$			

Dreieckspunkt.	Verbesserte Winkel.	Log. Sin. des Winkels.	Log. Sin. der gegenüberschenden Seite.	Addi- tament.
----------------	------------------------	---------------------------	--	------------------

N°. 48.

Pogor II	40° 10' 29",85	9,8096450	4,4577890	15
Tjkoeraj	28 54 21,75	9,6796765	4,5278225	8
Pogor III	114 15 9,90	9,9694115	4,6175575	51
$\epsilon = 1,46$				

N°. 49.

Pogor III	82° 55' 0",22	9,9966415	4,7447755	55
Tjkoeraj	66 17 24,74	9,9617051	4,7098571	47
Bongkok	50 49 58,77	9,7096550	4,4577890	15
$\epsilon = 5,75$				

N°. 50.

Bongkok	58° 47' 47",25	9,9521548	4,6795270	41
Tjkoeraj	57 29 17,55	9,7845505	4,5517228	21
Sawal	85 42 59,58	9,9975851	4,7447755	55
$\epsilon = 4,14$				

N°. 51.

Bongkok	77° 25' 8",14	9,9894448	4,8857125	106
Tjkoeraj	57 42 44,16	9,9270500	4,8255175	79
Tjerimaj IV	44 52 16,92	9,8485078	4,7447755	55
$\epsilon = 9,22$				

N°. 52.

Sawal	71° 51' 11",51	9,9778452	4,7981774	71
Tjkoeraj	61 50 48,29	9,9452815	4,7656157	61
Tampomas II	46 18 56,96	9,8591929	4,6795270	41
$\epsilon = 6,76$				

N°. 55.

Tampomas II	104° 2' 11",18	9,9868552	4,9585109	155
Tjkoeraj	51 21 25,52	9,7165049	4,6679806	59
Kronon	44 56 52,74	9,8465017	4,7981774	71
$\epsilon = 7,24$				

Dreieckspunkt.	Verbesserter Winkel.	Log. Sin. des Winkels.	Log. Sin. der gegenüberstehenden Seite.	Addi- tament.
----------------	----------------------	------------------------	---	------------------

N°. 54.

Tampomas II.	20° 2' 14",47	9,5548115	4,2470864	6
Kromon.	95 24 15,72	9,9980656	4,7105404	47
Tjerimaj IV.	64 55 56,90	9,9557058	4,6679806	59
	$\epsilon = 2,09$			

N°. 55.

A'romon.	50° 47' 40",97	9,8892579	4,8857125	106
Tjikoeraj.	10 15 28,54	9,2506121	4,2470864	6
Tjerimaj IV.	118 56 55,72	9,9420565	4,9585109	155
	$\epsilon = 5,05$			

N°. 56.

Tjerimaj IV.	54° 25' 16",82	9,9100795	4,7981774	71
Tjikoeraj.	41 56 51,66	9,8222425	4,7105404	47
Tampomas II.	85 59 59,71	9,9976142	4,8857125	106
	$\epsilon = 8,19$			

N°. 57.

Tampomas II.	57° 41' 22",75	9,7865142	4,5564981	25
Tjerimaj IV.	81 42 15,14	9,9954518	4,7056157	61
Sawal.	60 56 26,81	9,9401565	4,7105404	47
	$\epsilon = 4,67$			

N°. 58.

Sawal.	152° 27' 58",52	9,8679040	4,8857125	106
Tjerimaj IV.	27 18 58,29	9,0647187	4,6795270	41
Tjikoeraj.	20 15 26,65	9,5586898	4,5564981	25
	$\epsilon = 5,24$			

N°. 59.

Tjerimaj IV.	17° 55' 18",65	9,4794660	4,5517228	21
Sawal.	145 40 22,51	9,7710607	4,8255175	79
Bongkok.	18 57 20,91	9,5042412	4,5564981	25
	$\epsilon = 1,85$			

Dreieckspunkt.	Verbesserter Winkel.	Log. Sin. des Winkels.	Log. Sin. der gegenüberstehenden Seite.	Addi- tament.
----------------	----------------------	------------------------	---	---------------

N°. 60.

Tjerimaj IV	90° 57' 45",71	9,9999587	5,0189105	195
Slamat III	20 10 5",40	9,5575265	4,5564981	25
Sawal	68 52 19",85	9,9697786	4,9887502	170
	$\varepsilon = 8",96$			

N°. 61.

Tjerimaj IV	75° 24' 27",08	9,9815287	5,0047658	185
Slamat III	59 7 45",92	9,8000804	4,8255175	79
Bongkok	67 28 2",86	9,9655151	4,9887502	170
	$\varepsilon = 15",87$			

N°. 62.

Tjerimaj IV	50° 59' 47",89	9,7117969	4,7958796	70
Slamat III	95 55 55",17	9,9979255	5,0820060	261
Tjemring	55 24 52",41	9,9046675	4,9887502	170
	$\varepsilon = 15",47$			

N°. 63.

Tjerimaj IV	42° 24' 59",20	9,8289451	4,9270644	128
Tjemring	52 4 55",84	9,7251982	4,8255175	79
Bongkok	105 50 40",81	9,9858867	5,0820060	261
	$\varepsilon = 15",84$			

N°. 64.

Sawal	74° 57' 2",46	9,9848454	5,0047658	185
Slamat III	18 57 42",52	9,5118004	4,5517228	21
Bongkok	86 5 25",78	9,9989879	5,0189105	195
	$\varepsilon = 8",76$			

N°. 65.

Bongkok	58 2 57",95	9,7897675	4,7958796	70
Slamat III	56 28 9",25	9,9209522	4,9270644	128
Tjemring	85 29 26",25	9,9986556	5,0047658	185
	$\varepsilon = 15",45$			

Dreieckspunkt.	Verbesserter Winkel.	Log. Sin. des Winkels.	Log. Sin. der gegenüberstehenden Seite.	Addi- tament.
----------------	-------------------------	---------------------------	---	------------------

N°. 66.

Slamat III.....	45° 51' 20",10	9,8579898	4,6550955	56
Ardjoeno.....	75 4 40 ,05	9,9807761	4,7958796	70
Tjemiring.....	65 24 6 ,27	9,9514190	4,7665225	61
	$\epsilon = 6 ,42$			

N°. 67.

Slamat III.....	54° 5' 8",55	9,7481496	4,6416912	54
Kembang.....	48 16 51 ,12	9,8729809	4,7665225	61
Ardjoeno.....	97 40 6 ,82	9,9960984	4,8896400	108
	$\epsilon = 6 ,47$			

N°. 68.

Slamat III.....	54° 48' 10",04	9,7564486	4,6684675	59
Prahoë.....	71 45 50 ,85	9,9776215	4,8896400	108
Kembang.....	75 26 7 ,98	9,9815919	4,8956106	110
	$\epsilon = 8 ,85$			

N°. 69.

Prahoë.....	50° 52' 46",14	9,7606222	4,5628691	24
Kembang.....	109 2 51 ,71	9,9755454	4,8522925	85
Gepak.....	40 24 26 ,26	9,8117205	4,6684675	59
	$\epsilon = 4 ,11$			

N°. 70.

Gepak.....	65° 14' 58",90	9,9508400	4,8086742	74
Prahoë.....	46 12 39 ,51	9,8584725	4,7165065	49
Merbaheë.....	70 52 29 ,85	9,9744582	4,8522925	85
	$\epsilon = 8 ,06$			

N°. 71.

Oengaran.....	67° 58' 18",44	9,9660486	4,8522925	85
Prahoë.....	72 59 52 ,61	9,9805787	4,8468224	88
Gepak.....	59 22 16 ,69	9,8025244	4,6685681	59
	$\epsilon = 7 ,74$			

Dreieckspunkt.	Verbesserter Winkel.	Log. Sin. des Winkels.	Log. Sin. der gegenüberstehenden Seite.	Addi- tament.
----------------	-------------------------	---------------------------	---	------------------

N°. 72.

Gongaran	65° 27' 5",55	9,9549057	4,6241558	52
Tembok	82 15 10 ,90	9,9960180	4,6685681	59
Prahoë	54 17 48 ,57	9,7508781	4,4254285	15
$\epsilon = 2 ,82$				

N°. 73.

Gongaran	55° 37' 11",52	9,9166168	9,5775152	26
Morodumak	55 21 58 ,76	9,7625500	4,4254285	15
Tembok	89 0 52 ,28	9,9996538	4,6608542	58
$\epsilon = 2 ,56$				

N°. 74.

Semarang	48° 9' 26",02	9,8721447	4,6685681	59
Gongaran	106 56 42 ,14	9,9807426	4,7771660	64
Prahoë	24 54 24 ,25	9,6244289	4,4208525	12
$\epsilon = 5 ,00$				

N°. 75.

Semarang	20° 16' 51",15	9,5598568	4,4908726	17
Gongaran	142 55 40 ,86	9,7858404	4,7548562	55
Merabaoë	17 9 29 ,26	9,4698566	4,4208524	12
$\epsilon = 1 ,27$				

N°. 76.

Semarang	68° 26' 17",77	9,9684952	4,8086742	74
Prahoë	51 41 17 ,55	9,8946753	4,7548565	55
Merabaoë	59 52 52 ,42	9,9569852	4,7771661	64
$\epsilon = 7 ,72$				

N°. 77.

Merabaoë	42° 45' 5",16	9,8544760	4,6685681	59
Prahoë	26 46 55 ,50	9,6557805	4,4908726	17
Gongaran	110 50 7 ,00	9,9715821	4,8086742	74
$\epsilon = 5 ,46$				

Dreieckspunkt.	Verbesserte Winkel.	Log. Sin. des Winkels.	Log. Sin. der gegenüberstehenden Seite.	Addi- tament.
N°. 78.				
Merbauoe	40° 11' 54",51	9,8098557	4,6684675	59
Kembang	65 2 47,69	9,9500606	4,8086742	74
Praho	76 45 25,45	9,9882947	4,8469085	89
	$\epsilon = 7,45$			
N°. 79.				
Merbauoe	115° 15' 53",01	9,9651870	4,8468224	88
Gepak	25 52 42,21	9,6072570	4,4908726	17
Oengaran	42 51 48,56	9,8526710	4,7165065	49
	$\epsilon = 5,78$			
N°. 80.				
Merbauoe	50° 20' 55",54	9,7054449	4,5628091	24
Gepak	105 59 25,16	9,9875441	4,8469085	89
Kembang	46 0 4,01	9,8569422	4,7165065	49
	$\epsilon = 4,71$			
N°. 81.				
Merbauoe	61° 29' 7",65	9,9458586	4,6979964	45
Nglangran	66 25 28,55	9,9621489	4,7165065	49
Gepak	52 5 29,05	9,8970725	4,6512502	56
	$\epsilon = 5,25$			
N°. 82.				
Merbauoe	68° 10' 47",15	9,9677159	4,6960287	44
Nglangran	54 57 50,57	9,9151440	4,6414589	54
Kritjian	56 51 46,94	9,9229155	4,6512502	56
	$\epsilon = 4,66$			
N°. 85.				
Merbauoe	27° 26' 55",52	9,6655695	4,5079740	7
Salam	85 20 5,51	9,9970545	4,6414589	54
Kritjian	69 15 25,10	9,9707987	4,6152052	50
	$\epsilon = 2,15$			

Dreieckspunkt.	Verbesserter Winkel.	Log. Sin. des Winkels.	Log. Sin. der gegenüberstehenden Seite.	Addi- tant.
N°. 84.				
Salam	58° 59' 54",80	9,7988065	4,6960287	44
Nglanggran	14 55 15,46	9,4107548	4,5079740	7
Kritjian	126 5 12,05	9,9074706	4,8047017	75
	$\epsilon = 2,08$			
N°. 85.				
Salam	44° 20' 28",62	9,8444541	4,6512502	56
Merhaboe	95 57 20,67	9,9979057	4,8047017	75
Nglanggran	40 2 15,41	9,8084071	4,6152052	50
	$\epsilon = 4,70$			
N°. 86.				
Salam	57° 2' 27",45	9,7798746	4,4908726	17
Ongaran	55 19 57,16	9,9042052	4,6152052	50
Merhaboe	89 57 58,68	9,9990911	4,7109892	47
	$\epsilon = 5,27$			
N°. 87.				
Banjoepahit	70° 20' 27",56	9,9730177	4,6152052	50
Merhaboe	25 22 16,45	9,6519521	4,2752177	6
Salam	84 17 18,16	9,9978585	4,6591240	54
	$\epsilon = 1,97$			
N°. 88.				
Banjoepahit	115° 8' 45",04	9,9655552	4,7109892	47
Ongaran	19 56 26,05	9,5257857	4,2752177	6
Salam	47 14 50,74	9,8658688	4,6153027	50
	$\epsilon = 1,81$			
N°. 89.				
Banjoepahit	42° 48' 17",69	9,8521922	4,4908726	17
Ongaran	72 56 5,19	9,9804456	4,6591240	54
Merhaboe	64 15 42,25	9,9546222	4,6153027	50
	$\epsilon = 5,11$			

Dreieckspunkt.	Verbesserte Winkel.	Log. Sin. des Winkels.	Log. Sin. der gegenüberstehenden Seite.	Addi- tament.
----------------	------------------------	---------------------------	---	------------------

N°. 90.

Banjoepahit	66° 56' 44",02	9,9658507	4,6608542	58
Morodemak	55 55 45,28	9,9165195	4,6155027	50
Ongaran	57 29 54,75	9,9259955	4,6229788	52
	$\epsilon = 4,05$			

N°. 91.

Gading	25° 55' 7",86	9,6016085	4,2752177	6
Banjoepahit	94 10 41,04	9,9988445	4,6704557	59
Salam	62 16 15,08	9,9470181	4,6186275	51
	$\epsilon = 1,08$			

N°. 92.

Gading	47° 26' 40",60	9,8672458	4,6229788	52
Morodemak	46 49 55,95	9,8628945	4,6186275	51
Banjoepahit	85 45 49,91	9,9987951	4,7545261	58
	$\epsilon = 4,44$			

N°. 95.

Gading	60° 56' 7",41	9,9401555	4,7687262	62
Genoek	57 28 48,65	9,9259555	4,7545261	58
Morodemak	61 55 11,46	9,9456115	4,7742040	65
	$\epsilon = 7,52$			

N°. 94.

Gading	86° 16' 47",21	9,9990859	4,8925466	109
Boetak	49 27 10,96	9,8807415	4,7742040	65
Genoek	44 16 10,10	9,8458765	4,7575592	55
	$\epsilon = 8,27$			

N°. 95.

Segorogonong	55° 22' 55",19	9,7404648	4,4820172	16
Boetak	72 58 50,51	9,9797700	4,7215224	50
Wonotjolo	75 58 40,42	9,9827956	4,7245460	50
	$\epsilon = 5,92$			

Dreieckspunkt.	Verbesserte Winkel.	Log. Sin. des Winkels.	Log. Sin. der gegenüberstehenden Seite.	Addi- tament.
----------------	------------------------	---------------------------	---	------------------

N°. 96.

Segorogoeng	74° 18' 25",36	9,9855015	4,7575392	55
Gading	69 7 22,57	9,9705081	4,7245460	50
Boetak	56 54 18,57	9,7751218	4,5289597	20
$\epsilon = 4,40$				

N°. 97.

Segorogoeng	65° 48' 45",50	9,9600950	4,6704557	59
Salam	41 11 26,02	9,8185090	4,5289597	20
Gading	72 59 54,55	9,9805928	4,6909555	45
$\epsilon = 5,87$				

N°. 98.

Segorogoeng	22° 58' 47",04	9,5855121	4,5079740	7
Krijjan	68 26 15,07	9,9684916	4,6909555	45
Salam	88 54 59,25	9,9999224	4,7225845	50
$\epsilon = 2,54$				

N°. 99.

Lawoe	56° 5' 27",74	9,9188689	4,8047017	75
Nglanggran	46 57 45,51	9,8958589	4,7496917	57
Salam	76 58 57,87	9,9880957	4,8745285	101
$\epsilon = 8,92$				

N°. 100.

Lawoe	56° 27' 59",76	9,9209590	4,6909555	45
Salam	50 55 56,25	9,8900525	4,6909668	57
Segorogoeng	72 56 29,45	9,9796772	4,7496917	57
$\epsilon = 5,47$				

N°. 101.

Lawoe	75° 45' 55",12	9,9825155	4,7225845	50
Krijjan	56 16 47,78	9,9199979	4,6909668	57
Segorogoeng	49 57 41,81	9,8840097	4,6240786	52
$\epsilon = 4,71$				

Dreieckspunkt.	Verbesselter Winkel.	Log. Sin. des Winkels.	Log. Sin. der gegenüberstehenden Seite.	Addi- tament.
----------------	----------------------	------------------------	---	------------------

N°. 102.

Lawoe.....	17° 17' 55",56	9,4751576	4,5079740	7
Kritjian.....	124 45 5 45	9,9148554	4,7496917	57
Salam.....	57 59 22 ,08	9,7892422	4,0240786	52
$\epsilon = 1,79$				

N°. 105.

Lawoe.....	58° 45' 52",58	9,7966586	4,6960287	44
Nglanggran.....	52 2 28 ,15	9,7247085	4,0240786	52
Kritjian.....	109 11 44 ,52	9,9751565	4,8745265	101
$\epsilon = 5,05$				

N°. 104.

Lawoe.....	45° 55' 35",27	9,8411955	4,7281142	51
Gambiranom.....	76 22 35 ,16	9,9870056	4,8745265	101
Nglanggran.....	59 41 58 ,44	9,9562079	4,8251288	79
$\epsilon = 8,85$				

N°. 105.

Ratawoe.....	40° 0' 21",06	9,8081204	4,6240786	52
Kritjian.....	45 45 57 ,08	9,8552152	4,6711715	59
Lawoe.....	94 15 46 ,80	9,9988156	4,8147759	76
$\epsilon = 5,05$				

N°. 106.

Ratawoe.....	85° 55' 50",89	9,9688827	4,8745265	101
Nglanggran.....	58 58 41 ,98	9,7955277	4,6711715	59
Lawoe.....	55 27 54 ,51	9,9158120	4,7914558	69
$\epsilon = 7,58$				

N°. 107.

Ratawoe.....	45° 55' 9",84	9,8560985	4,6960287	44
Nglanggran.....	70 41 10 ,15	9,9748456	4,8147759	76
Kritjian.....	65 25 47 ,44	9,9515256	4,7914558	69
$\epsilon = 7,41$				

Dreieckspunkt.	Verbesselter Winkel.	Log. Sin. des Winkels.	Log. Sin. der gegenüberstehenden Seite.	Addi- tament.
----------------	-------------------------	---------------------------	---	------------------

N°. 108.

Ratawoe	145° 58' 20",99	9,7695054	4,8251288	79
Gambiranom	24 29 21",52	9,6175482	4,6711715	59
Lawoe	11 52 19",28	9,5910945	4,5547177	9
	$\epsilon = 1",59$			

N. 109.

Ratawoe	58° 4' 50",10	9,9288015	4,7281142	51
Gambiranom	100 51 56",48	9,9921452	4,7914558	69
Nglanggran	21 5 16",46	9,5554052	4,5547177	9
	$\epsilon = 5",04$			

N°. 110.

Sengoengloeng	15° 54' 7",28	9,5806857	4,5547177	9
Gambiranom	56 2 59",41	9,7696805	4,7457122	55
Ratawoe	150 5 15",76	9,8859078	4,8579597	95
	$\epsilon = 2",45$			

N°. 111.

Sengoengloeng	55° 48' 28",46	9,9175885	4,8251288	79
Gambiranom	60 52 0",75	9,9398405	4,8455807	88
Lawoe	65 59 41",48	9,9525994	4,8579597	95
	$\epsilon = 10",67$			

N°. 112.

Sengoengloeng	41° 54' 21",18	9,8247175	4,6711715	59
Ratawoe	85 58 25",25	9,9689265	4,8455807	88
Lawoe	52 7 22",19	9,8972580	4,7457122	55
	$\epsilon = 6",62$			

N°. 115.

Wilis	70° 54' 2",79	9,9745272	4,8455807	88
Lawoe	52 58 19",54	9,7518651	4,6927166	29
Sengoengloeng	76 47 44",65	9,9885656	4,8592171	94
	$\epsilon = 6",98$			

Dreieckspunkt.	Verhessierter Winkel.	Log. Sin. des Winkels.	Log. Sin. der gegenüberstehenden Seite	Addi- tament.
N°. 114.				
Pandan	75° 18' 41",50	9,9855695	4,8592471	94
Lawoe	56 45 47,78	9,7767351	4,6345807	56
Wilis	67 57 58,57	9,9670454	4,8406929	86
	$\epsilon = 7,65$			
N°. 115.				
Pandan	58° 54' 42",24	9,7948164	4,6600668	57
Segoroenong	70 54 46,91	9,9754425	4,8406929	86
Lawoe	70 51 8,48	9,9745976	4,8596479	86
	$\epsilon = 7,65$			
N°. 116.				
Pandan	49° 51' 57",06	9,8812559	4,7215224	50
Wonotjolo	87 29 5,78	9,9995814	4,8596479	86
Segoroenong	42 59 3,40	9,8565557	4,6757222	40
	$\epsilon = 6,55$			
N. 117.				
Pandan	54° 52' 45",55	9,7536547	4,4654817	15
Toenggan	66 57 11,57	9,9658752	4,6757222	40
Wonotjolo	78 50 6,55	9,9911955	4,7010425	45
	$\epsilon = 5,45$			
N°. 118.				
Toenggan	50° 41' 46",55	9,7978774	4,4820172	16
Boetok	29 16 58,55	9,6895419	4,4654817	15
Wonotjolo	120 2 7,27	9,9575758	4,7115156	47
	$\epsilon = 1,95$			
N°. 119.				
Watoeijeleng	17° 59' 11",45	9,4896675	4,1075172	5
Dradjat	94 17 4,89	9,9987845	4,6166542	51
Banjoeligi (Pyramide)	67 45 44,95	9,9665597	4,5841805	26
	$\epsilon = 1,25$			

Dreieckspunkt.	Verbesserter Winkel.	Log. Sin. des Winkels.	Log. Sin. der gegenüberstehenden Seite.	Addi- tament.
----------------	-------------------------	---------------------------	---	------------------

N°. 120.

Watoetjeng	55° 2' 14",98	9,7565461	4,5429816	9
Patjakaran	71 48 49,55	9,9777450	4,5841805	26
Bradjat	75 8 57,77	9,9852456	4,5916811	27
	$\epsilon = 2,08$			

N°. 121.

Watoetjeng	41° 59' 24",09	9,8254268	4,5116961	19
Toenggangan	55 52 29,77	9,9054118	4,5916811	27
Patjakoran	84 28 9,57	9,9979754	4,6842427	42
	$\epsilon = 5,25$			

N°. 122.

Nongko	67° 48' 56",51	9,9665815	4,6842427	42
Toenggangan	59 28 57,50	9,8052997	4,5209610	20
Watoetjeng	72 42 50,10	9,9799275	4,6975887	44
	$\epsilon = 5,91$			

N°. 123.

Nongko	71° 1' 15",62	9,9757254	4,7010425	45
Pandan	69 44 51,90	9,9722696	4,6975887	44
Toenggangan	59 14 18,52	9,8010946	4,5264157	20
	$\epsilon = 4,04$			

N°. 124.

Nongko	51° 56' 25",25	9,8941884	4,6505807	56
Walis	56 5 46,61	9,7702214	4,5264157	20
Pandan	92 17 51,97	9,99906507	4,7558451	58
	$\epsilon = 5,85$			

N°. 125.

Boetak	46° 59' 54",96	9,8640785	4,7558451	58
Walis	62 26 5,54	9,9476714	4,8594565	86
Nongko	70 54 29,18	9,9745468	4,8665117	97
	$\epsilon = 9,48$			

Dreieckspunkt.	Verbesselter Winkel.	Log. Sin. des Winkels.	Log. Sin. der gegenüberstehenden Seite.	Addi- tament.
----------------	-------------------------	---------------------------	---	------------------

N°. 126.

Wilis	86° 21' 20",75	9,9991209	4,8184120	78
Sengongloeng	56 14 56,49	9,9198414	4,7591526	54
Gebang	57 25 48,55	9,7854255	4,6027166	29
	$\epsilon = 5,59$			

N°. 127.

Boetak	47° 58' 4",49	9,8708545	4,7591526	54
Gebang	95 26 55,70	9,9980552	4,8665117	97
Wilis	56 55 5,95	9,7752568	4,6455555	55
	$\epsilon = 6,14$			

N°. 128.

Boetak	66° 52' 51",17	9,9656417	4,6251502	52
Slamat	74 55 54,06	9,9840468	4,6455555	55
Gebang	58 55 17,71	9,7946725	4,4541608	15
	$\epsilon = 2,94$			

N°. 129.

Boetak	49° 52' 14",25	9,8812867	4,5859518	10
Honggo	65 25 19,06	9,6544957	4,4541608	15
Slamat	67 2 28,55	9,9641585	4,4668256	15
	$\epsilon = 1,62$			

N°. 150.

Honggo	127° 10' 17",58	9,9015657	4,6554880	55
Saerac (Pyramide)	26 51 11,56	9,6498295	4,5859518	10
Slamat	26 18 52,04	9,6466100	4,5807525	10
	$\epsilon = 1,18$			

N°. 151.

Honggo	46° 52' 40",44	9,8652626	4,2684520	6
Ketjiri	70 57 52,24	9,9755628	4,5807525	10
Saerac (Pyramide)	62 9 48,52	9,9465915	4,5547608	9
	$\epsilon = 1,00$			

Dreieckspunkt.	Verbesserter Winkel.	Log. Sin. des Winkels.	Log. Sin. der gegenüberstehenden Seite.	Addi- tament.
----------------	-------------------------	---------------------------	---	------------------

N°. 152.

Ardjoeno	55° 57' 24",20	9,7687668	4,5517608	9
Ronggo	77 20 0",28	9,9805024	4,5722964	25
Kelji	66 42 51",40	9,9650824	4,5460764	22
$\epsilon = 1,97$				

N°. 153.

Ardjoeno	55° 4' 15",75	9,9157410	4,4668256	15
Boetak	79 44 9",49	9,9929958	4,5400764	22
Ronggo	45 11 56",64	9,8509469	4,4040294	12
$\epsilon = 1,86$				

N°. 154.

Ardjoeno	89° 55' 27",67	9,9999889	4,8594565	86
Nongko	21 51 54",84	9,5645820	4,4040294	12
Boetak	68 55 5",66	9,9698158	4,8092652	74
$\epsilon = 4,17$				

N°. 155.

Penanggoengan	97° 55' 52",70	9,9958608	4,8092652	74
Nongko	14 54 57",72	9,4104559	4,2258585	5
Ardjoeno	67 11 52",12	9,9646418	4,7780442	64
$\epsilon = 2,54$				

N°. 156.

Penanggoengan	55° 25' 9",97	9,7405825	4,5209610	20
Watoeljeleng	84 5 51",46	9,9976655	4,7780442	64
Nongko	62 55 5",08	9,9481295	4,7285082	51
$\epsilon = 4,51$				

N°. 157.

Petoekangur (Pyramide)	76° 45' 14",99	9,9882500	4,7285082	51
Watoeljeleng	62 20 49",58	9,9475256	4,6876018	45
Penanggoengan	40 55 59",80	9,8105604	4,5566586	25
$\epsilon = 4,57$				

Dreieckspunkt.	Verbesserte Winkel.	Log. Sin. des Winkels.	Log. Sin. der gegenüberstehenden Seite.	Addi- tament.
----------------	------------------------	---------------------------	---	------------------

N°. 158.

Petoeangan (Pyramide) . . .	59° 52' 40" ,50	9,9570021	4,5841805	26
Bradjat	54 16 27 ,15	9,9091602	4,5566586	25
Watoetjeng	65 50 49 ,79	9,9692125	4,6075910	29
$\epsilon = 5 ,22$				

N°. 159.

Petoeangan (Pyramide) . . .	74° 54' 12" ,57	9,9847468	4,6166542	51
Banjoetegi (Pyramide) . . .	57 14 12 ,08	9,9217512	4,5566586	25
Watoetjeng	47 51 58 ,56	9,8701201	4,5029075	18
$\epsilon = 2 ,81$				

N°. 140.

Petoeangan (Pyramide) . . .	15° 1' 26" ,07	9,4156720	4,1075172	5
Banjoetegi (Pyramide) . . .	124 57 57 ,01	9,9155457	4,6075910	29
Bradjat	40 0 57 ,76	9,8081622	4,5029075	18
$\epsilon = 0 ,84$				

N°. 141.

Petoeangan (Pyramide) . . .	78° 59' 55" ,06	9,9919540	4,7002240	45
Bangsri	58 27 20 ,62	9,7957275	4,5029075	18
Banjoetegi (Pyramide) . . .	62 52 49 ,55	9,9481144	4,6565945	57
$\epsilon = 5 ,61$				

N°. 142.

Seloret	56° 8' 45" ,69	9,7707525	4,5029075	18
Petoeangan (Pyramide) . . .	104 25 15 ,40	9,9860961	4,7175715	49
Banjoetegi (Pyramide) . . .	50 26 5 ,60	9,8029060	4,5541812	21
$\epsilon = 2 ,69$				

N°. 145.

Seloret	109° 4' 51" ,47	9,9754728	4,6565945	57
Petoeangan (Pyramide) . . .	25 25 21 ,75	9,6527558	4,5156754	8
Bangsri	45 50 8 ,50	9,8552597	4,5541812	21
$\epsilon = 1 ,70$				

Dreieckspunkt.	Verbesserte Winkel.	Log. Sin. des Winkels.	Log. Sin. der gegenüberstehenden Seite.	Addi- tament.
----------------	------------------------	---------------------------	---	------------------

N°. 144.

Scleret	72° 55' 47",78	9,9804556	4,7002240	45
Banjolegi (Pyramide) ..	25 6 45,75	9,5858850	4,5156754	8
Bangsri	85 57 29,12	9,9975808	4,7175715	49
$\epsilon = 2,62$				

N°. 145.

Scleret	60° 50' 6",25	9,9411259	4,5708915	25
Bangsri	90 17 12,52	9,9999946	4,6297622	55
Banlja	28 52 45,19	9,0859079	4,5156754	8
$\epsilon = 1,96$				

N°. 146.

Scleret	54° 49' 9",08	9,7566274	4,5897155	11
Banlja	62 15 59,29	9,9469807	4,5800666	26
Madoe	82 55 15,98	9,9066765	4,6297622	55
$\epsilon = 2,55$				

N°. 147.

Madoe	57° 49' 58",55	9,9275998	4,5695402	25
Banlja	88 9 16,62	9,9997747	4,6417151	54
Tambocko	54 4 7,56	9,7477729	4,5897155	11
$\epsilon = 2,55$				

N°. 148.

Madoe	54° 22' 52",67	9,7517544	4,4046476	12
Tambocko	42 40 51,51	9,8511752	4,4840684	17
Djoemiang	102 56 57,94	9,9888219	4,6417151	54
$\epsilon = 1,92$				

N°. 149.

Djoemiang	48° 28' 14",12	9,8742588	4,4504584	15
Tambocko	86 59 58,96	9,9992645	4,5554641	25
Lagoendi	44 51 48,67	9,8484480	4,4046476	12
$\epsilon = 1,75$				

Dreieckspunkt.	Verbesserte Winkel.	Log. Sin. des Winkels.	Log. Sin. der gegenüberstehenden Seite.	Addi- tament.
N°. 150.				
Lagoendi	85° 26' 41",99	9,9986264	4,5588190	25
Tandacko	46 40 25,11	9,8618074	4,4230065	15
Boeroean	47 52 54,71	9,8702655	4,4504584	15
	$\epsilon = 1,81$			
N°. 151.				
Lagoendi	46° 56' 25",56	9,8657060	4,4537146	15
Boeroean	87 45 58,85	9,9996585	4,5696669	25
Poelo Gilian	45 19 57,45	9,8519917	4,4229065	15
	$\epsilon = 1,84$			
N°. 152.				
Selérét	45° 48' 25",45	9,8555171	4,6876018	45
Penanggoengan	50 14 21,45	9,7020965	4,5541812	21
Petoekangan (Pyramide)	105 57 17,24	9,9869894	4,8190741	78
	$\epsilon = 4,12$			
N°. 153.				
Paseroean	90° 51' 58",47	9,9999505	4,8190741	78
Penanggoengan	59 26 25,85	9,9550544	4,7541782	58
Selérét	29 41 40,41	9,6949551	4,5140589	19
	$\epsilon = 4,75$			
N°. 154.				
Paseroean	25° 19' 45",19	9,6512510	4,2258585	5
Ardjoeno	56 54 7,94	9,9214516	4,5140589	19
Penanggoengan	98 6 10,25	9,9956425	4,5882498	27
	$\epsilon = 1,58$			
N°. 155.				
Paseroean	60° 11' 44",68	9,9585839	4,5732964	25
Ketjiri	64 11 2,02	9,9545575	4,5882498	27
Ardjoeno	55 57 16,55	9,9160257	4,5055562	25
	$\epsilon = 5,05$			

Dreieckspunt.	Verbesserte Winkel.	Log. Sin. des Winkels.	Log. Sin. der gegenüberstehenden Seite.	Addi- tament.
---------------	------------------------	---------------------------	---	------------------

N°. 156.

<i>Argowoclan</i>	59° 12' 57,86	9,9540204	4,5882498	27
<i>Ardjueno</i>	45 2 56,40	9,8541562	4,4885655	17
<i>Pasoerocan</i>	77 44 48,72	9,9899921	4,6442215	55
$\varepsilon = 2,38$				

N°. 157.

<i>Argowoclan</i>	46° 54' 9,19	9,8650826	4,5722964	25
<i>Ardjueno</i>	12 54 59,95	9,5579870	4,0472008	2
<i>Ketjiri</i>	120 54 11,77	9,9555077	4,6442215	55
$\varepsilon = 0,32$				

N°. 158.

<i>Argowoclan</i>	50° 54' 51,68	9,8879116	4,2684520	6
<i>Sawroe (Pyramide)</i>	27 59 24,55	9,6666805	4,0472008	2
<i>Ketjiri</i>	101 45 44,50	9,9907854	4,5715056	10
$\varepsilon = 0,51$				

N°. 159.

<i>Argowoclan</i>	106° 5' 47,06	9,9827045	4,5505562	25
<i>Ketjiri</i>	56 25 9,75	9,9205556	4,4885655	17
<i>Pasoerocan</i>	47 55 4,04	9,4795689	4,0472008	2
$\varepsilon = 0,84$				

N°. 160.

<i>Argowoclan</i>	24° 22' 52,05	9,6156515	4,1140884	5
<i>Pasoerocan</i>	52 58 29,94	9,9022057	4,4012615	11
<i>Semonkron</i>	102 58 58,85	9,9895284	4,4885655	17
$\varepsilon = 0,82$				

N°. 161.

<i>Pakem</i>	56° 4' 5,05	9,7699279	4,5715056	10
<i>Argowoclan</i>	94 18 49,12	9,9998858	4,6012615	29
<i>Sawroe (Pyramide)</i>	52 57 7,75	9,9001565	4,5015520	18
$\varepsilon = 1,30$				

Dreieckspunkt.	Verbesserter Winkel.	Log. Sin. des Winkels.	Log. Sin. der gegenüberstehenden Seite.	Addi- tament.
----------------	-------------------------	---------------------------	---	------------------

N°. 162.

Pakem.	59° 20' 21",45	9,8020285	4,4012428	11
Semoukron.	52 59 40,48	9,9025177	4,5015520	18
Argowoeelan.	87 40 0,11	9,9906598	4,5988541	28
$\varepsilon = 2,04$				

N°. 163.

Pakem.	59° 14' 50",65	9,8012006	5,4000821	11
Poelo Ketapang.	90 58 56,81	9,9999726	4,5988541	28
Semoukron.	50 6 25,51	9,8849558	4,4858155	17
$\varepsilon = 1,95$				

N°. 164.

Pakem.	96° 0' 29",54	9,9976078	4,7800655	65
Suéro (Pyramide).	42 46 45,52	9,8519775	4,6144550	50
Besch.	41 42 51,51	9,8188041	4,6012615	29
$\varepsilon = 4,17$				

N°. 165.

Argopoero.	69° 48' 21",56	9,9724477	4,6144550	50
Besch.	52 57 57,47	9,9002562	4,5422255	22
Pakem.	57 55 44,07	9,9265294	4,5685167	25
$\varepsilon = 5,10$				

N°. 166.

Argopoero.	40° 25' 22",48	9,8115625	4,4858155	17
Pakem.	91 46 20,28	9,9997922	4,6720450	40
Poelo Ketapang.	47 50 19,95	9,8699707	4,5422255	22
$\varepsilon = 2,71$				

N°. 167.

Argopoero.	51° 59' 19",25	9,8944784	4,5695557	25
Poelo Ketapang.	51 48 40,10	9,7219105	4,5967857	11
Loeroes.	96 52 5,02	9,9971697	4,6720450	40
$\varepsilon = 2,55$				

Dreieckspunkt.	Verbesselter Winkel.	Log. Sin. des Winkels.	Log Sin. der gegenüberstehenden Seite.	Addi- tant.
----------------	-------------------------	---------------------------	--	----------------

N°. 168.

Rika.....	56° 56' 4' ,55	9,7788057	4,5685167	25
Argopoero.....	55 0 48 ,25	9,7562651	4,5257781	20
Besch.....	110 5 10 ,42	9,9728597	4,7625527	60
$\epsilon = 2 ,98$				

N°. 169.

Majang.....	61° 20' 40' ,07	9,9452562	4,5257781	20
Besch.....	40 4 22 ,51	9,8087249	4,5912467	11
Rika.....	78 54 59 ,69	9,9915206	4,5758425	25
$\epsilon = 2 ,07$				

N°. 170.

Majang.....	54° 29' 22' ,95	9,9106504	4,5685167	25
Argopoero.....	55 51 52 ,27	9,9161561	4,5758425	25
Besch.....	69 58 48 ,11	9,9729507	4,6596170	55
$\epsilon = 5 ,55$				

N°. 171.

Majang.....	115° 50' 5' ,01	9,9542710	4,7625527	60
Argopoero.....	22 51 4 ,04	9,5851650	4,5912467	11
Rika.....	41 58 55 ,56	9,8225555	4,6506170	55
$\epsilon = 2 ,41$				

N°. 172.

Kemrisongo.....	79° 5 44' ,62	9,9920870	4,5758425	25
Besch.....	5 4 58 ,51	8,9474208	5,5291762	0
Majang.....	95 49 17 ,19	9,9977544	4,5795099	26
$\epsilon = 0 ,52$				

N°. 173.

Kemrisongo.....	155° 29' 11' ,57	9,84574655	4,6506170	55
Argopoero.....	5 10 54 ,42	8,7445247	5,5291762	0
Majang.....	41 19 54 ,25	9,8198187	4,6046702	29
$\epsilon = 0 ,24$				

Dreieckspunkt.	Verbesselter Winkel.	Log. Sin. des Winkels.	Log. Sin. der gegenüberstehenden Seite.	Addi- tant.
N°. 174.				
Kemrisongo	56° 25' 26",95	9,9205577	4,5685167	25
Argopero	58 42 46,69	9,9517509	4,5795099	26
Besch	64 55 49,60	9,9569112	4,6046702	29
	$\epsilon = 5,24$			
N°. 175.				
Beser	55° 1' 12",56	9,9154715	4,6046702	29
Argopero	82 57 14,25	9,9965871	4,6875858	42
Kemrisongo	42 21 59,57	9,8285507	4,5197294	20
	$\epsilon = 5,58$			
N°. 176.				
Beser	47° 1' 11",99	9,8642688	4,5967857	11
Loerues	76 9 50,47	9,9872125	4,5197294	20
Argopero	56 48 58,79	9,9226841	4,4552011	15
	$\epsilon = 1,75$			
N°. 177.				
Beser	117° 6' 57",94	9,9494529	4,7020980	45
Kalasin	50 16 28,76	9,7925560	4,4552011	15
Loerues	52 56 55,28	9,7515860	4,4842509	17
	$\epsilon = 1,98$			
N°. 178.				
Soeket	55° 58' 10",68	9,7689017	4,4842509	17
Beser	92 27 48,65	9,9895984	4,7149277	48
Kalasin	51 54 5,85	9,8953625	4,6092815	50
	$\epsilon = 5,16$			
N°. 179.				
Soeket	55° 59' 55",55	9,7457079	4,5197294	20
Argopero	42 56 8,55	9,8552601	4,6092815	50
Beser	105 21 21,44	9,9889021	4,7640256	60
	$\epsilon = 5,54$			

Dreieckspunkt.	Verbesserter Winkel.	Log. Sin. des Winkels.	Log. Sin. der gegenüberstehenden Seite.	Addi- tant.
----------------	-------------------------	---------------------------	---	----------------

N°. 180.

Soeket.....	77° 7' 27,95	9,9889406	4,6875858	42
Kemirisongo	54 29 26,96	9,9106565	4,6092815	50
Besér	48 25 8,88	9,8756888	4,5725540	25
	$\epsilon = 5,77$			

N°. 181.

Soeket.....	45° 27' 54,58	9,8575558	4,6046702	29
Kemirisongo	96 51 6,55	9,9668872	4,7640256	60
Argopuero	59 41 2,70	9,8051977	4,5725540	25
	$\epsilon = 5,81$			

N°. 182.

Lembœ.....	64° 19' 27,75	9,9548467	4,5725540	25
Kemirisongo	65 0 47,51	9,9575224	4,5748097	25
Soeket.....	50 59 51,50	9,8884297	4,5059170	18
	$\epsilon = 2,76$			

N°. 185.

Lembœ.....	5° 57' 27,78	8,9912545	5,5291762	0
Majang	41 45 58,08	9,9679954	4,5059170	18
Kemirisongo	62 58 54,59	9,9485128	4,4864544	17
	$\epsilon = 0,25$			

N°. 184.

Degong.....	26° 54' 1,62	9,6555926	4,5748097	25
Soeket.....	22 25 4,54	9,5807208	4,4999679	18
Lembœ.....	150 42 56,55	9,8796441	4,7988912	71
	$\epsilon = 2,29$			

N°. 185.

Ikan.....	51° 50' 45,77	9,8956209	4,4999679	18
Lembœ.....	44 47 16,72	9,8478720	4,4542189	15
Degong	85 41 59,78	9,9075695	4,6057161	29
	$\epsilon = 2,27$			

Dreieckspunkt.	Verbesselter Winkel.	Log. Sin. des Winkels.	Log. Sin. der gegenüberstehenden Seite.	Addi- tament.
----------------	-------------------------	---------------------------	---	------------------

N^o. 186.

Ikan	96° 50' 15",07	9,9971962	4,7988912	71
Soeket	26 41 52,60	9,6525958	4,4542189	15
Begong	56 47 58,16	9,9226007	4,7242957	50
$\epsilon = 5,85$				

N^o. 187.

Ikan	44° 59' 27",59	9,8494161	4,5748097	25
Soeket	49 4 56,94	9,8785225	4,6057161	29
Lemboc	85 55 59,61	9,9989021	4,7242957	50
$\epsilon = 5,85$				

N^o. 188.

Ikan	26° 50' 49",47	9,6547645	4,4974568	18
Sohari	150 24 58,58	9,8816250	4,7242957	50
Soeket	22 44 55,79	9,5872548	4,6299274	15
$\epsilon = 1,64$				

N^o. 189.

Tandjong Pakem (alt-) ..	62° 45' 22",19	9,9489542	4,6057161	29
Lemboc	52 9 55,20	9,7261552	4,5809169	10
Ikan	85 5 7,07	9,9984005	4,6551821	56
$\epsilon = 2,46$				

N^o. 190.

Tandjong Pakem (alt-) ..	115° 48' 26",88	9,9545689	4,7242957	50
Soeket	24 5 55,44	9,6109905	4,5809169	10
Ikan	40 5 59,77	9,8089186	4,5788451	26
$\epsilon = 2,09$				

N^o. 191.

Tandjong Pakem (alt-) ..	55° 5' 4",69	9,9026414	4,5748097	25
Soeket	75 10 52,58	9,9810159	4,6551821	56
Lemboc	55 46 6,41	9,9066770	4,5788451	26
$\epsilon = 5,48$				

Dreieckspunkt.	Verbesselter Winkel.	Log. Sin. des Winkels.	Log. Sin. der gegenüberstehenden Seite.	Addi- tament.
----------------	-------------------------	---------------------------	---	------------------

N°. 192.

Tandjong Pakem (alt-).	109° 16' 6",45	9,9749640	4,4299274	15
Sahari	57 29 5",65	9,9259556	4,5809169	10
Ikan	15 14 50",50	9,5601286	5,8150919	1
$\varepsilon = 0",58$				

N°. 195.

Tandjong Pakem (alt-).	6° 52' 20",45	9,0564461	4,4974568	18
Soeket	1 21 21",65	8,5741011	5,8150919	1
Sahari	172 6 17",99	9,1578544	4,5788451	26
$\varepsilon = 0",07$				

N°. 194.

Baloeran	55° 1' 27",45	9,9024872	4,5788451	26
Soeket	67 4 58",42	9,9642745	4,6406524	54
Tandjong Pakem (alt-).	59 55 57",81	9,9570894	4,6154475	50
$\varepsilon = 5",66$				

N°. 195.

Baloeran	74° 21' 7",46	9,9855980	4,7149277	48
Kaliasin	49 59 57",96	9,8821176	4,6154475	50
Soeket	55 58 59",99	9,9184877	4,6498174	56
$\varepsilon = 4",51$				

N°. 196.

Baloeran	45° 45' 51",15	9,8598689	4,6092815	50
Beser	44 17 25",56	9,8446547	4,6154475	50
Soeket	91 57 9",77	9,9997477	4,7691604	62
$\varepsilon = 4",26$				

N°. 197.

Baloeran	50° 55' 56",55	9,7066688	4,4842509	17
Kaliasin	101 14 1",81	9,9915985	4,7691604	62
Beser	48 10 25",27	9,8722555	4,6498174	56
$\varepsilon = 5",41$				

Dreieckspunkt.	Verbesselter Winkel.	Log. Sin. des Winkels.	Log. Sin. der gegenüberstehenden Seite.	Addi- tauent.
----------------	-------------------------	---------------------------	---	------------------

N°. 198.

Tandjong Pakem (neu-).	120° 56' 21",08	9,9555422	4,4299274	15
Sahari.....	47 11 8,84	9,8654564	4,5629216	9
Ban.....	41 52 50,41	9,5154014	5,8099865	1
	$\epsilon = 0,55$			

Anschluss der Tegal-Pekalongan'schen Kette an das primäre Dreiecksnetz.

Die Verbindung der Hauptnetze von West- und Ost-Java ist, wie S. 4 vermeldet ist, im J. 1874 durch die Residentschaften Banjoemas und Baglen, mittels der primären Dreiecke

Tjerimaj - Bongkok - Slamet III,
Bongkok - Tjemiring - Slamet III,
Tjemiring - Ardjoeno - Slamet III,
Ardjoeno - Kenhang - Slamet III,
und Kenhang - Prahoe - Slamet III

hergestellt worden. Der Nordküste entlang bildete, quer durch die Residentschaften Pekalongan und Tegal, eine bereits in den Jahren 1865–66 gemessene Kette von kleineren Dreiecken eine ähnliche Verbindung, und zwar zwischen den Seiten Kromon - Tjerimaj und Tembok-Prahoë, während, wie bereits S. 45 gesagt worden ist, die relative Lage zwischen dem zu dieser Kette gehörenden Standpunkte Slamet IV und dem oben genannten Slamet III durch eine im Krater des Berges ausgeführte Triangulation bekannt war, über welche der folgende Abschnitt die Einzelheiten enthalten wird.

Die Messungen für diese nördliche Kette waren aber noch grösstentheils auf Bambus-Signale ausgeführt, und dies war der Grund weshalb ich es vorzog, die Kette an die südliche Verbindung, bei welcher nur auf Heliotrope gemessen wurde, anzuschliessen.

Es wurde noch vorher von Herrn Tennissen ein Versuch gemacht, die Kette an und für sich, mit Rücksicht, wo es anging, auf die Gewichte, auszugleichen, indem von den Seiten Kromon-Tjerimaj und Tembok-Prahoë nur die Längen in Metern dem primären Netze entnommen wurden. Bei dieser Ausgleichung war die Anzahl der Bedingungs-gleichungen = 21, die Summe der Fehlerquadrate, wenn allen Fehlern das Gewicht = 1 gegeben wurde, war 45,6. Als aber darauf aus der geographischen Länge und Breite von Tembok und Prahoë, westwärts fortschreitend, die Längen und Breiten der übrigen Dreieckspunkte berechnet wurden, so zeigten sich die folgenden Unterschiede:

Primäres Netz — Tennenissen.

	In Sekunden.		In Metern.	
	Südliche Breite	Länge Ost von Batavia	Südliche Breite	Länge Ost von Batavia.
Slamet IV.	— 0",011	— 0",070	— 0,54	— 0,215
Tjerimaj IV.	+ 0",001	— 0",164	+ 0,05	— 5,05
Kromon.	+ 0",0015	0",1685	+ 0,05	— 5,17

Die Seite Kromon-Tjerimaj kam also, nach der gemachten Ausgleichung, welche streng nach der Methode der kleinsten Quadrate durchgeführt worden war, ziemlich genau der angenommenen parallel, auch die geographischen Breiten stimmten gut, die Kette war aber in der Richtung Ost-West um etwa 5 Meter zu kurz, was auf 190000 Meter $\frac{1}{29000}$ der Ganzen betrug.

Die Vereinigung der nördlichen mit den südlichen Dreiecken zu einem Ganzen würde zu sehr langwierigen Rechnungen geführt haben; und so wurde erst ein Versuch gemacht, die ganze Tegal-Pekalonga'sche Kette in die Länge dergestalt proportional auszudehnen, dass die Seite Tjerimaj-Kronon richtig an ihre Stelle geführt wurde; die Richtungen wurden dazu durch eine der Sinus des doppelten Azimuths proportionale Verbesserung geändert, und die geringen an den Punkten Tjerimaj und Kronon übriggelassenen Unterschiede durch passende, unbedeutende Correctionen an einzelne Richtungen weggeschafft. Der Anschluss an Slamat IV, dessen Ort aus Slamat III abgeleitet wurde, stimmte ziemlich, (um 0',0425 oder 0'',377 zu viel Nord, und um 0',0007, oder 0'',215 zu viel West,) die Summe der Felderquadrate wuchs aber zu 507,4 an.

Ein erneuerter Anschluss an Slamat, Kronon und Tjerimaj, welchen Herr M. L. J. van Asperen übernahm, wobei aber nur partielle Ausgleichungen stattfanden, verringerte die genannte Summe zu 104,5.

Endlich kam ich zu dem Entschluss die Kette nach der Methode der kleinsten Quadrate dem schon fertigen primären Netze anzuschliessen, dergestalt dass die Punkte Tembok, Prahoe, Slamat, Kronon und Tjerimaj als fest angenommen wurden. Ich theilte zu diesem Zwecke die Kette in zwei Theile; der erste Theil reichte von der Seite Tembok-Prahoe bis zum Slamat, der zweite Theil von Slamat bis zu der Seite Kronon-Tjerimaj.

Ich wählte die Methode zu untersuchen, welche Verbesserungen den bereits nahe, (durch die von Herrn Tronissen angeführte Ausgleichung,) bekannten geographischen Längen und Breiten der Dreieckspunkte hinzugefügt werden mussten, damit die Summe der Felderquadrate der gemessenen Richtungen ein Minimum werde. Nennt man das mittlere Azimuth einer Seite A und ihre Länge in Metern S ; weiter die Correction des Länge- und des Breiten-Unterschieds, in Einheiten von 0,4848 Meter ausgedrückt, dL und dB , so hat man, in unserem Falle hinreichend genau:

$$dA \text{ (in Sekunden)} = \frac{100000}{S} \cos A \cdot dL + \frac{100000}{S} \sin A \cdot dB,$$

wo dL = dem Unterschiede der Länge-Correctionen, und dB = dem Unterschiede der Breite-Correctionen des angezielten Punktes und des Standpunktes bedeuten.

Als ich diese Methode entwarf, kannte ich kein Beispiel wo dieselbe befolgt worden war; es war also ein Versuch, sie anzuwenden. Sie hat zwar den Nachtheil, dass wegen der Bedingung, auf jeder Station sei die Summe der Correctionen = 0, jede der zu behandelnden Gleichungen alle die Unbekannten enthalten, welche sich sowohl auf den Standpunkt, als auf die sämtlichen eingestellten Stationen beziehen; dagegen den Vortheil dass die Bedingungen wegfallen und man die Beobachtungen als vermittelnde behandeln kann. In der Praxis wird also die Zahl der Unbekannten den Durchschlag geben müssen ob man diese oder die gewöhnliche Methode vorziehen wird.

Ich erfuhr hinterher, dass von der „Trigonometrischen Abtheilung der Landesaufnahme“ bereits im Jahre 1876 ein Bericht über die Triangulation des Märkischen Dreiecksnetzes erschienen war, (Die Königlich Preussische Landes-Triangulation. Haupt-Dreiecke, Dritter Theil:) wo dieselbe Methode gewählt worden war, und zwar weil die Zahl der Unbekannten bei ihr nur = 40 war, (das Doppelte der Anzahl zu bestimmenden Punkte,) während das Netz sonst 84 Bedingungsgleichungen geliefert hätte, worunter 54 Seitengleichungen, (Vorwort Seite V.)

Wegen der geringen geographischen Breite Java's und der damit zusammenhängenden geringen Convergenz der Meridiane war es unnützlich, wie bei dem Märkischen Dreiecksnetze geschehen ist, eine uniforme Kegelprojection anzuwenden; die oben angeführte Formel reichte vollkommen aus und die erhaltenen Correctionen in Metern wurden einfach zu Sekunden reducirt, und die Correctionen der Azimuthe durch Substitution gefunden.

Die Summe der Fehlerquadrate sank nun bis auf 74,5 herab.

Der Kürze halber werden wir uns hierbei beschränken; es folgen nun dieselben Tafeln, wie wir für das primäre Netz gegeben haben.

Zielpunkt.	Richtungen.			Azimuth.	Entfernung in Metern.
	Gemessen.	Correction.	Ausge- glichen.		

Kromon.

E. Metzger, Mai 1870, Gross P. M. II.

Siehe Seite 60.

C. Waldringh, Juni 1871, P. M. III.

Cheribon II.	0°	0'	0",00	— 0",14	— 0",14	84°	42'	12",44	19465,65
Sambéan.	554	24	8,02	+ 0",15	8",15	59	6	20",75	17868,69

Tjerimaj IV.

E. Metzger, Mai und Juni 1870, Gross P. M. II.

Siehe Seite 60; weiter kommt noch, abgeleitet, hinzu:

Sambéan.	berechnet	25°	8'	49",62	29595,55
---------------	-----------	-----	----	--------	----------

Sambéan.

C. Waldringh, Juni 1871, P. M. III.

Cheribon II.	0°	0'	0",00	+ 0",68	0",68	151°	15'	29",85	8415,95
Tjerimaj IV.	55	54	55,05	— 0",57	52,48	205	8	4",65	29595,55
Kromon.	87	51	55,48	— 0",12	55,56	259	5	22",55	17868,69

Cheribon II.

C. Waldringh, Juli und October 1871, P. M. III.

Kromon.	0°	0'	0",00	— 0",14	— 0",14	264°	40'	58",50	19465,65
Sambéan.	66	52	16,70	— 0",85	15,85	551	15	14,49	8415,95
Kedaka.	255	0	56,55	+ 0",75	57,08	157	41	55,72	48704,15
Tjerimaj IV.	515	59	51,45	+ 0",25	51,68	220	40	50,52	25566,57

Kedaka.

J. A. C. Oudejans, Mai 1866, P. M. IV.

Losari.	0°	0'	0",00	— 0",75	— 0",75	16°	45'	45",62	52998,71
Koeta.	47	17	57,19	— 0",41	56,78	64	5	41,15	45156,31
Samat IV.	85	58	2,26	+ 0",04	2,50	102	45	46,67	50122,61
Mroejong.	114	54	21,58	+ 0",57	21,95	151	40	6",52	26780,78

E. Metzger, April 1870, Gross P. M. II.

Cheribon II.	0°	0'	0",00	— 0",27	— 0",27	557°	40'	25",10	48704,15
Losari.	59	5	20,78	— 0",55	20,25	16	45	45,62	52998,71
Tjerimaj IV.	528	42	51,21	+ 1",49	52,70	506	22	56,07	45511,97
Kromon.	541	6	21,28	— 0",68	20,60	518	46	45,97	57489,19

Zielpunkt.	Richtungen.			Azimutb.	Entfernung in Metern.
	Gemessen.	Correction.	Ange- geben.		

Losari.

J. A. C. Oudemans, April 1866, P. M. IV.

Slamat IV.....	0° 0' 0",00	— 1",29	— 1",29	155° 51' 45",77	62894,05
Kedaka.....	62 55 20,02	+ 1",29	21 51	196 45 6,57	52608,71

E. Metzger, April 1870, Gross P. M. II.

Kedaka.....	0° 0' 0",00	+ 0",98	0",98	106° 45' 6",57	52908,71
Tjeronsj IV.....	66 17 55,72	+ 0",85	54 55	265 2 59,94	44765,18
Tasponas II.....	78 58 16,75	— 0",91	15 82	275 25 21,21	94155,14
Kromon.....	87 29 58 65	— 0",91	57 72	284 15 5 11	48791,25

Mroejong.

J. A. C. Oudemans, Mai 1866, P. M. IV.

Kedaka.....	0° 0' 0",00	+ 0",94	0",94	511° 58' 44",49	26780,78
Koeta.....	75 28 21,85	— 0",60	21 25	27 7 5 68	41219,80
Slamat IV.....	129 26 6 84	+ 0",56	7 40	81 4 51 85	55160,78

Koeta.

J. A. C. Oudemans, April 1866, P. M. IV.

Gadjah.....	0° 0' 0",00	+ 0",57	0",57	101° 50' 54",42	25186,52
Slamat IV.....	51 25 28 45	+ 1",35	29 78	152 56 5 85	55071,95
Mroejong.....	105 55 16 15	— 0",40	15 75	207 5 49 78	41219,80
Kedaka.....	142 50 55 44	— 1",54	52 10	244 1 6 15	45156,24

Slamat IV.

J. A. C. Oudemans, April und Mai, 1866, P. M. IV.

Kedaka.....	0° 0' 0",00	+ 5",17	5",17	282° 40' 5 55	56122,64
Losari.....	51 8 46 95	— 4",75	42 48	515 48 42 54	62894,05
Koeta.....	50 14 58 26	+ 0",95	59 19	552 54 59 55	55071,95
Gadjah.....	95 45 28 45	— 0",45	27 68	18 25 28 54	27618,85
Tjoepe.....	165 44 6 06	+ 0",45	6 49	88 24 6 85	28225,50
Slamat III.....	mittels Triangulation bestimmt			211 21 16 8	755,7
Mroejong.....	558 22 27 64	— 0",68	28 52	204 2 28 68	55160,78

Gadjah.

F. W. Voswinkel Dorselen, Februar 1866, P. M. IV.

Gegergadong.....	0° 0' 0",00	— 0",51	— 0",51	88° 58' 45 68	28456,52
Tjoepe.....	55 51 5 45	+ 1",89	7 52	142 29 55 51	52058,95
Slamat IV.....	109 44 5 46	+ 1",70	7 16	198 22 55 15	27618,85
Koeta.....	192 50 14 00	— 5",28	10 72	281 28 56 71	25186,52

Zielpunkt.	Richtungen.			Azimuth.	Entfernung in Meilen.
	Gemessen.	Correction.	Ausge- glichen.		

Tjoepoe.

F. W. Voswinkel Dorselen, März 1866. P. M. IV.

Slamat IV.	0° 0' 0",00	— 0',27	— 0',27	268° 22'	11',01	28225,50
Gadjah.	54 6 24,10	— 0',84	25,26	522 28	54,54	52058,95
Gegergadong.	110 51 46,80	+ 1',01	47,81	18 55	59,09	27580,22
Regodjembangan.	175 2 55,01	+ 0,09	55,10	85 25	6,58	28061,85

Gegergadong.

F. W. Voswinkel Dorselen, November und December 1865, P. M. IV.

Priksa.	0° 0' 0",00	— 0',10	— 0',10	85° 55'	27',05	42144,05
Praho.	54 9 16,79	— 0,61	16,18	117 42	45,51	45752,60
Regodjembangan.	56 48 19,66	+ 0,45	20,09	140 21	47,22	29701,81
Tjoepoe.	115 19 57,01	— 1,11	55,90	198 55	25,05	27580,22
Gadjah.	185 5 24,24	+ 1,57	25,61	268 56	52,74	28456,52

Pekalongan.

F. W. Voswinkel Dorselen, Juli, August und November 1865, P. M. IV.

Priksa.	0° 0' 0",00	+ 0',29	0',29	111° 1'	6',97	28058,91
Praho.	54 0 56,00	— 0,55	55,67	145 2	2,55	44205,52
Regodjembangan.	65 12 58,40	+ 0,04	58,44	174 15	45,12	58081,15

Regodjembangan.

F. W. Voswinkel Dorselen, December 1865, P. M. IV.

Praho.	0° 0' 0",00	+ 0',74	0',74	85° 42'	49',37	21599,29
Tjoepoe.	177 40 25,66	+ 0,04	25,70	265 25	19,25	28061,85
Gegergadong.	254 57 42,55	— 0,17	32,58	520 20	50,01	29701,81
Pekalongan.	268 50 41,20	+ 0,11	41,51	554 15	29,84	58081,15
Priksa.	515 59 4,95	— 0,72	4,21	59 41	52,74	55894,75

Praho.

F. W. Voswinkel Dorselen, Januar 1866, P. M. IV.

Regodjembangan.	0° 0' 0",00	— 0',55	— 0',55	265° 41'	21',55	21599,29
Gegergadong.	berechnet	297 40	0,58	45752,60
Pekalongan.	525 0	21,24	44205,52
Priksa.	97 19 47,57	+ 0,52	47,89	5 1	9,55	26052,85
Tembok.	150 5 45,19	+ 0,02	45,21	55 45	6,87	42088,07

Zielpunkt.	Richtungen.			Azimuth.	Entfernung in Metern.
	Gemessen.	Correction.	Ausge- glichen.		

Priksa

F. W. Voswinkel Durselen, November 1865, P. M. IV.

Prahoë.....	0° 0' 0".00	— 0.05	— 0.05	185° 1' 4".05	26052.85
Rogodjembangan.....	56 59 16.51	+ 0.51	16.02	219 40 20.72	55884.75
Gegergadong.....	80 29 56.96	+ 0.50	57.26	265 50 41.56	42144.65
Pekalongan.....	107 58 18.21	— 0.14	18.07	290 59 22.17	28658.91
Tembok.....	270 56 7.22	— 0.40	6.82	95 57 10.92	55498.82

Tembok.

F. W. Voswinkel Durselen, October 1865, P. M. IV.

Prahoë.....	0° 0' 0".00	— 0.54	— 0.54	255° 42' 47".15	42088.07
Priksa.....	58 12 11.09	+ 0.54	11.45	275 54 58.92	55498.82

Dreieckspunkt.	Verbesselter Winkel.	Log. Sin. des Winkels.	Log. Sin. der gegenüberstehenden Seite.	Addi- tament.
----------------	-------------------------	---------------------------	---	------------------

Dreieck N°. 199.

Sambian	55° 57' 20",88	9,7470645	4,2470864	6
Tjerinaj IV	54 24 15,52	9,7520702	4,2520920	6
Kromon	111 58 24,55	9,9382579	4,4682797	15
$i = 0,75$				

N°. 200.

Cheribon II	44° 0' 8",18	9,8417891	4,2470864	6
Tjerinaj IV	49 57 19,86	9,8859709	4,2892681	7
Kromon	86 2 52,84	9,9989652	4,4042605	12
$i = 0,88$				

N°. 201.

Sambian	87° 51' 52",68	9,9906985	4,2892681	7
Cheribon II	66 52 15,99	9,9025222	4,2520920	6
Kromon	25 55 51,71	9,6555555	5,9251055	1
$i = 0,58$				

N°. 202.

Kedaka	12° 25' 47",90	9,5547876	4,2470864	6
Tjerinaj IV	155 50 11,04	9,8442841	4,4682797	59
Kromon	51 55 52,42	9,7255038	4,6586055	54
$i = 1,56$				

N°. 205.

Kedaka	51° 17' 27",05	9,7154875	4,4042605	12
Tjerinaj IV	85 45 21,18	9,9987886	4,6875617	42
Cheribon II	62 50 14,00	9,9498522	4,6586055	54
$i = 2,81$				

Dreieckspunkt.	Verbesserte Winkel.	Log. Sin. des Winkels.	Log. Sin. der gegenüberstehenden Seite.	Addi- tament.
----------------	------------------------	---------------------------	---	------------------

N°. 204.

Kedaka	18° 55' 59",15	9,5105059	4,2892681	7
Kromon	54 7 0,42	9,9085994	4,6875617	42
Cheribon II	106 59 22,78	9,9806205	4,7595826	59
$\epsilon = 2,55$				

N°. 205.

Kedaka	70° 22' 47",55	9,9740254	4,6509175	56
Tjerimaj IV	45 19 42,27	9,8564575	4,5135518	19
Losari	66 17 55,57	9,9617110	4,6586055	54
$\epsilon = 5,59$				

N°. 206.

Losari	21° 12' 25",17	9,3585857	4,2470864	6
Tjerimaj IV	92 20 58,76	9,9906547	4,6885576	45
Kromon	66 26 40,08	9,9622145	4,6509175	56
$\epsilon = 2,01$				

N°. 207.

Losari	87° 29' 56",74	9,9995862	4,7595826	59
Kromon	54 51 7,66	9,7555552	4,5135518	19
Kedaka	57 58 59,65	9,9285410	4,6885576	45
$\epsilon = 4,05$				

N°. 208.

Losari	62° 55' 22",60	9,9494535	4,7491525	56
Kedaka	85 58 5,05	9,9690255	4,7986024	71
Slamat IV	51 8 59,01	9,7156528	4,5135518	19
$\epsilon = 4,66$				

N°. 209.

Kedaka	67° 56' 25",16	9,9653504	4,6151029	59
Mroejong	75 28 21,19	9,9858877	4,6550405	55
Koeta	56 55 16,57	9,7786094	4,5278219	15
$\epsilon = 2,72$				

Dreieckspunkt.	Verhesselter Winkel.	Log. Sin. des Winkels.	Log. Sin. der gegenüberstehenden Seite.	Addi- tament.
----------------	----------------------	------------------------	---	---------------

N°. 210.

Kedaka	28° 56' 19",65	9,6847552	4,5460565	22
Mroejong	129 26 7,56	9,8878094	4,7491525	56
Slamat IV	21 57 54,85	9,5664988	4,4278219	15
$\epsilon = 1,86$				

N°. 211.

Slamat IV	50 14 56",02	9,8858500	4,6550405	55
Koeta	91 5 2,52	9,9999225	4,7491525	56
Kedaka	58 40 5,52	9,7957475	4,5449577	22
$\epsilon = 5,86$				

N°. 212.

Slamat IV	71° 52' 50",87	9,9778979	4,6151029	50
Koeta	54 9 45,95	9,9088515	4,5460565	22
Mroejong	55 57 46,17	9,9077527	4,5449577	22
$\epsilon = 2,99$				

N°. 215.

Slamat IV	45° 28' 28",78	9,8550555	4,4011670	11
Koeta	51 25 29,41	9,8950906	4,4412042	14
Gadjah	85 6 5,58	9,9968440	4,5449577	22
$\epsilon = 1,77$				

N°. 214.

Gadjah	55° 52' 59",84	9,9179762	4,4506572	14
Tjoepoe	54 6 25,55	9,9085452	4,4412042	14
Slamat IV	70 0 58,51	9,9750155	4,5056765	18
$\epsilon = 1,88$				

N°. 215.

Gadjah	55° 51' 7",62	9,9071410	4,4405965	14
Tjoepoe	56 25 24,55	9,9207222	4,4541775	15
Gegergadjong	69 45 29,71	9,9722215	4,5056765	18
$\epsilon = 1,88$				

Dreieckspunkt.	Verbessert Winkel.	Log. Sin. des Winkels.	Log. Sin. der gegnüberstehenden Seite.	Addi- tament.
----------------	-----------------------	---------------------------	--	------------------

N°. 216.

Gérgadong	58° 51' 55",81	9,9508895	4,4481148	14
Tjoeoe	64 51 7,29	9,9555558	4,4727815	16
Rogodjembangan	56 57 18,68	9,9255706	4,4405965	14
$\epsilon = 1,78$				

N°. 217.

Rogodjembangan	79° 21' 21",85	9,9924925	4,6247595	52
Gérgadong	56 48 20,19	9,9226510	4,5549077	25
Priksa	45 50 20,64	9,8405045	4,4727815	16
$\epsilon = 2,66$				

N°. 218.

Rogodjembangan	125° 22' 18",56	9,9115777	4,6609221	58
Gérgadong	22 59 5,91	9,5855942	4,5544587	8
Prakoe	51 58 59,05	9,7259568	4,4727815	16
$\epsilon = 1,52$				

N°. 219.

Rogodjembangan	46° 0' 56",55	9,8570490	4,4155205	12
Priksa	56 59 16,67	9,7759671	4,5544587	8
Prakoe	97 49 48,22	9,9664562	4,5549077	25
$\epsilon = 1,42$				

N°. 220.

Prakoe	59° 18' 59",91	9,9544987	4,5897074	26
Rogodjembangan	91 29 19,45	9,9998555	4,6460620	55
Pekalongan	29 11 42,77	9,6882500	4,5544587	8
$\epsilon = 2,11$				

N°. 221.

Prakoe	58° 0' 48",51	9,7894722	4,4572582	15
Priksa	107 58 18,12	9,9782760	4,6460620	55
Pekalongan	54 0 55,58	9,7477545	4,4155205	12
$\epsilon = 1,81$				

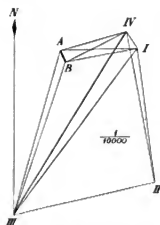
16

Dreieckspunkt.	Verbesserter Winkel.	Log. Sin. des Winkels.	Log. Sin. der gegenüberstehenden Seite.	Addi- tament.
----------------	-------------------------	---------------------------	---	------------------

N°. 222.

Prahae.....	52° 45' 57",52	9,9008158	4,5250275	20
Priksa.....	89 5 55",15	9,9999421	4,6241558	52
Tembok.....	58 12 11",77	9,7915068	4,4155205	12
	$\epsilon = 2",22$			

§ 4. Die Verbindung der de Lange'schen Punkte Slamet I, II und III mit dem Punkte Slamet IV.



In der nebenstehenden Figur ist auf $\frac{1}{10000}$ die relative Lage der obengenannten Stationen angegeben und sind die zur Bestimmung derselben, am 1–5 Mai 1866 von mir gemessenen Richtungen gezogen worden. Die Basis AB wurde mittels etalonirter Bambusblatten auf dem flachen Kraterboden, (gewöhnlich „Sandse“ genannt.) zu 45,515 Metern gemessen. Die Punkte I, II, III und IV standen auf dem Kraterande; unter dem Signale IV war ein Pfeiler gebaut; von dem im J. 1855 benutzten Signalen I, II und III waren bei meinem Besuch nur die nahe am Boden abgehauenen axialen Randstämme vorhanden, welche aber hinreichten um die Oerter der früheren de Lange'schen Signale anzugeben. Durch eingesteckte Bambus-Stücke wurden dieselben aus der Ferne sichtbar gemacht. Zu A und B wurde der schwere hölzerne Dreifuss getragen, welchen ich für meine geographischen Bestimmungen im Ost-Indischen Archipel immer benutzte; derselbe trug oben eine schwere, horizontale, hölzerne, kreisrunde Scheibe, in deren Mittelpunkt ein Loch gehohlet worden war, und so war es möglich, mittels eines Brelithes den Mittelpunkt des Universal-Instruments auf den Boden zu projectiren; die Projectionen wurden durch fingerdicke Pflocke angegeben. Von dem Pfeiler IV, der um etwa 77 Meter höher stand als A und B, wurde die linke und die rechte Kante eingestellt und das ar. Mittel als für das Centrum des Pfeilers gültig betrachtet. Auf diesem Pfeiler stand natürlich bei der Messung das Universal-Instrument (P. M. IV); in den Punkten I, II und III wurde ebenfalls der hölzerne Dreifuss aufgestellt. Dennoch war es mit diesen Hilfsmitteln nicht möglich, die Winkelsummen der Dreiecke innerhalb 10' richtig zu erhalten; die Beobachtungen mussten also ausgeglichen werden.* Die Fehler der Richtungen stammten aber zum grössten Theil von der Unsicherheit ab, mit welcher die Standpunkte sichtbar gemacht wurden; deshalb konnte man den m. F. einer Richtung der Entfernung des Ziehpunktes umgekehrt, also das Gewicht dem Quadrat dieser Entfernung direct proportional annehmen. Weil aber auch die Einstellungs-, Theilungs- und Ablesfehler in Betracht kommen, so ist die Ausgleichung vorgenommen, indem die Gewichte nur der ersten Potenz der Entfernung proportional angenommen wurden.

* Die Zahl der Punkte war $p = 6$, der Seiten, (alle gegenseitig beobachtet,) $l = 12$, der Richtungen $r = 24$.

Also war die Zahl der Winkelgleichungen $r + 1 = (l + p) = 7$,

und „ „ „ Seitengleichungen $l + 3 = 2p = 3$,

Summa 10.

Der de Lange'sche Punkt II, der nur um 20 Meter höher als der Sandsee lag, war leider nur von den Punkten I und IV sichtbar, und also wegen des spitzen Winkels $\Pi = 5^\circ 51'$ nicht sehr genau bestimmt; für unseren Zweck ist aber nur die Kenntniss der relativen Lage der Punkte III und IV von Bedeutung: die Punkte I und II sind nämlich in der neuen Triangulation keine Dreieckspunkte.

Die Orientation des Netzes ist dreimal ausgeführt worden, einmal von mir, indem ich, am 29 April 1866, auf Slamat IV, bei der Rundmessung, auch die Punkte I und III aufnahm, (letzterer war bei Fernrohr links von einem Bambus-Stamme des Signals bedeckt, konnte also nur bei Fernrohr rechts beobachtet werden;) zwei andere Male von Herrn Woldringh, indem er am 17 und 19 Februar 1874, bei einem der Rundgänge auf Slamat III, ausser den primären Punkten in beiden Kreislagen auch den Pfeiler IV einstellte.

Die Resultate waren:

29 April	1866	IV III	211°20',0	
17 Februar	1874	III IV		51 21 ,4
19 "	"	"		51 21 ,2
Im Mittel				51°21',5

Der Unterschied von 1',5 zwischen meinem Resultate und demjenigen des Herrn Woldringh ist wahrscheinlich dadurch verursacht, dass Herr Woldringh am früheren Orte des de Lange'schen Signals III, behufs der Verbindung von Tjerimaj mit Prahoe, einen Pfeiler hatte bauen lassen, und dass entweder die Achse dieses Pfeilers nicht vollkommen mit der Achse des früheren Signals zusammenfiel, oder aber dass der am 29 April 1866 eingesteckte Bambus-Stock, dessen oberes Ende nur sichtbar war, etwas schief stand.

Es folgen hier nun die verbesserten Richtungen, mit den angebrachten Correctionen, wie die Ausgleichung dieselben gegeben hat. In der vorletzten Columne ist das Woldringh'sche Azimuth III IV zu Grunde gelegt; es sind aber die Zehntelsekunden weggelassen, ausser wenn es gerade 5 waren.

Zielpunkt.	Richtungen.			Azimuth.	Entfernung in Metern.
	Gemessen.	Correction.	Ausge- glichen.		

Punkt A.

IV	0° 0' 0'	+	1',7	1',7	75° 25' 42",5	240,19
I	14 58 47	-	11,0	56,0	88 2 17	274,58
B	85 22 9	+	0,4	9,4	156 45 50	45,515
III	122 25 5	+	4,5	7,5	195 46 48	599,06

Punkt B.

A	0° 0' 0'	-	6',0	- 6',0	556° 45' 50"	45,515
IV	85 44 2,5	+	9,8	12,5	62 59' 8",5	230,245
I	101 56 17	+	5,7	29,7	78 42 17	261,525
III	221 55 55	-	5,4	27,6	198 41 24	564,45

Punkt I.

B	0° 0' 0'	-	0',5	- 0',5	175° 4' 52"	482,55
III	45 59 51	-	2,4	28,6	216 44 21	751,10
B	85 57 51	-	6,4	24,6	258 42 17	261,525
A	94 57 9	+	15,5	24,5	268 2 17	274,58
IV	150 10 1	-	7,7	9 55,5	525 44 46	75,94

Punkt IV.

I	0° 0' 0'	+	6',2	6',2	145° 14' 46"	75,94
B	25 59 14	+	0,4	14,4	169 15 54	547,91
III	68 6 54	+	5,4	57,4	211 21 17	755,45
B	99 15 40	-	10,9	29,1	242 50 8,5	239,245
A	110 9 6	-	2,9	5,1	255 25 42,5	240,19

Punkt II.

IV	0° 0' 0'	-	0',4	- 0',4	549° 15' 54"	547,91
I	5 50 57	+	0,5	57,5	555 4 52	482,55

Punkt III.

A	0° 0' 0'	-	0',0	- 0',0	15° 46' 48"	599,06
B	2 54 56	-	0,4	55,6	18 41 24	564,45
IV	15 54 29,5	-	0,8	28,7	51 21 17	755,45
I	29 57 51,5	+	1,2	52,7	56 44 21	751,10

Die nach einer früheren, weniger genauen Reduktion benutzte Entfernung III—IV war 755,7, (S. 115,) also um 0,25 Meter grösser als die jetzige Ausgleichung ergeben hat.

Von allen diesen Punkten war B, (d. h. der Boden an diesem Punkte,) der niedrigste. Die Zenithdistanzen haben die nachstehenden Höhen über B gegeben.

A (Boden)	+	0,16 Meter.
I (")		82,49 "
II (")		19,89 "
III (")		68,16 "
IV (Obere Fläche des Pfeilers)		77,10 "
IV (Boden)		76,00 "

Der Krater des Siamtats ist von Jungbuhn in seinem klassischen Werke: *«Jawa, dezelfde gedaante, bekoeding en inwendige structuur, 2^e verbesserte Ausgabe, Amsterdam, 1850—53, (3 Theile mit Atlas)»* II Theil, S. 153—193, genau beschrieben worden, und diese Beschreibung ist von einem Plane* begleitet. Jungbuhn besuchte den Krater zum zweiten Male am 19 Juni 1847; als ich 19 Jahre später da war, stimmte die Beschreibung noch vollständig. Der Kraterrand hat eine längliche Gestalt; die lange, nach Nord-Ost gerichtete Achse, besitzt etwa 760 Meter; die kurze, nach NW. gerichtete, etwa 510 Meter Länge. In diesem Sinne ist aber der Krater sehr ungleich breit, am süd-westlichen Ende, wo sich der eigentliche, immer Wasserdampf ausstossende Krater befindet, ist er am breitesten.

Der Pfeiler IV war behufs der Triangulation der Residentchaften Tagal und Palaoagan gebaut, und stand also am N.O. Punkte der Bandoe, östlich von der Schlucht, welche von dem Kraterboden nordwärts hinunterläuft. Die Aussicht von diesem Punkte war, wenn nur die untere Luft nicht zu neblig war, z. B. nach heftigem Regen, überaus prächtig; von der Nord-Küste war der ganze Theil zwischen dem «Hoek van Pamaoekan» (107°47' O. Länge von Greenwich) bis zum Moerig-Gebirge (nahe 111°) sichtbar, von der Südküste der Strand der Residentchaften Djokjakarta, Bagien und Bangjemas, während weiter westlich die niedrigen Hügel der Preanger-Regentschaften sich zeigten. An der Nordseite Java's ist das Meer überhaupt ruhig, es ist ja durch die grosse Insel Borneo vor den Wellen der chinesischen See geschützt; an der Südseite aber ist Java dem Ocean ausgesetzt, und dort sieht immer mehr oder weniger Brandung, welche sogar mit den blossen Augen vom Siamat wie eine weisse Linie sichtbar ist. Im Westen sind der Gedé (bei Boitenong) und der Pangrango, im Osten der Merapi, der Meraboor, der Soembing, der Sindoro und der Lawoe sichtbar. Der Längenauschied zwischen Pangrango und Lawoe beträgt nicht weniger als 4 Grad.

* Nach der am Fusse des Planes befindlichen Scala (2000 Pariser Fuss = 322 mm.) würde diese etwa = 1/2000 sein, factisch ist dieselbe aber, wie aus meiner Triangulation hervorgeht, nur etwa 1/2650.

§ 5. Die Verbindung von Batavia mit dem primären Dreiecksnetze.

Von je her war der Zeitball, und später das an derselben Stelle errichtete Zeitsignal * der Nullpunkt der Längen im Ost-Indischen Archipel; es war also daran gelegen, diesen Punkt mit dem Dreiecksnetze zu verbinden. Von den weiten Berggipfeln war jedoch das Zeitsignal nicht sichtbar, wohl aber der weissgetünchte Leuchtturm, welcher, um etwa 2500 Meter nördlicher, an derselben, nämlich an der westlichen, Seite des Hafenkanals stand.

In den Jahren 1866 und 1867 wurde dieser Leuchtturm zu wiederholten Malen mit in die Messungen aufgenommen, und zwar zu Embet, Pangrango, Sangabowana I, Salak I und Hambalang, (siehe die dieser Abtheilung zugefügte Tafel, welche dieselbe Aufschrift trägt wie dieser Abschnitt).

Zehn Jahre später wurde auf dem ganz in der Nähe des Zeitsignals sich befindenden »Uitijk«, (Hafenwarte,) ein Heliotrop aufgestellt, welches von Mentjé, Salak I und Hambalang eingeschritten wurde. Die von Herrn Woldringh ausgeführten Messungen auf dem Hambalang wurden leider erst aufgefunden, nachdem das Basisnetz von Simprak schon längst ausgeglichen war, so dass dieselben nicht bei der Ausgleichung des zweiten Theiles dieses Netzes verwendet werden sind, s. 5^e Abth. § 8 und Tafel VIII. Der scharfe Winkel Poetri-Mentjé wurde von Herrn Woldringh um 4',09 grösser, der stumpfe um 4',09 kleiner gefunden als die genannte Ausgleichung gegeben hatte, und es war nicht möglich, wie der Versuch zeigte, dem geschlossenen Winkel eine so grosse Aenderung zu geben. Deshalb musste der im J. 1877 gemessene Winkel die Correction erhehlen und diese auf die zwei Richtungen, Poetri und Mentjé getheilt werden.** Die relative Lage des Heliotrops am »Uitijk« und des Signalmastrs war nicht hinreichend deutlich angegeben worden, weshalb ich im J. 1887 das Ministerium der Colonien ersuchte, sich aus Batavia die nöthigen Berichte hiernüber anzuschaffen. Von der empfangenen, vom Ingenieur der Civilen Oeffentlichen Arbeiten J. Scheffer im October 1887 entworfenen Karte, gibt die genannte Tafel eine Copie. Es folgt aus derselben und den ebenfalls mitgetheilten Messungen für die relative Lage des Zeitsignals in Bezug auf den Heliotrop am »Uitijk«: Entfernung 16,25 Meter, im Azimuth 70° 11' 5. Mittels dieser Elemente sind die in Mentjé, Salak und Hambalang abgelesenen Richtungen »Uitijk« auf das Zeitsignal reducirt worden.

* Dieses Signal wurde von zwei runden Scheiben gebildet, welche an den Enden einer horizontalen Achse angebracht worden waren; dieser horizontale Achse befand sich nahe bei der Spitze eines hohen Mastes, und konnte mittels eines Hebels plötzlich um 90° gedreht werden, so dass die Scheiben von einem vertikalen in einen horizontalen Stand gebracht werden konnten, und umgekehrt.

** Diese Differenz kann daraus entspringen sein, dass der im J. 1866 gebaute Pfeiler nur für ein 8 z. Universal-Instrument dienen konnte, und dass Herr Woldringh später, im J. 1877, entweder für das grössere Instrument Gross P. M. II einen stärkeren Pfeiler an seiner Stelle hat errichtet, oder den alten Pfeiler an einer Seite hat verstärken lassen, und dass, in dem einen oder anderen Fall, die Achse des neuen Pfeilers nicht vollkommen mit der Achse des alten zusammenfiel. Die Entfernung bis Poetri beträgt nur 9997 Meter, in welcher Distanz 4" nur 0,192 Meter ausmacht. Diese Hypothese ist also nicht ganz zu verworfen. Dennoch lehnen wir uns nicht für befragt, der Richtung nach Leuchtturm oder Heliotrop Uitijk eine Correction anzubringen.

Die Verbindung dieser zwei Punkte, Leuchtturm und Uitijk, oder lieber Zeitsignal, mit dem Netze hat viele Mühe verursacht, theilweise die Folge davon, dass nicht bereits auf Java ein Versuch, dieselbe zu berechnen, angestellt worden war; in diesem Falle würde es nämlich möglich gewesen sein, die abweichenden Winkel nachzuweisen, oder sonst wie eine locale Untersuchung anzustellen.

Indem also die geographische Lage, sowohl des Leuchthturms als des Zeitsignals, mittels Ausgleich einiger Richtungen durch die Triangulation bestimmt worden war, so konnte ihre relative Lage abgeleitet werden. Uebrigens aber war diese auch anderweitig und sogar mannichfach bestimmt; die Einzelheiten dieser Bestimmungen sind aber theils nicht genau bekannt, theils aber, so weit dies der Fall ist, erhellt nur, dass die Entfernung ohne Zweifel in Folge der Terrainsverhältnisse (hier verschiedene Gebirgen), durch ziemlich spitze Dreiecke gefunden worden ist; auch ist es zweifelhaft, wie die benutzte Maass-Einheit controlirt worden war, so dass wir schliesslich nur die durch die Triangulation gefundene Positionen als endgültig betrachten.*

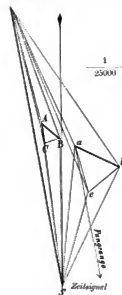
Es folgen hier also die gemessenen Richtungen und Dreiecke; zunächst diejenigen, welche sich auf den Leuchththurm und sodann diejenigen, welche sich auf das Zeitsignal beziehen. Weil mehr Richtungen gemessen worden waren, als für die Bestimmung dieser zwei Punkte notwendig war, so hat eine Ausgleichung stattgefunden, der die Zahlen in der Columnne »Correction« ihr Entstehen zu danken haben.

Merkwürdiger Weise wurde von Adjutant-Unteroffizier Bergmann im Jahre 1872, mittels eines G. z. Un. Instr. mit Nonien, der Winkel um 4 bis 5° nach entgegengesetzter Seite abweichend gefunden, wie man aus den nachher folgenden secundären Richtungen wird sehen können.

len. Auch bei den Messungen vom damaligen Assistenten J. A. Oufemans auf dem Salak im Mai und Juni 1876 zeigte sich eine Unregelmässigkeit. Ausser der in der 3ten Abth. S. 39 angeführten Messung von Telaga—Utkijk, bei Telaga 0°0', also Poetri 131°20', Fernrohr links und rechts, war noch eine Messung bei Poetri 126°, nur bei Fernrohr links, vorhanden, welche a. a. O. nicht aufgenommen ist, nun aber, weil sie gut stimmte, auf das Mittelpunkt des Instruments relocirt, mit halben Gewichte aufgenommen worden ist, und ausserdem eine Messung bei Poetri auf 260°, bei Fernrohr links und rechts, welche den Utkijk um etwa 16° mehr westlich gab als die bereits genannten Messungen. Es war unmöglich, solche abweichende Resultate zu einem Mittel zu vereinigen; es fand sich in dem Beobachtungsprotokoll zwar eine Bemerkung von der Handschrift des Herrn Woldringh: »diese Richtung scheint um 16° fehlerhaft zu sein«, aber erstens war der Unterschied grösser, zweitens waren die beiden Mikroskope jedesmal auf zwei Theilstriche doppelt eingestellt und abgelesen worden, so dass der Beobachter sich eine ungeheure Anzahl Male bei der Ableitung um 16° hätte irren müssen. Es blieb also in diesem Falle nichts anderes übrig als die Hypothese, dass entweder der Heliotrop auf dem Utkijk sich, aus Unwissenheit oder aus anderer Ursache, um etwa 5 Meter nach Westen, also nach dem Rand der Plattform veretzt, oder der Beobachter, auf irgend welche Weise, verkehrt eingestellt habe. Die Messung ist allenfalls ausgeschlossen worden, und diese Massregel hat sich durch die geringen noch notwendigen Correctionen der Richtungen (S. unter S. 131.) bewährt.

Leuchthturm N

*) Es wurden nämlich folgende Werthe gefunden:



Leuchthturm vom Zeitsignal.

Entfernung.	Animath.
Briefliche Mittheilung, datirt 8 März 1869, wahrscheinlich von Kalaster-Bureau	2507,0 176° 6'
1 ^{te} Bestimmung vom Ingr. Woldringh, im April 1869, mittels Triangulation. Zwei Basen, AC und AB, von 187,35 und 291,80 M.	2496,8
2 ^{te} Bestimmung von demselben, April 1869, mittels Triangulation. Basis ab von 433,1 Meter; für die Orientierung wurde in a auch der Phagrago eingestellt; ob dort aber ein Heliotrop auf dem Pfeiler leuchtete, wird nicht erwähnt; das Animath Leuchthturm-Zeitsignal ist aber in der Hypothese berechnet, der Heliotrop sei eingestellt worden	2495,5 170 13 28
Mittheilung aus Batavia, datirt Oct. 1867, reducirt auf das Zeitsignal	2491,64 170 14
Durch die Triangulation von Java	2502,3 170 15, 6

RICHTUNGEN ZUR BESTIMMUNG DES LEUCHTHURMS ZU BATAVIA.

Zielpunkt.	Richtungen.			Azimuth.	Entfernung in Metern.
	Gemessen.	Correction.	Ausge- glichen.		

Endoet.

E. Metzger, Dec 1867, Gross P. M. II.

Karang	0° 0' 0",0	— 1",1	— 1",1	518° 15' 2",4	51859,5
Leuchthurm Batavia.....	82 42 46,5	— 0,4	46,4	40 55 49,6	75066,0
Pangrango..... aus dem primären Netze			104 11 7,7	68875,1

Pangrango.

E. Metzger, Mai und Juni 1867, P. M. III.

Salak I.....	0° 0' 0",0	+ 1",0	1",0	285° 21' 9",0	20285,2
Endoet..... aus dem primären Netze			284 6 54,2	68875,1
Leuchthurm Batavia.....	65 7 55,6	+ 4,1	59,7	546 29 7,7	75665,7
Sangaboewana I..... aus dem primären Netze			54 55 9,7	54554,7

Sangaboewana I.

E. Metzger, Dec. 1866, P. M. III.

Pangrango	152° 7' 19",4	+ 0",6	20",0	254° 51' 22",7	54554,7
Salak I..... aus dem primären Netze			255 55 45,7	55565,8
Hambalang	194 54 46,4	+ 0,1	46,5	277 18 49,2	55884,9
Leuchthurm Batavia.....	256 41 55,7	— 5,6	52,4	519 25 54,8	70666,9

Salak I.

E. Metzger, April 1867, P. M. III.

Sangaboewana I.....	50° 51' 17",9	+ 0",9	18",8	75° 59' 8",8	55565,8
Leuchthurm Batavia	521 55 55,7	+ 0,6	54,5	6 41 44,5	67958,0

Hambalang.

E. Metzger, Febr. und März 1867, P. M. III.

Poetri.....	0° 0' 0",0	+ 0",4	0",4	555° 25' 5",4	9906,9
Sangaboewana I..... in dem Basisnetze berechnet			97 21 1,8	55884,9
Leuchthurm Batavia.....	552 42 1,4	+ 1,7	5,1	548 7 6,1	50194,4

Leuchthurm Batavia.

Sangaboewana I.....	berechnet	159° 28' 40",1	70666,9
Pangrango	"	166 50 12,2	75665,7
Hambalang	"	168 7 45,1	50194,4
Salak I.....	"	186 41 15,5	67958,0
Endoet.....	"	220 52 52,5	75066,0

DREIECKE.

Dreieckspunkt.	Verbesserte Winkel.	Log. Sin. des Winkels.	Log. Sin. der gegenüberstehenden Seite.	Addi- tament.
----------------	------------------------	---------------------------	---	------------------

N°. 225.

<i>Leuchthurn Batavia</i>	54° 22' 40",2	9,910024	4,858041	9
Pangrango	62 22 15 ,5	9,947416	4,875455	10
Enloet	65 15 18 ,1	9,950860	4,878877	10
	$\alpha = 11,8$			

N°. 224.

<i>Leuchthurn Batavia</i>	27° 1' 52",1	9,657427	4,558254	2
Pangrango	68 24 2 ,0	9,968580	4,849207	9
Sangboewana I	84 54 52 ,1	9,998051	4,878877	10
	$\alpha = 6,2$			

N°. 225.

<i>Leuchthurn Batavia</i>	47° 12' 55",4	9,865905	4,744786	6
Sangboewana I	65 50 9 ,1	9,935051	4,852252	8
Salok I	68 57 24 ,5	9,970026	4,849207	9
	$\alpha = 9,0$			

N°. 226.

<i>Leuchthurn Batavia</i>	28° 59' 5",1	9,680762	4,554909	2
Sangboewana I	42 7 5 ,6	9,826504	4,700651	5
Hambalang	109 15 55 ,7	9,975060	4,849207	9
	$\alpha = 4,4$			

RICHTUNGEN ZUR BESTIMMUNG DES ZEITSIGNALS ZU BATAVIA.

Zielpunkt.	Richtungen.			Azimuth.	Entfernung in Metern.
	Gemessen.	Correction.	Ausge- glichen.		

Mentjéré.

C. Woldringh, Dec. 1876 und Jan. 1877; Gross P. M. H.

(S. 5^e Abth., S. 27, 42 und 60).

Poetri	0° 0' 0",0		0",00	86° 54' 58",00	
Hambalang	16 52 27,41		27,41	105 47 25,41	54118,45
Salak I.	65 45 24,19		24,19	150 40 22,19	50595,75
Zeitsignal Batavia	504 11 45,04	+ 0",14	45,18	51 6 45,18	44998,55

Hambalang.

C. Woldringh, Febr. 1877; Gross P. M. H.

(S. 5^e Abth., S. 60).

Poetri	0° 0' 0",00	- 2",22	0",00	555° 25' 5",47	
Mentjéré	288 20 15,49	+ 1,87	19,58	285 45 25,05	54118,45
Zeitsignal Batavia	552 55 17,68	+ 0,17	20,07	548 0 25,54	47695,89
Salak I.	229 21 56,95		59,15	224 46 42,62	25890,44

Salak I.

J. A. Oudemans, Mai und Juni 1876; P. M. V.

(S. 5^e Abth., S. 50 und 59).

Poetri	0° 0' 0",00		0",00	51° 42' 42",58	
Mentjéré	298 56 45,91		45,91	550 59 26,49	50595,75
Zeitsignal Batavia	555 56 8,57	- 0,42	8,15	7 18 50,75	65561,62
Hambalang	15 5 6,41			44 47 48,99	25890,44

Zeitsignal Batavia.

Hambalang	berechnet	168° 0' 59",18	47695,89
Salak I.	"	187 18 20,42	65561,62
Mentjéré	"	211 5 20,22	44998,55

DREIECKE.

Dreieckspunkt.	Verbesselter Winkel.	Log. Sin. des Winkels.	Log. Sin. der gegenüberstehenden Seite.	Addi- tament.
----------------	----------------------	------------------------	---	------------------

N°. 227.

Mentjéré.....	119° 55' 59",01	9,9594556	4,8166420	77
Salak.....	56 59 24,24	9,7759885	4,6551949	56
Zeitsignal.....	25 46 59,79	9,6656047	4,4828111	17
	$\varepsilon = 5,04$			

N°. 228.

Salak.....	57° 28' 58",26	9,7842776	4,6784586	41
Hambalang.....	125 15 45,14	9,9224610	4,8166420	77
Zeitsignal.....	19 17 21,25	9,5189572	4,4151582	12
	$\varepsilon = 2,64$			

N°. 229.

Mentjéré.....	72° 40' 42",25	9,9798455	4,6784586	41
Hambalang.....	64 15 0,49	9,9545798	4,6551949	56
Zeitsignal.....	45 4 21,02	9,8545719	4,5529870	21
	$\varepsilon = 5,74$			

GEGENSEITIGES AZIMUTH UND ENTFERNUNG VON LEUCHTTHURM UND ZEITSIGNAL.

Ans dem Dreieck	Azimuth. Leuchth.-Signal.	Entfernung.
Hambalang, Zeitsignal, Leuchthurm.....	170° 15' 27",4	2502,544
Salak, Zeitsignal, Leuchthurm.....	54,9	,556
In Mittel, Azimuth Leuchthurm-Zeitsignal:	170° 15' 51",15	2502,550
Convergenz der Meridiane.....	1,47	

Azimuth Zeitsignal-Leuchthurm: 550° 15' 29",7

§ 6. Die Verbindung von Java mit Sumatra.

Obwohl im Jahre 1868, als die Triangulation der Residentchaft Bantam, der westlichsten von Java, nahezu vollendet war, noch nicht die Rede von der Triangulation der „Buitenbezittingen“ (d. h. der Inseln ausser Java) war, so wurde doch vom Ingenieur Metzger auf die Möglichkeit, und daher auf das Wünschenswerthe hingewiesen, schon vorläufig eine Verbindung von Bantam mit der gegenüberliegenden, zu Sumatra gehörenden Residentchaft „Lampongsche Districten“ herzustellen. Mittels der Inseln Krakatae und Sebésí konnten (s. die Tafel: das Primäre Dreiecksnetz, nebst Verbindung mit Sumatra) die Gipfel Radja-basa, Tangka, Telok und Keizerspiek leicht bestimmt werden, so dass, wenn später zu einer Triangulation der Insel Sumatra beschlossen würde, das Dreiecksnetz entweder mit diesen Punkten anfangen, oder an dieselben angeschlossen werden könnte.

Die damaligen Assistenten Soeters und Woldringh wurden mit dieser Verbindung beauftragt. Obgleich keine Heliotropisten zur Verfügung standen, und also auf allen Gipfeln, über oder neben den Pfeilern Signale errichtet werden mussten, so sollten die Messungen doch primär ausgeführt werden, d. h. bei Fernrohr rechts und links, in sechs Kreislagen, mit je verschiedenen Anfangspunkten der Mikrometertrommeln. Nachdem die Vorbereitungen zu dieser Triangulation theils im J. 1868, theils im Januar und Februar 1869 getroffen, und die Beobachtungen auf der Java'schen Seite in Batoehéidung, Karang und Gelé im Spätjahr 1868 von Herrn Woldringh ausgeführt worden waren, besorgte Herr Soeters in der Periode März bis Juni 1869 die Messungen auf den Sumatra'schen Gipfeln.

Bei der späteren Reduction dieser Messungen ergab es sich, dass die bei verschiedenen Kreislagen gemessenen Winkel unter sich stark verschieden waren; dies wurde aber dadurch erklärt, dass die ebenfalls von Herrn Soeters ausgeführte Bestimmung der periodischen Ungleichheiten der Mikrometerschrauben der Mikroskope, an einer dieser Schrauben eine starke Unregelmässigkeit verrieth; die Anwendung einer aus dieser Bestimmung abgeleiteten Correctionstafel machte die Uebereinstimmung zwischen den einzelnen Resultaten sehr viel besser, die Mittelzahlen für die Richtungen wichen aber nicht viel von den früheren ab. Obwohl also die Resultate, auch wegen des Gebrauches von Bambus-Signalen, nicht den vollen Werth guter primärer Messungen besitzen, und eine wiederholte Messung, wie auch das Messen auf den Inseln Sebésí und Krakatae durch Umstände verhindert worden ist, so sind wir doch immerhin berechtigt, den Zweck der Operation, die Verbindung von Java mit Sumatra, als hinreichend gelungen zu betrachten; die Unsicherheit in der Lage der Pfeiler auf den obengenannten Sumatra'schen Berggipfeln wird allenfalls nicht mehr als wenige Decimeter betragen.

Bei der Untersuchung des Instruments zu Batavia wurde eine Beschädigung der Brust gefunden, mit welcher die Mikrometerschraube gegen das Gehäuse ruht; sobald vom Mechaniker der Genie Stralmeier diese Brust abgedreht worden war, stimmten die mit verschiedenen Anfangspunkten gemessenen Fadendistanzen sehr gut mit einander.

Wir werden nun die corrigirten Messungen folgen lassen.

Zielpunkt.	Richtungen.			Azimuth.	Entfernung in Metern.
	Gemessen.	Correction.	Ausge- glichen.		

Karang.

C. Woldringh, März—April 1869, P. M. III.

Gedé	0° 0' 0",0	— 0',6	— 0',6	2° 59' 28",5	57985,1
Poelo Krakataoe	278 45 42,6	+ 1',6	44,2	281 25 15,1	68987,7
Poelo Sibesi	296 54 54,9	+ 0',5	55,2	299 54 4,1	71244,6
Radjabasa	516 25 55,2	— 1',4	51,8	519 5 0,7	71251,0
Batoehideung	S. Seite 54			257 17 46,0	55950,6

Gedé.

C. Woldringh, März 1869, P. M. III.

Karang	0° 0' 0",0	+ 2',5	2',5	182° 59' 22",2	57985,1
Poelo Krakataoe	68 5 15,1	— 1',7	15,4	250 42 55,5	75509,9
Poelo Sibesi	84 50 20,8	— 1',8	19,0	267 29 58,9	65788,6
Radjabasa	105 50 20,6	+ 1',1	21,7	288 9 41,6	50955,1
Leuchthurm Anjer	S. Seite 54			251 11 55,0	25560,8

Batoehideung.

C. Woldringh, April 1869, P. M. III.

Karang	0° 0' 0",0	+ 0',1	0',1	57° 20' 50",8	55950,6
Poelo Krakataoe	275 16 2,4	— 0',2	2,2	552 56 52,9	48255,5

Leuchthurm Anjer.

Radjabasa	berechnet	518° 14' 40",5	42772,5
Siehe weiter Seite 53.			

Radjabasa.

H. T. Soeters, März 1869, P. M. V.

Leuchthurm Anjer	0° 0' 0",0	— 1',6	— 1',6	158° 16' 16",1	42772,5
Karang	0 51 21,5	+ 0',7	22,2	159 7 59,9	71251,0
Poelo Krakataoe	69 20 22,3	+ 0',5	25,1	207 56 40,8	45509,9
Poelo Sibesi	81 7 46,9	+ 5',5	50,2	219 24 7,9	24147,0
Tangka	159 25 55,5	+ 1',2	56,5	277 59 54,2	58084,0
Telok	168 22 59,9	— 0',2	59,7	596 59 17,4	65258,8
Telok Betong	174 5 28,6	— 5',8	24,8	512 19 42,5	54261,1
Gedé	529 56 4,5	— 0',1	4,4	108 12 22,1	50955,1

Zielpunkt.	Richtungen.			Azimuth.	Entfernung in Metern.
	Gemessen.	Correction.	Ausge- glichen.		

Telok Betong.

H. T. Soeters, Mai 1869, P. M. V.

Radjabasa	0° 0' 0",0	+ 4",5	4",5	152° 21' 50",0	54261,1
Telok	148 49 25",3	- 4",5	19",0	281 11 4",7	12457,6

Telok.

H. T. Soeters, März 1869, P. M. V.

Telok Betong	0° 0' 0",0	+ 2",8	2",8	101° 41' 42",4	12457,6
Radjabasa	25 50 25",5	- 4",4	25",9	126 42 5",5	65258,8
Poelo Sibési	46 8 10",4	(- 15",2)	7",57",2	147 19 56",8	68470,0
Tangka	88 21 50",4	- 1",7	48",7	189 55 28",5	51654,2
Keizerspiek	169 2 58",7	+ 0",2	58",9	270 14 18",5	55260,0

Tangka.

H. T. Soeters, März 1869, P. M. V.

Keizerspiek	0° 0' 0",0	- 1",4	- 1",4	505° 12' 20",0	57572,9
Telok	66 21 25",8	- 0",5	25",5	9 55 44",9	51654,2
Radjabasa	154 50 42",9	- 2",8	40",1	97 45 1",5	58084,0
Poelo Sibési	178 51 29",5	+ 5",5	52",6	122 5 54",0	49812,5
Poelo Krakataoe	199 29 16",6	+ 1",5	17",9	142 41 59",5	60258,5

Keizerspiek.

H. T. Soeters, Mai 1869, P. M. V.

Telok	0° 0' 0",0	- 1",8	1",8	90° 17' 2",2	55260,0
Tangka	52 57 45",6	+ 1",8	47",4	125 14 51",4	57572,9

Poelo Sibési.

Radjabasa	berechnet	59° 24' 58",8	24147,0
Gedé	"	87 55 15",5	65788,6
Karang	"	119 57 58",6	71244,6
Tangka	"	502 1 54",5	49812,5
Telok	"	527 17 57",7	68470,0

Poelo Krakataoe.

Radjabasa	berechnet	27° 57' 51",8	45509,9
Gedé	"	70 46 50",6	75509,9
Karang	"	101 29 10",9	69897,7
Batoekidung	"	152 57 52",6	48255,5
Tangka	"	522 59 56",6	60258,5

Dreieckspunkt.	Verbeserter Winkel.	Log. Sin. des Winkels.	Log. Sin. der gegenüberstehenden Seite.	Addi- tament.
----------------	---------------------	------------------------	---	---------------

Dreieck N°. 250.

Radjabasa	50° 55' 17",9	9,710849	4,579610	5
Gedé	105 50 19,4	9,985899	4,852960	9
Karang	45 54 27,5	9,858405	4,707166	5
$\epsilon = 4,8$				

N°. 251.

Radjabasa	50° 5' 54",1	9,699892	4,407575	1
Gedé	56 57 46,6	9,925409	4,651160	5
Leuchthurm Anjer	92 58 22,1	9,999415	4,707166	5
$\epsilon = 2,8$				

N°. 252.

Poelo Krakataoe	51° 8' 41",7	9,891590	4,751991	5
Karang	44 7 27,0	9,842744	4,685545	4
Batoehideung	84 45 57,9	9,998162	4,858765	8
$\epsilon = 6,6$				

N°. 255.

Poelo Krakataoe	50° 42' 30",5	9,708175	4,579610	5
Karang	81 14 15,2	9,994901	4,866556	10
Gedé	68 5 11,1	9,967528	4,858765	8
$\epsilon = 6,6$				

N°. 254.

Poelo Krakataoe	45° 8' 58",8	9,854952	4,707166	5
Gedé	57 27 8,2	9,785976	4,650190	4
Radjabasa	99 24 18,7	9,994122	4,866556	10
$\epsilon = 5,8$				

Dreieckspunkt.	Verbesserte Winkel.	Log. Sin. des Winkels.	Log. Sin. der gegenüberstehenden Seite.	Addi- tament.
----------------	------------------------	---------------------------	---	------------------

N°. 255.

Tangka	44° 58' 57",8	9,849512	4,656190	4
Radjabasa	70 5 15,4	9,975154	4,780012	6
Poelo Krabataoe	64 58 15,2	9,957175	4,764050	6
	$\epsilon = 6,5$			

N°. 256.

Poelo Sibeni	48° 8' 14",5	9,872009	4,707166	5
Radjabasa	111 11 45,8	9,969578	4,804756	7
Gele	20 40 2,7	9,547704	4,582861	1
	$\epsilon = 2,9$			

N°. 257.

Poelo Sibeni	97° 25' 24",2	9,996577	4,764050	6
Radjabasa	58 15 46,5	9,929659	4,697552	5
Tangka	24 20 52,5	9,615188	4,582861	1
	$\epsilon = 5,9$			

N°. 258.

Telok	62° 51' 24",9	9,949526	4,764050	6
Radjabasa	28 59 25,2	9,685451	4,509135	2
Tangka	88 9 16,6	9,999775	4,814499	8
	$\epsilon = 4,7$			

N°. 259.

Telok	20° 57' 55",5	9,546870	4,582861	1
Radjabasa	87 15 9,5	9,999501	4,855492	8
Poelo Sibeni	72 7 21,1	9,978507	4,814499	8
	$\epsilon = 4,9$			

N°. 240.

Telok Betong	148° 49' 14",7	9,714093	4,814499	8
Radjabasa	5 40 25,1	8,995029	4,095455	0
Telok	25 50 21,1	9,654078	4,754484	5
	$\epsilon = 0,9$			

48

Dreieckspunkt.	Verbesselter Winkel.	Log. Sin. des Winkels.	Log. Sin. der gegenüberstehenden Seite.	Addi- tament.
----------------	-------------------------	---------------------------	---	------------------

N^o. 241.

Keizerspik	52° 57' 49",1	9,755684	4,500155	2
Tangka	66 21 24,9	9,964925	4,726596	5
Telok	80 40 50,2	9,994250	4,758701	6
	$\epsilon = 4,2$			

Bemerkung. Die Dreieckspunkte Poelo Krakataoe und Poelo Sibesi sind durch die Eruption des Krakataoe-Berges am 27 August 1885 verloren gegangen.

**§ 7. Der mittlere Fehler einer Richtung, abgeleitet aus den
Stations-Ausgleichungen.**

Wir haben, um Raum zu sparen, die Stations-Ausgleichungen für das ganze primäre Netz nicht abdrucken lassen, werden aber die sämtlichen für (PV) (s. Dritte Abtheilung, S. 20) gefundenen Werthe, wie auch die Theiler und die für jede Station geltenden m^2 und m mittheilen. In Verbindung mit späteren Untersuchungen wird diese Mittheilung nicht ohne Interesse sein.

**ZUSAMMENSTELLUNG DER FÜR DIE MESSUNGEN ERSTER ORDNUNG AUS DEN
STATIONS-ANSGLEICHUNGEN ABGELEITETEN SUMMEN DER FEHLERQUADRATE UND DER
AUS DENSELBEN BERECHNETEN MITTLEREN FEHLER JEDER RICHTUNG.**

Dreieckspunkte.	(PV)	Theiler.	m^2	m
Instrument von Repsold.				
Beobachter: Soeters.				
Logantong.....	16,85	25	0,67	\pm 0,82
Kaligong.....	16,88	15	1,12	1,06
Pemoenggalan.....	56,15	45	1,51	1,15
Randong.....	11,58	20	0,58	0,76
Weroe.....	15,41	20	0,77	0,88
Baso.....	44,19	40	1,10	1,05
Banjoewalit.....	25,12	25	0,92	0,96
Safau.....	8,66	18	0,48	0,69
Gading.....	17,42	20	0,87	0,95
Segarogewong.....	25,54	25	1,02	1,01
Betak (Bendang).....	12,21	20	0,61	0,78
Gilan.....	0,51	5	0,10	0,52
Djoerangsapi.....	16,88	25	0,68	0,82
Tangsil.....	8,77	27	0,55	0,77
Petaloengan.....	9,52	25	0,57	0,61
Poetri.....	4,62	20	0,25	0,48
Tanahwoelan.....	4,27	20	0,21	0,46
Soeket.....	5,54	20	0,27	0,52
	295,70	411	0,72	\pm 0,85
Beobachter: Van Asperen.				
Ardoeno (Soerahajj).....	56,84	26	1,42	\pm 1,19
Bongge.....	20,76	16	1,50	1,14
Semoekron.....	1,24	5	0,41	0,64
Argowaelan.....	7,16	15	0,55	0,74
Poelo Ketapang.....	22,79	15	1,52	1,25
Pakem.....	16,65	19	0,88	0,94
	105,44	92	1,15	\pm 1,07

Dreieckspunkte.	(F F')	Theiler.	m ²	m
Beobachter: Van Isselouden.				
Besih.....	50,25	55	0,92	± 0',96
Argopoero.....	55,80	56	1,00	1',00
Loeroes.....	15,75	24	0,66	0',81
Bika.....	4,65	7	0,66	0',81
Majang.....	55,00	25	1,45	1',20
Kemirisonga.....	22,58	25	0,90	0',95
Besir.....	16,41	27	0,61	0',78
Kafiasiu.....	24,59	20	1,25	1',11
Lemboc.....	22,27	50	0,74	0',86
Socket.....	21,79	56	0,61	0',78
Dezog.....	4,22	7	0,60	0',78
Saluri.....	54,21	20	1,71	1',51
Boeroan.....	12,42	15	0,85	0',91
Ikan.....	24,59	25	0,98	0',99
Tandjong Pakem.....	22,14	25	0,89	0',94
	544,25	575	0,92	± 0',96

Instrument: Gross P. M. I.

Beobachter: Flory.

Morodemak.....	59,68	20	1,98	± 1',41
Banjoepahit.....	16,86	25	0,75	0',85
Salam.....	5,68	20	0,29	0',54
Genoek.....	7,74	10	0,77	0',88
Gading.....	46,51	55	0,88	0',94
Segorogoenong.....	15,87	20	0,69	0',85
Wunotjolo.....	11,58	19	0,61	0',78
Toengangan.....	55,56	22	1,55	1',24
Patajakan.....	5,75	11	0,54	0',58
Watortjeleng.....	118,58	55	5,58	1',84
Dradjat.....	54,06	8	4,26	2',06
Kajoeligi.....	15,97	17	0,94	0',97
Penangoengan.....	41,99	17	2,47	1',57
Petoekangan.....	75,29	27	2,71	1',65
Paserooran.....	6,82	10	0,68	0',85
Silfret.....	54,70	24	1,45	1',20
Rangri.....	50,68	15	2,04	1',45
Madoe.....	58,11	15	2,54	1',59
Rantja.....	10,98	12	0,92	0',96
Djoemiang.....	22,09	8	2,76	1',66
Tamboko.....	29,56	16	1,85	1',56
Lagoendi.....	27,42	12	2,29	1',51
Boeroan.....	9,76	16	0,61	0',78
	675,92	450	1,57	± 1',25

Dreieckspunkte.	(F'F)	Theiler.	m'	m
-----------------	-------	----------	----	---

Beobachter: Soeters.

Tembok	10,96	15	0,75	\pm 0',85
Ongaran	61,52	57	1,96	1',29
Samarang	6,58	10	0,66	0',81
Merlaboe	105,55	55	1,95	1',40
Nglanggran	50,55	48	1,05	1',05
Gambiranom	84,55	24	5,51	1',87
Ratawoe	25,21	20	1,26	1',12
Lawoe	57,61	45	0,84	0',92
Pandau	24,47	25	0,98	0',99
Wilis	15,87	12	1,52	1',15
Nongko	45,72	52	0,90	0',95
Boetak (Kediri)	41,06	52	1,28	1',15

507,21	575	1,56	\pm 1',17
--------	-----	------	-------------

Beobachter: J. A. Oudemans.

Sougoengloe	41,07	27	1,52	\pm 1',25
Gébang	51,01	15	5,40	1',84
Slamat	47,22	45	5,15	1',77

139,50	57	2,44	\pm 1',50
--------	----	------	-------------

Beobachter: Teunissen.

Gepak	12,98	20	0,65	0',81
-------------	-------	----	------	-------

Dreieckspunkte.	(U')	Theiler.	m'	m
-----------------	----------	----------	------	-----

Instrument: Gross P. M. II.

Beobachter: Metzger.

Hondjej	8,80	10	0,88	\pm 0',94
Batoehideung	10,04	10	1,00	1,00
Poelo Tindjil	11,19	8	1,20	1,10
Tjiloembem	51,06	57	0,84	0,92
Karang	14,95	25	0,60	0,77
Klandoug	52,00	22	1,45	1,20
Endoet	59,44	50	1,50	1,14
Sangaboewana II	58,55	54	1,72	1,51
Nangka	40,08	15	5,08	1,75
Dago	80,42	57	1,41	1,19
Saerangga	79,44	41	1,94	1,39
Patat	25,74	50	0,79	0,89
Poetri	59,55	29	1,56	1,17
Telaga	69,19	55	1,51	1,14
Pangrango	55,06	55	1,67	1,29
Tjikakap	28,02	10	2,80	1,67
Bitueng	25,55	20	1,17	1,08
Sangaboewana I	55,15	51	1,15	1,06
Tjiboentoe	54,84	20	2,74	1,66
Patoeha	115,87	45	2,57	1,60
Boerangrang	50,55	24	2,10	1,45
Pogor II	22,15	24	0,92	0,96
Tjikoera I	400,82	156	2,57	1,60
Pogor III	59,20	16	5,70	1,92
Tampomas II	71,65	45	1,67	1,29
Sawal	18,61	18	1,05	1,02
Bangkok	28,05	19	1,48	1,22
Kromon	29,56	20	1,48	1,22
Tjerimai IV	226,42	57	5,97	1,99
Kedaka	15,11	16	0,82	0,91
Losari	9,89	15	0,76	0,87
	1780,25	964	1,85	\pm 1',56

Beobachter: Woldringh.

Punkt I	8,25	10	0,85	\pm 0',91
Punkt IV	20,40	20	1,02	1,01
Boeboet	55,42	25	1,54	1,16
Tjitjadas	10,21	20	0,51	0,72
Mentjeré	21,00	50	0,70	0,85
Poetri	9,45	20	0,47	0,68
	102,71	125	0,82	\pm 0',91

Dreieckspunkte.	(<i>FF</i>)	Thriller	<i>m</i> ²	<i>m</i>
Beobachter: J. A. Oudemans.				
Pado Sangéan.....	15,75	15	0,92	± 0',96
Anjer.....	4,90	5	1,00	1',00
Karang.....	1,67	5	0,55	0',58
Gede.....	9,57	20	0,47	0',69
	29,78	45	0,66	± 0',82
Instrument P. M. II.				
Beobachter: Van Asperen.				
Kritjan.....	457,75	27	16,95	± 4',12 *
Instrument P. M. III.				
Beobachter: Waldringh.				
Batoehideung.....	560,95	55	10,92	± 5',50
Tjemiring.....	85,79	54	2,52	1',59
Slamat III.....	158,65	85	1,87	1',57
Kembang.....	52,44	15	4,65	2',01 **
	657,85	165	5,99	± 2',00
Instrument P. M. IV.				
Beobachter: Temissen.				
Ardjoeno (Baglen).....	54,58	12	4,55	± 2',15
Kembang.....	52,44	15	4,05	2',01 **
Prahae.....	118,11	28	4,22	2',05
	225,15	55	4,25	± 2',06
Beobachter: Van Isschuden.				
Ketjiri.....	186,09	51	6,00	± 2',45
Pasoeroan.....	108,02	12	9,00	5',00
Semonkron.....	95,57	16	5,85	2',42
	587,68	59	6,57	± 2',56

* Sehr schlechte Uebereinstimmung der Kreislagen unter einander. Die Mittelablesen stimmten jedoch gut mit den Messungen auf anderen Punkten.

** Zu Kembang sind die Messungen ungefähr für die Hälfte von Herrn Waldringh mit P. M. III und für die Hälfte von Herrn Temissen mit P. M. IV. ausgeführt. Dieselben sind combinirt ausgeglichen worden, und beiden Beobachtern ist die Hälfte der (*FF*) zugebillt worden.

RECAPITULATION.

Instrument.	Beobachter.	(FF)	Theiler.	m ²	m	(FF)	Theiler.	m ²	m
Repsold (12 z.)	Soeters	295,70	411	0,72	$\pm 0^{\circ},83$	745,39	876	0,85	$\pm 0^{\circ},92$
	Van Asperen	105,44	92	1,15	1,07				
	Van Iselmuden	311,25	373	0,92	0,96				
Gross P. M. I (10 z.)	Flory	673,02	430	1,37	1,23	1432,51	880	1,51	1,23
	Soeters	507,21	373	1,36	1,17				
	J. A. Oudemans	152,30	57	2,44	1,56				
	Teunissen	12,08	29	0,65	0,81				
Gross P. M. II (10 z.)	Metzger	1780,25	964	1,85	1,56	1912,74	1134	1,69	1,50
	Woldringh	102,71	123	0,82	0,91				
	J. A. Oudemans	29,78	43	0,66	0,52				
P. M. II (8 z.)	Van Asperen					457,78	27	16,95	4,12
P. M. III (8 z.)	Woldringh					657,83	165	3,99	2,00
P. M. IV (8 z.)	Teunissen	225,18	53	4,25	2,06	612,81	112	5,47	2,34
	Van Iselmuden	357,65	59	6,57	2,56				

Zusammenstellung.

	Hallmesser der Theilung.						
Repsold.	155 mm.	745,39	876	0,85	$\pm 0^{\circ},92$	$\pm 0^{\circ},71$	
Gross P. M. I und II	185 "	3245,25	2014	1,61	1,27	0,83	
P. M. II, III und IV	105 "	1728,37	304	5,68	2,38	1,21	
Nur P. M. III und IV	105 "	1270,64	277	4,59	2,11	1,09	

Die Zahlen in der letzten Columne zeigen am deutlichsten, dass das 12-zöllige Repsold'sche Instrument, auch mit Rücksicht auf den grösseren Hallmesser der Theilung, sich am Besten bewährt hat; die höchst genaue Theilung und die etwas stärkere Vergrösserung der Mikroskope hat daran ohne Zweifel Antheil.

Von den Pistor'schen Instrumenten haben sich auch die grösseren (10-zölligen) verhältniss-

mässig am besten bewährt, was den stärkeren Vergrösserungen, sowohl des Fernrohrs als der Mikroskope, und vielleicht auch der schärferen Ablesung der Mikrometerschrauben zuzuschreiben ist.

Schliessen wir von den achtzölligen Instrumenten P. M. II aus, weil die Messungen mit diesem Instrumente die ersten sind, welche nach der Wiederaufnahme der Triangulation, und dabei noch auf Signale, ausgeführt worden sind, so gehen die beiden anderen Instrumente derselben Grösse $m = \pm 2',14 = \pm 1\mu,09$.

Multiplirt man den in Mikrons der Theilung ausgedrückten mittleren Fehler einer Richtung wiederum mit dem Halbmesser der Theilung in Millimetern, so erhält man:

für Repsold.	112,
für Gross P. M. I und II.	112,
für P. M. III und IV	114,

Im Mittel: 115;

und dieses führt uns zu dem merkwürdigen, freilich zu erwartenden, Resultate, dass der m . Fehler einer einzigen Richtung (Mittel aus Fernrohr (resp. Objectiv,) rechts und links) in Linienmaass auf dem Kreisrande dem Halbmesser umgekehrt proportional, also in Winkelmaass dem Quadrat des Halbmessers umgekehrt proportional ist. Will man die Zahl etwas genauer kennen, in welche man die zweite Potenz des Halbmessers in Millimetern zu theilen hat, um den mehrgenannten m . Fehler zu ermitteln, so findet man mit vier Decimalstellen:

$$\begin{aligned} \log. 158^2 \times \sqrt{\frac{745,39}{576}} &= 4,5624, \text{ Gewicht } 2, \\ \log. 155^2 \times \sqrt{\frac{3245,25}{2044}} &= 4,5642, \quad " \quad 7, \\ \log. 105^2 \times \sqrt{\frac{1270,64}{277}} &= 4,5752, \quad " \quad 1. \end{aligned}$$

Oder im Mittel, mit Rücksicht auf die Gewichte:

$$4,5647 = \log. 25160$$

Die Probe stimmt so:

$$\begin{aligned} \frac{25160}{15^2} &= 0',95, \text{ gefunden } 0',92; \\ \frac{25160}{155^2} &= 1',27, \quad " \quad 1',27; \\ \frac{25160}{105^2} &= 2',10, \quad " \quad 2',14. \end{aligned}$$

Der Schluss dieser Rechnung lautet also wie folgt: Bei der primären Triangulation von Java wurde, wenn R der Halbmesser, (D der Durchmesser) der Theilung der benutzten Kreise in Millimetern bedeutet, aus den Stations-Ausgleichungen der mittlere Fehler einer einzigen, aus Fernrohr rechts und Fernrohr links abgeleiteten, Richtung gefunden

$$= \frac{25160''}{R^2} = \frac{92640''}{D^2}.$$

**§ 5. Der mittlere Fehler eines Winkels, nach der
Ferrero'schen Formel, aber für die Instrumente verschiedener Grösse so
viel als möglich getrennt.**

In der historischen Einleitung ist, S. 7 und 8, bereits das Ergebniss der Anwendung der Ferrero'schen Formel auf die Dreiecke erster Ordnung der Triangulation von Java mitgetheilt worden.

Die Dreiecke sind noch später nach den Instrumenten getrennt worden und so wurde die folgende Tabelle zusammengestellt, in welcher die Nummern der Dreiecke den Seiten 78 bis 111 entnommen sind. Die Schlussfehler der Dreiecke kann man aus diesen und den vorigen Seiten 55—77, leicht wiederfinden, nur ist hier zu bemerken, dass in den unten folgenden Tabellen, ϵ die Summe der Winkelverbesserungen, also ein positives ϵ eine zu kleine Winkelsumme bedeutet. Ferner sind noch die Schlussfehler der Basisnetz-Dreiecke hinzugefügt worden.

DREIECKE, DEREN WINKEL MIT VERSCHIEDENEN INSTRUMENTEN GEMESSEN
WORDEN SIND.

Instrumente.	Numer des Dreiecks.	ϵ	ϵ^2	Summe.	Thei- ler.	m^2	m
Nur grössere Instrumente, (12 und 10 zöllig.)							
1 Winkel mit Repsold	154	- 0',11	0,01				
und 2 " " Gross P. M. II	155	+ 2',92	8,55				
	151	0',12	0,01				
	154	- 2',62	6,86				
	82	- 0',48	0,25				
	85	+ 1',18	1,59				
2 Winkel mit Gross P. M. I.	84	- 1',14	1,50				
	98	- 2',59	5,71				
und 1 " " Gross P. M. II.	101	+ 1',50	6,25				
	102	+ 0',79	0,62				
	105	+ 0',51	0,10				
				51,01	55	0,94	$\pm 0',97$
Grössere (12 oder 10 zöllig) mit kleineren Instrumenten (8 zölligen) gemischt.							
2 Wink. mit Reps., und 1 mit P. M. IV.	152	+ 2',25	4,97				
	155	- 5',59	51,25				
4 Wink. mit Reps., und 2 mit P. M. IV.	155	+ 4',57	49,10				
	159	- 6',58	50,70				
	160	+ 1',71	2,92				
1 Wink. mit Repsold, 1 mit Gr. P. M. I, und 1 zusammengestellt aus einem mit Gr. P. M. I und einem mit P. M. IV gemessenen Winkel	129	+ 5',77	55,29				
	70	- 0',65	0,40				
	71	- 0',29	0,08				
	72	- 0',60	0,56				
2 Wink. mit Gr. P. M. I und 1 mit P. M. IV	74	- 0',87	0,76				
	76	- 2',50	6,25				
	77	+ 1',26	1,59				
	78	+ 2',54	6,45				
	80	- 1',14	1,50				
				198,07	66	5,00	$\pm 1',75$
2 Wink. mit Gr. P. M. I und 1 mit P. M. III.	61	+ 2',78	7,75				
	65	- 0',74	0,55				
	69	+ 0',77	0,59				
1 Wink. mit Gr. P. M. II und 2 mit P. M. III	200	+ 0',05	0,00				
	205	- 2',12	4,49				
1 Wink. mit Gr. P. M. II, 4 mit III und 1 mit IV	202	- 0',90	0,81				
	205	- 2',05	4,20				
	206	+ 0',45	0,18				

RECAPITULATION.

Anzahl der Dreiecke.	Instrument.	$[\varepsilon^2]$	Theiler.	m^2	at	$\frac{21141^*}{R^2}$
56	Repsold. (12 z.)	62,95	168	0,57	$\pm 0',61$	$\pm 0',85$
121	Gross P. M. I und II, (10 z.) . .	484,82	565	1,55	1 ,16	1 ,16
19	P. M. III und IV, (10 z.) . . .	148,15	57	2,60	1 ,61	1 ,92
11	12 und 10 z. gemischt	51,01	55	0,94	0 ,97	
22	12 oder 10 z. und 8 z. gemischt .	198,07	66	5,00	1 ,75	

Die Zahl 21141* in der letzten Columne ist $= 155^2 \times 1',16$.

Vergleicht man die beiden letzten Columnen mit einander, so sieht man dass das Repsold'sche Instrument hier noch schöner aus dem Genauigkeitskanke hervortritt als früher.

Vergleicht man weiter die für Repsold und G. M. I und II geltenden (m. Fehler)² einer Richtung 0,85 und 1,61, (S. 144, unten, welche also, verdoppelt, für einen Winkel 1,70, und 5,22 werden.) mit den oben gefundenen 0,57 und 1,55, so giebt diese Untersuchung für das Verhältniss zwischen dem (m. Fehler)² eines einmal gemessenen und eines aus der Stations-Ausgleichung abgeleiteten Winkels:

$$\begin{array}{lcl} \text{bei dem 12 zölligen Repsold} & \text{nähe wie} & 4,6 : 1, \\ \text{a} \quad \text{a} \quad 10 \quad \text{a} \quad \text{P. M.} & = & 2,4 : 1. \end{array}$$

§ 9. Der mittlere Fehler einer Einstellung des Fernrohrs und einer Ablesung des Mikroskops.

Ausser zu den Bestimmungen der mittleren Fehler einer einzigen, wie auch einer ausgeglichenen Richtung, liefern die langen Reihen der bei einer Triangulation vorkommenden Mikrometer-Ablesungen ein reiches Material zu verschiedenen auf mittlere Fehler sich beziehende Untersuchungen, und es kommt mir vor, dass diese für die Analyse der Fehlerursachen dienen und somit eine klarere Ansicht über zufällige und systematische Fehler abgeben können.

Bei jeder Lage des Fernrohrs, (rechts und links) wurde programmgenäss der Rundgang (nach Hansen: „Gyrus“) doppelt durchgemacht und zum Schluss das Fernrohr zum dritten Male auf das erste Object gerichtet. Das arithmetische Mittel aus den Resultaten der zwei resp. drei Ablesungen des horizontalen Kreises, wurde für die endgültige Richtung angenommen.

Der Unterschied der bei den beiden Lagen des Fernrohrs erhaltenen Mittel würde, falls die Einstellungen und Ablesungen fehlerfrei wären,

$$= \left(\frac{2e}{E \sin 1'} + 2e \right) \operatorname{cosec} z$$

sein, wo

- e die Excentricität des Fernrohrs,*
- E die Entfernung des Objects,
- e der Collimationsfehler des Fernrohrs,
- z die Zenithdistanz des Objects

bedeutet.

So lange e nur einige wenige Sekunden beträgt, und z nicht viel von 90° verschieden ist, kann der Factor $\operatorname{cosec} z = 1$ gesetzt werden, wo es aber nöthig war, (freilich nur in einzelnen seltenen Fällen, bei grossem e und kleinem z .) ist der Factor $\operatorname{cosec} z$ berücksichtigt worden; wird also der genannte Unterschied mit dem Werth von $\frac{2e}{E \sin 1'} \operatorname{cosec} z$ vermindert, welcher von Zielpunkt zu Zielpunkt

* Bei den 6-zölligen Instrumenten 0,166, bei den 10 zölligen 0,2115 Meter, siehe S. 11. F. M. I und Repsold hatten gebrochene Fernröhre, also war bei denselben $e = 0$. Die beiden Lagen des Fernrohrs werden bei derartigen Instrumenten mit „Objectiv rechts“ und „Objectiv links“ angedeutet.

wechselt, aber genau berechnet werden kann, so bleibt, abgesehen vom Factor $\cos^2 z$, nur 2ϵ übrig; nun ist bei den benutzten Pistor'schen Universal-Instrumenten dieser Collimationsfehler des Fernrohrs, dessen Ocularrohr hinein- und herangeschoben werden kann, zwar sehr veränderlich, während eines Rundgangs in zwei Lagen des Fernrohrs kann derselbe jedoch als constant angesehen werden, und so gewähren die durch die verschiedenen Zielpunkte erhaltenen Werthe von 2ϵ die Gelegenheit, den mittleren Fehler einer einzigen Einstellung und Ablesung zu bestimmen. ** Es muss dabei auf die verschiedenen Gewichte, p , der gefundenen Werthe von 2ϵ Rücksicht genommen werden; bekanntlich ist aber

$$p = \frac{n \cdot n'}{n + n'},$$

wo n die Zahl der Einstellungen bei Fernrohr rechts und n' bei Fernrohr links bedeutet.

Sind nun an einer Station, in R Rundgängen S Richtungen gemessen, so ist

$$m_1 = \sqrt{\frac{[p \cdot \epsilon^2]}{S - R}},$$

wo ϵ der Unterschied zwischen den einzelnen Werthen von 2ϵ mit dem für jeden Rundgang geltenden wahrscheinlichsten Werth bedeutet.

Zur Erläuterung werden wir hier die Berechnung aus einer kurzen Beobachtungsreihe folgen lassen. Ich bemerke noch, dass bei dieser und der nachstfolgenden Untersuchung die Einstellungen auf Heliotrope und Signale getrennt gehalten sind; nur einzelne Male sind dieselben bei kleiner Anzahl vereint worden.

Die Reduction $\frac{2 \epsilon}{E \sin 1''}$ wurde, mit dem Argumente E in Kilometern, einer Tafel entnommen.

PATJAKARAN, Juli 1868.

Beobachter: Flory. Gross P. M. 1, ($2 \epsilon = 0,425$ Meter).

Einstellung auf Heliotrope.

Zielpunkte.	Entfernung E' in Kilometern.	Reduction $= \frac{2 \epsilon}{E \sin 1''}$
1. Bradjat	22,0	5',97
2. Watotjeleng	50,1	2,24
5. Toenggangan	52,5	2,69

** Einzelne Male ist es vorgekommen, dass der für 2ϵ gefundene Werth verschieden gefunden wurde, je nachdem das Fernrohr auf das eine oder auf das andere Signal gerichtet worden war. Die Ursache dieser Abnormalität ist schwer auszumachen. Am Fusse der unten folgenden, auf P. M. 11 bezüglichen Tabelle ist davon ein Beispiel angeführt. Vielleicht rührt der gefundene Unterschied daher, dass der Beobachter auf das eine Signal einen anderen Punkt im Felde des Fernrohrs richtete als auf das andere, z. B. dass er das eine in die Mitte zwischen den Mittelfäden brachte, das andere mit einem der Mittelfäden bedeckte. Wenn er sich dann bei der zweiten Lage des Fernrohrs nicht im Faden versieht, so ist das Mittel zwischen Fernrohr rechts und links richtig, der abgeleitete Werth von 2ϵ aber, ist bei beiden Signalen verschieden.

Rund- gang.	Ziel- punkt.	Rechts.		$L-R$	Links		n^1	ε	p	Wahrsch.		ε	ε^2
		Rechts.	n		aus Rechts abgeleitet	beob- achtet.				Wahrsch.	ε		
1	1	18",18	3	3",97	22",15	25",63	3	—	6",47	1,5	6",15	— 0",22	0,10
	2	55,67	2	2",69	57,16	63,12	2	—	5,66	1	—	+ 0,45	0,31
2	1	42,93	3	3",97	46,90	51,98	3	—	5,08	1,5	6,38	+ 1,39	1,69
	2	17,83	2	2",69	20,22	28,46	2	—	8,34	1	—	+ 1,96	2,51
3	1	31,16	3	3",97	35,12	38,83	3	—	3,71	1,5	4,63	+ 0,91	0,83
	2	6,66	2	2",69	9,35	18,31	2	—	9,39	1	—	+ 1,37	1,88
4	1	5,35	3	3",97	9,32	11,97	3	—	2,65	1,5	3,16	+ 0,61	0,39
	2	37,39	2	2",69	39,63	60,25	2	—	0,62	1	—	+ 2,54	6,45
5	1	41,86	3	3",97	45,63	45,43	3	—	0,26	1,5	1,53	+ 0,16	0,05
	2	10,44	2	2",69	12,68	18,85	2	—	1,17	1,2	1,33	+ 2,47	6,10
6	1	14,67	3	3",97	17,36	21,16	3	—	3,80	1	—	—	—
	2	—	2	—	—	—	2	—	—	—	—	—	—
7	1	35,02	3	3",97	38,99	27,75	3	—	11,24	1,3	11,44	+ 0,30	0,04
	2	5,30	2	2",66	7,44	55,10	2	—	12,01	0,3	—	+ 0,60	0,36

$$g = 14; K = 6, \text{ also } s_{m_1} = 37,44$$

$$m_1^2 = 4,65$$

$$m_1 = \pm 2",16$$

Es versteht sich aber, dass der mittlere Fehler einer Einstellung und Ablesung nicht nur aus den mittleren Ablesungen bei Fernrohr rechts verglichen mit Fernrohr links, sondern auch aus den zwei oder drei Ablesungen in *demselben* Rundgange abgeleitet werden kann; dann wird also „Fernrohr rechts“ mit Fernrohr rechts, resp. „Fernrohr links“ mit Fernrohr links verglichen. Sind nun in einem Rundgange a Zielpunkte dreimal und b Zielpunkte zweimal eingestellt, und nennt man die Abweichungen der einzelnen Ablesungen vom arithmetischen Mittel ε , den n . Fehler einer einzigen Ablesung n_1 , so ist einfach

$$m_2 = \sqrt{\frac{1}{2} \frac{a^2}{a+b}}$$

Es wird wohl überflüssig sein von dieser einfachen Rechnung ein Beispiel mitzutheilen. Nur sei erwähnt dass, wie man oben, S. 48 und 49, sehen kann, für jedes Mikroskop das ar. Mittel aus den zwei resp. drei Ablesungen gezogen war, dass also die ε am leichtesten für beide Mikroskope besonders berechnet werden konnten, und wenn man die erhaltenen Werte ε_A und ε_B nennt,

$$\varepsilon = \frac{1}{2} (\varepsilon_A + \varepsilon_B)$$

war. Der Factor $\frac{1}{2}$ wurde aber erst nachträglich berücksichtigt, so dass zuletzt

$$[\epsilon'] = \frac{1}{2} [(\epsilon_a + \epsilon_n)^2]$$

genommen wurde.

Merkwürdigerweise wurde m_2 überhaupt kleiner als m_1 befunden.

Es kommt weiter der mittlere Fehler des Ablesens durch ein Mikroskop in Betracht. Sowohl als Sicherheitsmaassregel, als auch um über diesen m. F. ein klares Urtheil zu haben, wurden, wenigstens von dem Augenblicke ab, wo die Triangulation unter meine Leitung gebracht worden war, die Mikroskope immer doppelt abgelesen, und aus den Unterschieden dieser doppelten Ablesungen desselben Striches konnte der m. F. einer Ablesung bestimmt werden, nämlich der Theil dieses m. Fehlers, der von der Schärfe oder Schwäche des Auges herrührt. Bekanntlich giebt es noch einen anderen Theil, der von der momentanen Auffassung der Striche abhängt, also bei zwei hinter einander ausgeführten Ablesungen constant bleibt; bei den scharf gezogenen Pistor'schen Strichen ist aber nicht anzunehmen, dass dieser Theil mit erstgenanntem in Vergleichung kommt.

Der erste Theil dieses m. Fehlers, welchen wir kurz den m. Fehler einer Mikrometer-Ablesung nennen und mit m_2 bezeichnen wollen, ist aus den Ablesungen, nicht nur auf den sämtlichen primären Punkten, sondern auch, wo es für die achtzölligen Instrumente nöthig war, auf secundären Punkten, bestimmt worden. Für jeden Punkt wurde aber meistentheils die Rechnung nur so weit fortgesetzt bis der Theiler 800 bis 900 betrug.

Ist n die Anzahl der doppelt abgelesenen Striche, δ der Unterschied der beiden Ablesungen, so ist

$$m_2 = \pm \sqrt{\frac{[\delta^2]}{2n}}.$$

An die Berechnung von m_2 wurde noch eine andere Untersuchung angeknüpft. Wenn der Obertheil des Universal-Instruments gut auf der vertikalen Achse ruht, und das Fernrohr in denselben Himmelsgegend mehr als einmal auf denselben Zielpunkt gerichtet wird, so muss der Unterschied der Ablesungen der beiden Mikroskope A und B constant sein. Dies ist aber, der unumgänglichen Ablesefehler wegen, nicht der Fall, und eben deshalb scheint sich hier eine neue Gelegenheit zu bieten, den mittleren Ablesefehler eines Mikroskops zu bestimmen. Dieser würde sich aber nicht auf die einmalige Ablesung eines Theilstriches, sondern fast immer auf das arithmetische Mittel von 4 Ablesungen beziehen; man könnte also erwarten, dass das Resultat, — wir nennen den so gefundenen m. Fehler m_1 , — ansehnlich kleiner sein würde als m_2 ; das Gegentheil fand aber statt; der so gekundene m. Fehler war öfters unerwartet gross und sehr unregelmässig, so dass der Einfluss des immer bestehenden Spielraums der Büchse, welche den Obertheil trägt, um die vertikale Achse, deutlich sichtbar war, indem derselbe eine veränderliche Excentricität des Kreises in Beziehung zur vertikalen Achse verursacht.

War der genannte m. Fehler zu Zeiten regelmässiger, oder nahezu constant, so kann daraus der Schluss gezogen werden, der Obertheil habe sich in dieser Periode gut auf die Achse angeschlossen. Aber sogar bei dem 12 z. Universal-Instrument von Repsold, wo in der Büchse eine starke Feder den dritten Berührungspunkt zwischen Büchse und Achse verschafft, sinkt m_1 nicht niedriger als $\pm 0,57$ herab, (1872 und 1875, Beobachter van Isenhoudens,) während in derselben Periode $m_2 = \pm 0,155$ war. Ist nun das Mikroskop viermal abgelesen, so wird das ar. Mittel noch einen m. F. von $\pm 0,08$ besitzen, also muss noch $\sqrt{(0,57^2 + 0,08^2)} = \pm 0,56$, theils dem oben erwähnten zweiten Theile des Ablesefehlers, theils dem Spielraum zwischen Büchse und Vertikalachse zugeschrieben werden. Wollte

man diese $0',50$ anschliesslich dem genannten Spielraum zur Last legen, so würde sie durch das Vorhandensein einer Oelschicht von 158^{mm} sin. $\sqrt[3]{2 \times 0',50} = 0,4$ zu erklären sein.

Wiewohl diese letzte Rechnung also nicht zu einem besonders erspriesslichen Resultate geführt hat, so werden wir das Gefundene doch mittheilen.

Um diese ganze Untersuchung so viel als möglich auf alle Instrumente und Beobachter auszudehnen, sind auch die Messungen der Herren S. H. und G. A. de Lange mit P. M. I. und von den späteren Beobachtern auch secundäre mit aufgenommen worden. Bei diesen fehlten oft die Beobachtungen auf Heliotrope, also konnten nur die Resultate für Signalbeobachtungen abgeleitet werden; ferner war oft in den Mikroskopen jeder Theilstrich nur einmal abgelesen, so dass die Bestimmung von m_1 wegfiel.

Es folgen nun hier erst die Tabellen, welche die Resultate der Rechnungen enthalten. Die Instrumente und Beobachter sind getrennt gehalten worden, ebenso die Beobachtungsstationen, sobald auf denselben eine hinreichende Anzahl Einstellungen gemacht worden war; sonst sind einige Stationen vereinigt worden. Weiter sind die Tabellen für jedes Instrument chronologisch angelegt.

Um alle Combinationen, welche ein Leser zu machen wünschen könnte, zu erleichtern, sind auch die $\{p\}$ und andere Quadratsummen, wie auch die m^2 aufgenommen, bei jenen aber, um Raum zu sparen, die überflüssigen und bedeutungslosen Decimalthelle der Quadratsecunden fortgelassen. In der ursprünglichen Rechnung sind dieselben aber auch aufgenommen, so dass die in der Tabelle mitgetheilten Summen, eine oder zwei Einheiten von den Summen der in der Columnne enthaltenen Zahlen verschieden sein können.

Anfangs bestand die Gewohnheit noch nicht, immer zwei Theilstriche doppelt abzulesen, diese Massregel kam erst im Jahre 1865 in das Programm, (s. S. 15, oben.) In der letzten Columnne der Tabellen ist durch ein Ziffer die Weise des Ablesens angegeben. 4 bedeutet also: je zwei Ablesungen auf zwei Theilstriche, 2 je zwei Ablesungen auf einen Theilstrich. Wenn in einzelnen Fällen zwei Theilstriche nur einmal abgelesen worden waren, ist dies durch das Ziffer 5 angedeutet. Die Herren de Lange lassen, wie gesagt, nicht doppelt ab, also fehlte die Gelegenheit aus ihren Ablesungen m_2 abzuleiten.

Die befolgte Methode der Messung, um in jeder Kreislage den ganzen Rundgang mit Fernrohr, resp. Objectiv, *rechts und links* abzumessen, hat den Nachtheil, dass dieselben Theilstriche zweimal benutzt werden. Später ist deshalb manchmal beim Uebergang von Fernrohr rechts zu Fernrohr links der Kreis um einen gewissen Bogen herumgedreht worden, s. z. B. P. M. III.

Während nun sonst m_1 , ebenso wenig wie m_2 , von den Theilungsfehlern beeinflusst wird, so ist dies dann wohl der Fall, und die erhaltenen Werthe von m_1 sind deshalb grösser zu erwarten. In den unten folgenden Tabellen sind diese Fälle speciell angedeutet.

Standpunkte.	Monat und Jahr.	Mittlerer Fehler einer Einstellung des Fernrohrs und Ablesung des Kreis-															
		von Objectiv rechts mit Objectiv links.												von Obj. rechts mit Obj. links.			
		Auf Heliotrope.				Auf Signale.				Auf Heliotrope.							
		Ther-	Quadrat-	m_1	m_2	Ther-	Quadrat-	m_1	m_2	Ther-	Quadrat-	m_1	m_2				
		ler.	summe.			ler.	summe.			ler.	summe.						

Bisherige

Panggang, Segoro-	VII—XI					17	44	2,58	$\pm 1',61$								
goenong, Lawoe	1864																
und Merbauoe...																	
Kendil, Segoro-	V—VI					12	17	1,44	$\pm 1',20$								
goenong und Ma-	1865																
dioen.....																	
Lina, Ratawoe,	XI—XII					16	57	2,28	$\pm 1',51$								
Lembajoengan,	1865																
Lawoe und Ma-																	
dioen.....																	
Pandan, Wilangan	II—IV	2	6	2,80	$\pm 1',67$	11	26	2,54	$\pm 1',55$	22	49	2,22	$\pm 1',30$				
und Dorowati...	1866																
Nongko, Kaliti-	III 1867					25	89	5,86	$\pm 1',96$								
dioe und Tsung-																	
gangan.....																	
Pandan, Wono-	V "					20	52	2,62	$\pm 1',62$								
golo.....																	
Ronggo.....	V 1868					21	66	5,15	$\pm 1',77$								
Arjoeno.....	VI "	2	14	7,01	$\pm 2',35$	11	27	2,42	$\pm 1',56$	57	87	1,52	$\pm 1',05$				
Pakem.....	III 1869	27	55	1,29	$\pm 1',15$					110	154	1,22	$\pm 1',05$				
Argowocanu...	III "	17	58	2,21	$\pm 1',43$					62	100	1,61	$\pm 1',22$				
Pado Ketapan...	V "					14	118	8,40	$\pm 2',30$	19	40	2,10	$\pm 1',50$				
Semonkron.....	V "	4	8	2,07	$\pm 1',44$					22	96	1,57	$\pm 1',05$				
		52	101	1,95	$\pm 1',59$	145	476	5,27	$\pm 1',81$	282	506	1,75	$\pm 1',25$				

ZIROCHENES FERNROHR.

s. Vergleichung				Mittlerer Fehler einer Ablesung eines Mikroskops,								Weise der Ablesung.
sp. Obj. links mit Obj. links.				einer einzigen Ablesung, rein, aus den Unterschieden der doppelten Ablesungen desselben Theilstrichs.				einer mitt. Ables., gemischt mit dem Einfl. der veränd. Excentricität, aus den Unterschieden der mitt. Ables., der beiden Mikroskope.				
Auf Signale.												
reiter.	Quadrat- summe.	m_1^2	m_1	Theiler.	Quadrat- summe.	m_2^2	m_2	Theiler.	Quadrat- summe.	m_4^2	m_4	

C. A. van Asperen.

70	162	2,60	$\pm 1',61$	412	47	0,11	$\pm 0',54$	70	72	1,05	$\pm 1',02$	2
15	86	1,56	1,17	752	105	0,14	0,58	65	41	0,66	0,84	"
72	158	2,20	1,48	624	85	0,15	0,56	72	60	0,85	0,91	"
8	104	1,79	1,54	676	81	0,12	0,55	80	44	0,55	0,74	"
4	122	1,90	1,58	554	97	0,18	0,42	64	28	0,44	0,66	"
5	85	1,17	1,08	620	120	0,19	0,44	75	51	0,42	0,65	"
1	121	1,72	1,51	510	97	0,19	0,44	71	42	0,59	0,77	"
7	148	1,58	1,17	1070	229	0,21	0,46	164	71	0,45	0,66	"
				512	71	0,14	0,37	110	45	0,59	0,62	"
				840	99	0,12	0,54	62	25	0,57	0,61	"
	102	1,48	1,22	574	85	0,15	0,59	88	54	0,62	0,79	"
				192	58	0,20	0,44	22	8	0,56	0,60	"
1088	1,68	$\pm 1',50$		7516	1152	0,16	$\pm 0',40$	959	517	0,55	$\pm 0',74$	

BROCHENES FERNROHR.

s. Vergleichung				Mittlerer Felder einer Ablesung eines Mikroskops,								Weise der Ablesung.
op. Obj. links mit Obj. links.				einer einzigen Ablesung, rein, aus den Unterschieden der doppelten Ablesungen desselben Theilstrichs.				einer mitt. Ables., gemischt mit dem Einfl. der veränd. Excentricität, aus den Unterschieden der mitt. Ables., der beiden Mikroskope.				
Auf Signale.												
eiler.	Quadrat- summe.	m_1^2	m_1	Theiler.	Quadrat- summe.	m_2^2	m_2	Theiler.	Quadrat- summe.	m_4^2	m_4	

L. Baron von Isschuden.

				776	61	0,08	$\pm 0',28$	58	129	2,22	$\pm 1',49$	2
24	29	1,21	$\pm 1',10$					68	11	0,16	0,40	3
15	51	0,69	0,85	(°)				90	24	0,26	0,51	"
								68	9	0,155	0,57	"
				800	41	0,05	0,25	115	21	0,18	0,45	4
				868	59	0,044	0,21	105	14	0,14	0,57	"
32	47	0,76	0,87	912	55	0,056	0,19	116	14	0,12	0,55	"
				808	29	0,056	0,19	156	14	0,11	0,55	"
				856	25	0,05	0,17	170	21	0,12	0,55	"
				892	24	0,05	0,17	54	9	0,16	0,40	"
6	9	1,50	1,22	576	16	0,028	0,17	42	5	0,11	0,55	"
5	59	1,57	1,25	858	18	0,02	0,14	122	20	0,16	0,40	"
				800	21	0,027	0,16	77	10	0,21	0,46	"
				862	21	0,024	0,16	150	18	0,12	0,55	"
				808	16	0,02	0,14	55	5	0,10	0,51	"
				852	20	0,024	0,16	159	16	0,11	0,55	"
	71	0,45	0,67	840	20	0,024	0,16	502	50	0,10	0,51	"
				804	19	0,024	0,15	155	40	0,25	0,50	"
	9	0,54	0,75	544	15	0,028	0,17	42	5	0,07	0,27	"
255		0,70	$\pm 0',84$	12746	418	0,055	$\pm 0',18$	2012	290	0,14	$\pm 0',58$	

Zu Kalisia, Balerna und Loerup sind wahrscheinlich zwei Stroche je einmal abgelesen, so dass m_2 hier nicht bestimmt werden konnte.

Standpunkte.	Monat und Jahr.	Mittlerer Fehler einer Einstellung des Fernrohrs und Ablesung des Kreiswinkels									
		von Objectiv rechts mit Objectiv links.							von Obj. rechts mit Obj. links.		
		Auf Heliotrope.				Auf Signale.			Auf Heliotrope.		
		Thei- ler.	Qua- drat- summe.	m_1^2	m_1	Thei- ler.	Quadrat- summe.	m_1^2	m_1	Thei- ler.	Quadrat- summe.

Sunggrah.....	II 1875	26	57	1,45	$\pm 1',20$
Gading.....	III "	18	16	0,87	$\pm 0',95$
		44	55	1,20	$\pm 1',10$

85	111	1,20	$\pm 1',10$
64	52	0,81	$\pm 0',90$
149	165	1,09	$\pm 1',00$

Pencongallan	III 1876	48	64	1,55	$\pm 1',15$
Logantong	" "	55	47	1,14	$\pm 1',20$
Kaligong	III-IV "	24	18	0,75	$\pm 0',87$
Bandong	IV "	24	19	0,79	$\pm 0',89$
Weroc	" "	29	56	1,25	$\pm 1',11$
Segorogonong	" "	29	58	1,39	$\pm 1',11$
Baso	VI "	52	76	1,46	$\pm 1',21$
Sunggrah	III 1877	6	17	2,87	$\pm 1',00$
Gading	" "	6	11	1,76	$\pm 1',55$
Banjoeppahit	" "	52	57	1,16	$\pm 1',08$
Salau	IV "	54	76	1,41	$\pm 1',19$
Boetak (Rembang)	V "	24	55	1,45	$\pm 1',20$
Tangsil	V 1878	18	14	0,76	$\pm 0',87$
Djoerangsapi	V-VI "	50	15	0,52	$\pm 0',65$
Petjaloengan	VI "	51	58	1,86	$\pm 1',56$
Poetri	" "	28	20	0,70	$\pm 0',84$
Beser	" "	25	25	1,01	$\pm 1',01$
Tanah woelan	VI-VII "	27	15	0,56	$\pm 0',75$
Sarket	VII "	26	22	0,84	$\pm 0',92$
Tangsil	" "	19	24	1,26	$\pm 1',12$
Gilan, Lagoendi	" "	"	"	"	"
Boerocau	VIII-IX "	54	25	0,74	$\pm 0',86$
Tandjong Pakena (neu), Sahuri, Ikan	IX "	11	6	0,51	$\pm 0',71$
		607	714	1,17	$\pm 1',08$

139	64	0,46	$\pm 0',72$
80	45	0,55	$\pm 0',75$
65	45	0,67	$\pm 0',77$
72	54	0,17	$\pm 0',26$
68	17	0,35	$\pm 0',46$
94	104	1,10	$\pm 1',10$
126	75	0,59	$\pm 0',77$
27	20	0,71	$\pm 0',86$
26	16	0,62	$\pm 0',78$
78	61	0,82	$\pm 0',91$
170	68	0,40	$\pm 0',52$
74	29	0,29	$\pm 0',37$
50	6	0,52	$\pm 0',67$
78	19	0,25	$\pm 0',32$
84	55	0,57	$\pm 0',74$
86	20	0,25	$\pm 0',32$
80	28	0,55	$\pm 0',71$
65	29	0,31	$\pm 0',40$
62	4	0,06	$\pm 0',08$
54	21	0,28	$\pm 0',36$
119	24	0,29	$\pm 0',37$
40	7	0,17	$\pm 0',22$
1770	765	0,14	$\pm 0',18$

Aus dreifachen Einstellungen
des Fernrohrs.

Pencongallan	18	28	1,54	$\pm 1',14$
Kaligong	20	25	1,26	$\pm 1',08$
Bandong	19	21	1,10	$\pm 1',01$
Segorogonong	12	46	5,81	$\pm 2',10$
Baso	10	15	1,58	$\pm 1',19$
Salau	42	27	0,81	$\pm 0',91$
Petjaloengan	28	25	0,45	$\pm 0',57$
Poetri	56	16	0,64	$\pm 0',81$
Beser	38	24	0,51	$\pm 0',64$
Tanahwoelan	46	25	0,54	$\pm 0',67$
	269	248	0,27	$\pm 0',35$

BROCHENES FERNROHR.

s. Vergleichung				Mittlerer Fehler einer Ablesung eines Mikroskops,								Weise der Ablesung.
p. Obj. links mit Obj. links.				einer einzigen Ablesung, rein, aus den Unterschieden der doppelten Ablesungen desselben Theilstrichs.				einer mitt. Ables., gemischt mit dem Einfl. der veränd. Excentricität, aus den Unterschieden der mitt. Ables. der beiden Mikroskope.				
Auf Signale.				Theiler.	Quadrat- summe.	m_1^2	m_2	Theiler.	Quadrat- summe.	m_1^2	m_2	
q. l.	Quadrat- summe.	m_1^2	m_2									

Wollringh.

				856	159	0,185	$\pm 0',45$	85	25	0,29	$\pm 0',54$	4
				872	158	0,182	0,45	64	16	0,25	0,50	"
				1728	517	0,185	$\pm 0',45$	149	41	0,27	$\pm 0',52$	"

Th. Soeters.

				808	50	0,057	$\pm 0',19$	159	41	0,29	$\pm 0',54$	4
				974	24	0,025	0,16	80	15	0,19	0,44	"
				808	15	0,019	0,14	65	18	0,27	0,52	"
				854	15	0,015	0,12	72	16	0,25	0,48	"
				858	15	0,016	0,15	68	11	0,17	0,41	"
				552	9	0,012	0,11	94	25	0,24	0,49	"
				678	18	0,026	0,16	126	19	0,15	0,50	"
				586	11	0,027	0,17	27	9	0,52	0,57	"
				400	9	0,022	0,15	26	9	0,54	0,58	"
				880	20	0,022	0,15	78	10	0,15	0,37	"
				1666	24	0,014	0,12	170	22	0,15	0,56	"
				864	10	0,011	0,11	74	11	0,14	0,58	"
				804	14	0,018	0,15	50	5	0,11	0,55	"
				852	17	0,020	0,14	78	19	0,24	0,40	"
				840	10	0,012	0,11	89	14	0,16	0,40	"
				810	11	0,015	0,12	86	25	0,26	0,51	"
				800	12	0,014	0,12	80	10	0,15	0,56	"
				1040	14	0,014	0,12	95	55	0,56	0,60	"
				840	7	0,008	0,09	62	4	0,07	0,26	"
				884	9	0,010	0,10	54	5	0,09	0,50	"
				1592	16	0,011	0,11	119	14	0,12	0,55	"
				448	5	0,011	0,10	50	5	0,12	0,54	"
				18378	511	0,017	$\pm 0',15$	1770	350	0,19	$\pm 0',44$	"

unt:

Aus zweifachen Einstellungen
des Fernrohrs.

1	56	0,50	$\pm 0',55$
5	18	0,50	0,65
5	15	0,25	0,50
2	58	0,70	0,84
3	62	0,55	0,75
3	41	0,52	0,56
1	10	0,16	0,40
1	4	0,08	0,28
2	4	0,08	0,29
7	4	0,09	0,50
	250	0,55	$\pm 0',57$

Standpunkte.	Monat und Jahr.	Mittlerer Fehler einer Einstellung des Fernrohrs und Ablesung des Kreisw.										von F. rechts auf F. links.					
		von Fernrohr rechts mit Fernrohr links.								Auf Heliotrope.							
		Auf Heliotrope.				Auf Signale.											
		Ther- lier.	Qua- drat- summe.	m_1^2	m_1	Ther- lier.	Quadrat- summe.	m_1^2	m_1	Ther- lier.	Quadrat- summe.	m_1^2	m_1				
Bedachte																	
Toengangan	IV 1868	5	14	2,77	$\pm 1',66$	22	75	5,59	$\pm 1',84$	50	57	1,24	$\pm 1',24$				
Watotjeleug	IV-VI "	"	"	"	"	15	106	8,15	2,85	50	52	1,52	1,07				
"	VI "	"	"	"	"	8	8	1,05	1,01	19	70	5,60	1,82				
Petoekangan	VII "	8	57	4,68	2,16	11	80	7,27	2,70	15	16	1,04	1,80				
Patajakaran	"	"	"	"	"	4	27	6,85	2,62	59	105	2,65	1,80				
Dradjat	"	"	"	"	"	"	"	"	"	"	"	"	"				
Banjoeligi	"	5	5	1,77	1,55	19	111	5,82	2,41	59	105	2,65	1,80				
Penanggoengan	VIII "	10	35	5,52	1,88	19	111	5,82	2,41	59	105	2,65	1,80				
"	"	"	"	"	"	"	"	"	"	"	"	"	"				
Paseroean	XI "	"	"	"	"	10	50	5,00	1,75	15	24	1,82	1,55				
"	"	"	"	"	"	15	24	1,82	1,55	"	"	"	"				
Petoekangan	I-IV 1869	"	"	"	"	"	"	"	"	"	"	"	"				
Banjoeligi	IV "	9	11	1,21	1,10	6	6	1,57	1,25	20	7	0,56	0,96				
Djoemiang	"	6	12	2,04	1,45	4	6	1,57	1,25	20	7	0,56	0,96				
Madoe	"	8	9	1,15	1,07	5	6	2,02	1,42	56	35	0,96	0,96				
Rantja	V "	8	24	2,96	1,72	7	11	1,55	1,24	58	25	0,67	0,96				
Sekelre	"	10	51	5,14	1,77	11	54	5,07	1,75	57	79	1,78	1,57				
Bangsri	V-VI "	18	52	1,79	1,54	"	"	"	"	85	54	0,64	0,96				
Tamboek	VI "	15	28	1,88	1,57	5	7	2,51	1,52	85	95	1,15	1,16				
Lagoendi	VI-VII "	8	19	2,42	1,56	2	8	5,88	1,97	52	50	0,94	0,96				
Boeroean	VII "	5	5	0,66	0,81	"	"	"	"	50	21	0,69	0,96				
Penanggoengan	XII "	4	8	1,89	1,58	"	"	"	"	27	50	1,60	1,16				
Patajakaran	III 1870	5	25	4,98	2,25	"	"	"	"	52	51	1,05	1,16				
Toengangan	III-V "	24	20	0,82	0,91	"	"	"	"	110	116	1,11	1,17				
Gemoek	"	12	50	2,48	1,58	"	"	"	"	88	55	0,81	0,96				
Gading	IX-X "	44	41	0,95	0,97	"	"	"	"	199	161	1,65	1,16				
Segoroengnung	X "	12	30	1,67	1,29	"	"	"	"	45	47	0,91	0,96				
Salam	III 1871	20	57	1,86	1,57	"	"	"	"	86	78	0,94	0,96				
Gading	III-IV "	17	21	1,26	1,12	"	"	"	"	77	72	0,86	0,96				
Segoroengnung	IV "	12	11	0,95	0,96	"	"	"	"	45	57	0,86	0,96				
Murodenak	X-VI "	24	61	2,54	1,50	"	"	"	"	128	218	1,70	1,16				
Banjoeligi	"	25	52	1,50	$\pm 1',14$	"	"	"	"	78	70	0,90	0,96				
		512	566	1,82	$\pm 1',55$	125	555	4,52	$\pm 2',08$	1420	1598	1,12	$\pm 1',16$				

¹ Einstellung auf eine Pyramide. ² Resultat wenn die Beobachtungen auf die Pyramide von Banjoeligi beigezählt werden. ³ Signal auf dem 7. Juni 1871.

EXCENTRISCHES FERNROHR.

Vergleichung				Mittlerer Fehler einer Ablesung eines Mikroskops,								Weise der Ablesung.
p. F. links mit F. links.				einer einzigen Ablesung, rein, aus den Unterschieden der doppelten Ablesungen desselben Theilstrichs.				einer mitt. Ables., gemischt mit dem Einfl. der veränd. Excentricität, aus den Unterschieden der mitt. Ables., der beiden Mikroskope.				
Auf Signale.				Theiler.	Quadrat- summe.	m_1^2	m_2	Theiler.	Quadrat- summe.	m_1^2	m_2	
q. n.	Quadrat- summe.	m_1^2	m_2	Theiler.	Quadrat- summe.	m_1^2	m_2	Theiler.	Quadrat- summe.	m_1^2	m_2	
H. A. FLORY.												
05	185	1,76	$\pm 1^{\circ},55$	284	9	0,05	$\pm 0^{\circ},18$	50	8	0,28	$\pm 0^{\circ},55$	4
27 ¹	87	5,24	$\pm 1^{\circ},80$	1816	121	0,07	$\pm 0^{\circ},20$	152	58	0,44	$\pm 0^{\circ},66$	2
51	68	1,54	$\pm 1^{\circ},16$	562	51	0,05	$\pm 0^{\circ},23$	51	52	0,62	$\pm 0^{\circ},79$	"
				268	17	0,06	$\pm 0^{\circ},25$	59	57	1,46	$\pm 1^{\circ},21$	"
22 ²	95	4,25	$\pm 2^{\circ},00$	452	26	0,06	$\pm 0^{\circ},24$	41	164	4,00	$\pm 2^{\circ},00$	"
24 ³	157	6,55	$\pm 2^{\circ},50$	440	26	0,06	$\pm 0^{\circ},24$	59	47	1,20	$\pm 1^{\circ},10$	"
50	58	1,94	$\pm 1^{\circ},50$	804	48	0,06	$\pm 0^{\circ},24$	59 ²	228	5,84	$\pm 2^{\circ},42$	4
56	152	2,56	$\pm 1^{\circ},54$	586	25	0,06	$\pm 0^{\circ},23$	56	371	6,62	$\pm 2^{\circ},57$	2
12	71	1,42	$\pm 1^{\circ},19$	460	40	0,09	$\pm 0^{\circ},29$	50	55	1,10	$\pm 1^{\circ},05$	"
18	50	2,51	$\pm 1^{\circ},58$	460	54	0,07	$\pm 0^{\circ},27$	47	9	0,18	$\pm 0^{\circ},45$	"
18	55	1,96	$\pm 1^{\circ},40$	646	57	0,09	$\pm 0^{\circ},30$	58	24	0,62	$\pm 0^{\circ},79$	4
19	17	0,88	$\pm 0^{\circ},94$	554	39	0,07	$\pm 0^{\circ},27$	55	25	0,42	$\pm 0^{\circ},65$	"
15	18	1,22	$\pm 1^{\circ},10$	460	41	0,09	$\pm 0^{\circ},30$	55	4	0,08	$\pm 0^{\circ},28$	"
70	100	1,45	$\pm 1^{\circ},20$	1002	82	0,08	$\pm 0^{\circ},29$	127	108	0,84	$\pm 0^{\circ},92$	"
				696	58	0,08	$\pm 0^{\circ},29$	55 ²	5	0,08	$\pm 0^{\circ},29$	"
15	95	6,18	$\pm 2^{\circ},49$	746	58	0,08	$\pm 0^{\circ},28$	98	51	1,05	$\pm 1^{\circ},05$	"
8	16	2,05	$\pm 1^{\circ},45$	480	36	0,07	$\pm 0^{\circ},27$	40	28	0,69	$\pm 0^{\circ},85$	"
				312	19	0,06	$\pm 0^{\circ},25$	50	29	0,98	$\pm 0^{\circ},99$	"
				188	11	0,06	$\pm 0^{\circ},24$	27	26	0,95	$\pm 0^{\circ},97$	"
				312	11	0,05	$\pm 0^{\circ},25$	52	26	0,80	$\pm 0^{\circ},80$	"
				852	58	0,05	$\pm 0^{\circ},22$	110	52	0,29	$\pm 0^{\circ},54$	"
				676	44	0,07	$\pm 0^{\circ},26$	48	45	0,89	$\pm 0^{\circ},94$	"
				2818	125	0,044	$\pm 0^{\circ},21$	199	40	0,20	$\pm 0^{\circ},45$	"
				656	59	0,06	$\pm 0^{\circ},24$	45	7	0,16	$\pm 0^{\circ},40$	"
				1216	85	0,07	$\pm 0^{\circ},24$	86	188	2,19	$\pm 1^{\circ},48$	"
				1048	64	0,06	$\pm 0^{\circ},23$	77	6	0,08	$\pm 0^{\circ},28$	"
				640	42	0,065	$\pm 0^{\circ},25$	45	58	0,88	$\pm 0^{\circ},94$	"
				1808	125	0,07	$\pm 0^{\circ},26$	46 ²	607	15,20	$\pm 3^{\circ},65$	"
				1256	85	0,07	$\pm 0^{\circ},26$	82 ^m	9	0,11	$\pm 0^{\circ},55$	"
							$\pm 0^{\circ},26$	78	52	0,42	$\pm 0^{\circ},65$	"
2	1160	2,25	$\pm 1^{\circ},49$	22178	1452	0,065	$\pm 0^{\circ},25$	1954	2505	1,28	$\pm 1^{\circ},15$	

Das Instrument auf einem hölzernen Dreifuß. * p bis 15 August 1865. * 12 und 14 August 1865. 7 Mai 1869. * 20—22 Mai 1871.

Standpunkte.	Monat und Jahr.	Mittlerer Fehler einer Einstellung des Fernrohrs und Ablesung des Kreiswerts											
		von Objectiv rechts mit Objectiv links.								von Obj. rechts mit Obj. links			
		Auf Heliotrope.				Auf Signale.				Auf Heliotrope.			
		Thei- ler.	Qua- drat- summe.	m_1^2	m_1	Thei- ler.	Quadrat- summe.	m_1^2	m_1	Thei- ler.	Quadrat- summe.	m_1^2	m_1

Samarang.	XI 1874	12	26	2,14	$\pm 1',46$					72	116	1,61	$\pm 1',5$
	II 1872									408	102	0,95	$\pm 1',4$
Tembok.	III-IV	48	44	2,52	1,52					191	191	1,00	1,0
Oengaran.	IV-V	56	114	5,16	1,78					112	99	0,88	0,9
Nglunggran.	VII-VIII	48	115	6,59	2,55					249	205	0,81	1,1
Merboboe.	XI-1875	51	104	2,02	1,42					175	165	0,94	0,7
Nglunggran.	II-IV	58	144	5,80	1,95					252	129	0,56	0,7
Lawoe.	IV-V	55	95	1,09	1,50					117	95	0,81	0,90
Itawoe.	V	24	80	5,54	1,85					148	158	0,95	0,7
Gambiranom.	VI	26	89	5,45	1,85					108	88	0,81	0,9
Genoek.	VII	18	47	2,65	1,62					72	54	0,17	0,6
Nglangrah.	VIII	12	17	1,58	1,18					158	94	0,68	0,6
Pandan.	XI	50	42	1,59	1,18					75	59	0,81	0,8
Samarang.	I 1874	15	18	1,58	1,18					55	20	0,56	0,7
	II	7	15	2,21	1,49					120	80	0,66	0,8
Oengaran.	II-III	29	71	2,44	1,56	92	68	5,10	$\pm 1',76$	84	85	0,89	0,9
Boetak.	III-IV	16	44	2,75	1,66					157	114	0,85	0,9
Wihis.	IV-V	52	69	2,15	1,47					64	45	0,67	0,6
Sengoengloeng.	VI	15	45	2,84	1,68								
		450	1175	2,01	$\pm 1',62$	92	68	5,10	$\pm 1',76$	2255	1855	0,85	$\pm 1',0$

Gepak.	XII 1875	51	15	0,42	$\pm 0',35$					140	50	0,22	$\pm 0',3$
	I 1876												

Sengoengloeng. VI-V	1879	16	61	5,85	$\pm 1',96$	18	55	5,05	$\pm 1',75$	88	45	0,52	$\pm 1',2$
Geloeng. XI-XII	"	12	59	5,25	1,80					86	68	0,79	0,9
Slamat (Pasas- mean).	I 1880	12	18	1,46	1,21	18	82	4,54	2,15	88	67	0,76	0,9
		40	118	2,95	$\pm 1',72$	56	157	5,79	$\pm 1',95$	202	180	0,90	$\pm 1',0$

ZENTRISCHES FERNROHR.

Vergleichung				Mittlerer Fehler einer Ablesung eines Mikroskops,								Weise der Ablesung.
1. Obj. links mit Obj. links.				einer einzigen Ablesung, rein, aus den Unterschieden der doppelten Ablesungen desselben Theilstrichs.				einer mitt. Ables., gemischt mit dem Einfl. der veränd. Excentricität, aus den Unterschieden der mitt. Ables.", der beiden Mikroskope.				
Auf Signale.												
der.	Quadrat- summe	m_1^2	m_2	Theiler.	Quadrat- summe.	m_1^2	m_2	Theiler.	Quadrat- summe	m_1^2	m_2	

T. Soeters.

				990	52	0,052	$\pm 0',25$	72	28	0,59	$\pm 0',62$	4
				848	55	0,06	0,25	108	40	0,57	0,61	"
				812	45	0,05	0,25	191	112	0,59	0,77	"
				812	44	0,05	0,25	112	28	0,25	0,50	"
				4408	108	0,024	0,16	240	105	0,42	0,85	"
				2588	41	0,017	0,15	175	159	0,80	0,89	"
				5284	52	0,016	0,15	252	225	0,97	0,99	"
				1408	30	0,014	0,12	117	20	0,17	0,41	"
				848	17	0,02	0,14	148	20	0,14	0,57	"
				520	7	0,014	0,12	108	10	0,09	0,50	"
				872	16	0,018	0,15	72	9	0,15	0,56	"
				780	20	0,025	0,16	158	45	0,51	0,56	"
				946	19	0,02	0,14	75	206	2,85	1,68	"
				528	9	0,018	0,15	55	59	1,10	1,05	"
				1192	25	0,019	0,14	120	22	0,18	0,45	"
				784	15	0,016	0,15	157	29	0,18	0,45	"
				824	14	0,016	0,15	157	206	1,54	1,25	"
				852	15	0,017	0,15	64	11	0,17	0,41	"
81	1,11	$\pm 1',05$		25076	566	0,024	$\pm 0',15$	2508	1292	0,56	$\pm 0',75$	

J. Tennissen.

				806	52	0,04	$\pm 0',20$	140	4	0,05	$\pm 0',17$	4
--	--	--	--	-----	----	------	-------------	-----	---	------	-------------	---

Oudemans.

				1172	90	0,08	$\pm 0',28$	88	56	0,41	$\pm 0',54$	4
70	5,87	2',42		914	62	0,07	0,26	98	44	0,45	0,67	"
26	2,15	1',47		964	49	0,05	0,25	100	57	0,56	0,60	"
96	4,01	2',00		5050	201	0,066	$\pm 0',26$	286	117	0,41	$\pm 0',64$	

		Mittlerer Fehler einer Einstellung der Fernrohrs und Alimay (in Sec.)											
Standpunkte.	Monat und Jahr.	von Fernrohr rechts mit Fernrohr links.						von F. rechts auf F. links.					
		Auf Heliotrope.				Auf Signale.				Auf Heliotrope.			
		Ther- ler.	Qua- dra- tumme.	m_1^2	m_1	Ther- ler.	Qua- dra- tumme.	m_2^2	m_2	Ther- ler.	Qua- dra- tumme.	m_3^2	m_3
Poetri.....	X 1867	36	29	1,03	$\pm 1^{\circ} 04$					186	246	1,33	2,30
Pangrango.....	XI " 43	147	3,20	1,31						157	375	2,30	2,30
Dago.....	III 1868	29	103	3,63	1,90					124	271	1,34	1,34
Karang.....	" " 33	115	3,49	1,37						123	287	1,34	1,34
Tjitoemloem.....	IV " 45	132	3,27	1,34						106	449	2,30	2,30
Kluhlung.....	" " 28	115	4,21	2,00						60	123	1,34	1,34
Tindjil.....	V " 10	27	2,69	1,44						34	63	1,34	1,34
Hemipj.....	" " 12	10	0,79	0,59						75	129	1,34	1,34
Ratoehideng.....	" " 7	5	0,34	0,45						12	20	1,34	1,34
Geld.....	" " 2	2	0,09	0,31						152	475	2,30	2,30
Endoet.....	VI " 27	105	2,92	1,31						169	357	1,34	1,34
Sugahewana II.....	IX " 42	235	5,58	2,75						142	451	2,30	2,30
Sugahewana I.....	" 68; IX 69	50	274	1,47	2,75					93	160	1,34	1,34
Boranganrang.....	XI " 1868	19	84	4,43	2,10					63	112	1,34	1,34
Patoeba.....	" " 14	99	7,05	2,66						221	355	2,30	2,30
Udat.....	III - IX 1869	12	401	1,43	2,75					75	147	1,34	1,34
Nangka.....	" " 35	71	2,62	1,42						174	191	1,34	1,34
Tjitoemloem.....	IV " 15	167	3,96	2,44						113	191	1,34	1,34
Tjitoemloem.....	" " 15	32	2,47	1,37						62	111	1,34	1,34
Tjitoemloem.....	V " 24	38	1,37	1,25						70	136	1,34	1,34
Telaga.....	" " 45	160	3,56	1,79						159	285	1,34	1,34
Boranganrang.....	VI " 15	40	2,63	1,52						46	85	1,34	1,34
Tampomas II.....	VII " 65	402	6,15	2,45						165	309	2,30	2,30
Kedika.....	IV 1870	19	85	1,46	2,11					94	214	1,34	1,34
Lowari.....	" 24 Apr.	"	17	124	7,30	2,70				64	297	1,34	1,34
Kromon.....	" 25 k 26	"	26	261	10,63	3,17				116	240	1,34	1,34
Cheribon II.....	" " 3	10	2,39	1,34						3	99	2,30	2,30
Tjerimaj IV.....	" " 78	348	7,93	2,65						314	685	1,34	1,34
Sawal.....	" " 28	99	3,17	1,78						105	168	1,34	1,34
Bonglak.....	VI - VII " 25	77	2,75	1,66						150	293	1,34	1,34
Tjitoemloem.....	VIII " 91	445	4,90	2,21						221	364	1,34	1,34
Tjitoemloem.....	XI " 18	74	5,75	2,39						78	250	1,34	1,34
Bonglak.....	XI " 18	105	11,91	3,32						95	192	1,34	1,34
Pago II.....	" " 27	136	5,03	2,25						149	201	1,34	1,34
Dago.....	III 1871	17	44	2,59	1,61					120	201	1,34	1,34
Soranganrang.....	XI " 12	25	2,97	1,44						63	111	1,34	1,34
Telaga.....	III 1872	15	120	7,99	2,55					27	214	1,34	1,34
Sugahewana I.....	VI " 23	88	5,72	1,93						127	215	1,34	1,34
Punkt I.....	1874	34	191	5,89	2,41					68	79	1,34	1,34
Punkt II.....	" " 18	15	2,69	1,54						45	79	1,34	1,34
Punkt III über Boas.....	V I " 12	44	3,70	1,92						66	107	1,34	1,34
Punkt IV von.....	" " 22	75	3,42	1,85						59	145	1,34	1,34
Punkt V Simphak.....	XII " 18	52	2,92	1,71						30	94	1,34	1,34
Punkt VI.....	" " 12	90	7,54	2,75						92	139	1,34	1,34
Punkt VII.....	" " 27	341	12,63	3,35						86	154	1,34	1,34
Boebost Simphak.....	I. 1875	56	100	3,84	1,96								
Deselbe Kreislage bei F. I. u. z.		748	3390	4,24	$\pm 2^{\circ} 08$								
Verschiedene.....		495	2165	5,55	2,36								

* An diesen Standpunkten wurde bei Formeln m_1 und m_2 mit verschiedenen Kreislagen eingestellt; es darf also erstere variieren.

EXCENTRISCHES FERNROHR.

Vergleichung				Mittlere Fehler einer Ableitung eines Mikroskops,								Weise der Ablei- tung.
F. links mit F. links.				einer einzigen Ableitung, rein, nur des Unterschieden der doppelten Ableitungen desselben Theilstrichs.				einer mitt. Ables., gemischt mit dem Einfl. der veränd. Excentricität, aus den Unterschieden der mittleren Ableitungen, der beiden Mikroskope.				
Auf Signale.												
nier.	Quadrat- summe.	m_2^2	m_2	Theiler.	Quadrat- summe.	m_2^2	m_2	Theiler.	Quadrat- summe.	m_2^2	m_2	

TZGER.

16	138	5,29	$\pm 2",30$	790	151	0,16	$\pm 0",51$	198	207	1,65	$\pm 1",25$	4
				829	201	0,24	0,49	157	101	0,44	0,80	"
				792	165	0,31	0,46	124	61	0,49	0,70	"
				794	134	0,19	0,44	127	128	1,92	1,81	"
				832	184	0,15	0,39	196	179	2,95	1,72	"
				804	97	0,12	0,35	106	341	2,27	1,51	"
				792	106	0,13	0,36	60	19	0,21	0,56	"
				700	119	0,11	0,41	61	19	0,18	0,43	"
				784	135	0,17	0,41	75	32	0,43	0,66	"
				782	80	0,13	0,39	38	74	1,95	1,49	"
				846	85	0,10	0,32	152	65	0,54	0,59	"
				800	96	0,12	0,33	169	43	0,27	0,52	"
				504	57	0,11	0,34	142	59	0,42	0,65	"
				540	115	0,14	0,37	95	18	0,19	0,44	"
				617	72	0,12	0,34	62	18	0,20	0,42	"
				722	113	0,13	0,39	221	145	0,67	0,82	"
				1070	120	0,12	0,35	73	276	2,79	1,95	"
				764	78	0,10	0,32	124	423	2,43	1,55	"
				798	53	0,07	0,28	123	567	1,60	2,13	"
				760	68	0,09	0,28	42	703	11,24	2,57	"
776	44	0,06	0,24	70	499	7,00	2,68	"				
860	65	0,08	0,28	158	595	3,34	1,83	"				
682	71	0,11	0,33	46	290	8,19	2,91	"				
754	78	0,10	0,32	165	1260	4,85	2,29	"				
825	170	0,20	0,35	94	3024	32,27	5,49	"				
756	227	0,38	0,53	64	116	144	146,51	16,82	"			
785	118	0,15	0,39	115	101	0,53	0,93	"				
126	13	0,10	0,31	8	15	1,85	1,26	"				
792	97	0,12	0,36	314	2670	5,20	2,92	"				
865	122	0,19	0,43	105	735	7,00	3,65	"				
804	178	0,24	0,47	120	102	0,25	0,92	"				
840	141	0,17	0,41	231	3416	12,16	2,49	"				
904	172	0,19	0,44	78	510	5,97	1,99	"				
780	129	0,17	0,41	93	98	1,08	1,04	"				
832	156	0,19	0,43	149	853	2,57	1,60	"				
800	161	0,20	0,43	120	174	1,24	1,16	"				
26	33	0,11	0,31	63	15	0,24	0,19	"				
712	150	0,21	0,46	52	1917	36,96	6,97	"				
805	156	0,16	0,40	97	1124	11,69	3,42	"				
805	86	0,12	0,33	167	1082	8,13	2,83	"				
792	169	0,14	0,37	60	33	0,33	0,74	"				
672	77	0,11	0,34	48	246	7,09	2,66	"				
840	77	0,09	0,30	66	279	4,23	2,06	"				
856	53	0,10	0,31	39	637	11,14	3,34	"				
868	26	0,10	0,31	39	51	0,42	0,63	"				
846	77	0,09	0,31	92	531	5,99	2,45	"				
864	72	0,09	0,29	40	609	7,07	2,60	"				
135				35484	3103	0,144	$\pm 0",56$	5179	2517	4,86	$\pm 2",20$	

beilagsfehler vergrößert worden ist.

Standpunkte.	Monat und Jahr.	Mitt. Fehler einer Einstellung des Fernrohrs und Ablesung des Kreis.									
		von Objectiv rechts mit Objectiv links.						von Obj. rechts mit Obj. links.			
		Auf Heliotrope.				Auf Signale.				Auf Heliotrope.	
		Thei- ler.	Qua- drat- summe.	m_1^2	m_1	Thei- ler.	Quadrat- summe.	m_1^2	m_1	Thei- ler.	Quadrat- summe.

Punkt II Basis	III 1870	18	50	1,67	$\pm 1',29$
Punkt III von	VI "	6	16	2,61	1',62
Punkt IV Sim-	VI-VIII "	48	89	1,85	1',56
Punkt I plak.	VI-XII "	22	14	0,61	0',78
Tjitjadas.	VI "	24	49	2,06	1',44
Bochoet Simplak.	VII-VIII "	59	60	1,55	1',24
Poetri.	XI "	24	12	0,49	0',70
Mentjeré	XII "	56	19	0,52	0',72
Hambalang	II 1877	8	19	2,52	1',52
		225	508	1,56	$\pm 1',16$

66	58	88	$\pm 0,76$
52	151	252	1,30
202	237	1,17	1,20
155	147	1,11	1,10
92	110	1,20	1,00
140	212	1,51	1,25
76	71	0,91	0,87
121	86	0,71	0,69
21	21	0,90	0,80
905	1075	1,19	$\pm 1',17$

Menjan	III 1870	10	48	4,77	$\pm 2',18$
Anjer	VIII 1880	6	50	4,99	2',25
Poelo Sangau	IX-X "	12	26	2,14	1',46
Gedé	X-XI "	25	68	2,75	1',35
Karang	XI "	6	21	5,58	1',80
		49	145	2,97	$\pm 1',72$

219	555	1,51	$\pm 1',10$
56	28	0,79	0,70
72	57	0,79	0,70
150	121	0,80	0,70
56	26	0,71	0,60
515	565	1,10	$\pm 1',10$

(*) Zwischen Fernrohr rechts und links wurde der Kreis jedesmal um 15° gedreht.

1. 2. EXCENTRISCHES FERNROHR.

Vergleichung				Mitt. Fehler einer Ablesung eines Mikroskops,								Weise der Ablesung.
3. Obj. links mit Obj. links.				einer einzigen Ablesung, rein, aus den Unterschieden der doppelten Ablesungen desselben Theilstrichs.				einer mitt. Ables., gemischt mit dem Einfl. der veränd. Excentricität, aus den Unterschieden der mitt. Ables. der beiden Mikroskope.				
Auf Signale.												
iler.	Quadrat- summe.	m_2^2	m_3	Theiler.	Quadrat- summe.	m_2^2	m_3	Theiler.	Quadrat- summe.	m_2^2	m_3	

Woldringh.

920	152	0,17	$\pm 0',41$	66	12	0,18	$\pm 0',45$	4
504	154	0,27	0,52	32	12	0,22	0,47	"
816	176	0,22	0,47	202	54	0,17	0,41	"
860	162	0,19	0,45	155	28	0,21	0,46	"
896	174	0,19	0,44	92	42	0,46	0,68	"
992	206	0,21	0,46	140	80	0,57	0,76	"
726	144	0,20	0,45	76	221	2,90	1,70	"
888	160	0,18	0,45	121	10	0,08	0,29	"
536	78	0,25	0,48	21	2	0,08	0,28	"
6978	1586	0,20	$\pm 0',45$	905	441	0,49	$\pm 0',70$	

1. Oudemans.

54	1,50	$\pm 1',22$	822	192	0,25	$\pm 0',48$	219	426	1,94	$\pm 1',59$	4
			808	61	0,08	0,28	56	28	0,77	0,88	"
			808	45	0,05	0,25	108	81	0,75	0,87	"
			856	50	0,06	0,24	150	122	0,81	0,90	"
			400	17	0,045	0,21	56	54	0,95	0,58	"
54	1,50	$\pm 1',22$	5694	565	0,10	$\pm 0',51$	549	691	1,26	$\pm 1',12$	

teilung auf den Blitzableiter des
Schiffthurns zu Anjer).

ZIROCHENES FERNROHR.

d) Ablesung aus Vergleichung								M. F. einer mittleren Ablesung eines Mikroskops, gemischt mit dem Einflusse veränderlicher Excentricität, aus den Unterschieden der mittleren Ablesungen der beiden Mikroskope.				Weise der Ablesung.
von Obj. rechts mit Obj. rechts, resp. Obj. links mit Obj. links.												
Einstellung auf Heliotrope.				Einstellung auf Signale.								
reiter.	Quadratsumme.	m_1^2	m_1	Theiler.	Quadratsumme.	m_2^2	m_2	Theiler.	Quadratsumme.	m_3^2	m_3	

id G. A. de Lange.

				55	685	12,45	$\pm 5',55$	55	191	5,47	$\pm 1',86$	Überall wurde nur einmal abgelesen, m_1 konnte also nicht bestimmt werden.
				107	1184	11,07	$\pm 5',55$	107	211	1,97	$\pm 1',40$	
				162	1869	11,54	$\pm 5',40$	162	402	2,48	$\pm 1',57$	
de Lange.												
19	87	4,58	$\pm 2',14$	46	549	7,58	$\pm 2',75$	65	141	2,17	$\pm 1',47$	
				75	509	6,78	$\pm 2',60$	75	86	1,14	$\pm 1',07$	
				56	501	5,57	$\pm 2',52$	56	146	2,60	$\pm 1',61$	
				142	561	5,95	$\pm 1',99$	142	402	2,85	$\pm 1',68$	
				68	257	5,49	$\pm 1',87$	68	272	4,00	$\pm 2',00$	
19	87	4,58	$\pm 2',14$	387	1957	5,06	$\pm 2',25$	406	1047	2,57	$\pm 1',60$	

Standpunkte.	Monat und Jahr.	Mittlerer Fehler einer Einstellung und Ablesung							
		von F. rechts mit F. links.				von F. rechts auf F. links.			
		Einstellung auf Signale.				Einstellung auf Heliotrop.			
		Theo- der. summe.	Quadrat- summe.	m_1	m_2	Theo- der. summe.	Quadrat- summe.	m_1	m_2
Matjanmati und Paseroean	XI 1861	17	76	4,49	$\pm 2', 12$				
Penawangan und Merbaboe	XII "	15	115	8,66	$\pm 2', 94$				
Pakiton und Banjoepahit	I 1862	9	122	15,55	$\pm 5', 68$				
Segorogonoeng und Gading	III "	27	291	10,76	$\pm 5', 28$				
Giri und Morodemak	III-VII "	16	455	27,06	$\pm 5', 20$				
Goeling, Gepak und Ijohokling	XI 1865	27	177	6,55	$\pm 2', 56$				
Nglanggran	XII "	52	191	3,96	$\pm 2', 44$				
Plawangan und Tjepér	" "	11	35	4,84	$\pm 2', 20$				
Salam und Banjoepahit	I 1864	15	58	5,87	$\pm 1', 97$				
Matjanmati	IV "	8	106	15,28	$\pm 5', 64$				
Kritjan	V "	17	105	6,15	$\pm 2', 58$				
		192	1725	8,08	$\pm 5', 00$				

Trangkil und Andong
Paseroean
Batoe, Senèn und Sawoe

V-VI 1862	27	182	6,74	$\pm 2', 60$
X "	15	60	5,97	$\pm 1', 99$
VIII 1865	41	259	5,82	$\pm 2', 41$
	83	481	5,78	$\pm 2', 40$

Segorogonoeng, Boengkoew, Toetak, Ibkitan,
Gondanglei, Panggong, Mindalaren und Kritjan VII-IX '64

25	418	16,74	$\pm 5', 09$
----	-----	-------	--------------

Wondjolo, Segorogonoeng, Ngimou, Watoemi-
ring, Poeh besar, Patjakaran und Boetak
Poedjak, Soenderbadu, Ngimou, Kerkep, Semangi,
Poedjong, Ngati, Kedjuning, Wondjolo, Wu-
nosari, Kalidika, Tawngangan, Rolen, Tertek
und Boenten
Wedura, Tertek, Patjakaran, Panggong, Poedjong,
Poetokel, Pereng, Wondjolo, Goenong Mas,
Ngimhang und Patjakaran

III-VII '67	84	1016	12,06	$\pm 5', 48$	29	55	1,90	$\pm 1', 20$
VI-IX "	71	552	7,80	$\pm 2', 74$	50	259	4,78	$\pm 2', 15$
IX-XI "	42	528	7,80	$\pm 2', 70$	12	26	2,15	$\pm 1', 40$
	197	1876	9,52	$\pm 5', 08$	91	520	5,62	$\pm 2', 40$

* Die Beobachtungen mit diesem Instrumente, auf Heliotropen ausgeführt, waren zu wenig zahlreich, um aus denselben m_1 zu berechnen.

** In Matjanmati (1864) fand der Fall statt, dass der Unterschied $L-R$, nach Correction für die Excentricität des Fernrohrs, also $10''$, $15''$, $20''$ $L-R = + 6'', 5; 4'', 2; 5'', 1; 6'', 7$, im Mittel $m = + 6'', 3$, bei Banjoepahit (Entfernung 30,6 Kilometer), $m = + 15'', 9; 16'', 0; 17'', 0; 18'', 0$ $L-R = + 6'', 3$, bei Banjoepahit (Entfernung 30,6 Kilometer), $m = + 15'', 9; 16'', 0; 17'', 0; 18'', 0$ $L-R = + 6'', 3$ vorlief. (Siehe jedoch die Note, S. 134.) Diese Beobachtungen sind in der Tabelle nicht aufgenommen. Mit zwei Bandklappen von 25 April 1862.

EXCENTRISCHES FERNROHR.

is Vergleichung				Mittlerer Fehler einer Ablesung eines Mikroskops,								Weise der Ablesung.
sp. F. links mit F. links.				einer einzigen Ablesung, rein, aus den Unterschieden der doppelten Ablesungen.				einer mitt. Ables., gemischt mit dem Einfl. der veränd. Excentricität, aus den Unterschieden der mitt. Ables. der beiden Mikroskope.				
Einstellung auf Signale.												
eiler.	Quadrat- summe.	m_2^2	m_2	Theiler.	Quadrat- summe.	m_2^2	m_2	Theiler.	Quadrat- summe.	m_1^2	m_1	

C. A. van Asperen.

17	580	5,66	$\pm 2^{\circ},58$	1644	1958	1,17	$\pm 1^{\circ},08$	67	53	0,52	$\pm 0^{\circ},72$	2
15	218	5,46	$\pm 1^{\circ},86$	980	1251	1,28	$\pm 1^{\circ},15$	65	56	0,57	$\pm 0^{\circ},75$	"
15	492	5,18	$\pm 2^{\circ},28$	726	587	0,81	$\pm 0^{\circ},90$	35	45	0,47	$\pm 0^{\circ},69$	"
11	451	4,47	$\pm 2^{\circ},11$	1276	1094	0,86	$\pm 0^{\circ},95$	101	59	0,59	$\pm 0^{\circ},62$	"
12	182	5,50	$\pm 1^{\circ},87$	596	454	0,76	$\pm 0^{\circ},87$	52	8	0,16	$\pm 0^{\circ},40$	"
16	455	5,20	$\pm 1^{\circ},79$	824	789	0,96	$\pm 0^{\circ},98$	156	78	0,57	$\pm 0^{\circ},76$	"
19	401	2,57	$\pm 1^{\circ},54$	1206	1214	1,01	$\pm 1^{\circ},09$	169	107	0,65	$\pm 0^{\circ},79$	"
16	150	2,57	$\pm 1^{\circ},54$	516	470	0,91	$\pm 0^{\circ},95$	66	55	0,55	$\pm 0^{\circ},75$	"
76	202	2,06	$\pm 1^{\circ},65$	528	440	0,85	$\pm 0^{\circ},91$	76	29	0,58	$\pm 0^{\circ},62$	"
14	545	5,50	$\pm 2^{\circ},52$	596	255	0,64	$\pm 0^{\circ},80$	64	17	0,27	$\pm 0^{\circ},52$	"
18	151	1,95	$\pm 1^{\circ},59$	524	515	0,60	$\pm 0^{\circ},78$	68	48	0,70	$\pm 0^{\circ},84$	"
17	5592	5,54	$\pm 1^{\circ},88$	9216	8805	0,96	$\pm 0^{\circ},98$	357	477	0,50	$\pm 0^{\circ},71$	"

C. W. R. Th. Band.

11	495	5,42	$\pm 2^{\circ},55$	778	895	1,15	$\pm 1^{\circ},07$	91	152	1,67	$\pm 1^{\circ},29$	2
1	199	2,80	$\pm 1^{\circ},67$	518	528	0,85	$\pm 0^{\circ},91$	71	24	0,54	$\pm 0^{\circ},58$	"
19	565	2,02	$\pm 1^{\circ},62$	1216	775	0,64	$\pm 0^{\circ},80$	159	58	0,42	$\pm 0^{\circ},65$	"
1	1057	5,51	$\pm 1^{\circ},87$	2512	2096	0,85	$\pm 0^{\circ},91$	501	254	0,78	$\pm 0^{\circ},88$	"

W. Vowinkel Dorselen.

1	845	5,25	$\pm 2^{\circ},29$	1268	1029	0,81	$\pm 0^{\circ},90$	161	117	0,75	$\pm 0^{\circ},85$	"
---	-----	------	--------------------	------	------	------	--------------------	-----	-----	------	--------------------	---

H. A. Flory.

1	550	2,55	$\pm 1^{\circ},60$	5446	4470	1,50	$\pm 1^{\circ},14$	257	188	0,79	$\pm 0^{\circ},89$	2
	582	2,51	$\pm 1^{\circ},58$	2164	1816	0,84	$\pm 0^{\circ},92$	202	98	0,49	$\pm 0^{\circ},70$	"
	422	5,10	$\pm 1^{\circ},76$	906	658	0,70	$\pm 0^{\circ},84$	148	55	0,56	$\pm 0^{\circ},60$	"
	1354	2,69	$\pm 1^{\circ},64$	5516	6924	1,06	$\pm 1^{\circ},05$	587	559	0,58	$\pm 0^{\circ},76$	"

in wurde ja nach dem Signal, auf welches das Fernrohr gerichtet wurde. Am 27 April wurde bei Segungsgomeng, (Entfernung 71,9 Kilometer) $\pm 16^{\circ}$ Die Ursache dieser Erscheinung ist schwer zu ermitteln, zumal weil dieselbe an anderen Tagen nicht, oder wenigstens nicht in dem Masse zwischen $m_1 = + 6^{\circ},65$ gegeben haben.

Mittlerer Fehler einer Einstellung und Ablesung											
Standpunkte.	Monat und Jahr.	von Fernrohr rechts mit Fernrohr links						von F. rechts mit F. links			
		Einstellung auf Heliotrope.				Einstellung auf Signale.		Einstellung auf Heliotrope.			
		Ther- ler.	Qua- drat- summe.	m_1^2	m_1	Ther- ler.	Quadrat- summe.	m_1^2	m_1	Ther- ler.	Quadrat- summe.

Tjakema.	IX. 66	22	95	4,55	$\pm 2',08$
Boerangrang.	XI. "				
Sangaboewana I.	XII. "				
Gelis, Hambalang II-III. "					
Tandjong Oost, Poetri und Dago. III. "					
Salak, Penangoen- gan.	IV-V. "	22	95	4,55	$\pm 2',08$

Batoehideng, Sued-
dinank und Tja-
ringin. III u. VIII
1868

Tjawaer, Boedjong
koneng, Pasirka-
doe, Tjilomloem,
Pasirsalam, Tji-
herang, Batoehi-
deng, Houdpij I,
Hondeuleum, De-
li, Tindijil, Men-
tegong, Tjiraden
und Pajong. IX-XII
1868

Gede, Karang.

Transport.

19	125	6,48	$\pm 2',55$
50	188	5,77	$\pm 1',94$
52	50	1,56	$\pm 1',25$
101	561	5,58	$\pm 1',89$

CENTRISCHES FERNROHR.

Vergleichung				Mittlerer Fehler einer Ablesung eines Mikroskops,								Weise der Ablesung.
p. F. links mit F. links.				einer einzigen Ablesung, rein, aus den Unterschieden der doppelten Ablesungen.				einer mitt. Ables. gemischt mit dem Einfl. veränd. Excentricität des Kreises, aus den Unterschieden der Ables., der beiden Mikroskope.				
Einstellung auf Signale.												
q. l.	Quadrat- summe.	m_2^2	m_2	Theiler.	Quadrat- summe.	m_2^2	m_2	Theiler.	Quadrat- summe.	m_2^2	m_2	

Metzger

8	96	2,01	$\pm 1',42$	672	475	0,70	$\pm 0',84$	48	161	5,15	$\pm 1',85$	4
6	202	2,66	1,65	900	509	0,56	0,75	76	4578	57,61	7,59	"
1	268	2,42	1,56	824	550	0,42	0,65	111	2975	26,78	5,48	"
8	510	2,87	1,69	1264	475	0,57	0,61	108	768	7,11	2,67	"
7	575	2,75	1,65	2510	1572	0,62	0,79	157	1089	7,95	2,82	"
3	576	2,89	1,70	1768	1588	0,79	0,89	150	1957	15,05	5,88	"
1	1627	2,67	$\pm 1',65$	7058	4765	0,60	$\pm 0',77$	610	11526	18,57	$\pm 4',51$	

Waldringh.

555	5,21	$\pm 1',79$	1510	1472	1,12	$\pm 1',06$	110	150	1,18	$\pm 1',09$	2
551	1,76	1,55	5764	2726	0,72	0,85	465	280	0,605	0,78	4
112	0,79	0,89	1968	1526	0,78	0,88	158	70	0,45	0,67	"
996	1,80	$\pm 1',54$	7042	5724			751	480			

Standpunkte.	Monat und Jahr.	Mittlerer Fehler einer Einstellung und Ablesung aus 10							
		von Fernrohr rechts mit Fernrohr links.				von F. rechts mit F. links.			
		Einstellung auf Heliotrope.				Einstellung auf Signale.			
		Thet- ler.	Qua- drat- summe.	m_1^2	m_1	Thet- ler.	Qua- drat- summe.	m_2^2	m_2
								Thet- ler.	Qua- drat- summe.

Transport.						101	561	5,58	$\pm 1',89$	177	549		
Kronen.	VI 71	60	285	4,75	$\pm 2',18$					144	511	5,55	$\pm 1',8$
Sambian.	VI-VII *	12	51	2,60	1,61					24	48	1,99	
Cheribon II.	VII-IX *	54	145	4,21	2,05					106	547	5,27	1,8
"	"	7	50	7,19	2,68					15	86	6,60	2,2
Slamat.	I-II 74	89	262	2,95	1,72					177	551	1,89	1,8
Tjemuring.	III *	57	82	2,22	1,49					58	122	2,11	1,8
Kembong.	VI *	17	55	5,12	1,77					72	112	1,26	1,8
		256	906	5,54	1,88	101	561	5,58	$\pm 1',89$	771	1900	2,08	$\pm 1',8$

Kreis zwischen Fernrohr rechts und Fernrohr links gedreht.
Beobachter: E. Metzger.

Tjikema.	IX 60	8	29	5,68	$\pm 1',92$	(Den Kreis um 18° ge- dreht.)
Boerangraue.	XI *	67	708	10,56	5,25	(" " " 60° "
Songhoewana I.	XII *	67	754	11,26	5,56	(" " " " "
Gadis, Handalang II-III	67	112	1126	10,05	5,17	
Tandjong (Ost, Poetri und Dago)	III *	81	3694	12,27	5,50	(Den Kreis zwischen dreht, bald um 50° um 60°, bald um 120°)
Safak, Penangou- gan	IV-V *	144	2290	15,90	5,99	
		179	5901	12,52	$\pm 5',51$	
Batoehid, u. s. w.	III-IV *	12	220	18,50	$\pm 4',28$	(Den Kreis um 18° ge- dreht.)
Tjawater u. s. w. IV-VII *	(siehe oben)	62	1146	18,48	4,50	
		74	1566	18,45	$\pm 4',50$	

+ Einstellung auf das Nachsignal in einer Entfernung von 850 Metern.

CENTRISCHES FERNROHR.

Eichung				Mittlerer Fehler einer Ablesung eines Mikroskops,								Weise der Ablesung.
resp. F. links mit F. links.				einer einzigen Ablesung, rein, aus den Unterschieden der doppelten Ablesungen.				einer mitt. Ables., gemischt mit dem Einfl. veränd. Excentricität des Kreises, aus den Unterschieden der mitt. Ables., der beiden Mikroskope.				
Einstellung auf Signale.												
Teiler.	Quadrat- summe.	m_2^2	m_2	Teiler.	Quadrat- summe.	m_3^2	m_3	Teiler.	Quadrat- summe.	m_4^2	m_4	

Woldringh.

				7042	5724			751	480			
				722	917	1,16	$\pm 1^{\circ},08$	144	2596	16,64	$\pm 4^{\circ},08$	4
				640	440	0,69	0 ,85	24	220	9,17	5 ,05	"
				864	708	0,82	0 ,91	119	2184	18,55	4 ,28	"
				906	1144	1,24	4 ,12	177	1716	9,70	5 ,11	"
				888	950	1,05	4 ,02	58	515	8,84	2 ,97	"
				1056	979	0,95	0 ,96	72	995	15,79	5 ,71	"
14	996	1,80	$\pm 1^{\circ},54$	12188	10842	0,89	$\pm 0^{\circ},94$	1525	8502	6,42	$\pm 2^{\circ},55$	
	Weise der Ablesung.											
	4											
	"											
	"											
	"											
	"											
	"											
	2											
	4											

Standpunkte.	Monat und Jahr.	Mittlerer Fehler einer Einstellung und Ablesung am Signal									
		von Fernrohr rechts mit Fernrohr links.						von F. rechts mit F. links			
		Einstellung auf Heliotrope.				Einstellung auf Signale.				Einstellung auf Heliotrope.	
		Ther- ler.	Qua- drat- summe.	m_1^2	m_1	Ther- ler.	Quadrat- summe.	m_1^2	m_1	Ther- ler.	Quadrat- summe.
Pekalongan und.....	VII-IX 65					20	72	5,58	$\pm 1',89$		
Gegergadang.....	X-XI "					17	165	9,56	$\pm 1',09$	25	11
Tembok n. Priksa.....	XII 65-66	8	17	$2,09 \pm 1',45$		16	45	2,82	$\pm 1',68$	48	11
Begodj. u. Prahoe.....	II-III "					18	264	14,68	$\pm 1',87$		
Gadjah u. Tjoepoe.....		8	17	$2,09 \pm 1',45$		71	544	7,65	$\pm 2',77$	71	22
Koeta.....	IV 1866	12	52	$2,67 \pm 1',65$		50	95	5,09	$\pm 1',76$	14	45
Slamat IV.....	"					50	112	5,72	$\pm 1',95$		
Losari.....	"	5	5	$1,74 \pm 1',52$		7	27	5,90	$\pm 1',97$		
Mroeng.....	V					16	66	4,15	$\pm 2',04$		
Kedaka.....	"					29	78	2,67	$\pm 1',64$		
		15	57	$2,49 \pm 1',55$		112	576	5,55	$\pm 1',83$	14	45
Boetak, Banjak, Bret, Ka- tok, Salar, Andjasmoro, Looksongo, Ngantang, Begadong, Nguro, Kle- tek, Pesautren und Pare.....	II-IV 1867					96	997	10,58	$\pm 3',22$		
Ngadilowih, Boedog, Ka- langherst, Sengonglong, Dorowati, Wilis und Pegat.....	V-VI "					121	1076	8,89	$\pm 2',98$		
Dneleg, Gelung, Boe- dog, Sekarpoeti und Sedajopo.....	IX-XI "					75	705	9,57	$\pm 3',06$		
Klatak.....	XII "					77	1045	15,54	$\pm 5',68$	57	101
Boetak (Kediri). Paseroewan Ketjiri Paseroewan Sengongkron Karangasem, Gecendo, Soe- lok, Soeket und Gelung	V 1868 " " VI " III 1869 III-IV " VII-XII 1870	10	58	$5,76 \pm 1',94$		15	40	5,05	$\pm 1',75$		
						55	196	5,59	$\pm 2',56$		
						7	25	5,56	$\pm 1',89$		
						18	170	9,47	$\pm 5',08$		
						Kreis zwischen F. rechts und F. links gedreht.		21	568	17,55	$\pm 4',19$
		10	58	$5,76 \pm 1',94$		142	4250	9,61	$\pm 5',10$	57	101
						ohne die letzte.				74	45
Ardjewus (Baglen).....	II 1875	17	18	$1,97 \pm 1',05$						90	14
Kouhang.....	III-IV "									155	59
Prahoe.....	V-VI "	29	54	$1,17 \pm 1',08$		8	18	$2,27 \pm 1',51$		155	59
		65	70	$1,11 \pm 1',05$		8	18	$2,27 \pm 1',51$		155	59

¹ Unter diesen kommen einzelne Einstellungen auf Heliotrope vor. ² Die dreifachen Einstellungen geben einen grösseren Werth für m_1 3; 0,09; $\pm 9',30$. Eine geringe Beweglichkeit des Instruments auf dem Pfeiler, oder auch eine veränderliche laterale Refraktion, sind die selben Kreislänge nur ein Bandring gesucht, deshalb konnte für Losari, Mroeng und Kedaka nur m_1 berechnet werden. Die selben geschehen waren. Insbesondere war dies zu Koeta mit dem Signale auf dem Mroeng der Fall. ³ Auch hier wurde m_1 bei den dreifachen

CENTRISCHES FERNROHR.

Eichung				Mittlerer Fehler einer Ablesung eines Mikroskops,								Weise der Ablesung:
p. F. links mit F. links.				einer einzigen Ablesung, rein, aus den Unterschieden der doppelten Ablesungen.				einer mitt. Ables., gemischt mit dem Einfl. der veränd. Excentricität, aus den Unterschieden der mitt. Ables. der beiden Mikroskope.				
Einstellung auf Signale.				Theiler.	Quadrat- summe.	m_2^2	m_2	Theiler.	Quadrat- summe.	m_1^2	m_1	
iter.	Quadrat- summe	m_2^2	m_2									
W. Voswinkel Dorselen.												
7	56	0,64	$\pm 0',80$	848	217	0,26	$\pm 0',51$	87	19	0,22	$\pm 0',47$	2
1	45	0,88	$\pm 0',94$	1066	267	0,28	$\pm 0',55$	74	14	0,19	$\pm 0',44$	"
7	12	0,44	$\pm 0',66$	576	100	0,174	$\pm 0',42$	75	5	0,07	$\pm 0',27$	"
4	55	0,65	$\pm 0',81$	1020	225	0,22	$\pm 0',47$	84	12	0,15	$\pm 0',39$	"
9	168	0,67	$\pm 0',82$	5410	807	0,24	$\pm 0',49$	520	50	0,16	$\pm 0',40$	
A. C. Oudemans.												
2	291	4,70	$\pm 2',17$	952	825	0,89	$\pm 0',94$	62	54	0,86	$\pm 0',95$	"
				572	475	0,85	$\pm 0',91$	14	14	0,98	$\pm 0',99$	"
				160	185	1,15	$\pm 1',07$					"
				524	276	0,65	$\pm 0',81$					"
				654	505	0,79	$\pm 0',89$					"
2	291	4,70	$\pm 2',17$	2722	2262	0,85	$\pm 0',91$	76	68	0,89	$\pm 0',94$	
L. van Issemuden.												
17	499	4,26	$\pm 2',06$	1766	1854	1,05	$\pm 1',02$	117	179	1,55	$\pm 1',24$	2
99	581	5,07	$\pm 2',15$	5562	4085	1,15	$\pm 1',07$	189	182	0,96	$\pm 0',89$	"
78	1125	4,65	$\pm 2',01$	1466	1961	1,54	$\pm 1',16$	278	259	0,95	$\pm 0',97$	"
22	912	2,59	$\pm 1',55$	808	764	0,94	$\pm 0',97$	582	219	0,57	$\pm 0',76$	"
				880	904	1,05	$\pm 1',01$	57	57	1,00	$\pm 1',00$	"
1	74	1,45	$\pm 1',29$	826	784	0,95	$\pm 0',98$	51	95	1,86	$\pm 1',56$	"
5	218	1,74	$\pm 1',52$	814	754	0,92	$\pm 0',96$	125	62	0,49	$\pm 0',70$	"
4	75	1,65	$\pm 1',29$	288	211	0,75	$\pm 0',86$	44	20	0,17	$\pm 0',68$	"
9	225	2,49	$\pm 1',58$	416	255	0,61	$\pm 0',78$	89	45	0,19	$\pm 0',70$	"
9	48	1,67	$\pm 1',29$	850	686	0,81	$\pm 0',90$	29	557	12,52	$\pm 3',51$	"
4	5755	2,88	$\pm 1',70$	11676	12256	1,05	$\pm 1',02$	1561	1455	1,08	$\pm 1',04$	
2. Teimissen.												
3	15	2,12	$\pm 1',46$	878	590	0,47	$\pm 0',68$	80	16	0,20	$\pm 0',45$	4
				848	556	0,40	$\pm 0',65$	90	12	0,14	$\pm 0',37$	"
1	11	0,59	$\pm 0',77$	816	560	0,44	$\pm 0',66$	154	10	0,06	$\pm 0',25$	"
1	24	0,96	$\pm 0',98$	2502	1086	0,45	$\pm 0',65$	524	58	0,12	$\pm 0',54$	

ben; getrennt geben die dreifachen: 45; 47; 0,91; $\pm 0',93$; die zweifachen 56; 5; 0,22; $\pm 0',47$; ebenso bei 47: 9; 0,19; $\pm 0',44$; und $\frac{1}{2}$ der Bestimmung von m_2 erkläre: was m_2 angeht, so glaube ich, dass hier mehr der Zufall im Spiel gewesen ist. ⁵ Meistentheils wurde in drei- und dem Umstande zugeschrieben, dass die Signale wegen der in dieser Jahreszeit nicht ungewöhnlichen unterdrückten Luft schwerer zu unterscheiden als bei den zweifachen. Die Trennung gab: die dreifachen 46; 132,51; 5,84; $\pm 1,85$; die zweifachen 45; 66,19; 1,66; $\pm 1,57$.

Standpunkte.	Monat und Jahr.	Mittlerer Fehler einer Einstellung und Ablesung in Bogensekunden									
		von Fernrohr rechts mit Fernrohr links.						von F. rechts mit F. links.			
		Einstellung auf Heliotrope.			Einstellung auf Signale.			Einstellung auf Heliotrope.			
		Ther- drat- sum- me.	m_1^2	m_2	Ther- drat- sum- me.	m_1^2	m_2	Ther- drat- sum- me.	m_1^2	m_2	m_3

Lindjong u. Oedjong	VIII 1865
Goenong	" "
Waringin-anom u. Ker- tosari	" "
Tjirangaja, Lingga und Tjemoko	IX-X 65

25	259	11,25	$\pm 5,55$
25	154	5,85	2,42
57	402	10,85	5,29
85	795	5,79	$\pm 5,09$

Tjikema u. Djiomin	X-M 1866
Nini und Bohong	VII "
Gedogan, Panawoan, Nini, Pantjakkan, Bo- hong u. Poentjakharang	IX 1867
Boekitdjarian	VIII "
Tampoemas, Iwir-iwir, Tjiboeroan und Nini	VIII-IX "
Karangantoe, Pinang, Tanara, Tandjong Pon- tang, Soesoekan, Tji- kandi, Tjilarang, Ba- ros, Tjenggal, Paele und Serang	V 1868
Telok, Ituljassa, Tang- ka und Keizerspark	III-IV 69

12	59	5,22	$\pm 1,79$
20	256	11,82	5,44
44	771	17,55	4,17
15	257	17,10	4,14
12	126	10,49	5,24
26	755	28,95	5,58
55	2025	57,85	7,61
105	1429	15,87	$\pm 5,72$
61	2778	45,54	6,75

Erste Gruppe
Zweite "

Salak 1	V-VI 1876	86	1154	15,41	$\pm 5,66$
---------	-----------	----	------	-------	------------

297	4120	5,77	$\pm 1,60$
-----	------	------	------------

¹ Indem 10 sehr abweichende Unterschiede, vom 27. November, ausgeschlossen wurden.

² Einzelne Richtungen unter den von den Herren Metzger und Sieders beobachteten waren auf Heliotrope, ihrer geringen wege aus-
genommen.

³ Bei diesem war der Kreis zwischen Fernrohr rechts und links gedreht, und zwar im J. 1868 um 100°, im J. 1869 um 30°.

CENTRISCHES FERNROHR.

eichung				Mittlerer Fehler einer Ablesung eines Mikroskops,								Weise der Ablesung.
sp. F. links mit F. links.				einer einzigen Ablesung, rein, aus den Unterschieden der doppelten Ablesungen.				einer mitt. Ables., gemischt mit dem Einfl. verändert. Excentricität des Kreises, aus den Unterschieden der mitt. Ables., der beiden Mikroskope.				
Einstellung auf Signale.												
eiler.	Quadrat- summe.	m_1^2	m_1	Theiler.	Quadrat- summe.	m_2^2	m_2	Theiler.	Quadrat- summe.	m_1^2	m_1	

Metzger.

26	205	7,82	$\pm 2',80$	586	558	0,92	$\pm 0',96$	26	2440	95,85	$\pm 9',69$	2
52	152	4,76	2,18	452	476	1,10	1,05	52	4086	127,69	11,50	"
41	179	4,57	2,09	628	715	1,14	1,07	41	509	7,55	2,74	"
59	554	5,40	2,52	1446	1547	1,07	1,05					

Th. Soeters.

72	505	4,21	$\pm 2',05$	1000	2576	2,58	$\pm 1',61$	72	9097	154,68	11,61	4
76	168	2,21	1,49	1794	5719	2,08	1,44	62	400	6,45	$\pm 2',54$	"
								76	65	0,85	0,91	"
54	506	2,16	1,47	2194	2775	1,26	1,12	254	114	0,49	0,70	"
54	105	1,95	1,40	844	908	1,08	1,04	54	52	0,60	0,77	"
71	151	2,15	1,46	1120	1176	1,05	1,02	112	145	1,29	1,14	"
7	159	1,50	1,14	5524	5108	1,54	1,24	107	75	0,70	0,84	"
1	207	1,08	1,04	2886	4445	1,54	1,24	191	118	0,62	0,79	"
5	1570	1,97	$\pm 1',40$	15162	20705	1,57	$\pm 1',25$	774	547	0,71	$\pm 0',84$	

Oudemans.

800	526	0,65	$\pm 0',81$	297	720	2,45	$\pm 1',56$	4
-----	-----	------	-------------	-----	-----	------	-------------	---

s aber hier mit aufgenommen.

Beobachter.	Heliotrope.				Signale.				Heliotrope.			
	Theil.	Quadratsumme.	m_1^2	m_1	Theil.	Quadratsumme.	m_1^2	m_1	Theil.	Quadratsumme.	m_1^2	m_1

Van Asperen.....	52	101	1,95	$\pm 1,59$	145	467	5,27	$\pm 1,81$	292	506	1,75	$\pm 1,20$
Van Isseghuden..	516	754	2,52	$\pm 1,52$	115	350	2,91	$\pm 1,71$	1754	1521	1,45	$\pm 1,20$
Woldringh.....	44	55	1,20	$\pm 1,10$					149	165	1,60	$\pm 1,10$
Soeters.....	607	714	1,17	$\pm 1,08$					1770	765	0,45	$\pm 0,20$
	1019	1602	1,57	$\pm 1,25$	258	806	5,12	$\pm 1,77$	5945	2755	0,70	$\pm 0,50$

Flory.....	512	596	1,82	$\pm 1,55$	125	555	4,52	$\pm 2,08$	1429	1598	1,12	$\pm 0,80$
Soeters.....	450	1175	2,61	$\pm 1,62$	22	68	5,10	$\pm 1,76$	2255	1855	0,85	$\pm 0,60$
Tennissen.....	51	15	0,42	$\pm 0,65$					140	50	0,22	$\pm 0,40$
J. A. Oudemans..	40	118	2,95	$\pm 1,72$	56	157	5,70	$\pm 1,95$	262	180	0,60	$\pm 0,40$
	855	1870	2,24	$\pm 1,50$	181	758	4,08	$\pm 2,02$	4066	5661	0,90	$\pm 0,80$

Metzger.....	782	5590	4,54	$\pm 2,08$					5155	12518	2,70	$\pm 1,20$
Woldringh.....	225	508	1,56	$\pm 1,16$					905	1075	1,19	$\pm 0,80$
J. A. Oudemans..	49	145	2,97	$\pm 1,72$	6	20	5,27	$\pm 1,81$	515	565	1,10	$\pm 0,80$
	1056	5845	5,64	$\pm 1,91$	6	20	5,27	$\pm 1,81$	6569	15956	2,12	$\pm 1,20$

S. H. und G. A.
de Lange.

G. A. de Lange..

16	215	15,50	$\pm 5,65$	19	87	4,58	$\pm 2,20$
516	1485	4,70	$\pm 2,17$				
552	1700	5,12	$\pm 2,26$	19	87	4,58	$\pm 2,20$

ITULATION.

Signale.				Ablesung.							
Theiler.	Quadrat- summe.	m_1^2	m_2	Theiler.	Quadrat- summe.	m_1^2	m_2	Theiler.	Quadrat- summe.	m_1^2	m_2

Id.

647	1088	1,68	$\pm 1^{\circ},50$	7516	1132	0,16	$\pm 0^{\circ},40$	959	517	0,55	$\pm 0^{\circ},74$
556	253	0,70	0 ,84	12746	418	0,035	0 ,18	2012	290	0,14	0 ,58
				1728	517	0,185	0 ,45	149	41	0,27	0 ,52
				18578	511	0,017	0 ,15	1770	556	0,19	0 ,44
985	1525	1,55	$\pm 1^{\circ},16$	40168	2198	0,055	$\pm 0^{\circ},25$	4870	1184	0,24	$\pm 0^{\circ},49$

M. I.

522	1160	2,25	$\pm 1^{\circ},49$	22178	1452	0,065	$\pm 0^{\circ},25$	1951	2505	1,28	$\pm 1^{\circ},15$
75	81	1,11	1 ,05	25076	566	0,024	0 ,15	3598	1292	0,56	0 ,75
				806	52	0,04	0 ,20	140	4	0,05	0 ,17
24	96	4,01	2 ,00	5050	201	0,066	0 ,26	286	117	0,41	0 ,54
119	1537	2,16	$\pm 1^{\circ},47$	49110	2251	0,045	$\pm 0^{\circ},21$	4685	5918	0,84	$\pm 0^{\circ},92$

d. II.

26	158	5,29	$\pm 2^{\circ},50$	55484	5165	0,144	$\pm 0^{\circ},58$	5179	25177	4,86	$\pm 2^{\circ},20$
36	54	1,50	1 ,22	6958	1586	0,20	0 ,45	965	441	0,49	0 ,70
				5694	565	0,10	0 ,51	549	691	1,26	1 ,12
92	192	5,97	$\pm 1^{\circ},99$	46116	6852	0,148	$\pm 0^{\circ},58$	6651	26509	5,97	$\pm 1^{\circ},99$
2	1869	11,54	$\pm 5^{\circ},40$	162	402	2,48	$\pm 1^{\circ},57$	162	402	2,48	$\pm 1^{\circ},57$
7	1957	5,06	2 ,25	405	1047	2,57	1 ,60	406	1047	2,57	1 ,60
9	5826	16,60	$\pm 4^{\circ},07$	568	1449	2,55	$\pm 1^{\circ},60$	568	1449	2,55	$\pm 0^{\circ},60$

Beobachter.	Heliotrope.				Signale.				Heliotrope.			
	Theil.	Quadrat summe.	m_1^2	m_1	Theil.	Quadrat summe.	m_1^2	m_1	Theil.	Quadrat summe.	m_1^2	m_1

Van Asperen.....					192	1725	8,98	$\pm 5',00$				
Baud.....					85	481	5,78	2,40				
Voswinkel Dorselen					25	418	16,74	4,00	91	520	5,52	$\pm 1',00$
Flory.....					197	1876	9,52	5,08				
					497	4500	9,05	$\pm 5',01$	91	520	5,52	$\pm 1',00$

Metzger.....					22	95	4,55	$\pm 2',08$	771	1909	2,18	$\pm 1',00$
Woldringh.....	256	906	5,54	$\pm 1',88$	101	561	5,58	1,89				
	256	906	5,54	$\pm 1',88$	125	456	5,71	$\pm 1',95$	771	1909	2,18	$\pm 1',00$

Voswinkel Dorselen	8	17	2,09	$\pm 1',45$	71	544	7,65	$\pm 2',77$	71	22	6,52	$\pm 1',00$
J. A. G. Oudemans	15	57	2,49	1,55	112	576	5,55	1,85	14	45	5,22	$\pm 1',00$
Van Iselundsen	10	58	5,76	1,94	442	4250	9,61	5,10	57	101	1,78	$\pm 1',00$
Tenissen	65	70	1,11	1,05	8	18	2,27	1,51	299	157	6,96	$\pm 1',00$
	96	162	1,69	$\pm 1',50$	655	5188	8,20	$\pm 2',86$	441	505	6,69	$\pm 1',00$

Metzger					85	795	9,57	$\pm 5',09$	41	69	1,69	$\pm 1',00$
Sooters					105	1429	15,87	5,72	297	1120	5,77	$\pm 1',00$
J. A. Oudemans	86	1154	15,41	$\pm 5',46$								
	86	1154	15,41	$\pm 5',46$	186	2224	11,95	$\pm 5',46$	558	1189	5,52	$\pm 1',00$

T10N. (Fortsetzung.)

Signale.				Ablesung.							
seiler.	Quadrat- summe.	m_1^2	m_2	Theiler.	Quadrat- summe.	m_1^2	m_2	Theiler.	Quadrat- summe.	m_1^2	m_2

II.

957	5392	5,54	$\pm 1',88$	9216	8805	0,96	$\pm 0',98$	957	477	0,50	$\pm 0',71$
501	1057	5,51	1',87	2512	2096	0,85	0',91	501	254	0,78	0',88
161	845	5,25	2',29	1268	1029	0,81	0',90	161	117	0,75	0',85
496	1554	2,69	1',64	6516	6924	1,06	1',05	587	559	0,58	0',76
915	6628	5,46	$\pm 1',86$	19512	18854	0,97	$\pm 0',98$	2096	1167	0,58	$\pm 0',76$

III.

610	1027	2,67	$\pm 1',65$	7958	4765	0,60	$\pm 0',77$	610	11526	18,57	$\pm 4',51$
554	996	1,80	1',54	12188	10842	0,89	0',94	1525	8502	6,42	2',55
164	2625	2,25	$\pm 1',50$	20126	15607	0,78	$\pm 0',88$	1955	19828	10,24	$\pm 5',20$

IV.

249	168	0,67	$\pm 0',82$	5410	807	0,24	$\pm 0',49$	520	50	0,16	$\pm 0',40$
62	291	4,70	2',17	2722	2262	0,85	0',91	76	68	0,89	0',94
504	5755	2,88	1',70	11676	12256	1,05	1',02	1552	1116	0,84	0',91
25	24	0,96	0',98	2502	1086	0,45	0',65	524	58	0,12	0',54
140	4256	2,58	$\pm 1',61$	20510	16411	0,81	$\pm 0',90$	2052	1272	0,62	$\pm 0',79$

V.

99	554	5,40	$\pm 2',72$	1446	1547	1,07	$\pm 1',05$	774	547	0,71	$\pm 0',84$
65	1570	1,97	1',40	15162	20705	1,57	1',25	297	720	2,45	$\pm 1',56$
				800	526	0,65	0',81				
94	2115	2,54	$\pm 1',55$	15408	22778	1,48	$\pm 1',22$	1071	1267	1,19	$\pm 1',09$

Fügen wir die mit den Instrumenten gleicher Genauigkeit

ZWEITE BE

Beobachter.	Heliotrope.				Signale.				Heliotrope.			
	Theil- ler.	Qua- drat summe.	m_1^2	m_1	Theil- ler.	Qua- drat summe.	m_1^2	m_1	Theil- ler.	Qua- drat summe.	m_1^2	m_1
Repsold (12 z.)...	1019	1602	1,57	$\pm 1',25$	258	806	5,12	$\pm 1',77$	5945	2755	0,70	$\pm 0',57$
Gross P. M. I (10z.)	855	1870	2,24	$\pm 1',50$	181	758	4,08	$\pm 2',02$	4066	5661	0,90	$\pm 0',83$
" " " " "	1056	5845	5,64	$\pm 1',91$	6	20	5,27	$\pm 1',81$	6569	15956	2,12	$\pm 1',41$
	1889	5715	5,02	$\pm 1',74$	187	758	4,05	$\pm 2',01$	10655	17617	1,66	$\pm 1',28$
P. M. I (8 z.)...					552	1700	5,12	$\pm 2',26$	19	87	4,58	$\pm 1',41$
P. M. II " "					497	4500	9,05	$\pm 3',01$	94	520	5,92	$\pm 1',83$
P. M. III " "	256	906	5,54	$\pm 1',88$	125	456	5,71	$\pm 1',95$	771	1909	3,48	$\pm 1',77$
P. M. IV " "	96	162	1,69	$\pm 1',50$	655	5188	8,20	$\pm 2',86$	441	505	0,69	$\pm 0',83$
P. M. V " "	86	1154	15,41	$\pm 3',66$	486	2224	11,95	$\pm 3',46$	558	1189	5,52	$\pm 1',83$
Nur III und IV.	458	2222	5,07	$\pm 2',25$	1761	13068	7,99	$\pm 2',85$	1660	5810	2,29	$\pm 1',41$
	552	1068	5,05	$\pm 1',74$	756	5644	7,46	$\pm 2',75$				

Machen wir nun weiter zwischen den Heliotropen und Signalen

DRITTE BE

Heliotrope

	Theil- ler.		m_1^2	m_1	Theil- ler.	
Repsold.	1277	2408	1,89	$\pm 1',57$	4928	4076
Gross P. M. I.	1014	2608	2,57	$\pm 1',60$	4685	4998
" P. M. II.	1062	5865	5,64	$\pm 1',91$	6651	11158
Summe	2076	6471	5,12	$\pm 1',77$	11576	19140
P. M. I	522	1700	5,12	$\pm 2',26$	568	2045
P. M. II	497	4500	9,05	$\pm 3',01$	2066	6948
P. M. III	579	1562	5,60	$\pm 1',90$	1935	1552
P. M. IV	729	5550	7,54	$\pm 2',71$	2081	4514
P. M. V	272	5578	12,42	$\pm 3',52$	1342	5562
Summe	2199	16290	7,45	$\pm 2',75$	7852	29254
Nur II, III, IV.	1605	11212	6,99	$\pm 2',64$		

Beschränken wir uns jetzt

fundenen Resultate zusammen, so erhalten wir die folgende
APTITULATION.

Signale.				Ablesung.							
Heiler.	Quadrat- summe.	m_z^2	m_z	Heiler.	Quadrat- summe.	m_z^2	m_z	Heiler.	Quadrat- summe.	m_z^2	m_z
985	1525	1,55	$\pm 1^{\circ},16$	40168	2198	0,055	$\pm 0^{\circ},25$	4870	1184	0,24	$\pm 0^{\circ},49$
619	1557	2,16	1,47	49110	2251	0,045	0,21	4685	5918	0,84	0,92
62	192	5,97	1,99	46116	6852	0,148	0,58	6651	26509	5,97	1,99
681	1529	2,25	$\pm 1^{\circ},50$	95226	5085	0,095	$\pm 0^{\circ},51$	11516	59227	2,67	$\pm 1^{\circ},65$
549	5826	16,60	$\pm 4^{\circ},07$	568	1449	2,55	$\pm 1^{\circ},60$	568	1449	2,55	$\pm 1^{\circ},60$
1915	6628	5,46	1,86	19512	18854	0,97	0,98	2006	1167	0,58	0,76
1164	2625	2,25	1,50	20126	15607	0,78	0,88	1955	19828	10,24	5,29
1640	4250	2,58	1,61	20510	16411	0,81	0,90	2052	1272	0,62	0,79
904	2115	2,25	1,55	15408	22778	1,48	1,22	1071	1269	1,19	1,09
6172	19426	5,15	$\pm 1^{\circ},77$	75924	75099	0,90	$\pm 0^{\circ},99$	7652	24985	5,27	$\pm 1^{\circ},81$

inen Unterschied, so haben wir die unten stehende

APTITULATION.

gnale gemischt.

m_z	$m_z^2 - m_z$	Sign.-Heliotr.		$m_z^2 - m_z^2$		Aus (VV) m^2	$\sqrt{1/2} m^2$	Unter- schied.
		m_z^2	m_z^2	Heliotr.	Signale.			
1^{\circ},91	1,06	1,55	0,65	0,87	1,77	0,95	0,47	0,46
1,05	1,50	1,84	1,26	1,54	1,92	1,51	0,64	0,87
1,46	1,51	-0,57	1,85	1,52	-0,70	1,70	0,91	0,88
1,50	1,45	1,05	0,59	1,56	1,80	1,66	0,78	0,88
1,62	-1,77	12,02
1,86	5,59	-0,06	5,50	16,35	2,26	14,69
1,55	1,26	0,17	-0,25	1,06	1,46	5,99	0,90	5,09
1,48	5,16	6,51	1,89	1,00	5,02	5,47	1,84	5,65
1,65	9,76	-1,46	-1,18	9,89	9,61
1,72	5,11	5,52	0,50	2,78	4,84	5,68	1,75	5,35

Endresultate, so haben wir die

VIerte RECAPITULATION.

	m	m_1	m_2	m_3	m_4
Repsold 12 z.	$\pm 0',95$	$\pm 1',57$	$\pm 0',91$	$\pm 0',25$	$\pm 0',49$
Gross. P. M. 10 z.	1 ,29	1 ,77	1 ,50	0 ,51	1 ,65
P. M. 8 z.	2 ,58	2 ,64	1 ,65	0 ,99	1 ,81

Und alle diese Zahlen führen uns zu den folgenden Schlüssen:

a. Bei den 12 und 10-zölligen Instrumenten geben die Heliotrope durchgängig bessere Resultate als die Signale. Der Gebrauch von Bambus-Signalen scheint ap und für sich eine zukommende Unsicherheit von etwa $\pm 1''$ verursacht zu haben.

b. Der m. Fehler des einmaligen Richtens und Ablesens wird grösser gefunden, wenn man Fernrohr (resp. Objectiv) rechts bei links, als wenn man rechts bei rechts und links bei links vergleicht. Vernachlässigte Neigung der Horizontal-Achse kann hier nicht die Schuld tragen, denn auf diese wurde immer scharf Rücksicht genommen. Vielleicht ist hier eine geringe Beweglichkeit des ganzen Instruments im Spiel, welche mehr hervortritt, sobald man die Lage des Fernrohrs ändert, als so lange diese Lage dieselbe bleibt. Oder auch kann der Beobachter, indem er ein Signal oder Heliotrop, in die Mitte des Faden-Rechtecks, im Felde bringt, je nach der Sichtbarkeit oder Helligkeit, eine andere Auffassung haben und somit kann jedesmal ein anderer Collimationsfehler c entstehen. Man erinnere sich nämlich, dass m_4 aus dem Mangel der Gleichheit der verschiedenen c bestimmt worden ist.

c. Vergleicht man m_4 oder lieber m_2 mit m , so sieht man, dass für die grösseren Instrumente m nahezu $= m_2$ war, obwohl m eigentlich $= \frac{1}{2} m_2$ sein sollte, weil ja jede einzelne, bei der Stations-Ausgleichung angewendete Richtung aus zwei Einstellungen und Ablesungen bei Fernrohr (resp. Objectiv) rechts und zwei bei F. links abgeleitet war. Dies kann eine Folge der Theilungsfehler sein.

d. Wäre die verticale Achse vollkommen rund, und schlosse die Büchse, welche den Obertheil des Instruments dreht, vollkommen um diese Achse, so würde $m_4 = \frac{1}{2} m_2$ sein, indem jedesmal zwei Theilstriche je zweimal abgelesen wurden. Der Unterschied, der mitunter sehr gross war, muss dem Spielraum zwischen Achse und Büchse, und vielleicht auch einem Mangel an vollkommener Rundheit der Achse, allenfalls einer veränderlichen Excentricität des horizontalen Kreises zugeschrieben werden.

e. Die grosse Differenz von m_2^2 , Signale—Heliotrope, bei P. M. I muss daran zugeschrieben werden, dass die Herren de Lange im Jahre 1854 bei dem Anfang der Triangulation, noch nicht die später angenommene doppelte Kegelform der Signale angenommen hatten. Im Anfange waren diese nämlich cylindrisch und boten dieselben also dem Winde eine grosse Oberfläche da. Die doppelte Kegelform wurde erst später angenommen. Die Zahl 12,02 ist bei der weiteren Rechnung ausgeschlossen worden.

§ 10. Genäherte Bestimmung des mittleren Krümmungshalbmessers der Erde für die mittlere Breite Java's, aus dem sphärischen Excesse des Vielecks, in welchem das primäre Dreiecknetz eingeschlossen ist.

Die seit Eratosthenes gebräuchliche Weise den Halbmesser der Erde zu bestimmen, ist bekanntlich diese, dass man, mittelbar oder unmittelbar, die Länge eines Meridianbogens in einem bekannten Längemaasse misst, und zu gleicher Zeit durch astronomische Beobachtungen die Polhöhen, also auch den Polhöhen-Unterschied der beiden Endpunkte dieses Bogens bestimmt.

Man kann sich aber den Fall denken, dass die Erd-Atmosphäre so undurchsichtig wäre, dass die Gestirne fortwährend für uns unsichtbar blieben, und man also genöthigt wäre sich nach anderen Hilfsmitteln umzusehen, um die Gestalt und Grösse des Erdkörpers zu ermitteln.

Der sphärische Excess, nicht nur eines sphärischen Dreiecks, sondern jedes sphärischen Vielecks, wird aus dessen Inhalt und dem Halbmesser der Kugel durch die Formel

$$\epsilon = \frac{1}{R^2} \times 206264",8$$

gefunden. Wäre also R unbekannt, dagegen ϵ mit vieler Sorgfalt gemessen, so würde R durch die Formel

$$R = 454,1658 \sqrt{\frac{1}{\epsilon}}$$

berechnet werden können.

Das primäre Dreiecknetz von Java wird von einem 66-Eck eingeschlossen, dessen Seiten im Mittel 41 Kilometer messen; es besteht weiter aus 128 Dreiecken, deren Inhalte bereits genähert bekannt waren, weil ja diese Kenntniss für die Bestimmung der sphärischen Excesse, behufs der Netzausgleichung nöthig war. Bei der Berechnung dieser Inhalte war aber die Krümmung der Erde ausser Acht gelassen worden.

Es sind aber S. 78—111, die Log. der Seiten-Sinus und die Additamente in sieben Decimalstellen berechnet worden, so dass es also wenig Mühe kostete, die doppelten Inhalte der sphärischen Dreiecke nochmals, ebenfalls in sieben Decimalstellen, nach der Formel

$$\log 2 I = I. \sin a + I. \sin b + I. \sin C + \frac{1}{4} (\text{add. } a + \text{add. } b + \text{add. } c).$$

zu ermitteln, in welcher also die Krümmung der Erdoberfläche berücksichtigt worden ist. Durch Addition wurde dann für den Inhalt des ganzen Vielecks gefunden

$$94896 \text{ Quadratkilometer, } ^{**}$$

während sich der sphärische Excess desselben Vielecks durch Addition der Polygonswinkel zu

$$485^{\circ},08 \text{ ***}$$

ergab.

Durch die oben gegebene Formel wurde hieraus abgeleitet

$$R = 6572,8 \text{ Kilometer,}$$

was, nach den Bessel'schen Dimensionen des Erdsphäroids, für eine geogr. Breite = $7^{\circ}21'$ (das ar. Mittel der Breiten aller Dreieckspunkte ersten Ordnung)

$$6556,8$$

sein sollte.

Der sphärische Excess des Vielecks hat also 16 Kilometer, d. h. $\frac{1}{400}$ des Ganzen, zu viel gegeben, was zufälligerweise noch günstiger ist als zu erwarten war. Der wahrscheinliche Fehler des sphärischen Excesses war nämlich etwa

$$= \pm 0,6745 \times 1^{\circ},1 = 66 = \pm 6,05$$

also $\frac{1}{90}$ der Ganzen, so dass der w. Fehler des Halbmessers $\frac{1}{160}$ des Ganzen beträgt. ****

* Diese Formel wird so abgeleitet: Man hat bekanntlich die ganz strenge Formel

$$\sin \frac{\epsilon}{2} = 2 \sin \frac{\alpha}{2} \sin \frac{\beta}{2} \sin \frac{\gamma}{2} \frac{\sin C}{\sin \gamma},$$

(Helmert. Die mathematischen und physikalischen Theorien der höheren Geodäsie, I, 86). Nun ist

$$\text{I. } \sin \frac{\alpha}{2} = 1 - \frac{\alpha}{2} - \frac{1}{4} \text{ add. } \alpha,$$

$$\text{I. } \sin \frac{\beta}{2} = 1 - \frac{\beta}{2} - \frac{1}{4} \text{ add. } \beta,$$

$$\text{I. } \sin \frac{\gamma}{2} = 1 - \frac{\gamma}{2} - \frac{1}{4} \text{ add. } \gamma,$$

$$\text{I. } \sin \gamma = 1 - \gamma - \text{add. } \gamma,$$

also

$$l. \frac{\sin \frac{\gamma}{2}}{\sin \gamma} = l. \frac{1}{2} + \frac{5}{4} \text{ add. } \alpha;$$

ebenso

$$l. \sin. \frac{\alpha}{2} = l. \sin \alpha + l. \frac{1}{2} + \frac{5}{4} \text{ add. } \alpha,$$

$$l. \sin. \frac{\beta}{2} = l. \sin \beta + l. \frac{1}{2} + \frac{5}{4} \text{ add. } \beta$$

Es ist weiter

$$l. R + l. \sin \alpha = \log \sin \text{ Seite } a,$$

$$l. R + l. \sin \beta = \log \sin \text{ Seite } b.$$

Bemerkt man nun noch, dass

$$1 = R^2 \sin \varepsilon = 2 R^2 \sin \frac{\varepsilon}{2} + \dots$$

wo nur ein Glied sechster Ordnung vernachlässigt wird, so findet man die gegebene Formel unmittelbar.

** Die berechneten doppelten Inhalte waren die folgenden:

N ^o .	N ^o .	N ^o .	N ^o .
1 684,278	24 1785,900	41 895,252	65 5267,765
2 1107,815	25 1512,425	44 2757,156	66 2514,227
5 1271,550		45 2485,517	67 2557,040
4 1070,085	26 1155,755	46 1957,019	68 5465,122
5 648,008	27 547,650	47 2178,569	69 1610,026
7 2094,557	28 547,247		71 5050,085
8 1548,546	29 820,005	48 568,888	72 1105,626
10 866,946	50 1151,277	49 1459,742	75 1002,040
14 2272,551	55 1951,529	50 1616,745	
15 1844,552	56 2948,550	52 2648,495	79 1480,595
16 1076,195	57 1289,821	54 818,728	81 2048,261
19 2156,164	58 1088,792	57 1829,280	84 815,627
21 648,697	59 724,855	59 725,254	85 1858,017
25 1796,225	40 502,295	61 6217,686	86 1276,657

N°.		N°.		N°.		N°.	
88	708,079	116	2481,071	137	1707,966	165	1210,581
90	1385,405	117	1544,024	139	1105,092	166	1061,297
91	777,491	118	765,626	141	1415,686		
92	1759,456	119	490,528	145	665,785	167	918,998
95	2945,591	120	817,558	145	766,596	169	809,748
94	5240,759	121	1202,866			172	126,118
95	1555,118	122	1551,578	146	925,681	174	1272,751
96	1725,108	125	1585,925	147	909,984	175	1520,667
97	1515,610			148	754,297	176	690,562
100	2141,449	124	1501,255	149	682,927	177	774,267
102	702,955	125	5714,021	150	709,722	180	1481,028
		126	2192,715	151	716,765	182	1085,572
105	1975,681	127	2402,786	152	1617,272	185	96,296
106	2894,181	128	1151,712	155	1854,581	184	900,589
109	1188,461	129	654,270	154	541,456	186	1498,721
110	960,175	152	771,159	155	1194,471	190	820,612
112	2595,128	155	750,887	159	529,818	194	1454,081
115	2751,975	154	1654,159	160	520,085	196	1609,115
114	2996,810	155	994,8875	162	798,765	197	1555,555
115	2986,571	156	1766,626	165	765,575		

Doppelter Inhalt:

N°	1	bis	25,	16	Dreiecke:
"	26	"	47,	"	"
"	48	"	75,	"	"
"	79	"	102,	"	"
"	105	"	125,	"	"
"	124	"	145,	"	"
"	146	"	166,	"	"
"	167	"	197,	"	"

22 190,070
 22 754,795
 56 414,745
 26 071,916
 28 599,754
 25 155,601
 14 592,875
 16 254,259

Summe: 128 Dreiecke: 189 792,015

2

Inhalt des Vielecks: 94 896,0075 Km².

*** Die gemessenen Polygonswinkel sind die folgenden:

	Gemessen.	Ausgeglichen.	Correction.
1 Batohideung	140° 24' 44",29	44",13	— 0",16
2 Karang	270 19 51,85	51,07	— 0,78
3 Sangen	69 52 20,52	19,95	— 0,57
4 Gede	195 54 18,24	17,71	— 0,53
5 Dago	207 49 56,57	58,71	+ 2,54
6 Poetri	171 54 45,84	45,27	+ 1,45
7 Sangahoewana I	172 55 49,45	49,56	— 0,07
8 Boerangrang	210 9 54,52	52,88	— 1,64
9 Tampomas II	182 45 58,64	59,01	+ 0,40
10 Kroman	95 24 42,45	45,72	+ 1,27
	1646° 41' 50",12	51",81	+ 1,69
11 Tjerimai IV	257° 15' 58",46	57",72	— 0",74
12 Slamet III	207 58 55,59	55,84	+ 0,25
13 Praloe	209 55 57,15	57",95	+ 0,82
14 Tembok	171 16 2,99	5,18	+ 0,19
15 Morodetak	199 40 28,84	29,45	+ 0,59
16 Genok	104 44 58,18	58,75	+ 0,57
17 Boetak	187 56 59,75	57,98	— 1,77
18 Toenggangan	229 55 54,14	55,49	+ 2,55
19 Patjakaran	156 16 56,48	58,70	+ 2,22
20 Bradjat	169 26 1,15	2,66	+ 1,55
	1871° 5' 27",69	55",70	+ 6",01
21 Banjoeligi	187° 50' 45",65	46",54	+ 0",69
22 Bungari	174 14 59,50	41,65	+ 2,55
23 Runtja	179 17 58,45	59,10	+ 0,67
24 Tamboko	210 2 22,42	22,74	+ 0,52
25 Boerocan	135 56 55,67	55,56	— 0,11
26 Gilan	45 19 57,47	57,45	— 0,04
27 Lagoendi	177 14 56,17	56,21	+ 0,04
28 Djemiaang	151 24 51,90	52,06	+ 0,16
29 Madoe	175 7 24,80	25,00	+ 0,20
30 Seléret	280 15 52,25	52,66	+ 0,45
	1716° 5' 2",04	6",73	+ 4,60

	Gemessen.	Ausgeglichen.	Correction.
31 Pasoeroean	246° 55' 1",52	0",52	— 1",20
32 Semonkron	205 45 2,98	4,84	+ 1,86
33 Poelo Ketapang	170 17 56,91	56,86	— 0,05
34 Loeroes	205 18 51,41	49,27	— 2,14
35 Kafiasin	151 50 28,82	50,57	+ 1,75
36 Baloran	127 22 55,65	54,89	+ 1,24
37 Tandjong Pakem	175 42 25,55	24,69	— 0,64
38 Ikan	156 55 52,68	52,84	+ 0,16
39 Degong	85 41 59,27	59,78	+ 0,51
40 Lemboe	200 59 47,50	47,86	+ 0,56

1685 40 59,87	41,92	+ 2,05
---------------	-------	--------

41 Majang	268° 55' 56",57	55",54	— 1",25
42 Rika	78 54 59,45	59,69	+ 0,24
43 Bésich	162 41 6,61	7,89	+ 1,28
44 Pakem	227 55 25,11	25,45	+ 0,52
45 Argowoelan	218 6 18,99	19,20	+ 0,21
46 Ketjiri	187 16 44,20	45,26	— 0,94
47 Ronggo	185 57 2,58	1,98	— 0,60
48 Slamet	141 56 25,15	22,59	— 0,74
49 Gebang	171 24 2,42	1,76	— 0,66
50 Sengoengloeng	188 51 9,58	9,60	+ 0,22

1851° 16' 48",44	46",54	— 1",90
------------------	--------	---------

51 Gambiranom	156° 54' 56",62	55",89	— 0",75
52 Nglanggran	215 7 26,99	25,69	— 1,50
53 Gepak	155 44 54,52	54,21	— 0,11
54 Kembang	250 45 50,57	50,80	+ 0,45
55 Ardjoeno	170 44 47,48	46,87	— 0,61
56 Tjemiring	148 55 52,75	52,52	— 0,25
57 Bongkok	215 45 26,94	27,72	+ 0,78
58 Pogor III	194 8 9,94	10,12	+ 0,18
59 Pogor II	129 59 8,45	9,56	+ 0,95
60 Tjiloeutoe	201 9 54,82	52,84	— 1,98

1794° 55' 48",66	46,92	— 2,64
------------------	-------	--------

	Gemessen.	Ausgeglichen.	Correction.
61 Tjikakap.....	144° 13' 21",85	20",59	— 1",24
62 Patat.....	228 50 14 ,47	15 ,82	— 0 ,65
63 Nangka.....	117 8 59 ,55	58 ,09	— 1 ,26
64 Klandong.....	250 29 8 ,19	6 ,28	— 1 ,91
65 Tindjil.....	120 40 20 ,27	18 ,07	— 2 ,20
66 Hlondej.....	115 17 22 ,15	20 ,80	— 1 ,55
<hr/>			
	976° 19' 26",26	17",65	— 8",61
<hr/>			
N° 1—10.....	1646° 41' 50",12	51",81	+ 1",69
α 11—20.....	1871 5 27 ,69	55 ,70	+ 6 ,01
α 21—30.....	1716 5 2 ,04	6 ,75	+ 4 ,69
α 31—40.....	1685 49 59 ,87	41 ,92	+ 2 ,05
α 41—50.....	1851 16 48 ,44	46 ,54	— 1 ,90
α 51—60.....	1794 55 48 ,66	46 ,02	— 2 ,64
α 61—66.....	976 19 26 ,26	17 ,65	— 8 ,61
<hr/>			
	11520° 8' 5",08	4",57	+ 1",29
<hr/>			
$64 \times 180^\circ = 11520$			
<hr/>			
$\epsilon =$	0° 8' 5",08	8' 4",57	

Die Addition der sphärischen Excesse, wie diese im Texte benutzt worden sind, (mit zwei Decimalstellen,) giebt 8' 4",55. Wird überall die dritte Stelle auch angesetzt, so wird die Summe 8' 4",418, also nur um 0",048 verschieden von der Summe der Polygonwinkel, nach der Verbesserung für Ausgleichung.

**** Ich habe noch untersucht, welches Resultat man erhalten würde, wenn ein ganzer Welttheil, nämlich Afrika, triangulirt wäre, und man auf diese Triangulation dieselbe Rechenweise anwenden wollte. Es versteht sich, dass hier von der Veränderlichkeit des mittleren Krümmungshalbmessers mit der geographischen Breite abgesehen wurde.

Nehmen wir die Oberfläche Afrika's = 29 000 000 Quadrat-Kilometer, wie ich selbst gefunden habe, indem ich die Karte dieses Welttheils in Andre's Atlas zu Grunde legte; die Küstenlänge = 25 500 Kilometer; setzt man also die mittlere Länge der Seiten des Vielecks = 41 Kilometer, so

würde das Vieleck 617 Seiten haben; der wahrscheinliche Fehler der Summe der Polygonswinkel, also des sphärischen Excesses, würde etwa

$$0,6745 \times 1',4 \times \sqrt{617} = 18',45$$

betragen. Für ganz Afrika würde aber

$$R^2 = 404\,487\,50 \text{ km}^2.$$

sein, und also

$$\epsilon = \frac{1}{R^2 \sin 1'} = 147\,885'' \quad (41^\circ 4' 45'').$$

Der wahrscheinliche Fehler des Krümmungshalbmessers würde dann

$$= \frac{18',45}{295766} = \frac{1}{16048}$$

des Ganzen, also etwa $\frac{1}{16}$ Kilometer, betragen. Die Triangulation eines Polar-Continents würde, falls dieser bestünde, auf dieselbe Weise wie die Triangulation Afrika's bearbeitet, einen grösseren Krümmungshalbmesser geben, und so würde auch die Abplattung, wiewohl nicht mit grosser Sicherheit, abgeleitet werden können.

§ 11. Die Längen und Breiten der Punkte erster Ordnung.

Um diesen Bericht über die Triangulation erster Ordnung zu vervollständigen, werden wir noch das Verzeichniss der Längen und Breiten der Dreieckspunkte hinzufügen.

Bei der Berechnung derselben, wie auch der Azimuthe, ist von der von Herrn Ingenieur Soeters sehr sorgfältig ausgeführten Breiten- und Azimuth-Bestimmung auf dem Standpunkte Genoeck ausgegangen, und ist die Länge des damaligen Zeitsignals zu Batavia, welches von jeher als der Ausgangspunkt der Längen in dem Ost-Indischen Archipel gedient hat, $= 0^{\circ} 0' 0'',000$ angenommen worden.

Es mussten also von Punkt zu Punkt die Breiten und Längen berechnet werden. Dafür ist ein System einfacher Formeln benutzt worden, welches, wie gezeigt werden wird, für die wirklich vorkommenden Fälle eine hinreichende Genauigkeit gestattet.

Dasselbe habe ich abgeleitet in der Ueberzeugung, dass, wenn die alte Methode der Projection vom Ellipsoid auf eine berührende Kugel auf rationelle Weise angewandt wird, die begangenen Fehler unmöglich von einer praktischen Bedeutung sein können.

Es sei gegeben die südliche geographische Breite eines Standpunktes $P = B_1$, das Azimuth, eines anvisirten Punktes Q , vom Norden ostwärts gezählt, $= A_1$, dessen Entfernung $= S$ Meter; es werden gefragt die südliche Breite dieses Punktes, der Länge-Unterschied mit P , und das gegenseitige Azimuth.

Zur Bestimmung des Längen-Unterschiedes auf dem Ellipsoid, projectire man erst die Seite auf eine Kugel, welche das Ellipsoid längs der Parallele des anvisirten Punktes Q berührt. Der Halbmesser dieser Kugel ist die Normale dieses Punktes bis zur kurzen Achse der Erde, N_2 . Die Projection, auf diese Kugel, des ellipsoidischen Bogens S ist bekanntlich von diesem Bogen nur um eine Grösse vierter Ordnung verschieden, welche bei jeder Triangulation, wo die Rechnung nicht mehr als siebenstellig geführt wird, vernachlässigt werden darf.



Die Sinusregel giebt nur gleich

$$\sin dL = \sin (S) \sec B_2 \sin A_1.$$

Es ist aber nach der Maskelyne'schen Formel

$$\sin x = x \operatorname{Arc} 1' \cos^{\frac{1}{2}} x,$$

also

$$dL = (S) \sin A_1 \sec B_2 \frac{\cos^{\frac{1}{2}} (S)}{\cos^{\frac{1}{2}} dL}.$$

Der letzte Factor ist der Einheit sehr nahe, und kann vereinfacht werden; weil nämlich in dem rechtwinkligen sphärischen Dreieck $P R Q$

$$\begin{aligned}\cos (S) &= \cos R P \cos R Q \\ &= \cos d B \cos (d L \cos B_2)\end{aligned}$$

und $\frac{\cos^{\frac{1}{2}}(d L \cos B_2)}{\cos^{\frac{1}{2}} d L} = \cos^{\frac{1}{2}}(d L \sin B_2)$ sehr nahe $= \cos^{\frac{1}{2}} \alpha$ (siehe folgende Seite,) ist, welche Grösse aber für Java so gut wie immer der Einheit gleich genommen werden kann, so ist

$$d L = (S) \sin A_1 \sec B_2 \cos^{\frac{1}{2}} d B \sec^{\frac{1}{2}} \alpha.$$

Für die Berechnung mit sieben Decimalstellen wird nun die Function

$$f(x) = \frac{1}{2} \log \sec x$$

in Einheiten der siebenten Stelle in eine Tafel gebracht.

Es ist alsdann

$$\begin{aligned}\log d L &= \log (S) \sin A_1 \sec B_2 - f(d B) + f(\alpha). \\ &= \log S + \log \frac{1}{N_{\text{Arc } 1'}} + \log \sin A_1 + \log \sec B_2 - f(d B) + f(\alpha).\end{aligned}$$

In den Rechenformularen war das letzte Glied, welches wegen der geringen Breite Java's fast immer kleiner als eine Einheit der siebenten Decimalstelle war, weggelassen.

Für die Berechnung der Meridianconvergenz und des Breiten-Unterschiedes wird die Kugel benutzt, welche das Ellipsoid auf halbem Wege zwischen P und Q berührt. Auf diese Kugel, welcher Halbmesser wir N_m nennen werden, wird PQ projectirt. Die Aenderungen, welche A_1 und A_2 hierdurch untergehen, sind unmerkbar. Er ist in jedem sphärischen Dreieck nach einer der Neper'schen Analogien:

$$\cot \frac{1}{2} (A + B) = \frac{\cos \frac{1}{2} (a + b)}{\cos \frac{1}{2} (a - b)} \cdot \tan \frac{1}{2} C.$$

Wendet man diese Formel auf das Dreieck $P Q C$ an, so ist

$$\begin{aligned}A &= 180^\circ - A_1, \\ B &= A_2 - 180^\circ, \\ A + B &= A_2 - A_1 = 180^\circ - \alpha, \\ \frac{1}{2} (A + B) &= 90^\circ - \frac{1}{2} \alpha, \\ \frac{1}{2} (A - B) &= 90^\circ - A_1 + \frac{1}{2} \alpha = 90^\circ - A_m, \\ \frac{1}{2} (a + b) &= 90^\circ - B_m, \\ \frac{1}{2} (a - b) &= \frac{1}{2} d B,\end{aligned}$$

wodurch unsere Formel in

$$\tan \frac{1}{2} \alpha = \frac{\sin B_m}{\cos \frac{1}{2} d B} \tan \frac{1}{2} d L$$

übergeht, aus welcher Formel leicht abgeleitet wird:

$$\alpha = d L \sin B_m \sec^{\frac{1}{2}} d L \sec^{\frac{1}{2}} d B \cos^{\frac{1}{2}} \alpha,$$

also

$$\log \alpha = \log d L + \log \sin B_m + \frac{1}{2} f (dB) + \frac{1}{2} f (dL) - \frac{1}{2} f (\alpha)$$

Man hat ebenso nach einer anderen Neper'schen Formel:

$$\text{Tang } \frac{1}{2} (a - b) = \frac{\sin \frac{1}{2} (A - B)}{\sin \frac{1}{2} (A + B)} \text{Tang } \frac{1}{2} c,$$

d. h.

$$\text{Tang } \frac{1}{2} d B = \frac{\cos \frac{1}{2} a}{\cos \frac{1}{2} a} \text{Tang } \frac{1}{2} P Q.$$

$$d B \sec^{\frac{1}{2}} d B = P Q \sec^{\frac{1}{2}} P Q \cos A_m \sec^{\frac{1}{2}} \alpha,$$

$$\begin{aligned} d B &= P Q \frac{\sec^{\frac{1}{2}} P Q}{\sec^{\frac{1}{2}} d B} \cos A_m \sec^{\frac{1}{2}} \alpha, \\ &= P Q \cos A_m \sec^{\frac{1}{2}} (d L \cos B_m) \sec^{\frac{1}{2}} \alpha. \end{aligned}$$

$P Q$ ist auf dieser Kugel in Bogenmaass $= \frac{S}{N \cdot Arc 1}$; der Breiten-Unterschied muss aber auf einer Kugel gemessen werden, welche R_m , den Krümmungshalbmesser des Meridians, zum Halbmesser hat. Die erhaltene Sekundenzahl muss also mit $\frac{N}{R_m}$ multiplicirt werden, so dass wir erhalten, (s. die vorige Seite:)

$$d B = \frac{S}{R_m \sin 1} \cos A_m \sec^{\frac{1}{2}} d L \sec^{\frac{1}{2}} \alpha.$$

also

$$\log d B = \log S + \log \frac{1}{R_m \sin 1} + \log \cos A_m + \frac{1}{2} f (d L) + \frac{1}{2} f (\alpha).$$

Die hier vernachlässigte sphäroidische Glieder sind bekanntlich auch wieder von der vierten Ordnung, und zwar von der Form $e^2 (S)^3$, $((S)$ in Theilen des Halbmessers,) und können, wie man sich leicht überzeugen kann, bei einer Triangulation vernachlässigt werden. Noch mehr ist dies bei der Berechnung der Meridianconvergenz α der Fall, wo nach dem Dalby'schen Satze, (Helmert I, 150,) das sphäroidische Glied von der fünften Ordnung $e^3 S^3$ ist.

Für die gefällige Berechnung dieser Längen-Unterschiede und Breiten wurden zwei Tafeln benutzt, welche enthielten:

$$\text{I} = \frac{1}{R \cdot Arc 1} \quad \text{und} \quad \text{II} = \frac{1}{N \cdot Arc 1}.$$

Es bedeutet also

$$\text{I}_m = \frac{1}{R_m \cdot Arc 1} \quad \text{und} \quad \text{II}_m = \frac{1}{N \cdot Arc 1},$$

$$\Pi_2 = \frac{1}{S_1 \operatorname{Arc} 1},$$

während für die genäherte Berechnung von dB , welche Grösse man gleich zu kennen braucht,

$$1 = \frac{1}{R_{12} \operatorname{Arc} 1},$$

benutzt wird.

Das gesammte Formelsystem lautet also, indem wir die von $f(a)$ abhängigen Glieder weglassen, wie folgt:

$$\begin{aligned} dB &= 1. S. \cos A_1, \\ B_2 &= B_1 - dB_1, \quad \text{(genähert),} \\ \log dL &= \log \Pi_2 S \sin A_1 \sec B_2 - f(dB), \\ L_2 &= L + dL, \\ \log a &= \log dL \sin B_2 + \frac{3}{4} f(dB) + \frac{1}{2} f(dL), \\ A_2 &= 180^\circ + A_1 - a, \end{aligned}$$

und nun endgültig:

$$\begin{aligned} \log dB &= \log 1. S \cos A_2 + \frac{1}{2} f(dL), \\ B_2 &= B_1 - dB. \end{aligned}$$

Die genäherte Rechnung von dB , wie auch fast immer die Berechnung von $\log a$, kann mit 5 Decimalstellen geführt werden.

Wo dies erforderlich ist, muss noch $\log \sec B_2$ in der Berechnung von dL verbessert werden.

Herr Prof. Schols hat für die Triangulation von Sumatra ein anderes Formelsystem abgeleitet, indem er die Entfernungen, ebenso wie oben geschehen ist, als Verticalschnitte betrachtet, jedoch eine grössere Genauigkeit, grade in Rücksicht auf die sphäroidischen Glieder der vierten Ordnung bezweckt. Diese Formeln sind in dem für Rechnung des Ministeriums der Colonien im Jahre 1884 gedruckten Werke „*Geodetische formules en tafels, ten gebruike bij de Triangulatie van het eiland Sumatra*“ publicirt worden. Für südliche Breite gelten die untenstehenden (a. a. O., S. 29.) in welchen ich, behufs der bequemen Vergleichung, wo die Notation des Herrn Prof. Schols von der unsrigen abweicht, die unsrige substituirt habe.

$$\begin{aligned} b_n &= [1] S \cos A_1, \\ \log b &= \log b_n + [III] b_n + [IV] (S \sin A_1)^2 - [1] [2] b_n^2, \\ B' &= B_1 - b, \\ c &= [II] S \sin A_1, \\ \log c &= \log c_n - [1] b_n^2, \\ t_o &= c \tan B', \\ \lambda_n &= c \sec B', \\ \log t &= \log t_n - [1] \lambda_n^2, \\ \log \lambda &= \log \lambda_n - 2 [1] t_n^2, \end{aligned}$$

$$\begin{aligned}
b' &= [5] \, c \, \ell, \\
t' &= [4] \, b \, c, \\
B_2 &= B' - b', \\
L_2 &= L_1 + \lambda, \\
A_2 &= A_1 - t - t' \pm 180^\circ.
\end{aligned}$$

In diesen Formeln ist:

$$\begin{aligned}
[I] &= \frac{1}{R \operatorname{Arc} 1''} \text{ für die Breite } B_1, \\
[II] &= \frac{1}{N \operatorname{Arc} 1''} \text{ für die Breite } B_1, \\
[III] &= \frac{1}{3} M \, c^2 \, 10^7 \operatorname{Arc} 1'' \sin 2 B, \\
[IV] &= \frac{1}{3} M \sqrt{1 - c^2} \cdot \frac{1}{R^2} \cdot 10^7 \text{ für die Breite } B.
\end{aligned}$$

Für diese Grössen, deren die beiden ersten mit den unsrigen I und II identisch sind, sind in dem genannten Werke Tafeln* gegeben, welche aber, der Ausdehnung der Insel Sumatra in der Richtung Nord-Süd entsprechend, nur von 0° bis 6° reichen, während die von uns für Java berechneten Tafeln eben bei 6° anfangen und bei 9° endigen. Weiter ist

$$\begin{aligned}
[1] &= \frac{1}{3} M \, 10^7 \operatorname{Arc} 1'', \quad \log [1] = 5,25078 - 10, \\
[2] &= 5 \, c^2 \cos 2 B_1, \quad \log 5 \, c^2 = 8,50153 - 10, \\
[3] &= [4] \frac{N}{R} \text{ für die Breite } B, \\
[4] &= \frac{1}{3} \operatorname{Arc} 1'', \quad \log [4] = 4,58454 - 10.
\end{aligned}$$

Es folgen nun hier die Hilfstafeln für die Coefficienten:

* Sammtliche in diesem Werke vorkommende Tafeln, also auch diejenigen, welche sich auf „die conforme Uebertragung und die Berechnungen in der flachen Ebene“, und auf die „Polyeder-Projection“ beziehen, sind von den Offizieren der indischen Armee, Herrn Hauptmann, (jetzt Major,) H. D. H. Bobboom, und Premier-Lieutenant, (jetzt Hauptmann,) J. J. A. Müller berechnet worden, während sie sich in Niederland für die Triangulation von Sumatra vorbereiteten.

$$\log 1 = \log \frac{1}{R \text{ Arc } 1''}$$

$$\log 11 = \log \frac{1}{N \text{ Arc } 1''}$$

	$\varphi = 6''$	$7''$	$8''$		$6''$	$7''$	$8''$
0	<u>8,5126</u> <u>425,2</u>	<u>254,5</u>	<u>8,5126</u> <u>058,1</u>		<u>8,5097</u> <u>058,5</u>	<u>601,4</u>	550,0
1	<u>422,6</u>	<u>251,4</u>	<u>054,6</u>		<u>657,5</u>	<u>600,4</u>	554,8
2	<u>419,9</u>	<u>248,4</u>	<u>051,1</u>		<u>656,6</u>	<u>599,4</u>	555,6
3	<u>417,5</u>	<u>245,5</u>	<u>047,6</u>		<u>655,7</u>	<u>598,4</u>	552,5
4	<u>414,6</u>	<u>242,2</u>	<u>044,1</u>		<u>654,8</u>	<u>597,5</u>	551,5
5	<u>412,0</u>	<u>239,1</u>	<u>040,6</u>		<u>653,9</u>	<u>596,5</u>	550,1
6	<u>409,5</u>	<u>236,0</u>	<u>037,0</u>		<u>653,0</u>	<u>595,5</u>	528,9
7	<u>406,6</u>	<u>232,9</u>	<u>033,5</u>		<u>652,1</u>	<u>594,2</u>	527,8
8	<u>403,9</u>	<u>229,8</u>	<u>030,0</u>		<u>651,2</u>	<u>593,2</u>	526,6
9	<u>401,5</u>	<u>226,7</u>	<u>026,4</u>		<u>650,3</u>	<u>592,2</u>	525,4
10	<u>398,6</u>	<u>223,5</u>	<u>022,9</u>		<u>649,4</u>	<u>591,1</u>	524,2
11	<u>395,8</u>	<u>220,4</u>	<u>019,5</u>		<u>648,5</u>	<u>590,1</u>	523,0
12	<u>393,1</u>	<u>217,5</u>	<u>015,7</u>		<u>647,6</u>	<u>589,0</u>	521,8
13	<u>390,4</u>	<u>214,1</u>	<u>012,1</u>		<u>646,7</u>	<u>588,0</u>	520,6
14	<u>387,7</u>	<u>211,0</u>	<u>008,6</u>		<u>645,8</u>	<u>586,9</u>	519,5
15	<u>384,9</u>	<u>207,8</u>	<u>005,0</u>		<u>644,9</u>	<u>585,9</u>	518,5
16	<u>382,2</u>	<u>204,6</u>	<u>001,4</u>		<u>644,0</u>	<u>584,8</u>	517,1
17	<u>379,5</u>	<u>201,4</u>	<u>8,5125</u> <u>997,8</u>		<u>643,1</u>	<u>583,8</u>	515,9
18	<u>376,7</u>	<u>198,5</u>	<u>994,2</u>		<u>642,2</u>	<u>582,7</u>	514,7
19	<u>373,9</u>	<u>195,1</u>	<u>990,5</u>		<u>641,2</u>	<u>581,6</u>	513,4
20	<u>371,2</u>	<u>191,9</u>	<u>986,9</u>		<u>640,3</u>	<u>580,6</u>	512,2
21	<u>368,4</u>	<u>188,7</u>	<u>983,5</u>		<u>639,4</u>	<u>579,5</u>	511,0
22	<u>365,6</u>	<u>185,4</u>	<u>979,7</u>		<u>638,5</u>	<u>578,4</u>	509,8
23	<u>362,8</u>	<u>182,2</u>	<u>976,0</u>		<u>637,5</u>	<u>577,3</u>	508,6
24	<u>360,0</u>	<u>179,0</u>	<u>972,4</u>		<u>656,6</u>	<u>576,5</u>	507,4
25	<u>357,2</u>	<u>175,8</u>	<u>968,7</u>		<u>655,7</u>	<u>575,2</u>	506,2
26	<u>354,4</u>	<u>172,5</u>	<u>965,0</u>		<u>654,7</u>	<u>574,1</u>	504,9
27	<u>351,6</u>	<u>169,5</u>	<u>961,4</u>		<u>653,8</u>	<u>573,0</u>	503,7
28	<u>348,8</u>	<u>166,0</u>	<u>957,7</u>		<u>652,8</u>	<u>571,8</u>	502,5
29	<u>345,9</u>	<u>162,8</u>	<u>954,0</u>		<u>651,9</u>	<u>570,8</u>	501,3
30	<u>343,1</u>	<u>159,5</u>	<u>950,5</u>		<u>651,0</u>	<u>569,8</u>	500,0

$\text{Log } I = \text{Log } \frac{1}{R \sin I}$				$\text{Log } II = \text{Log } \frac{1}{S \sin I}$			
	$\varphi = 6^\circ$	7°	8°	6°	7°	8°	
<u>31</u>	<u>8,5126</u>	<u>540,2</u>	<u>156,2</u>	<u>8,5125</u>	<u>946,6</u>	<u>629,1</u>	<u>408,8</u>
<u>32</u>		<u>537,4</u>	<u>152,0</u>		<u>932,9</u>	<u>629,1</u>	<u>407,6</u>
<u>33</u>		<u>534,5*</u>	<u>149,6</u>		<u>919,2</u>	<u>628,1</u>	<u>406,5</u>
<u>34</u>		<u>531,6</u>	<u>146,5</u>		<u>905,4</u>	<u>627,1</u>	<u>405,4</u>
<u>35</u>		<u>528,8</u>	<u>143,0</u>		<u>891,7</u>	<u>626,2</u>	<u>404,3</u>
<u>36</u>		<u>525,9</u>	<u>139,7</u>		<u>878,0</u>	<u>625,2</u>	<u>403,2</u>
<u>37</u>		<u>523,0</u>	<u>136,4</u>		<u>864,2</u>	<u>624,5</u>	<u>402,1</u>
<u>38</u>		<u>520,1</u>	<u>133,1</u>		<u>850,5</u>	<u>623,5</u>	<u>401,0</u>
<u>39</u>		<u>517,2</u>	<u>129,7</u>		<u>836,7</u>	<u>622,5</u>	<u>400,0</u>
<u>40</u>		<u>514,5</u>	<u>126,4</u>		<u>823,0</u>	<u>621,4</u>	<u>398,9</u>
<u>41</u>		<u>511,5</u>	<u>123,0</u>		<u>809,2</u>	<u>620,4</u>	<u>397,8</u>
<u>42</u>		<u>508,4</u>	<u>119,7</u>		<u>795,4</u>	<u>619,4</u>	<u>396,7</u>
<u>43</u>		<u>505,5</u>	<u>116,5</u>		<u>781,6</u>	<u>618,4</u>	<u>395,6</u>
<u>44</u>		<u>502,5*</u>	<u>113,0</u>		<u>767,8</u>	<u>617,4</u>	<u>394,5</u>
<u>45</u>		<u>499,6</u>	<u>109,6</u>		<u>754,0</u>	<u>616,5</u>	<u>393,4</u>
<u>46</u>		<u>496,6</u>	<u>106,2</u>		<u>740,2</u>	<u>615,5</u>	<u>392,3</u>
<u>47</u>		<u>493,7</u>	<u>102,8</u>		<u>726,4</u>	<u>614,5</u>	<u>391,2</u>
<u>48</u>		<u>490,7</u>	<u>99,4</u>		<u>712,6</u>	<u>613,5</u>	<u>390,1</u>
<u>49</u>		<u>487,7</u>	<u>96,0</u>		<u>698,8</u>	<u>612,5*</u>	<u>389,0</u>
<u>50</u>		<u>484,7</u>	<u>92,6</u>		<u>685,0</u>	<u>611,5*</u>	<u>387,9</u>
<u>51</u>		<u>481,7</u>	<u>89,2</u>		<u>671,2</u>	<u>610,5*</u>	<u>386,8</u>
<u>52</u>		<u>478,7</u>	<u>85,7</u>		<u>657,4</u>	<u>609,5*</u>	<u>385,7</u>
<u>53</u>		<u>475,7</u>	<u>82,2</u>		<u>643,6</u>	<u>608,5*</u>	<u>384,6</u>
<u>54</u>		<u>472,7</u>	<u>78,8</u>		<u>629,8</u>	<u>607,5*</u>	<u>383,5</u>
<u>55</u>		<u>469,7</u>	<u>75,4</u>		<u>616,0</u>	<u>606,5*</u>	<u>382,4</u>
<u>56</u>		<u>466,8</u>	<u>72,0</u>		<u>602,2</u>	<u>605,5</u>	<u>381,3</u>
<u>57</u>		<u>463,8</u>	<u>68,6</u>		<u>588,4</u>	<u>604,5</u>	<u>380,2</u>
<u>58</u>		<u>460,8</u>	<u>65,2</u>		<u>574,6</u>	<u>603,5</u>	<u>379,1</u>
<u>59</u>		<u>457,8</u>	<u>61,8</u>		<u>560,8</u>	<u>602,4</u>	<u>378,0</u>
<u>60</u>		<u>454,8</u>	<u>58,4</u>		<u>547,0</u>	<u>601,4</u>	<u>376,9</u>

Ein * nach der Ziffer 5 bedeutet, dass noch etwas folgt, so dass man, mit sieben Stellen rechnend, die vorige Ziffer um eine Einheit grösser nehmen muss. Diese Tafel ist auf 10 Stellen berechnet und auf 8 Stellen abgekürzt worden.

$f(x) = \frac{1}{2} \log \sec x$, in Einheiten der sieben-
ten Decimalstelle

B	$\log [III]$	$\log [IV]$
6° 0'	<u>8,5407</u>	<u>2,55564</u>
10	<u>8,5524</u>	<u>2,55564</u>
20	<u>8,5638</u>	<u>2,55565</u>
30	<u>8,5749</u>	<u>2,55565</u>
40	<u>8,5857</u>	<u>2,55562</u>
50	<u>8,5962</u>	<u>2,55562</u>
7 0	<u>8,4065</u>	<u>2,55561</u>
10	<u>8,4165</u>	<u>2,55560</u>
20	<u>8,4265</u>	<u>2,55560</u>
30	<u>8,4358</u>	<u>2,55559</u>
40	<u>8,4451</u>	<u>2,55558</u>
50	<u>8,4545</u>	<u>2,55558</u>
8 0	<u>8,4632</u>	<u>2,55557</u>
10	<u>8,4719</u>	<u>2,55556</u>
20	<u>8,4804</u>	<u>2,55555</u>
30	<u>8,4888</u>	<u>2,55555</u>
40	<u>8,4969</u>	<u>2,55554</u>
50	<u>8,5050</u>	<u>2,55555</u>
9 0	<u>8,5128</u>	<u>2,55555</u>

x	$f(x)$	x	$f(x)$
0	0,0	1700	49,2
100	<u>0,2</u>	1800	55,1
200	<u>0,7</u>	1900	61,4
300	<u>1,5</u>	2000	68,1
400	<u>2,7</u>	2100	75,0
500	<u>4,5</u>	2200	82,5
600	<u>6,1</u>	2300	90,0
700	8,5	2400	98,0
800	10,9	2500	106,5
900	15,8	2600	115,0
1000	17,0	2700	124,0
1100	20,6	2800	155,4
1200	24,5	2900	<u>145,1</u>
1300	28,8	3000	<u>155,1</u>
1400	35,5	3100	<u>165,4</u>
1500	58,5	3200	<u>174,0</u>
1600	45,6	3300	<u>181,9</u>
1700	49,2	3400	<u>196,1</u>

Wie gesagt, bin ich bei dem Entwerfen der S. 200 gegebenen Formeln von der Meinung ausgegangen, dass die alte Methode der Projection auf eine Kugel, für die Lösung des Hauptproblems der Geodäsie hinreicht, so bald die beiden Orte nicht viel mehr als einen Grad von einander entfernt sind.

Um doch noch zu untersuchen, in wiefern die beiden Formelsysteme, jenes des Herrn Prof. Schols und das meine, übereinstimmende Resultate geben, habe ich die längste Seite gewählt, welche das Java'sche Dreiecknetz darbietet, nämlich Tjernai IV-Tjemiring, 120 790,50 Meter, und aus der Länge und der Breite von Tjernai, des Azimuth und der Entfernung von Tjemiring, die Länge und Breite des letztgenannten Punktes wie auch das gegenseitige Azimuth abgeleitet. Wir werden beide Rechnungen hier in extenso mittheilen. Es versteht sich übrigens dass es nicht absolut nöthig war, für den Uebergang von dem einen der genannten Punkte zum andern diese lange Seite anzuwenden; in Wirklichkeit sind auch die Zwischenpunkte Sawal und Bangkok benutzt worden.

RECHNUNG NACH DEN FORMELN DER SEITE 200.

$$\begin{array}{l} \text{Tjermaj} \left\{ \begin{array}{l} \text{südl. Breite} = 6^{\circ} 55' 55'',759 \\ \text{östl. Länge} = 1 \ 55 \ 52,457 \end{array} \right. \end{array}$$

$$\begin{array}{l} \text{nach Tjemring} \left\{ \begin{array}{l} \text{Azimuth} = 144^{\circ} 50' 44'',51 \\ S = 120 \ 790,50 \end{array} \right. \end{array}$$

Genäherte Berechnung von B_1 .

$$\begin{array}{l} \log. 1 = \underline{8,51201} \\ \log. S = \underline{5,08205} \\ \log. \cos. A_1 = \underline{9,91075} \\ \log. dB = \underline{5,50539} \\ - dB = + 0^{\circ} 55' 21'',8 \\ B_1 = 6 \ 55 \ 55,7 \\ B_2 = \underline{7 \ 46 \ 57,5} \end{array}$$

Berechnung des Längen-
Unterschieds

Verbessert.

$$\begin{array}{l} \log. H_2 = 8,5097551.0 \\ \log. S = \underline{5,0820521} \\ \log. \sin A_1 = 9,7658226.0 \\ \log. \sec B_2 = \underline{0,0040188.7} \\ - f(dB) = \underline{171.2} \\ \log. dL = \underline{5,5596112.5} \\ dL = 2288',818 \\ = 0^{\circ} 58' 8'',816 \\ L_1 = 1 \ 55 \ 52,457 \\ L_1 + dL = L_2 = 2^{\circ} 14' 0'',955 \end{array}$$

Berechnung des Azimuths.

$$\begin{array}{l} B_2 = 7^{\circ} 20' 16'',2 \\ \log. dL = \underline{5,5596110} \\ \log. \sin B_2 = \underline{9,4062574} \\ \frac{1}{2} f(dB) = 131 \\ \frac{1}{2} f(dL) = 45 \\ \log. a = \underline{2,4658860} \end{array}$$

$$\begin{array}{l} z = - 292',54 \\ = - 4^{\circ} 52' 54'' \\ 180^{\circ} + A_1 = 324^{\circ} 50' 44'',51 \end{array}$$

$$A_2 = 324 \ 25 \ 52,17$$

Endgültige Berechnung der Breite.

$$A_2 = 144^{\circ} 28' 18'',54$$

$$\begin{array}{l} \log. 1_2 = \underline{8,5126191.0} \\ \log. S = \underline{5,0820521} \\ \log. \cos. A_2 = \underline{9,9105552.9} \\ \frac{1}{2} f(dL) = + \underline{44.6} \\ \log. dB = \underline{5,5051889.5} \end{array}$$

$$\begin{array}{l} - dB = + 5200'',287 \\ = + 55^{\circ} 20'',287 \\ B_1 = 6 \ 55 \ 55,759 \\ B_2 = 7^{\circ} 46' 56'',026 \end{array}$$

Das Resultat der Rechnung ist also:

$$\begin{array}{l} \text{Tjemring, südliche Breite: } 7^{\circ} 46' 56'',026, \\ \text{östliche Länge: } 2 \ 14 \ 0'',955, \\ \text{Azimuth von Tjermaj: } 524 \ 25 \ 52,17. \end{array}$$

RECHNUNG NACH DEN FORMELN DES HERRN SCHOLS.

$A_1 = 144^\circ 50' 44'' .51$	$\log \frac{5}{2} c^2 = 8,50155$
$- t = - 5 9 .34$	$\log \cos 2 B_1 = 9,38751$
$- t' = + 17 .60$	$\log [2] = 8,28884$
$- 180^\circ$	
$A_2 = 524^\circ 25' 52'' .17$	$\log [4] = 4,58454$
$B_1 = 0 55' 55'' .759$	$(Arg B) \log \frac{1}{h} = 0,00286$
$- b = + 55 22 .002$	$\log [5] = 4,58740$
$B' = 7 46 57 .741$	
$- b' = - 1 7,15$	$(Arg B_1) \log [III] = 8,5009$
$B_2 = 7 46 56'' .026$	$\log b_1 = 5,5054$
	$\log (1) = 1,9055$
$L = 1' 55' 52'' .157$	$(Arg B_1) \log [IV] = 2,55562$
$\lambda = 58 8 .816$	$2 \log S \sin A_1 = 0,69171$
$L = 2' 14' 0'' .955$	$\log (2) = 2,24755$
$\log S = 5,0890520.8$	$\log [1] = 5,25078$
$(Arg B) \log [I] = 8,5133275.9$	$2 \log b_1 = 7,01082$
$\log \cos A_1 = 9,9707528.6$	$\log [5] = 2,24160$
$\log b_1 = 5,5054125.5$	$\log [2] = 8,28884$
$+ (1) = - 80.4$	$\log (4) = 0,55044$
$+ (2) = + 176.7$	
$- (7) = - 5.4$	$\log 2 [1] = 5,53181$
$\log b = 5,5054216.2$	$2 \log t = 4,08256$
$\log S = 5,0890520.8$	$\log [5] = 0,51457$
$\log \sin A_1 = 9,7658226.0$	
$\log S \sin A_1 = 4,8458546.8$	$\log [1] = 5,25078$
$(Arg B) \log [II] = 8,5097550.9$	$2 \log A_1 = 6,71922$
$- [5] = - 173.4$	$\log (6) = 1,55000$
$\log c = 5,5555925.5$	
$\log \sec B' = 0,0040189.4$	$\log [5] = 4,58740$
$\log \lambda = 5,5506112.7$	$\log c = 5,55559$
$- (5) = - 5.5$	$\log t = 2,49128$
$\log 2 = 5,5506109.4$	$\log b' = 0,25427$
$\log c = 5,5555925.5$	
$\log e = 9,1566905.6$	$\log [4] = 4,58454$
$\log \text{Tang } B' = 2,4912828.9$	$\log b = 5,50542$
$\log L = 2,4912828.9$	$\log c = 5,55559$
$- (6) = - 89.1$	$\log t' = 1,24555$
$\log t = 2,4912759.8$	

Man sieht, dass die Resultate nach beiden Rechnungen identisch sind. Hätten wir das Glied $f(x) = 1,6 \frac{d^2}{dx^2} 7^{100}$ Decimalstelle beigezählt, so würden sowohl die Länge als die Breite um 0,001 grösser gefunden sein. Es kommt mir doch vor, dass die Rechnung nach dem ersten, von uns befolgten System etwas bespinner von Statten geht; die Ziffernzahl ist wenigstens, auch wenn man die nicht unumgänglich nöthigen Zahlen bei der Rechnung nach Herrn Schols nicht mitrechnet, etwas geringer.

Jeder Punkt wurde immer wenigstens von zwei Seiten bestimmt; die Uebereinstimmung war oft vollkommen; natürlich kamen aber auch ab und zu Unterschiede von einer Einheit, einzelne Male von zwei Einheiten in der letzten Stelle vor, in welchen Fällen das arithmetische Mittel der verschiedenen Resultate, oder auch das am nächsten liegende angenommen wurde.

Es folgte nun die Tabelle der Breiten und Längen, nach den Längen geordnet, die Basis-, End- und Netzpunkte, sowie die als Punkte erster Ordnung fungierenden Punkte der Tegel-Pokalonzischen Kette und der Verbindung mit Sonatra sind hinzugefügt worden. Auch ist die sogenannte Seehöhe, d. h. die Höhe der oberen Fläche des Pfeilers über den mittleren Stand des Meeres angegeben worden, wie auch die Beschaffenheit oder der Thall des Meeres, in welchem sich der Punkt befindet.

In einer folgenden Abtheilung wird das Nähere über die astronomischen Breiten-, Längen- und Azimuthbestimmungen, sowie über das geodätische Nivellement mitgeteilt werden.

BREITE, LÄNGE OST VON BATAVIA (ZEITSIGNAL) UND SEEHÖHE ALLER
DREIECKSPUNKTE ERSTER ORDNUNG.

Dreieckspunkt.	Südliche Breite.	Länge, Ost von Batavia.	Seehöhe in Metern.	Residentschaft oder Meeresstheil.
----------------	------------------	----------------------------	--------------------------	---

Das Java'sche Dreiecksnetz erster Ordnung.

Hondje I.	0° 45' 40",574	—1° 14' 0",728	607,5	Bantam.
Batochideung.	6 51 55,881	—1 10 15,925	274,8	"
Tindjil.	6 56 58,019	—0 59 46,202	5,0*	Indischer Ocean.
Sangean.	5 58 19,649	—0 57 10,658	57,2	Sundastrasse.
Leuchthurm Anjer.	6 4 45,486	—0 55 27,800	—	Bantam.
Tjiloemloem.	6 58 21,852	—0 55 9,594	159,5	"
Anjer.	6 5 15,448	—0 55 42,600	5,4*	"
Karang.	6 16 7,469	—0 45 57,188	1778,4	"
Gede.	5 55 52,129	—0 44 39,915	595,1	"
Klandong.	6 50 56,745	—0 58 5,828	587,4	"
Endoet I.	6 57 6,295	—0 26 55,560	1281,5	"
Sangaloewana II.	6 45 57,858	—0 21 55,526	1918,5	"
Nangka.	7 15 49,717	—0 19 48,205	291,1	Preanger Reg ⁿ .
Dago.	6 25 9,512	—0 15 27,901	186,7	Batavia.
Soerangga.	7 7 15,871	—0 12 45,274	822,9	Preanger Reg ⁿ .
Patat.	7 15 45,109	—0 6 6,046	805,8	"
Batavia, Leuchthurm.	6 6 19,251	—0 0 15,770	—	Batavia.
Batavia, Zeitsignal.	6 7 59,522	0 0 0,000	—	"
Poetri.	6 27 56,905	+0 4 56,610	189,7	"

* Direct gemessen, v. S. 153 und 158.

Dreieckspunkt.	Südliche Breite.	Länge, Ost van Batavia.	Seeshöhe in Metern.	Residenschaft.
Telaga.....	7° 3' 1",850	+0° 7' 52",524	1085,5	Preanger Reg.
Pangrango.....	6 46 14 ,447	0 9 21 ,550	3018,7	Grenze Bat. und P. R.
Tjikakap.....	7 26 32 ,295	0 9 21 ,748	58,5	Preanger Reg.
Bitoeng.....	7 19 1 ,870	0 16 58 ,882	554,5	"
Sangaboewana I.....	6 55 27 ,498	0 24 41 ,070	1291,0	Krawang.
Tjiboentoe.....	7 27 47 ,507	0 27 49 ,509	125,5	Preanger Reg.
Patoeha I.....	7 9 56 ,265	0 35 22 ,902	2455,5	"
Boerangrang.....	6 46 27 ,758	0 44 47 ,456	2065,8	Grenze Kraw. und P. R.
Pogor II.....	7 39 50 ,757	0 55 45 ,062	50,9	"
Tjikoerai.....	7 19 22 ,242	1 5 2 ,687	2820,5	"
Pogor III.....	7 34 53 ,959	1 4 10 ,195	765,4	"
Tampomas II.....	6 45 49 ,290	1 9 6 ,744	1685,8	"
Sawal.....	7 11 22 ,812	1 27 45 ,070	1705,5	Cheribon.
Bongkok.....	7 29 27 ,556	1 51 50 ,565	1144,1	Preanger Reg.
Kromon.....	6 44 8 ,102	1 54 19 ,600	586,8	Cheribon.
Tjermai IV.....	6 55 55 ,759	1 55 52 ,157	5077,9	"
Sambeau.....	6 59 9 ,598	1 42 58 ,808	5,8	"
Cheribon II.....	6 45 9 ,550	1 44 50 ,797	4,0	"
Kedaka.....	7 7 56 ,584	1 54 55 ,525	1077,5	Tegal.
Losari.....	6 50 59 ,867	1 59 59 ,657	5,7	"
Mroejong.....	7 17 15 ,881	2 5 45 ,594	755,9	" , Gr. Banj.
Tjemiring. { Leuchthurm	7 46 56 ,508	2 14 0 ,685	?	Banjoemas.
{ Pfeiler.....	7 46 56 ,026	2 14 0 ,955	174,7	
Koeta.....	6 57 21 ,562	2 15 57 ,766	15,2	Tegal.
Slamat III.. { Pfeiler...	7 14 59 ,052	2 24 25 ,198	5419,7	Tegal, Gr. "
{ Pyramide.	7 14 58 ,959	2 24 25 ,410	5422,7	" " "
Slamat IV.....	7 14 18 ,025	2 24 58 ,017	5427,8	" " "

Dreieckspunkt.	Südliche Breite.	Länge, Ost von Batavia.	Seehöhe in Metern.	Residenschaft.
Gadjah	7° 0' 4",780	+2° 29' 21",952	509,6	Tegal.
Ardjoeno	7 45 12 ,540	2 58 12 ,105	445,2	Baglen.
Tjoepoe	7 15 52 ,150	2 59 57 ,824	1291,0	" , Gr. Tegal.
Gégérgadong	6 59 42 ,656	2 44 48 ,916	118,0	Pekalongan.
Pekalongan	6 51 55 ,715	2 55 1 ,751	2,8	"
Rogodjembangan	7 12 7 ,178	2 55 6 ,572	2176,9	" , Gr. Bagl.
Kembang	7 55 49 ,529	3 0 51 ,427	728,8	Baglen.
Prahoë	7 11 14 ,475	3 6 48 ,686	2565,2	Bagl., Gr. Banj., Pek., Sem. und Kadoe.
Priksa	6 57 8 ,156	3 7 55 ,562	567,2	Pekalongan.
Gepak	7 46 50 ,794	3 17 55 ,792	858,9	Baglen.
Tembok	6 58 22 ,971	3 25 42 ,240	62,9	Semarang.
Oengaran (West)	7 11 15 ,065	3 52 8 ,585	2050,2	"
Semarang	6 57 54 ,258	3 56 18 ,466	2,1*	"
Merholoe	7 26 59 ,225	3 58 2 ,185	5119,0	Kadoe, Gr. Sem.
Morodemak	6 49 51 ,754	3 44 15 ,100	5,0*	Semarang.
Nglanggran	7 50 26 ,057	3 44 27 ,167	685,6	Jogjakarta.
Banjoepahit	7 9 54 ,529	3 54 24 ,015	189,4	Semarang.
Sslam	7 19 0 ,225	3 58 58 ,212	195,7	Soerakarta.
Kritjin	7 29 41 ,415	4 1 41 ,550	180,5	"
Gambiranom	8 9 57 ,110	4 6 17 ,165	450,2	Madioen.
Genoe	6 26 55 ,550	4 6 58 ,047	716,7	Djepara.
Gading	6 58 20 ,984	4 15 46 ,906	555,2	Sem., Gr. Djepara.
Ratawoë	8 2 5 ,804	4 16 1 ,527	1004,5	Soerak., Gr. Madioen.

* Direct gemessen.

Dreieckspunkt.	Südliche Breite.	Länge, Ost von Batavia.	Seehöhe in Metern.	Residentschaft.
Lawoe.....	Pfeiler... 7° 57' 59",458	4° 25' 8",150	5265,4	Madion.
	Pyramide. 7 57 59 ,555	4 25 8 ,255	5269,1*	"
Segorogoenong.....	7 12 55 ,085	4 24 56 ,254	280,2	Rembang, Gr. Sem.
Boetak (Rembang).....	6 49 54 ,599	4 42 12 ,528	678,6	"
Sengungloeng.....	8 8 24 ,802	4 45 51 ,691	1175,5	Kediri.
Wonojolo.....	7 5 15 ,427	4 51 50 ,892	287,4	Rembang.
Pandan.....	7 27 41 ,868	4 59 28 ,024	896,7	Remb., Gr. Mad. u. Ked.
Wilis.....	7 51 57 ,206	4 59 46 ,169	2169,1	Kediri.
Taenggangan.....	7 4 59 ,780	5 7 55 ,455	491,1	Rembang.
Nongko.....	7 26 44 ,044	5 17 42 ,612	255,6	Soerabaya.
Gebang.....	8 12 45 ,927	5 21 6 ,511	568,5	Kediri.
Patajajaran.....	6 54 12 ,104	5 25 52 ,596	76,5	Soerabaya.
Watoetjeng.....	7 14 10 ,590	5 50 58 ,001	156,0	"
Dradjat.....	6 55 55 ,164	5 55 29 ,828	151,6	"
Boetak (Kediri).....	7 57 20 ,859	5 59 24 ,210	2868,5	Kediri, (Gr. Pasoe ^o).
Banjoeligi.....	Pyramide. 6 55 4 ,789	5 42 21 ,761	126,6*	Soerabaya.
	Pfeiler... 6 55 1 ,857	5 42 21 ,900	122,7	"
Slamat.....	8 12 6 ,095	5 45 57 ,955	546,5	Paseroean.
Ardjoeno.....	7 45 55 ,557	5 47 2 ,222	5558,8	"
Puwanggoengan.....	7 56 57 ,164	5 48 40 ,565	1652,2	Soerab., Gr. Pasoe ^o .
Petoekangan.....	Pfeiler... 7 10 52 ,942	5 49 52 ,051	121,0	"
	Pyramide. 7 10 55 ,064	5 49 52 ,158	124,6*	"
Ronggo.....	8 5 58 ,458	5 54 2 ,847	680,2	Paseroean
Ketjiri.....	7 56 47 ,405	6 4 10 ,196	2295,5	"
Paseroean.....	7 57 58 ,798	6 6 25 ,556	5,0**	"

* Die Spitzn. ** Direkt gemessen.

Dreieckspunkt.	Südliche Breite.	Länge, Ost von Batavia.	Seehöhe in Metern.	Residentschaft.
Seméroe . . .	Pfeiler . . . 8° 6' 50",270	+6° 6' 48",591	5675,4	Pasoer., Gr. Probol.
	Pyramide . . 8 6 50 ,415	6 6 48 ,505	5676,1	"
Scléret	7 6 55 ,056	6 8 5 ,504	244,6	Madoera.
Bangsai	6 55 48 ,692	6 9 54 ,769	174,2	"
Argowoelan	7 54 5 ,120	6 9 54 ,781	2724,8	Probolinggo.
Senongkron	7 40 45 ,748	6 12 46 ,950	84,1	Pasoeruan.
Ketapang	7 40 51 ,559	6 26 26 ,795	10,7	Probolinggo.
Pakem	7 57 25 ,154	6 26 51 ,409	581,1	"
Madoe	7 11 57 ,784	6 28 14 ,507	84,8	Madoera.
Rantja	6 58 25 ,851	6 29 57 ,787	245,1	"
Béséh	8 16 52 ,254	6 58 2 ,771	102,1	Besoki.
Djoemiang	7 14 2 ,466	6 44 54 ,647	17,0	Madoera.
Argopoero	7 57 52 ,547	6 45 29 ,159	5088,4	Besoki, Gr. Probol.
Loeroes	7 44 22 ,566	6 46 18 ,927	558,5	"
Tamboeko	7 1 12 ,595	6 49 55 ,505	470,6	Madoera.
Rika	8 28 59 ,096	6 51 41 ,666	541,5	Besoki.
Majang	8 17 6 ,958	6 58 27 ,511	919,6	"
Kemirisongo	8 15 17 ,784	6 58 41 ,595	719,8	"
Bésér	7 48 58 ,885	7 1 7 ,755	1505,1	"
Lagoendi	7 7 17 ,815	7 2 55 ,565	122,6	Madoera.
Boeroean	6 55 49 ,075	7 7 48 ,698	205,9	"
Kafasinu	7 57 9 ,651	7 12 44 ,157	2,8*	Besoki.
Lembœ	8 25 12 ,765	7 15 2 ,421	920,1	"
Soeket I	8 5 5 ,070	7 16 15 ,792	2949,8	"
Gilan	6 59 25 ,020	7 21 27 ,005	52,5	Madoera.

* Direct gemessen.

Dreieckspunkt.	Südliche Breite.	Länge, Ost von Batavia.	Seehöhe in Metern.	Residenschaft.
Degong	8° 58' 18",612	+7° 24' 10",508	585,6	Besocki.
Sahari	8 12 55 ,104	7 51 29 ,158	150,4	"
Baloeran	7 50 24 ,210	7 55 4 ,440	1247,4	"
Ikan	8 27 5 ,945	7 54 50 ,277	205,7	"
Tandjong Pakem	8 14 5 ,587	7 54 50 ,652	4,5*	"
" " (neu)...	8 14 56 ,912	7 54 52 ,606	4,7	"

Das Basisnetz von Simplak.

Mentjéré	0° 28' 55",947	— 0° 12' 56",509	590,2	Batavia.
Tjitjadas	6 54 40 ,225	— 0 7 44 ,407	259,2	"
Boeboet	6 50 44 ,772	— 0 4 45 ,659	259,7	"
Salak I	6 42 56 ,625	— 0 4 51 ,491	2210,6	"
VII	6 52 25 ,570	— 0 4 0 ,167	175,2	"
III	6 52 49 ,909	— 0 2 56 ,548	179,2	"
II	6 52 17 ,417	— 0 2 54 ,470	167,6	"
I	6 51 25 ,549	— 0 2 51 ,256	157,7	"
IV	6 55 52 ,105	— 0 2 49 ,297	195,5	"
V	6 52 22 ,220	— 0 2 51 ,775	—	"
VI	6 51 44 ,027	— 0 2 25 ,800	—	"
Hambalang	6 52 58 ,402	+0 5 22 ,572	625,4	"

Das Basisnetz von Logatong.

Logatong	6° 58' 24",440	+5° 54' 26",487	9,4	Semarang.
Kaligong	6 59 8 ,805	5 55 14 ,175	8,7	"

* In Jahre 1877 durch das Meer weggeschlagen.

Dreieckspunkt.	Südliche Breite.	Länge, Ost von Batavia.	Seehöhe in Metern.	Residentschaft oder Meerestheil.
Weroe.....	7° 4' 0",928	+3° 55' 24",994	11,8	Samarang.
Penoenggulan.....	6 59 57,257	5 56 5,905	12,5	"
Bandong.....	6 58 51,999	5 56 40,226	11,7	"
Basé.....	7 0 0,012	4 0 55,092	215,7	Djepara.
Sanggrah.....	7 11 45,651	4 8 4,166	179,1	Samarang.

Das Basisnetz von Taugsil.

Tanahwoelan.....	8° 1' 27",554	+0° 56' 17",141	761,5	Besoeki.
Poetri.....	7 50 8,555	7 2 6,158	976,4	"
Taugsil.....	7 54 4,091	7 5 55,865	258,5	"
Djoerangsapi.....	7 52 42,751	7 5 56,802	250,0	"
Petjaloengan.....	7 57 42,645	7 8 2,545	555,9	"

Die Verbindung mit Sumatra.

Keizerspiek.....	5° 25' 57",829	-2° 8' 4",559	2101,8	Lampongs.
Tangka.....	5 42 41,560	-1 42 4,804	1161,1	"
Telok.....	5 25 45,755	-1 39 14,075	1259,6	"
Telokbetong.....	5 27 4,444	-1 52 57,040	5,5	"
Krakataoe.....	6 8 41,485	-1 22 16,842	858,7 *	Sunda-Strasse.
Sebélai.....	5 57 1,851	-1 19 12,154	726,0 **	"
Radjabasa.....	5 46 54,444	-1 10 55,747	1281,0	Lampongs.

* Der Hals des Signals. ** Ueber diese beide Punkte, Krakataoe und Sebélai, s. S. 153 und 154.

§ 12. Die Länge von Batavia.

a. Die alte Länge.

Damit die Längen der durch die Triangulation von Java und Madocra bestimmten Punkte auch vom allgemein angenommenen Meridian von Greenwich ab gerechnet werden können, erübrigt uns noch, die Länge des Zeitsignals am (alten) Hafen, so gut es jetzt möglich ist, fest zu stellen.

Vor ungefähr einem halben Jahrhundert wurde für die Länge des damaligen Zeitalls zu Batavia, (welcher etwa 1851 durch eine Zeitklappe vertauscht worden ist) $106^{\circ} 50'$ d. h. $7^{\circ} 7' 20''$ angenommen; so wird z. B. diese Länge in der damals bei der niederländischen Marine im Gebrauch befindlichen, vom Oberst J. C. Pilaar verfassten „*Handleiding tot de beschouwing en werkzame Stuurmanskunst*“, 1847, II, S. 558, angegeben. Es wurde aber bereits damals anerkannt, dass diese Länge um etliche Zeitsecunden unsicher war.

b. Die durch Mondbeobachtungen bestimmte Länge.

Als im J. 1850 S. H. de Lange nach Ost-Indien, zur Ausführung von astronomischen Ortsbestimmungen abreiste, war demnach sein erstes Streben der Bestimmung der Länge von Batavia mittels Mondbeobachtungen gewidmet.

Drei Methoden wurden dazu von ihm angewandt: 1. Culmination des Mondes und der Mondsterne; 2. die von Kaiser entworfene Beobachtung gleicher Höhen des Mondes und eines Sterns; 3. Sternbedeckungen.

Als ich im Jahre 1857 Herrn S. H. de Lange für dieselbe Aufgabe nachfolgte, waren die von ihm und seinem Bruder, Herrn G. A. de Lange gesammelten Beobachtungen, wegen Unbekanntheit dieser Herren mit den Fehlern der Mondtafeln und der Decker der benutzten Sterne, noch nicht endgültig reducirt, und diese Reducirung war also meine erste Arbeit, indem ich mich zu gleicher Zeit befeßigte, die Zahl der Sternbedeckungen noch zu vergrößern.

Wenige Tage vor meiner Abreise aus dem Vaterlande, 15 September 1857, waren Hansen's Mondtafeln abgedruckt worden, und auf meine Bitte empfing ich noch auf der Rhede von Brouwershaven vom Astronomer Royal, Sir G. Biddell Airy, ein Exemplar dieser Tafeln.

Hansen hatte (Monthly Notices, XV, 1-7) gezeigt, dass seine Tafeln den Mond-Beobach-

gen von Greenwich aus der Periode 1824—1850, ebenso wie jenen aus den Jahren 1751—1755 so gut entsprachen wie dies verlangt werden konnte, und ich durfte also erwarten, dass dieselben den Mondort im J. 1858 eben so gut, wenn nicht noch besser, als eine einzige, in Europa ausgeführte Meridian-Beobachtung angeben würden.

Bei der Reduction der von mir beobachteten Sternbedeckungen nahm ich also die Mondörter an, wie ich sie aus den Tafeln berechnete.

Ueber die Ableitung der Länge von Batavia aus allen den genannten Beobachtungen siehe man das „*Verlag van de Geographische Dienst in Ned. Indië over Januari 1858 tot en met April 1859*“, im VII Theil (1860) der in Quarto herausgegebenen „*Verhandelingen der Koninklijke Natuurkundige Vereeniging*“ zu Batavia, S. 62 und 65, wie auch die „*Astronomische Nachrichten*“, Band 55, S. 582, (wo aber der Auszug durch etliche, zum Theil Band 54, S. 555 angegebene Druckfehler entsteht ist.)

Die drei genannten Categorien von Beobachtungen hatten gegeben:

		w. F.	Relatives Gewicht.
Die Monds-Culminationen.....	7 ^h 7 ^m 17 ^s ,5	± 0,55	5,50
Die Beobachtung gleicher Höhe des Mondes und eines Sterns.....	16,8 °)	± 0,87	1,52
Die Sternbedeckungen.....	12,5	± 0,59	6,57

Die beiden ersten Resultate stimmen innerhalb der durch die w. Fehler angegebenen Grenzen überein, sie sind auch durch analoge Beobachtungen, (Vorübergänge des Mondrandes und einiger Sterne vor einem Faden) erhalten. Vereint man dieselben mit Rücksicht auf die Gewichte, so erhält man

$$7^{\text{h}} 7^{\text{m}} 17^{\text{s}},5 \text{ mit einem w. Fehler} = \pm 0,48,$$

was 5' von dem Resultate der Sternbedeckungen abweicht. Ich fürchtete, dass constante Einflüsse hiervon die Ursache seien; dass also im Falle einerseits die Zahl der Beobachtungen nach den beiden ersten Methoden, anderseits die Sternbedeckungen unbestimmt vergrößert würden, der gefundene Unterschied wenig verändern würde. Das Resultat, welches man mit Rücksicht auf die Gewichte erhalten würde,

$$7^{\text{h}} 7^{\text{m}} 14,4,$$

weicht von jedem partiellen Resultate beiläufig sechsmal so viel ab, als der w. Fehler beträgt. Ich glaubte also, zur Ableitung des endgültigen Resultats, den folgenden Weg betreten zu müssen.

Die Beobachtungen der ersten und zweiten Gattung hatten den Längen-Unterschied von Batavia und Greenwich nur indirect ergeben; dieselben lieferten nämlich eigentlich die Zunahme der Rectascension des Mondes im Zeitraum zwischen den Durchgängen durch die Meridiane der beider genannten Orte. Diese Zunahme beträgt im Mittel $16^{\circ} 11',22$ und ein constanter Fehler in diesem Werthe geht im Mittel 26,4 Mal vergrößert auf die Länge über. Die Berechnungen, nach der im Nautical Almanac 1853 entwickelten Methode von Challis, der Länge aus den Sternbedeckungen hatte dagegen gezeigt, dass ein constanter Fehler in der Beobachtung dieser Erscheinungen im Verhältniss von 1:0,87 verkleinert auf die Länge überging. Ich erachtete es also am Meisten gerathen, den Unterschied von 5' so zu ver-

* Es steht $16^{\circ},5$, dies ist aber, wie man S. 42 des Originalberichts sehen kann, ein Druckfehler.

theilen, dass den beiden, unmittelbar bestimmten Grössen ein gleich grosser systematischer Fehler zuertheilt wurde. Dieser war also

$$\frac{5,0}{26,40 + 0,87} = 0,18,$$

so dass für den wahrscheinlichsten Werth der Länge von Batavia erfolgte

$$7^{\circ} 7' 12,5 \text{ mit einem w. F.} = \pm 0,58.$$

Diese Zahl ist seitdem auch von mir angenommen und allen anderen von mir ausgeführten Längebestimmungen zu Grunde gelegt worden.

c. Die erste telegraphisch bestimmte Länge.

Bereits im J. 1858 wurde auf Kosten der niederländischen Regierung zwischen Singapore und Batavia ein elektrisches Kabel gelegt, welches aber zu schwach construiert war und bald unbrauchbar ward.

Sobald im Jahre 1870 zum zweiten Mal ein Kabel zwischen Singapore und Batavia gelegt worden war, ergriff ich die Gelegenheit, um mit Genehmigung des Vorstandes der „British Australian Telegraph Company“ den Längen-Unterschied zwischen beiden Orten zu bestimmen. Diese Bestimmung wurde von Herrn Ingenieur Soeters und mir ausgeführt und der persönliche Unterschied wurde eliminiert, indem erst, an sechs Abenden, im December 1870 und Januar 1871, Herr Soeters zu Singapore und ich zu Batavia, und hierauf ebenso an sechs Abenden, im Februar 1871, ich zu Singapore und Herr Soeters zu Batavia beobachtete.

Von dieser Bestimmung wurde im „*Natuurkundig Tijdschrift, uitgegeven door de Kon. Natuurkundige Vereeniging*“, Deel 54, n. 129. (1874), ein Bericht gegeben. Das Resultat war: Batavia, (Zeitsignal,) Ost von Singapore (Flaggenstock auf Government Hill):

$$0^{\circ} 11' 50,985 \text{ mit einem w. F.} = \pm 0,022.$$

Noch im Jahre 1871 wurden Herr Norman Pogson, Director der Sternwarte zu Madras, und ich, auf meine Bitte vom Vorstande der British-Indian-Extension-Company in den Stand gesetzt, den Längen-Unterschied Singapore—Madras zu bestimmen. Unsere beiderseitigen Amtsgeschäfte verboten aber das Wechseln der Beobachter, welches ohne Zweifel ansehnliche Kosten und grossen Zeitverlust verursacht haben würde. Das in den Astr. Nachrichten N° 2486, im J. 1885 mitgetheilte Resultat

Singapore (Flaggenstock auf Government Hill) Ost von Madras, (Meridiankreis)

$$1^{\circ} 54' 25,565$$

kann also, ungeachtet der guten Uebereinstimmung der an den verschiedenen Abenden erhaltenen Zahlen, nicht dieselbe Genauigkeit beanspruchen wie das vorige.

In den «Monthly Notices of the Royal Astronomical Society» von December 1877, (Vol. 58, s. 85,) findet sich ein Bericht von Herrn General Addison über eine Bestimmung der Länge von Madras, Ost von Greenwich. Er selbst hatte in Kurrachee beobachtet, Dr. Becker und Dr. Fritsch zu Ispahan, und Norman Pogson zu Madras. Ispahan hatte Signale mit Berlin gewechselt, und indem die Länge von Berlin dem Nautical Almanac entnommen wurde, war das Endresultat $5^{\text{h}} 20^{\text{m}} 59^{\text{s}}.65$. Von Rücksicht auf persönliche Unterschiede scheint keine Rede gewesen zu sein.

Im kurz nachher erscheinenden Nautical Almanac vom J. 1882 wurde die alte Länge von Madras, $5^{\text{h}} 20^{\text{m}} 57^{\text{s}}.5$ durch eine neue $5^{\text{h}} 20^{\text{m}} 59^{\text{s}}.4$ ersetzt, ohne dass aber in der, dem Jahrgange zugefügten, «Explanation» eine Erklärung ihrer Herkunft dieser Zahl gegeben wurde, welche um $0^{\text{s}}.25$ kleiner war als die vom General Addison mitgetheilte.

Ich wandte mich deshalb an Herrn J. R. Hind, dem damaligen Herausgeber des Nautical Almanacs, um Aufklärung über diesen Unterschied. Er war so zuvorkommend mir gleich zu antworten, dass er die telegraphische Länge von Madras einem Briefe von Sir George Airy vom 25 Januar 1878 entnommen habe. Dieser Brief enthielt die auf einander folgenden Längen-Unterschiede der folgenden Orte: Greenwich, Mokattam, Suez, Aden, Bombay und Madras, mit der Bemerkung, die beiden ersten Längen-Unterschiede seien von den Beobachtern der Venus-Übergängen vom J. 1874, die drei letzten von Indischen Offizieren, den Hauptleuten W. M. Campbell und Heaviside bestimmt worden. Als nun aber, im J. 1881, das im Auftrag der englischen Regierung von Sir George Airy besorgte «Account of Observations of the Transit of Venus, 1874 December 8, etc.» herausgegeben und verbreitet wurde, ergab es sich, dass die dort mitgetheilten Zahlen dem von denselben Sir George, im J. 1878, Herrn Hind mitgetheilten nicht entsprachen; der erste Längen-Unterschied war nämlich um $0^{\text{s}}.08$ kleiner, das zweite um $0^{\text{s}}.015$ grösser. Um sicher zu gehen, wandte ich mich zu Herrn Airy um Aufklärung; die Antwort lautete, wie zu erwarten war, das die *später*, also im «Account» veröffentlichten Zahlen den Vorzug verdienen.

Es bestand demnach die Möglichkeit eine telegraphische Länge von Batavia abzuleiten, wie ich in den Astron. Nachrichten N° 2486, dargelegt habe. Die Rechnung stand nun so:

Mokattam-Greenwich....	$2^{\text{h}} 5^{\text{m}} 6^{\text{s}}.24$	Mokattam. O. v. Greenw. *	$2^{\text{h}} 5^{\text{m}} 6^{\text{s}}.24$
Suez-Mokattam	$0 5 6.95$	Suez.....	$2 10 15.17$
Aden-Suez.....	$0 49 42.656$	Aden....	$2 59 55.826$
Bombay-Aden	$1 54 19.985$	Bombay..	$4 51 15.809$
Madras-Bombay.....	$0 29 45.540$	Madras...	$5 20 59.549$
Singapore-Madras.....	$1 54 25.565$	Singapore.	$6 55 22.714$
Batavia-Singapore.....	$0 11 50.985$	Batavia...	$7 7 15.699$

* Mit diesen Punkten werden gemeint:

Mokattam: Beobachtungs-Ort für den Venus-Übergang vom 8 Dec. 1874, des Captains Orde Browne, des Herrn F. M. und der Miss E. M. Newton, auf dem Jebel Juisbi, einem Rücken der Mokattam Hügel nahe Cairo.

Suez: Beobachtungs-Ort für denselben Übergang, des Herrn S. Hunter, (Hunter's station), auf einer künstlichen, etwa 40 Fuss hohen Anhöhe, nördlich von der Stadt, wo eine Villa des Kedive gebaut ist.

Aden: Station der Indischen Gradmessung, $0^{\text{s}}.577$ westlich von Gill's Pfeiler.

Bombay: Station der Indischen Gradmessung.

Madras: Meridiankreis der Sternwarte.

Singapore: damaliger Flagstaff auf Government-hill, von den Amerikanern in ihrem Bericht Fort Canning Flagstaff genannt, 70° n. $11^{\circ} 15'$ W. von dessen Ort, im J. 1882 entfernt, (d. h. $0^{\text{s}}.009$ westlich und $0^{\text{s}}.701$ nördlich).

Batavia: Zeitstation am alten Hafen.

Indem wir also das Endresultat auf die zweite Decimalstelle der Sekunde abrunden, gab diese Rechnung:

$$7^h 7^m 15^s.70,$$

also um 1'.20 mehr als die aus Mondbeobachtungen abgeleitete.

d. Die Verbesserung durch die amerikanische Längen-Expedition.

Der gefundene Werth war natürlicherweise noch nicht der endgültige; der von Norman Pogson und mir bestimmte Längen-Unterschied zwischen Singapore und Madras litt immer an der Unvollkommenheit, dass unser persönlicher Unterschied, weil derselbe nicht bestimmt werden konnte, gleich Null gesetzt worden war. Uebrigens war es freilich kein Vortheil, dass zu Madras die Entfernung der Sternwarte zum Telegraphenamt vier englische Meilen, zu Singapore die Entfernung des Beobachtungsortes zum Telegraphenamt drei Viertel einer engl. Meile betragen hatte, über welche Strecken die Chronometer hinübergetragen werden mussten.

Als vom „Navy Department“ zu Washington beschlossen wurde, für die Verbesserung der Längen, eine Reihe von Längen-Unterschieden über die ganze Erde telegraphisch zu bestimmen, wurde demzufolge Madras-Singapore, als ein Glied der Kette, auch im Programm aufgenommen. Die Beobachter, die Lientenants-zur-See Green, Norris und Davis, wurden von tragbaren Meridian-Fernröhren versehen, und die Durchgänge der Sterne wurden nicht mittels Auge und Ohr beobachtet, sondern electricisch registriert; ihr persönlicher Unterschied wurde vernachlässigt, »hatte sich aber durch wiederholte Bestimmungen zu weniger als 0'10 ergeben.“* Auch wurden überall Telegraphendrähte von Telegraphenamt zum Beobachtungsort geführt, so dass der Transport der Chronometer unnützig wurde. (*Telegraphic determination of Longitudes in Japan, China and the East Indies, embracing the meridians of Yokohama, Nagasaki, Wladivostok, Shanghai, Amoy, Hongkong, Manila, Cape James, Singapore, Batavia and Madras, with the Latitude of the several stations, by Lieut-Commanders F. M. Green and C. H. Davis, and Lieut. J. A. Norris, U. S. N., in 1881 and 1882. Published by Captain J. G. Walker, U. S. N., Chief of the Bureau of Navigation, Navy Department; Washington: Government Printing Office, 1883; S. 68 unten.*)

Das neue Resultat war, mit Rücksicht auf die relative Lage unserer beiderseitigen Beobachtungsorter, um 0'.708 grösser als das von Herrn Pogson und mir erhaltene, und wiewohl eine absichtliche Bestimmung, zu Leiden, meines persönlichen Fehlers bei Durchgangsbeobachtungen mit Auge und Ohr, mittels des von Herrn Prof. van de Sande Bakhuyzen ausgeführten Apparats, verschwindend klein gefunden wurde, es also befremdet dass unsere Bestimmung so viel zu klein sein würde, so halten wir uns doch für verpflichtet, der von den amerikanischen Marine-Offizieren unter den günstigsten Umständen erhaltenen Zahl den Vorzug einzuräumen, zumal weil die Probe an Wladivostok, wie wir weiter sehen werden, sogar noch eine geringe Vergrößerung der amerikanischen Längen-Unterschiede erfordern würde.

* Note zu S. 65, des später im Text genannten Berichtes. Dies halte ich für den schwächsten Punkt dieser Arbeit. Es wäre erwünscht gewesen, die Resultate der Bestimmungen der persönlichen Unterschiede genau anzugeben. Eine Zehntel-Zeitsekunde ist bei telegraphischen Längen-Unterschieden schon etwas beträchtliches.

Die Länge von Batavia würde also, wenn auf die von den Herren Davis und Norris ausgeführte Bestimmung Rücksicht genommen wird, zu

$$7^{\circ} \ 7'' \ 14,407$$

anzunehmen sein, also zufälligerweise nahezu genau dasjenige, was ich erhalten hätte, wenn ich einfach die drei im Anfange dieses Abschnitts mitgetheilten Resultate mit Rücksicht auf ihre Gewichte vereinigt, und also nicht, aus Furcht vor dem Einfluss constanter Fehler, den Sternbedeckungen ein so grosses Gewicht beigelegt hätte. Es erhebt nun, dass das durch die Bedeckungen erhaltene Resultat um etwa $2''$ zu klein gefunden worden ist, was darauf hindeutet, dass die Hansen'schen Mondtafeln, welche später wie bekannt, die Rectascensionen des Mondes je länger je mehr zu gross gegeben haben, dieselben im Gegentheil in der Periode 1850—60 um etwa $1''$ zu klein gaben.

e. Die Verbesserung durch die Verbindung der amerikanischen und der russischen, sich in Wladiwostok anschliessenden telegraphischen Ketten.

Als in Washington zu der Expedition der Herren Green, Davis und Norris beschlossen wurde, war bereits russischerseits durch eine Reihe von Zwischenpunkten der Längen-Unterschied von Kasan und Wladiwostok bestimmt worden. Der damalige Oberst Scharnhorst und Hauptmann Kuhlberg, geübte Beobachter, haben diese Aufgabe glanzvoll beendet, und ersigenernannt hat über diese Arbeit einen Bericht eingesandt, welcher im XXXVII Band der Denkschriften des Russischen Generalstabes, leider in russischer Sprache, erschienen ist.

Am Schluss (p. 72.) des amerikanischen Berichtes wird bereits erwähnt, dass die von diesen Herren abgeleitete Länge von Wladiwostok um $0,59$ grösser sei, als das von der amerikanischen Expedition gefundene. Weil nun die Amerikaner die Länge von Madras noch um etwa $0,07$ zu östlich angenommen haben, (siehe das S. 217 erwähnte,) so wird diese Differenz noch um so viel grösser.

Wir werden nun die ganze Kette durch Sibirien einerseits und längs Madras und Singapore andererseits auszugleichen versuchen. Vorher aber muss ich noch die Bemerkung machen, dass der Längen-Unterschied von Wladiwostok mit Shanghai besser um $0,91$ zu erhöhen ist, weil derselbe zweimal bestimmt wurde, einmal direct, ein anderes Mal indirect, mittels Nagasaki. Nach den Zahlen der Bestimmungen zu urtheilen, muss erstgenanntem Resultat das Gewicht = 2, letztgenanntem das Gewicht = $1\frac{1}{2}$ beigelegt werden, also

$$\begin{array}{lcl} \text{Wladiwostok—Shanghai, direct} & = & 0^{\circ} \ 41'' \ 54,82 \text{ Gew. } 2 \\ \text{„ „ indirect.} & & \text{„ „ } 54,75 \text{ „ } 1\frac{1}{2} \end{array}$$

$$\text{Mittel, mit Rücksicht auf die Gewichte: } 0 \ 41 \ 54,792$$

Ähnliches gilt für den Längen-Unterschied Shanghai-Hongkong. Dieser ist auch sowohl direct, als indirect durch Amoy bestimmt worden. Indem wir aus den S. 56 und 57 mitgetheilten Zahlen die Mittel nehmen, mit Rücksicht auf die dritte Decimalstelle, so haben wir

$$\text{für die directe Bestimmung} \quad \dots \dots \dots 29'' \ 17,280 \text{ Gew. } 2$$

für die indirecte aber:			
Amoy-Hongkong	+	15" 56,425 Gew. 4	
Shanghai-Amoy		15 40,875 " 2	
		<hr/>	
Summe: Shanghai-Hongkong		29 17,500	" 1½
Also aus beiden	+	29" 17,288	" 5¼

Ferner muss ich noch daran erinnern, dass neulich der Geh. Regierungsrath, Herr Dr. A. Auwers, die Längen von Aden und Madras einer Revision unterworfen hat, (Astr. Nachr. N° 5180, Band 155, S. 190, Juli 1895.) Wir werden seine Unterschiede übernehmen; indem wir aber die dritte Stelle, wo es angeht, hinzufügen, erhalten wir die Länge von Madras um 0,006 geringer als er, was aber weit der mittlere Fehler zu $\pm 0,115$ angeschlagen wird, nicht von grosser Bedeutung ist.

Im Berichte des Herrn Scharnhorst werden im XI Abschnitt, S. 75—75, die Längen-Unterschiede der sämtlichen besuchten Punkte mit Pulkowa mitgetheilt; in einem vorigen Abschnitt werden aber die wahrscheinlichen Fehler (Werojatnaja oschibka) besprochen, und mitgetheilt, dass der w. F. des Längen-Unterschieds Moskau—Pulkowa = $\pm 0,010$, und jener des Längen-Unterschieds Kasan—Moskau = $\pm 0,050$ geschätzt wurde, während den übrigen Längen-Unterschieden bis Wladivostok $\pm 0,045$ zukam.

Weil nun in der letzten Zeit mehr und mehr die Gewohnheit einbürgert, die mittleren statt der wahrscheinlichen Fehler zu benutzen, so habe ich diese in mittlere umgewandelt; man erhält alsdann

für Moskau—Pulkowa m. F. =	$\pm 0,0148$,
" Kasan—Moskau	$\pm 0,0445$,
" die übrigen	$\pm 0,0657$.

Es ist aber die telegraphische Länge von Pulkowa, Ost von Greenwich, durch Zwischenkunft von Wien, = $2^{\text{h}} 1^{\text{m}} 18,651$ gefunden worden; anscheinend wird aber allgemein $18^{\text{h}} 650$ angenommen, wahrscheinlich um das Resultat der Chronometer-Expedition der J. 1845 und 1844 noch einigermaßen mitstimmen zu lassen. (S. Jahresbericht der Pulkowa, vom 24 Mai 1880, S. 28 und 29.)

Wir wollen diese letzte Zahl annehmen, und dieselbe, als gut begründet, nicht ändern.

Wir erhalten also als Resultat der russischen Bestimmungen die folgende Uebersicht. Mit den Ortsnamen werden, von Ekaterinenburg ab, immer die astronomischen Punkte gemeint, d. h. die Oerter, wo beobachtet wurde, und welche durch die dem Berichte beigefügten Pläne sehr deutlich angezeigt worden sind.

* Der Nautical Almanac bis zu 1897 incl. giebt nur Zeitstunden an, und setzt die Länge von Pulkowa auf $2^{\text{h}} 1^{\text{m}} 18,7$. In dem Jahrgange 1898 hat Herr Dawing, der jetzige Hemmingker, verschiedene Verbesserungen eingeführt, und auch die Längen und Breiten der Sternwarten einer Revision unterworfen. Für Pulkowa ist die Länge zu $2^{\text{h}} 1^{\text{m}} 18,63$ angenommen, angeblich nach „Bakajzen's Compensation", Astron. Nachr. N° 3293, Bd. 151. S. 160. Zieht man die Const. des Temps 1897 in Reche, so erhält man $18,6$; das Berliner Jahrbuch 1897 giebt richtig: Greenwich $53^{\text{m}} 54,91$ West, Pulkowa $1^{\text{h}} 7^{\text{m}} 43,74$ Ost, also Pulkowa Ost von Greenwich $2^{\text{h}} 1^{\text{m}} 15,65$. Wahrscheinlich ist in der Differenz zwischen $18,65$ und $18,7$ die Erklärung des Unterschieds. Die beiden Angaben für die Scharnhorst'sche Länge von Wladivostok, S. 12 und 78 des amerikanischen Berichtes, $151^{\circ} 29' 48,5$ (— $8^{\text{h}} 41^{\text{m}} 31,5$, 223) und $5^{\text{h}} 47^{\text{m}} 31,1$, zu suchen.

Bestimmte Längen-Unterschiede.	m. F.	Länge Ost von Greenwich.	m. F.
Pulkowa-Greenwich . . . 2 ^h 1 ^m 18,650		Pulkowa 2 ^h 1 ^m 18,650	
Moskau-Pulkowa 0 28 58,450	± 0,0148	Moskau 2 30 17,100	± 0,014
Kasan-Moskau 0 46 11,966	0,0445	Kasan 5 16 29,066	0,047
Ekaterinenburg-Kasan. 0 45 59,637	0,0657	Ekaterinenburg 4 2 28,765	0,079
Omsk-Ekaterinenburg . 0 54 1,511	0,0657	Omsk 4 55 50,214	0,102
Tomsk-Omsk 0 46 18,614	0,0657	Tomsk 5 59 48,828	0,120
Kansk-Tomsk 0 45 1,189	0,0657	Kansk 6 22 50,017	0,156
Irkutsk-Kansk 0 54 18,090	0,0657	Irkutsk 6 57 8,107	0,150
Tschita-Irkutsk 0 56 52,068	0,0657	Tschita 7 54 0,175	0,165
Stritensk-Tschita 0 16 45,539	0,0657	Stritensk 7 50 45,714	0,175
Albasin-Stritensk 0 25 51,674	0,0657	Albasin 8 16 17,588	0,186
Blagoweschtschensk-Alb. 0 13 45,992	0,0657	Blagoweschtschensk. . 8 50 5,580	0,197
Chawarowka-Blag. . . . 0 50 10,962	0,0657	Chawarowka 9 0 14,542	0,207
Wladiwostok-Chaw. — 0 12 45,042	0,0657	Wladiwostok 8 47 51,500	0,216

Dagegen giebt die südliche Kette das nachstehende:

Bestimmte Längen-Unterschiede.	m. F.	Länge Ost von Greenwich.	m. F.
Mokattam-Greenwich . . 2 ^h 5 ^m 6,24	± 0,000	Mokattam 2 ^h 5 ^m 6,24	± 0,000
Suez-Mokattam 0 5 6,965	0,065	Suez 2 10 15,205	0,094
Aden-Suez 0 49 42,646	0,049	Aden 2 59 55,851	0,089
Bombay-Aden 1 51 19,975	0,049	Bombay 4 54 15,824	0,102
Madras-Bombay 0 29 45,550	0,050	Madras 5 20 59,554	0,115
Singapore-Madras 1 54 25,582	0,027	Singapore 6 55 24,956	0,116
Cape St James-Singap. . 0 12 52,425	0,050	Cape St. James 7 8 17,561	0,120
Hongkong-Cape 0 28 21,428	0,050	Hongkong 7 56 58,789	0,124
Shanghai-Hongkong . . . 0 29 17,288	0,042	Shanghai 8 5 56,977	0,151
Wladiwostok-Shanghai. 0 41 54,792	0,055	Wladiwostok 8 47 50,869	0,155

Vergleichen wir die beiderseits für Wladiwostok erhaltenen Resultate, so finden wir einen Unterschied von 0',451, welcher auf alle die Glieder der Kette vertheilt werden soll; es ist nur die Frage, nach welchem Prinzip. Herr General Scharschorst scheint sich nicht daran gewagt zu haben, einen Unterschied in den wahrscheinlichen Fehlern der bestimmten Längen-Unterschiede anzunehmen; er gibt nämlich, wie gesagt, jedem Gliede der sibirischen Kette einen w. Fehler $= \pm 0',045$, also einen w. Fehler von 0',0657.

Untersucht man die Übereinstimmung der verschiedenen von den Herren Green, Davis und Norris erhaltenen Längen-Unterschiede, so findet man für jede einzelne Bestimmung einen u. F. $= \pm 0,060$, weil also die Resultate wenigstens auf zwei, manchmal aber auch auf mehr Stellen übereinstimmen, weil also die Resultate wenigstens auf zwei, manchmal aber auch auf mehr Stellen übereinstimmen (Madras-Singapore sogar auf 3.) so würde man für die u. Fehler der ar. Mittel viel kleinere Zahlen erhalten.

Ich möchte doch aber Anstand daran nehmen, diesen Beobachtungen ein so viel grösseres Gewicht beizulegen als den russischen; untersucht man erstens im russischen Bericht die Uebereinstimmung der einzelnen Resultate, so findet man diese auch ebenso ausgezeichnet als die der amerikanischen Offiziere, aber es kommt noch, wie bereits in der Note zu S. 218 bemerkt worden ist, hinzu, dass die letzteren meines Erachtens die auf persönlichen Unterschiede, welche doch bei elektrisch registrierten Beobachtungen auch bestehen, nicht gehörig Rücksicht genommen haben. Es wird in ihrem Bericht, S. 18 nach demselben, mittels wiederholter Anwendung des von Prof. Eastman herührenden Apparates zur Bestimmung der persönlichen Gleichung hätte sich ergeben, dass die gewöhnlichen Fehler der an dieser Messung beschaffigten Beobachter sämtlich dasselbe Vorzeichen hätten; nun zwar dass die durchgängig den Vorübergang eines Sternes einige Hundertel einer Sekunde zu spät beobachteten, ihre respective Unterschiede aber so geringe, dass es deutlich sei, solche geringe Verbesserungen einzuführen würde die Verlässlichkeit des Resultats nicht vermehren."

«Um so viel möglich den Fehler zu vermeiden, welcher aus persönlichen Unterschieden in dem Beobachtungsmodus entstehen kann, wurde darnach gestrebt, dass jeder Beobachter in der langen Kette der Messungen abwechselnd Ost und West vom andern seine Stelle habe.»

Dagegen ist aber anzuführen, dass es sich hier eben um Hunderttel-Sekunden handelt; aus dem-
jenigen was oben (S. 218) angeführt worden ist, würde man ableiten, dass die Berichterstatter die
Meinung hegen, unter der Zehntelsekunde könnte man doch nicht rechnen. Weiter ist noch zu be-
merken, dass die Protokolle der Messungen hinreichend beweisen, dass die Verwechslung der relativen
Stelle der Beobachter nur dürftig eingehalten worden ist. Bezeichnen wir nämlich die systematische
Correction, welcher jeder der Beobachter, Green, Davis und Norris bedarf, mit den Anfangsbuchstaben
ihrer Namen, so hat man die untenstehenden Correctionen anzubringen:

für Singapore—Madras: N-D.

a Cape St. James—Singapore: . . . D-G,

• Hongkong—Cape St. James: . . N—D,

Shanghai—Hongkong, direct: . . .	D—G, indirect	Sh.—Amoy . . .	D—N
		Amoy—H. K. . .	N—G
		Nagas.—Sh. . .	D—G
Wladiwostok—Shanghai, " . . .	N—G, "	Wl.—Nag. . .	N—D

* Shanghai-Hongkong, direct: . . D-G, indirect

Nagas.—Sh. . .	D-G
	S-P

^a Wladiwostok—Suanghai, " . . . N-G, " (Wl.—Nag. . . . N-D)

Summe: Correction von Wladiwostok—Madras: 5 N—5 G, d. h. dreimal der persönliche Unterschied zwischen den Herren Norris und Green.

Ich glaube also dass dem amerikanischen Resultate nicht ein so viel grösseres Gewicht als dem russischen beigelegt werden darf, und dass es vorsichtiger ist, keinen Unterschied zwischen den beiden Reichen zu machen, und den verschiedenen Längen-Unterschieden, mit Ausnahme von den drei ersten, gleiche Verbesserungen anzubringen. Der von Auwers berechnete m. Fehler der Länge von Madras würde auch für einen einzelnen Längenunterschied nahezu dasselbe gelten, als Scharnhorst angenommen hat. Den ersten Längen-Unterschied, Pulkowa—Greenwich, wollen wir unverändert lassen, dem zweiten, Moskau—Pulkowa, nur $\frac{1}{3}$, und dem dritten, Kasan—Moskau, $\frac{1}{3}$ Correction anbringen. Der Schlussfehler 0',451 muss also in 29 Theile getheilt werden; jeder Theil wird also = 0',0196 sein.

Unter Berücksichtigung dieser Correctionen erhalten wir für die ganze Kette die untenstehenden Längen:

	Verbesserung.	
Greenwich	0',000	0' 0" 0',000
Pulkowa	0',000	2 1 18,650
Moskau	— 0',007	2 50 17,095
Kasan	— 0',020	5 16 29,046
Ekaterinenburg	— 0',059	4 2 28,064
Omsk	— 0',059	4 55 50,155
Tomsk	— 0',078	5 59 48,750
Kansk	— 0',098	6 22 49,019
Irkutsk	— 0',118	6 57 7,989
Tschila	— 0',157	7 54 0,058
Stritensk	— 0',157	7 50 45,557
Allasin	— 0',176	8 16 17,212
Blagoweschtschensk	— 0',196	8 50 5,184
Chawarowka	— 0',216	9 0 14,126
Wladiwostok	{ — 0',255 + 0',196 }	8 47 51,065
Shanghai	+ 0',176	8 5 56,255
Hongkong	+ 0',157	7 56 58,946
Cape St. James	+ 0',157	7 8 17,408
Singapore	+ 0',118	6 55 25,054
Madras	+ 0',098	5 20 59,452
Bombay	+ 0',078	4 51 15,902
Aden	+ 0',059	2 59 55,910
Suez	+ 0',059	2 10 15,244
Mokattam	+ 0',020	2 5 6,200
Greenwich	0',000	0 0 0,000

Entleihen wir aus diesem Verzeichniss:

6° 55' 25,954 o. v. Gr.,

Singapore

und fügen wir hinzu:

Reduction auf den früheren Ort des Flag-	—	1,509
genstocks auf Fort Canning		
und den von Herrn Soeters und mir ge-		
fundenen Längen-Unterschied	+	11 50,985

so erhalten wir für die Länge von Batavia,
Zeitsignal am alten Hafen

7° 7' 14,550 = 106° 48' 58",0
Ost von Greenwich.

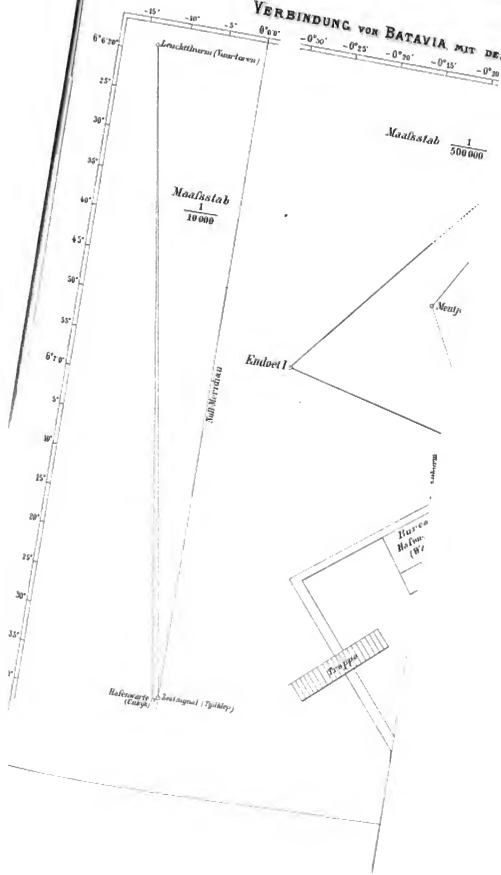
BEMERKUNG. Wie ich neulich erfahren habe, ist das Zeitsignal vom alten Hafencanal nach dem neuen Hafen zu Tandjong Priok versetzt worden, und zwar um $18',167 = 4' 52",5$ östlicher. Ferner hat sich, siehe oben S. 152, aus der Triangulation ergeben, dass der Leuchthurm am alten Hafen 2502,55 Meter in einer Richtung Nord $9^{\circ}44',5$ West vom Orte des alten Zeitsignals absteht, d. h. um 425,5 Meter = $15',770 = 0',918$ West.

Wir finden also auch für die Länge:

des Leuchthurms..... $7^{\circ} 7' 15',612 = 106^{\circ} 48' 24",2$ Ost von Greenwich.
des neuen Zeitsignals zu Tandjong Priok $7^{\circ} 7' 52',697 = 106^{\circ} 55' 10",5$ " " "

Die erste dieser beiden Zahlen bezieht sich auf einen durch die Triangulation mit dem Dreiecksnetze verbundenen Punkt.

VERBINDUNG VON BATAVIA MIT DEI



BOUND

SEP 27 1999

UNIV OF MICH
LIBRARY



